近岸數值模擬系統之建立(1/4)



交通部運輸研究所國 立 中 山 大 學 合作辦理

中華民國九十四年四月

近岸數值模擬系統之建立(1/4)

著者:李忠潘、陳陽益、邱永芳、于嘉順、許泰文 王兆璋、張憲國、劉景毅、蘇青和、簡仲璟 薛憲文、廖建明、劉正琪、江朕榮、尤皓正 錢維安、許友貞、莊曜陽

> 交通部運輸研究所 國 立 中 山 大 學 合作辦理

中華民國九十四年四月

國家圖書館出版品預行編目資料

近岸數值模擬系統之建立(1/4) / 李忠潘等著.

-- 初版. -- 臺北市: 交通部運研所, 民94

面; 公分

含參考書目

ISBN 986-00-0895-7(平裝)

1. 海洋氣象 - 自動化

444.94029

94006644

近岸數值模擬系統之建立(1/4)

著 者:李忠潘、陳陽益、邱永芳、于嘉順、許泰文、王兆璋、張憲國

劉景毅、蘇青和、簡仲璟、薛憲文、廖建明、劉正琪、江朕榮

尤皓正、錢維安、許友貞、莊曜陽

出版機關:交通部運輸研究所

地 址:台北市敦化北路 240 號

網 址:www.ihmt.gov.tw(中文版/中心出版品)

電 話:(04)26587176

出版年月:中華民國九十四年四月

印刷者:

版(刷)次冊數:初版一刷 120 冊

本書同時登載於交通部運輸研究所港灣技術研究中心網站

定 價:400元

展售處:

交通部運輸研究所運輸資訊組•電話:(02)23496880

三民書局重南店:台北市重慶南路一段 61 號 4 樓•電話:(02)23617511

三民書局復北店:台北市復興北路 386 號 4 樓•電話:(02)25006600

國家書坊台視總店:台北市八德路三段 10 號 B1•電話:(02)25787542 五南文化廣場:台中市中山路 6 號•電話:(04)22260330

新進圖書廣場:彰化市中正路二段 5 號•電話: (04)7252792 青年書局:高雄市青年一路 141 號 3 樓•電話: (07)3324910

GPN: 1009401136

ISBN: 986-00-0895-7(平裝)

GPN: 1009401136 定價 400 元

交通部運輸研究所合作研究計畫出版品摘要表

出版品名稱:近岸數值模擬系統之建立(1/4) 國際標準書號(或叢刊號) 政府出版品統一編號 運輸研究所出版品編號 | 計畫編號 ISBN 986-00-0895-7 (平裝) 1009401136 94-47-7143 93-H3DB001 本所主辦單位:港研中心 合作研究單位:國立中山大學 研究期間 主管:邱永芳 計畫主持人:李忠潘、陳陽益 自93年3月 計畫主持人:邱永芳 協同主持人:于嘉順、許泰文、王兆璋 至 93 年 12 月 研究人員:蘇青和、簡仲璟 張憲國、劉景毅、薛憲文 聯絡電話:04-26587115 研究人員 :廖建明、劉正琪、錢維安 傳真號碼:04-26571329 許友貞、莊曜陽 地址:高雄市蓮海路 70 號 聯絡電話:07-5252000ext.5173

關鍵詞:海象預報模式系、近岸、防救災、預報系統、風浪預報、暴潮預報、流場預報

摘要:

台灣四面環海,海洋發展方向是必然趨勢,城市發展多集中於濱海地區,為了保護人民生命財產,必須抵擋海域的天然災害,如海岸侵蝕、暴潮溢淹等災害。所以為了提供政府單位及私營企業的開發與管理有決策依據,發展近岸海域海象預報系統是迫切需要的工作,亦是建立近岸防救災系統不可或缺的施政項目之一。交通部運研所港灣研究中心長期為國內港灣建設、海岸開發及航運安全提供所需的資訊與服務,為配合政府「廿一世紀台灣要邁向海洋國家」的政策,在「近岸防救災預報系統建立計畫」架構下規劃本研究計畫,期能結合國內學者藉由國外的發展經驗,以循序漸進的方式,研發一套適用於台灣海域的本土性「海象觀測網及海象預報模式系統」。近年來,由於受到全球氣候變遷的影響,天然災害的威脅更為嚴苛,侵襲的頻率也有逐漸增加的趨勢,早期為了近岸防災所設定的標準,已經無法符合現實的需求,因而,防災設施必須隨之從新評估,以因應新的需求標準,因此,根據長期觀測的資料重新分析評估並設定新的防災標準,是防災建設的基礎工作。由於工程科技與電腦技術的進步,利用電腦程式建立數值海象預報模式已是歐美先進國家的發展趨勢,因此除了觀測資料的蒐集與分析,預報資訊已是近岸防救災系統不可或缺的決策支援工具。

參考各國近海海象預報系統的發展狀況,港研中心在去年(2003)已規劃完整的台灣環島海象預報系統,包括數值預報模式的建立及驗證、觀測網的架設及資料庫的整合,今年(2004)的工作重點為持續校驗去年建置完成的風浪模式系統,並增設區域性近岸波浪模式與相關模式的工作,以期有更準確、更有效率的預報台灣沿岸海域的風浪;另建置本土化之潮汐及風暴潮水位預報模式,以台灣環島海岸觀測水位資料,校驗數值模擬結果。由於目前預報系統中颱風風場仍須以解析模式根據氣象局所發佈的颱風路徑預報資料,再根據海平面的颱風中心、暴風半徑、中心氣壓、最大風速等預報資訊,經校正比對及迴歸分析後所得之風場模擬計算模式進行預報風場的模擬,今年也將嘗試引用中央氣象局或 NOAA 海上風場模式所產生的全域及時預報風場作為颱風解析模型未能涵蓋區域的風場資料。

出版日	期	頁數	定價	本出版品取得方式
94年4	月	450	400	凡屬機密性出版品均不對外公開。普通性出版品,公營、公益 機關團體及學校可函洽本所免費贈閱;私人及私營機關團體可 按定價價購。

機密等級:

限閱 機密 極機密 絕對機密

(解密【限】條件: 年 月 日解密, 公布後解密, 附件抽存後解密,

工作完成或會議終了時解密, 另行檢討後辦理解密)

普通

備註:本研究之結論與建議不代表交通部之意見。

PUBLICATION ABSTRACTS OF RESEARCH PROJECTS INSTITUTE OF TRANSPORTATION MINISTRY OF TRANSPORTATION AND COMMUNICATIONS

TITLE: Development of Taiwan's Coastal Ocean Modeling System (I)				
ISBN(OR ISSN)	GOVERNMENT PUBLICATIONS NUMBER	IOT SERIAL NUMBER	PROJEC	T NUMBER
ISBN 986-00-0895-7	1009401136	94-47-7143	93-H	I3DB001
(pbk.)				
DIVISION: HARBOR & MARINE TECHNOLOGY CENTER			PROJEC	T PERIOD
DIVISION DIRECTOR: Chiu, Yung-Fang				
PRINCIPAL INVESTIGATOR: Chiu, Yung-Fang				March 2004
PROJECT STAFF: Ching-Ho Su, Chung-Ching Chien				December 2004
PHONE: (04) 26587115				
FAX: (04) 26571329				

RESEARCH AGENCY: National Sun Yat-Sen University PRINCIPAL INVESTIGATOR: Chung-Pan Lee, Chen, Y.Y

PROJECT STAFF: Yu, C.S. Hsu, T.W. Chang, K.K. Liu, C.Y. Wang, C.C.

ADDRESS: 70 Lien-hai Rd. Kaohsiung 804, Taiwan (R.O.C.)

PHONE: 886-7-525-2000 ext.5173

KEY WORDS:

Coastal Ocean Modeling Systems; Near-shore Area; Disaster Prevention and Rescue; Forecast System; Wind-Wave Forecast; Storm Surge Forecast; Flow Forecast.

ABSTRACT:

Western Pacific terrestrial seas surround Taiwan and the development toward ocean is a direction followed by the government without hesitation. Therefore, most of the social and economic developments are concentrated along coast. Protection of these developments from damages by natural disasters, particularly coming from the seas, is a very important issue for the coastal inhabitants. Predicting marine status becomes a very important task for the authorities to carry out coastal defenses. Harbor and Marine Technology Center has taken responsibility for the management and engineering works of the harbor construction in Taiwan for the past two decades. In order to achieve this goal, Harbor and Marine Technology Center has finished Taiwan's Coastal Operational Modeling System (TaiCOMS) project under the national program on "The construction of coastal defense and forecasting systems". The major goal of the program is to develop a system of marine forecast systems for Taiwan, particularly focusing on the coastal waters.

Harbor and Marine Technology Center has started this project (TaiCOMS) since 2003. The objectives of this year's project are to integrate and calibrate the four wave models constructed last year, adding fine grid local area wave model for simulating and analysis of the long-term wave characteristics around the seven commercial harbors; and set up water level models to simulate tides and storm surges due to typhoon. Since the meteorological conditions on the surface of the modeling domain are still driven with the available CWB typhoon route data, the project partners have tried to apply the wind field forecasted by NOAA to compensate for the lack of full resolution met-data.

DATE OF PUBLICATION	NUMBER OF PAGES	PRICE	CLASSIFICATION SECRET
April 2005	450	400	CONFIDENTIAL ☑UNCLASSIFIED

The views expressed in this publication are not necessarily those of the Ministry of Transportation and Communications.

目錄

中文摘要	
英文摘要	
目錄	
第一章 前言	1-1
1.1 計畫背景	1-3
1.2 國內外海象預報系統介紹	1-7
1.3 台灣環島海象預報系統(TaiCOMS)規劃	1-6
第二章 風場模式	2-1
2.1 風場模式	2-1
2.2 颱風風場模式校驗	2-16
參考文獻	2-23
第三章 波浪模式	
3.1 全域風浪模式	3-1
3.2 定點類神經網路波浪模式	3-12
3.3 定點風域推算半經驗颱風波浪模式	3-32
3.4 各類風浪模式之比較與整合	3-59
3.5 近岸波浪模式	3-66
參考文獻	
第四章 水位模式	
4.1 全域天文潮模式	4-1
4. 2 全域暴潮模式	
4. 3 全域水位模式	4-17
4.4 定點類神經網路水位模式	4-27
4. 5 各類水位模式比較	
參考文獻	4-54
第五章 台灣環島觀測風浪資料分析及長期波浪推算結果	
5.1 台灣環島觀測風浪資料分析	5-1
5.2 台灣環島長期波浪推算結果	
5.3 風浪模式長期推算建立之相關模式	
第六章 波浪、水位模式與觀測資料之資料同化	
6.1 能量平衡方程式	6-1
6.2 近岸波浪表示式	
6.3 類神經網路波浪推算同化模式	
第七章 海象預報模式	_
7.1 各種風壓模式之流程及操作說明	7-1
7.2 各種波浪模式之流程及操作說明	
7.3 風浪模式年度侵台颱風模擬現報結果與討論	
7.4 各種水位模式之流程及操作說明	

第八章 海象預報資訊系統	
8.1 前言	8-1
8.2 網站架構及內容	8-7
8.3 颱風資料模擬網頁	8-31
8.4 綜合查詢自動化機制	8-34
第九章 結論與建議	
9.1 全域波浪模式	9-1
9.2 類神經網路波浪模式	9-3
9.3 水位模式與暴潮模式	9-4
9.4 風域推算半經驗颱風波浪模式	9-6
9.5 各類模式	9-1
附錄一: 期中報告審查意見執行表	A-1
附錄二: 期末報告審查意見執行表	B-1
附錄三: 期末報告簡報資料	C-1

第一章 前言

1.1 計畫背景

台灣四面環海,陸域面積約 3 萬 6 千平方公里,在這狹小的地區卻居住了 2 千 4 百萬的人口,海洋的發展方向是必然的趨勢,所以城市發展亦多集中於濱海地區,更是居住生活密集的地區,為了保護人民的生命財產,必須在海岸興建人工建築物來抵擋海域的天然災害,如海岸侵蝕、海水倒灌等等的災害。因此,對於近海的海象狀況必需要有一定程度的了解與掌握;另一方面台灣的領海面積約為 17 萬平方公里,比起陸域面積大上許多,提供了許多能源、資源及遊憩活動空間,如台灣海峽廣大的漁場、海岸開發、各縣市政府積極推行的藍色公路等等,皆將人民的生活空間由沿岸陸地漸漸的推向海洋,所以為了讓政府決策單位及人民有一個依據,發展一套近岸海域海象預報系統是迫切需要的,港研中心為配合政府「廿一世紀台灣要邁向海洋國家」的政策,近岸防救災系統的建立是最重要的施政項目之一。

近年來,由於受到全球氣候變遷的影響,天然災害的威脅更為嚴苛,侵襲的頻率也有逐漸增加的趨勢,早期為了近岸防災所設定的標準,已經無法符合現實的需求,因而,防災設施必須隨之從新評估,以因應新的需求標準,因此,根據長期觀測的資料重新分析評估並設定新的防災標準,是防災建設的基礎工作。由於工程科技與電腦技術的進步,利用電腦程式建立數值海象預報模式已是歐美先進國家的發展趨勢,因此除了觀測資料的蒐集與分析,預報資訊已是近岸防救災系統不可或缺的決策支援工具。

近海海水水位變化的原動力可分為由太陽及月球引力產生潮汐 (通稱為天文潮) 由風及大氣壓力變化產生的的風暴潮(通稱為氣象 潮,可影響水位變化由數小時到數天),另外就是由風產生的風浪與近 岸作用所造成的近岸波浪。風暴潮由於影響水位時間較長,所以暴潮 溢淹會造成沿海低窪地區的災害,近岸波浪在碎波時所釋放出的能 量,足以破壞岸邊的人工結構物,並且會造成海岸侵蝕,尤其以颱風其間所產生的颱風波浪必須特別注意,由於颱風的風力強大,在海面產生的風剪力也相對較大,所以可以產生週期較長且波高較高能量也較大的颱風浪,經由地形的淺化效應,波高加大,所造成的影響就更為嚴重。另外,由於颱風暴潮及颱風波浪的產生不像潮汐一樣為週期性的,由於這種不確定因素,所以本計劃規劃分別建置水位與波浪的預報模式。

水位的影響雖然不若波浪那樣的明顯,但是影響的時間卻比波浪常很多,而且往往具有增加破壞的效果,當天文大潮適逢颱風暴潮時,整個水位的抬昇會更加嚴重,除了海水倒灌的問題之外,波浪更可藉由抬昇的水位深入到近岸內部陸地,造成更大的損失,所以在去年完成波浪預報模式的初步建置,今年的執行重點除了持續進行颱風波浪預報模式的校驗工作與近岸波浪模式的發展,模式發展重點增加水位的模擬計算及預報系統的建置。

水位的影響最主要就是天文潮及風暴潮,天文潮由於具有週期性,研究發展的經驗較早,分析及預測的方法與成果很多,所以現在天文潮的預報已經具有相當的基礎;由於引起風暴潮的因素是風場及大氣壓力,並非規則性的現象,所以風暴潮的預報較天文潮困難許多;再加上正確氣象預報資料取得較困難,更增加了推算風暴潮的難度。雖然目前已有大氣模式可以預報大範圍區域的氣象資料,但是風速及風向卻會受到區域性地形的影響,尤其以台灣的地形四面環海中央是高達四千公尺的山脈,要得到近岸地區正確的風場不易。若是風場本身不正確,對於推算波浪以及水位的精確度影響也很大,所以本年度的另一重點便是要盡量取得適合應用於台灣區域的風場模式之參數校正及風場資料改進與整合。

交通部運研所港灣研究中心長期為國內港灣建設、海岸開發及航運安全提供所需的資訊與服務,在「近岸防救災預報系統建立計畫」架構下規劃本研究計畫,期能結合國內學者藉由國外的發展經驗,以循序漸進的方式,研發一套適用於台灣海域的本土性「海象觀測網及

1.2 國內外海象預報系統介紹

數值模式的優點在於可以得到完整的時空特性並可根據過去的模擬參數預測未來的發展趨勢,由於現在電腦的運算能力比起從前強大許多,再加上數值計算方法的進步,使得數值模式的精度與執行效率較以往大幅的增加,所以世界各國,尤其是歐、美、日等先進國家,的近海預報系統皆已使用數值模式來模擬,台灣鄰近的韓國、香港、泰國、新加坡等國亦都已有相當的發展,而國內中央氣象局海象測報中心,近幾年來致力於發展近海預報模式也有相當的成果。

近海預報模式包含了風浪、潮汐、暴潮等現象的預報。歐洲在這方面起步較早,所以近海預報系統也較為完備,美國現在亦以歐洲發展的基礎根據美國的地區特性加以改善成為美國本土性的近海預報模式系統,以下就國內外近海海象預報系統的發展情況概述如下。

1.2.1 挪威

挪威氣象中心(Norwegian Meteorological Institute, DNMI)發展的三維海洋模式 ECOM(Estuarine, Coastal and Ocean Model)預報風暴潮及海流情況(Engedahl, 1995; Martinsen et al., 1997),預報使用的平面網格解析度為 20 公里的卡氏座標系統,包含了大部分西北歐的大陸棚。在風暴潮的預報部分,ECOM使用三維正壓項模擬(垂直分為12層),於海流預報則加入斜壓項分為17層,預報結果提供海流、海水水位變化及溫度、鹽度等資料。預報的時程部分則是一天做兩次預報,分別在00及12UTC預報未來48小時的海象狀況。其輸入的風場及氣壓場資料則是由挪威氣象中心執行的HIRLAM氣象預報模式所提供。

波浪預報的部分挪威氣象中心並使用 WAM 波浪模式做為預報波 浪的工具,網格解析度為 0.45 度,範圍包含了北大西洋、北海,挪威 海、格林蘭海及白令海。每天預報 2 次,每次預報 2 天,氣象資料由 HIRLAM 氣象預報模式所提供;另外再使用 European Centre for Medium-Range Weather Forecasts (ECMWF) 所提供的資料做預報,每天1次,每次預報7天。

1.2.2 荷蘭

自 1990 年開始荷蘭皇家氣象研究所(KNMI)即使用一套由 Delft Hydraulics 及 Rijkswaterstaat(Gerritsen et al., 1995; Phillippart and Gebraad, 1997)發展的 Dutch Continental Shelf Model(DCSM)來預報潮汐及暴潮。初期模式模擬的範圍為西北歐洲大陸棚,網格解析度為緯度為 1/6 度,經度為 1/4 度,邊界條件為 10 個分潮加上暴潮的水位變化。自 1993 年起,增加了風場的輸入,風場由 KNMI 的 HIRLAM大氣模式產生。DCSM 預報的時間為每 6 小時 1 次,預報未來 48 小時的海象狀況。自 1998 年開始,DCSM 使用了'state-of-the-art'的最佳化方法來校正模式(e.g. Phillippart et al., 1998),同時於 1992 年起便使用實際的資料來與模式資料同化,增加預報的精度

波浪部分,自 1977 年起 KNMI 就已經開始預報北海的波浪,到了 1990 年,開始使用由第三代 WAM 修改的局部區域模式 - NEDWAM 做為波浪預報的工具(Komen et al., 1994; Voorrips et al., 1997)。模式的模擬範圍包含了北海、挪威海、格林蘭海及英吉利海峽,網格解析度則為 32 公里。風場則由 KNMI - HIRLAM 大氣模式產生。每 6 個小時進行 12 小時的後報及 48 小時的預報。

1.2.3 比利時

自 1970 年代開始,隸屬比利時國家研究院的北海數值模式管理中心,MUMM(Management Unit of the North Sea Mathematical Model)已使用垂直平均的 2D 水動力模式預報潮汐及風暴潮,預報範圍為北海(Adam, 1979),網格的解析度為北海北部使用 20 分網格大小,南部則使用 7 公里網格的巢是網格模式系統,但是由於模式範圍的限制,遠洋海域產生的潮波無法傳遞至模式內,所以對某些風暴的型態無法

準確的預報。1998年新版本的大範圍耦合水動力模式(Yu et al, 1994)在 MUMM 及 AWK(公共工程部海岸及航道工程處 Afdeling Waterwegen Kust; Ministry og the Flemish Government)正式啟用(Ozer et al., 1997; van den Eynde et al., 1998)。網格解析度為緯度方面為 2.5分,經度方面則是 5分。在風場及氣壓場的部分,使用英國氣象局(UKMO)所提供的資料。每天預報兩次,每次後報一天並預報未來 3天。

自 1992 年起, MUMM 及 AWK 使用由 GKSS(van den Eynde, 1992) 發展的第二代風浪模式 HYPAS 預報波浪,使用了波浪浮標監測記錄及衛星 ERS-1 波高計的資料進行模式線上校正,並使用 HTML 發展使用者介面,讓使用者可以很容易的讀取模式產生的資料,現在亦積極發展以 WAM 結合 SWAN 的近海波浪模式系統上線預報。

1.2.4 英國

自 1978 年開始,英國氣象局(UKMO)即使用由 POL(Proudman Oceanographic Laboratiry)發展的二維風暴潮模式與潮汐模式預報潮位變化,模擬的範圍自北緯 48 度至北緯 63 度,西經 12 度至東經 13 度,模式解析度在緯度方面為 1/9 度,經度方面為 1/6 度。模式預報時間為每天兩次,每次預報未來 36 小時。於 1999 年以後,使用新的模式來預報風暴潮,此模式已將潮汐的變化考慮進去,所以可以得到更為準確的暴潮水位。

對於波浪的預報,英國氣象局使用由 Goldin (1983)為基礎的第二代波浪模式,其後此模式由 Holt (1994)來維持更新。此模式不但可以模擬大尺度的範圍,同時也可以模擬水深 200 公尺以內的大陸棚區。在大尺度範圍方面,使用的網格點為 0.833 度 X 0.56 度,風場部分使用同樣尺度的全球數值氣候預報模式 (NWP)預報風場,並且使用 ERS-2 波高計的資料來做同化。此模式每天預報兩次,分別為 00 UTC及 12 UTC,預報未來五天的波浪。小尺度區域模式,包含西北歐洲大陸棚、地中海、波羅的海及黑海,網格解析度為 0.4 度 X 0.25 度,也

是每天預報兩次,分別於 0230 UTC 及 1430 UTC 做預報,預報時間亦為未來 48 小時,風場使用全球數值氣候預報模式(NWP)預報風場,邊界部分則是使用大尺度模式的模擬結果。

1.2.5 美國

美國的近海海岸預報系統,目前是由 NAVOCEANO (Ocean Modeling Branch of the National Weather Service's Environmental Modeling Center, the National Ocean Service's Coast Survey Development Lab、Princeton University、以及 Naval Oceanographic Office) 所共同發展的 Regional Ocean Forecast System (ROFs), 此套系統是由 1991年開始發展,並於 1993年開始作實驗性的預報。此系統為一三維水動力模式,模擬的範圍為北緯 30 度至 47 度,由美國東岸海岸線向外延伸至西經 50 度,網格解析度為 20 公里,在近岸的部分則變為 10 公里,海水表面的驅動力則是由 NCEP (National Centers for Environmental Prediction)的 Eta 中尺度大氣模式提供。此套系統一天預報一次,每次預報其後時間 48 小時。

在波浪的部分,則是使用由 NCEP 下的環境模式中心(EMC)中的海洋模式及分析部門(MMAB)所發展的 WAVEWATCH III,此模式為第三代風浪預報模式 WAM 的修正版本,目前發展至 1.22 版本。

1.2.6 中央氣象局海象測報中心

中央氣象局海象測報中心的波浪預報是根據數值天氣預報所預測 之海面風場,代入二種模式:一種是依據風向、風速、吹風歷時、風 域長度與波高、週期關係之面積風域法;另一種是以能量平衡方程式 為基礎之波譜數值模式。自民國八十四年起,每日提供一次上午八時 之波浪分析圖及未來二十四小時波浪預報圖,波浪圖涵蓋範圍自東經 105 度至 140 度,北緯 5 度至 35 度,包括了台灣海峽、東海、黃海、 南海及部分西北太平洋海域,對於我國海域航行安全有相當大之助 益。自九十年起改進為三十六小時預報,提供次日上午八時及下午八 時之波浪預報圖,含 1 公尺以上波高等值線及波向。民國九十一年引進美國氣象局 NWW3 (NOAA Wave Watch III)波浪模式並加以本土作業化,與原先使用之 WAM 模式並行測試(中央氣象局海象測報中心網站資料)。可望於民國九十二年底將 SWAN 模式上線預報,研究東北角海岸模式範圍由東經 121.5 度到 122.5 度,北緯 24.5 度到 25.5 度,網格格點為 500 公尺,每天預報兩次,每次提供未來 24 小時及 36 小時的波浪預報場(中央氣象局海象測報中心提供)。

1.3 台灣環島海象預報系統(TaiCOMS)規劃

参考各國近海海象預報系統的發展狀況,港研中心在去年(2003) 已規劃完整的台灣環島海象預報系統-TaiCOMS (Taiwan Coastal Operational Modeling System),包括數值預報模式的建立及驗證、觀測 網的架設及資料庫的整合,今年將持續完成未建置的部分,整體規劃 的理想架構沿用去年所規劃的方向並做了更完整的補充並加強整體架 構的功能性,如圖 1.1-1 所示。

規劃中的台灣海域觀測網路部分可以得到的觀測資料為地形、水深、氣壓、颱風、風場(風速、風向)、波場(波高、週期及波向)、水位(天文潮位、暴潮位)及流場(流速、流向)等現場資料,經同步連線回傳,經整理後統一輸入資料庫中以便未來提供模式的驗證應用及相關使用者查詢。

台灣海域模式預報系統的部分則規劃涵蓋風場、波浪、水位、流場及擴散等模擬,其中風場的模擬是以中央氣象局所發佈的颱風路徑預報資料為主,再根據海平面的颱風中心、暴風半徑、中心氣壓、最大風速等預報資訊,經校正比對及迴歸分析後所得之風場模擬計算模式進行預報風場的模擬。波浪的模擬包含季風波浪及颱風波浪,水位的模擬則包含天文潮位及暴潮潮位,海流的模擬則包含天文潮流、風驅流(暴潮流)、長週期恒流及波浪引起之沿岸流等。由於污染傳輸及擴散的現象在近岸海域已受到大眾的關切,尤其自龍坑阿瑪斯號油污染

事件發生以來,船舶運輸的石油及化學品可能在載運傳輸的過程所發生的意外事件更為受到關注,所以在海流預報模式建置完成後,擴散模式則是其主要的應用方向,模擬預報的主要重點為油污,其次為一般污染濃度。風場預報的部分由於中央氣象局已經提供資訊,所以本計劃架構下不擬執行一般風場的預報模擬,但是由於氣象局在颱風風場的預報僅提供颱風路徑、中心最大風速與暴風半徑等資料,颱風場仍須以颱風風場解析模式根據氣象局的預報資料輸入進行海象預測。另外,今年也將嘗試引用中央氣象局或 NOAA 海上風場模式所產生的全域及時預報風場作為颱風解析模型未能涵蓋區域的風場資料,模式計算的結果同樣也進入資料庫中,如此便可以將模式產的資料與觀測網路得到的現場資料做同化,以增加模式模擬的精確度。

模式系統的規劃時程則表示於圖 1.1-2,各年所欲達成的目標如下所述,第一年(2004 年)將推廣風浪預報模式。另建立區域性之風浪模式。並建立本土化之水位預報模式,以台灣環島海岸觀測水位資料,校驗數值模擬結果。第二年(2005 年)將建立三維全域水動力模式,並完成流場模式之驗證。波浪方面配合數值模式推算長期颱風波浪以檢討現有沿海防護設施的設計波高標準,水位方面以整合台灣環島海岸觀測水位資料,及數值模擬結果。第三年(2006 年)建立近岸與港區包括油污及不同污染物擴散數值模式,並建立區域性之流場模式。水位方面配合數值模式推算長期暴潮水位,以檢討現有沿海防護設施的設計水位標準。第四年(2007 年)將模式及觀測網的資料作圖形化展示,採用地理資訊系統之人性化操作界面,進行高速計算的可行性研究,力求近海海象預報模擬系統的預報時間能夠在氣象局發佈氣象預報後三至六小時之內完成。

本年度(2004)的工作重點為潮汐及風暴潮水位模式的建置,持續校驗去年建置完成的風浪模式系統,本年度並增設區域性近岸波浪模式與相關模式的工作,以期有更準確、更有效率的預報台灣沿岸海域的風浪。

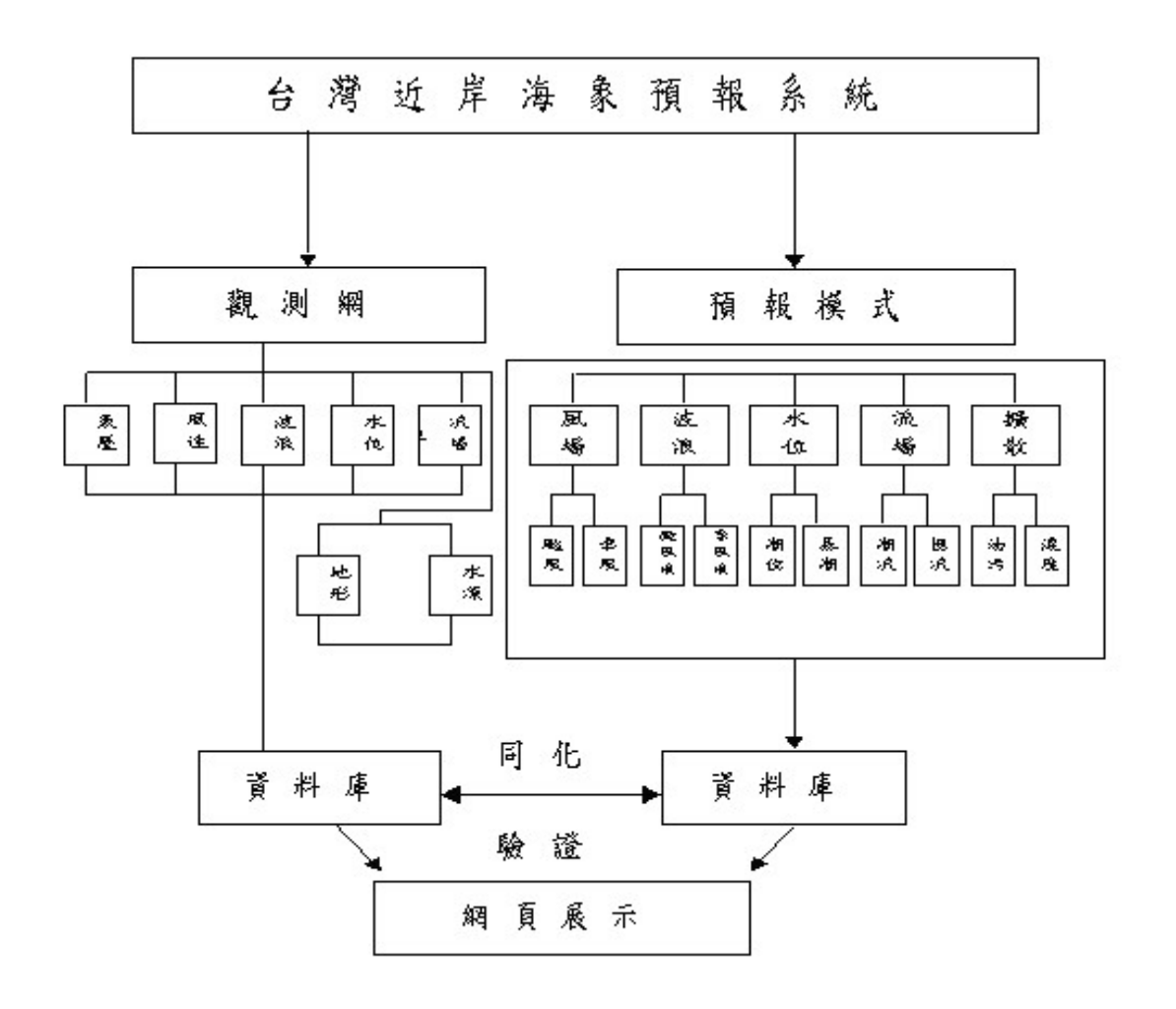


圖 1.1-1 臺灣近岸海象預報系統架構

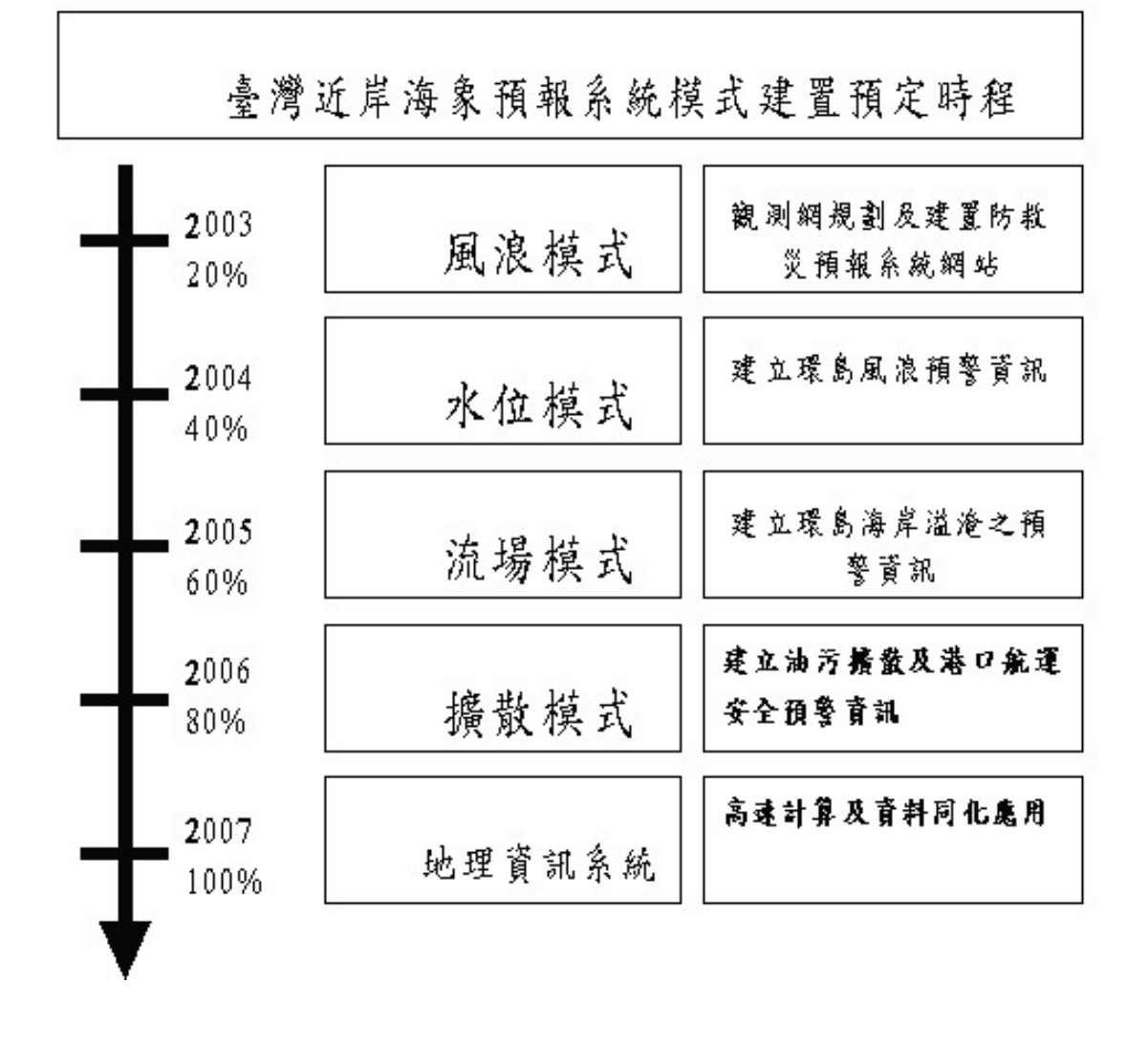


圖 1.1-2 臺灣近岸海象預報系統模式建置預定時程

第二章 風場及壓力場模式

由於波浪及水位的預報皆會受到氣象條件的影響,特別是風速及氣壓的影響最大,因此本章節主要是探討這兩個因子的計算方法以及模擬的結果。由於本年度著重於暴潮的模擬,因此後續章節會介紹各個颱風模式的理論,同時藉由實測風速的比對,選出一個適合臺灣地區的颱風模式做為未來使用的依據。另外本年度也取得 NOAA 預報風場作為背景風場增加風速的準確性。氣壓場的部分由於今年還為取得中央氣象局的動態預報風場氣壓場,因此待明年度取得資料後,可加入使用。以下僅就風場部分做說明

2.1 風場模式

現在歐洲(ECMWF)與美國(NOAA)皆有大型的氣象預報模式來預報全球的氣象資料,中央氣象局也在2002年完成台灣海域動態氣象預報模式預報即時全域海上風場,目前本計畫已透過國際合作取得2001年至2002年全年NOAA預報風場,增加使用這些即時預報風場資料作為風場的輸入,以增進颱風解析模式範圍外的風場資料,同時也可以應用於計算季風波浪的影響。NOAA全球預報風場範圍為南緯78度至北緯78度,西經180度至東經180度,經度部份網格解析度為1.25度一格,緯度部分為一度一格,因此使用上仍需利用內插法求得所需要地區的風場。未來希望取得中央氣象局的台灣海域動態氣象預報模式的預報風場及氣壓場,以便得到更符合台灣海域的風場狀況。目前已取得中央氣象局的同意,但是接收資料的細節部分仍在協調中,希望明年度的計畫能夠將氣象局的即時預報資料納入使用,使整個系統達成即時預報的目標。

2.1.1 颱風風場模式

雖然使用內插方式可由大尺度動態風場得到區域性風速,但對於

颱風風場來說由於網格點過大,因此會使得最大風速無法在大尺度動態風場中被模擬出來;再加上目前使用中央氣象局所提供的颱風預報資料僅為颱風預測路徑及可能的暴風半徑,並不足以用於海象預報模擬的模式計算,所以仍然需要使用傳統的颱風解析模型來模擬颱風內部的風場分布,本計畫收集了近年來國內外所使用的颱風解析模型,希望可以改進颱風解析模型並整合出一個適用於台灣地區的風場預報模式。僅就文獻所蒐集之幾個曾經應用在台灣海域的颱風解析模式簡述如下節。

2.1.1.1 李賢文颱風模式 (Li, 1979)

李賢文(1979)引用 Jelesnianski (1965)所發展的圓形颱風解析模式。

風場部分:

軸對稱風場分佈:

$$V = V_m \left(\frac{r}{R}\right)^{\frac{3}{2}}$$
 , $0 \le r \le R$ (2.2-1)

$$V = V_m \left(\frac{r}{R}\right)^{1/2} \qquad , \quad r \ge R \tag{2.2-2}$$

偏角修正:

$$V = V_m \left(\frac{r}{R}\right)^{\frac{3}{2}} \frac{1}{r} [Ai + Bj] \qquad , \quad 0 \le r \le R$$
 (2.2-3)

$$V = V_m \left(\frac{r}{R}\right)^{\frac{1}{2}} \frac{1}{r} [Ai + Bj] \qquad , \quad r \ge R$$
 (2.2-4)

移動颱風風場:

$$V = V_m \left(\frac{r}{R}\right)^{\frac{3}{2}} \frac{1}{r} [Ci + Dj] + \frac{r}{R+r} [U_0 i + V_0 j] \qquad , \quad 0 \le r \le R$$
 (2.2-5)

$$V = V_m \left(\frac{r}{R}\right)^{\frac{1}{2}} \frac{1}{r} [Ci + Dj] + \frac{R}{R+r} [U_0 i + V_0 j] \qquad , \quad r \ge R$$
 (2.2-6)

r: 距颱風中心的距離

R:最大暴風半徑

 V_m :最大風速

 $C = r \sin(\theta + \phi)$, $D = r \cos(\theta + \phi)$

 θ : 軸對稱風與 Y 軸的夾角

∅:軸對稱風穿過等壓線的向心偏角

 U_0 、 V_0 : 颱風移動速度的分量

2.1.1.2 劉肖孔颱風模式 (Liu, 1985)

梯度風場:

$$V_{g} = \sqrt{\left(\frac{R}{r}\right)^{B} \frac{B}{\rho_{a}} (P_{n} - P_{c}) \exp \left[-\left(\frac{R}{r}\right)^{B}\right] + \frac{r^{2} f^{2}}{4} - \frac{rf}{2}}$$
 (2.2-7)

其中 $B = 2.7 + 0.016667(940 - P_c)$,加入移動颱風風場:

$$\vec{V}_{gs} = \vec{V}_g + \vec{V}_s$$

並利用海水與空氣垂直溫差來修正風速:

$$\left| \vec{V}_{gs} \right| = a \left| \vec{V}_g + b \right|$$

$$a = 0.7 - 0.012\Delta T_{a-s}$$

$$b = 1.68 - 0.105 \Delta T_{a-s}$$

偏角修正:

$$\alpha_0 = \cot^{-1} \left(\frac{f}{C_{\tau}} \right)$$

$$\alpha = -\left\{ \left(\alpha_0 - \frac{\alpha_0}{2} \right) + \frac{\alpha_0}{2} \cos \left[\left(\frac{\Delta T_{a-s} + 0.7}{4.1} \right) 180^\circ \right] \right\} \qquad 3.4^\circ C > \Delta T_{a-s} > -4.8^\circ C$$

$$\alpha = 0 \qquad \Delta T_{a-s} > 3.4^\circ C \qquad \Delta T_{a-s} < -4.8^\circ C$$
(2.2-8)

修正完後之風向量為

$$\vec{V} = \left| \vec{V}_{gs} \right| \frac{1}{r} (Ci + Dj)$$

B:常數

f: 科氏力

 ρ_a :空氣密度

 P_c :颱風中心氣壓

P_n:颱風影響範圍外之氣壓

r: 距颱風中心的距離

R:最大暴風半徑

ΔΤ_{α-s}:長期月平均空氣海水垂直溫差

 α_0 :垂直穩定條件下風穿過等壓線的向心偏角

α:垂直不穩定條件下風穿過等壓線的向心偏角

C,:海面粗糙度

$$C = r \sin \bigl(\theta + \alpha_{\scriptscriptstyle 0} \bigr)$$
 , $D = r \cos \bigl(\theta + \alpha_{\scriptscriptstyle 0} \bigr)$

2.1.1.3 美國聯邦危機管理署颱風模式 (FEMA, 1988)

美國聯邦危機管理署發展(FEMA) 暴潮模式來模擬颱風暴潮,其中颱風風場的模擬分布為以下式計算:

$$V_{g} = \sqrt{\frac{R(P_{n} - P_{c})\exp(-\frac{R}{r})}{\rho_{a}r} + \frac{r^{2}f^{2}}{4} - \frac{rf}{2}}$$
 (2.2-9)

考慮颱風前進速度後風場為

$$\vec{V} = 0.91 \vec{V}_g + 1.5 |\vec{V}_o|^{0.63} \cos \beta$$

f:科氏力

 ρ_a :空氣密度

Pc:颱風中心氣壓

P_n:颱風影響範圍外之氣壓

r: 距颱風中心的距離

R:最大暴風半徑

 V_o :颱風前進速度

 $\beta: V_o$ 和 V_g 的夾角

2.1.1.4 陳孔沫颱風模式 (Chen, 1994)

修正 Rankine 與 Jelesnianski 模式:

$$V = V_m \frac{r}{R} \frac{3}{(R/r)^{1/2} + r/R + (r/R)^{5/2}} \qquad , \quad 0 \le r \le R$$
 (2.2-10)

$$V = V_m \frac{r}{R} \frac{3}{(R/r)^{5/2} + r + (r/R)^{1/2}} \qquad r \ge R$$
 (2.2-11)

颱風移動風速加成量:

$$V_{sch} = V_s \frac{3(Rr)^{\frac{3}{2}}}{R^3 + r^3 + (Rr)^{\frac{3}{2}}}$$
 (2.2-12)

r: 距颱風中心的距離

R:最大暴風半徑

 V_m :最大風速

Vs:颱風移動速度

2.1.1.5 賴宗慶颱風模式 (Lai, 1995)

假設為軸對稱的旋衡風:

$$V_c = V_m \sqrt{\left(\frac{R}{r}\right)^B \exp\left[1 - \left(\frac{R}{r}\right)^B\right]}$$
 (2.2-13)

$$V_m = 5.735 \sqrt{B(P_n - P_c)}$$

B:常數

Pc:颱風中心氣壓

P_n:颱風影響範圍外之氣壓

r: 距颱風中心的距離

R:最大暴風半徑

本計畫將以上述颱風風場模式理論模擬之風場與實測風場資料加以分析比對,並進行分析計算以取得最適用於模擬台灣海域颱風之最佳模式,並利用以實測資料分析計算的結果做為颱風風場模式的本土化參數,使預報模式使用之風場更能符合實際情況。

表 2.1-1 颱風模式使用之變數定義如下:

f	科氏力(rad/s)
$ ho_a$	空氣密度=1.015 (
P_c	颱風中心氣壓(mb)
P_n	颱風影響範圍外之氣壓=1015 (mb)
r	距颱風中心的距離(km)
R	最大暴風半徑(km)
V_m	最大風速 (<i>m/s</i>)
V_s	颱風移動速度 (<i>m/</i> _s)
U_0 , V_0	颱風移動速度的分量($\frac{m}{s}$)
$lpha_0$	垂直穩定條件下風穿過等壓線的向心偏角 (度)
α	垂直不穩定條件下風穿過等壓線的向心偏角 (度)
θ	軸對稱風與 Y 軸的夾角(度)
φ	軸對稱風穿過等壓線的向心偏角=30(度)

β	V_o 和 V_g 的夾角(度)
$C_{ au}$	海面粗糙度
ΔT_{a-s}	長期月平均空氣海水垂直溫差()
A, B	常數

2.1.2 風場模式比較

目前取得基隆、台北、高雄、安平、花蓮及蘇澳港 2001 及 2002 年及台中港 2002 年等七大商港的全年風場資料,由於安平與台北為氣象樁所測得之風速資料,為了避免地形對風速所造成的影響,本計畫選擇台北及安平的資料作為颱風模式比對的依據。為了配合風速資料,本計畫以 2001 年的四個颱風西馬隆、奇比、桃芝、利奇馬及 2002 年的二個颱風娜克莉及辛樂克,作為比對校驗的序列。

西馬隆在呂宋島西方海面生成後緩慢北上,移動至呂宋島東北方近海時,中心呈現滯留打轉的現象,再以緩慢北上至巴士海峽後,轉向東北加速通過台灣東南部海面,朝琉球方向移動,並轉變成溫帶氣旋。發布警報時間為 2001 年 5 月 11 日上午 11 時,至 13 日晚上 20 時解除警報,期間最大中心風速為 23 公尺/秒,最低氣壓為 990 毫巴,最大之暴風半徑為 150 公里。

奇比颱風於菲律賓東方海面形成後,向西北方向移動,其中心進入巴士海峽後,以偏西方向通過巴士海峽,再以偏北的路徑通過台灣海峽,於馬祖附近進入大陸。發布警報時間為 2001 年 6 月 22 日凌晨 3 時至 24 日上午 8 時解除警報,期間中心最大風速為 35 公尺/秒,最低氣壓為 965 毫巴,最大之暴風半徑為 200 公里。

桃芝颱風在呂宋島東方海面生成之後,以西北轉北北西的方向移動,朝台灣東部陸地接近,於7月30日0時10分左右登陸花蓮秀姑

戀溪口,並於當日 10 時 20 分左右由新竹附近離開本島進入台灣海峽北部,約在 31 日 4 時 20 分由馬祖附近進入大陸,隨後減弱為熱帶性低氣壓。發布警報時間為 2001 年 7 月 28 日上午 5 時,至 31 日下午 2 時解除颱風警報,期間最大風速為 38 公尺/秒,最低氣壓為 962 毫巴,最大之暴風半徑為 250 公里。

利奇馬颱風於 2001 年 9 月 22 日在菲律賓呂宋島東北方海面形成,緩慢偏西移動,24 日轉向偏北和北北西方向,直撲台灣東南部地區。26 日 18 時 30 分左右在台灣東南部登陸,經歷約 23 小時後,由中部濁水溪口進入台灣海峽,隨後於 28 日 8 時在海峽上減弱為熱帶性低氣壓。發布警報時間為 2001 年 9 月 23 日晚上 8 時,至 28 日上午 9 時解除警報,期間最大風速為 35 公尺/秒,最低氣壓為 965 毫巴,最大之暴風半徑為 180 公里。

娜克莉颱風於 2002 年 9 日 5 時生成於台灣海峽南部後,向東北移動,10 日 5 時左右在台中北方附近登陸,當日下午 2 時於宜蘭北方附近出海,以偏東方向移動,11 日、12 日到達琉球海面後移速減緩並轉向偏北方向移動,13 日進入日本西南方海面後減弱為溫帶氣旋。警報發布時間為 2002 年 7 月 9 日上午 5 時至 10 晚上 11 時,期間最大風速為 20 公尺/秒,最低氣壓為 987 毫巴,最大之暴風半徑為 80 公里。

辛樂克颱風於 2002 年 8 月 29 日形成於關島東方海面後,向北北西移動,31 日起向西快速移動,4 日此颱風通過琉那霸後,移動速度開始減慢,五日至六日其移向呈西南西再轉西北西擺動的現象,俟其中心到達台灣東北方海面時,開始加速向西方向朝馬祖北方附近進入福建北部,並快速減弱為熱帶性低氣壓。警報發布時間為 2002 年 9 月 4 日上午 5 時至 8 日上午 5 十解除颱風警報,期間最大風速為 43 公尺/秒,最低氣壓為 955 毫巴,最大之暴風半徑為 300 公里。六個颱風路徑如圖 2.1-1 所示。

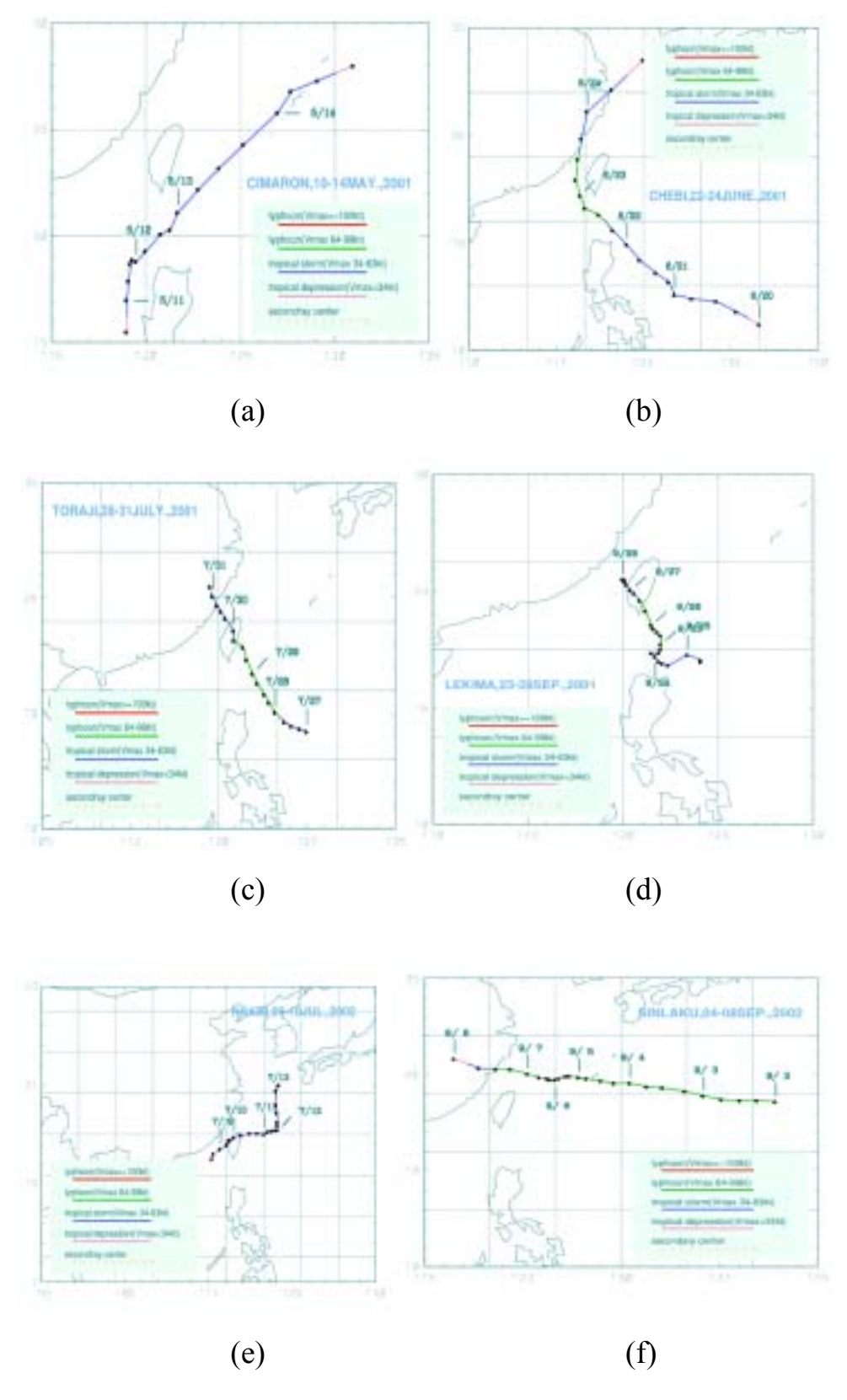


圖 2.1-1 六個颱風路徑圖(a)西馬隆(b)奇比(c)桃芝(d)利奇馬(e)娜克莉(f)辛樂克

圖 2.1-2 至 2.1-6 為五個颱風模式在六個颱風期間模擬結果與測站實際風速比對圖,由於颱風模式模擬的結果為 7 級暴風半徑以內的風速變化,因此除了桃芝颱風有兩個測站的完整比對外,其餘颱風皆只有單一測站的比對值。西馬隆颱風因為其暴風半徑過小,無法於安平及台北氣象樁產生模擬結果。而資料長度方面由於警報發布的時間測站並不一定籠罩於暴風半徑內,因此颱風模式模擬結果並無法呈現到整個警報期間。

圖2.1.-2為奇比颱風期間5個颱風模式模擬結果與安平氣象樁時序圖。五個颱風模式的趨勢都一樣,符合氣象樁的實測資料。在最大風速大產生之前,Liu及 Chen的預測跟時測資料完全符合,Li、Lai及FEMA則高估風速,以Lai的高估量最大。在最大風速產生之後結果相反,Liu及 Chen明顯低估風速,Lai及FEAM則最為接近實測資料,Lai為高估,FEMA則為低估。

圖 2.1-3 為桃芝颱風期間 5 個颱風模式模擬結果與台北 安平氣象樁時序圖。由台北測站圖上可以發現五個颱風在登陸前的風速模擬結果趨勢符合氣象樁風速,以 Li 及 FEMA 的結果最好,Lai 明顯高估,Chen 及 Liu 則低估風速。登陸後可發現五個颱風模式皆無法預測風速趨勢,Liu 及 Chen 的風速大小較接近實測風速,其餘三個模式皆高估風速許多。安平測站方面颱風模式皆可以將風速趨勢模擬出來,以 Li 及 FEMA 的結果最符合時測風速資料,Lai 為高估風速,Liu 及 Chen 則低估風速。

圖 2.1-4 為利奇馬颱風期間 5 個颱風模式模擬結果與安平氣象樁時序圖。圖上可發現在颱風登陸前, Li 的結果與資料吻合, FEMA 則稍微高估, Lai 明顯高估風速, Li 及 Chen 則是低估風速, 5 個颱風模式皆沒有模擬到最低風速。颱風登入後, 5 個颱風模式於風速模擬部分皆與實測風速趨勢不同,以 Liu 及 Chen 差距最大。

圖 2.1-5 為娜克莉颱風期間 5 個颱風模式模擬結果與台北氣象樁時 序圖。由於娜克莉颱風的暴風半徑很小,只有 80 公里,因此於台北測 站的模式結果只有兩點,可發現 FEMA 的結果與時測資料相當吻合。

圖 2.1-6 為辛樂克颱風期間 5 個颱風模式模擬結果與台北氣象樁時序圖。辛樂克颱風的暴風半徑相當大,但是其中心位置偏北,所以只有台北測站有模擬結果,圖上可以發現 Li 及 FEMA 的結果與時測資料相當接近, Lai 同樣高估風速, Liu 及 Chen 則為低估風速。

綜合以上 5 個模擬結果,可以發現 FEMA 的結果與時測資料最為符合,然 FEMA 的公式無參數可以調整,無法修正颱風剖面,因此本計畫選擇利用可調整參數及趨勢表現不錯的賴宗慶颱風模式理論來模擬颱風風速,以便因應未來不同特性及路徑的颱風。由於某些測站的結果仍然不盡理想,特別是颱風有登陸的案例,所以未來會使用更多颱風資料作為颱風模式參數的校正。

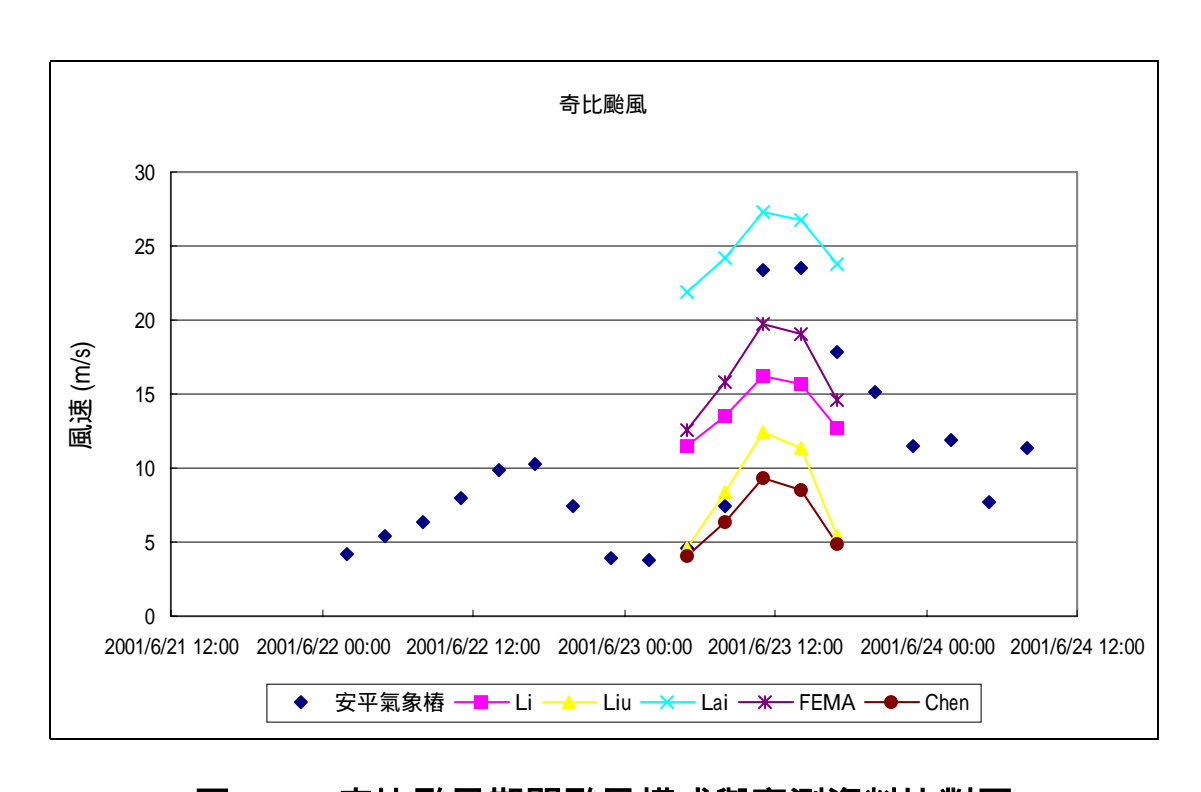


圖 2.1-2 奇比颱風期間颱風模式與實測資料比對圖

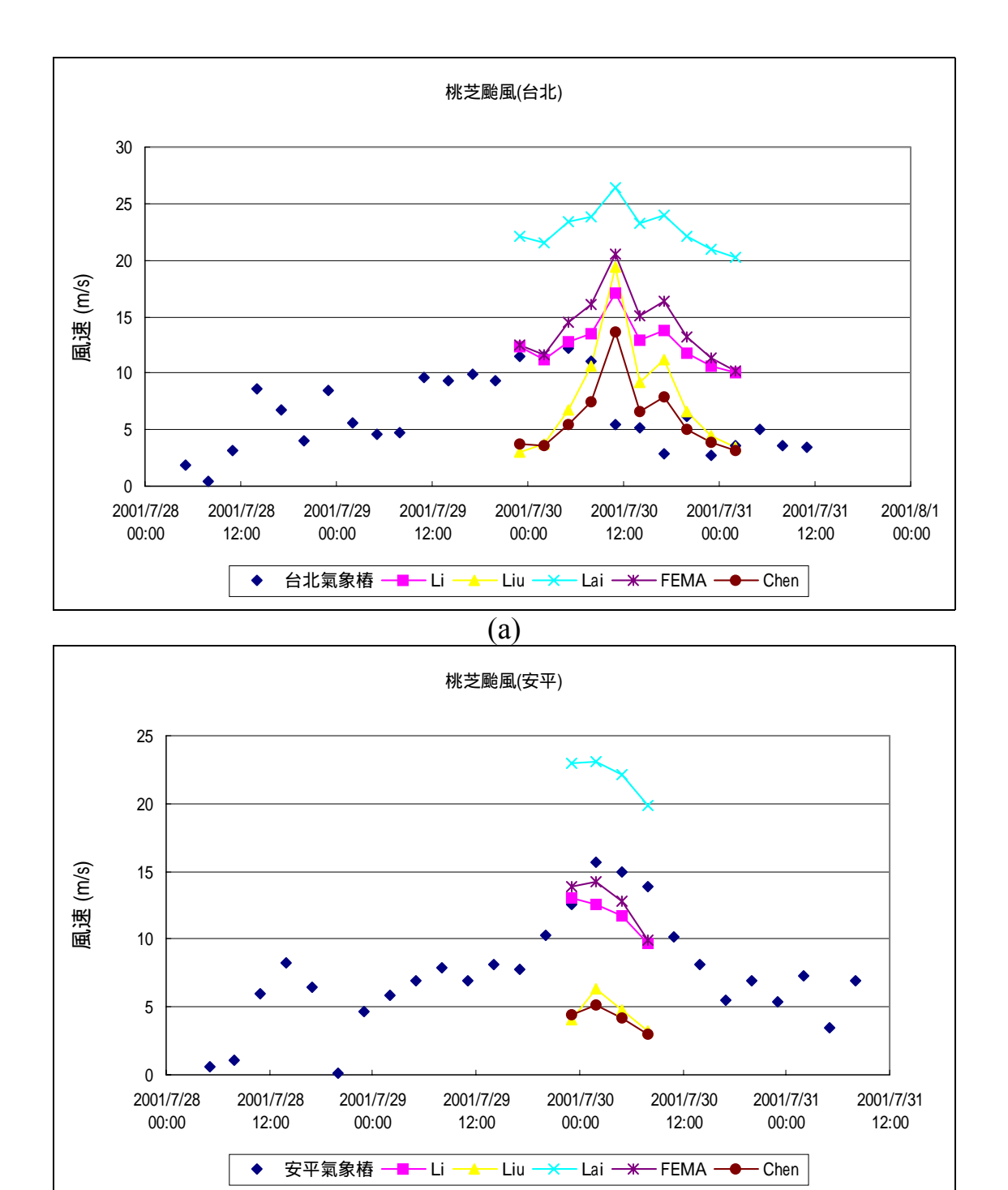


圖 2.1-3 桃芝颱風期間颱風模式與實測資料比對圖(a)台北氣象樁 (b)安平氣象樁

(b)

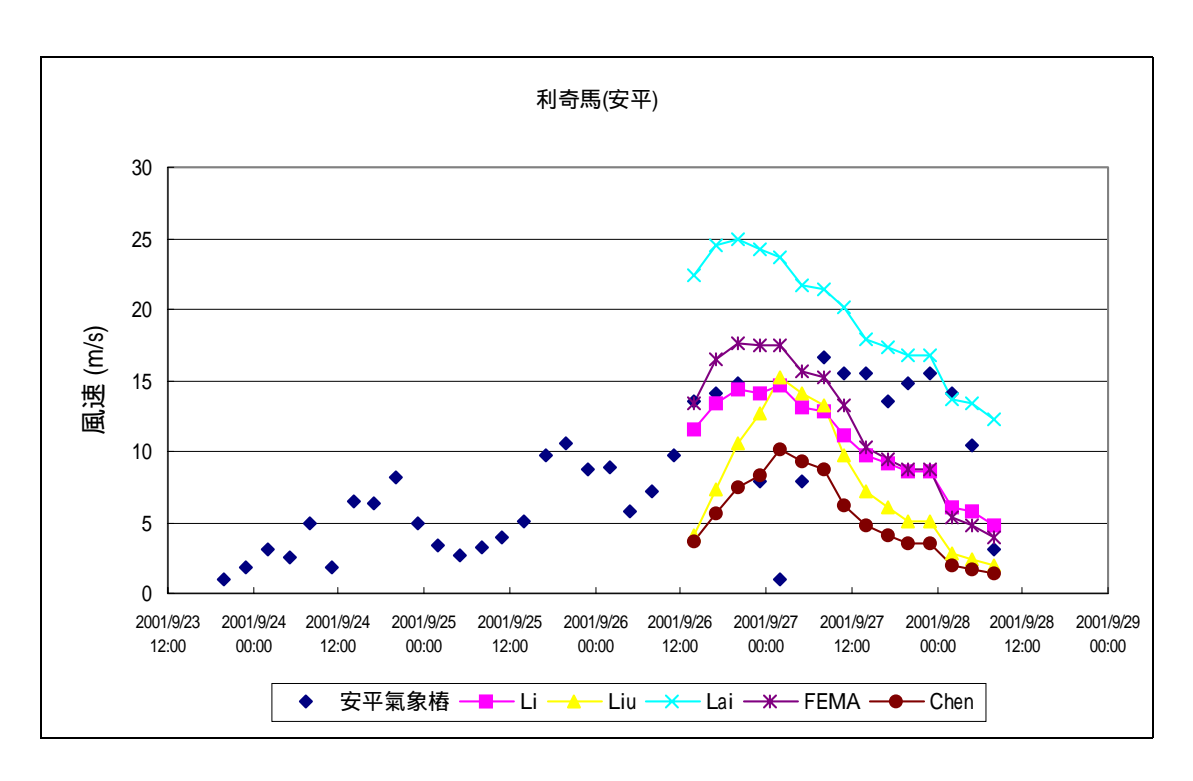


圖 2.1-4 利奇馬颱風期間颱風模式與實測資料比對圖

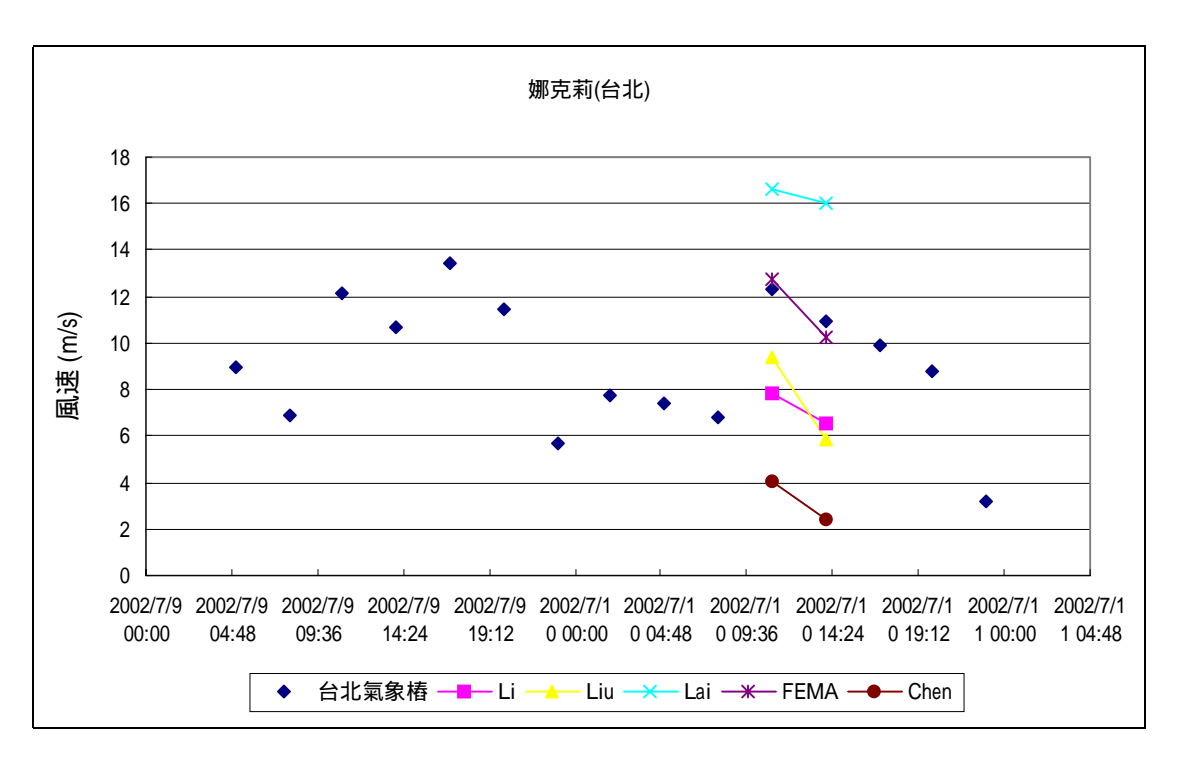


圖 2.1-5 娜克莉颱風期間颱風模式與實測資料比對圖



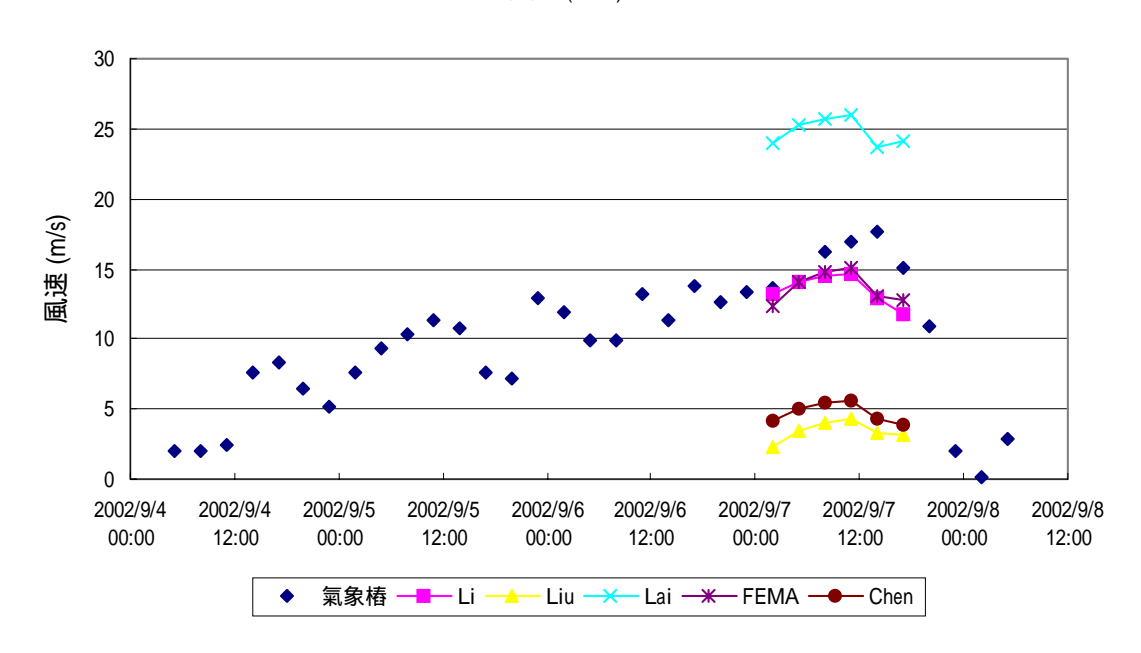


圖 2.1-6 辛克樂颱風期間颱風模式與實測資料比對圖

2.2 颱風風場模式校驗

圖 2.2-1~2.2-8 為使用賴宗慶理論颱風模式輸入之風場資料與台北及安平氣象樁之比對結果,由於實測風場資料只有兩年的資料,因此選定 2001 年發生之四個颱風之西馬隆、奇比、桃芝及利奇馬作為模式比對及校正的颱風。由圖上可以發現四個颱風風速的比對結果,於安平氣象樁的模擬結果皆較台北氣象樁的準確。由於要推估準確的颱風暴風半徑是相當困難,因此雖然氣象局有預報的颱風暴風半徑,但也只是估計值,無法很準確的界定出颱風的範圍,因此對於颱風模式的模擬結果會產生相當大的影響,特別是在暴風半徑邊緣的風速模擬。由路徑分析,除了桃芝颱風有直接經過台北測站以外,其餘三個颱風皆只有颱風外圍經過台北測站,西馬隆更是沒有經過台北測站,所以可以發現台北測站的風速模擬只有桃芝颱風勉強可以符合實測資料,其餘三個颱風在風速大小及趨勢皆差距很大。在安平測站的部分則可以發現四個颱風都有不錯的模擬結果,除了某些時間點為的風速極大值沒辦法準確的模擬到以外,在風速大小及趨勢都滿接近實測資料。

無法模擬到風速極值,推測的可能原因一為預報路徑因颱風接觸陸地結構遭到破壞產生偏移,另一原因則是因為大範圍模式的網格點過大,因此造成颱風模式無法模擬出風速極大值的部分。

因為台北的風速比對結果差距太大以及四個颱風的路徑關係,因此選定了風速比對結果比較符合的安平測站作為模式校正的依據,選擇使用的颱風則是模擬結果最好的桃芝颱風。圖 2.2-9 及 2.2-10 為風速修正前跟修正後與實測資料比對之趨勢圖。利用線性趨勢線作為修正的依據,同時將風速以每秒 10 公尺為分界,分兩部分做迴歸曲線並做修正。小於 10 公尺風速部分,將模式風速乘以 0.5362 並加上 2.4327;大於 10 公尺風速則乘上-0.7284 並加上 22.516。由圖 2.2-10 可以發現修正後的風速趨勢更為符合實測資料,因此在後續的颱風模擬上,便使用這組係數作為風速修正的依據。而在颱風剖面形狀係數 B,則是使用 1.5 作為模擬時使用的值。

目前使用 NOAA 預報風場搭配颱風模式可以得到不錯的風速模擬結果,但在風速較為強烈的部分仍因西太平洋範圍模式解析度過大及颱風預報路徑之精確度而無法模擬出精確的大小,未來在取得中央氣象局的動態預報風場以及增加模式解析度後,應能得到更準確的風速模擬值。

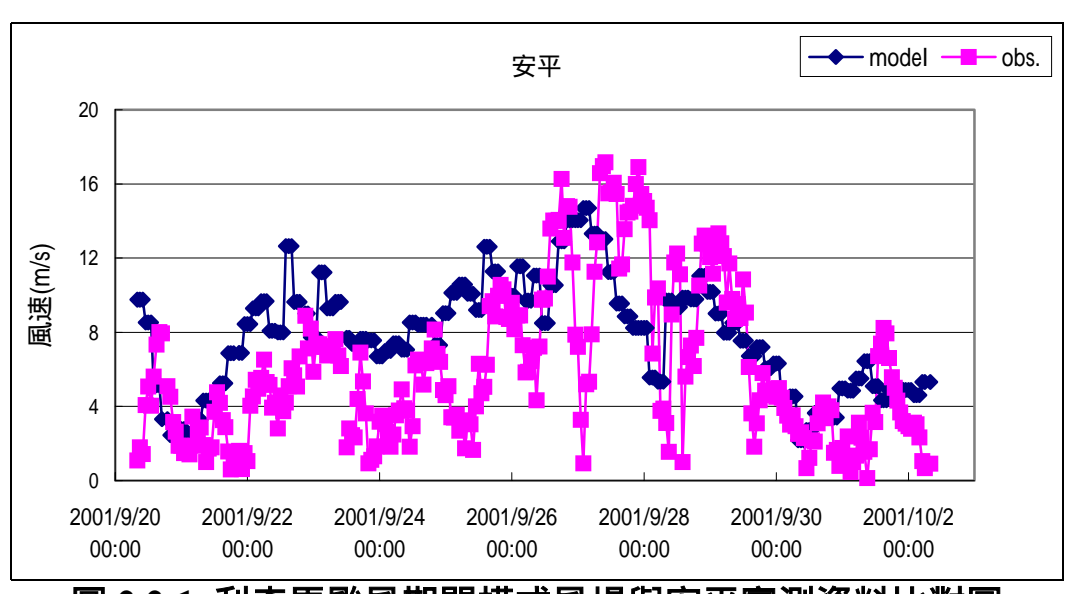


圖 2.2-1 利奇馬颱風期間模式風場與安平實測資料比對圖

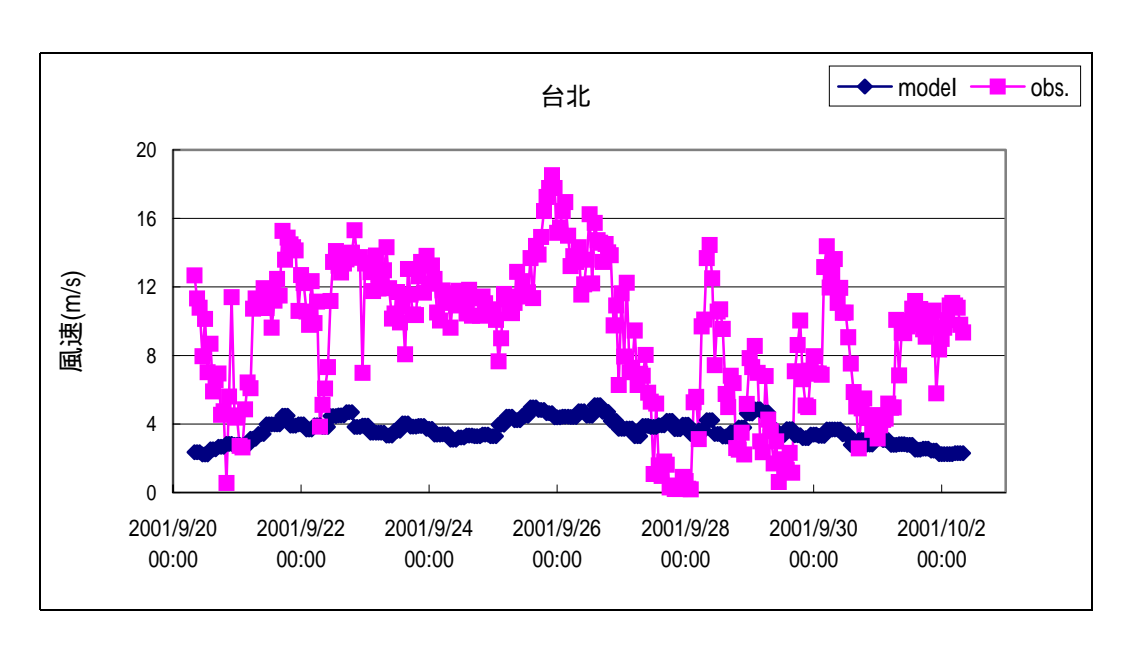


圖 2.2-2 利奇馬颱風期間模式風場與台北實測資料比對圖

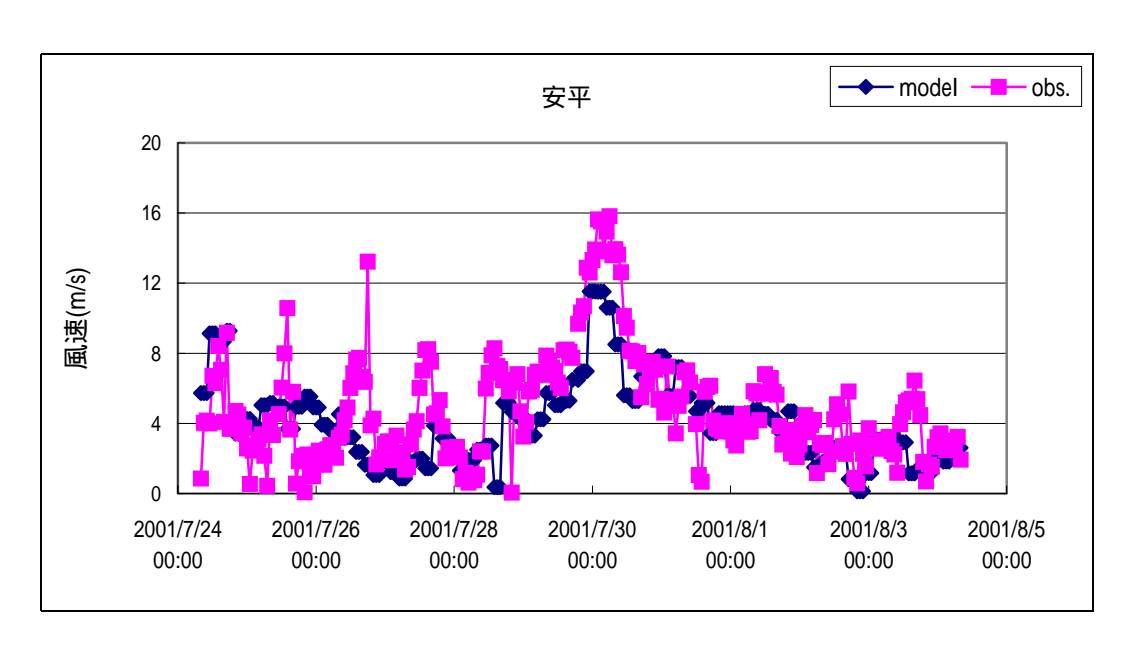


圖 2.2-3 桃芝颱風期間模式風場與安平實測資料比對圖

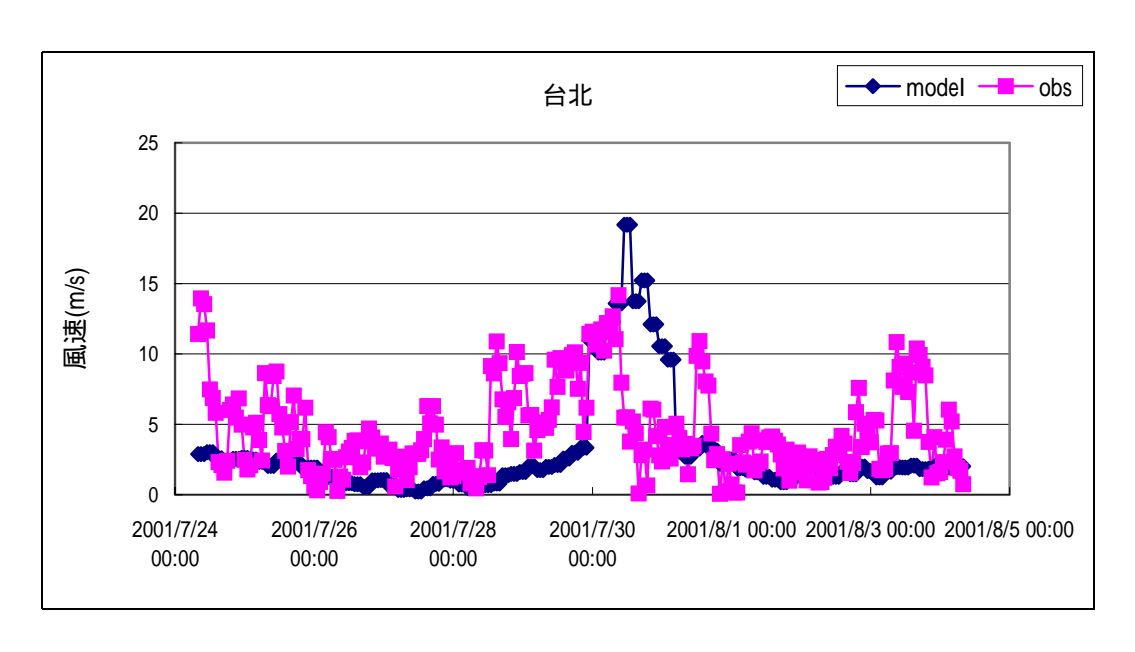


圖 2.2-4 桃芝颱風期間模式風場與台北實測資料比對圖

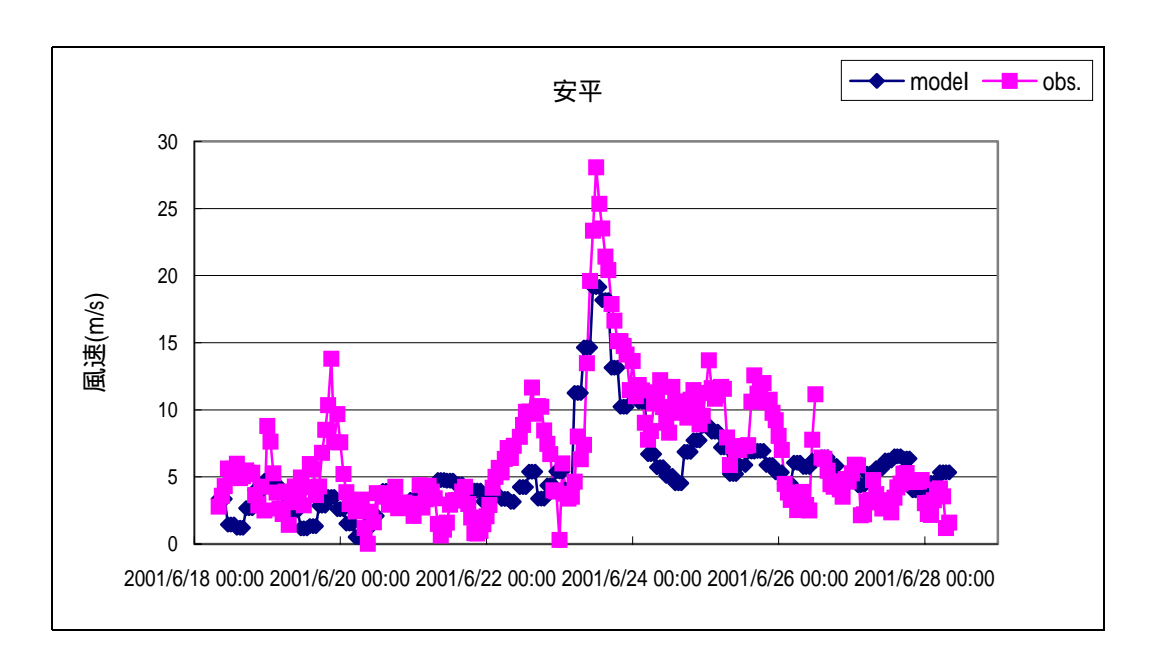


圖 2.2-5 奇比颱風期間模式風場與安平實測資料比對圖

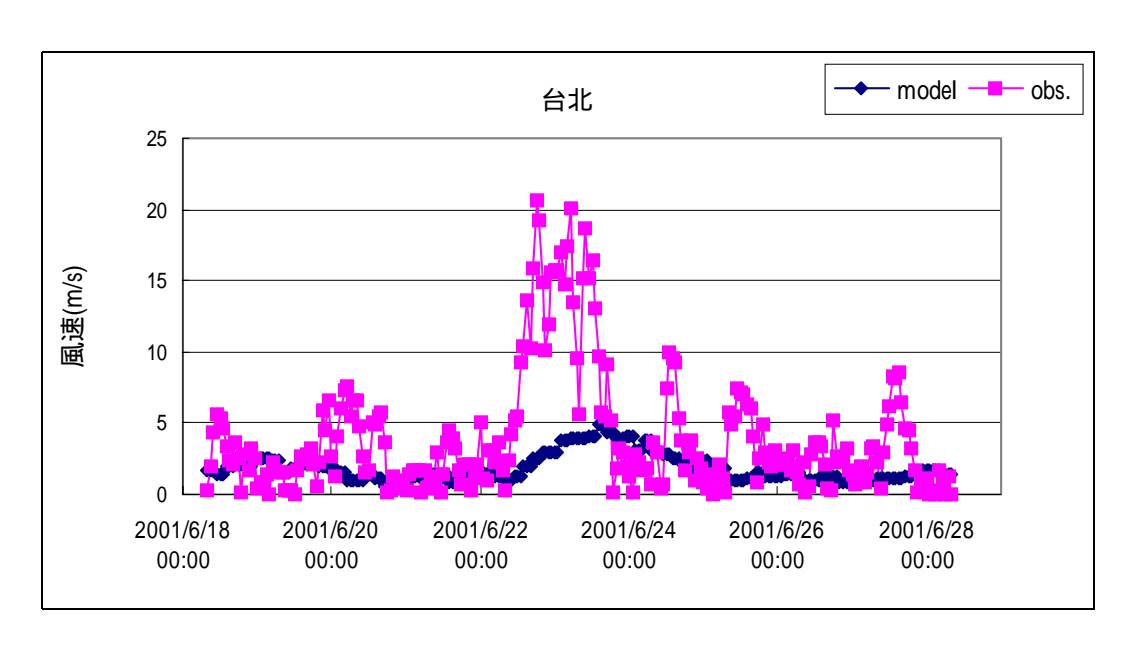


圖 2.2-6 奇比颱風期間模式風場與台北實測資料比對圖

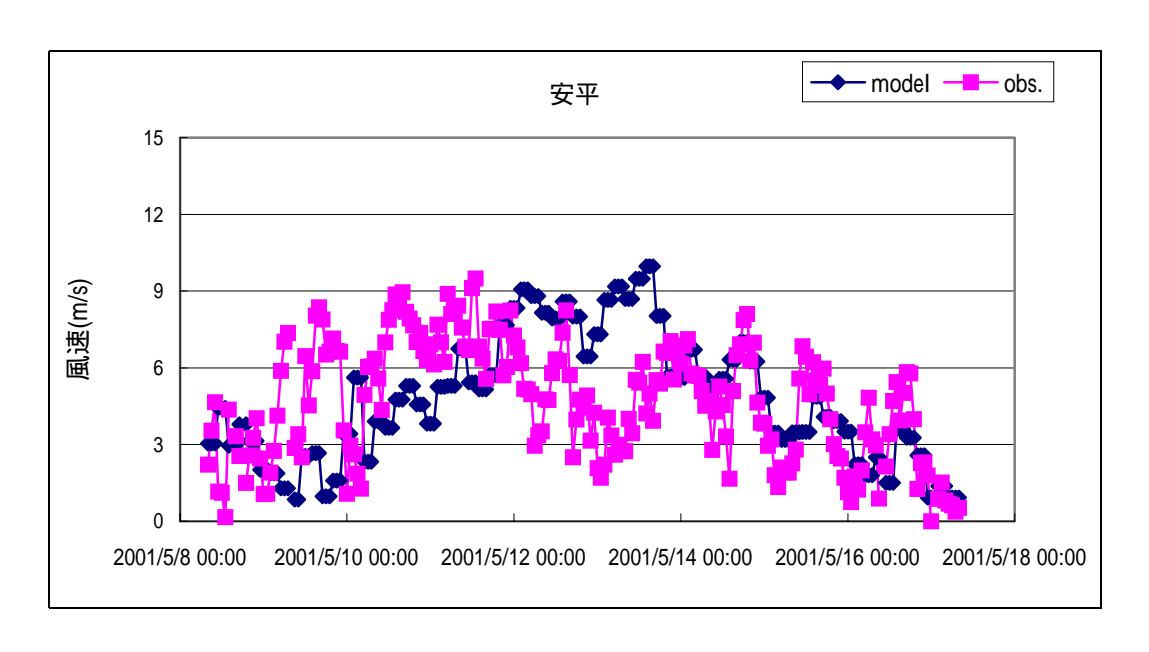


圖 2.2-7 西馬隆颱風期間模式風場與安平實測資料比對圖

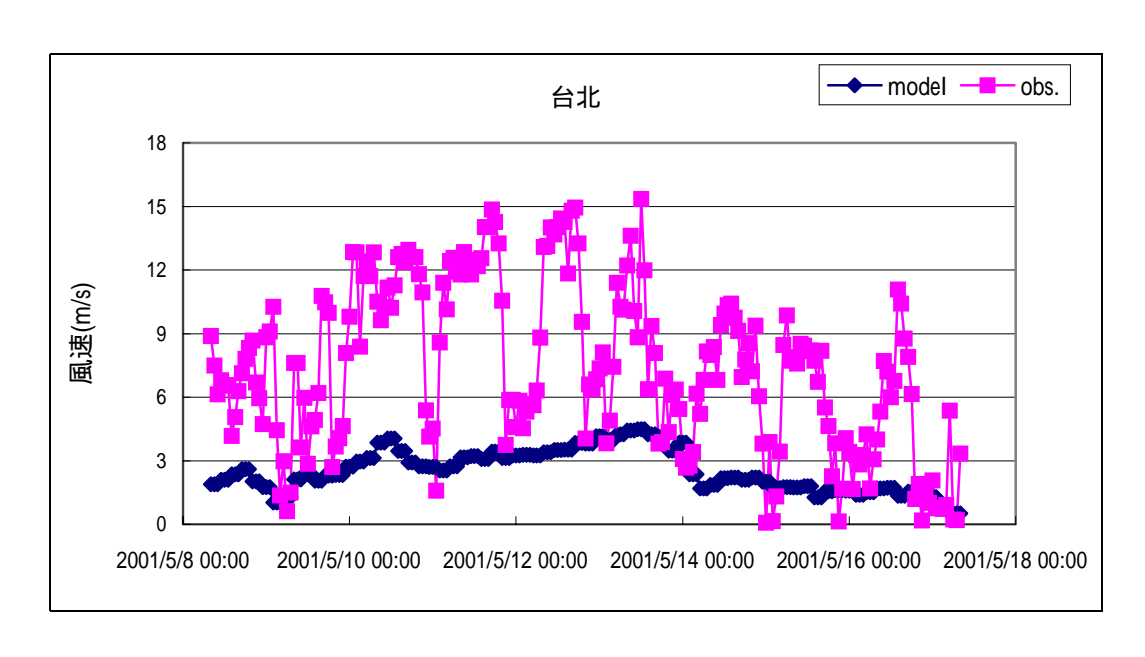


圖 2.2-8 西馬隆颱風期間模式風場與台北實測資料比對圖

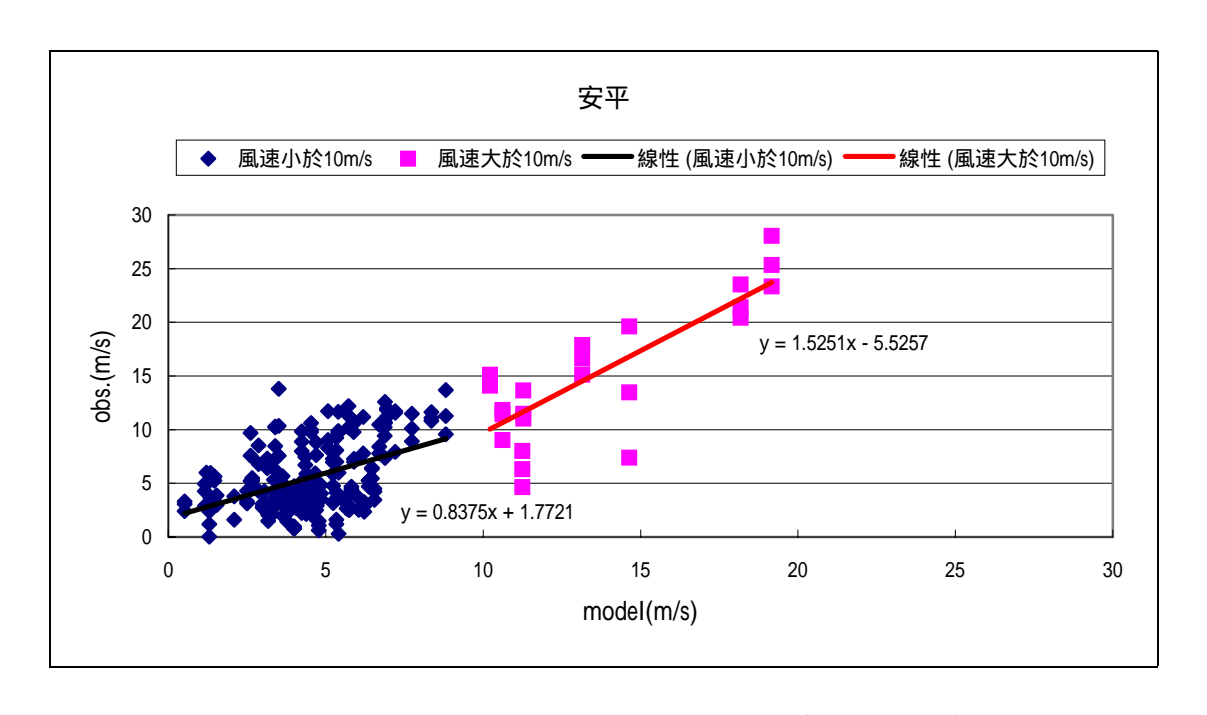


圖 2.2-9 桃芝颱風期間未修正之模式風場與安平實測資料趨勢圖

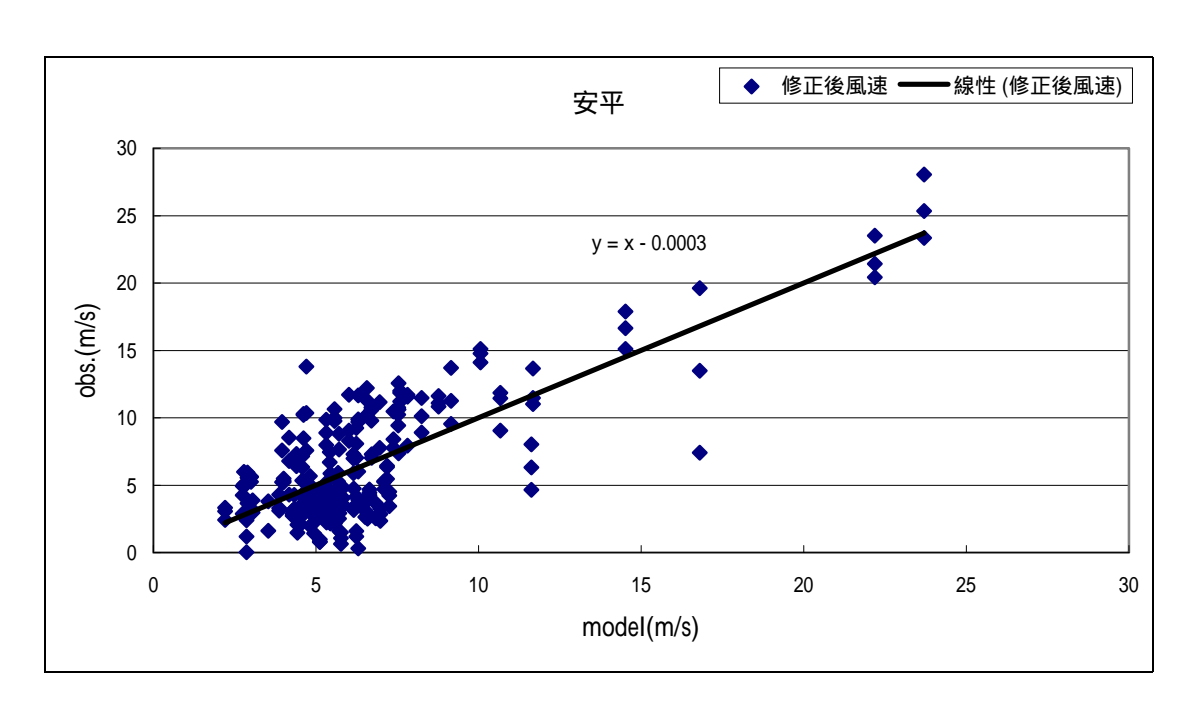


圖 2.2-9 桃芝颱風期間修正後之模式風場與安平實測資料趨勢圖

參考文獻

- 1. 徐月娟, 1996, 彌陀海域潮汐及暴潮之數值模擬, 行政院國家科學委員會專題研究計畫成果報告
- 2. Holland, G. J., 1980, An Analytic Model of the Wind and Pressure Profiles in Hurricanes. , *Monthly Weather Review*, Vol.108, p1212~1218.
- 3. Jelesnianski, C. P., 1965, A Numerical Calculation of Storm Tides Induced By a Tropical Storm Impinging on a Continental Shelf., *Monthly Weather Review*, Vol.93, No.6, p343~358.
- 4. Lai, C.-C. A.,1995, Probabilistic Forecast of Tropical Cyclone-generated Storm Surge With a Dynamic-statistical Approach. , *MTS Journal*, Vol.26, No.2, p33~42.
- 5. Powell, M. D., 1982, The Transition of the Hurricane Frederic Boundary-Layer Wind Field from the Open Gulf of Mexico to Landfall., *Monthly Weather Review*, Vol.110, p1912~1932.
- 6. Shea, D. J. and W. M. Gray, 1973, The Hurricane's Inner Core Region. I. Symmetric and Asymmetric Structure. , *Journal of the Atmospheric Science*, Vol.30, p1544~1564.
- 7. Shapiro, L. J., 1983, The Asymmetric Boundary Layer Flow Under a Translating Hurricane. , *Journal of the Atmospheric Science*, Vol. 40, p1984~1998.

第三章 波浪模式

台灣四面環海,夏季時熱帶海洋上的低氣壓容易形成颱風侵襲,冬季則有大陸高氣壓南下形成東北季風,本計畫應用 WAM 模式能快速模擬風浪能力與 SWAN 模式能解析近岸較小格網之功能,利用兩者相互配合模擬海面風浪,使用巢狀網格進行計算,可清楚模擬出颱風波浪於近岸處的分佈情形。此外,當外海波浪傳遞至近岸區,波浪除因水深變化而產生折射、繞射及淺化效應外,當結構物存在時,波浪亦將因繞射及反射而產生變形,本計畫亦以緩坡方程式解析七大港區的波浪分布情況。

本計畫定點風域推算半經驗颱風波浪(EXPV)模式係結合 Wilson(1955)之深海風浪及湯(1968)之淺海風浪經驗公式、颱風風場模 式以及湯(1970)所發展之移動風域數值推算方法而建立。 EXPV模式可 用於推算海岸前任意水深位置之波浪狀況(波高與週期),具有運算快速 之優點,於颱風侵台時本模式可提供即時之颱風波浪預警訊息,有利於 海岸防災預警作業。

3.1 全域風浪模式

3.1.1 WAM 及 SWAN 風浪模式理論介紹

目前使用的 WAM 模式經 WAMDI Group (1988) 在模式的物理 過程和數值方法上加以改良,適用於遠域風浪之預報。WAM 模式所使 用的基本方程式為波浪能量平衡方程式,此方程式能描述方向波譜在時間及空間領域的變化過程。WAM 模式所使用的基本方程式為波浪能量 平衡方程式,其表示為:

$$\frac{\partial E}{\partial t} + \frac{1}{\cos \phi} \frac{\partial}{\partial \phi} (C_{\phi} E) + \frac{\partial}{\partial \lambda} (C_{\lambda} E) + \frac{\partial}{\partial \theta} (C_{\theta} E) = S$$
(3-1-1)

式中 E 波浪能量密度函數, ϕ 為緯度, λ 為經度, θ 為波浪角度, C_{ϕ} 、 C_{λ} 與 C_{θ} 分別為 ϕ 、 λ 與 θ 領域之傳遞速度,此方程式能描述方向

波譜在時間及空間領域的變化過程。這些變化過程包括風傳遞到波浪的波能輸入條件、白沫效應、底床摩擦和波、波之非線性交互作用。

由荷蘭 Delft 大學主導發展之波浪模式 SWAN (Simulating WAves Nearshore) (Booij 等人,1996),統合以往學者之研究再加以改良,模式具有第三代風浪模式的特徵,而在能量成長及消散項的參數選擇上比其他模式更具彈性,同時提供第一代、第二代與第三代的相關波浪成長與消散參數供使用者應用,可以計算波浪在時間與空間領域中之傳遞、淺化、波與波之間的非線性交互作用、波浪受風之成長、碎波與底床造成波浪能量衰減及波浪受到海流與地形變化而產生之頻率位移與折射,因此模式具有預報近岸海域風浪之功能。此模式也經過學者Holthuijsen 等人 (1997) 和 Booij 等人 (1998) 應用實測風浪資料加以驗證。而歐等人 (1999,2000,2001) 也曾利用 SWAN 模式對侵襲台灣之颱風風浪做過一系列之研究與模擬,並且已有初步成果。

SWAN 模式所用之控制方程式為求解二維之簡化波浪作用力平衡方程式 (action balance equation),如下式

$$\frac{\partial}{\partial t}N + \frac{\partial}{\partial x}C_xN + \frac{\partial}{\partial y}C_yN + \frac{\partial}{\partial \sigma}C_{\sigma}N + \frac{\partial}{\partial \theta}C_{\theta}N = \frac{S_{total}}{\sigma}$$
(3-1-2)

上式左側之第一項為運動波譜密度函數之時變項,第二與第三項為傳導項,第四與第五項分別表示由於地形與洋流所造成的波浪頻率位移與折射效應, $N(\sigma,\theta)=E(\sigma,\theta)/\sigma$ 為波浪作用力密度波譜 (action density spectrum), $E(\sigma,\theta)$ 為能量密度波譜 (energy density spectrum), σ 與 θ 分別表示成份波之頻率與角度, $S_{total}(\sigma,\theta)$ 表示波浪傳遞時可能發生之波浪能量成長、消散及非線性交互作用等物理現象之源函數。在波浪成長與消散之源函數項中,SWAN 模式提供了許多選擇,包括風浪線性成長項、風浪指數成長項、白沫消散項、四個波波非線性交互作用項、底床摩擦項、三個波波交互作用項、碎波消耗項等。

在 SWAN 波浪數值模式中,主要是利用有限差分法來求解,對於邊界之處理,SWAN 模式中假定波浪能量遇陸地邊界為完全消散,亦即無任何波浪能量反射,而外海開放邊界條件則假設沒有任何波能可以

由邊界外進入,且波能可以由邊界內自由離開計算領域。而本計畫計算針 SWAN 波浪模式所採用學說與參數設定值如表 3.1-1 所示

表 3.1-1 SWAN 模式學說與參數

波浪能量 授受機制	SWAN 模式所採用的學說與參數值
風的線性成長項	Cavaleri 和 Malanotte-Rizzoli (1981)
風的指數成長項	Komen 等人 (1984)
白沫消散項	Komen 等人 (1984)
	$\bar{s}_{PM} = 3.02 \times 10^{-3}$, $C_{ds} = 2.33 \times 10^{-5}$
四個波波交互作用項	Hasselmann 等人 (1985)
	$C_{nl4} = 3 \times 10^7$, $C_{sh1} = 5.5$
	$C_{sh2} = 6/7$, $C_{sh3} = -1.25$
三個波波交互作用項	Eldeberky (1996) $\alpha_{EB} = 0.1$
碎波消耗項	Battjes $\not = \text{Stive} (1985) r_b = 0.73$
底部摩擦項	Hasselmann 等人的 JONSWAP (1973)

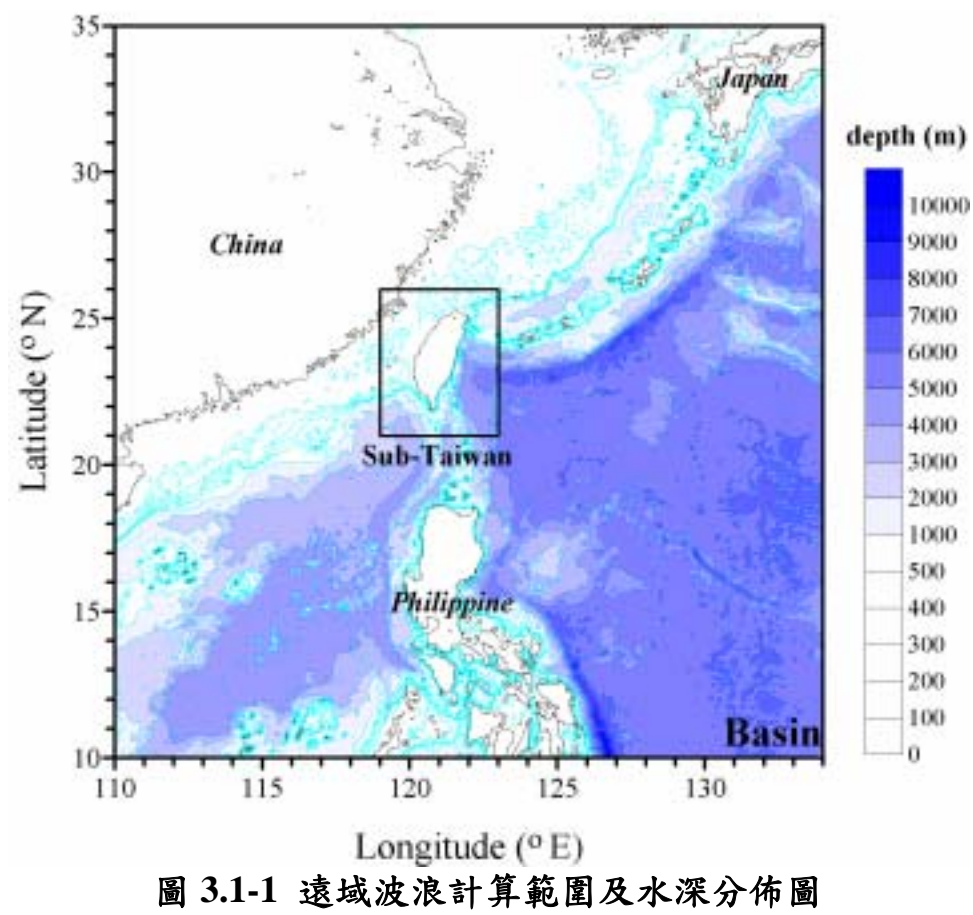
3.1.2 例子說明與應用

由於計算網格的大小會影響計算結果與精度,故其需要與解析問題互相配合。例如在模擬颱風波浪時,在颱風中心處所形成的波浪向外傳遞形成湧浪 (swell),其可傳遞至相當遠的距離,因此計算領域亦需夠大才可模擬此一現象。較小計算網格距離固然可以提高波浪解析的精度,但計算時間較長。此外在海岸工程的應用上,複雜的地形與多變的海岸線也需要較小的網格距離才能加以描述,使近岸推算處的波浪能達到適當精度。巢狀網格 (nested grid) 與非結構性網格的應用可以有效解決網格大小問題。較粗的網格應用在起始計算領域,使得計算能快速模擬大範圍的波浪演變,較細的巢狀網格可以插入其中,以適當模擬海岸之波浪變化,如此可以更精確地預報波浪,也可以有效率地解決問題。

經過去年計畫的經驗,並依照今年計畫的目標,將原先之波浪計算網格重新配置,以達成快速模擬風浪與提升精度的作業化目標。在波浪模式的網格配置區分成三層,分別為代表遠域之大型區域、台灣本島的

附近海域的中型區域及特定之小型區域。遠域計算利用適用於大範圍計算的 WAM 風浪模式進行,其計算範圍如圖 3.1-1 所示,圖中水深分佈資料來源為 ETOPO5 水深資料庫,計算範圍南至北緯 10° ,北至北緯 35° ,西至東經 110° 與中國大陸陸地為界,東至東經 134° ,計算範圍應足可包含台灣附近風浪的影響範圍,且可計算移動較為快速的湧浪,模式的格網大小為 $\Delta x = \Delta y = 0.2^\circ$,約為 20 公里,最小與最大頻率解析度為 0.05 Hz 和 1.0 Hz,並採指數遞增分佈共 25 個頻率帶,方向波譜之解析度則採用 $\Delta \theta = 15^\circ$,計算時間間隔為 $\Delta t = 5$ 分鐘。

本計畫應用 WAM 模式能快速模擬風浪能力與 SWAN 模式能解析近岸較小格網之功能,利用兩者相互配合模擬海面風浪,使用 WAM 模式模擬大範圍海域風浪演變,利用 SWAN 模式內插 WAM 模式所計算出來的二維頻譜,獲得小範圍 SWAN 模式所需之邊界入射條件,使用巢狀網格進行計算,可清楚模擬出颱風波浪於近岸處的分佈情形。 WAM 模式計算中大範圍及數位化水深如上所述,圖 3.1-1 中方框為 SWAN 模式計算範圍,而小範圍 SWAN 模式之計算範圍與數位化水深如圖 3.1-2 所示,水深資料來源為國家海洋科學研究中心之水深資料庫,南至北緯 21° ,北至北緯 26° ,西至中國大陸約在東經 119° ,東至東經 123° 。模式所應用的格網大小 $\Delta x = \Delta y = 0.04^{\circ}$ 約為 5 公里,最小與最大頻率解析度為 0.05 Hz 和 1.0 Hz,並採指數遞增分佈共 25 個頻率帶,方向波譜之解析度採用 $\Delta \theta = 15^{\circ}$,共計 24 個方位角,計算時間間隔為 $\Delta t = 10$ 分鐘。



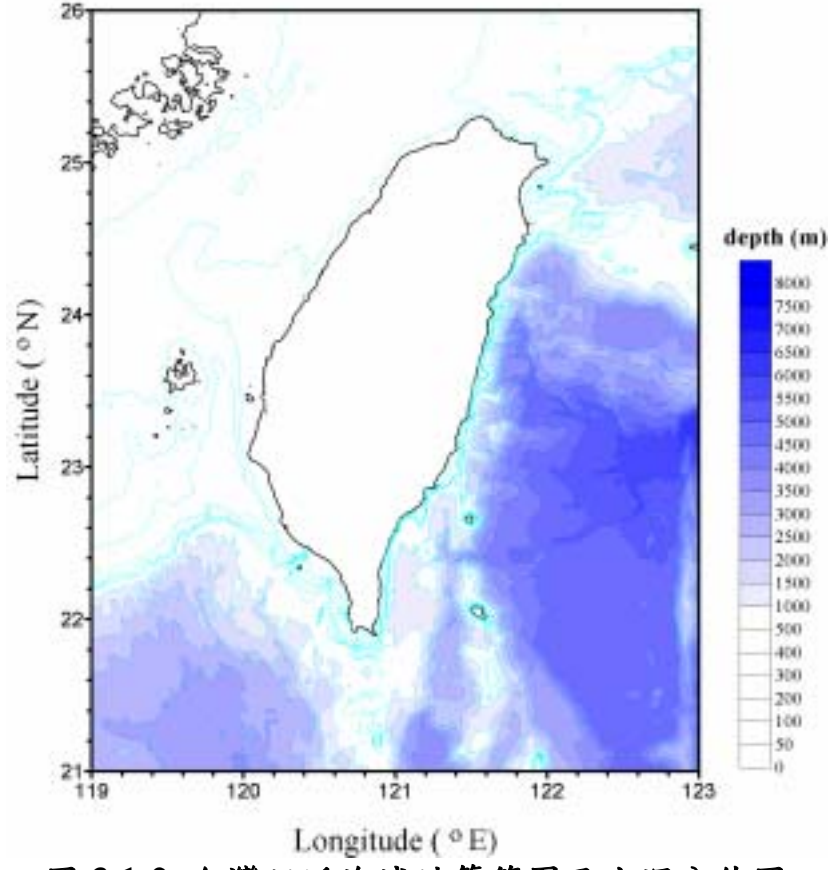


圖 3.1-2 台灣附近海域計算範圍及水深分佈圖

關於風浪模式所需之風場資料,可分為大氣動力模式所得的分析場與模型颱風模式所計算的預測場,本節以颱風為例,故利用模型颱風模式獲得所需的風場資料。由於風浪模式中的主要外力為風,有精確的風場輸入模式中才能獲致準確的風浪推算,而風的驅動力主要為氣壓梯度力,氣壓資料的來源除了大氣模式提供之外,另一個方式就是透過參數化之颱風風場模式來模擬颱風的風場。一般而言當颱風形成後,因其內部氣壓低導致環繞周圍的空氣由外邊的高壓處向低壓的氣旋中心流動,氣壓梯度差為主要的風場動力來源,因此在模擬颱風風場時必須掌握颱風當時大氣壓力之分佈及特性。

在模式驗證與應用方面,利用不同路徑侵襲台灣的颱風所產生的風浪來驗證模式適用性,根據歷年來 (1897~2001年) 侵襲台灣之颱風,其路徑由中央氣象局之颱風路徑分類法,大致上可分為九種。考量實測波浪資料來源與颱風路徑的代表性,在去年計畫中一共選擇六個颱風,如第二類路徑之 1996年質伯 (Herb) 颱風、第三類路徑之 2001年桃芝 (Toraji) 颱風、第四類路徑之利奇馬 (Lekima) 颱風、第六類路徑之 1998年瑞伯 (Zeb) 颱風、第七類路徑之奇比 (Chebi) 颱風、第八類路徑之 2001年西馬隆 (Cimaron) 颱風等,在期中報告中並不加以重述。

利用侵襲台灣的颱風所產生的風浪來驗證模式適用性,今年計畫中選取西元 2004 年妮妲 (Nida) 颱風,圖 3.1-3 為妮妲颱風路徑圖,由中央氣象局路徑分類中屬其他類路徑。圖 3.1-4 至圖 3.1-10 分別為基隆、蘇澳、花蓮、高雄、安平、台中與台北,七大港區外海側海域之示性波高與週期變化時序列圖,由於尚無實測資料可加以比較僅對計算結果看來,由於颱風路徑與台灣距離稍遠,除了東海岸側之港區最大示性波高約為兩公尺外,其餘港區皆為 1 公尺左右,而示性週期在颱風靠近期間出現 10 秒以上之長週期波浪。



圖 3.1-3 妮妲颱風路徑圖(資料來源:中國颱風網)

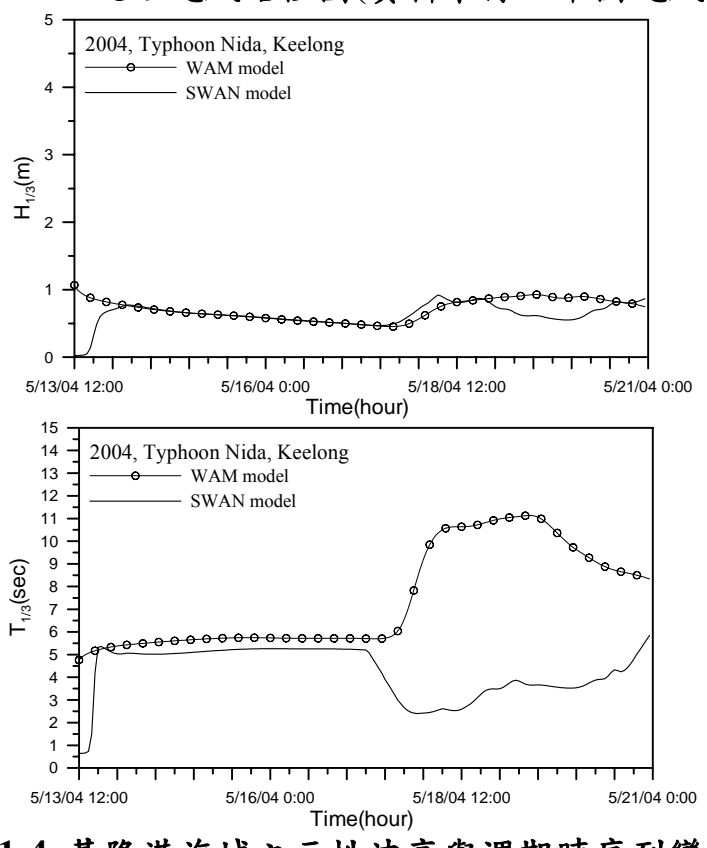
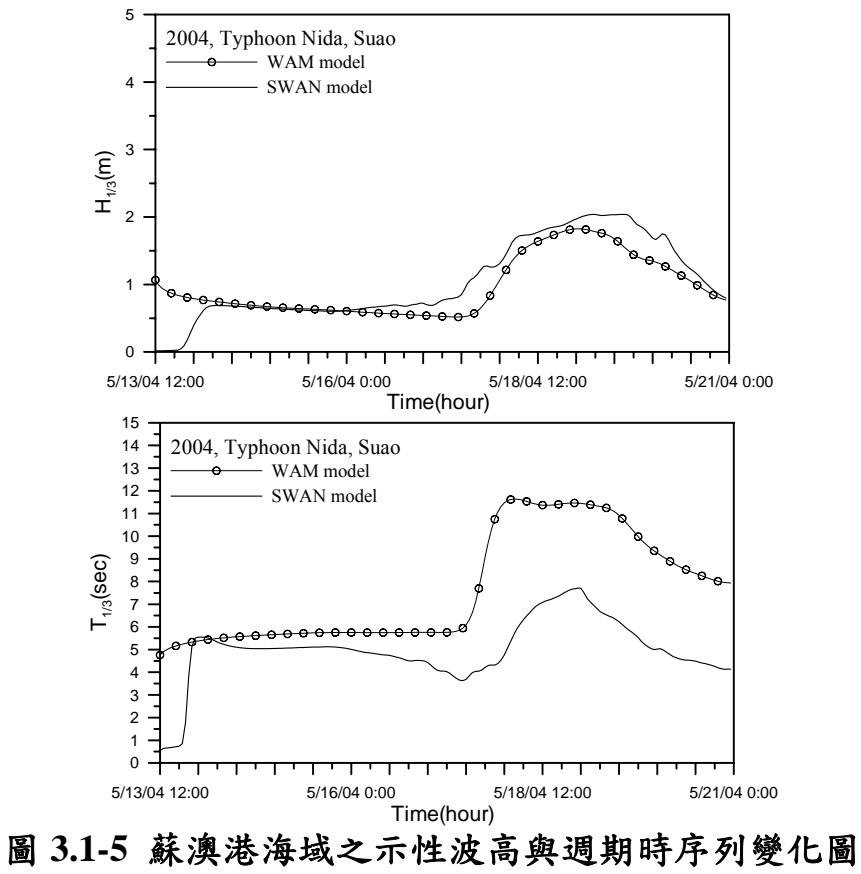


圖 3.1-4 基隆港海域之示性波高與週期時序列變化圖



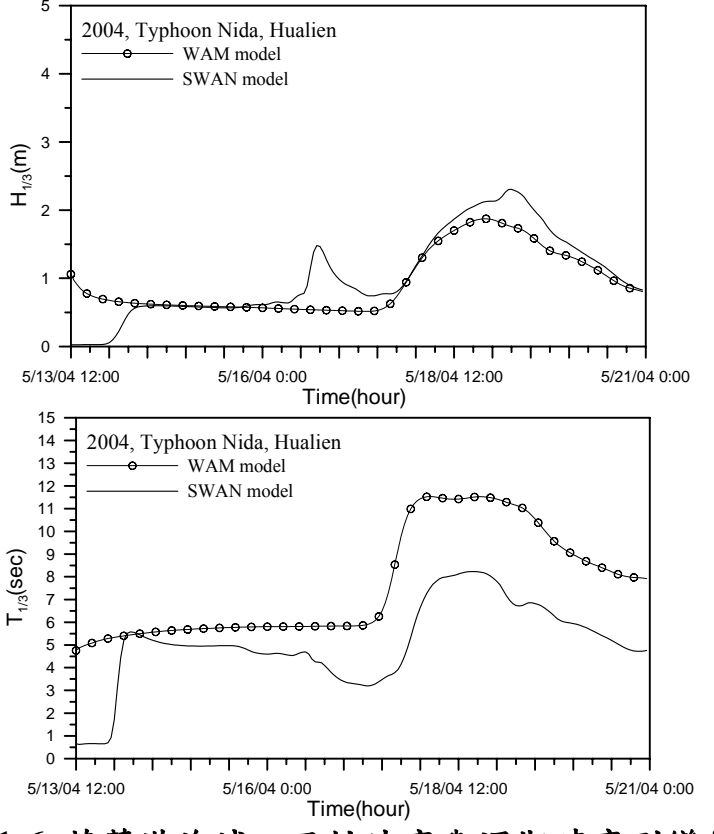


圖 3.1-6 花蓮港海域之示性波高與週期時序列變化圖

3-8

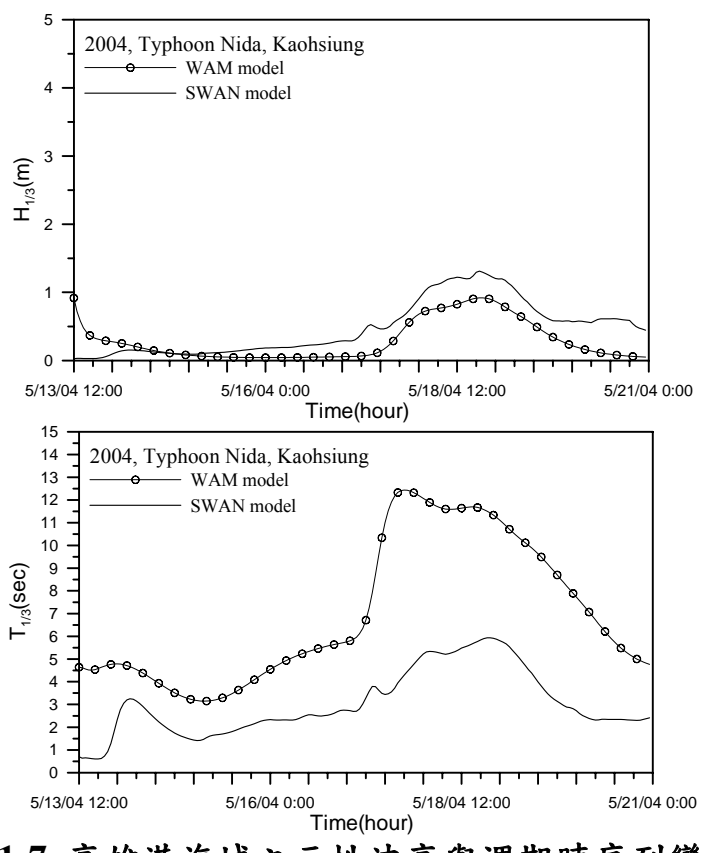


圖 3.1-7 高雄港海域之示性波高與週期時序列變化圖

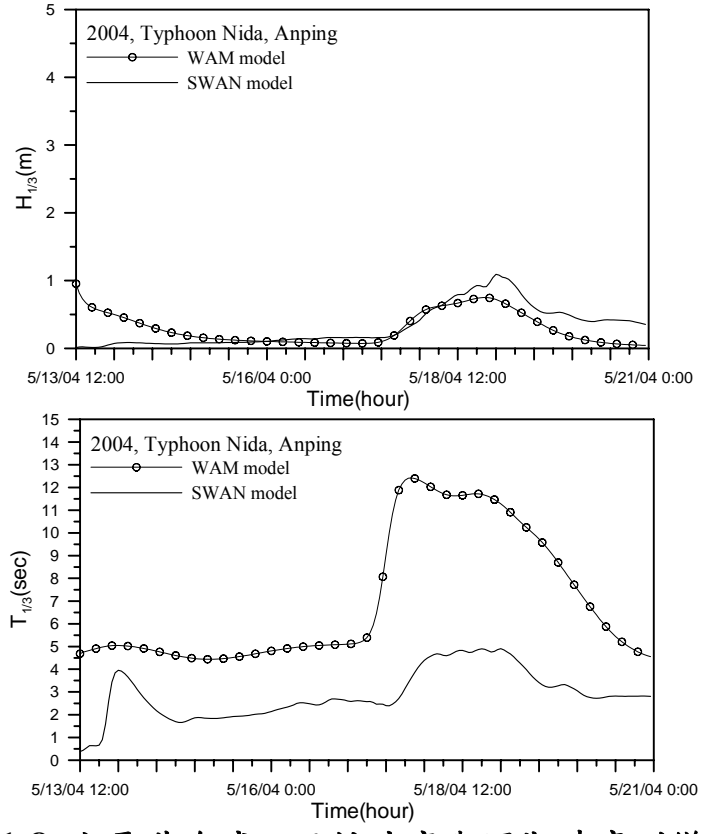


圖 3.1-8 安平港海域之示性波高與週期時序列變化圖

3-9

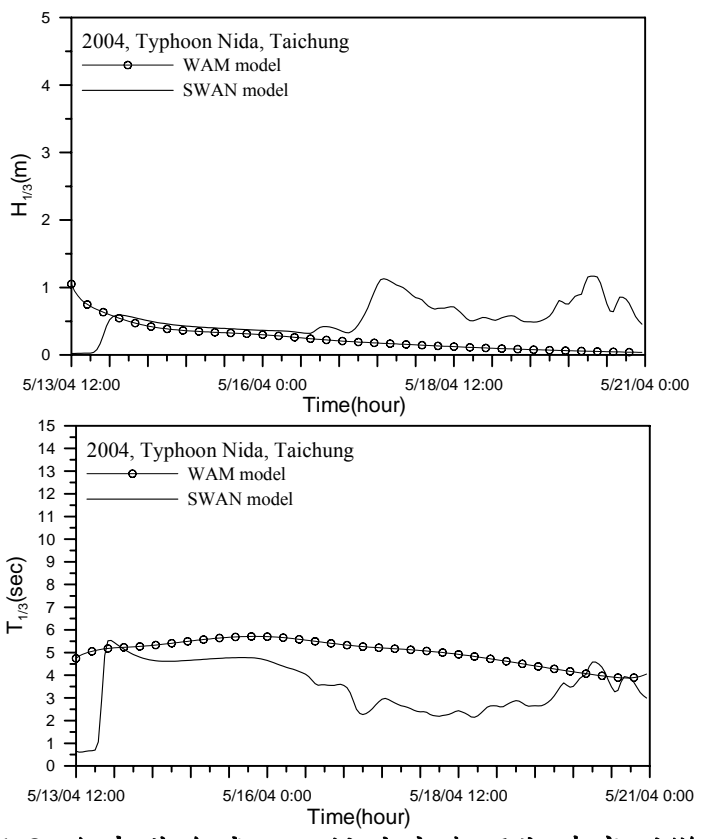


圖 3.1-9 台中港海域之示性波高與週期時序列變化圖

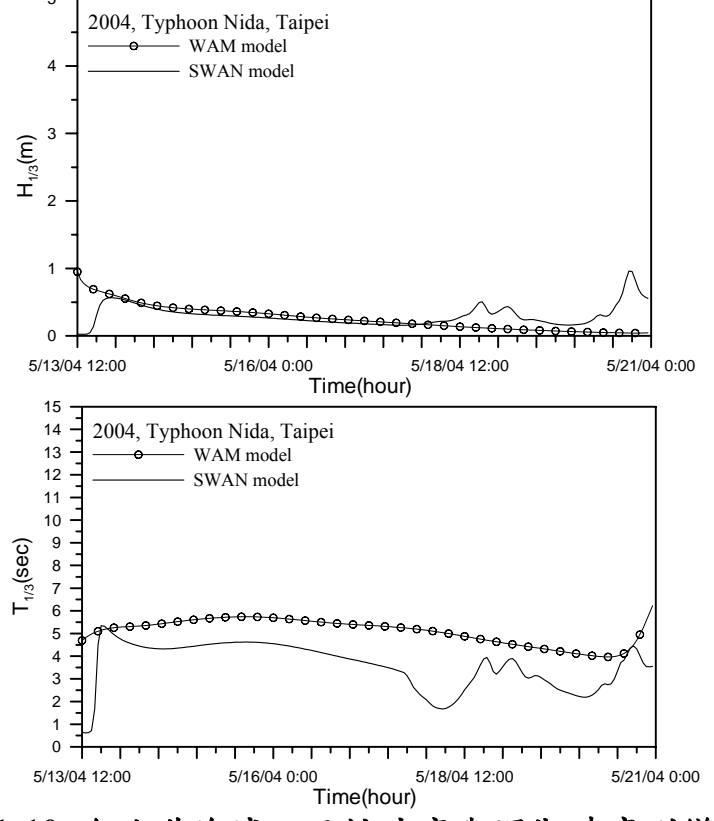


圖 3.1-10 台北港海域之示性波高與週期時序列變化圖

3- 10

3.1.3 討論

地球表面高低氣壓的對流,造成風力的擾動,使得海面出現波浪的起伏。台灣四面環海,夏季時熱帶海洋上的低氣壓容易形成颱風侵襲,冬季則有大陸高氣壓南下形成東北季風,考慮到遠域海面波動對於台灣附近海域之影響,故利用全區域的風浪模式進行模擬。風浪模式的選擇如節 3.1.2 所述,遠域方面以 WAM 模式計算,其能描述風傳遞到波浪的波能輸入條件、白沫效應、底床摩擦和波、波之非線性交互作用,於深水海域有相當良好的模擬能力。在近域方面以 SWAN 模式計算,其在波浪生長及消散項具有選擇性,包含風浪線性成長項、風浪指數成長項、白沫消散項、四個波波非線性交互作用項、底床摩擦項、三個波波交互作用項、碎波消耗項等,能描述近岸波浪受淺化、折射的影響,使近岸波浪推算更為精準。

在節 3.1.2 中簡述了遠域風浪模式及近岸風浪模式的結合方式,WAM 模式計算範圍涵蓋琉球群島、西太平洋、巴士海峽及台灣海峽,以較粗格網 ($\Delta x = \Delta y = 0.2^{\circ}$) 快速計算大範圍的波浪變化,並擷取台灣附近海域的二維頻譜(如圖 3.1-1 中方框所示),利用巢狀網格的計算方式,內插為較細格網 ($\Delta x = \Delta y = 0.04^{\circ}$) 的頻譜資料,作為 SWAN 模式計算之邊界輸入條件。較粗格網能縮短大範圍區域的計算時間,而 WAM 模式具有模擬深水波浪的能力,經內插所得巢狀格網的邊界條件亦具有相當的準確度;較細格網能滿足近岸複雜曲折的地形,配合 SWAN 模式模擬近岸波浪的能力,能使台灣附近海域波浪推算更為精準。

3.2 定點類神經網路波浪模式

台灣處於颱風發生及主要行進的區域,颱風的豪雨、強風及其引起的巨浪對漁撈、航運交通造成損害,甚至傷及人員,颱風所引起的巨浪亦為破壞港灣的重要因素。颱風發生過程及其運動,一般的數值模式難以精確地描述颱風波浪,但隨著模糊理論以及類神經網路理論的新科技發展,在分析非線性關係的方法上有相當大的改善後,模糊理論及類神經網路的技術也被普遍的應用至各種工程領域。本研究使用的倒傳遞類神經網路(Back-Propagation Neural Network, BPN),屬於前向監督式學習網路,其基本原理是利用疊代修正誤差函數而使誤差函數達到最小。倒傳遞類神經網路的總體運作學習方式有兩種,一為學習過程,就是網路依既定的學習演算法,從使用的輸入資料中學習,並藉以調整網路連結的加權值;使得網路演算結果與目標輸出值相同。本類神經網路預報模式系統的建構,學習資料根據波浪資料及氣象資料觀測站實測數據,以既定的網路模式進行結構上的調整及修正。

3.2.1 前言

波風浪的生成、發展、傳遞及減衰過程,主要與風的規模及強度關係最為密切,而波浪傳至近岸則受海底地形的影響較大。在台灣地區季節性的氣候影響波浪包括夏季的熱帶氣旋、颱風,冬季的東北季風等。

台灣處於颱風發生及主要行進的區域,颱風的豪雨、強風及其引起的巨浪對漁撈、航運交通造成損害,甚至傷及人員,颱風所引起的巨浪亦為破壞港灣的重要因素。颱風發生過程及其運動,一般的數值模式難以精確地描述颱風波浪,但隨著模糊理論以及類神經網路理論的新科技發展,在分析非線性關係的方法上有相當大的改善後,模糊理論及類神經網路的技術也被普遍的應用至各種工程領域。

對於描述非線性系統較常使用的方法包括類神經網路(NN)、模糊理論 Fuzzy system (FS) 及遺傳演算法 genetic algorithms (GA),或依使用目的將三者相互的混和使用,其中又以類神經網路與 模糊理論 在

目前海洋工程與大氣科學的應用最為廣泛。Hajime (1995)利用類神經網路的辨識及分類的能力,以經驗公式提供訓練類神經網路的資料,判定危險與穩定安全,來檢定對海堤的穩定度。Deo(1999)以多個區域的波浪資料,利用區域間相互的關係,以類神經網路建構出一個固定區域波浪預報模式。Lee 和 Liu (1999)利用衛星影像數位化,藉由類神經網路的辨識能力辨識熱帶低壓、氣旋及颱風並進行分類以作為預報颱風的參考。Johnson 和 Lin (1996)利用倒傳遞類神經網路學習並且推測颱風運動路徑,並且與 ARIMA 作一比較,由比較的結果發現倒傳遞類神經網路有較好的推算結果。Hiraoka 等人(1999)模式中利用兩個模糊規則的運算,模糊規則中包括了颱風位置、颱風行進方向等交互作用規則,期望能對颱風的行進位置進行推測,達到預警的目的。

3.2.2 類神經網路

類神經網路預報模式系統的主要核心,採用類神經網路理論及模糊 理論合併應用。類神經網路具備著一些優良的特性其中包括(1)高速 的計算能力(2)自我學習能力(3)高容量的記憶力(4)容錯的能力。 人工神經元輸出值與輸入值的關係式,可以表示如下:

$$Y_i = f\left(\sum_j W_{ij} X_j - \theta_i\right) \tag{3-1}$$

Y: 人工神經元模型的輸出訊號。

f:人工神經元模型的轉換函數 (transfer function),將人工神經 元的輸出,經由轉換函數處理後,得到輸出訊號。

 W_{ij} :人工神經元模型連結加權值。

 X_i :人工神經元模型的輸入訊號。

 θ_i :人工神經元模型的閥值。

本研究使用的倒傳遞類神經網路 (back-propagation neural network, BPN),屬於前向監督式學習網路,其基本原理是利用最陡坡

降法(gradient steepest descent method),疊代修正誤差函數而使誤差函數達到最小。倒傳遞類神經網路的總體運作學習方式有兩種,一為學習過程,就是網路依既定的學習演算法,從使用的輸入資料中學習,並藉以調整網路連結的加權值;使得網路演算結果與目標輸出值相同。本類神經網路預報模式系統的建構,學習資料根據波浪資料及氣象資料觀測站實測數據,以既定的網路模式進行結構上的調整及修正。

另一種為回想過程,網路依照設定的回想法則,以輸入資料來決定網路的輸出值並進行驗證的工作,在這個部分利用未經類神經網路預報模式系統訓練學習的資料,進行類神經網路預報模式系統的計算、預測能力驗證。

3.2.3 類神經網路颱風波浪預報模式

對特定台灣區域目前發展的類神經網路預報模式系統,針對颱風波 浪的推算歷年的研究包括:

(1)台灣東部波浪預警系統之應用研究—港外波浪動態特性(2000)

颱風波浪推算模式採用類神經網路,將學習颱風資料在類神經網路 結構的輸入、隱藏、輸出分別建立了串聯及並聯類神經架構的兩個推算 模式,並同時考慮1個小時波浪延時的效應。由結果發現此兩種模式除 了可提高波浪推算的能力,對於相似路徑及規模相仿的颱風具有較高推 算的能力,但對於未學習過的颱風,推算的颱風波浪還有較大的誤差。

(2)台灣地區波浪預警系統之應用研究(2001)

颱風波浪推算模式利用模糊網路建立颱風波浪資料與颱風運動的 模糊邏輯關係,將颱風運動型態進行分類,再配合6個小時的延時輸入 的類神經網路組成一個完整模組化的學習模式,利用波浪及颱風資料來 增加模式的記憶及判斷能力。此計畫提出模組化的學習模式,可以隨時 加入不同型態的颱風或波浪資料當作資料庫,而能提供推算模式運算的 參考,增加推算不同型態颱風之颱風波浪的能力。

(3)台灣港灣地區颱風波浪推算之應用研究(2002)

颱風波浪推算模式主要結構是混和(Hybrid)模糊理論及類神經網路,推算模式的重點為滿足各個港口的地理環境特性及相對台灣地形的氣象關係,另一個重點是對颱風的機制或特性建立與各個測站間的關係,以提高模式應用的範圍及推算的準確性。

(4)台灣港灣地區颱風波浪推算之應用研究(二)(2003)

颱風波浪推算模式結構混和模糊理論及類神經網路外,並對推算模式各個港口的地理環境特性及相對台灣地形的氣象關係進行修正,此外對颱風風場作用的機制或特性,修正、建立與各個測站間的關係,以提高模式應用的範圍及推算的準確性。

由相關文獻的研究結果,建構類神經網路預報模式系統的結構如圖 (3.2.1)所示,波浪預報模式主要由三個部分主成,首先是風浪的推算 模式,將以風場分佈為主要參考實測資料而建構,湧浪推算模式的建 構,將以大氣氣象資料及波浪實測數據為主要參考資料,最後藉由類神 經網路將風浪及湧浪模式計算的結果整合,推算出觀測站的波浪資料。

對於推算結果準確度提升方式將分為兩個方向,一是將颱風風場模式與陸地間互動關係進行分析,修正影響風場變化的方式,另一個方向為多方收集颱風波浪資料,藉由學習的過程改善類神經網路的推算精確度。

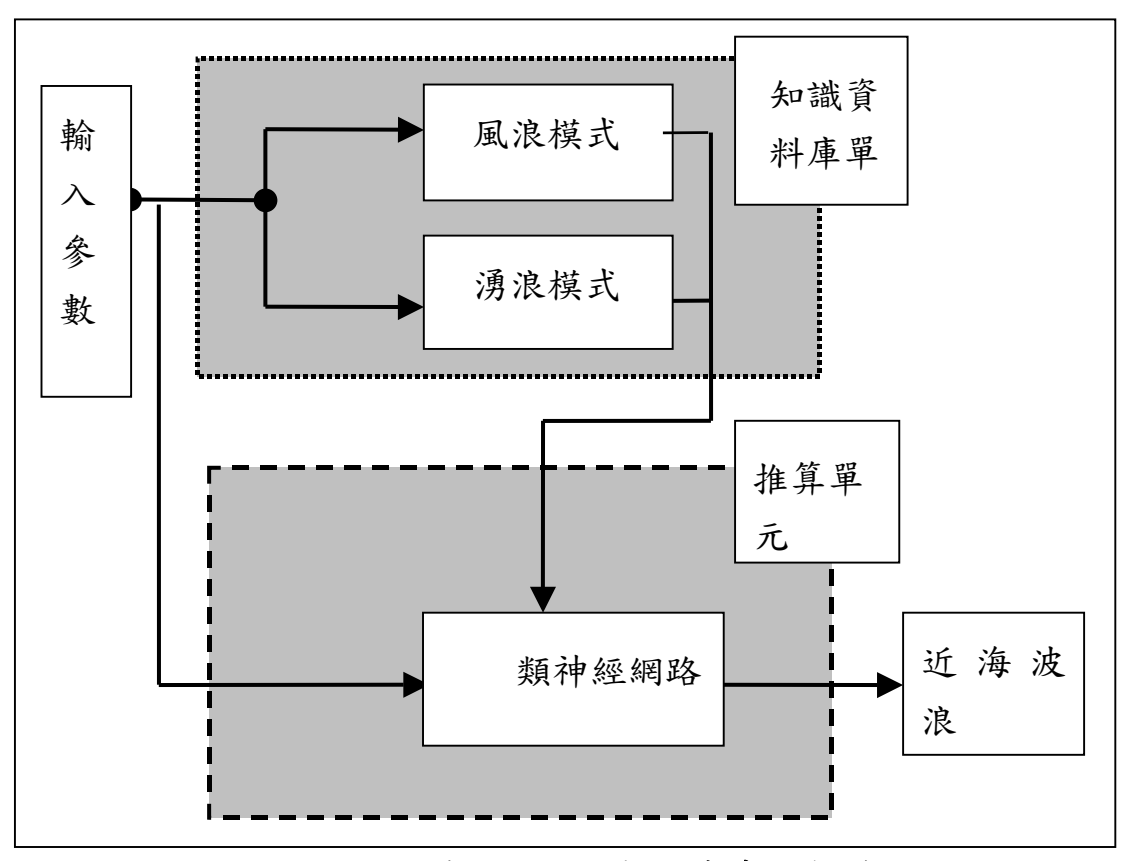


圖 3.2-1 類神經網路預報模式系統架構

為了提高波浪推算模式推算的穩定性,並且增加模式應用的範圍, 模式建構的主要架構延續採用本計畫『規劃海象觀測網、暴潮數值最佳 網格化系統』(2003)第一年期的類神經模式架構外並將此波浪推算模式的架構作為修正模式建立的核心,由已知的研究成果對波浪推算模式的架構進行修正,另加入了12個虛擬的颱風海面上10公尺風速觀測點,藉以對觀測站海域風場分佈及變化有更問全的描述與反映,並將此模式的架構發展成為模組化,藉以應用在颱風波浪、水位的推測甚至模式的資料同化。12個虛擬觀測站位置如圖(3.3.2)所示

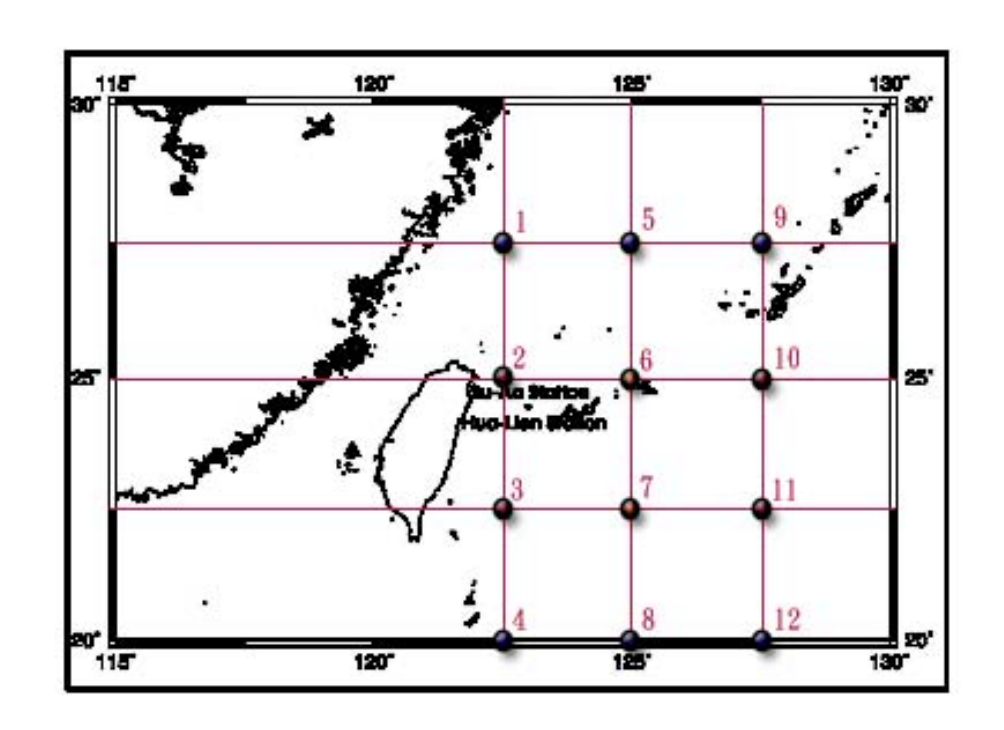


圖 3.2-2 12 個虛擬觀測站位置

由Holland (1980)等文獻的討論分析了解風速 V_{10} 是提供及影響颱風波浪能量主要的因素,而颱風的路徑及行為是影響颱風波浪變化的另一個因素,在固定位置上同樣的颱風規模及運動方向不同的路徑也將有不同發展的颱風波浪。隨著波浪接近海岸時在複雜地形及海流的交互作用下,更增加了計算在近岸颱風波浪的困難度,為了簡化能量方程式的架構,對於固定區域 t_j 時刻颱風波浪推算總和能量S的能量交換在行為、規模相似的颱風條件下,可以表示為過去颱風資料 V_{10} ,r, θ , θ ₁的函數線性組合:

$$S(t_j) = \sum_{i=0}^{j} a_i f_1(V_{10}, r, \theta, \theta_1; t_i)$$
(3-2)

式(3-2)中 a_i 為係數, f_1 為函數, t_j 為時間。根據以上的能量平衡觀念, t_j 小時的颱風波浪為內能量S的函數:

$$H_{1/3}(t_j) = \sum_{i=0}^{j} b_i f_2 [S(t_i)]$$
 (3-3)

結合式(3-2)及式(3-3)可表示颱風波浪之示性波高為不同時間 V_{10},r,θ,θ_1

的函數

$$H_{1/3}(t_j) = \sum_{i=j-m}^{j} c_i f(V_{10}, r, \theta, \theta_1; t_i)$$
(3-4)

式(3-4)中m表示颱風開始影響颱風波浪的時間,即t,時刻的颱風波浪只受過去m小時內的颱風行為影響, m即為計算颱風波浪資料的延時時間。配合 12 個虛擬風速觀測站,式(3-4)可以寫成式(3-5)。本文將針對式(3-5)的架構建立類神經網路模式,利用收集的颱風氣象與波浪資料進行類神經網路模式的測試與驗證,並以式(3-5)的架構建立類神經網路模式。

$$H_{1/3}(t_j) = \sum_{i=j-m}^{j} c_i f(V_{10}, V_{(1)10}, \dots, V_{(12)10}, r, \theta, \theta_1; t_i)$$
(3-5)

類神經網路模式採用到傳遞量神經網路架構,關於到傳遞神經網路 的理論與演算在文獻中有詳細的說明與推導,具有一個隱藏層的倒傳遞 類神經網路通常表示為:

$$O_{P\times 1} = f(W_{S\times R}I_{R\times 1} + b_{S\times 1})$$
(3-6)

其中 $O_{P\times I}$ 為神經網路具有P個向量的輸出矩陣,f為轉移函數, $I_{R\times I}$ 為具有R個向量的輸入矩陣, $W_{S\times R}$ 為具有S個神經元的神經網路權重矩陣, $b_{S\times I}$ 為網路偏權值矩陣,而式(3-6)簡單的表示方法為"S-P",所以具有1個輸入項,2個隱藏層神經元的個數分別為 10×20 ,一個輸出單元時,簡單的表示法為1-10-20-1。

式(3-2)及式(3-3)中的 V_{\max} 、 V_f 、 V_{10} 、 $V_{(1)10}$ $V_{(12)10}$ 、r 具有連續的特性, θ 為颱風中心與波浪推算位置的方位角,在颱風行進的路徑可能發生角度不連續的現象,因此類神經網路採用兩個隱藏層的架構解決不連續的問題,若將颱風示性波浪與週期合併考量於推算模式時,因此類神經網路模式可以表示為

$$O_{1} = f_{1}(W_{S2\times S1} \cdot f_{1}(W_{S1\times (R^{*}n)}[I_{1R\times 1}]_{n\times 1} + b_{S1\times 1}) + b_{S2\times 1})$$
(3-7)

模式的輸出 $O_1=\begin{bmatrix}H_{1/3}\\T_{1/3}\end{bmatrix}$,輸入函數, $I_1=[V_{10},V_{(1)10},....V_{(12)10},r,\theta,\theta_1]^T$,輸入資料延時 $\mathbf n$ 。

3.2.4 模式操作

對於類神經網路學習資料的收集目前以花蓮港的颱風波浪資料收集較為完整,模式操作的部分將以花蓮港為模式推算的測試港口,並利用花蓮港波浪推算模式推算鄰近的蘇澳港,藉以瞭解模式推算的能力。

首先將今年發展的模式命名為 Model 2004,去年的波浪推算模式為 Model 2003,在相同學習條件下進行模式驗證的工作,驗證的颱風資料的方式分成兩個部分:(1)花蓮港颱風資料驗證,包括 Fred (1994)颱風、 Haiyan (2001)颱風。(2) 花蓮港波浪推算模式推算蘇澳港颱風波浪 Maggie (1999)颱風。

花蓮港颱風波浪資料驗證首先是 Fred (1994)颱風,兩個波浪模式 Model 2003 、Model 2004 與觀測值之颱風波浪示性波高歷線比較,如 圖所示 (3.3.3),在不考慮陸地對颱風風場的影響下,兩個波浪推算模式有相近的推算結果,而 Model 2004 的波浪變動趨勢較 Model 2003 更接近觀測值。Haiyan (2001)颱風,兩個波浪模式 Model 2003 、Model 2004 與觀測值之颱風波浪示性波高歷線比較,如圖所示 (3.3.4),在颱風接近台灣時颱風波浪逐漸成長,在這個階段兩個波浪推算模式有相近的推算結果,而 Model 2004 的波浪平均變動趨勢較 Model 2003 更接近觀測值,兩個推算模式在颱風波浪最大時的估算相近,颱風遠離時 Model 2004 的波浪消退趨勢較 Model 2003 大。

接著利用花蓮的波浪推算模式進一步推算鄰近蘇澳港的颱風波浪行為,這個部分是利用 Maggie (1999)颱風進行驗證,兩個波浪模式 Model 2003 、Model 2004 與觀測值之颱風波浪示性波高歷線比較,如圖(3.3.4)所示,在颱風接近台灣時颱風波浪逐漸成長,在這個階段模式的最低季節波浪採用 1 公尺,因此兩個波浪推算模式的推算結果皆大於實測波高值,而 Model 2004 的波浪平均變動趨勢較 Model 2003 更接近觀測值,兩個推算模式在颱風波浪最大時的發生位置與颱風遠離時的波

浪消退趨勢 Model 2004 皆較 Model 2003 接近實測波高值。

因此,颱風波浪推算模式再不增加學習資料的數量條件下,經過架構的修正能夠逐步提升推算的準確性。以此類神經架構應可滿足水位推算以及資料同化的目的。

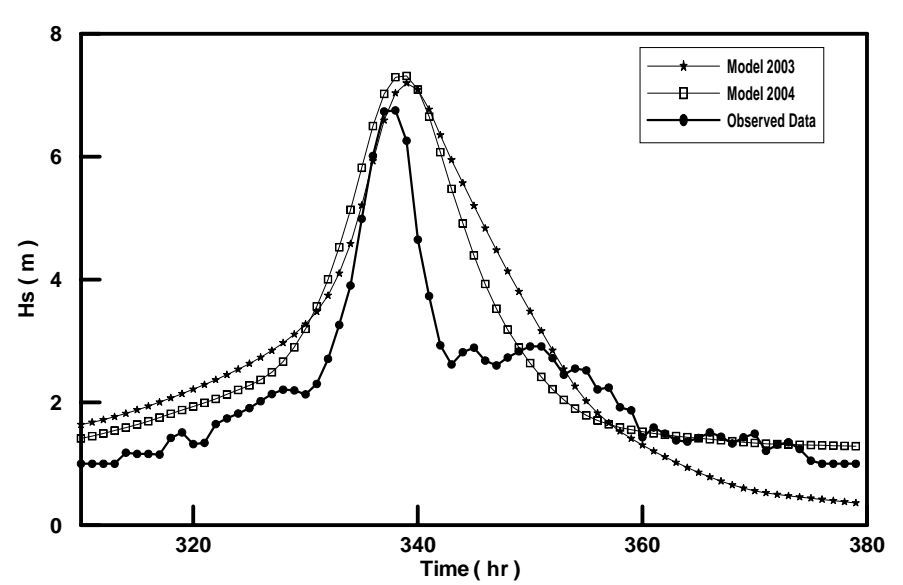


圖 3.2-3 Fred (1994)颱風示性波高 Model 2003 、 Model 2004 與觀測值比較

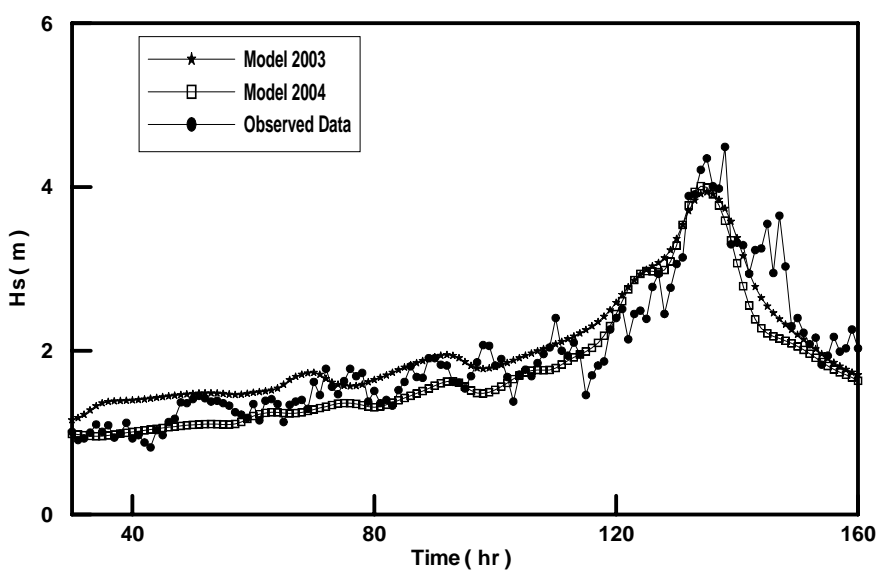


圖 3.2-4 Haiyan (2001)颱風示性波高 Model 2003 、 Model 2004 與觀測值比較

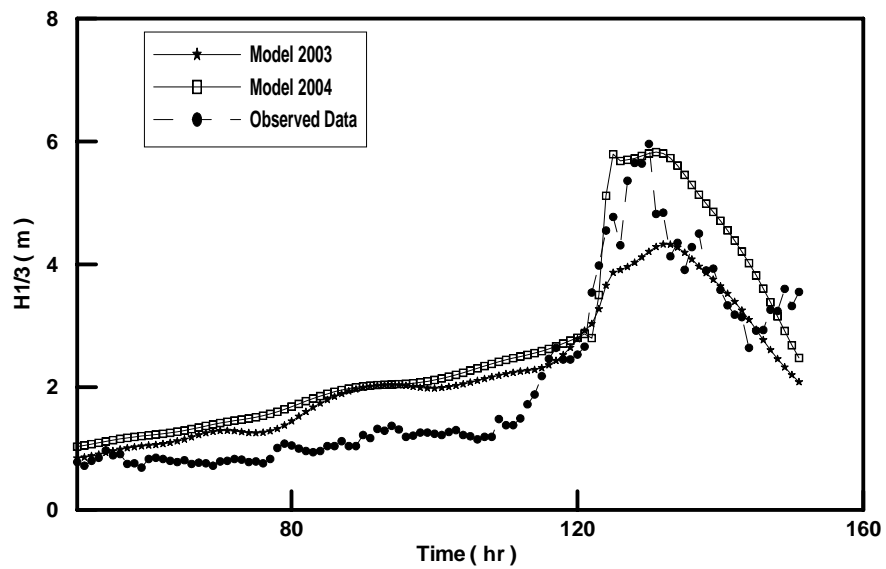


圖 3.2-5 Maggie (1999)颱風示性波高 Model 2003 、 Model 2004 與觀測值比較

接著以花蓮港波浪推算模式 Model 2004 對 Nida (妮妲,2004) 颱風進行推算,此外也同時對花蓮附近港灣包括成功以及蘇澳進行颱風波浪推算,颱風路徑如圖 3.2-6 所示,三個港口的颱風波浪推算結果如圖 3.2-7 所示。觀察颱風運動行與路徑為可以發現,在颱風逼近台灣後轉向,接近的程度依序為成功、花蓮及蘇澳,因無即時波浪資料比較,所以由颱風路徑與圖 3.2-7 比較可以發現,颱風波浪與颱風運動具有相似的行為。

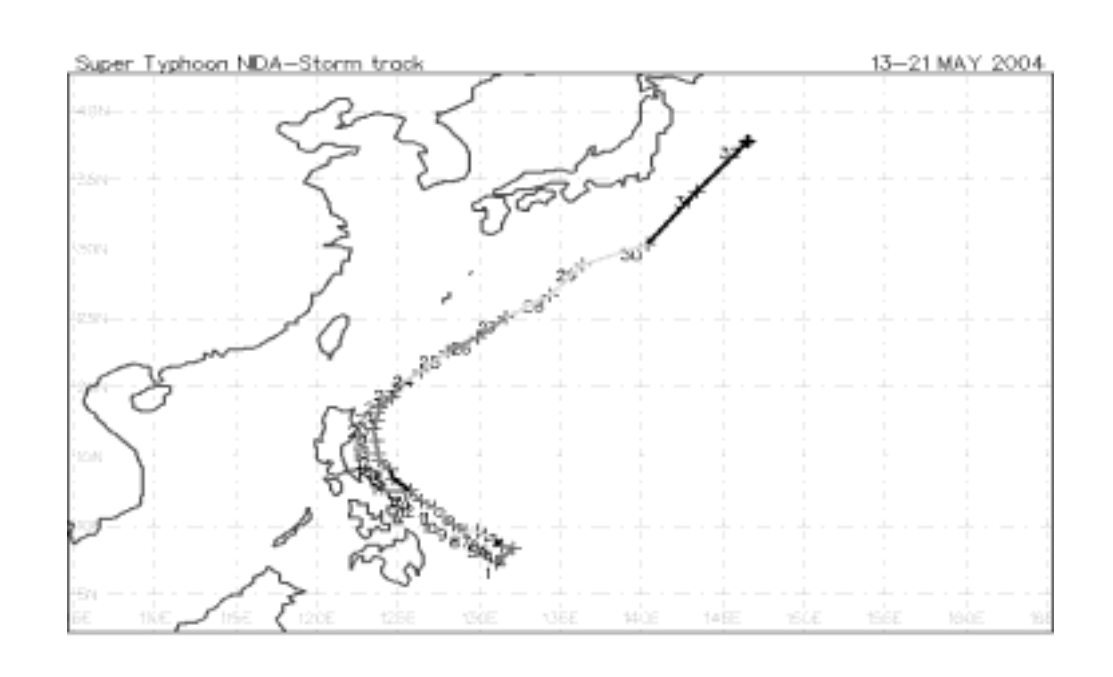


圖 3.2-6 Nida (妮妲, 2004) 颱風路徑

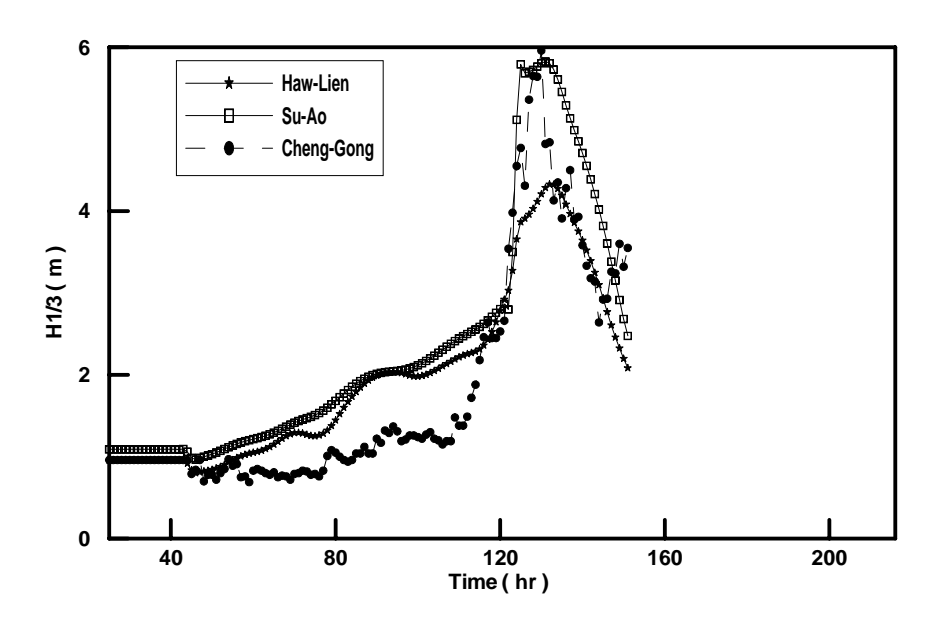


圖 3.2-7 Nida (2004)颱風 Model 2004 推算花蓮港、蘇澳港 及成功港颱風波浪示性波高

3.2.5 2004 年颱風波浪測試與驗證

針對 2004 年生成的颱風進行模式的測試與驗證,選取比較的颱風包括康森(CONSON)颱風、敏督利(MINDULLE)颱風及蘭寧(RANANIM)

颱風,進行模式與觀測值比較的觀測站是由中央氣象局設置的波浪觀測站,花蓮觀測站位置設在(24°02'8"N,121°37'51"E)在花蓮七星潭外海 0.5 公里,水深 30 公尺。儀器觀測時間 10分鐘。蘇澳浮標逐時波浪觀測設置位置為(24°37'10"N,121°52'48"E)在蘇澳港北方三海浬水深二十三公尺處。類神經網路波浪推算模式將針對花蓮及蘇澳觀測站附近海域進行模擬。

康森(CONSON)颱風、敏督利(MINDULLE)颱風及蘭寧(RANANIM) 颱風的路徑圖如圖 3.2-8-3.2.10 所示,康森(CONSON)颱風生成位置在 南海在北緯 14.50 東經 116.50度的位置,由西向東北移動,颱風中途 影響菲律賓與台灣陸地後穿過台灣海峽後直撲日本,颱風 7 級暴風半徑 約 150 公里,距離花蓮及蘇澳海域最近距離約 228 公里,再不考慮陸地 對颱風影響的效應下,如圖 3.2-11 為蘇澳觀測站推算結果,圖 3.2-12 所示為花蓮觀測站推算結果,蘇澳觀測站最大波高約 2.5 公尺,花蓮觀 測站最大波高約 2 公尺,由圖中可以觀察出實測波浪的颱風波浪的現象 並不明顯,模式的推算則明顯高估許多。

敏督利(MINDULLE)颱風颱風生成位置在南海在北緯 15.90 東經 143.70 度的位置,颱風 7級暴風半徑約 250 公里由東向西行接近菲律賓 後向北行進接進台灣東岸陸地沿海岸線繼續北行後登陸韓國,路徑圖如圖 3.2-9 所示,整個行進過程中在接近菲律賓時颱風的右半圓颱風波浪間接影響台灣,再次接近台灣區域時颱風風場與陸地存在交互作用,這也是主要影響台灣海域的時間,如圖 3.2-13 為蘇澳觀測站推算結果,圖 3.2-14 所示為花蓮觀測站推算結果,實測的颱風波浪行為因應颱風行為也有兩個階段的發展,模型颱風風場推算颱風眼行經的前後 颱風接近花蓮及蘇澳時有最大的颱風波浪發生,模式推算的颱風波浪結果反映了颱風行為,類神經推算模式在颱風中心接近花蓮與蘇澳時推算結果有高估的現象。

蘭寧(RANANIM)颱風的路徑圖如圖 3.2-10 所示,颱風生成位置在 南海在北緯 16.60 東經 129.80 度的位置,颱風 7 級暴風半徑約 250 公里 由東向西北行進,以接近台灣北部海域進入中國大陸,在颱風接近台灣 陸地以前颱風風場與颱風波浪作用花蓮、蘇澳皆沒有受到陸地的影響, 因此風場模式的風場分佈與實際風場較接近,蘇澳、花蓮觀測站海域波浪觀測值與類神經模式推算結果比較如圖 3.2-15、圖 3.2-16 所示,觀測值與推算值相當接近。模式針對這三場颱風對花蓮與蘇澳港進行颱風波浪示性週期的推算,結果如圖 3.2-17 至 3.2-22 所示。

經過這 3 場颱風波浪推算與觀測值的比較可以歸納出提高推算準確度的要件,首先是颱風風場模擬的準確性由康森(CONSON)颱風及敏督利(MINDULLE)颱風因陸地與風場交互作用使的颱風風場有劇烈的變化,這也影響了颱風波浪的發展,颱風風場與陸地關係未明確前,類神經網路將利用已發生過的颱風波浪行為對下一次類似的颱風事件進行颱風波浪行為的修正。蘭寧(RANANIM)颱風的行為相當簡單風場亦不受陸地影響,模型颱風風場與實際颱風風場相似,顯示颱風風場實際的變動將影響颱風波浪推算的準確度,有效的風場模式將可以提高颱風波浪推算的能力。

類神經波浪推算模式的修正歸納出兩個方向,一是藉由已經發生過 的颱風加入學習資料中,增加模式學習的經驗藉以修正陸地效應與特殊 路徑或行為的颱風波浪,這個方法受限制於必須有足夠學習資料,當資 料不足時此方法只適合經過類似學習經驗的颱風事件。第二個修正方向 是選用正確、完整的颱風風場分佈外,修改類神經網路結構增加類神經 網路記憶與模擬的能力。

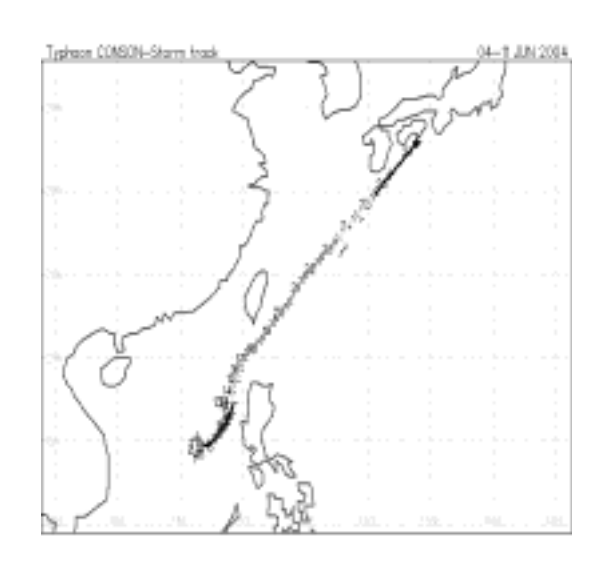


圖 3.2-8 康森(CONSON,2004)颱風路徑

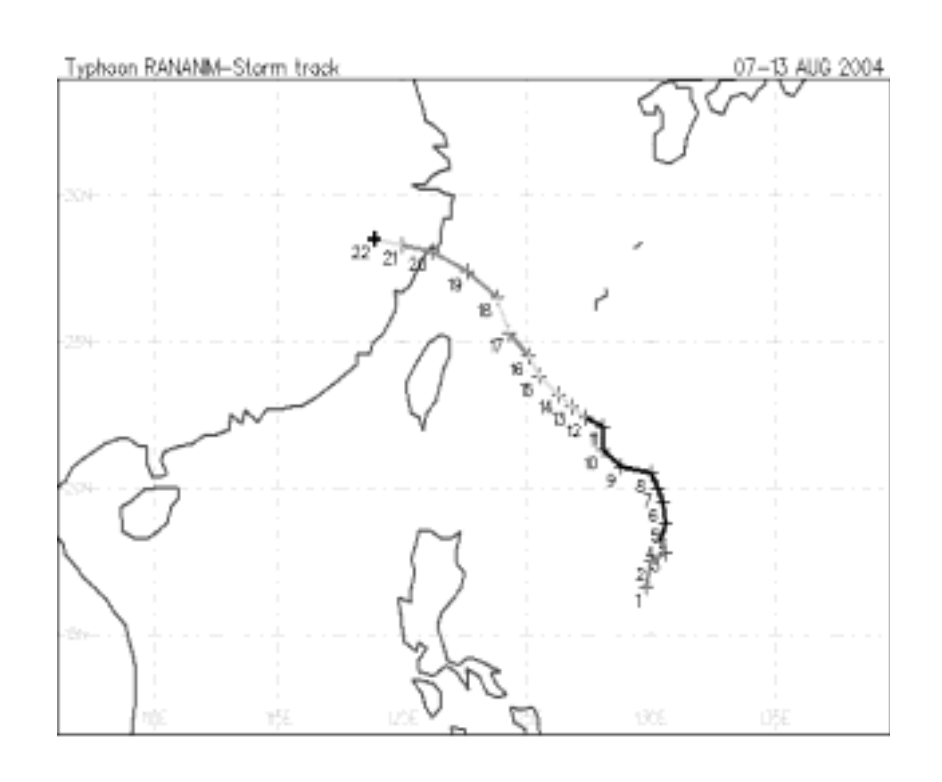


圖 3.2-9 敏督利(MINDULLE,2004)颱風路徑

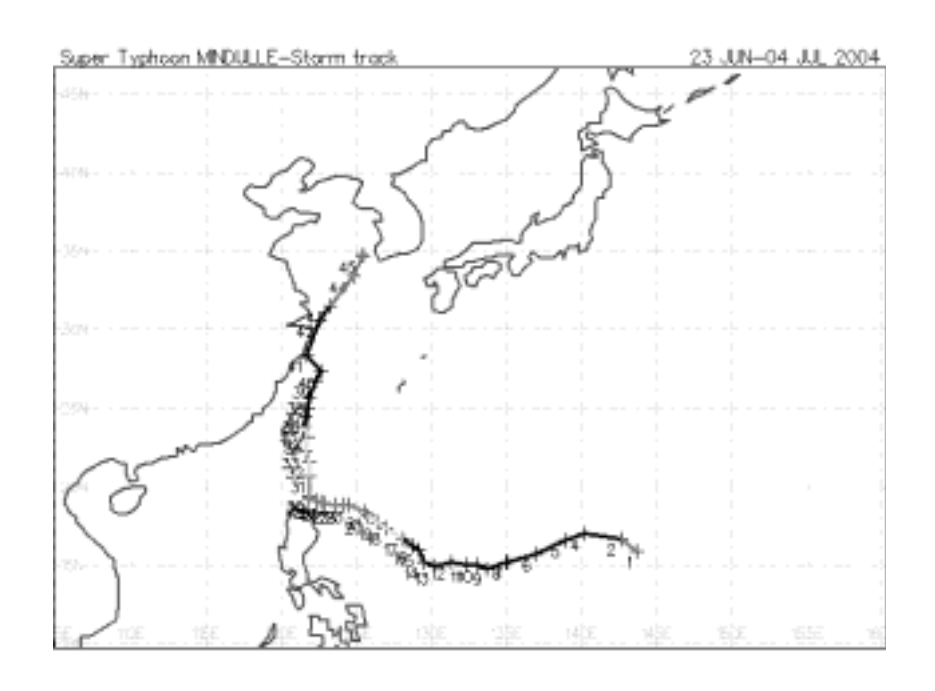


圖 3.2-10 蘭寧(RANANIM,2004)颱風路徑

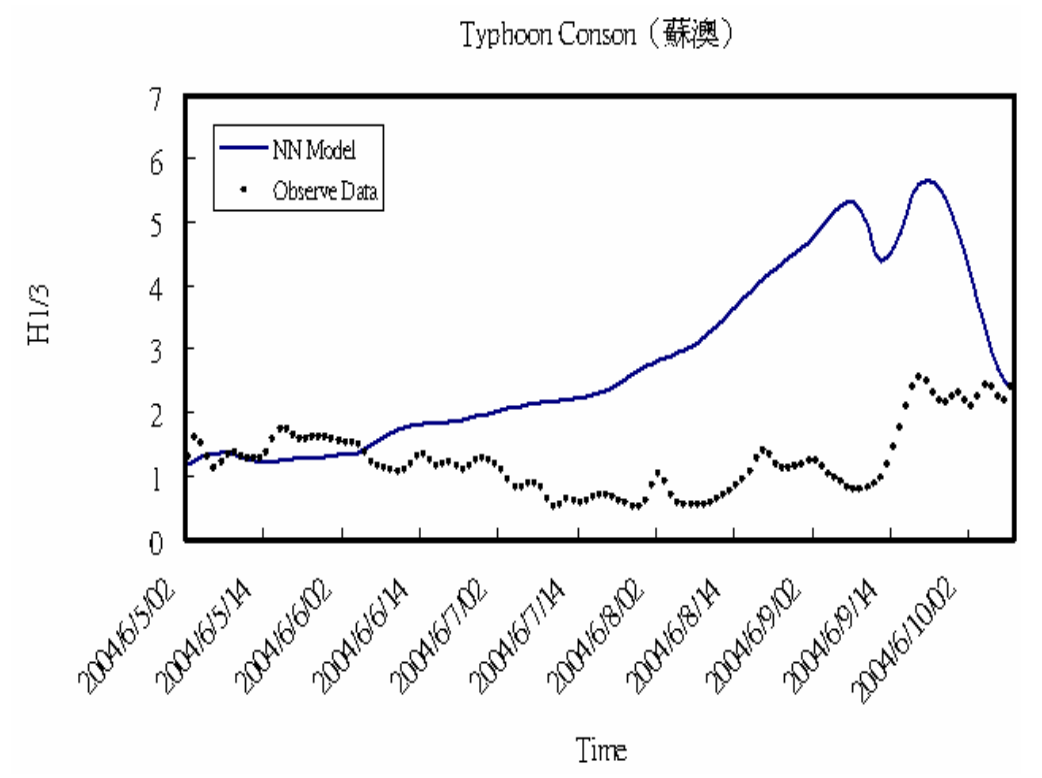


圖 3.2-11 康森颱風 Model 2004 推算蘇澳港颱風波浪示性波高 Typhoon Conson (花蓮)

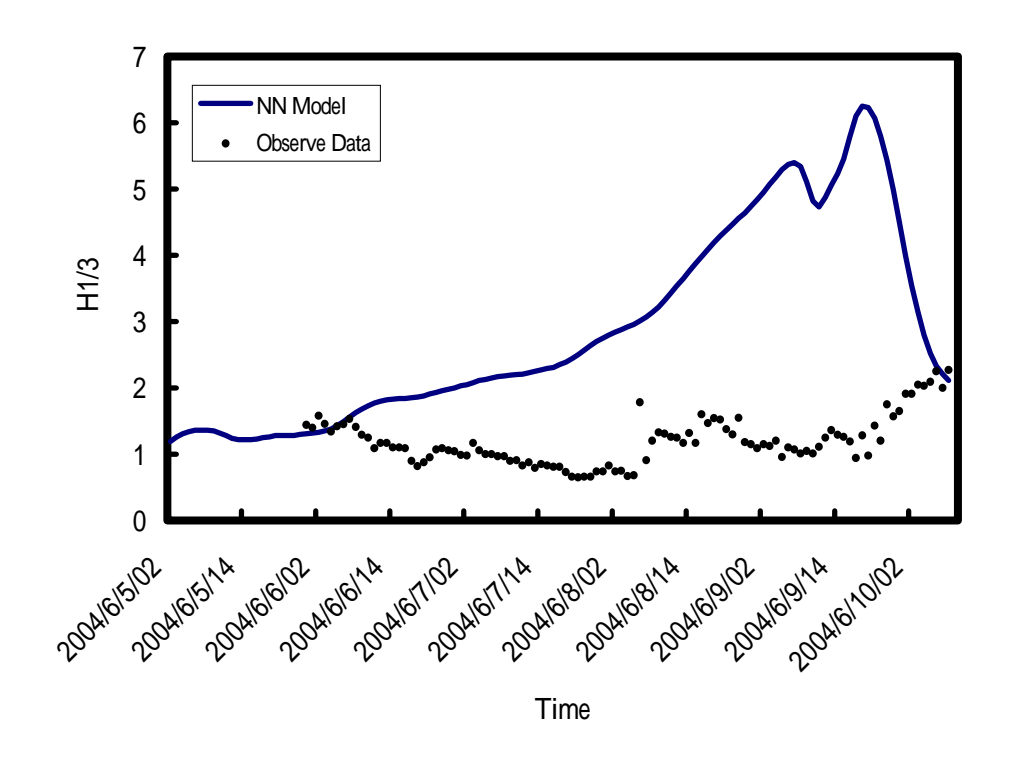


圖 3.2-12 康森颱風 Model 2004 推算花蓮港颱風波浪示性波高

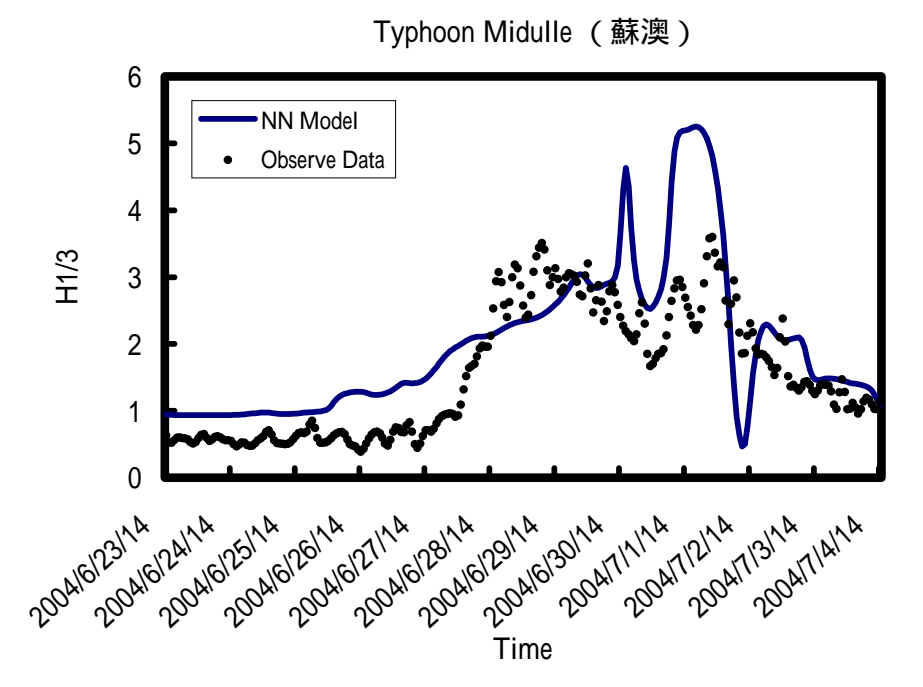


圖 3.2-13 敏督利颱風 Model 2004 推算蘇澳港颱風波浪示性波高

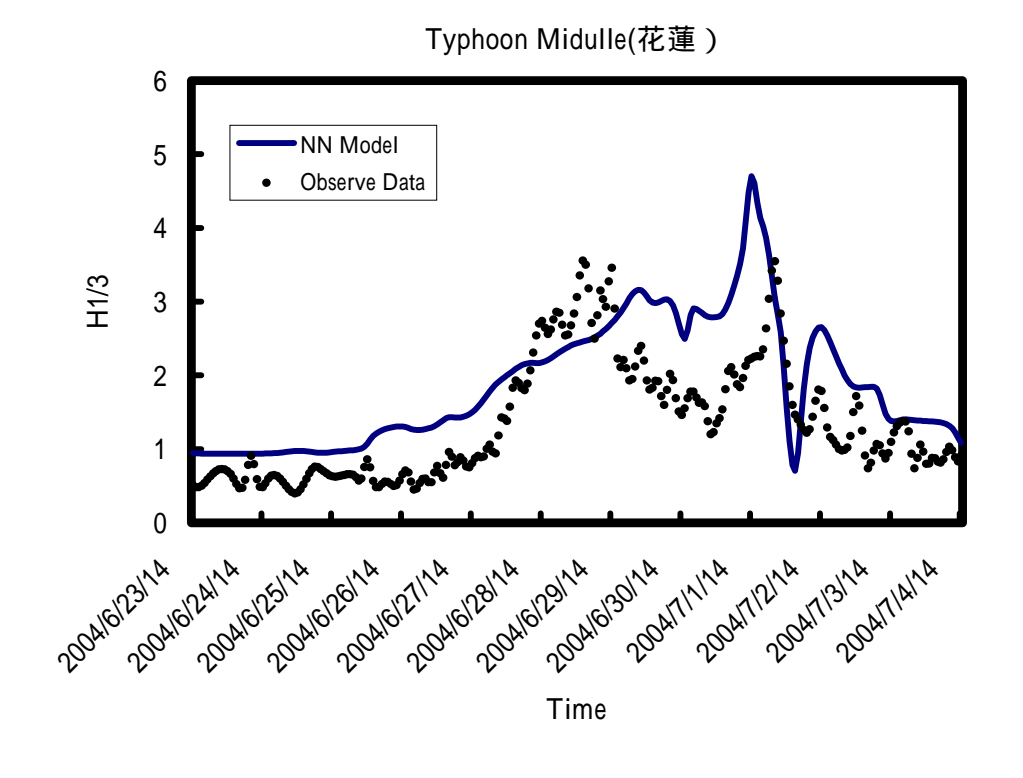
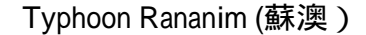


圖 3.2-14 敏督利颱風 Model 2004 推算花蓮港颱風波浪示性波高



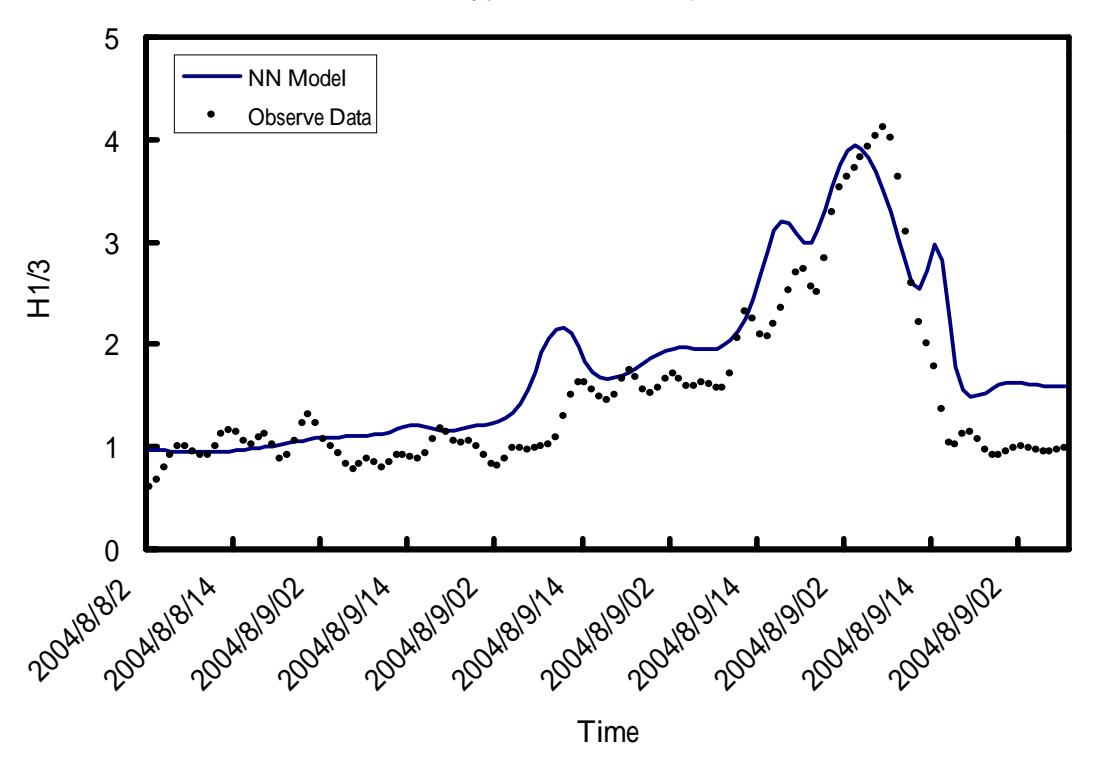


圖 3.2-15 蘭寧颱風 Model 2004 推算蘇澳港颱風波浪示性波高

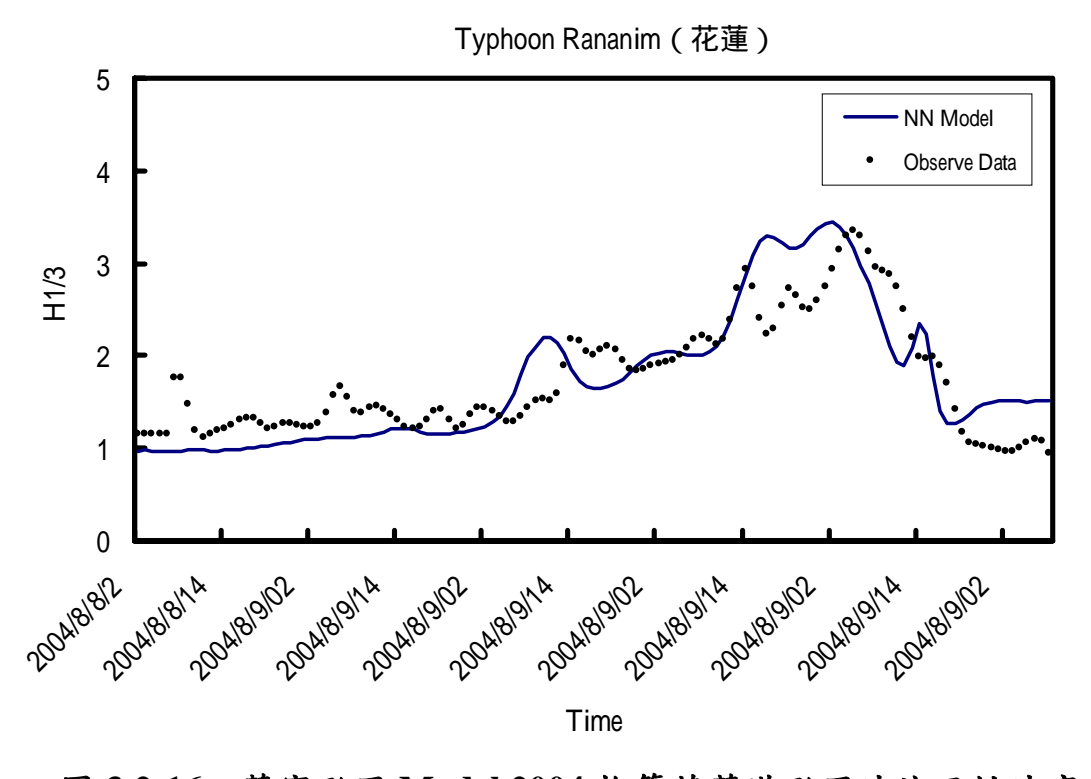


圖 3.2-16 蘭寧颱風 Model 2004 推算花蓮港颱風波浪示性波高

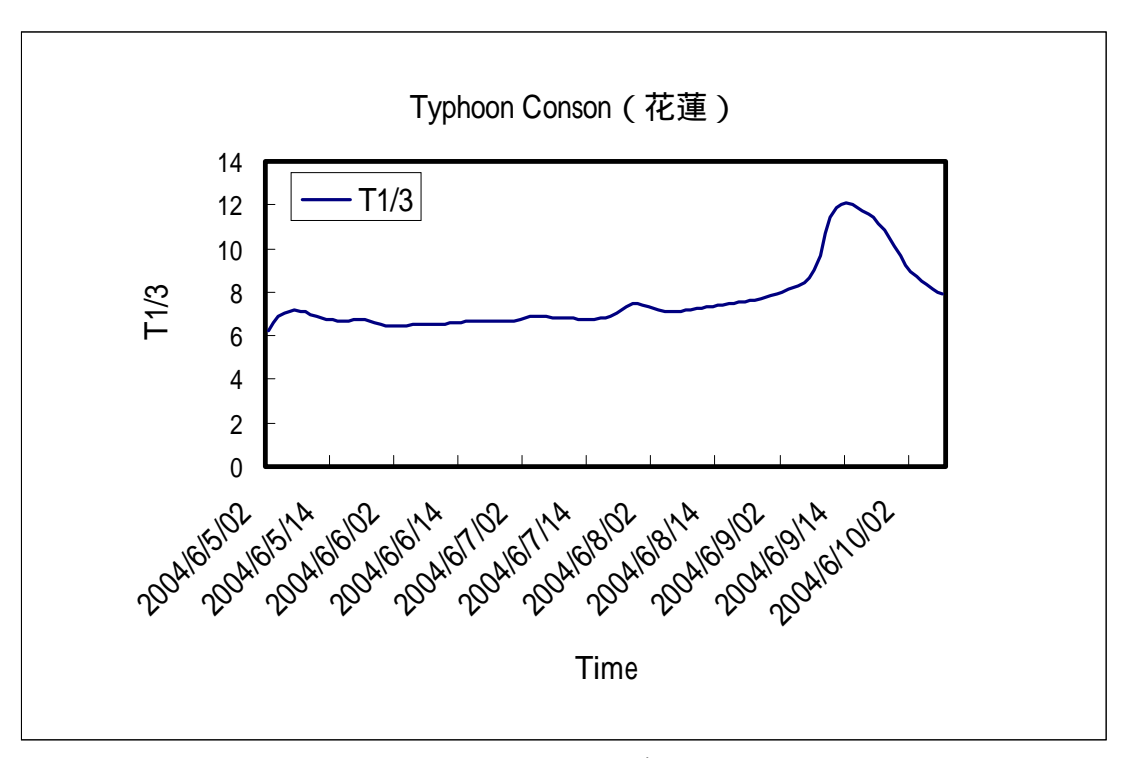


圖 3.2-17 康森颱風 Model 2004 推算花蓮港颱風波浪示性週期

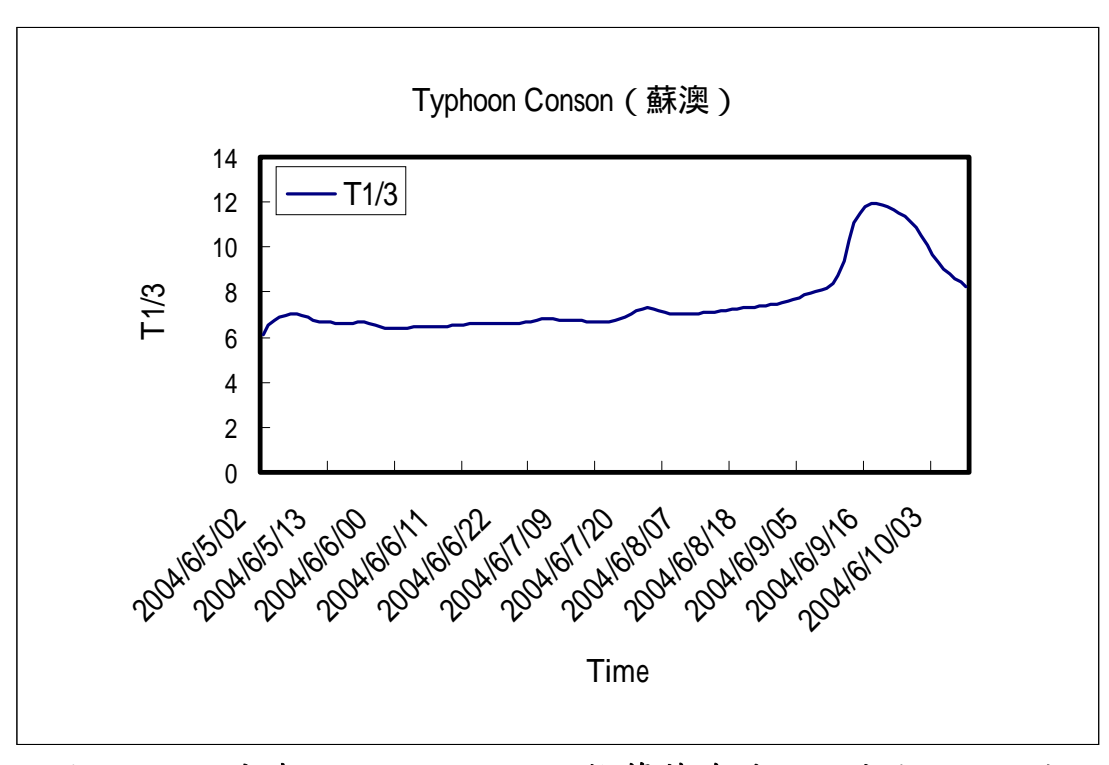


圖 3.2-18 康森颱風 Model 2004 推算蘇澳港颱風波浪示性週期

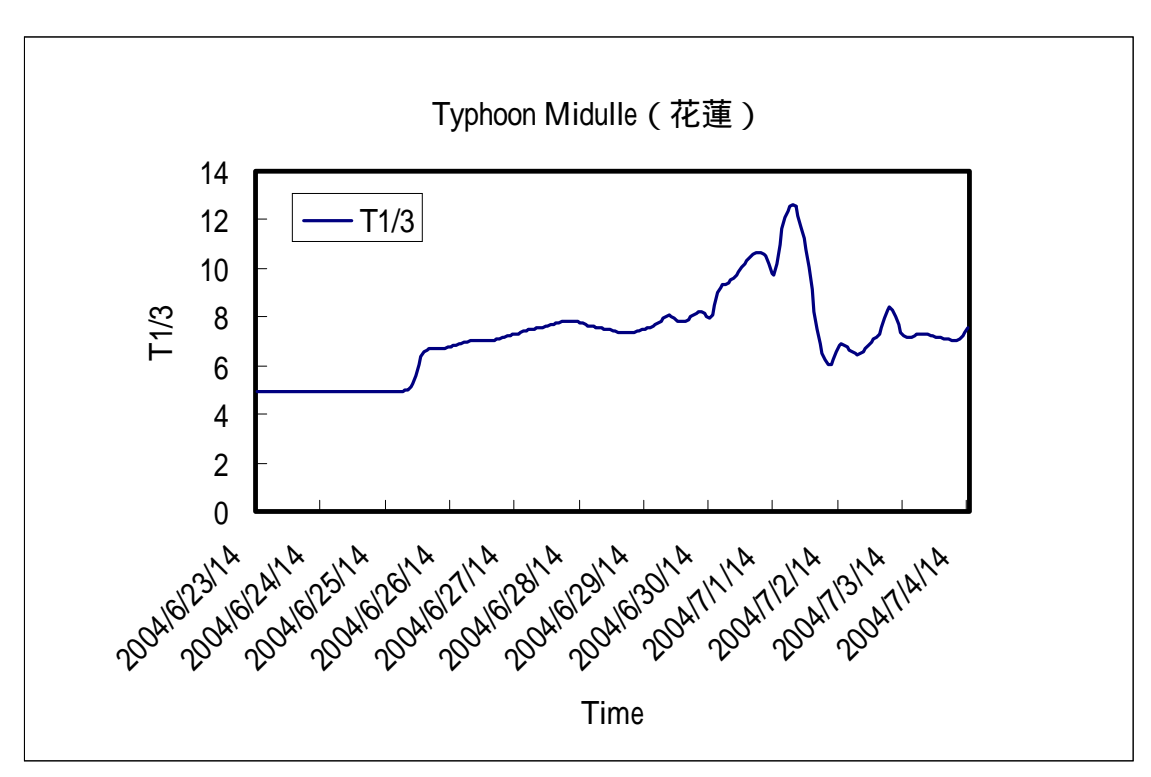


圖 3.2-19 敏督利颱風 Model 2004 推算花蓮港颱風波浪示性週期

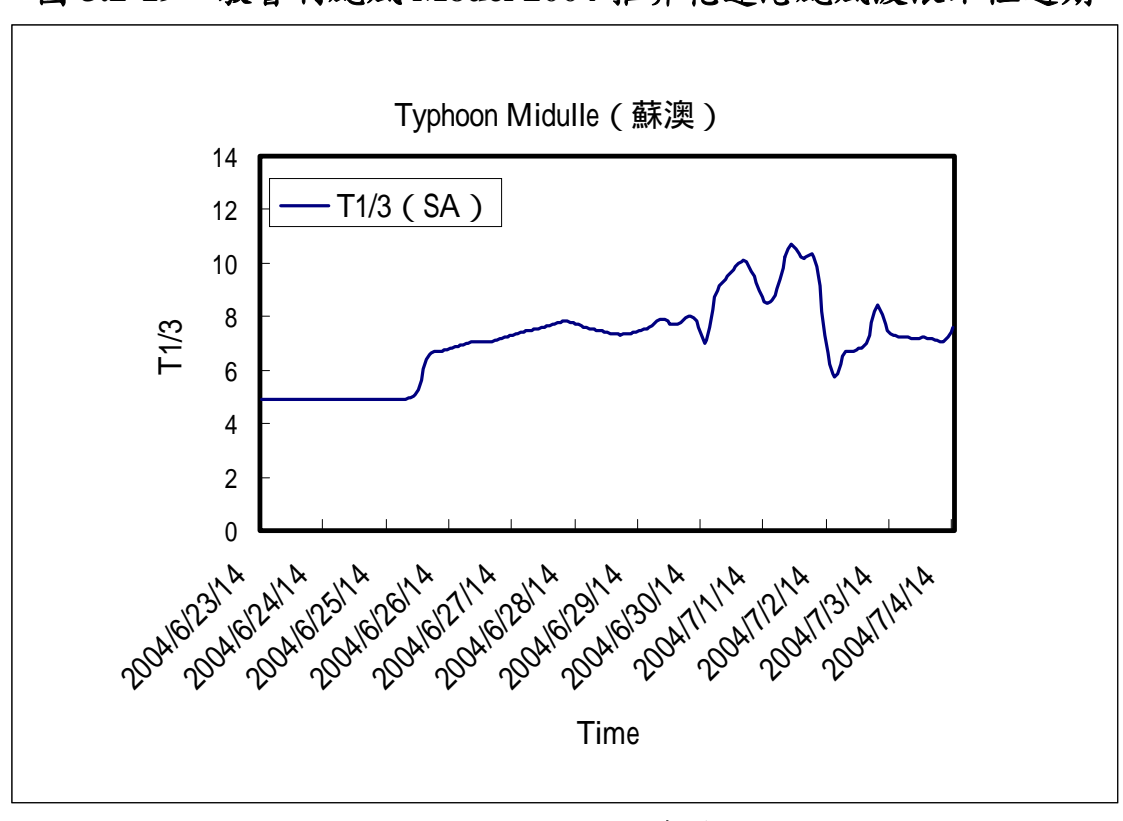


圖 3.2-20 敏督利颱風 Model 2004 推算蘇澳港颱風波浪示性週期

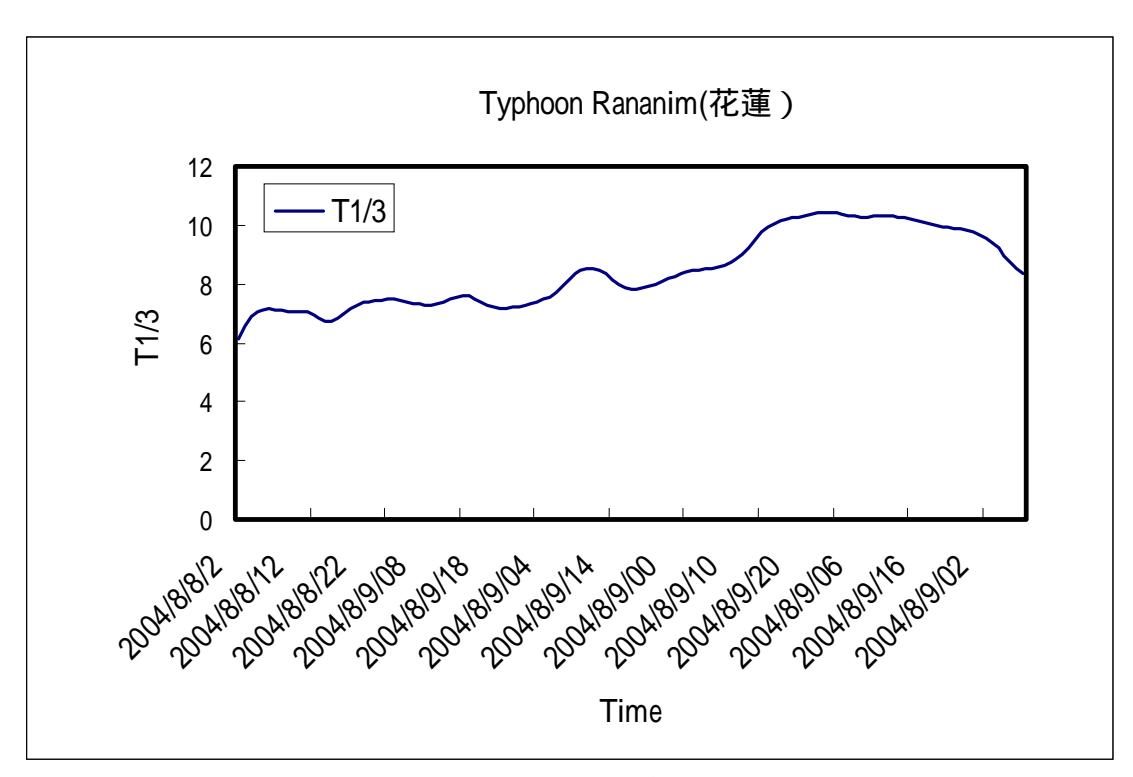


圖 3.2-21 蘭寧颱風 Model 2004 推算花蓮港颱風波浪示性週期

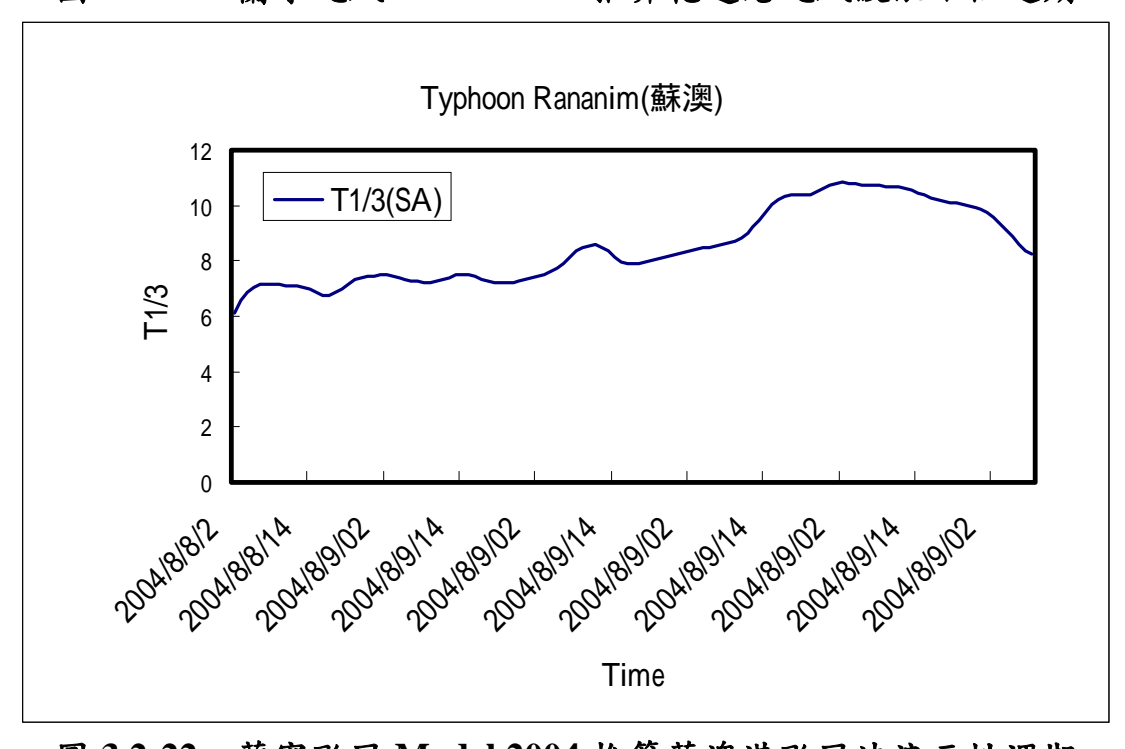


圖 3.2-22 蘭寧颱風 Model 2004 推算蘇澳港颱風波浪示性週期

3.3 定點風域推算半經驗颱風波浪模式

3.3.1 模式理論介紹

常見之半經驗颱風波浪推算模式 Breteschneider 參數法(1958)、井島武士之追蹤法(1961)、湯麟武(1970)之移動風域數值推算法及梁乃匡(1993)之颱風湧浪預報法等。湯(1970)鑑於 Wilson 之方法只能推算深海風浪,不能直接推算海岸前之波浪狀況,故綜合 Wilson 及 Breteschneider等經驗公式,配合淺海中之風浪關係、海底摩擦之影響、湧浪之推算方式及碎波後波浪之計算,提出移動風域數值推算模式,而本計畫使用之定點颱風波浪推算半經驗模式即是依據上述原理建立並加以改善而成,其基本原理詳述如下:

一、深海波浪

在深海時根據 Wilson(1955)之方法推算深海風浪,即以下列近似公式推算波浪之波高與週期,即

$$\frac{gH}{U^2} = \alpha \tanh \left[k_1 \left(\frac{gF}{U^2} \right)^{1/2} \right]$$
 (3.3-1)

$$\frac{gT}{2\pi U} = \beta \tanh \left[k_2 \left(\frac{gF}{U^2} \right)^{1/3} \right]$$
 (3.3-2)

式中 H 為示性波波高,T 為示性波週期,F 為吹風距離;U 為風速,g 為重力加速度; α , β , k_1 及 k_2 為常數值,分別等於 $0.26 \times 1.40 \times 0.01$ 及 0.0436。

二、淺海波浪

當波浪進入淺水區後,依風、浪、水深間之關係為(湯,1968)

$$\frac{gH}{U^{2}} = \alpha \tanh \left[k_{3} \left(\frac{gD}{U^{2}} \right)^{3/4} \right] \tanh \left\{ \frac{k_{1} \left(\frac{gF}{U^{2}} \right)^{1/2}}{\tanh \left[k_{3} \left(\frac{gD}{U^{2}} \right)^{3/4} \right]} \right\}$$
(3.3-3)

$$\frac{gT}{2\pi U} = \beta \tanh \left[k_4 \left(\frac{gD}{U^2} \right)^{3/8} \right] \tanh \left\{ \frac{k_2 \left(\frac{gF}{U^2} \right)^{1/3}}{\tanh \left[k_4 \left(\frac{gD}{U^2} \right)^{3/8} \right]} \right\}$$
(3.3-4)

式中 D 表示水深,常數 k_3 =0.578, k_4 =0.520。當 $D\to\infty$ 時此二式可簡化為(3.3-1)及(3.3-2)式。

三、數值計算法

在深海中若已知某一時間在海面第 n 點 $(x = x_n, t = t_n)$ 之波高 H_n 、 週期 T_n 、群速度 G_n 及風速 U_n ,則順風方向 Δx 距離處(即 $x_{n+1} = x_n + \Delta x$,如 Δx 甚小時風速及水深可視為常數)之波高 H_{n+1} 及群速度 G_{n+1} 分別為

$$H_{n+1} = H_n + \left(\frac{dH}{dx}\right)_n \Delta x \tag{3.3-5}$$

$$G_{n+1} = G_n + \left(\frac{dG}{dx}\right)_n \Delta x \tag{3.3-6}$$

式中 $(dH/dx)_n$ 及 $(dG/dx)_n$ 可由(3.3-1)及(3.3-2)式得到,即

$$\left(\frac{dH}{dx}\right)_{n} = \frac{k_{1}^{2}}{\alpha} \frac{\left(\alpha + gH_{n}/U_{n}^{2}\right)\left(\alpha - gH_{n}/U_{n}^{2}\right)}{\ln\left(\alpha + gH_{n}/U_{n}^{2}\right) - \ln\left(\alpha - gH_{n}/U_{n}^{2}\right)}$$
(3.3-7)

$$\left(\frac{dG}{dx}\right)_{n} = \frac{8k_{2}^{3}g}{3\beta U_{n}} \frac{(\beta/2 + G_{n}/U_{n})(\beta/2 - G_{n}/U_{n})}{\left[\ln(\beta/2 + G_{n}/U_{n}) - \ln(\beta/2 - G_{n}/U_{n})\right]}$$
(3.3-8)

當風浪進入淺海區後,波高仍可依(3.3-5)式計算之,其中 $(dH/dx)_n$ 可由(3.3-3)式求得如下:

$$\left(\frac{dH}{dx}\right)_{n} = \frac{k_{1}^{2}}{\alpha} \frac{\left(\alpha\mu_{n} + gH_{n}/U_{n}^{2}\right)\left(\alpha\mu_{n} - gH_{n}/U_{n}^{2}\right)}{\left(\alpha\mu_{n}\right)^{3}\left[\ln\left(\alpha\mu_{n} + gH_{n}/U_{n}^{2}\right) - \ln\left(\alpha\mu_{n} - gH_{n}/U_{n}^{2}\right)\right]}$$
(3.3-9)

式中
$$\mu_n = \tanh\left[k_3\left(gD_n/U_n^2\right)^{3/4}\right]$$
°

唯在淺海中之群速度與在深海中不同,無法直接計算G或T,故需藉由下列關係式求得。

$$\frac{G}{U} = \frac{1}{2} \left[1 + \frac{2kD}{\sinh(2kD)} \right] \frac{gT}{2\pi U} \tanh(kD)$$
(3.3-10)

式中 k 為週波數($k=2\pi/L$,L 為水深 D 處之波長)。由於(3.3-10)式 為非線性方程式,無法直接求得 G 值,必須將 G 改為 f(x,U,d)之形式,始可進行計算。令

$$S = \frac{2\pi D}{L_0} \qquad ; \qquad \qquad y = \frac{2\pi D}{L}$$

其中 L_0 為深海處之波長 $\left(=gT^2/2\pi\right)$,則S可改寫

$$S = \frac{4\pi^2 D}{gT^2} = \frac{gD/U^2}{(gT/2\pi U)^2}$$
(3.3-11)

由(3.3-11)式可得到下列關係式

$$\frac{gT}{2\pi U} = \left(\frac{gD/U^2}{S}\right)^{1/2} \tag{3.3-12}$$

同樣地由波浪之延散關係式知

$$S = \frac{2\pi D}{L} \tanh\left(\frac{2\pi D}{L}\right) = y \tanh(y)$$
 (3.3-13)

將(3.3-12)及(3.3-13)式代入(3.3-10)式得到

$$\frac{G}{U} \frac{1}{(gD/U^2)^{1/2}} = \frac{1}{2yS^{1/2}} (S - S^2 + y^2)$$
(3.3-14)

上式等號右手邊可以表示為S之函數,等號左手邊可改寫為

$$Z = \frac{G/U}{(gD/U^2)^{1/2}} = \frac{G}{\sqrt{gD}} = f(S)$$
 (3.3-15)

其中 G/\sqrt{gD} 為群速度與長波波速之比,因此 Z 又稱為無因次群速度。當波浪為深水波時, $S \geq \pi$,S = y ,則 $Z = \sqrt{S}/2$;水深甚淺時, $\tanh(y) \approx y$, $S = y^2$,則 $Z = 1 - S/2 \approx 1$ 。當波浪為長波時 $G = \sqrt{gD}$,Z = 1 ,故 Z 可用於表示波浪特性。當水深 $D = L_0/2$ 時,則 $S = \pi$ 為深水波與淺水波之限界,此時 $Z = 1/(2\sqrt{\pi}) = 0.2821$ 。即

$$Z < 0.2821$$
 波浪為深水波 $0.2821 \le Z < 1$ 波浪為淺水波 $Z = 1$ 波浪為淺灘波

在 $0 < S < \pi$ 之區間內(即淺海波浪狀況下),由於(3.3-15)式無法用理論求解,因此Z與S間之關係可以多項式型式表示其近似式為:

$$Z = 1 - a_1 S - a_2 S^2 - \dots - a_6 S^6$$
(3.3-16)

式 中 常 數 $a_1=0.4536$ 、 $a_2=0.0931$ 、 $a_3=-0.2745$ 、 $a_4=0.17033$ 、 $a_5=-0.0476\, {\cal R}\, a_6=0.005067\,$ 。

同理,S亦可表示為Z之函數,其近似式為:

$$S = b_1(1-Z) + b_2(1-Z)^2 + \dots + b_7(1-Z)^7$$
(3.3-17)

其 中 $b_1 = 2.464857$ 、 $b_2 = -7.3530\dot{5}$ 、 $b_3 = 52.7458\dot{3}$ 、 $b_4 = -162.\dot{2}$ 、 $b_5 = 275.8\dot{3}$ 、 $b_6 = -247.\dot{2}$ 及 $b_7 = 101.190476$ 。

如已知 S即可求出 Z,則波浪之群速度 $G=Z\sqrt{gD}$,故欲求淺水波之週期及群速度時須先求出 S。因此在淺水波之計算中,已知第n點之波高 H_n 及群速度 G_n ,可先求出第n點在風域圖上之位置 X_n 、 t_n 處之風速 U_n 及水深 D_n ,再進一步計算第n+1點之波浪特性如下:

波高之計算如前述,以(3.3-5)及(3.3-9)式計算之,即

$$H_{n+1} = H_n + \left(\frac{dH}{dx}\right)_n \Delta x$$

$$\left(\frac{dH}{dx}\right)_n = \frac{k_1^2}{\alpha} \frac{\left(\alpha \mu_n + gH_n/U_n^2\right) \left(\alpha \mu_n - gH_n/U_n^2\right)}{\left(\alpha \mu_n\right)^3 \left[\ln\left(\alpha \mu_n + gH_n/U_n^2\right) - \ln\left(\alpha \mu_n - gH_n/U_n^2\right)\right]}$$

$$\vec{x} + \mu_n = \tanh\left[k_3 \left(gD_n/U_n^2\right)^{3/4}\right] \circ$$

已知 G_n 、 D_n 可計算 $Z_n = G_n / \sqrt{gD_n}$,由(3.3-16)式計算出 S_n 後利用積分觀念求 S_{n+1} :

$$S_{n+1} = S_n + \left(\frac{dS}{dx}\right)_n \Delta x \tag{3.3-18}$$

將(3.3-4)式代入(3.3-11)式得到

$$S = \left(\frac{gD}{U^2}\right) \left\{ \beta \tanh \left[k_4 \left(gD/U^2 \right)^{3/8} \right] \tanh \left\{ \frac{k_2 \left(gF/U^2 \right)^{1/3}}{\tanh \left[k_4 \left(gD/U^2 \right)^{3/8} \right]} \right\} \right\}^{-2}$$
(3.3-19)

則

$$\left(\frac{dS}{dx}\right)_{n} = -\frac{8k_{2}^{3}}{3\beta} \frac{g}{U_{n}^{2}} \frac{S_{n}}{(v_{n})^{4} \left[\left(\frac{1}{S_{n}}\right)\left(gD_{n}/U_{n}^{2}\right)\right]^{1/2}} \times$$
(3.3-20)

$$\frac{\left[\beta v_{n} + (1/S)^{1/2} \left(gD_{n}/U_{n}^{2}\right)^{1/2}\right] \beta v_{n} - (1/S_{n})^{1/2} \left(gD_{n}/U_{n}^{2}\right)^{1/2}}{\left[\ln\left[\beta v + (1/S_{n})^{1/2} \left(gD_{n}/U_{n}^{2}\right)^{1/2}\right] - \ln\left[\beta v - (1/S_{n})^{1/2} \left(gD_{n}/U_{n}^{2}\right)^{1/2}\right]^{2}}\right]^{2}$$

$$\stackrel{\Rightarrow}{\Rightarrow} \psi_{n} = \tanh\left[k_{4} \left(gD_{n}/U_{n}^{2}\right)^{3/8}\right] \circ$$

當 S_{n+1} 求出後,再由(3.3-16)式計算 Z_{n+1} 。因在 Δx 區域內水深均假設為 D_n ,故當波浪接近n+1點時,波浪之群速度及週期分別為

$$G_{n+1} = Z_{n+1} \sqrt{gD_n} \tag{3.3-21}$$

$$T_{n+1} = 2\pi\sqrt{(D_n/gS_{n+1})}$$
 (3.3-22)

於上述計算中要決定 Δx 及 Δt 之前,需先決定 Δx 及 Δt 之最大值,即在 $(\Delta x)_{max}$ 之區間內,海面風速可作為常數,在 $(\Delta t)_{max}$ 之時間內可視為沒有變化。如以颱風為例超過 20 分鐘以上風速風向必有變化,故 $(\Delta t)_{max}$ 決不能超過 20 min (即 1200 min);而海面在 min 5 km 之範圍內,如不考慮水深之影響,風速可視為常數,因此 min min

$$G_n \ge \frac{\left(\Delta x\right)_{\max}}{\left(\Delta t\right)_{\max}}$$
 B. \Rightarrow $\Delta x = \left(\Delta x\right)_{\max}$ $\Delta t = \frac{\left(\Delta x\right)_{\max}}{G_n}$ (3.3-23a)

$$G_n < \frac{\left(\Delta x\right)_{\max}}{\left(\Delta t\right)_{\max}} \Leftrightarrow \Delta x = G_n \left(\Delta t\right)_{\max}, \quad \Delta t = \left(\Delta t\right)_{\max}$$
 (3.3-23b)

由於 Δx 之區間內水深須視作常數而計算,故如海底比降較陡時, $(\Delta x)_{max}$ 須甚小,例如海底比降為 s=1/100 時, $(\Delta x)_{max}$ 如定為 1000m 則 D_n 與 D_{n+1} 即須相差 10m 之多,故必要時 $(\Delta x)_{max}$ 須小至 100m 左右,此時 $(\Delta t)_{max}$ 亦應相對減少。

當n+1點之波浪求出後,可用同樣方法求出n+2點之波浪,因自該點起之 Δx 區間內,均以水深 D_{n+1} 計算,故之前所求之 S_{n+1} 及 Z_{n+1} 均不適用,須重新以 $G_{n+1}/\sqrt{gD_{n+1}}$ 作為 Z_{n+1} ,再計算 S_{n+1} 。

四、湧浪及風浪之發達與減衰之辨別

波浪變成湧浪狀態時之辨別條件,在深海中為

$$\alpha \le \frac{gH_n}{U_n^2} \tag{3.3-24}$$

或

$$\frac{\beta}{2} \le \frac{G_n}{U_n} \tag{3.3-25}$$

在淺海中

$$\alpha \tanh \left[k_3 \left(g D_n / U_n^2 \right)^{3/4} \right] \le \frac{g H_n}{U_n^2}$$
 (3.3-26)

或

$$\beta \tanh \left[k_4 \left(g D_n / U_n^2 \right)^{3/8} \right] \le \sqrt{\frac{1}{S_n}} \frac{g D_n}{U_n^2}$$
 (3.3-27)

如在計算過程中遇到上述兩種情況時(即波浪已變為湧浪),須改由 下列公式計算其波高及週期:

$$\frac{H_{n+1}}{H_F} = \cosh^{-1} \left\{ 0.66 \left(\frac{F}{H_F} \right)^{0.05} \left(\frac{A_n + \Delta x}{F} \right)^{0.25} \tanh \left[3.0 \left(\frac{A_n + \Delta x}{F} \right)^{0.30} \right] \right\}$$
(3.3-28)

$$\frac{T_{n+1}}{T_F} = \cosh^{1/2} \left\{ 1.74 \left(\frac{2\pi F}{gT_F^2} \right)^{-0.05} \left(\frac{A_n + \Delta x}{F} \right)^{0.20} \tanh \left[1.02 \left(\frac{2\pi F}{gT_F^2} \right)^{-0.04} \left(\frac{A_n + \Delta x}{F} \right)^{0.32} \right] \right\}$$
(3.3-29)

式中 H_F 與 T_F 分別為甫脫出風域時之波高及週期,F為風域長度, $A_n+\Delta x$ 表示第n+1點在脫離風域後之距離。

如在淺水區內則須考慮因底床摩擦引起之能量消散,可採用 Bretschneider 及 Reid(1954)之方法計算損失之波高 $(\Delta H)_{f}$ 如下:

$$H_{n+1} = \cosh^{-1} \left\{ 0.66 \left(\frac{F}{H_F} \right)^{0.05} \left(\frac{A_n + \Delta x}{F} \right)^{0.25} \tanh \left[3.0 \left(\frac{A_n + \Delta x}{F} \right)^{0.30} \right] \right\} H_F$$

$$- \left[1 - \frac{1}{f H_n \Delta x \Phi + 1} \right] H_n$$
(3.3-30)

其中

$$\Phi = \frac{16\pi^2}{3g} \frac{1}{GT} \left\{ \sinh \left[Z_n \sqrt{S_n} + \sqrt{(Z_n^2 - 1)S_n + S_n^2} \right] \right\}^{-3}$$
 (3.3-31)

(3.3-30)式之常數f為底床摩擦係數,通常可採用 Bretschneider 所假設之值f=0.01。

此外,如果波浪狀況屬於下列條件:

$$\alpha \tanh\left[k_3 \left(gD_n/U_n^2\right)^{3/4}\right] \le \frac{gH_n}{U_n^2} < \alpha \tag{3.3-32}$$

時,表示波浪屬於衰減風浪,此時波高之計算須修正為

$$H_{n+1} = \cosh^{-1} \left\{ 0.66 \left(\frac{F}{H_F} \right)^{0.05} \left(\frac{A_n + \Delta x}{F} \right)^{0.25} \tanh \left[3.0 \left(\frac{A_n + \Delta x}{F} \right)^{0.30} \right] \right\} H_n + \frac{k_1^2 \Delta x \left(\alpha + gH_n/U_n^2 \right) \left(\alpha - gH_n/U_n^2 \right)}{\alpha \left[\ln(\alpha + gH_n/U_n^2) - \ln(\alpha - gH_n/U_n^2) \right]} - \left[1 - \frac{1}{fH_n \Delta x \Phi + 1} \right] H_n$$
 (3.3-33)

五、吹風距離線上之風速決定

已知計算颱風之中心氣壓 P_c (單位為 mb)、進行路徑(方向)及移動速度 V_E 時,求各吹風距離線上之風速之具體步驟如下:

1.模型颱風之壓力分佈公式:

$$P = P_c + \Delta P \exp(-R_0/R)$$
 (3.3-34)

其中 P_c 為颱風中心氣壓(單位為mb), ΔP 等於 $1013-P_c$, R_0 為最大風速處距離中心之距離(km),R為距離颱風中心之距離, R_0 根據公式(3-1-4)計算之。

2.傾度風計算公式如下:

$$V_g = \left[\frac{\Delta P}{\rho_a} \frac{R_0}{R} \exp(-R_0/R) + R^2 \Omega^2 \sin^2 \phi \right]^{1/2} - R\Omega \sin \phi$$
 (3.3-35)

式中 V_g 為傾度風之風速(m/sec), Ω 為地球自轉角速率 (sec^{-1}) , ϕ 為颱風所經過之緯度平均值, ρ_a 為空氣密度 (kg/m^3) ,R為與颱風中心之距離(km)。

3.以計算點為原點,吹風距離線為x軸,與之垂直之線為y軸,決定t=0時刻之颱風中心位置為 (x_c,y_c) ,則任何時間、地點之吹風距離線上風速均可由下列公式求出為:

$$U(x,t) = C_{W1} \left\{ -\frac{1}{R} \left[\sin(\alpha)(x - V_x t - x_c) + \cos(\alpha)(-V_y t - y_c) \right] + \frac{C_{W2}V_x}{(V_g)_{max}} \right\} V_g (3.3-36)$$

其中

$$R = \left[(x - V_x t - x_c)^2 + (-V_y t - y_c)^2 \right]^{1/2}$$
(3.3-37)

式中 V_x 及 V_y 各為颱風移動速度在x與y軸之分量, $\left(V_g\right)_{\max}$ 為 $R=R_0$ 時最大傾度風速; α 在北緯25°以南為35°,在北緯25°以北為30°; C_{W_1} 及 C_{W_2} 為颱風風場參數。

六、計算起點之決定

由於此計算方法不用風域圖,故必須以計算方法求出波浪前進線之 起始點。如假設以吹風距離線上 $U=U_0$ 處為波浪計算之起始點,則此點 對應之位置 x_0 及時間 t_0 可由下列方程式求出:

$$U_{0} = C_{W1} \left\{ -\frac{1}{R} \left[\sin(\alpha) (x_{0} - V_{x} t_{0} - x_{c}) + \cos(\alpha) (-V_{y} t_{0} - y_{c}) \right] + \frac{C_{W2} V_{x}}{(V_{g})_{\text{max}}} \right\} V_{g}$$

$$(3.3-38)$$

$$R = \left[(x_{0} - V_{x} t_{0} - x_{c})^{2} + (-V_{y} t_{0} - y_{c})^{2} \right]^{1/2}$$

$$(3.3-39)$$

由於上列方程式無法經由解析的方求解,故須採用近似解法。令 $\Theta = \sin(\alpha)(x_0 - V_x t_0 - x_c) + \cos(\alpha)(-V_v t_0 - y_c),$

則(3.3-38)式可簡化為

$$U_{0} = -C_{W1} \left\{ \frac{\Theta}{R} - \frac{C_{W2}V_{x}}{(V_{g})_{\text{max}}} \right\} V_{g}$$
 (3.3-40)

式中 V_g 僅為距離R之函數,因此上式可以表示成 $F(R,\Theta)=0$ 之函數型式。代入數值後計算 Θ 。由計算結果得知在 $R=100km\sim500km$ 之範圍內, Θ 與 R^2 之關係可用二次曲線表示之,即

$$\Theta^2 + c_1 \Theta + c_2 R^2 + c_3 = 0 \tag{3.3-41}$$

其中 Θ^2 、 R^2 為 x_0 與 t_0 之二次函數, Θ 為 x_0 與 t_0 之一次函數,則 (3.3-41)式為 x_0 與 t_0 之二次方程式,其解為

$$x_0 = c_6 t_0 + c_7 \pm \sqrt{c_8 t_0^2 + c_9 t_0 + c_{10}}$$
 (3.3-42)

因此已知 t_0 即可求出 x_0 ,每一吹風距離線必須求一次,若路徑有變動時亦須另求一次。

3.3.2 例子說明與驗証

基本上,移動風域數值推算法屬於一種定點線風域(line fetch)波浪推算模式,模式所考慮的颱風移動路徑亦為直線;因此採用此模式推算颱風波浪時,模式所需輸入的颱風資料包括颱風位置(經、緯度)、颱風中心氣壓(P_c)、颱風移動速度(V_F)與行徑方向(θ_F)等(如表 3.3-1 所列)。此外,模式必須給定推算點位置(經、緯度)與自推算點延伸出去之吹風距離線及其相關水深資料、最大吹風距離長度等。

本計畫選取台北港、基隆港、蘇澳港、花蓮港、高雄港、安平港及台中港等七個港口為定點颱風波浪推算對象,並針對歷年侵台颱風資料

分別選取賀伯(07/29~08/01,1996)、瑞伯(10/13~10/17,1998)、西馬隆 (05/10~05/14,2001)、奇比(06/22~06/24,2001)、桃芝(07/28~07/31,2001)、利奇馬(09/23~09/28,2001)、梵高(08/19~08/20,2003)及杜鵑 (08/31~09/02,2003)等八個颱風進行颱風波浪推算,並根據觀測之颱風 波浪資料進行模式之校驗。各港口推算點位置及其所延伸出去之吹風距離線如圖 3.3-1 所示,各港口波浪推算點之經緯度座標及水深如表 3.3-1 所列。

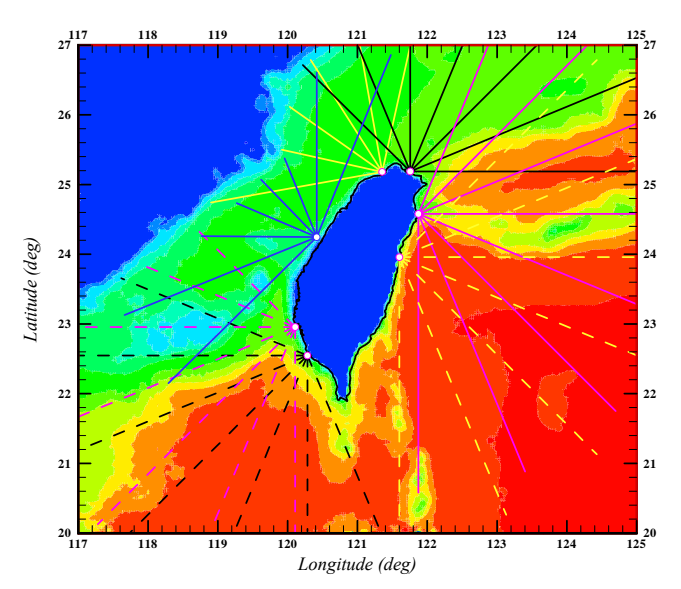


圖 3.3-1 各港口推算點及吹風距離線示意圖

表 3.3-1 七大港口颱風波浪推算點位置及水深表

港口名稱	波浪推算	波浪推算點水	
	(經度,	深 (m)	
花蓮港	121.614	24.056	37
蘇澳港	121.872	24.579	37
基隆港	121.756	25.187	40
台北港	121.354	25.181	20
台中港	120.416	24.245	20
安平港	120.108	22.956	20
高雄港	120.283	22.548	20

鑑於各港口現有颱風波浪資料中以花蓮港資料較為完整,因此本計畫先以花蓮港颱風波浪資料率定模式之颱風參數,再根據率定結果計算其餘各港口颱風波浪(註:奇比及利奇馬颱風分別以高雄及安平港實測值率定颱風參數,再據以推算西部各港口颱風波浪)。表 3.3-2 所示為花蓮港颱風波推算結果,顯示適當地率定颱風參數模式所推算之波高與實測值相當接近,惟波浪週期普遍較實測值大。其餘台北港、基隆港、蘇澳港、高雄港、安平港及台中港等港口颱風波浪推算結果如表 3.3-3至 3-3.8 所示,顯示模式推算結果與實測值相近,波浪週期則略大於實測值,顯示模式在波浪週期之推算上仍有待進一步改善。另外,本計畫以平均方根誤差(Error)_{RMS}表示各港口半經驗颱風波浪模式推算結果與實測值間之誤差,其中平均方根誤差定義如下:

$$(Error)_{RMS} = \sqrt{\frac{\sum (H_{measured} - H_{mod el})^2}{N}}$$

表 3.3-2 花蓮港颱風波浪推算結果

	賀伯	瑞伯	西馬隆	奇比	桃芝	利奇馬	梵高	杜鵑
最大示性 波高(m)	8.8	9.3	3.4	2.4	4.8	2.7	2.4	7.4
週期 (sec)	16.1	16.4	12.5	7.5	10.6	10.7	14	20.6
波向	Е	S	SSE	ES	ES	S	ES	
實測波高		9.57	3.27	2.49	4.2	2.2	2.13	
及週期		(13.0)	(7.6)	(9.3)	(8.7)	(8.2)	(6.6)	
(Error) _{RMS}	0.36							

表 3.3-3 台北港颱風波浪推算結果

	賀伯	瑞伯	西馬隆	奇比	桃芝	利奇馬	梵高	杜鵑
最大示性	5.6	3.2		1.2	3.3		1.0	1.3
波高(m)	3.0	3.2		1.2	3.3		1.0	1.3
週期	0.5	<i>5</i> 0		10.0	0.2		67	15
(sec)	8.5	5.8		10.0	9.3	_	6.7	4.5
波向	NNE	N	=	W	W		NNE	NNE
實測波高							0.55	1.21
及週期							(5.9)	(8.0)
(Error) _{RMS}		0.32						

表 3.3-4 基隆港颱風波浪推算結果

	賀伯	瑞伯	西馬隆	奇比	桃芝	利奇馬	梵高	杜鵑	
最大示性 波高(m)	9.8	4.4	1.3		2.1	0.9	1.0	2.2	
週期 (sec)	10.3	11.5	10.8		6.8	4.3	7.1	7.0	
波向	NE	Е	Е	=	ENE	W	EN	EN	
波浪資料							1.39	2.27	
及水貝竹							(5.2)	(5.3)	
(Error) _{RMS}		0.28							

表 3.3-5 蘇澳港颱風波浪推算結果

	賀伯	瑞伯	西馬隆	奇比	桃芝	利奇馬	梵高	杜鵑
最大示性 波高(m)	9.3	7.3	3.3	2.3	4.1	2.8	2.2	8.7
週期 (sec)	16.0	13.6	12.4	7.2	10.4	11.7	13.7	22.5
波向	Е	ES	SSE	ES	SSE	S	ESE	ESE
實測波高				2.49			2.39	9.1
及週期				(9.3)			(6.3)	(10.4)
(Error) _{RMS}	0.28							

表 3.3-6 高雄港颱風波浪推算結果

	賀伯	瑞伯	西馬隆	奇比	桃芝	利奇馬	梵高	杜鵑
最大示性 波高(m)	2.0	2.8	3.4	6.4	2.2	2.9		4.1
週期 (sec)	6.6	11.3	12.3	11.3	6.7	6.2	=	11.2
波向	WNW	SSE	SSE	WSW	WNW	WN		S
波浪資料				7.95 (7.8)			3.57 (6.8)	4.91 (5.8)
(Error) _{RMS}	1.24							

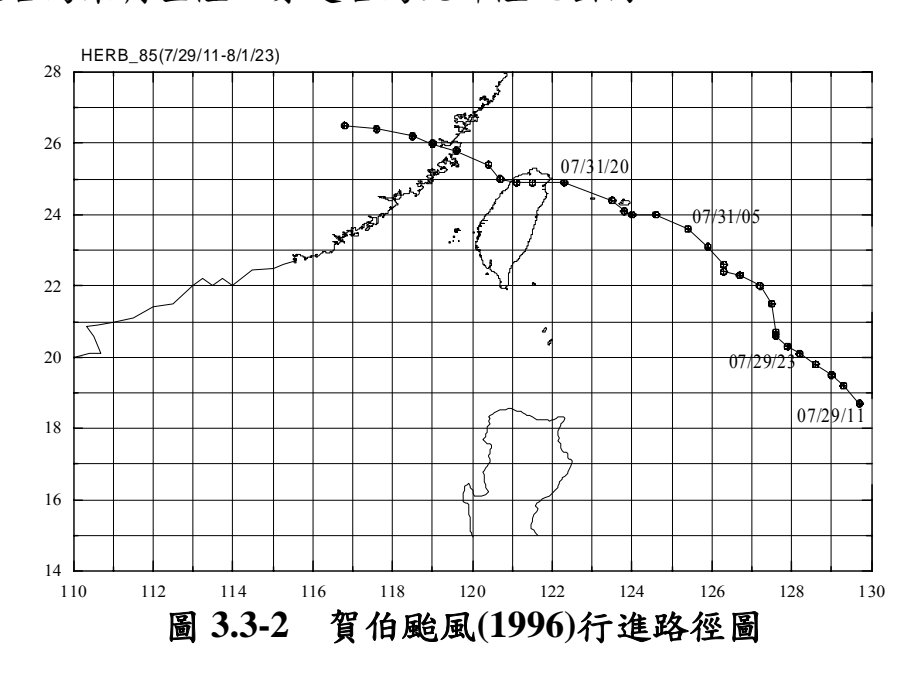
表 3.3-7 安平港颱風波浪推算結果

	賀伯	瑞伯	西馬隆	奇比	桃芝	利奇馬	梵高	杜鵑
最大示性 波高(m)	2.3	2.4	1.9	5.7	2.3	2.8		3.9
週期 (sec)	7.1	5.6	10.7	10.9	6.9	7.5		11.5
波向	W	WNW	S	WSW	WNW	WNW W		S
波浪資料				6.37	2.18	2.36	3.19	3.52
双瓜貝竹				(9.4)	(5.3)	(5.4)	(7.8)	(7.4)
(Error) _{RMS}	0.45							

表 3.3-8 台中港颱風波浪推算結果

	賀伯	瑞伯	西馬隆	奇比	桃芝	利奇馬	梵高	杜鵑
最大示性 波高(m)	5.0	2.3		3.1	3.2	2.2		2.0
週期 (sec)	10.7	7.0		9.4	5.7	8.9		12.8
波向	NNE	NNW	=	WSW	NNE	WS	=	WS
備註								

相較於 WAM 及 SWAN 等二維波浪模式,本計畫之半經驗颱風波浪模式具有運算快速之特點,於海岸防災系統上,可提供即時之颱風波浪預警訊息。鑑於侵台颱風之實際路徑往往多變難測,而中央氣象局所發佈之颱風警報,對於颱風之後續行進路徑與發展均屬預測之結果,因此海岸防災系統中各種颱風波浪推算模式均會受這些不確定性因素而影響其推算結果,為瞭解這些不確定性因素對定點風域推算半經驗預報系統颱風波浪推算結果之影響,本計畫以花蓮港及賀伯颱風為例進行探討。圖 3.3-2 所示為賀伯颱風侵台路徑圖,顯示賀伯颱風行進方向並非一層不變且行進速度亦忽快忽慢,如表 3.3-9 所示。表中所列為中央氣象局所發佈的颱風中心位置及其相關颱風資料,其中颱風行進方向及速度係根據颱風中心位置之計算結果。根據中央氣象局發佈之賀伯颱風侵資料顯示,賀伯颱風初始(07/29/11~07/30/05)行進方向約為西北偏西向(N-50°);之後出現短暫滯留再以近西北北逐漸偏西北方向行進,並於07/31/05 時後以近似西北西(N-70°)方向接近台灣東北部海域,最後再折向西從台灣東角登陸,穿越台灣北部陸地出海。



由於移動風域數值推算模式係假設颱風移動方向不變(即直線行進路徑),推算各方向吹風距離線上颱風波浪之大小及週期。因此模式操作可依中央氣象局所發佈的即時颱風資料,模擬各種可能的行進路徑及颱風移動速度,推算各港口颱風波浪大小,作為海岸防災之預警訊息。如以針對賀伯颱風案為例,本計畫根據 07/29/11 時所發佈的賀伯颱風資

訊進行數值模擬,此時賀伯颱風中心低氣壓為 920mb,依其可能行進方向選擇三種方向角及移動速度(如表 3.3-10 及圖 3.3-3 所示),分別推算花蓮港可能發生的颱風波浪大小並與實測波浪資料校驗,如圖 3.3-4 所示。圖 3.3-4 所示分別賀伯颱風以三種不同移動速度行進(行進方向約為 N-50°或 θ =140°)之模擬結果,結果顯示花蓮港颱風波浪最大示性波高約8~9m,颱風移動速對最大示性波高之影響較不顯著,各吹風距離線波浪發展的歷時曲線受颱風移動速快慢影響較顯著。概括而言,颱風移動速度較快者其最大示性波高略高於移動速度較慢者。圖 3.3-5 及圖 3.3-6 所示分別為颱風行進方向 N-52.5°(或 θ =142.5°)及 N-55.0°(或 θ =145°)分別三種不同移動速度行進之模擬結果;結果顯示當颱風行進方向偏向台灣陸地時,花蓮港可能發生的最大示性波高亦隨之增大。

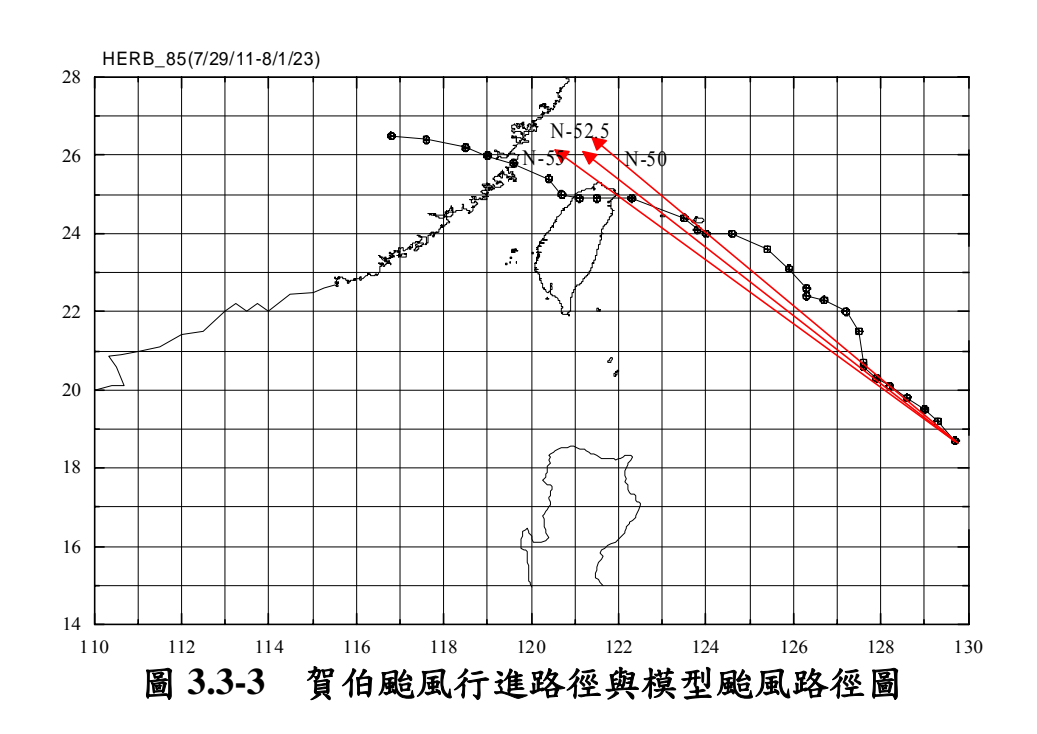
表 3.3-9 1996 年賀伯颱風資料一覽表

	颱風中	心位置	颱風中心	颱風移動	颱風移動
時間	(經度	, 緯度)	氣壓(mb)	速度	方向
				(km/hr)	
1996/7/29 11:00	129.7	18.7	920	23.23	127.2
1996/7/29 14:00	129.3	19.2	920	15.29	133.4
1996/7/29 17:00	129.0	19.5	920	17.85	141.5
1996/7/29 20:00	128.6	19.8	920	17.83	141.5
1996/7/29 23:00	128.2	20.1	930	12.80	144.7
1996/7/30 02:00	127.9	20.3	930	15.24	133.2
1996/7/30 05:00	127.6	20.6	930	3.704	90.0
1996/7/30 08:00	127.6	20.7	930	29.83	96.7
1996/7/30 11:00	127.5	21.5	930	21.21	119.2
1996/7/30 14:00	127.2	22.0	930	20.46	147.1
1996/7/30 17:00	126.7	22.3	930	14.22	164.9
1996/7/30 20:00	126.3	22.4	930	7.40	90.0
1996/7/30 23:00	126.3	22.6	930	23.02	126.5
1996/7/31 02:00	125.9	23.1	930	25.16	132.6
1996/7/31 05:00	125.4	23.6	930	30.94	151.4
1996/7/31 08:00	124.6	24.0	930	20.34	180.0
1996/7/31 11:00	124.0	24.0	930	7.723	151.3

	颱風中	心位置	颱風中心	颱風移動	颱風移動
時間	(經度	, 緯度)	氣壓(mb)	速度	方向
				(km/hr)	
1996/7/31 14:00	123.8	24.1	930	15.05	132.4
1996/7/31 17:00	123.5	24.4	930	44.51	155.4
1996/7/31 20:00	122.3	24.9	930	26.93	180.0
1996/7/31 23:00	121.5	24.9	930	13.46	180.0
1996/8/01 02:00	121.1	24.9	950	13.96	164.6
1996/8/01 05:00	120.7	25.0	950	17.91	124.2
1996/8/01 08:00	120.4	25.4	965	30.60	151.0
1996/8/01 11:00	119.6	25.8	968	21.35	159.7
1996/8/01 14:00	119.0	26.0	968	18.23	156.0
1996/8/01 17:00	118.5	26.2	968	30.84	166.1
1996/8/01 20:00	117.6	26.4	972	26.83	172.1
1996/8/01 23:00	116.8	26.5	975	26.836	172.1
註: 颱風移	動方向係	《以東向》	為零度,逆	.時針方向	為正

表 3.3-10 颱風中心於(129.7°,18.7°)時模型颱風之假設條件

颱風中心氣壓	颱風移動方向	颱風移動速度
(mb)	(θ)	(km/hr)
920	140	15
920	142.5	17
920	145	20



當賀伯颱風於 07/29/23 時中心低氣壓轉為 930mb,由於此時颱風行進方向並未發生顯著的變化,因此模式操作上僅需修正颱風中心低氣壓為 930mb 重新推算各港口颱風波浪大小及其延時,花蓮港颱風波浪模擬結果如圖 3.3-7 至圖 3.3-9 所示。由上述模擬結果得知當賀伯颱風行進路徑偏北時,颱風波浪對花蓮港之影響將會降低,因此在預警操作上不須重新推算颱風波浪;惟當賀伯颱風行進路徑再次偏西對台灣造成威脅時,模式操作上必須重新推算颱風波浪大小及其延時。例如賀伯颱風於07/31/05 時,颱風中心位於(125.4°,23.5°),預測行進路徑為西北西;模式模擬條件如表 3.3-11 及圖 3.3-10 所示,花蓮港颱風波浪推算結果如圖 3.3-11 至圖 3.3-12 所示。模擬結果顯示模式推算結果與實測資料間誤差相當大,探討其原因可歸因於因推算點(花蓮港)位居模擬颱風行進路線之下鋒處,導致 E、ENE 及 EN 方向所模擬之最大示性波高均屬於颱風沿模擬路徑行進抵達颱風中心位置(125.4°,23.5°)之前所發展出的颱風波浪,此與賀伯颱風實際行進路線不同,故圖 3.3-11 至圖 3.3-12 中 E、ENE 及 EN 方向之模擬結果必須進一步修正。

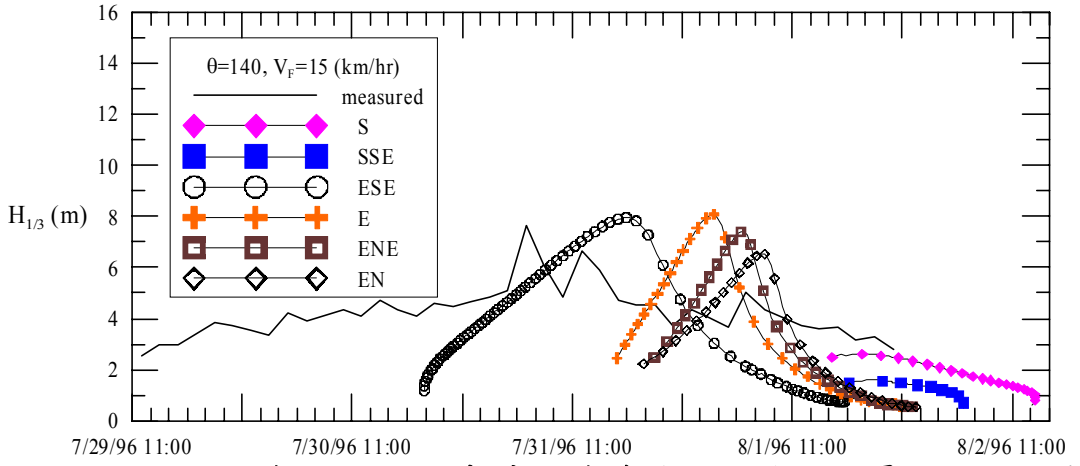


圖 3.3-4(a) 模擬賀伯颱風侵臺時,花蓮港可能發生之最大示性波高 及延時預測結果

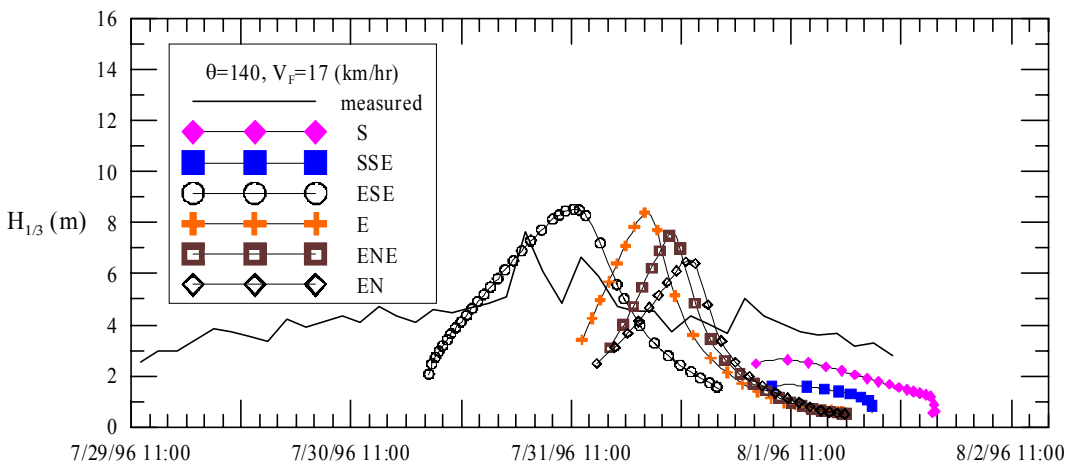


圖 3.3-4(b) 模擬賀伯颱風侵臺時,花蓮港可能發生之最大示性波高 及延時預測結果

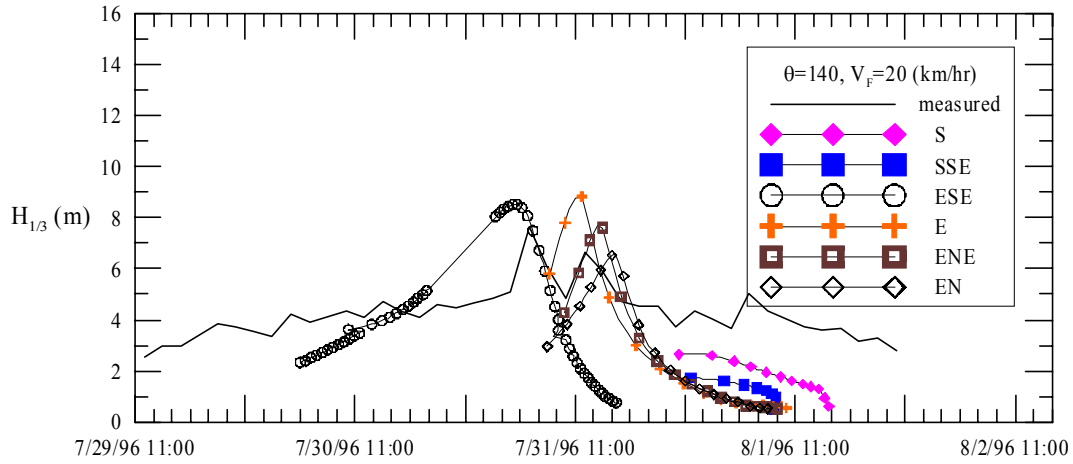


圖 3.3-4(c) 模擬賀伯颱風侵臺時,花蓮港可能發生之最大示性波高 及延時預測結果

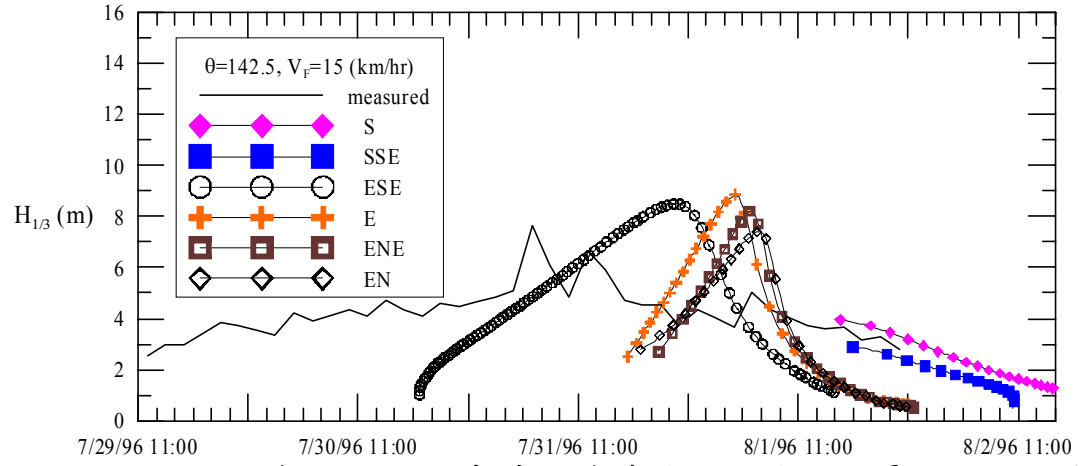


圖 3.3-5(a) 模擬賀伯颱風侵臺時,花蓮港可能發生之最大示性波高 及延時預測結果

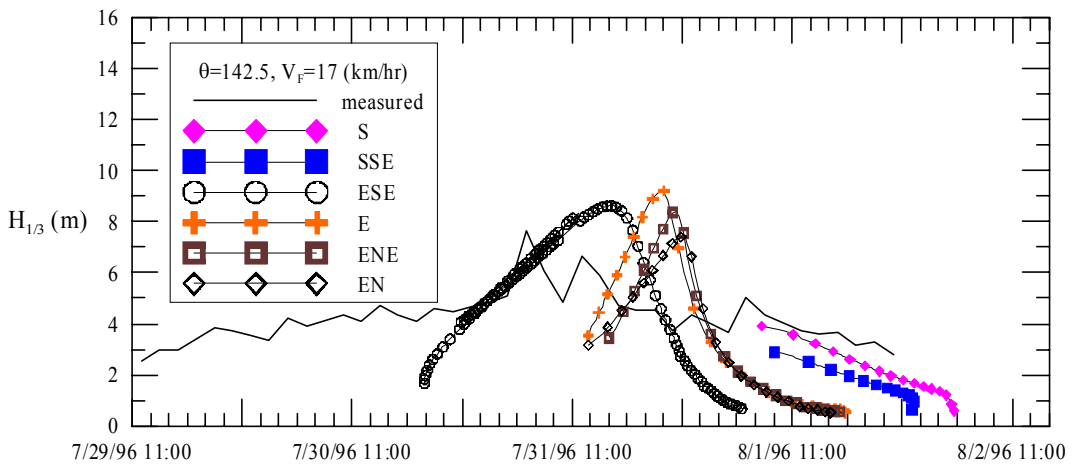


圖 3.3-5(b) 模擬賀伯颱風侵臺時,花蓮港可能發生之最大示性波高 及延時預測結果

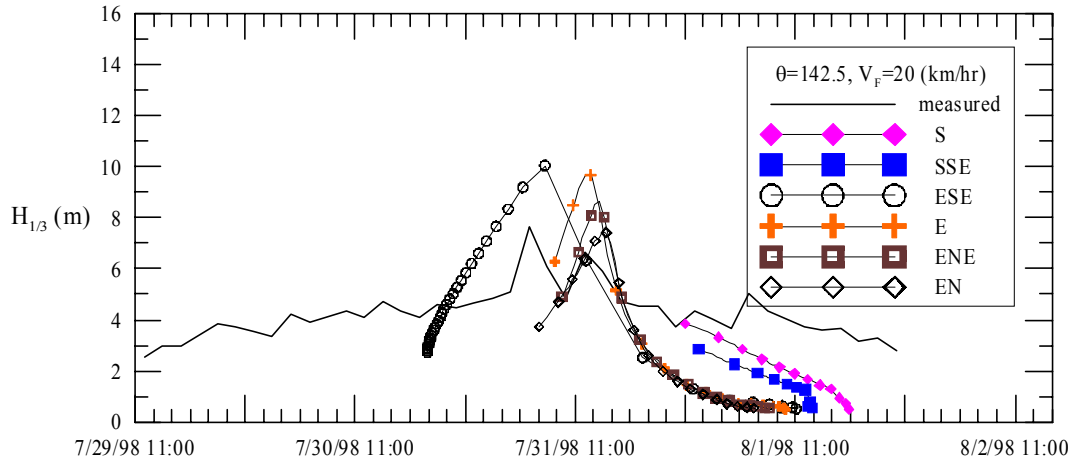


圖 3.3-5(c) 模擬賀伯颱風侵臺時,花蓮港可能發生之最大示性波高 及延時預測結果

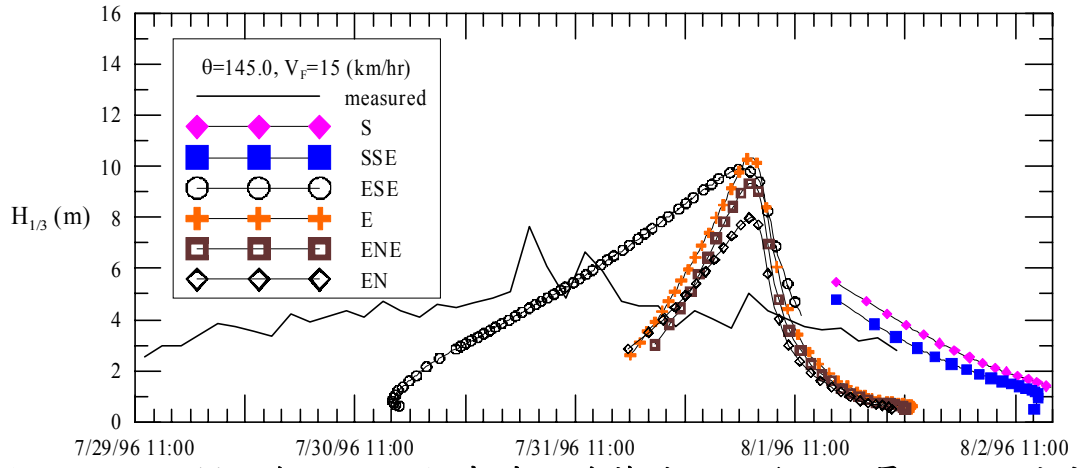


圖 3.3-6(a) 模擬賀伯颱風侵臺時,花蓮港可能發生之最大示性波高 及延時預測結果

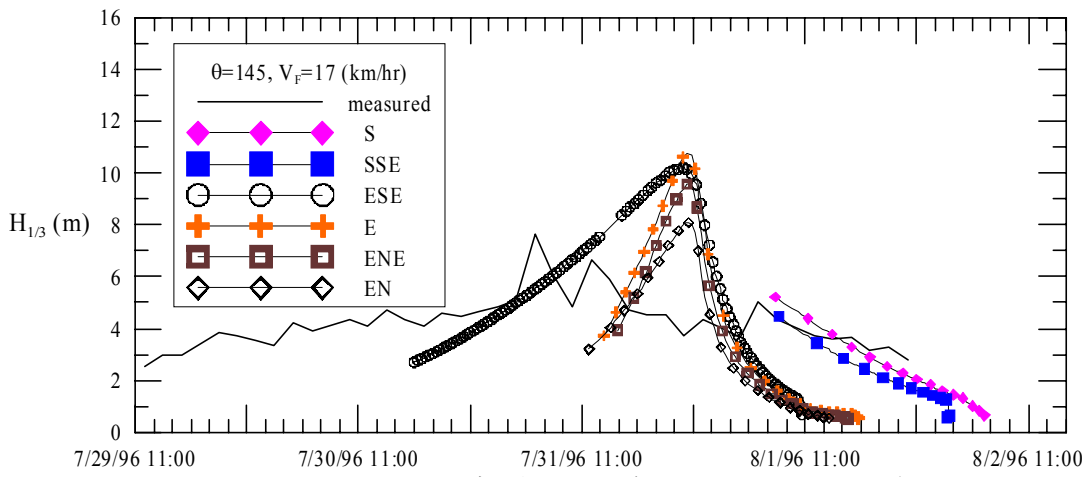


圖 3.3-6(b) 模擬賀伯颱風侵臺時,花蓮港可能發生之最大示性波高 及延時預測結果

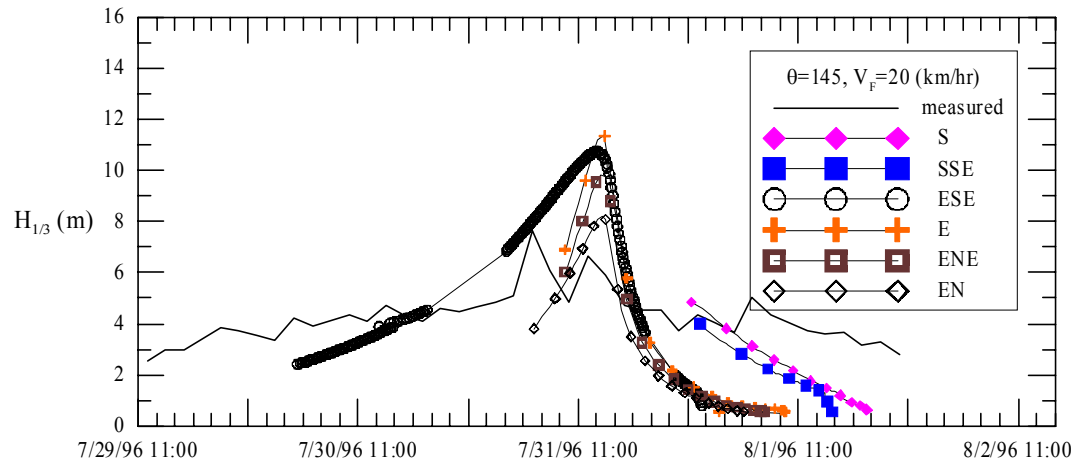


圖 3.3-6(c) 模擬賀伯颱風侵臺時,花蓮港可能發生之最大示性波高 及延時預測結果

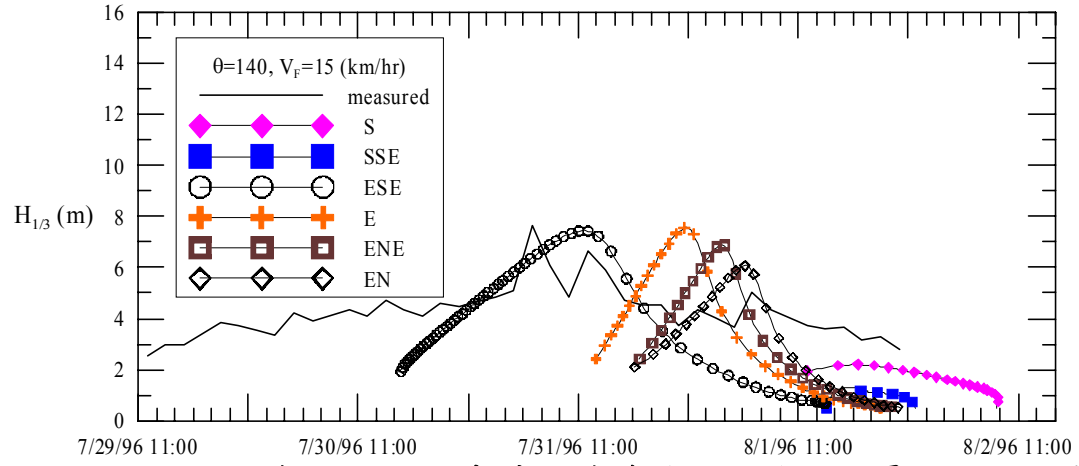


圖 3.3-7(a) 模擬賀伯颱風侵臺時,花蓮港可能發生之最大示性波高 及延時預測結果

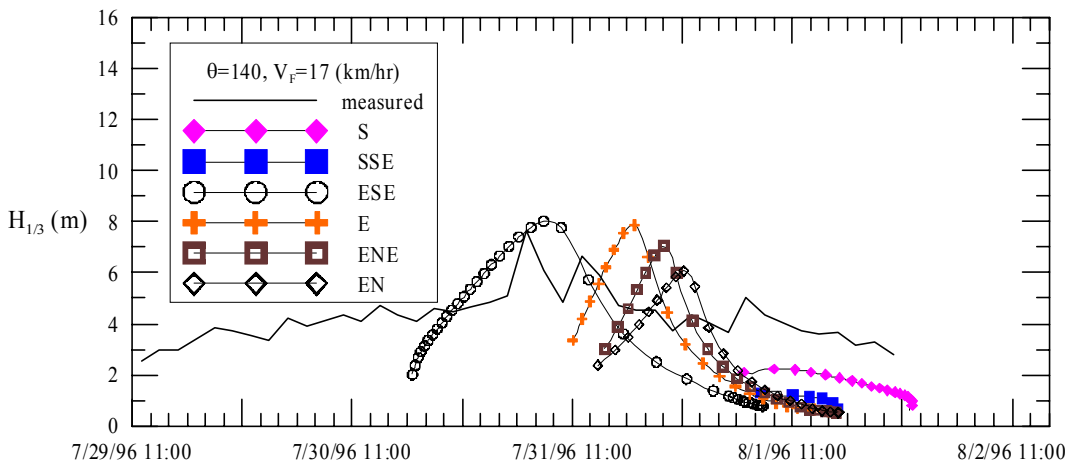


圖 3.3-7(b) 模擬賀伯颱風侵臺時,花蓮港可能發生之最大示性波高 及延時預測結果

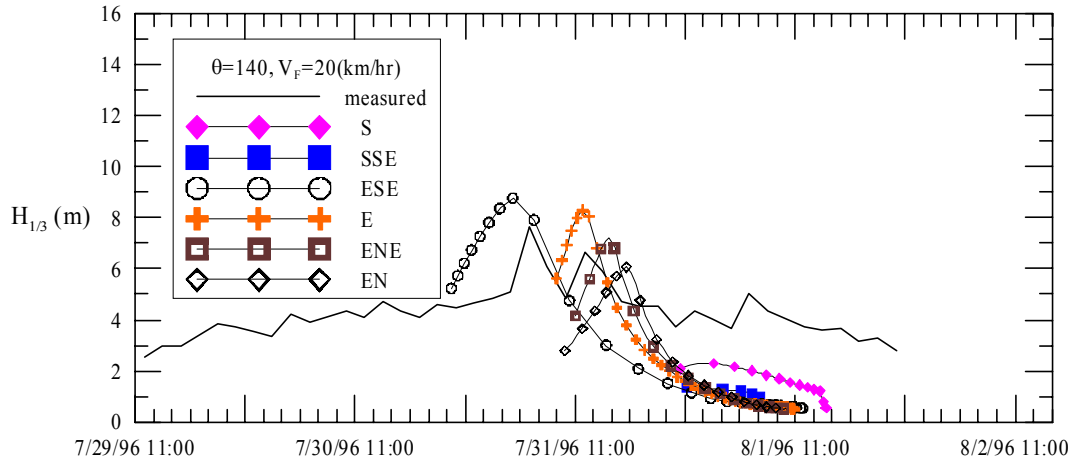


圖 3.3-7(c) 模擬賀伯颱風侵臺時,花蓮港可能發生之最大示性波高 及延時預測結果

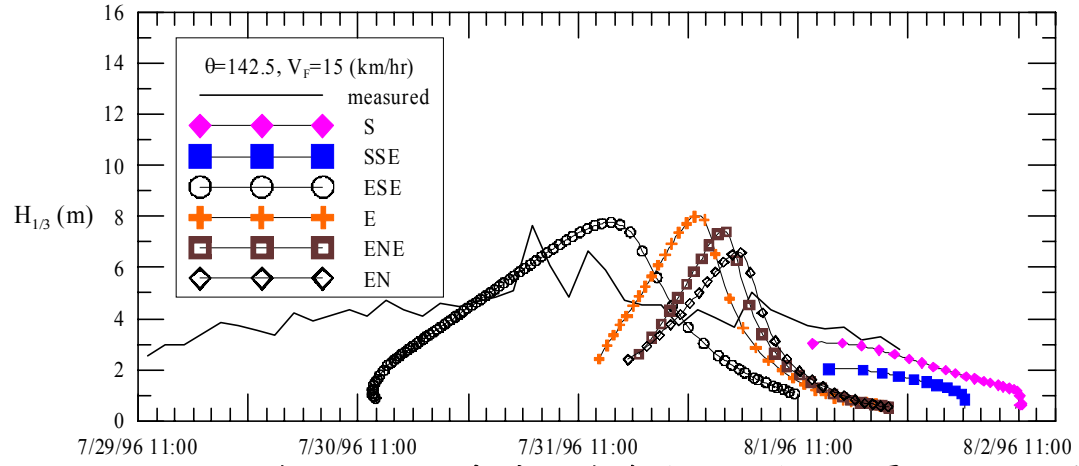


圖 3.3-8(a) 模擬賀伯颱風侵臺時,花蓮港可能發生之最大示性波高 及延時預測結果

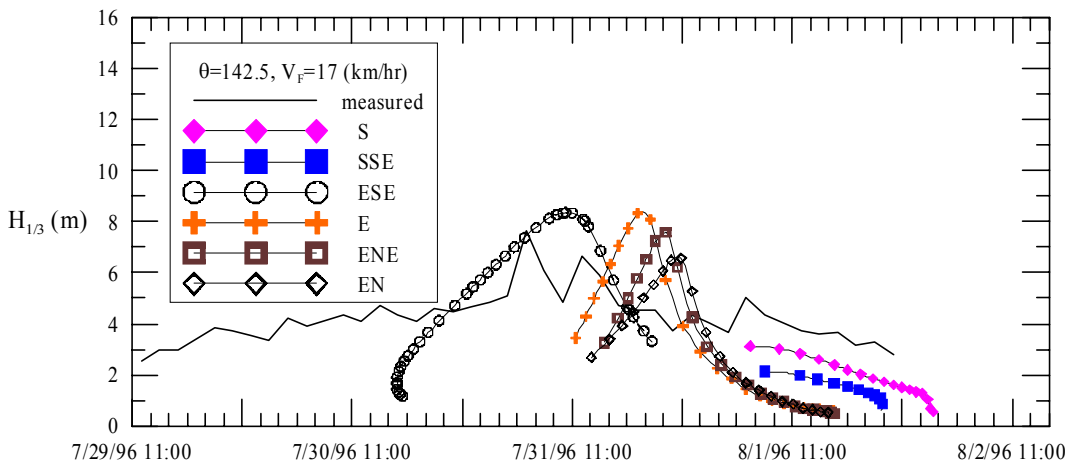


圖 3.3-8(b) 模擬賀伯颱風侵臺時,花蓮港可能發生之最大示性波高 及延時預測結果

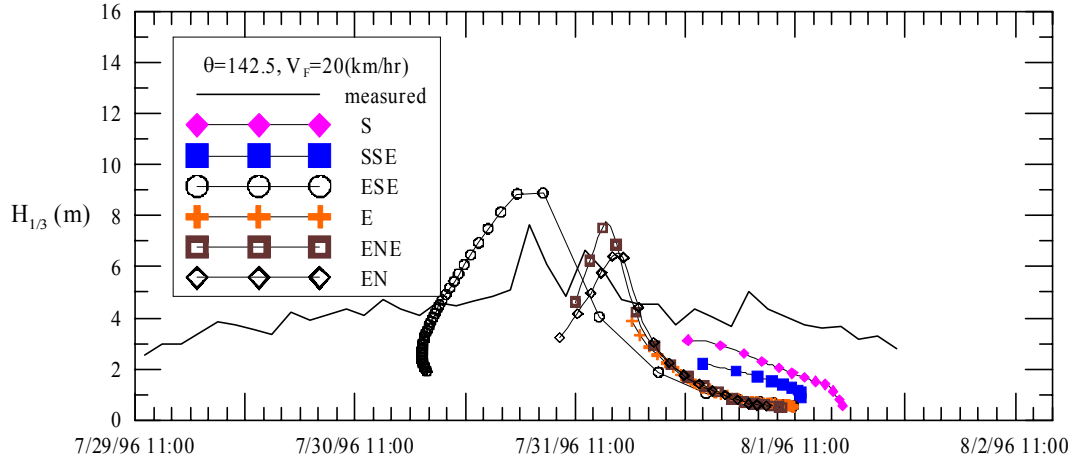


圖 3.3-8(c) 模擬賀伯颱風侵臺時,花蓮港可能發生之最大示性波高 及延時預測結果

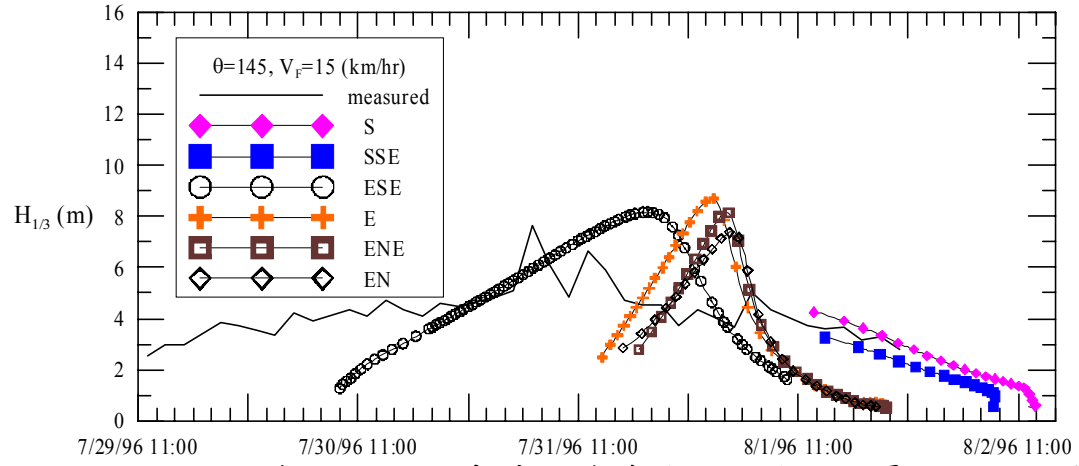


圖 3.3-9(a) 模擬賀伯颱風侵臺時,花蓮港可能發生之最大示性波高 及延時預測結果

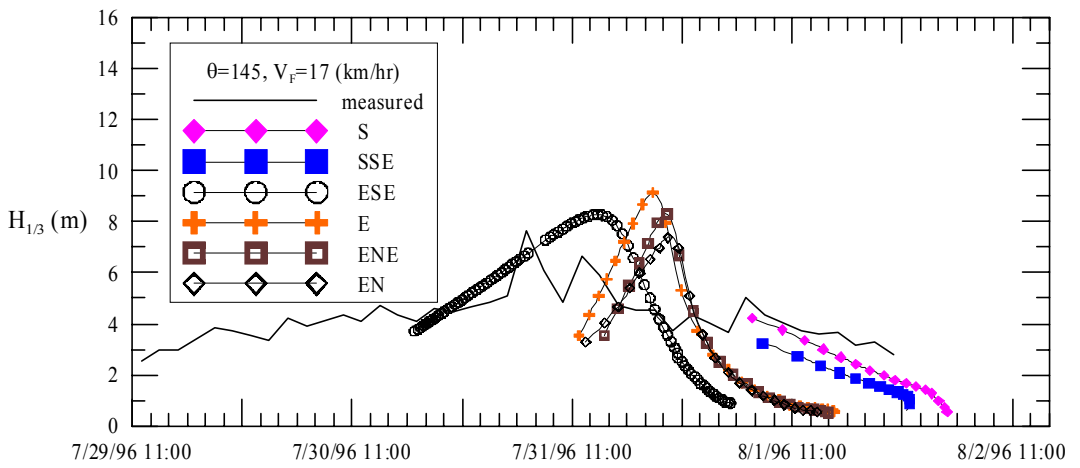


圖 3.3-9(b) 模擬賀伯颱風侵臺時,花蓮港可能發生之最大示性波高 及延時預測結果

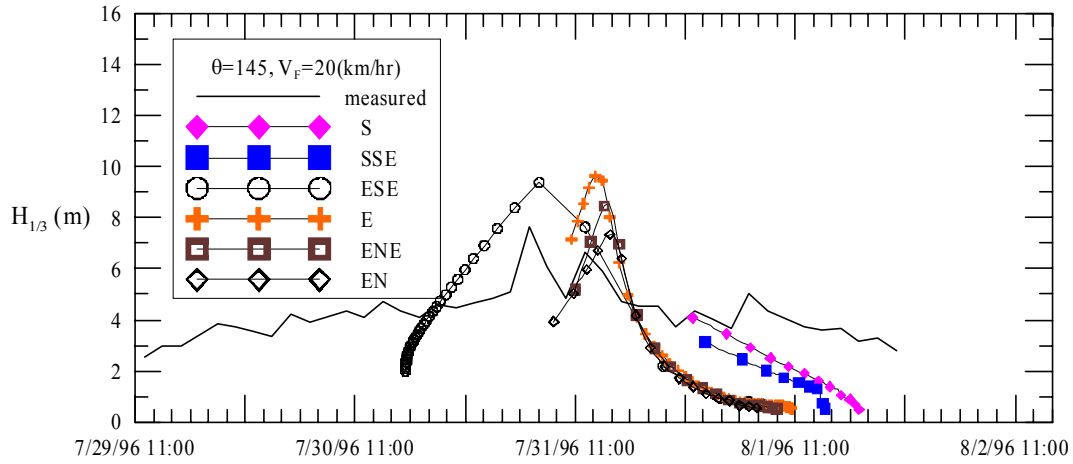


圖 3.3-9(c) 模擬賀伯颱風侵臺時,花蓮港可能發生之最大示性波高 及延時預測結果

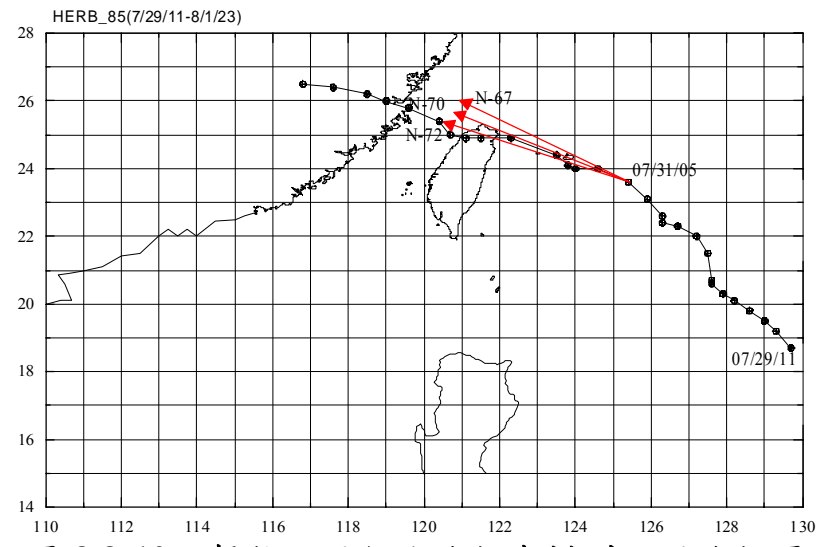


圖 3.3-10 賀伯颱風行進路徑與模型颱風路徑圖

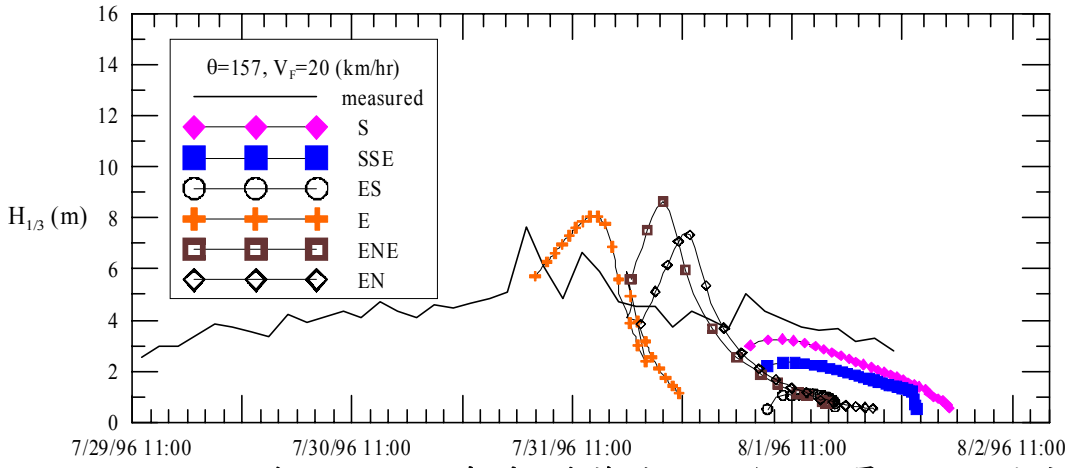


圖 3.3-11(a) 模擬賀伯颱風侵臺時,花蓮港可能發生之最大示性波高及延時預測結果

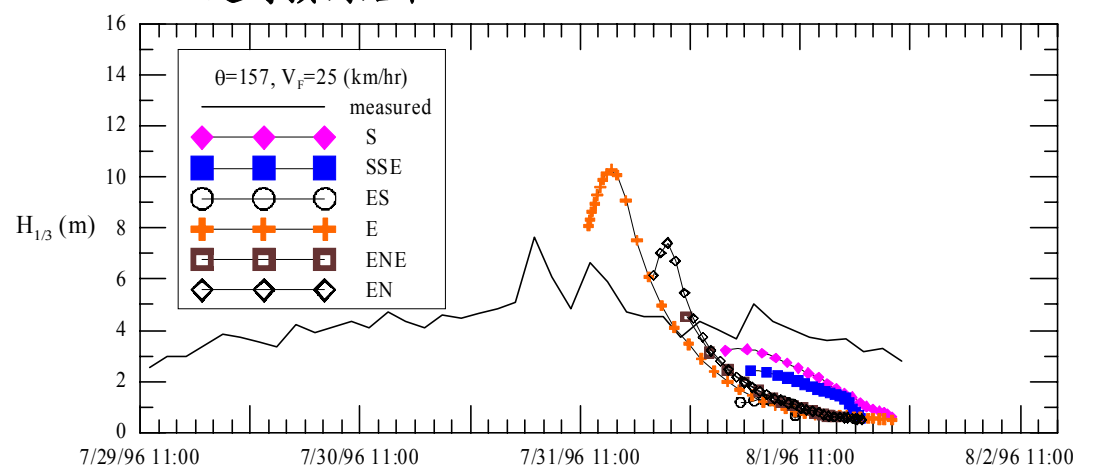


圖 3.3-11(b) 模擬賀伯颱風侵臺時,花蓮港可能發生之最大示性波高 及延時預測結果

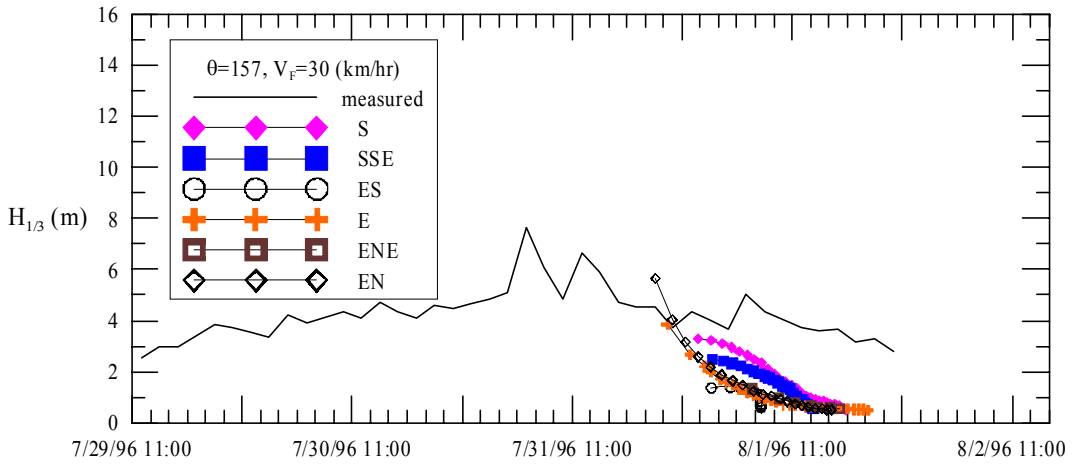


圖 3.3-11(c) 模擬賀伯颱風侵臺時,花蓮港可能發生之最大示性波高及延時預測結果

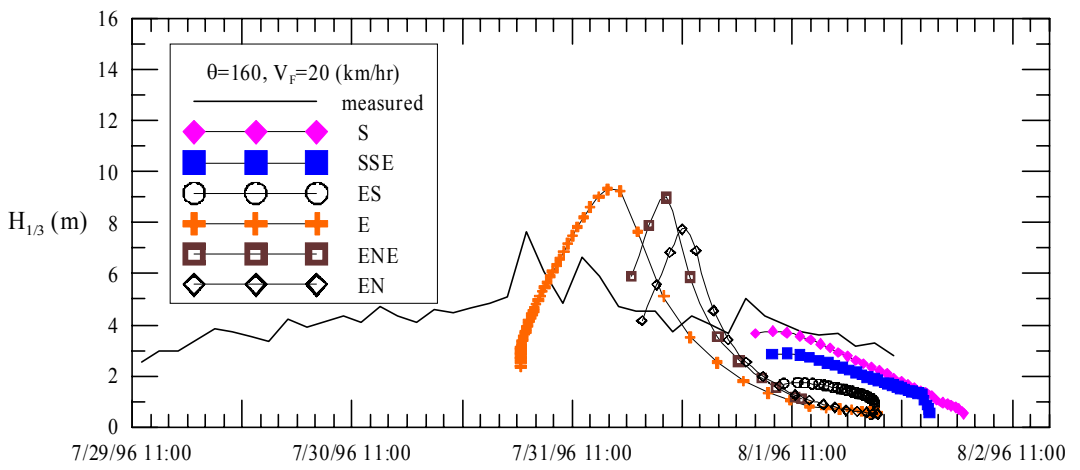


圖 3.3-12(a) 模擬賀伯颱風侵臺時,花蓮港可能發生之最大示性波高及延時預測結果

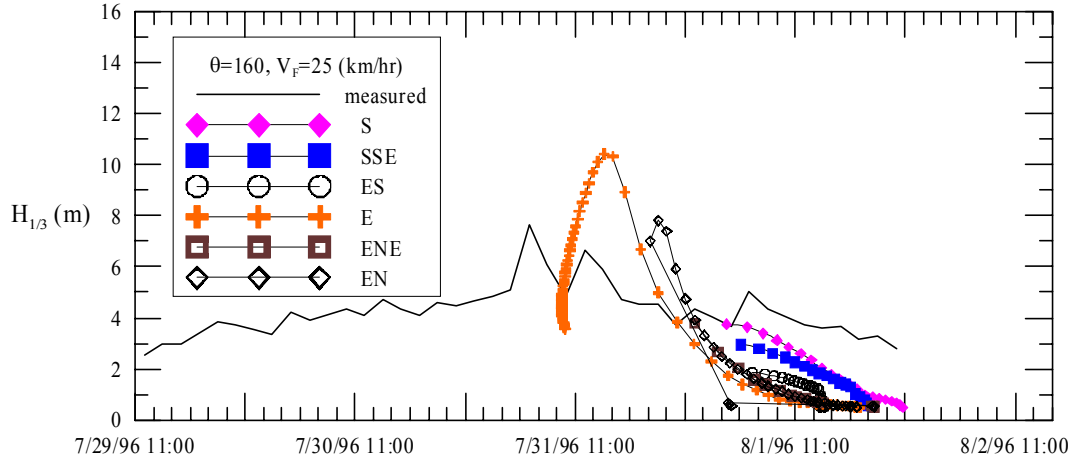


圖 3.3-12(b) 模擬賀伯颱風侵臺時,花蓮港可能發生之最大示性波高 及延時預測結果

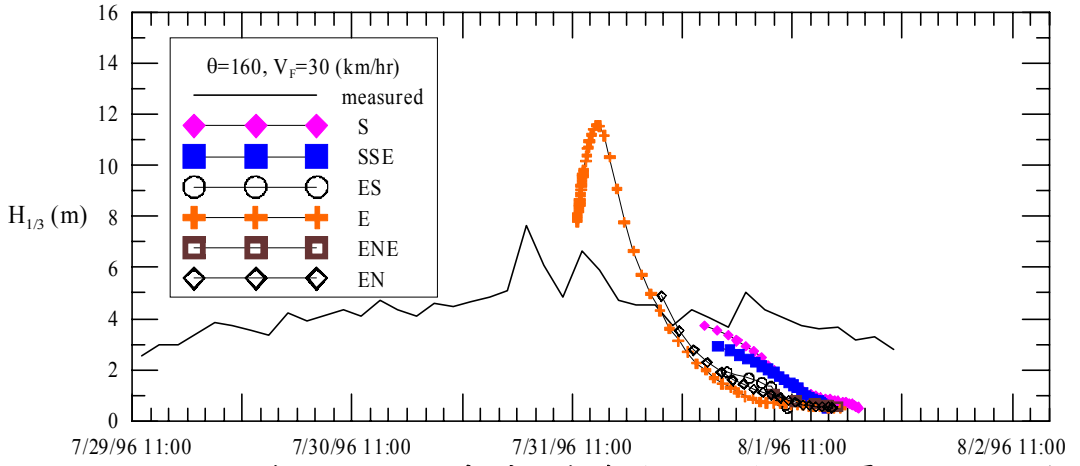


圖 3.3-12(c) 模擬賀伯颱風侵臺時,花蓮港可能發生之最大示性波高及延時預測結果

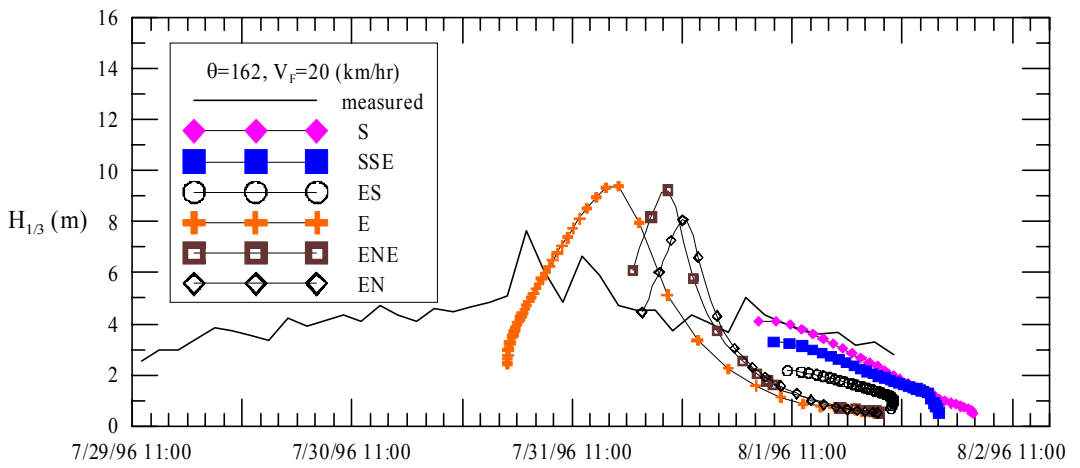


圖 3.3-13(a) 模擬賀伯颱風侵臺時,花蓮港可能發生之最大示性波高及延時預測結果

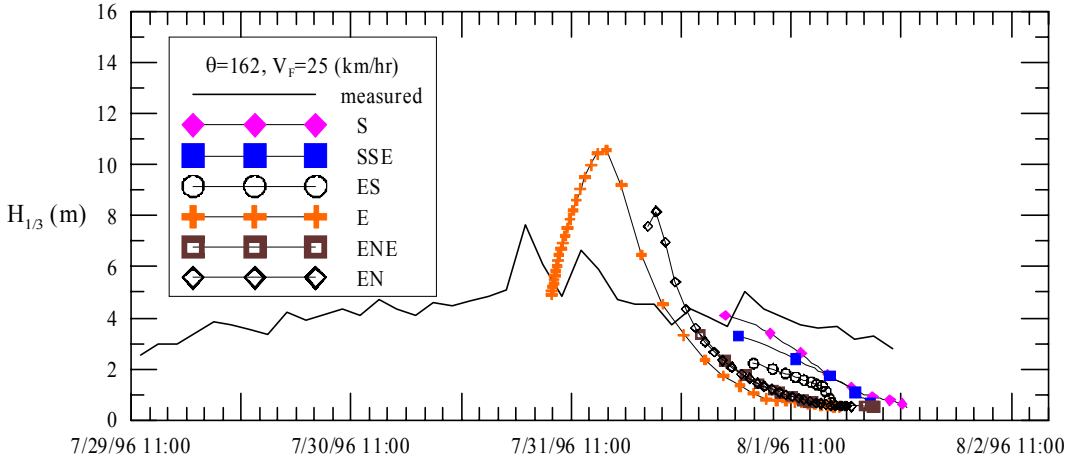


圖 3.3-13(b) 模擬賀伯颱風侵臺時,花蓮港可能發生之最大示性波高 及延時預測結果

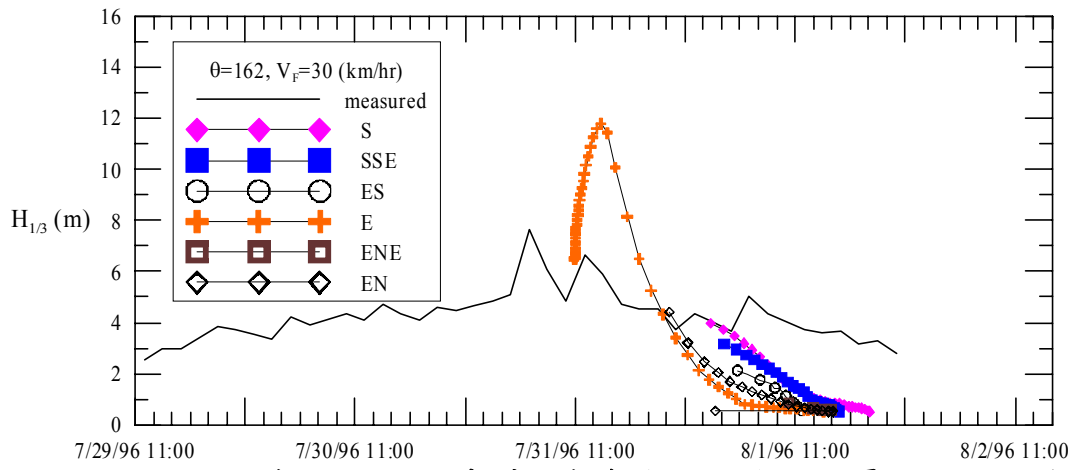


圖 3.3-13(c) 模擬賀伯颱風侵臺時,花蓮港可能發生之最大示性波高及延時預測結果

3.3.3 討論

雖然本計畫移動風域數值推算模式計算結果不若 WAM 及 SWAN 之全面性,但因模式本身具有運算快速之特點,於海岸防災預報系統 上,對於侵台颱風警報本模式可提供即時之颱風波浪預警訊息。因此, 本年度工作主要內容為進行模式之率定與校驗,以期增進模式颱風波浪 推算之精度。

經由一系列颱風參數之率定與校驗顯示,颱風波浪推算結果以調整風場之參數 C_{W1} 及 C_{W2} 最為敏感,其次為颱風路徑;其中 C_{W1} 約介 $0.55\sim0.90$ 之間, C_{W2} 約介 $1.0\sim1.50$ 之間。如 2003 年杜鵑颱風侵台期間臺灣東部地區出現 9m 以上大浪,模式以蘇澳港波浪為參數率定對象,結果顯示當 $C_{W1}=0.9$ 及 $C_{W2}=1.5$ 時模式模擬之波高為 8.7m,相同的參數用於花蓮、港高雄港及安平港所得颱風波高分別為 7.4m、4.1m 及 3.9m,與實測颱風波浪均相近似。

本計畫 3.3.2 節以花蓮港及賀伯颱風為案例進行颱風波浪推算與驗証,結果顯示當模式所模擬之行進路徑若與實際颱風行進路徑相近似時,模式所推算之最大示性波高值與實測波浪最大波高間誤差可望縮小;當模擬之颱風移動速度與颱風實際移動速度之平均值相近時,則模式所推算之最大示性波高之時間延時亦會與實測波浪最大波高發生之時間延時相近。當實際颱風行進路徑改變時,模式所模擬之颱風路徑必

須同時考量颱風之歷史路徑、颱風中心位置及推算點位置等因素,方可 避免數值模擬結果出現與事實不相符之假象結果。

3.4 各類風浪模式之比較與整合

3.4.1 WAM 模式與 SWAM 模式比較

在全域風浪模式中,透過參數化之颱風風場模式來模擬颱風的風場,應用 WAM 模式與 SWAM 模式交互配合運用,可清楚模擬出颱風波浪於近岸處的分佈情形。以今年的妮妲颱風期間 (05/13~05/21) 蘇澳港之示性波高與週期模擬為例,由以下時序列變化圖相較,在示性波高與週期的模擬表現上,以 WAM model 的模擬數值較為貼近中央氣象局的實測值,但在趨勢上二者的趨勢大都吻合實測值的變化趨勢。

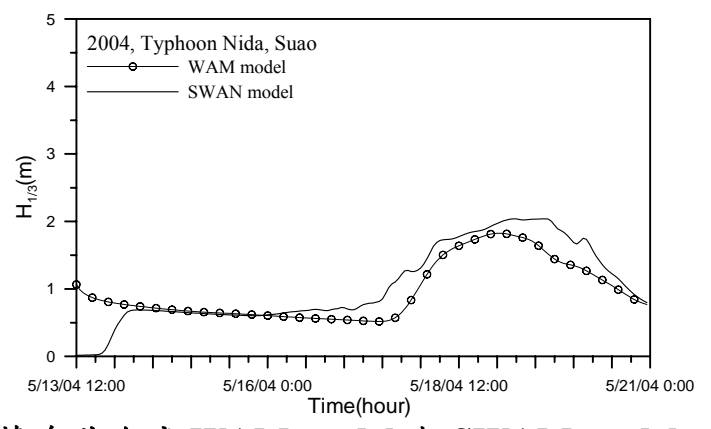


圖 3.4-1 蘇澳港海域 WAM model 與 SWAM model 之示性波高 時序列變化圖

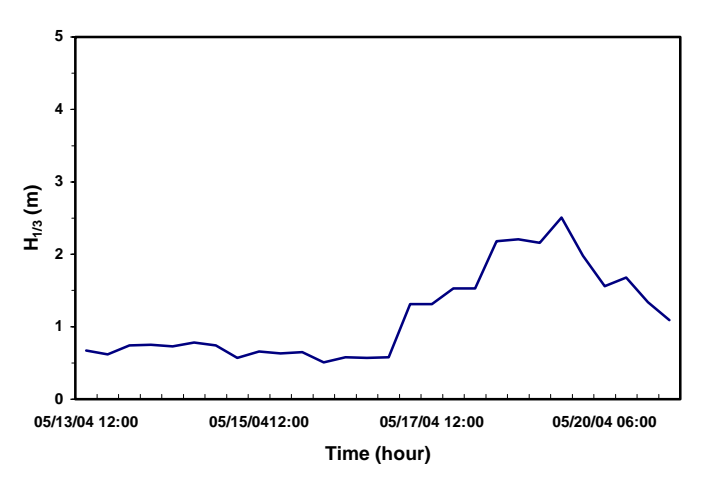


圖 3.4-2 蘇澳港海域實測波高時序列變化圖

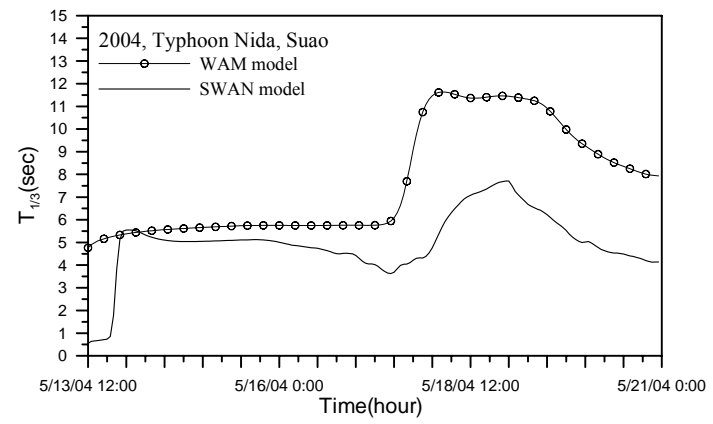


圖 3.4-3 蘇澳港海域 WAM model 與 SWAM model 之示性週期 時序列變化圖

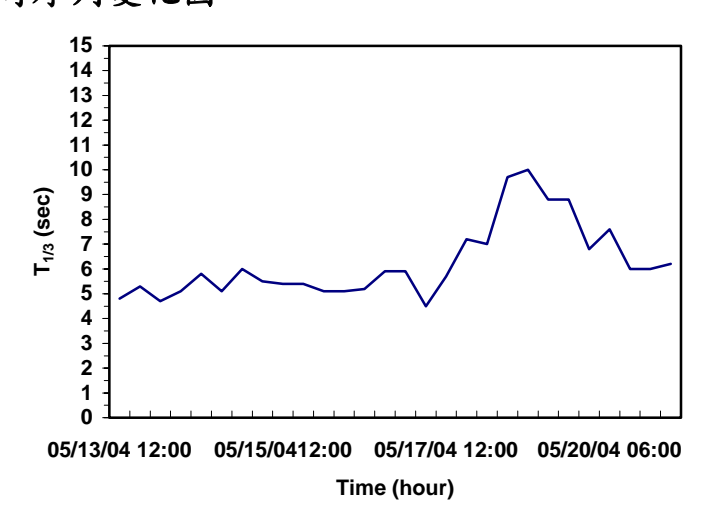


圖 3.4-4 蘇澳港海域實測週期時序列變化圖

由於妮妲颱風路徑與台灣距離稍遠,依實測數值最大波高出現在 05/19 約 2.5 公尺,週期 10sec,以 WAM model 模擬之示性波高最大值 為 2 公尺,週期約為 11.5sec,而 SWAM model 模擬之示性波高最大值 為 1.8 公尺,週期約為 7.5sec。

3.4.2 類神經網路颱風模式比較

在類神經網路颱風模式方面,以今年發展的模式 Model 2004 與去年的波浪推算模式 Model 2003,在相同的學習條件下進行模式驗證,以 Haiyan (2001)颱風的兩個波浪模式 Model 2003、 Model 2004 模擬與觀測值之颱風波浪示性波高歷線比較,如圖 3.4-5 所示,雖然兩個波浪推算模式的推算結果皆大於實測波高值,但 Model 2004 的波浪平均變

動趨勢較 Model 2003 更接近觀測值,兩個推算模式在颱風波浪最大時的估算相近,颱風遠離時 Model 2004 的波浪消退趨勢較 Model 2003 大。

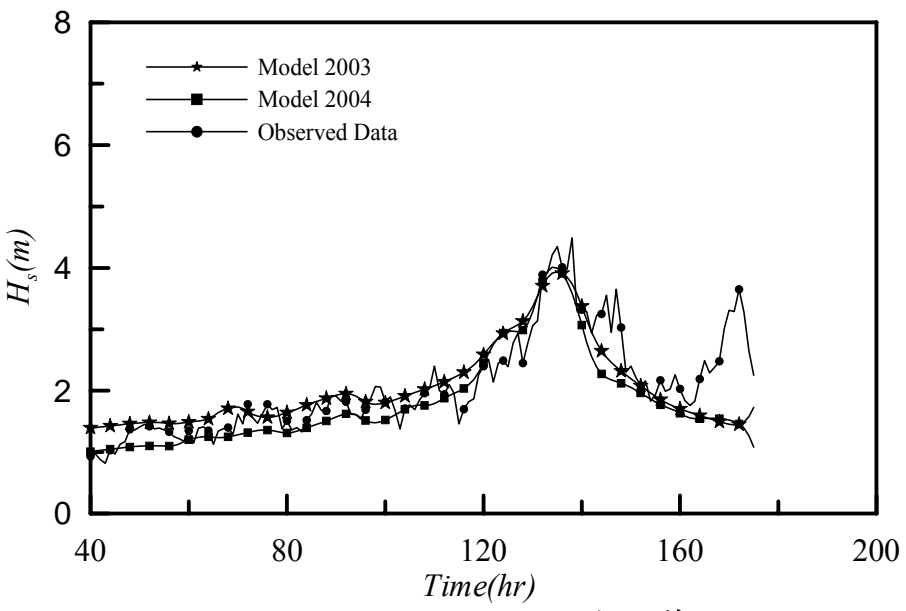


圖 3.4-5 以 Model 2003 及 Model 2004 模式推算 Haiyan (2001)颱風 在花蓮港的示性波高與觀測值之比較

以花蓮港波浪推算模式 Model 2004 對 **Nida**(妮妲,2004) 颱風進行蘇澳港附近海域颱風波浪推算,所得到的趨勢如圖 3.4-6,與實測波浪值之趨勢(圖 3.4-2) 亦吻合接近:

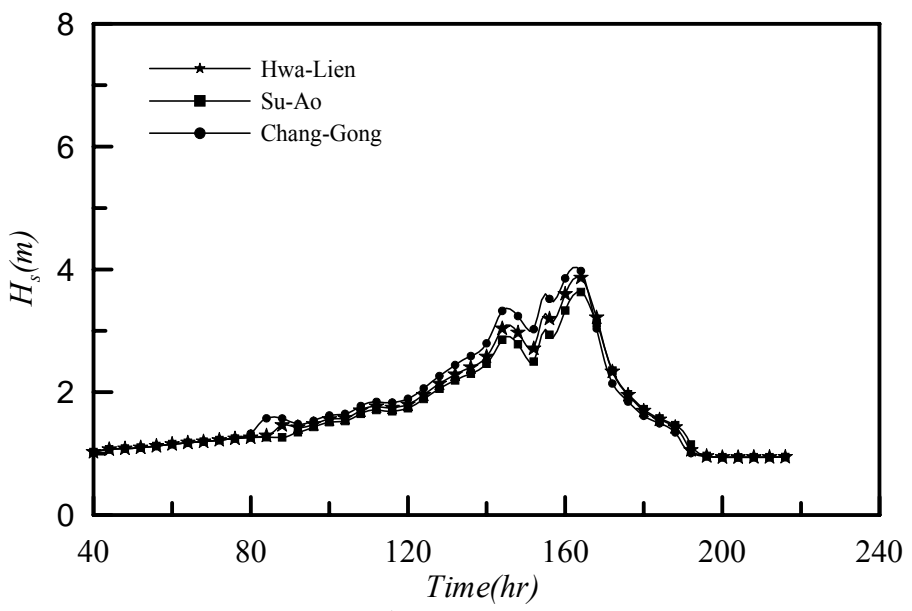


圖 3.4-6 以 Model 2004 推算 Nida (2004)颱風在花蓮港、蘇澳港 及成功港颱風波浪示性波高

以 Model 2004 推算 Nida 颱風之波浪結果最大示性波高約在 4m 左右,模式的推算在最大示性波高較 WAM model 與 SWAM model 高估,但趨勢變化上仍然有其預測的一致性。

今年新增加康森(06/07~06/09)與敏督利(06/27~07/03)二個颱風的波浪模擬預測,以花蓮港與蘇澳港海域為例,在類神經網路颱風模式 Model 2004 的測試與驗證結果,如圖 3.4-7 至 3.4-10 所示:

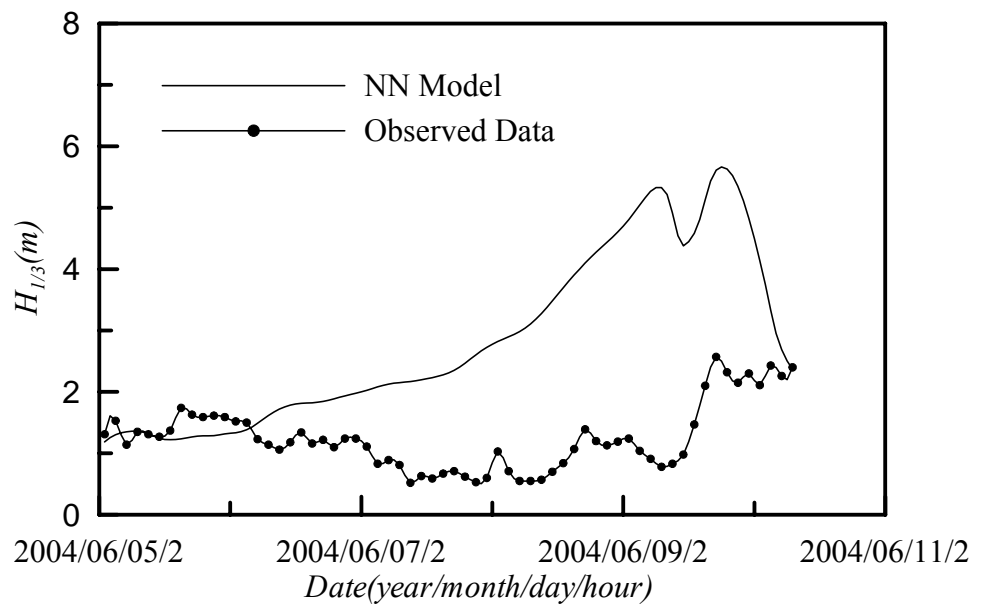


圖 3.4-7 以 Model 2004 推算康森颱風在蘇澳港颱風波浪示性波高

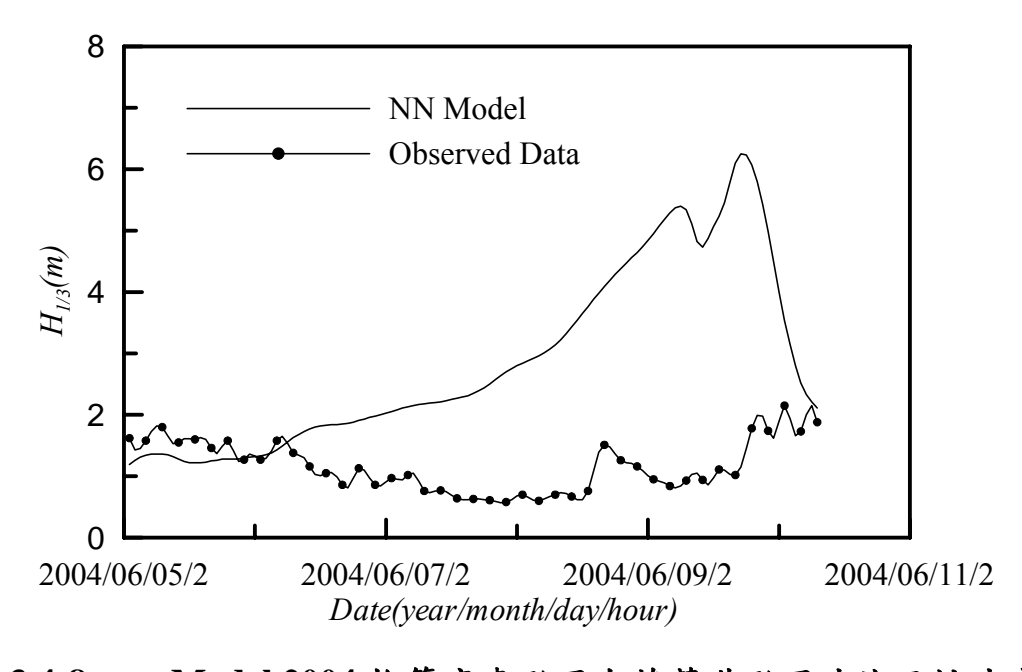


圖 3.4-8 以 Model 2004 推算康森颱風在花蓮港颱風波浪示性波高

康森颱風期間,蘇澳觀測站最大波高約2.5公尺,花蓮觀測站最大波高約2公尺,由圖中可以觀察出實測波浪的颱風波浪的現象並不明顯,模式的推算最大示性波高達到6公尺,則明顯高估許多。而以定點風域推算半經驗颱風波浪模式推算結果,在蘇澳港推估最大有義波高為4.5公尺,週期為11.6sec,花蓮港推估最大有義波高為4.1公尺,週期為11.3sec,在波高上較為貼近實測值,而週期的推算上仍有待進一步改善。

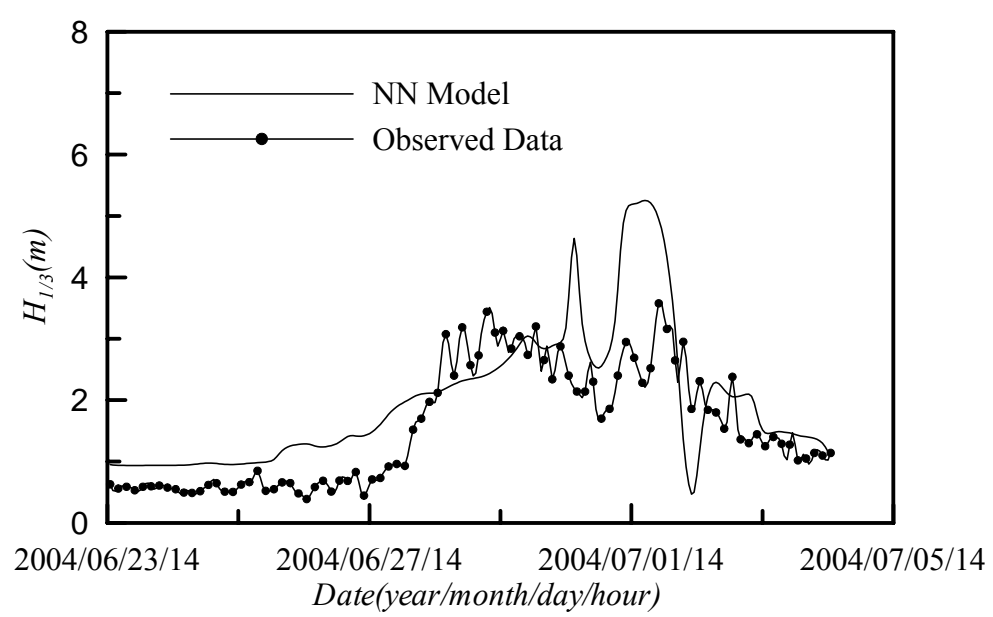


圖 3.4-9 以 Model 2004 推算敏督利颱風在蘇澳港颱風波浪示性波高

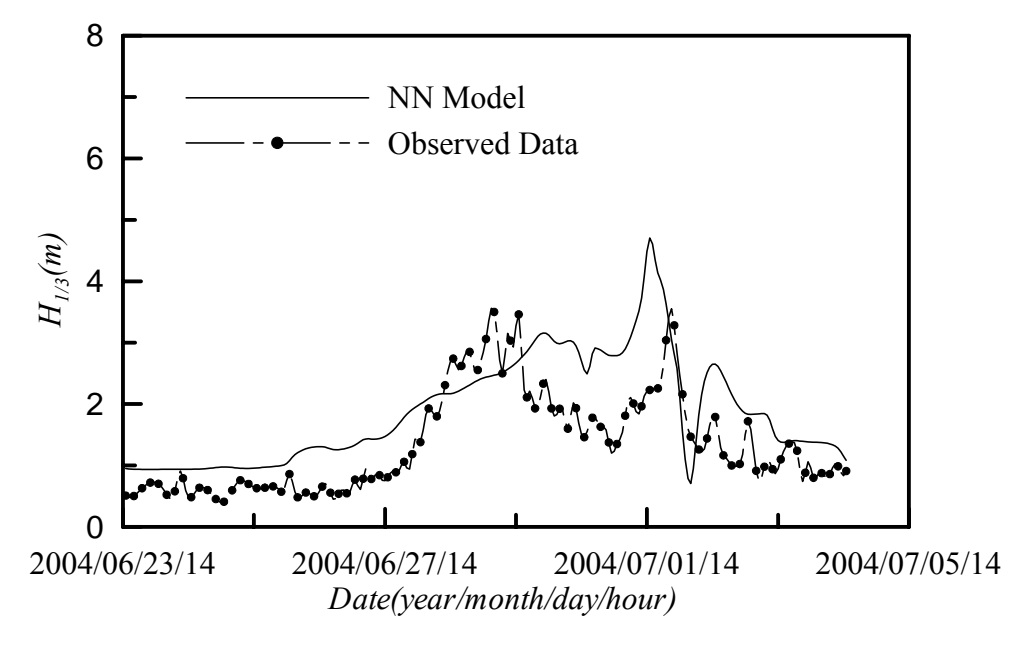


圖 3.4-10 以 Model 2004 推算敏督利颱風在花蓮港颱風波浪示性波高

由時序列變化上可知, 敏督利颱風接近花蓮及蘇澳時有最大的颱風 波浪發生,模式推算的颱風波浪結果反映了颱風行為,類神經推算模式 在颱風中心接近花蓮與蘇澳時推算結果有高估的現象,但較康森颱風之 推估結果更為貼近實測數值。而以定點風域推算半經驗颱風波浪模式推 算結果,颱風中心風壓 950 帕,在蘇澳港推估最大有義波高為 8.5 公尺, 週期為 13.6sec,實測波高值為 6.9 公尺,週期為 13.4sec,則推估值貼 近了實測數據;花蓮港推估最大有義波高為 7.7 公尺,週期為 13.7sec, 實測波高值為 6.4 公尺,週期為 9.3sec,在波高上較為貼近實測值,而 週期的推算上則高於實測值。

3.4.3 波浪模式之討論

在全域風浪模式上,WAM 模式所使用的基本方程式為波浪能量平衡方程式,此方程式能描述方向波譜在時間及空間領域的變化過程,這些變化過程包括風傳遞到波浪的波能輸入條件、白沫效應、底床摩擦和波、波之非線性交互作用;而 SWAM 模式具有第三代風浪模式的特徵,而在能量成長及消散項的參數選擇上比其他模式更具彈性,可以計算波浪在時間與空間領域中之傳遞、淺化、波與波之間的非線性交互作用、波浪受風之成長、碎波與底床造成波浪能量衰減及波浪受到海流與地形變化而產生之頻率位移與折射,因此模式具有預報近岸海域風浪之功能。

因此應用 WAM 模式能快速模擬風浪能力與 SWAN 模式能解析 近岸較小校格網之功能,利用兩者相互配合模擬海面風浪,使用 WAM 模式模擬大範圍海域風浪演變,利用 SWAN 模式內插 WAM 模式所 計算出來的二維頻譜,獲得小範圍 SWAN 模式所需之邊界入射條件, 使用巢狀網格進行計算,可清楚模擬出颱風波浪於近岸處的分佈情形。 WAM 模式具有模擬深水波浪的能力,經內插所得巢狀格網的邊界條件 亦具有相當的準確度;較細格網能滿足近岸複雜曲折的地形,配合 SWAN 模式模擬近岸波浪的能力,能使台灣附近海域波浪推算更為精 準。在二個模式的配合下,可獲得較全面性的推算結果,但此模式需要 有輸入精確的風場資料,才能獲致準確的風浪推算。 類神經網路預報模式系統的主要核心,採用類神經網路理論及模糊理論合併應用。類神經網路具備著一些優良的特性其中包括(1)高速的計算能力(2)自我學習能力(3)高容量的記憶力(4)容錯的能力。倒傳遞類神經網路的總體運作學習方式有兩種,一為學習過程,就是網路依既定的學習演算法,從使用的輸入資料中學習,並藉以調整網路連結的加權值,另一種為回想過程,網路依照設定的回想法則,以輸入資料來決定網路的輸出值並進行驗證的工作。對於推算結果準確度提升方式將分為兩個方向,一是將颱風風場模式與陸地間互動關係進行分析,修正影響風場變化的方式,另一個方向為多方收集颱風波浪資料,藉由學習的過程改善類神經網路的推算精確度。

類神經波浪推算模式的修正歸納出兩個方向,一是藉由已經發生過 的颱風加入學習資料中,增加模式學習的經驗藉以修正陸地效應與特殊 路徑或行為的颱風波浪,這個方法受限制於必須有足夠學習資料,當資 料不足時此方法只適合經過類似學習經驗的颱風事件。第二個修正方向 是選用正確、完整的颱風風場分佈外,修改類神經網路結構增加類神經 網路記憶與模擬的能力。

配合淺海中之風浪關係、海底摩擦之影響、湧浪之推算方式及碎波後波浪之計算,提出移動風域數值推算模式,而定點風域推算半經驗颱風波浪模式即是依上述原理以及 Breteschneider 參數法(1958)、井島武士之追蹤法(1961)、湯麟武(1970)之移動風域數值推算法及梁乃匡(1993)之颱風湧浪預報法等建立改良而成。

由於移動風域數值推算模式係假設颱風移動方向不變(即直線行進路徑),推算各方向吹風距離線上颱風波浪之大小及週期。雖然定點風域推算半經驗颱風波浪模式不若 WAM 及 SWAN 之全面性,相較於WAM 及 SWAN 等二維波浪模式,本模式具有運算快速之特點,因此模式操作可依中央氣象局所發佈的即時颱風資料,模擬各種可能的行進路徑及颱風移動速度,推算各港口颱風波浪大小,於海岸防災預報系統上,對於侵台颱風警報本模式可較迅速提供即時之颱風波浪預警訊息。但因受限於推算模式系假設颱風移動方向不變(即直線行進路徑),因此對於部分颱風詭譎的行徑,模式所模擬之颱風路徑必須同時考量颱風之

歷史路徑、颱風中心位置及推算點位置等因素,方可避免數值模擬結果出現與事實不相符之假象結果。

綜觀以上模式,在颱風路徑離開台灣有相當距離時,預報模式大都能符合實測波浪趨勢,但在颱風接近台灣陸地時,由於風場結構受到陸地影響產生複雜的變化,增加預測的不穩定性,潮、波、流與風的資料結構與正確性,對於各預測模式亦會造成相當之影響,因此對於海洋物理現象觀測站的選定與所呈現的資料,必須更具代表性與正確性,而為強化預報之精神,對於連續性之即時資料取得管道亦是本計劃之關鍵。

3.5 近岸波浪模式

當外海波浪傳遞至近岸區,波浪除因水深變化而產生折射、繞射及 淺化效應外,當結構物存在時,波浪亦將因繞射及反射而產生變形,若 能正確地描述近岸波場因折射、淺化、繞射及反射共同效應的波浪變 化,即可為近岸工程之規劃設計提供良好之參考。

3.5.1 模式理論介紹

本文所選取的波浪模式,以 Suh 等人 (1997) 所推導含有底床非線性項之雙曲線型緩坡方程式為基礎,計算波浪通過離岸潛堤所產生的近岸波場。方程式中所含之底床非線性項,包含有底床曲率項及底床斜率平方項之係數。Suh 等人 (1997) 所推導之延伸型緩坡方程式 (extended mild-slope equation) 如下:

$$f_{1}(kh) = \frac{\left[-4kh\cosh(kh) + \sinh(3kh) + \sinh(kh) + 8(kh)^{2} \sinh(kh)\right]}{8\cosh^{3}(kh)} \cdot \left[2kh + \sinh(2kh)\right] - \frac{kh\tanh(kh)}{2\cosh^{2}(kh)}$$
(3-5-2)

$$f_2(kh) = \frac{\sec h^2(kh)}{6[2kh + \sinh(2kh)]^3} \cdot \{8(kh)^4 + 16(kh)^3 \sinh(2kh) -9 \sinh^2(2kh) \cosh(2kh) + 12(kh)$$

$$\cdot [1 + 2 \sinh^4(kh)][kh + \sinh(2kh)]\}$$
(3-5-3)

式中 Φ 為流速勢, $\nabla = (\partial/\partial x, \partial/\partial y)$ 為水平方向梯度因子,(x,y) 為水平座標,t 為時間因子,c 為波速, c_g 為群波波速,g 為重力加速度, $k = 2\pi/L$ 為週波數, ω 為角頻率,L 為波長,h 為水深, f_1 及 f_2 為底床曲率及底床斜率平方項係數。

對於式 (3-5-1) 所描述的波浪變形,只涵蓋波浪未碎波前之波形變化,若考慮波浪於近岸之碎波變形,一般加入波浪能量消散 (wave energy dissipation) 於式 (3-5-1) 中處理碎波後的波形,即

$$-\frac{\partial^2 \Phi}{\partial t^2} + \nabla \cdot (cc_g \nabla \Phi) + cc_g k^2 [(1 + if_d) - \omega^2] \Phi + [f_1(kh)g \nabla^2 h + f_2(kh)(\nabla h)^2 gk] \Phi = 0$$
(3-5-4)

式中 $i=\sqrt{-1}$ 。式 (3-5-4) 中的能量消散項 f_d ,採用 Isobe 等人 (1987) 建議

$$f_d = \frac{5}{2} \tan \beta \sqrt{\frac{1}{kh}} \sqrt{\frac{\gamma - \gamma_r}{\gamma_s - \gamma_r}}$$
 (3-5-5)

$$\gamma_r = 0.135$$
 (3-5-6)

$$\gamma_s = 0.4 \cdot (0.57 + 5.3 \tan \beta) \tag{3-5-7}$$

$$\gamma = |A|/h \tag{3-5-8}$$

$$\gamma_b = 0.53 - 0.3 \exp(-3\sqrt{h/L_0}) + 5 \tan^{3/2} \beta \exp[-45(\sqrt{h/L_0} - 0.1)^2]$$
 (3-5-9)

其中 $\tan \beta$ 為海床坡度,A 為波浪之振幅, L_0 為深海波長。

雙曲線型緩坡方程式,在處理邊界上較為繁複,故文中擬依 Mei (1983) 之建議,將一緩慢時間變量引入緩坡方程式中,其變量為

$$\bar{t} = \varepsilon t$$
 (3-5-10)

 \bar{t} 為緩慢時間變量, ε 為攝動參數 (perturbation coefficient),且

 $\varepsilon << 1$ 。根據式 (3-5-10),則流速勢可進一步寫成

$$\Phi(x, y, t) = \overline{\psi}(x, y, \overline{t})e^{-i\omega t}$$
(3-5-11)

式中 \overline{y} 為加入攝動參數之流速勢。將式 (3-5-11) 代入式 (3-5-4),並將二階微小量省略,只保留一階以下各項,則可得一個新的時變性拋物線型緩坡方程式 (time-dependent parabolic mild-slope equation),如下式所示:

$$-2\omega i \frac{\partial \overline{\psi}}{\partial t} = \nabla \cdot (CC_g \nabla \overline{\psi}) + cc_g k^2 (1 + if_d) \overline{\psi}$$

$$+ [f_1(kh)g \nabla^2 h + f_2(kh)(\nabla h)^2 gk] \overline{\psi}$$
(3-5-12)

上式能降低矩陣之維度,降低數值計算之時間。為簡化式 (3-5-12) 之控制方程式,文中引用 Radder (1979) 之尺度因子,如式 (3-5-13) 所示:

$$\overline{\psi} = \frac{\phi}{\sqrt{CC_g}} \tag{3-5-13}$$

則式 (3-5-12) 可簡化為式 (3-5-14)

$$-\frac{2\omega i}{CC_{\sigma}}\frac{\partial\phi}{\partial t} = \nabla^2\phi + k_c^2\phi \tag{3-5-14}$$

其中

$$k_{c} = k^{2} (1 + if_{d}) - \frac{\nabla^{2} \sqrt{CC_{g}}}{\sqrt{CC_{g}}} + \frac{[f_{1}g\nabla^{2}h + f_{2}(\nabla h)^{2}gk]}{CC_{g}}$$
(3-5-15)

模式所採用之數值方法為交替方向隱式法 (Alternating Direction Implicit Method), 簡稱 ADI 法。波場差分網格示意圖,如圖 3.5-1 所示。其控制方程式式 (3-5-14) 的數值差分式如下:

$$f_{p,q} \frac{\phi_{p,q}^{n+1/2} - \phi_{p,q}^{n}}{\frac{1}{2} \Delta t} i = \delta_x^2 \phi_{p,q}^{n+1/2} + \frac{1}{2} (k_c^2)_{p,q} \phi_{p,q}^{n+1/2} + \delta_y^2 \phi_{p,q}^{n} + \frac{1}{2} (k_c^2)_{p,q} \phi_{p,q}^{n}$$
(3-5-16)

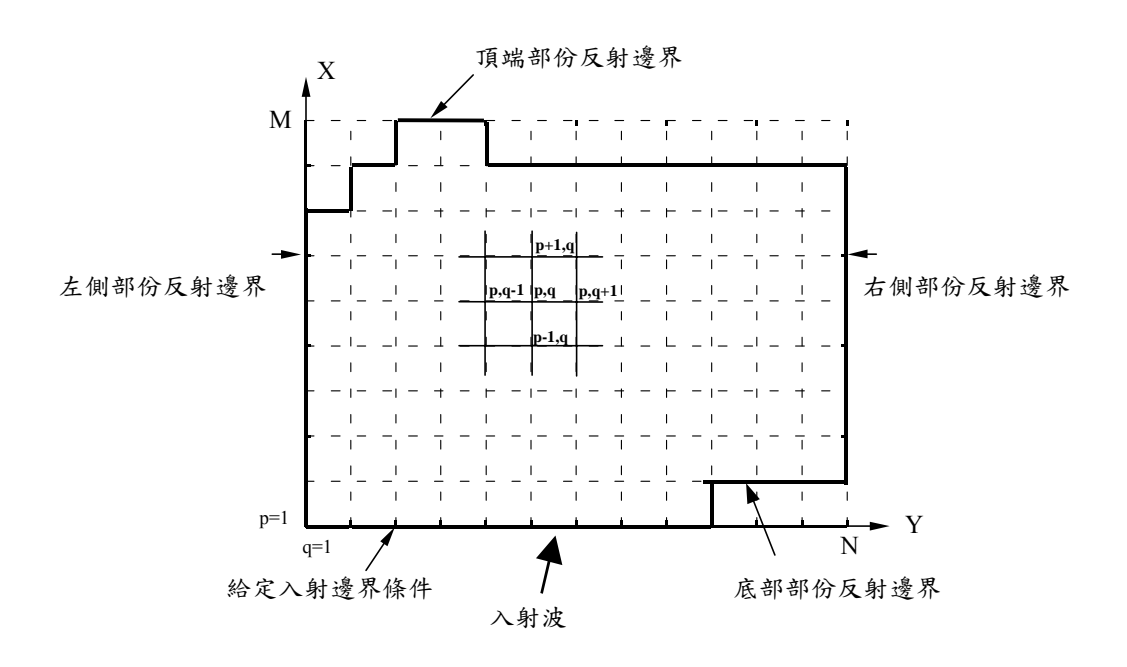


圖 3.5-1 波場模式格網示意圖

$$f_{p,q} \frac{\phi_{p,q}^{n+1} - \phi_{p,q}^{n+1/2}}{\frac{1}{2} \Delta t} i = \delta_x^2 \phi_{p,q}^{n+1/2} + \frac{1}{2} (k_c^2)_{p,q} \phi_{p,q}^{n+1/2} + \delta_y^2 \phi_{p,q}^{n+1} + \frac{1}{2} (k_c^2)_{p,q} \phi_{p,q}^{n}$$
(3-5-17)

$$f_{p,q} = -\frac{2\omega}{(CC_g)_{p,q}} \tag{3-5-18}$$

$$\delta_x^2 \phi_{p,q}^n = \frac{\phi_{p-1,q}^n - 2\phi_{p,q}^n + \phi_{p+1,q}^n}{\Delta x^2}$$
 (3-5-19)

$$\delta_{y}^{2}\phi_{p,q}^{n} = \frac{\phi_{p,q-1}^{n} - 2\phi_{p,q}^{n} + \phi_{p,q+1}^{n}}{\Delta v^{2}}$$
(3-5-20)

式 (3-5-16) 至式 (3-5-20) 中,下標 p 代表 x 軸方向的第 p 個格點,下標 q 代表 y 軸方向的第 q 個格點,上標 n 代表時間, Δt 代表差分時間段, $\Delta x \times \Delta y$ 分別為 $x \times y$ 軸之差分間距。

由於所選取的差分方法為隱式法,所以於計算上無顯式法求解時有著穩定度 (stability) 的問題。上述之數值方法經 Von Neumann's 穩定度分析,設

$$\phi_{n,q}^n = \xi^n e^{i\alpha p\Delta x} e^{i\beta q\Delta y} \tag{3-5-21}$$

分別代入式 (3-5-16) 及式 (3-5-17) 可得

$$\xi_{1} = \frac{f_{p,q}i + \left[\frac{\Delta t}{4}(k_{c})_{p,q} - \frac{2\Delta t}{\Delta y^{2}}\sin^{2}(\frac{\beta \Delta y}{2})\right]}{f_{p,q}i - \left[\frac{\Delta t}{4}(k_{c})_{p,q} - \frac{2\Delta t}{\Delta x^{2}}\sin^{2}(\frac{\alpha \Delta y}{2})\right]}$$
(3-5-22)

$$\xi_{2} = \frac{f_{p,q}i + \left[\frac{\Delta t}{4}(k_{c})_{p,q} - \frac{2\Delta t}{\Delta x^{2}}\sin^{2}(\frac{\alpha \Delta y}{2})\right]}{f_{p,q}i - \left[\frac{\Delta t}{4}(k_{c})_{p,q} - \frac{2\Delta t}{\Delta y^{2}}\sin^{2}(\frac{\beta \Delta y}{2})\right]}$$
(3-5-23)

式 (3-5-22) 及式 (3-5-23) 為擴大因子 (amplification factor)

$$\left|\xi\right| = \left|\xi_1 \xi_2\right| = 1\tag{3-5-24}$$

上式證明利用上述之數值方法去求解方程式可獲得穩定 (unconditionally stable) 的結果。

對於波浪通過計算邊界所需給定的條件,於模式中則是採用幅射邊界 (radiation boundary condition) 來加以處理。其邊界條件可分為完全吸收、部分吸收邊界條件及給定邊界條件。其邊界條件可分為完全吸收、部分吸收邊界條件及給定邊界條件。

I. 吸收及部分吸收邊界條件 (fully and partial absorption boundary condition)

對於波浪通過邊界時,所使用的邊界條件若無任何反射波浪產生, 則此邊界將波浪完全吸收,此邊界條件為完全吸收邊界條件 (fully absorbed boundary condition)。若於邊界上只吸收部份的的波浪能量,則 稱為部份吸收邊界 (partial absorption boundary condition),其數學式如 下式

$$\frac{d\phi}{dt} = \alpha \frac{\partial \phi}{\partial t} + C \frac{\partial \phi}{\partial r} = 0 \quad , \quad \text{ if } \partial B$$
 (3-5-25)

上式中 α 為吸收係數 (absorption coefficient)。假設 $\alpha=1$,則波浪完全通過邊界;若 $\alpha=0$,則於邊界上產生全反射;若 $0<\alpha<1$,則為部份吸收邊界,式中 α 值的決定,需依邊界上的物理特性加以決定。r 為波浪的路徑。利用 $r=|r|=x\cos\theta'+y\sin\theta'$ 之關係, θ' 為波浪於邊界上的角度。則上式關係可進一步表示

$$\frac{\partial r}{\partial x} = \cos \theta' \quad , \quad \frac{\partial r}{\partial y} = \sin \theta'$$
 (3-5-26)

代入式 (3-5-25) 可得 x 方向的邊界條件為

$$\frac{\partial \phi}{\partial x} \mp ik\phi \cos \theta' = 0 \quad , \quad \partial B_{x\pm}$$
 (3-5-27)

式 (3-5-27) 中 ∂B_x 為 x 軸的邊界。同理可知,對於波浪通過垂直於 y 軸的幅射邊界 ∂B_y ,可得

$$\frac{\partial \phi}{\partial y} \mp ik\phi \sin \theta = 0 \quad , \quad \partial B_{y\pm}$$
 (3-5-28)

由於在數值模式計算時,無法先得知波浪入射邊界的夾角 θ',故文中利用數值方式疊代求解,將邊界角度疊代至收斂,此一處理方式較能適用於大角度波浪入射之條件 (Hsu 和 Wen, 1999)。

II. 給定邊界條件 (given boundary condition)

當波浪入射遇結構物所產生的反射波浪通過邊界時。於離岸邊界上 包含有入射波波場及反射波波場。由於入射波場為已知,而反射波波場 未知且為離岸方向,若波浪沿x方向正向入射及反射,其邊界條件可以 下式表示:

$$\frac{\partial \phi}{\partial x} = ik(\phi_i - \phi_r) = \pm ik_x \phi + 2ik_{xi}\phi_i, \quad \partial B_{\pm}$$
 (3-5-29)

式中 ϕ_i 表示為正 x 方向的入射波, ϕ_r 表示為負 x 方向的反射波。

III. 收斂條件

對於本模式所採取的收斂條件為殘差小於 ε 時為其收斂條件。其殘差表示式如式 (3-5-30) 所示:

$$\varepsilon = \frac{\sqrt{\sum_{p} \sum_{q} ABS(\phi_{p,q}^{n} - \phi_{p,q}^{n-1})^{2}}}{\sum_{p} \sum_{q} ABS(\phi_{p,q}^{n})}$$
(3-5-30)

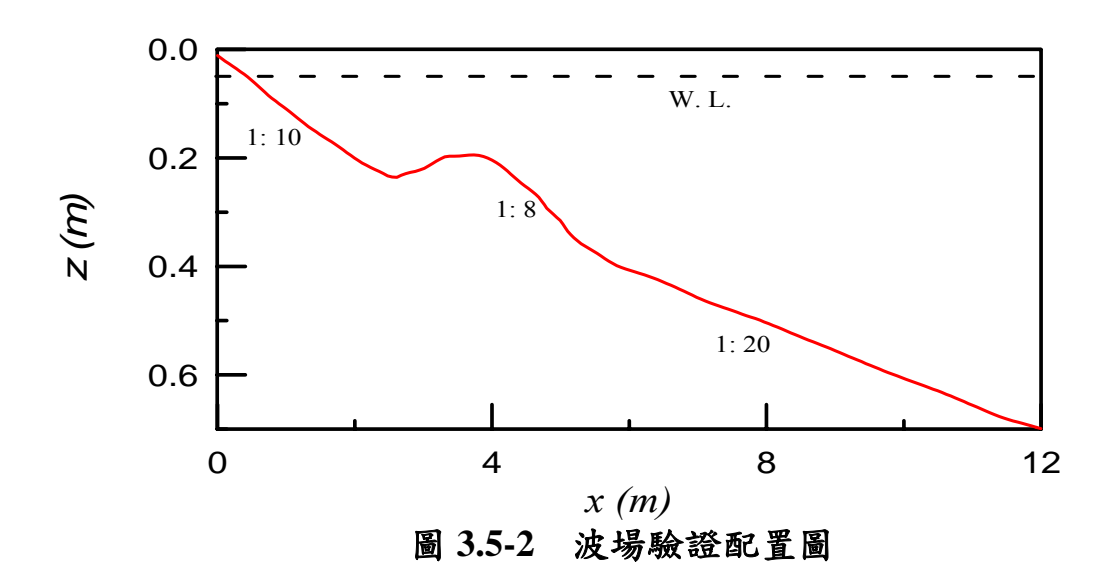
此模式計算時,時間的變化 (Δt) 為疊代的參數指標,且此參數為影響 其收斂速度的重要參數。 Δt 參數的型式如下:

$$\Delta t = N \frac{2\omega}{CC_g} \Delta x^2 \tag{3-5-31}$$

其中 N 為無因次參數,其值界於 $O(1) \sim O(10)$ 之間。

3.5.2 模式驗證

為驗證文中使用之波場模式,在計算通過陡變地形的適用性,本文選定 Reniers 和 Battjes (1997) 針對規則波所做的實驗數據進行比對。其試驗地形為距沙洲地形之混凝土斜坡進行,底床坡度為 1:20,在其上方加一高度為 0.1 公尺之高斯分佈 (Gauss Distribution) 斷面,如此將造成沙洲至外海的底床坡度為 1:8,而在向岸線的底床坡度為 1:10,如圖 3.5-2 所示。入射波浪條件為波高 (H_0) 0.08m,週期 (T) 1.0 sec,入射角度 (θ_0) 30° 。圖 3.5-3 為運用本文波浪模式計算波浪通過沙洲地形與實驗值及傳統緩坡方程式的比較結果。圖中顯示:當波浪通過沙洲地形時將會碎波,而在通過沙洲底部時將重新被建立,直至岸線處會再次碎波,並產生溯升。由於延伸緩坡方程式中,對於底床地形的非線性影響項加以考慮,故對於陡變地形的波高分佈較傳統緩坡方程式為佳。



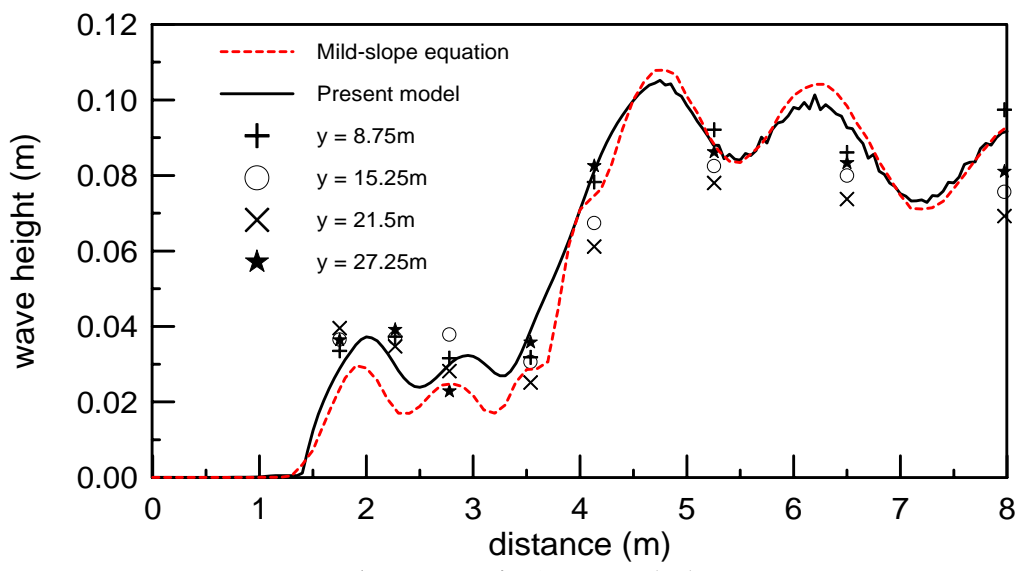


圖 3.5-3 波浪通過陡變地形波高斷面分佈與 Reniers and Battjes (1997) 試驗比較

3.5.3 國內七大港近岸波場計算

為探討近岸波浪模式應用於台灣海域計算之可行性,本計畫以國內 七大港為目標,配合 3.1 節之風浪模式推算結果,選取民國 90 年 6 月 22 日至 24 日間,侵台之奇比颱風,及民國 93 年 8 月 24 日至 26 日間, 侵台之艾利颱風,作為模式波浪之輸入條件,模擬兩場颱風作用下,國 內七大港附近海域之近岸波場變化。

七大港之地理位置如圖 3.5-4 所示,由台灣西南部依順時針方向,分別為高雄港、安平港、台中港、台北港、基隆港、蘇澳港及花蓮港,圖 3.5-5 至圖 3.5-11 為各港區附近海域之水深分佈圖。高雄港計算範圍,沿岸南起高屏溪口北側,北迄一港口外海處,全長 20 公里,離岸 9 公里,約至水深 35m 處。安平港計算範圍,沿岸南起二仁溪口北側,北迄鹽水溪口南側,全長 10 公里,離岸 5 公里,約至水深 20m 處。台中港計算範圍,沿岸南起大肚溪口北側,北迄番仔寮,全長 14 公里,離岸 6.4 公里,約至水深 25m 處。台北港計算範圍,沿岸南起林口灰塘,北迄淡水河口北側,全長 14 公里,離岸 5 公里,約至水深 25m 處。基隆港計算範圍,沿岸西起澳底漁港,東迄和平島東側,全長 7 公里,另因龜山島對於基隆港附近海域之近岸波浪,會產生遮蔽效應,計算時應將龜山島包含至計算領域內,故離岸至外海 10 公里,水深約 130m 處。

蘇澳港計算範圍,沿岸北起北方澳北側,南迄南方澳南側,全長8公里,離岸6公里,約至水深80m處。花蓮港計算範圍,沿岸北起奇來鼻燈塔南側,南迄吉安溪口北側,全長8公里,離岸3.2公里,約至水深120m處。各港域計算例採用之水深資料、模式計算相關條件及計算時間詳列於表3-5-1至表3-5-3。

表 3.5-1 水深資料表

計算例	水深資料			
高雄港	民國 88 年實測			
安平港	民國 92 年實測			
台中港	民國 90 年實測			
台北港	民國 92 年實測			
基隆港	海軍海洋量測局民國 87 年發行之基隆港附近水道圖編號 0353 海軍海洋量測局民國 86 年發行基隆港水道圖編號 0353A			
蘇澳港	民國 92 年實測 (港域) 國科會海洋科學研究中心之台灣附近海域海底地形第六版			
花蓮港	民國 92 年實測 國科會海洋科學研究中心之台灣附近海域海底地形第六版			

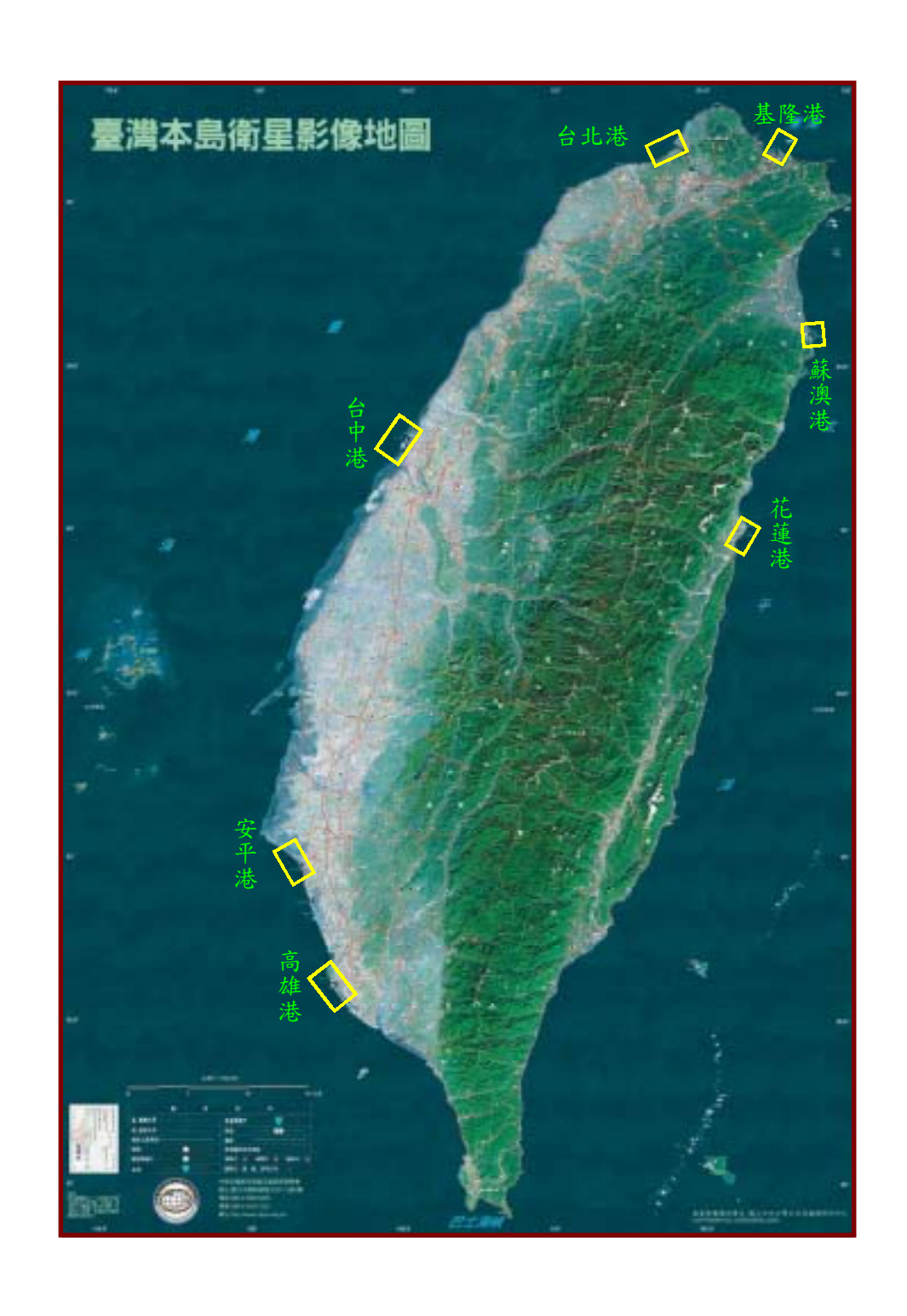


圖 3.5-4 國內七大港地理位置圖 (國立中央大學太空及遙測研究中心, 2000)

表 3.5-2 模式計算條件表

計算例		計算格網 (10m×10m)	計算時間 (min)	波高 (m)	週期 (sec)	波向
	奇比	901×2001	313	2.24	6.71	S16.4° W
高雄港	艾莉		301	1.71	7.12	S41.7° W
	义利		301	1./1	7.12	541.7 W
安平港	奇比	501×1001	228	2.26	6.39	S17.6° W
	艾莉	201/1001	200	2.08	6.94	S46.6° W
台中港	奇比	631×1401	268	0.46	5.01	S55.6° W
	艾莉	031×1401	232	2.57	6.50	N6.9° E
台北港	奇比	501×1401	209	1.28	8.19	N29.7° W
	艾莉		222	3.07	7.18	N6.5° W
基隆港	奇比	1001×701	207	2.25	8.74	N30° W
	艾莉	1001 × 701	211	3.45	8.32	N38.9° E
蘇澳港	奇比	601×801	178	3.22	8.50	S39° W
	艾莉		174	3.34	8.53	E18.2° N
花蓮港	奇比	321×801	185	2.78	8.76	S48° E
	艾莉		171	3.40	8.61	E20.9° N

圖 3.5-12 至圖 3.5-18 分別為高雄港、安平港、台中港、台北港、基隆港、蘇澳港及花蓮港,在奇比颱風作用下之近岸波場分佈圖,而圖 3.5-19 至圖 3.5-25 則分別為高雄港、安平港、台中港、台北港、基隆港、蘇澳港及花蓮港,在艾莉颱風作用下之近岸波場分佈圖。由圖中可知,波高隨著波浪向岸傳遞而有逐漸變大的現象,當到達更近岸時則開始碎波,而在各港口之下游側則會有一片遮蔽區形成,顯示模式適用於各港區之近岸波場計算。值得注意的是,在台北港計算例中的林口灰塘北側外海處,以及基隆港計算例中的龜山島與和平島間,皆有淺礁地形分佈,因此波浪在淺礁的下游側會有聚焦的現象,波高明顯增大,而在圖 3-5-16 (基隆港)、3-5-19 (高雄港)、3-5-20 (安平港)及 3-5-24 (蘇澳港)中,因波浪入射方向恰面對港池開口,故在部分的港區範圍內,會有波高較大的情形發生。整體而言,七大港之防波堤配置,皆能有效地避免颱風對港域內部造成直接的侵襲。

在計算時間方面,14個計算例之平均計算時間約在200分鐘左右, 一般而言,計算時間與計算格網數目成正比,然近岸波場模式計算時, 因邊界上的波浪角度未知,因此必須利用疊代的方式加以處理,故格網 數目較少的計算例,有時會較耗時。

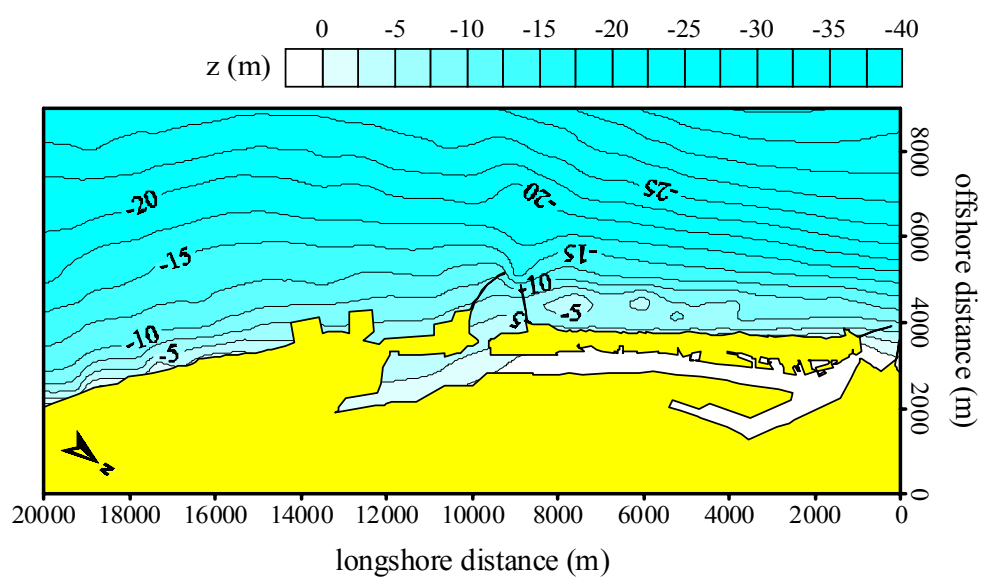


圖 3.5-5 高雄港附近海域地形水深圖

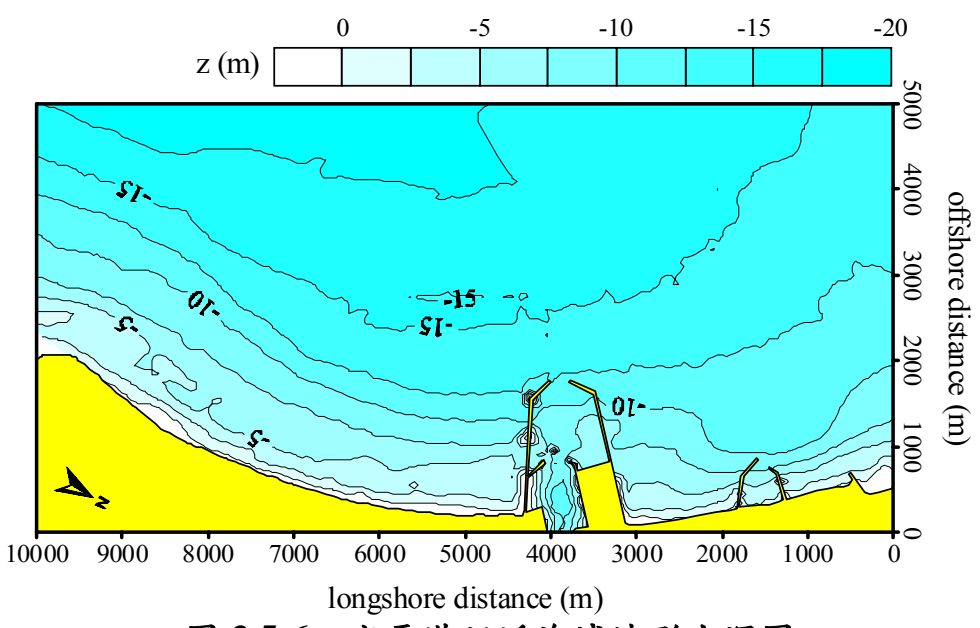


圖 3.5-6 安平港附近海域地形水深圖

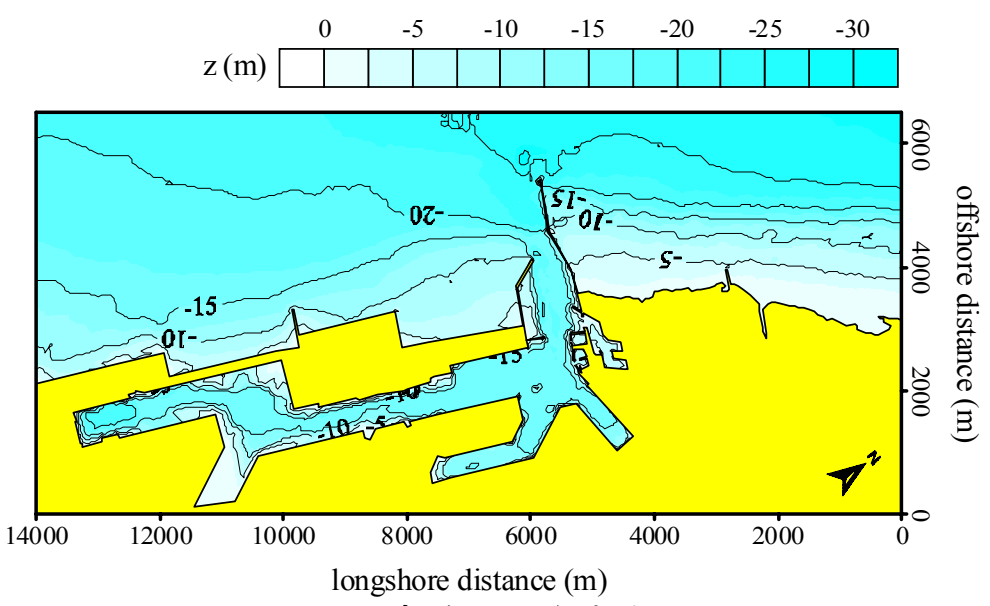


圖 3.5-7 台中港附近海域地形水深圖

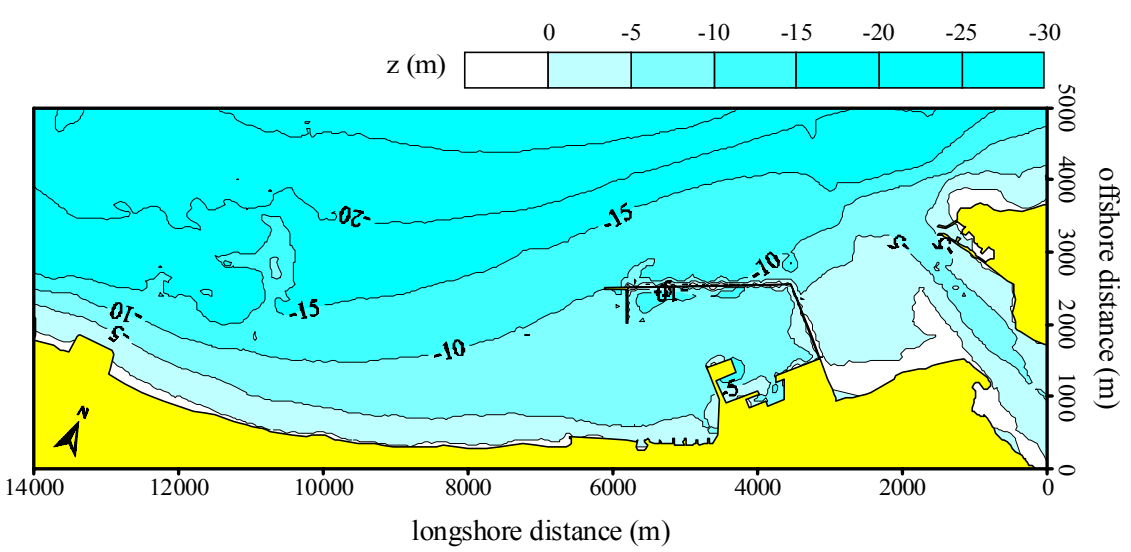


圖 3.5-8 台北港附近海域地形水深圖

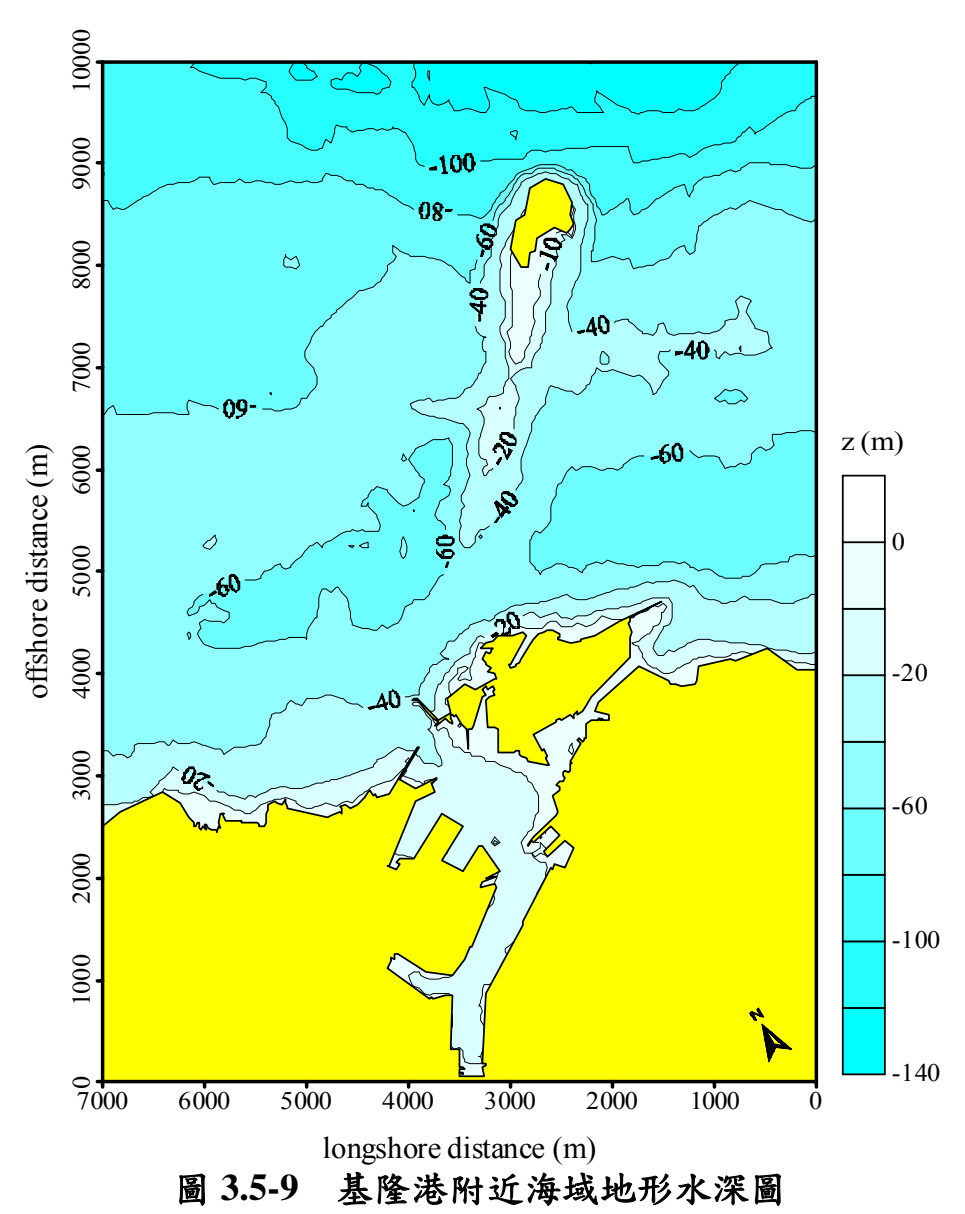


圖 3.5-9

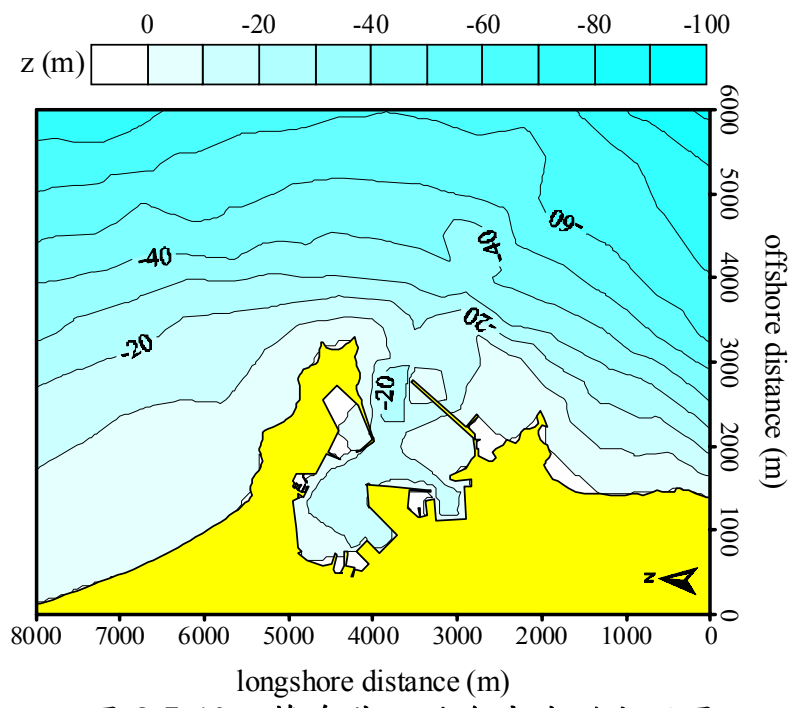


圖 3.5-10 蘇澳港附近海域地形水深圖

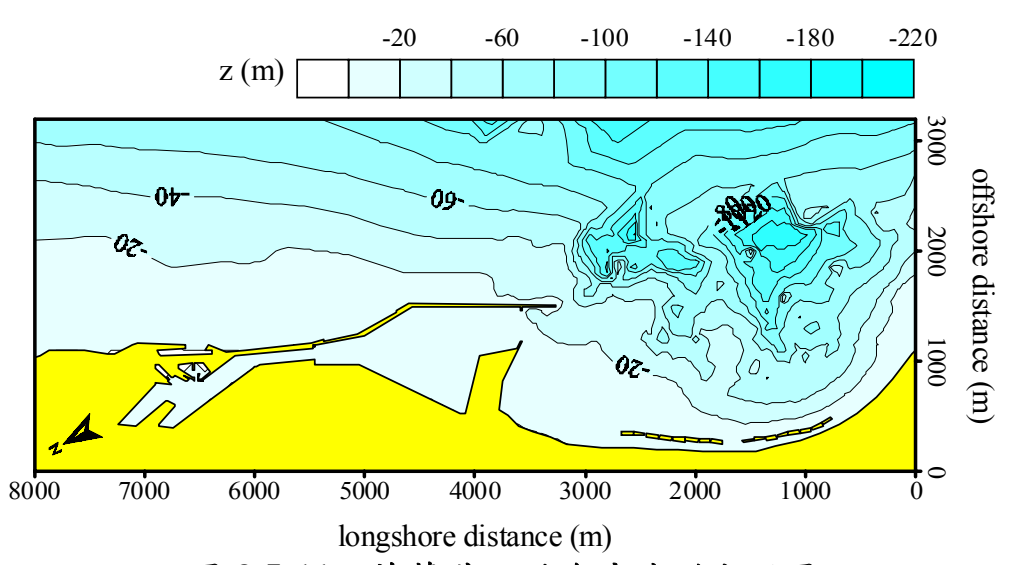
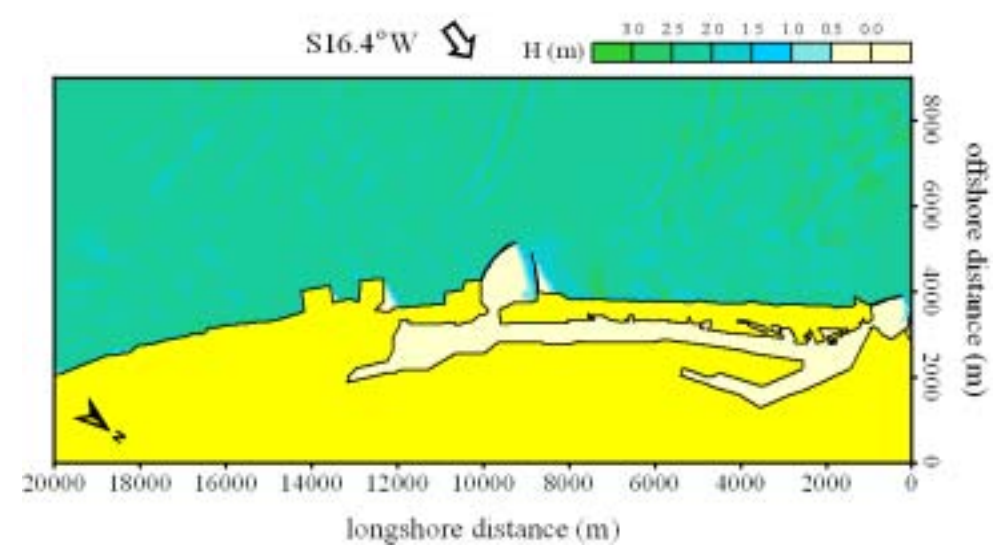
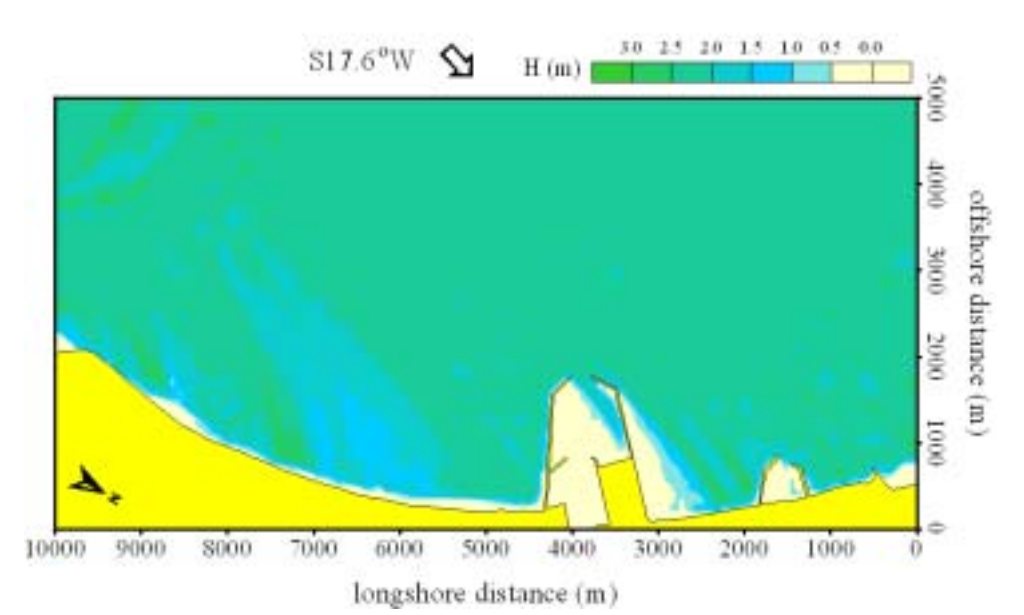
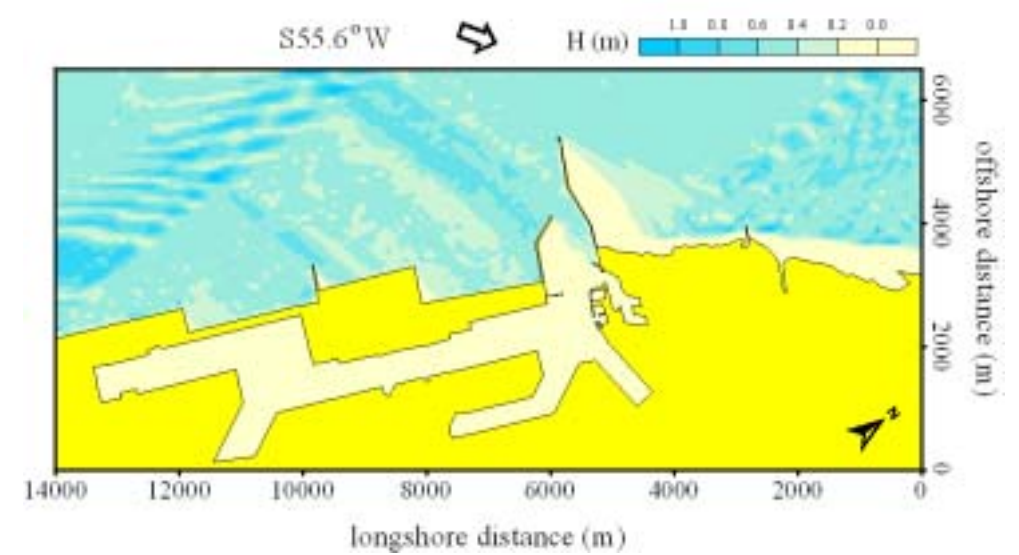
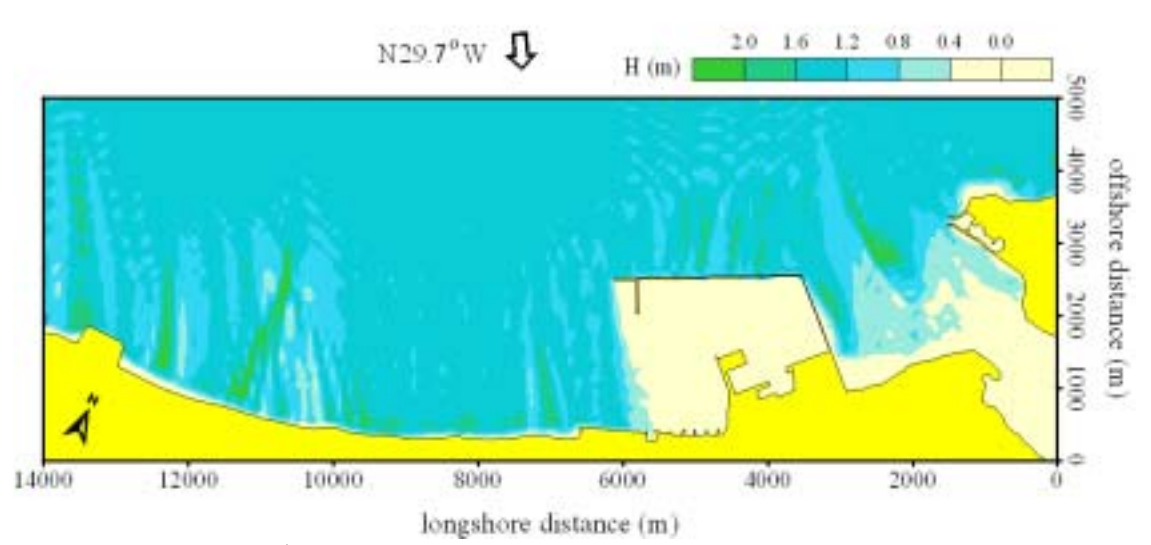


圖 3.5-11 花蓮港附近海域地形水深圖









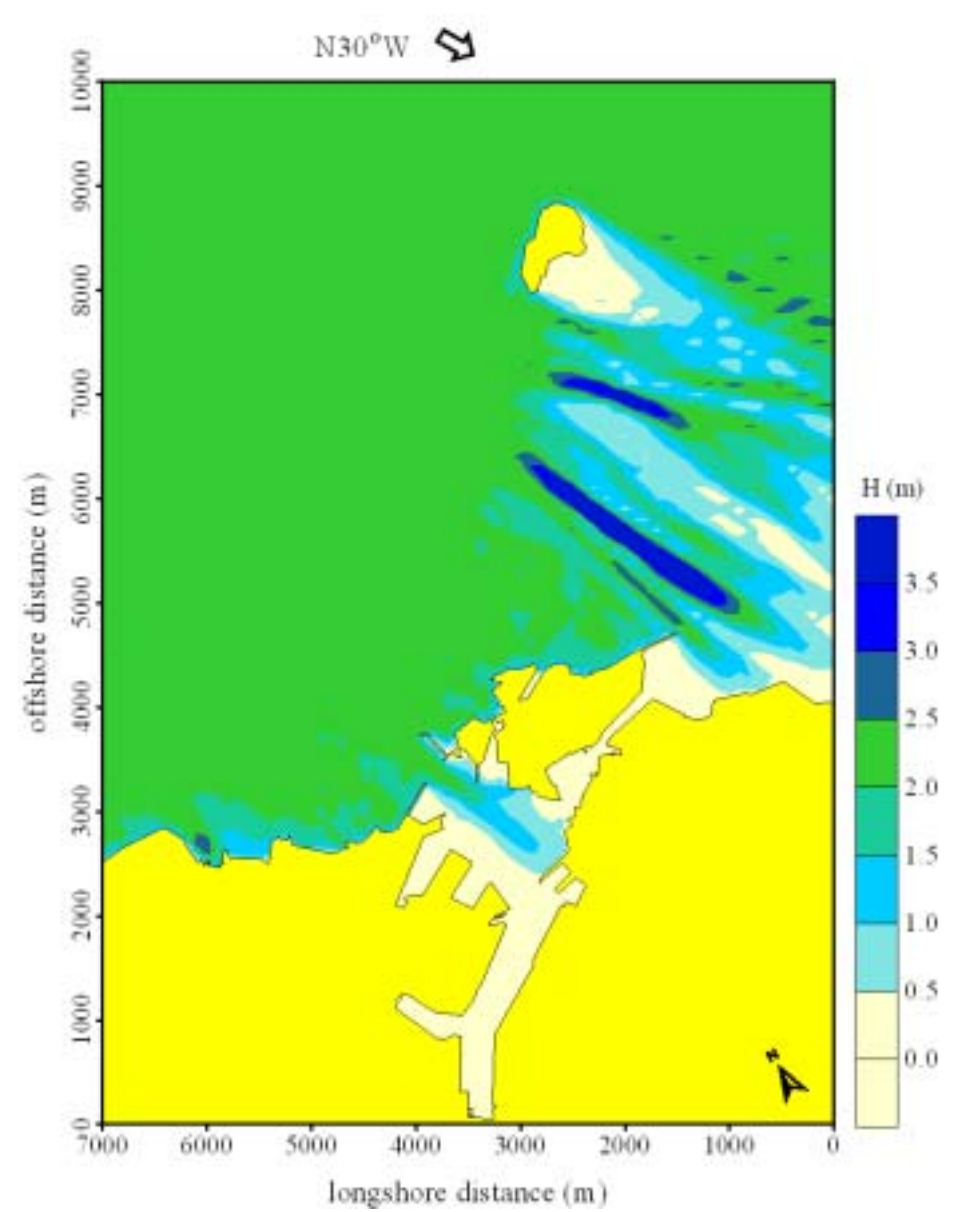


圖 3.5-16 奇比颱風作用下基隆港附近海域近岸波場分佈圖 $(H_0 = 2.25 , T_0 = 8.74)$

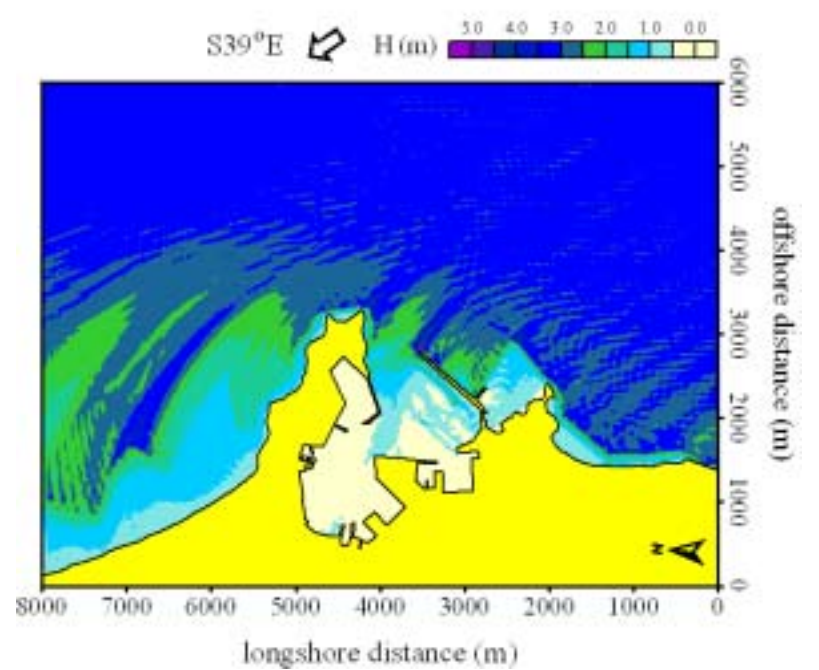
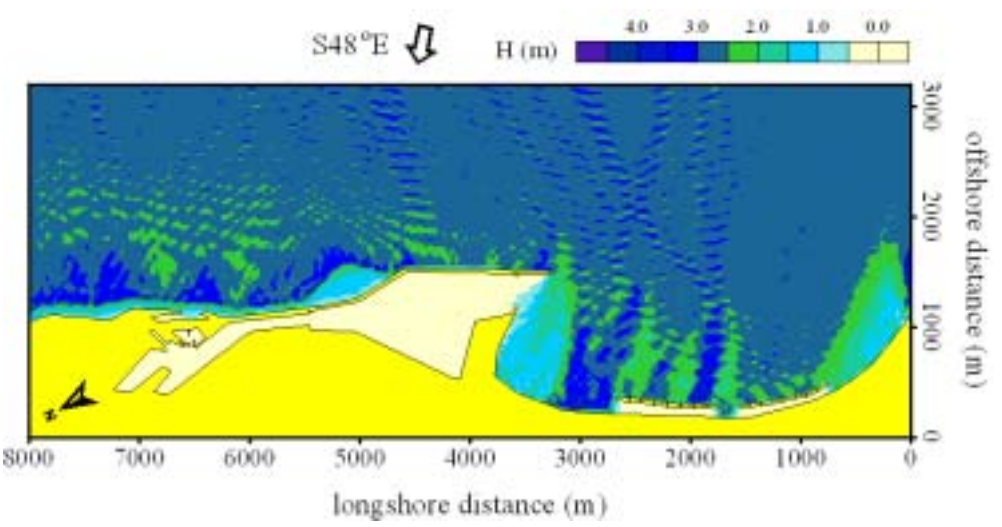


圖 3.5-17 奇比颱風作用下蘇澳港附近海域近岸波場分佈圖 $(H_0 = 3.22 , T_0 = 8.50)$



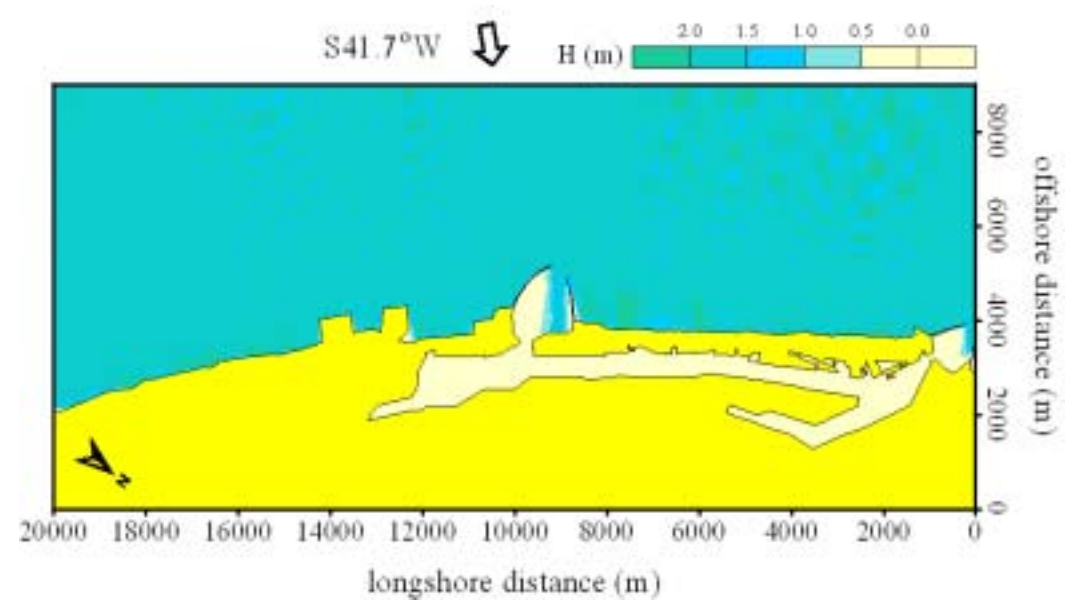


圖 3.5-19 艾莉颱風作用下高雄港附近海域近岸波場分佈圖 $(H_0 = 1.71 , T_0 = 7.12)$

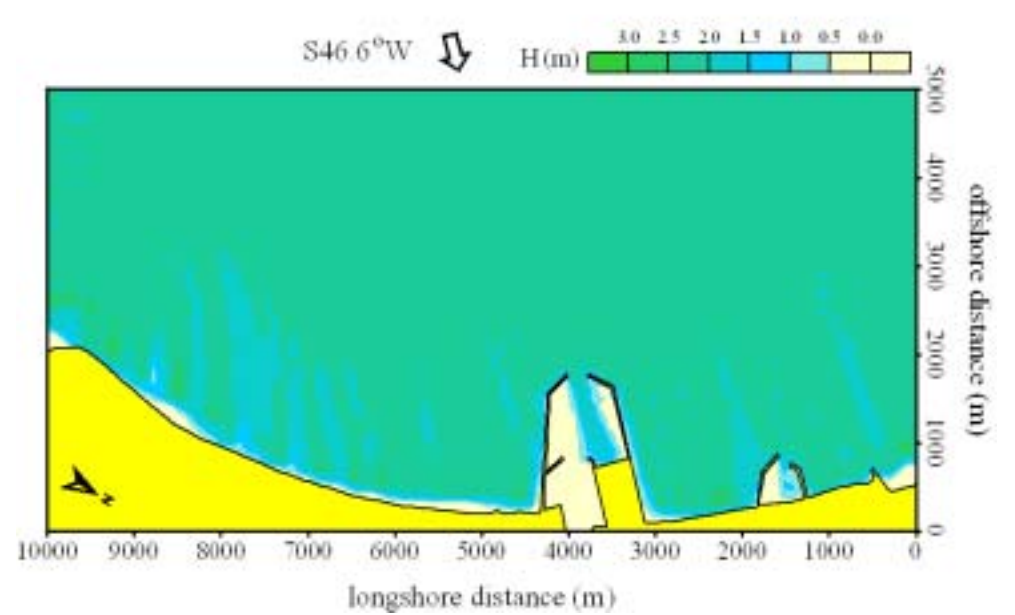


圖 3.5-20 艾莉颱風作用下安平港附近海域近岸波場分佈圖 $(H_0 = 2.08 , T_0 = 6.94)$

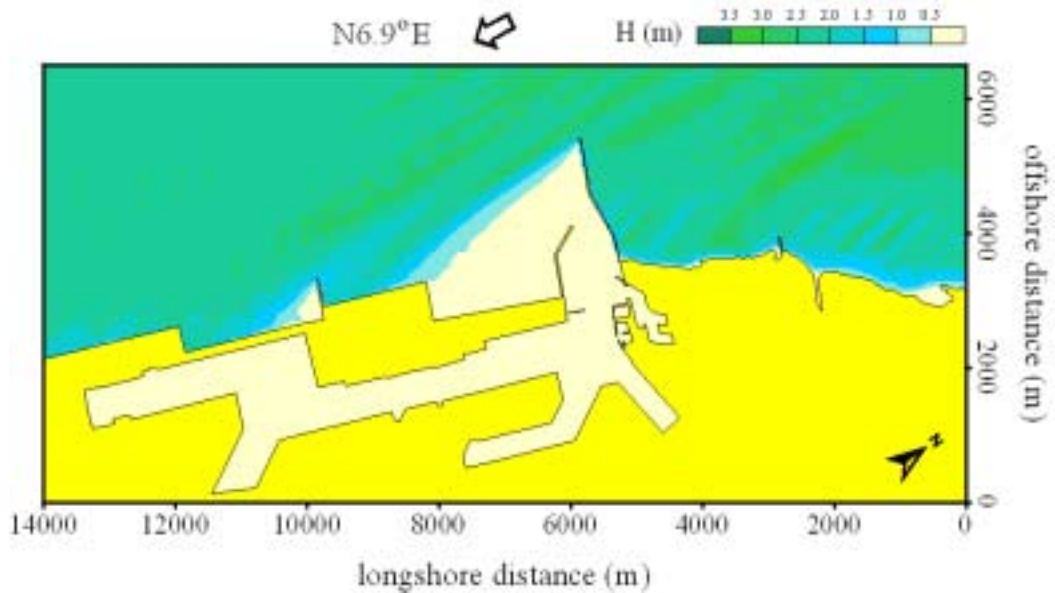


圖 3.5-21 艾莉颱風作用下台中港附近海域近岸波場分佈圖 $(H_0 = 2.57, T_0 = 6.50)$

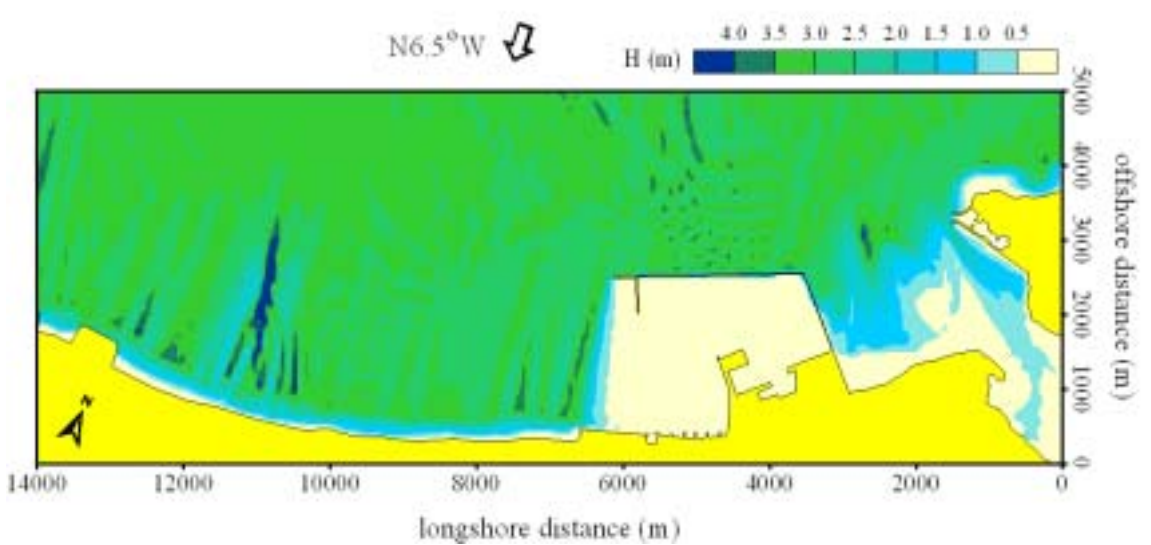


圖 3.5-22 艾莉颱風作用下台北港附近海域近岸波場分佈圖 $(H_0 = 3.07 , T_0 = 7.18)$

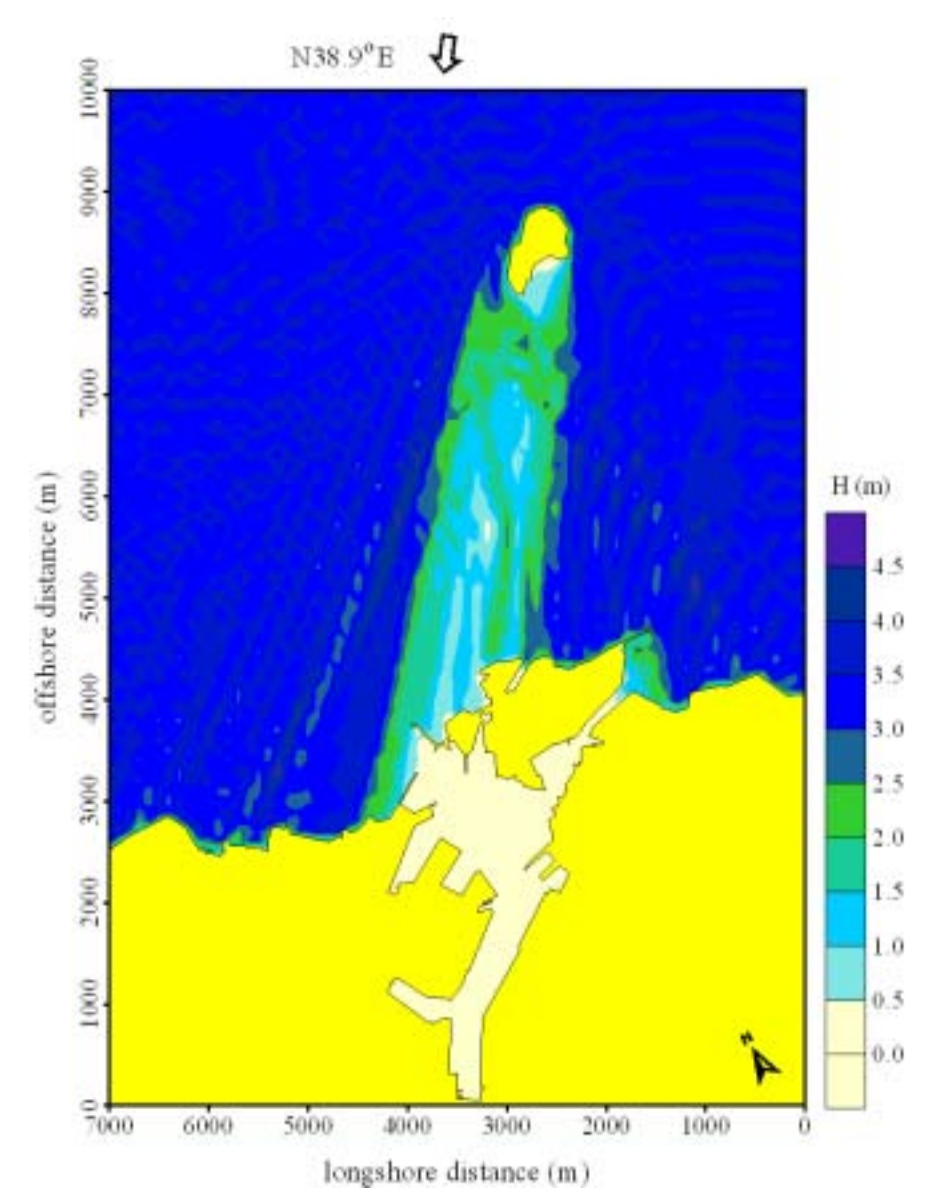


圖 3.5-23 艾莉颱風作用下基隆港附近海域近岸波場分佈圖 $(H_0 = 3.45 , T_0 = 8.32)$

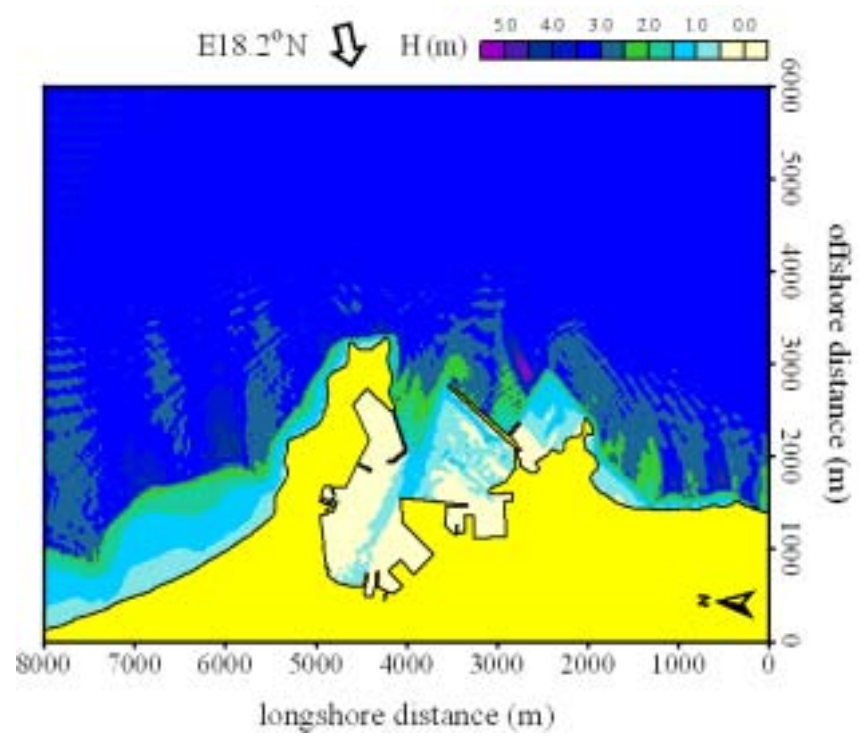


圖 3.5-24 艾莉颱風作用下蘇澳港附近海域近岸波場分佈圖 $(H_0 = 3.34 , T_0 = 8.53)$

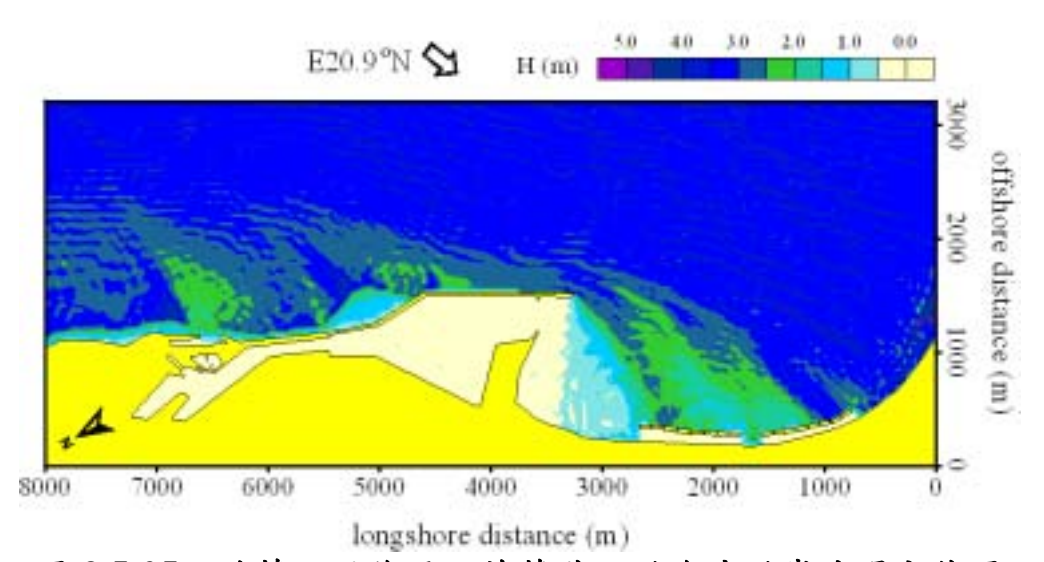


圖 3.5-25 艾莉颱風作用下花蓮港附近海域近岸波場分佈圖 $(H_0 = 3.40 , T_0 = 8.61)$

類神經網路波浪推算模式比較摘要表

說明項目	應用說明					
限制	熱帶氣旋發展成為颱風後進行推算,並假設颱風風場分佈					
	與風場模式計算結果相似。					
	模式每次計算單一場颱風,對於兩場颱風同時作用的操作					
	未經測試修正。					
	颱風風場分佈與對波浪作用不考慮陸地所產生的影響。					
精度	推算位置為觀測站附近海域。					
	推算時間的刻度為小時。					
	推算結果示性波高單位為公分、示性週期單位為秒。					
優點	適合近岸、小尺度區域、環境特殊海域。					
	模式對非線性、複雜的關係具有良好的模擬能力。					
	模式建構快速、容易。					
	模式具有學習、修正的能力。					
	計算速度快。					
	計算成本低。					
缺點	模式需要足夠的學習資料進行學習與模擬。					
	模式推算結果或解答,屬於滿意解而非精確解。					
輸入資料	觀測站位置					
	颱風發生時間。					
	颱風中心位置、路徑。					
	颱風近中心最大風速。					
輸出資料	觀測站附近海域:					
	示性波高 (H1/3)					
	示性週期 (T1/3)					

颱風風場模式與使用參數說明

颱風風場模式	使用參數
Holland Wind Model	颱風近中心最大風速
	颱風中心氣壓
	颱風最大風速半徑

參考文獻

- 1. Booij, N., L.H. Holthuijsen and R.C. Ris, "The SWAN Wave Model for Shallow Water," *Proceedings of 24th International Conference on Coastal Engineering*, ASCE, Orlando, Vol. 1, pp. 668-676 (1996).
- 2. Booij, N., L.H. Holthuijsen and IJ.G. Haagama, "Comparison the Second-Generation HISWA Wave Model with the Third-Generation SWAN Wave Model," *Proceedings of 5th International Workshop on Wave Hindcasting and Forecasting*, Jan. 27-30, Melbourne, Florida, pp. 215-212 (1998).
- 3. Holthuijsen, L.H., N. Booij, R.C. Ris, J.H. Andorka Gal and J.C.M. de Jong, "A Verification of the Third-Generation Wave Model SWAN along the Southern North Sea Coast," *Proceedings 3rd International Symposium on Ocean Wave Measurement and Analysis*, WAVES'97, ASCE, pp. 49-63 (1997).
- 4. Hsu, T. W. and Wen, C. C., "A study of using parabolic model to describe wave breaking and wide-angle wave incidence," *Journal of the Chinese Institute of Engineers*, Vol. 23, No. 4, pp. 515-527 (2000).
- 5. Isobe, M., "A parabolic equation model for transformation of irregular waves due to refraction, diffraction and breaking." Coastal Eng. in Japan, Vol. 30, 33-47 (1987).
- 6. Mei, C. C., "The applied dynamics of ocean surface waves," Wiley-interscience, New York (1983).
- 7. Radder, A. C., "On the parabolic equation method for water wave propagation." J. Fluid Mech., Vol. 95, No. 1, 159-176 (1979).
- 8. Reniers, A. J. H. M. and Battjes, J. A., "A laboratory study of longshore currents over barred and non-barred beaches," Coastal Engineering, Vol. 30, 1-22 (1997).
- 9. Suh, K. D., Lee, C. and Part, W. S., "Time-dependent equations for wave propagation on rapidly varying topography," Coastal Engineering, Vol. 32,

- 91-117 (1997).
- 10. WAMDI Group, "The WAM Model A Third Generation Ocean Wave Prediction Model," *Journal of Physical Oceanography*, Vol. 18, pp. 1775-1810 (1988).
- 11. 歐善惠、許泰文、臧效義、方介群、廖建明,「應用 SWAN 波浪模式推算台灣附近海域颱風波浪之研究」,第二十一屆海洋工程研討會論文集,87頁-95頁 (1999)。
- 12. 歐善惠、許泰文、臧效義、廖建明、方介群,「應用 SWAN 模式於台灣西部海域之波浪預測」,第二屆國際海洋大氣會議論文彙編,183 頁-188 頁 (2000)。
- 13. 歐善惠、許泰文、廖建明、臧效義、鄧秋霞,「近岸颱風波浪推算之研究」,2001 海洋數值模式研討會論文集,5-1 頁-5-19 頁 (2001)。
- 15. 張憲國、錢維安(2002)「台灣港灣地區颱風波浪推算模式之應用研究(二)」,交通部運輸研究所港灣技術研究中心研究報告。
- 16. 張憲國、錢維安(2001)「台灣港灣地區颱風波浪推算模式之應用研究(一)」,交通部運輸研究所港灣技術研究中心研究報告。
- 17. 張憲國、錢維安(2000)「臺灣東部港灣預警系統之應用研究-港外波浪動態特性」,交通部運輸研究所港灣技術研究中心研究報告。
- 18. 簡仲璟、曾相茂(1999)「花蓮港颱風波浪特性研究」,第 25 屆海洋 工程研討會論文集,第 55-62 頁。
- 19. 王時鼎(1988)「臺灣颱風風力特性及其預報研究(二)」,行政院國家科學委員會防災科技研究報告,70頁。
- 20. 交通部中央氣象局(1998)「颱風百問」, 第 10-20 頁。
- 21. 劉廣英、俞川心、李富城(1986)「移近或登陸臺灣颱風強度變化及 其成因之研究」,行政院國家科學委員會防災科技研究報告,72頁。
- 22. 羅俊雄,張隆男(1987)「颱風特性及風對結構物影響」,行政院國家 科學委員會防災科技研究報告,70頁。
- 23. Booij, N., Holthuijsen, L. H., and Ris, R.C. (1996) "The SWAN wave model for Shallow Water." Proc. of 24th Int. Conf. on Coastal Eng.,

- ASCE, Orlando, 1, 668-676.
- 24. Bretschneider, C. L., and Tamaye, E. E. (1976) "Hurricane wind and wave forecasting techniques." Proc. of the 15th Conf. on Coastal Eng., Hawaii, 1, 202-237.
- 25. Chen, Y. H., and Wang, H. (1983) "Numerical model for non-stationary shallow water wave spectral transformation." J. of Geophy. Res., 88, 9851-9863.
- 26. Demuth H, and Beale M. (2001) Neural network toolbox for use with MATLAB, user's guide. Natick, MA: The MathWorks Inc.
- 27. Deo, M. C., and Naidu, C. S. (1998) "Real time wave forecasting using neural networks." Ocean Eng., 26, 191–303.
- 28. Deo, M.C.; and Jha, A.; (2001) "Neural networks for wave forecasting," Ocean Eng., 28(7), 889-898.
- 29. Eberhart, R. C., and Dobbins, R. W. (1990) Neural Network PC Tools A Practical Guide, Academic Press, Ins., 10-250.
- 30. Graham, H.E., Nunn, D.E., "Meteorological considerations persistent to standard project Hurricane, Atlantic and Gulf coasts of U.S." National Hurricane Research Report No. 33, U.S. Department of Commerce, September 1959.
- 31. Harper, B. A., and Holland, G. J. (1999) "An updated parametric model of the tropical cyclone." Proc. of the 23rd Conf. of Hurricane and Tropical Meteorology, Dallas, Texas, 893–896.
- 32. Hajime, M., Sakamoto, M., and Sakai, T. (1995) "Neural network for stability analysis of rubble-mound breakwaters." J. of Waterway Port, Coastal and Ocean Eng., ASCE, 97, 139–154.
- 33. Hasselmann K, K., T. P. Barnett, E. Bouws, H. Carlson, D. E. Cartwright, E. Enke, J. A. Ewing, H. Gienapp., D. E. Hasslelmann, P. Kruseman, A. Meerburg, P. Muller, D. J. Olbers, K. Richter, W. Sell, and H. Walden. (1973) "Measurements of wind-wave growth and swell decay during the Joint North Sea Wave Project (JONSWAP). Dtsch Hydrogr Z, Suppl. A, 8(12), 95pp.

- 34. Hiraoka, T., Maeda, H., and Ikoma, N. (1999) "Two-Stage prediction method of typhoon position by fuzzy modeling-fusion of outline prediction and detailed prediction systems," Proc. of IEEE SMC '99 Conf. on Man, and Cybernetics, 6, 581 -585.
- 35. Holland, G. J. (1980) "An analytical model of the wind and pressure profiles in hurricanes." Monthly Weather Rev., 108, 1212-1218.
- 36. Jang, J.S., Sun, C.T., and Mizutani, E. (1997) Neuro-Fuzzy and soft computing, Prentice Hall, Inc., 93-194.
- 37. Jelesnianski, C. P. (1966) "Numerical computations of storm surges without bottom stress." Monthly Weather Rev., 94 (6), 379–394.
- 38. Johnson, G.P. and F.C. Lin (1996) "Hurricane tracking via backpropagation neural network." Proc. of 1996 IEEE Int. Conf. on Neural Networks, 2, 1103-1106.
- 39. Lee, R. S. T., and Liu, J. N. K. (1999) "An elastic graph dynamic link model for tropical cyclone pattern recognition," Proc. of the 6th Int. Conf. on Neural Information, ICONIP'99, 1, 177-182.
- 40. Lippman, R. P. (1987) "An introduction to computing with neural nets." IEEE ASSP Magazine, 4, 14-24.
- 41. Mirchandani, G.. and W. Cao (1989) "On hidden nodes for neural nets." IEEE Transactions on Circuits and Systems, .36 (5), 661 -664.
- 42. Niwa, Y., and Hibiya, T. (1998) "Nonlinear processes of energy transfer from traveling hurricanes to the deep ocean internal wave field." Oceanographic Literature Rev., 45, 39.
- 43. Ochi, M.K. (1993) "On hurricane-generated seas." Proc. Of the 2nd Int. Sym. On Ocean Wave Measurement and Analysis, New Orleans, ASCE, 374-384.
- 44. Shore Protection Manual (2002) U.S. Army Coastal Engineering Research Center, Fort Belvoir, Vol. I-III.
- 45. SWAMP Group (24 Authors) (1985) Ocean wave modeling, Plenum Press, New Pork, 256 pp.
- 46. Tsai CP., Lee TL. (1991) "Back-propagation neural network I tidal-level

- forecasting." J. Waterway Port, Coastal and Ocean Eng.; 12 (4): 195-202.
- 47. Tolman, H. L. (1997) User manual and system documentation of WAVEWATCH-3, version 1.15, NOAA / NWS /NCEP / OMB Technical Note 151, 97pp.
- 48. WAMDI group The WAM model (1988) "A Third generation ocean wave prediction model." J. of Physical Oceanography, 18, 1775-7810.
- 49. Young IR, Burchell G. P. (1986) "Hurricane generated waves as observed by satellite." Ocean Eng., 23, 761–76.
- 50. Young, I. R. (1988). "A parametric hurricane wave prediction model." J. of Waterway Port, Coastal and Ocean Eng., ASCE, 114, 637-652.
- 51. Young, I. R. (2003). "A review of the sea state generated by hurricanes." Marine Structure, 16, 201-218.
- 52. Wornom, S., Welsh, D.J.S., Bedford, K.W. (2001) "On coupling the SWAN and WAM models for accurate nearshore wave predictions." Coastal Eng. J., 43(3), 161-201.

第四章 水位模式

水位變化的部分主要包含週期性的天文潮(潮汐部分)及突發性 的氣象潮(風暴潮部分)、潮汐模式在國外已有許多年的發展,同時也 發展的很完善,國內許多單位使用多年前由美國學者劉肖孔博士所建 置的潮汐模式,目前則缺乏較為先進大範圍的潮位預報模式來推算整 個台灣海域的水位變化:風暴潮部分目前國內大部分還是採用單點的 暴潮偏差來做預報,有些顧問公司或研究單位引進美國防災總署 (FEMA)所發展的風暴潮模式,或是加以改進以非規則性網格計算, 期能改進預報的準確度。因此,本研究規劃進行三種型態的全域水位 預報模式,一方面沿用國內的傳統方法將天文潮與氣象潮的模式分開。 建置執行,再將其結果透過程式結合作為潮位預報的資訊,另一方面 引用歐美的先進預報模式的作法,將天文潮與氣象潮在全域水動力模 式內做動態耦合,建立一個潮汐耦合風暴潮的水位預報模式,以提供 決策機關作為防災的重要資訊,但是先決條件是需要中央氣象局能夠 提供即時全域動態氣象預報資料,水位預報模式才能達成理想的功 能。同時也使用類神經網路來模擬水位,比較不同計算方法的結果, 最後比較這幾種模式的優劣。

4.1 全域天文潮模式

4.1.1 模式理論介紹

天文潮(潮汐)是由於月球和太陽等天體對地球各處引力不同所引起的水位、地殼和大氣的週期性升降現象,海面上升時稱為漲潮(flood);海面下降時稱為退潮或落潮(ebb)。由於潮汐的升降有其一定頻率,可藉由長期收集潮位資料,利用調和分析得到各分潮之振幅與遲角(Phase lag),再將分析結果重組以預測未來的潮位變化。然而此法需要當地之長期觀測資料,對於無法取得潮位資料(無潮位站)的地方而言,潮位變化並無法得知。為了解各地潮汐變化,天文潮模

式的發展與建立即可補足傳統觀測無法涵蓋的部份,藉由基本的水動力方程式,並利用有限差分的方法,與適當的邊界條件,經過率定後的模式結果即可提供模式範圍中每一點之潮位時序變化,模式的二維基本動力方程式簡化如下:

$$\frac{\partial \zeta}{\partial t} = -(R\cos\phi)^{-1} \left[\frac{\partial}{\partial \chi} (H\overline{u}) + \frac{\partial}{\partial \phi} (H\cos\phi\overline{v}) \right]$$
 (4.1-1)

$$\frac{\partial \overline{u}}{\partial t} = f \overline{v} - (R \cos \phi)^{-1} \left[g \frac{\partial \zeta}{\partial \chi} + \rho_0^{-1} \frac{\partial P_a}{\partial \chi} \right] + H^{-1} \left[F_S - F_B \right]$$
(4.1-2)

$$\frac{\partial \overline{v}}{\partial t} = -f\overline{u} - R^{-1} \left[g \frac{\partial \zeta}{\partial \phi} + \rho_0^{-1} \frac{\partial P_a}{\partial \phi} \right] + H^{-1} \left[G_S - G_B \right]$$
(4.1-3)

其中的變數與參數分別為

ζ:水位

 \bar{u} 、 \bar{v} :水平深度平均流速

 χ 、 ϕ :模式之橫(經度) 縱(緯度)座標

H:水深

f:科氏力參數

g:重力加速度

R:地球半徑

 F_s 、 G_s :風速造成之剪應力

 F_{R} 、 G_{R} :底床摩擦力

 P_a :大氣壓力

如考慮三維方向的變化(加入垂直變化),則

$$u = \overline{u} + u_r \quad v = \overline{v} + v_r \tag{4.1-4}$$

 u_r 與 v_r 為垂直剖面水平流速的變化, u 與 v 則為水平流速(包含三維變化), 而 u_r 與 v_r 分別為

$$\frac{\partial u_r}{\partial t} = -L(u) + fv_r + \frac{uv\tan\phi}{R} - \Pi_{\chi} + D(u) - H^{-1}[F_S - F_B]$$
(4.1-5)

$$\frac{\partial v_r}{\partial t} = -L(v) - fu_r - \frac{u^2 \tan \phi}{R} - \Pi_{\phi} + D(v) - H^{-1} \left[G_S - G_B \right]$$

$$(4.1-6)$$

其中,

L(u)、L(v): 對流項

D(u)、D(v):擴散項

Π,、Π,:浮力項

4.1.2 模式建立及驗證

為了解台灣周圍潮汐變化與西太平洋海域流場分布概況,並考慮颱風對其影響,模式範圍必須包含西太平洋與南海海域,因此天文潮模式的範圍亦必須包含這些區域,以利暴風潮模式耦合計算。模式範圍與地形變化如圖 4.1-1,適當的邊界資料將決定模式模擬的結果,一般來說,如能取得實測值作為邊界驅動,模式應能得到相當不錯的結果,但考量現實狀況下,現場實測無法提供所有邊界點的資料,因此天文潮模式的邊界初步將利用 Global Ocean Model (Schwiderski, 1982)計算結果內插得出。模式結果將配合量測的資料一併分析,作為模式的驗證,並利用比較結果逐步調整適當的邊界設定,以得到較佳的潮

位結果。

模式設定僅以水動力計算,模式格點大小為 10'x 10',邊界僅以東邊深海處與南邊作為驅動,北邊以自由邊界條件(Free flux)設定,西邊為陸地,東側與南側以8個分潮(四個全日潮及四個半日潮)作為驅動的邊界條件,溫鹽的計算在此暫不予考慮。

模式計算時間為期一年,在模式真正模擬前先以相同邊界條件進行一段時間的計算,使流場與水位變化從初始條件達到穩定的計算流場做為模擬的初始條件,目的是讓模式中計算變數能以恰當的初始條件開始計算,此後計算之時序變化可作為模式真正模擬的結果,模擬變數僅包含水位與流場的變化。由於僅用潮汐作為邊界驅動,如僅用單一分潮驅動,在模式計算一段時間後,所有計算點將重複該分潮之水位變化,藉此可用以計算模式的收斂時間,根據八個單一分潮分別作為驅動,並計算其潮周間之水位變異均方根(RMS),由圖 4.1-2 可知模式約於計算開始第 10 天後之結果方達收斂,表示模式的初始驅動時間(Warm-up time)約為 10 天,其後之模擬結果將可利用調和分析,與台灣沿岸七個港口潮位測站資料分析之調和常數比較,以作為模式的率定。

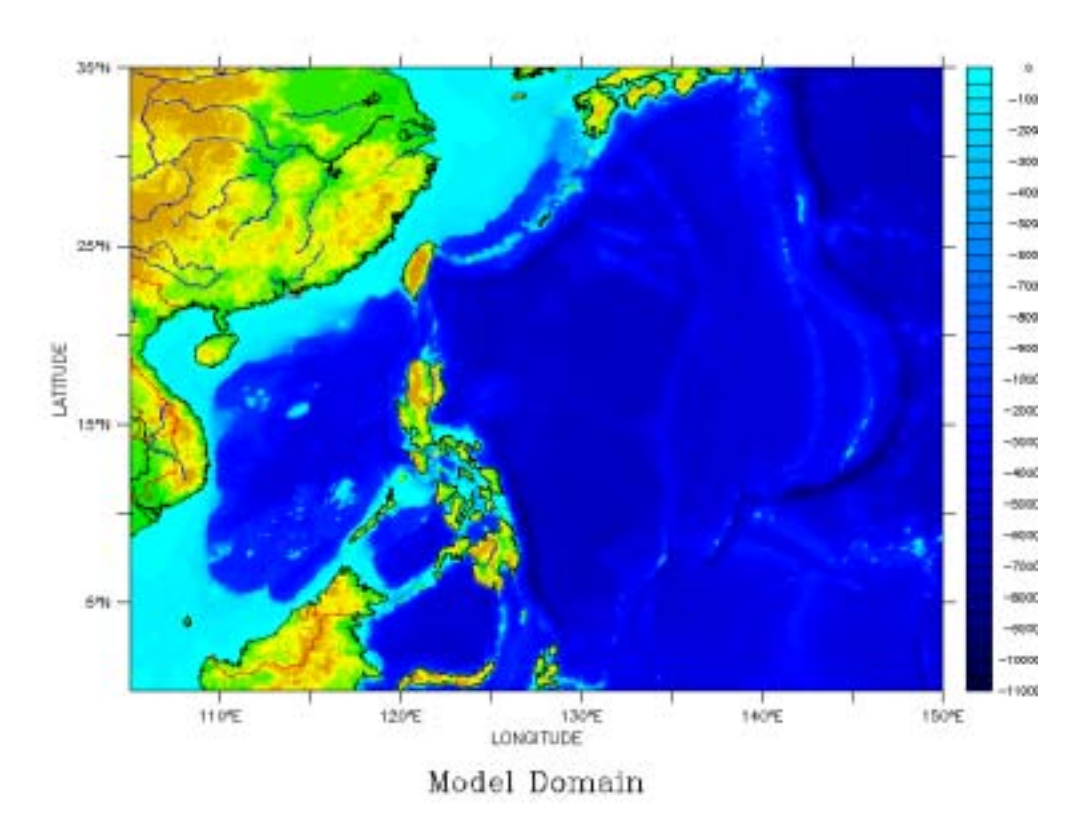


圖 4.1-1 模式範圍與地形

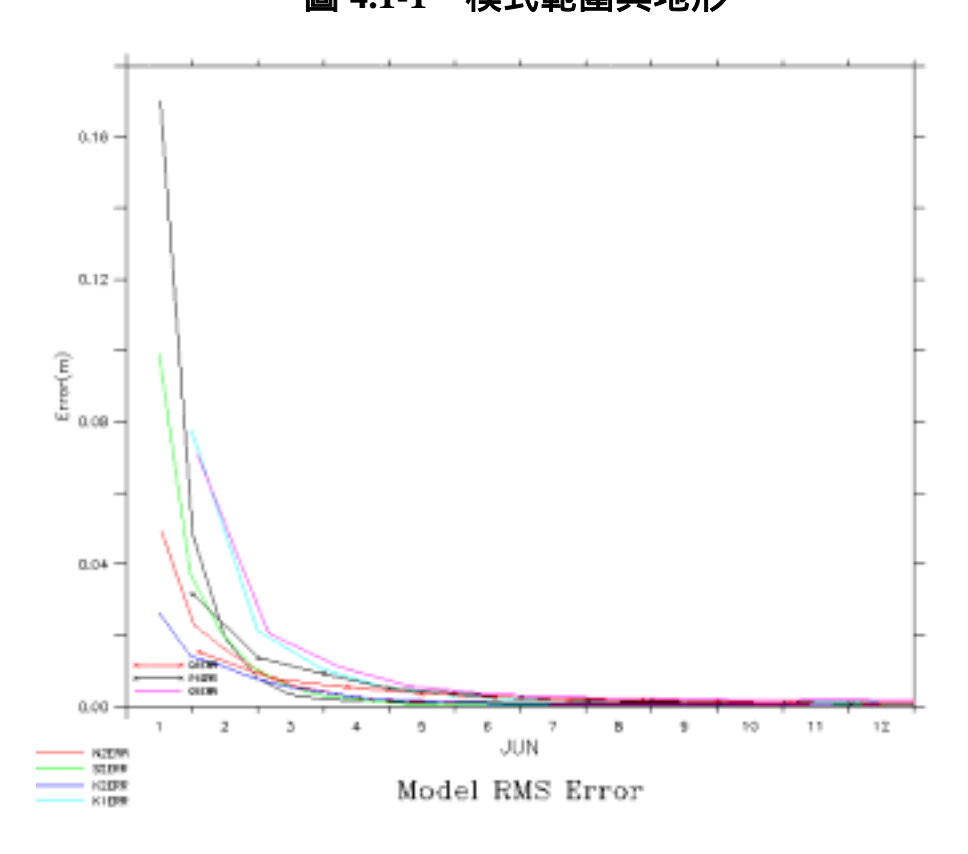


圖 4.1-2 天文潮模式各分潮收斂情形

4 - 5

在了解模式的收斂情形後,邊界條件同時以八個分潮輸入,模擬一年後對所有計算點水位變化進行調和分析,作為天文潮模式之初步結果,模式結果取其主要八個分潮展示,並與實際潮位量測結果分析之調和常數作一比對,模式與實測之差異性以下式表示:

$$d = \sqrt{(A_m \cos \phi_m - A_o \cos \phi_o)^2 + (A_m \sin \phi_m - A_o \sin \phi_o)^2}$$
 (4.1-7)

其中,

 A_m 、 ϕ_m :模式結果經調和分析所得之分潮振幅與遲角

 A_{α} 、 ϕ_{α} :實測結果經調和分析所得之分潮振幅與遲角

d:模式與實測調和常數之差異值

模式結果經逐步調整適當的邊界條件後,其調和分析之結果如圖 4.1-3~4.1-10 所示,半日潮中以 M2 之振幅最大,全日潮則為 K1,台 灣沿岸以台中振幅最大,M2 約為 1.8 公尺左右,但與實際測值差距不大,以下將針對台灣沿岸七個港口測站比對各分潮之結果。

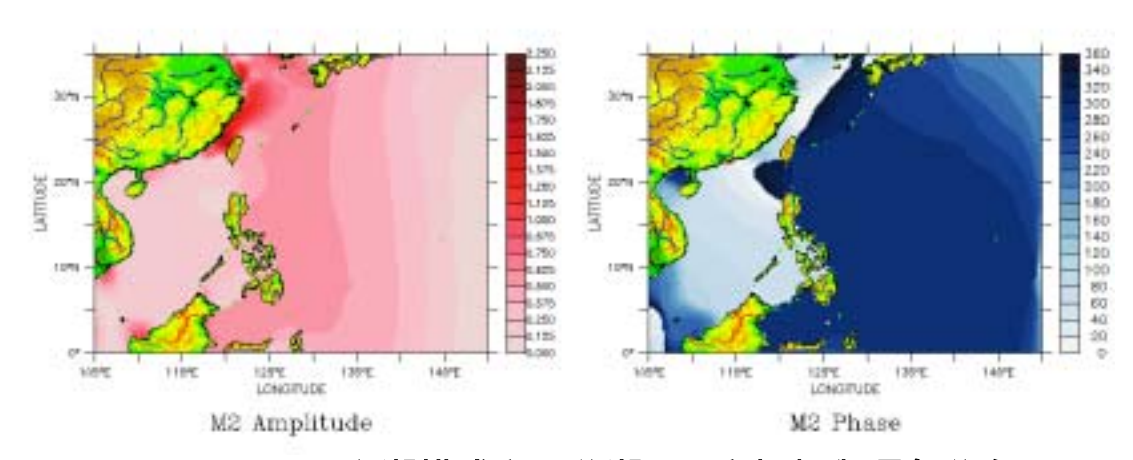


圖 4.1-3 天文潮模式主要分潮 M2 之振幅與遲角分布

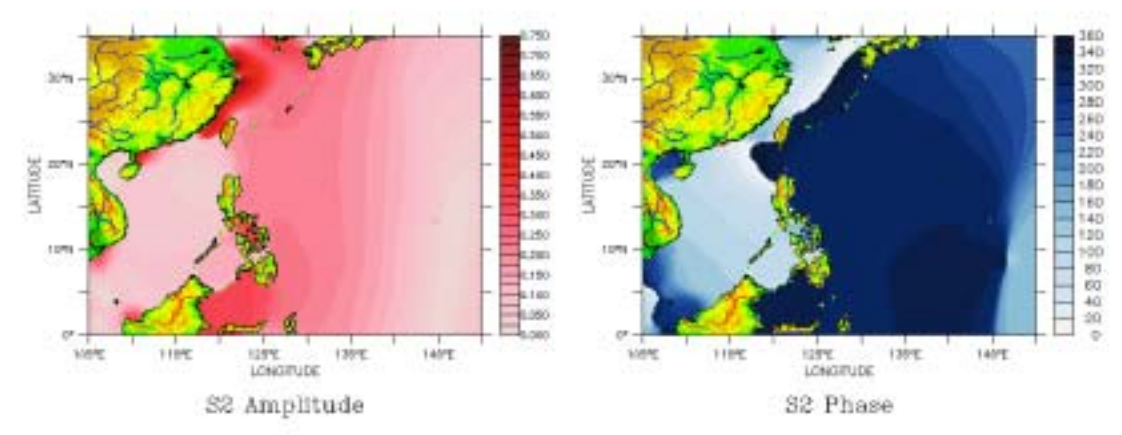


圖 4.1-4 天文潮模式主要分潮 S2 之振幅與遲角分布

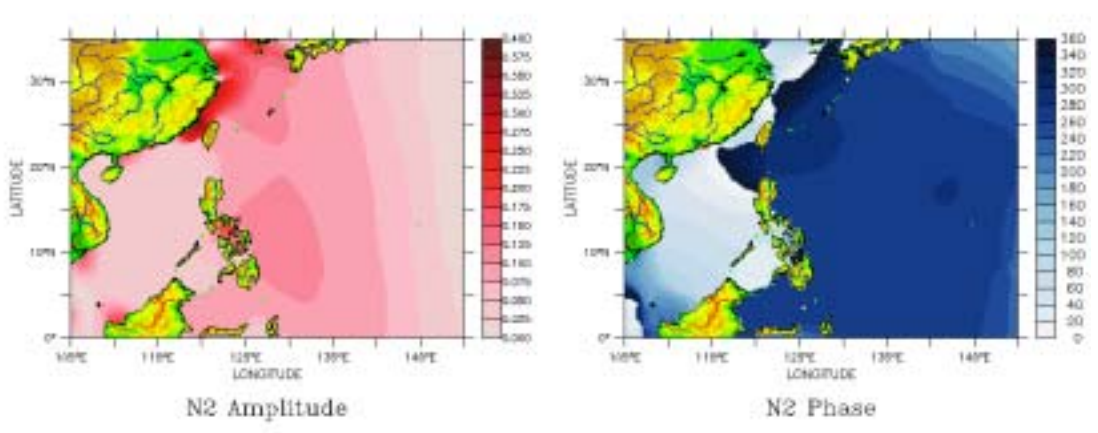


圖 4.1-5 天文潮模式主要分潮 N2 之振幅與遲角分布

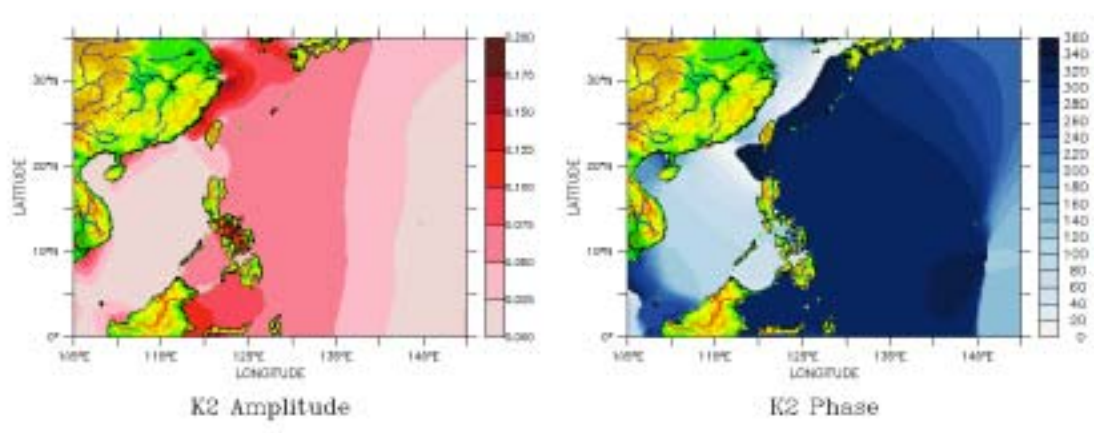


圖 4.1-6 天文潮模式主要分潮 K2 之振幅與遲角分布

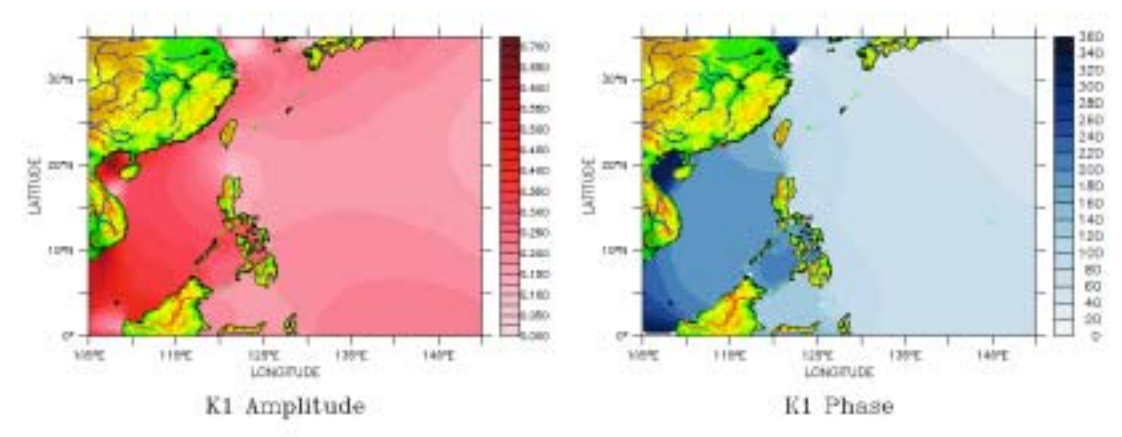


圖 4.1-7 天文潮模式主要分潮 K1 之振幅與遲角分布

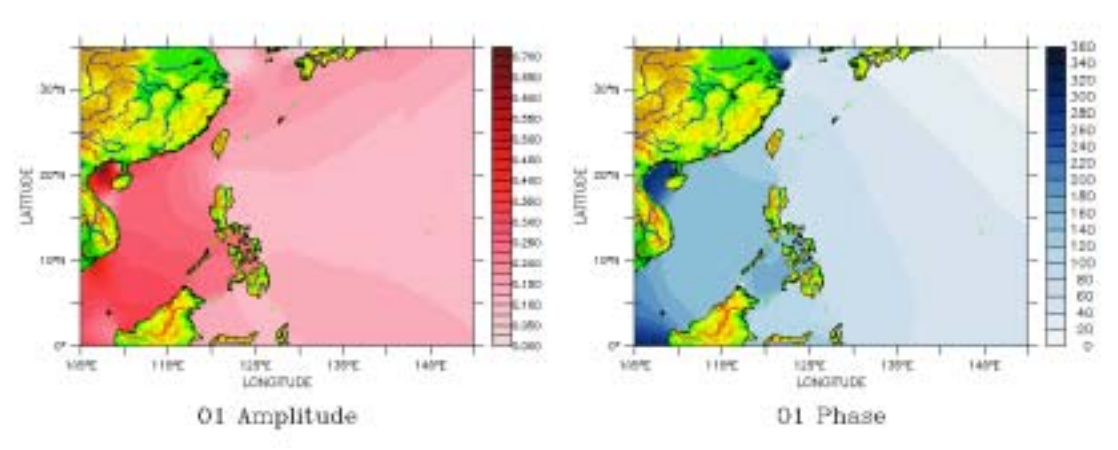


圖 4.1-8 天文潮模式主要分潮 O1 之振幅與遲角分布

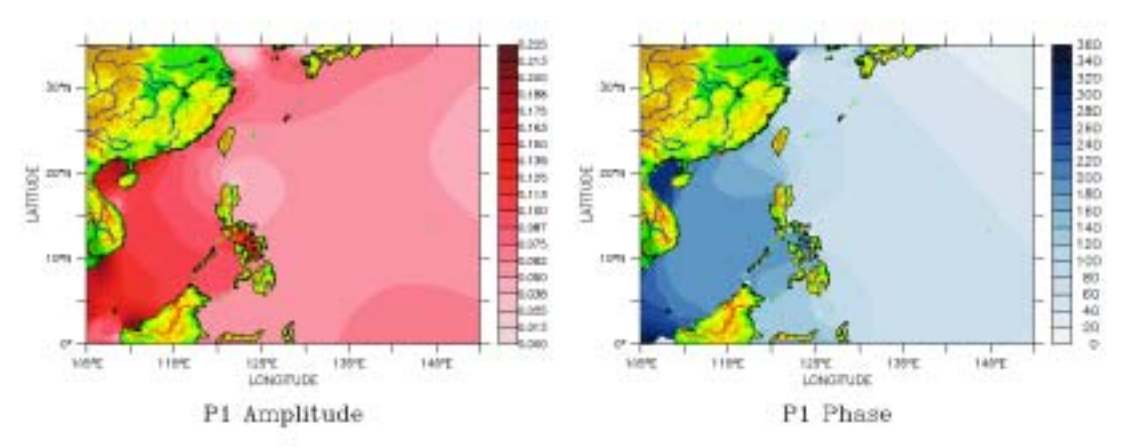


圖 4.1-9 天文潮模式主要分潮 P1 之振幅與遲角分布

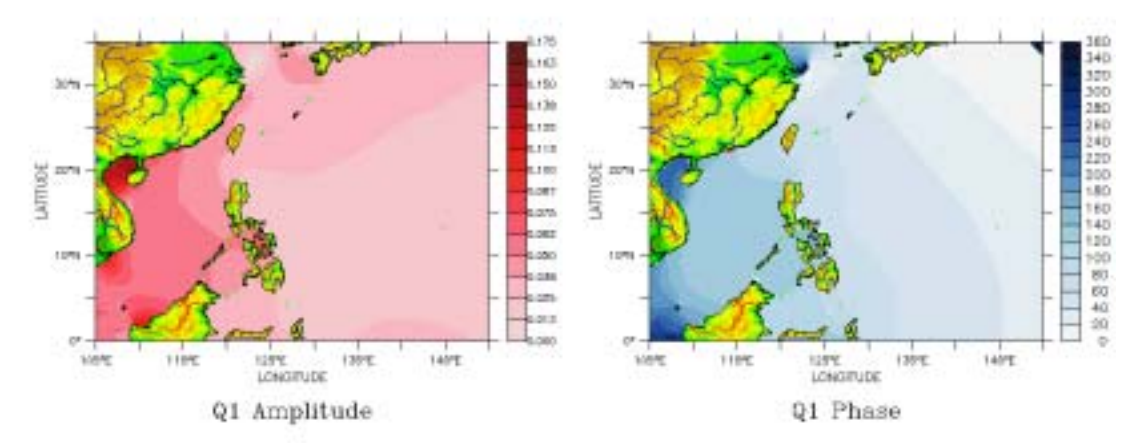


圖 4.1-10 天文潮模式主要分潮 Q1 之振幅與遲角分布

根據式 4-1.7 可計算模式中各分潮與實測資料之差異,由於港研中心提供資料包含 2001 至 2004 年,為了比較各港口模式結果,港研中心資料的部分以年作為單位進行分析,基本上利用全年資料作為調和分析的輸入,但某些測站點並無全年資料亦或資料品質不佳,將予以剔除以維持分析結果品質,大致上所有港口測站至少可分出 39 個分潮,如有全年資料可分出 61 個分潮,2004 年由於中心資料未齊全,台北港與安平港的資料短缺,另外,為了補足 2004 年資料長度不足(僅6~8 月),另行購買氣象局 6~8 月台灣沿岸資料可供模式比對,另一方面亦可利用該資料進行實際測站暴潮偏差的計算。表 4.1-1 為港研中心7 個港口各年之資料密度與調和分析後所得之分潮數量統計,2004 年氣象局資料因僅有三個月,所能分出分潮數量為 39 個。圖 4.1-11 至4.1-18 為模式與7 個港口各年資料之各分潮比較結果,氣象局資料調和分析的結果比較則於圖 4.1-19 至 4.1-26 展示,利用式 4-1.7 計算之各年 d 值變化則整理於表 4.1-2, 氣象局資料 d 值分布則於表 4.1-3。

表 4.1-1 港研中心各年水位資料長度與調和分析所得分潮數量

	資料長度	(月)			分潮數量(個)				
時間	2001	2002	2003	2004	2001	2002	2003	2004	
基隆	8~12	8~9	1~12	6~8	39	39	61	39	
台北	1~11	4~12	1~10	X	61	61	61	X	
安平	1~12	4~12	1~12	X	61	61	61	X	
高雄	1~12	1~12	6~12	6~8	61	61	61	39	
花蓮	1~12	1~12	3~10	6~8	61	61	61	39	
蘇澳	1~12	1~12	6~12	6~8	61	61	61	39	
台中	4~12	1~12	1~12	6~8	61	61	61	39	

表 4.1-2 各分潮於不同測站模式計算與實測之調和常數差異值 d 歷年變化

各測站代碼與位置					M2				S2			
No.	測站		經度	緯 度	2001	2002	2003	2004	2001	2002	2003	2004
1	基隆	KL	121.8	25.4	0.423	0.411	0.407	0.415	0.106	0.101	0.103	0.089
2	台北	ТР	121.3	25.2	0.337	0.400	0.317	X	0.109	0.117	0.116	X
3	安 平	AP	120.0	23.0	0.198	0.128	0.135	X	0.041	0.003	0.004	X
4	高雄	KH	120.2	22.6	0.365	0.357	0.437	0.014	0.152	0.154	0.096	0.052
5	花蓮	HL	121.7	24.0	0.007	0.031	0.028	0.036	0.107	0.112	0.109	0.099
6	蘇澳	SA	121.9	24.7	0.055	0.042	0.051	0.036	0.112	0.111	0.111	0.097
7	台 中	TC	120.4	24.3	0.107	0.152	0.162	0.121	0.127	0.107	0.126	0.089

表4.1-2(續) 各分潮於不同測站模式計算與實測之調和常數差異值 d 歷年變化

各測站代碼與位置					N2				K2			
No.	測站		經度	緯度	2001	2002	2003	2004	2001	2002	2003	2004
1	基隆	KL	121.8	25.4	0.066	0.066	0.063	0.066	0.034	0.033	0.037	0.034
2	台北	ТР	121.3	25.2	0.103	0.114	0.086	X	0.023	0.037	0.007	X
3	安 平	AP	120.0	23.0	0.044	0.026	0.025	X	0.031	0.014	0.015	X
4	高雄	KH	120.2	22.6	0.062	0.067	0.110	0.058	0.033	0.034	0.054	0.047
5	花蓮	HL	121.7	24.0	0.113	0.101	0.109	0.109	0.003	0.004	0.002	0.026
6	蘇澳	SA	121.9	24.7	0.089	0.093	0.093	0.099	0.006	0.005	0.007	0.024
7	台中	ТС	120.4	24.3	0.178	0.215	0.212	0.208	0.026	0.020	0.038	0.078

表4.1-2(續) 各分潮於不同測站模式計算與實測之調和常數差異值 d 歷年變化

各測站代碼與位置					K1				O1			
No.	測站		經度	緯度	2001	2002	2003	2004	2001	2002	2003	2004
1	基隆	KL	121.8	25.4	0.031	0.021	0.025	0.025	0.031	0.022	0.020	0.021
2	台 北	TP	121.3	25.2	0.027	0.032	0.028	X	0.022	0.024	0.023	X
3	安 平	AP	120.0	23.0	0.066	0.035	0.038	X	0.059	0.035	0.035	X
4	高雄	KH	120.2	22.6	0.169	0.167	0.015	0.043	0.113	0.111	0.103	0.028
5	花蓮	HL	121.7	24.0	0.014	0.019	0.013	0.019	0.005	0.013	0.005	0.010
6	蘇澳	SA	121.9	24.7	0.023	0.021	0.022	0.032	0.016	0.016	0.018	0.017
7	台 中	ТС	120.4	24.3	0.033	0.021	0.019	0.007	0.030	0.011	0.014	0.013

表4.1-2(續) 各分潮於不同測站模式計算與實測之調和常數差異值 d 歷年變化

各涯	則站	代码	馬與位	置	P1				Q1			
No.	測站		經度	緯度	2001	2002	2003	2004	2001	2002	2003	2004
1	基隆	KL	121.8	25.4	0.006	0.009	0.001	0.006	0.005	0.014	0.003	0.002
2	台 北	TP	121.3	25.2	0.003	0.008	0.015	X	0.011	0.010	0.006	X
3	安中	AP	120.0	23.0	0.031	0.016	0.013	X	0.021	0.008	0.009	X
4	高雄	KH	120.2	22.6	0.048	0.052	0.043	0.035	0.021	0.020	0.171	0.016
5	花 蓮	HL	121.7	24.0	0.010	0.007	0.004	0.006	0.002	0.002	0.001	0.005
6	蘇澳	SA	121.9	24.7	0.006	0.006	0.014	0.017	0.004	0.004	0.003	0.016
7	台中	ТС	120.4	24.3	0.005	0.014	0.012	0.019	0.005	0.010	0.008	0.007

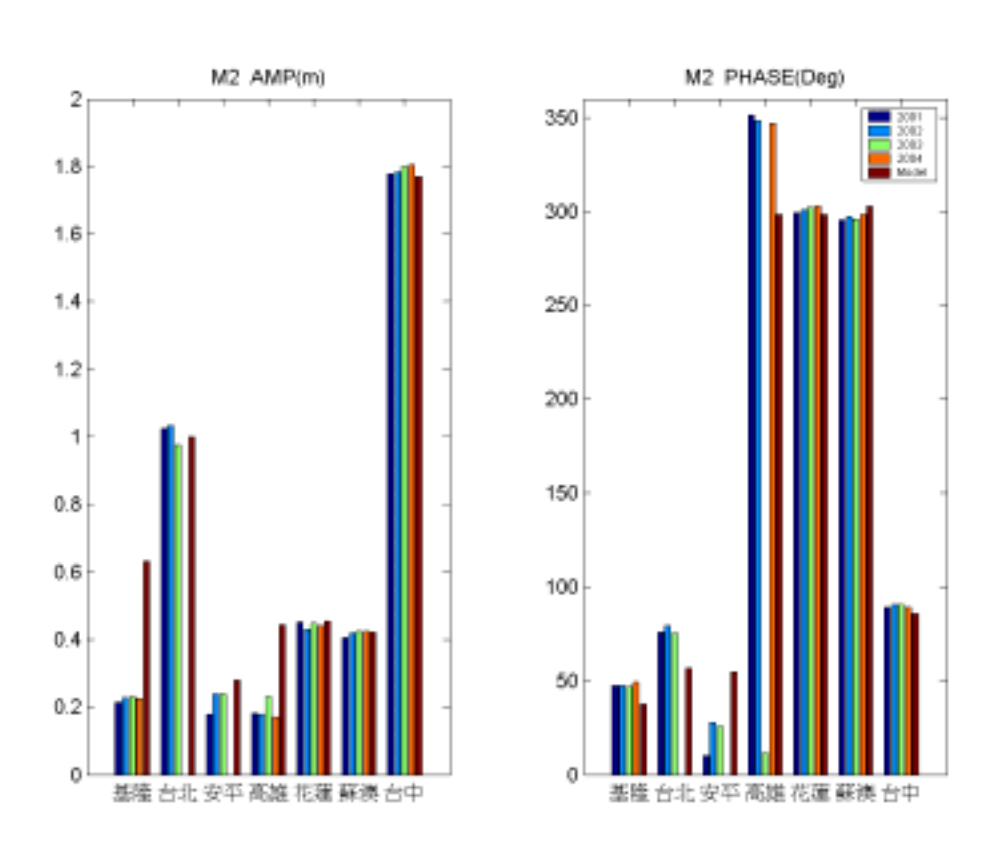


圖 4.1-11 各港口實測與模式分年 M2 調和常數比較

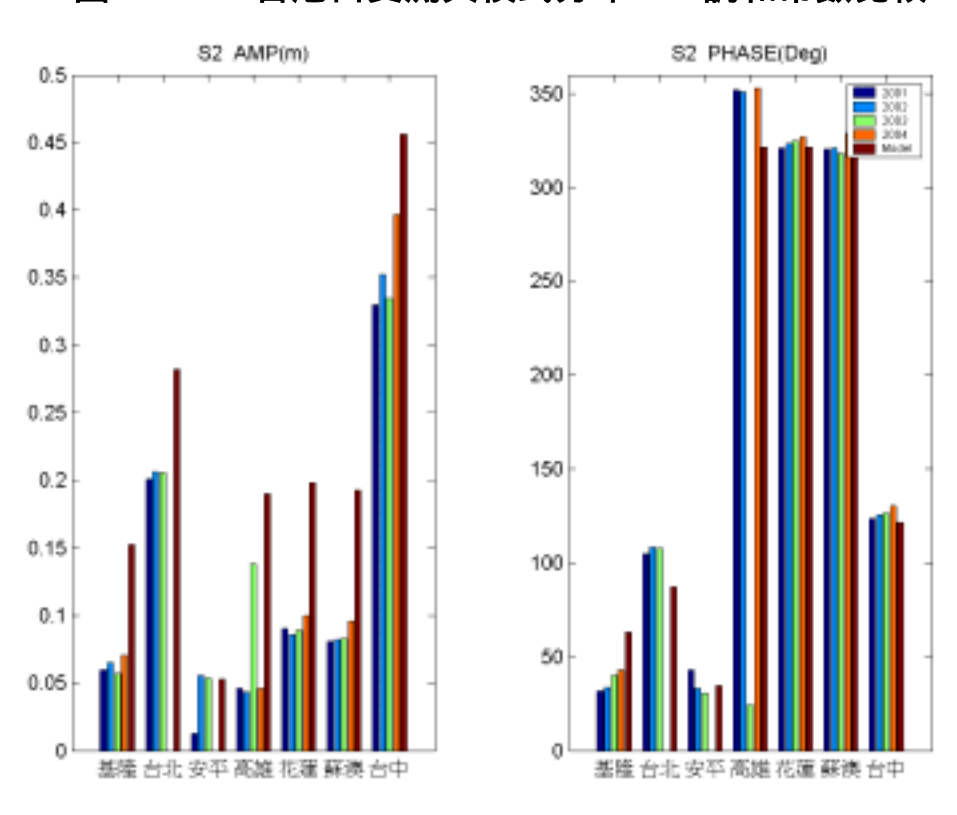


圖 4.1-12 各港口實測與模式分年 S2 調和常數比較

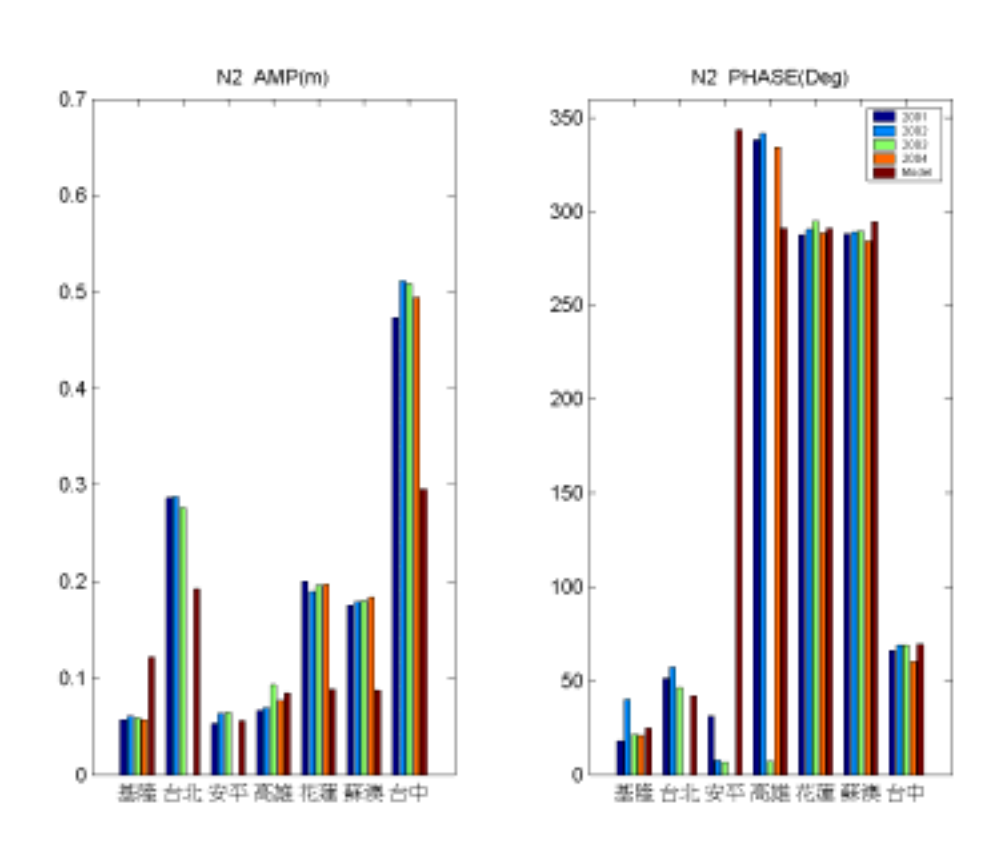


圖 4.1-13 各港口實測與模式分年 N2 調和常數比較

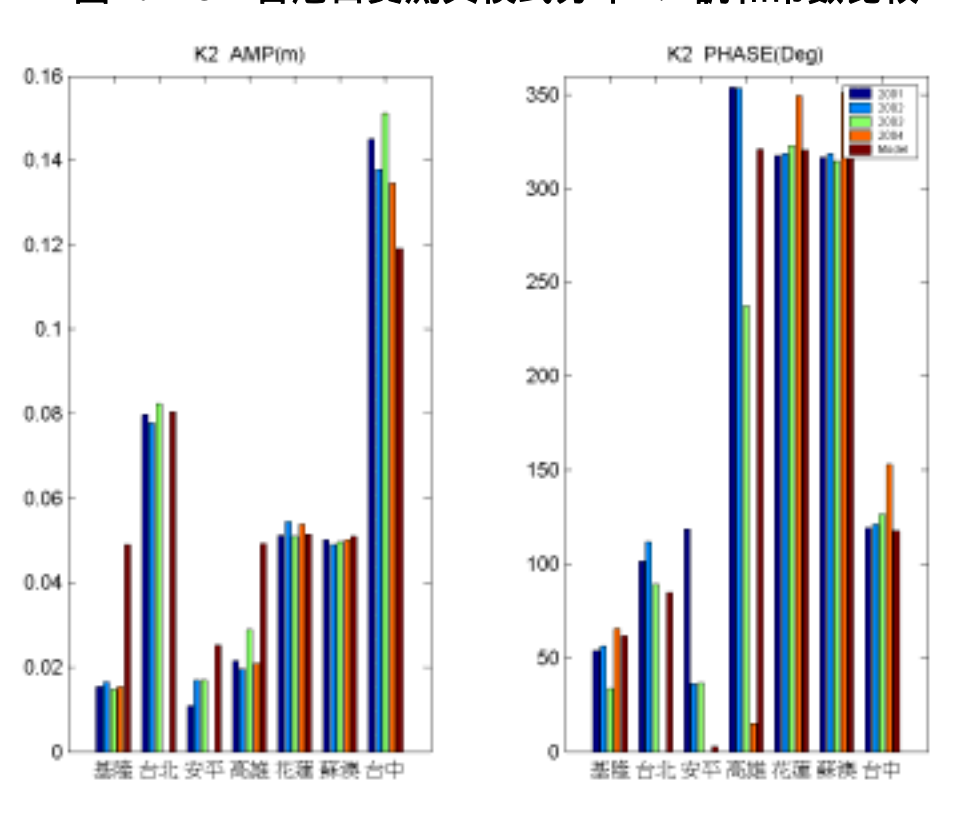


圖 4.1-14 各港口實測與模式分年 K2 調和常數比較

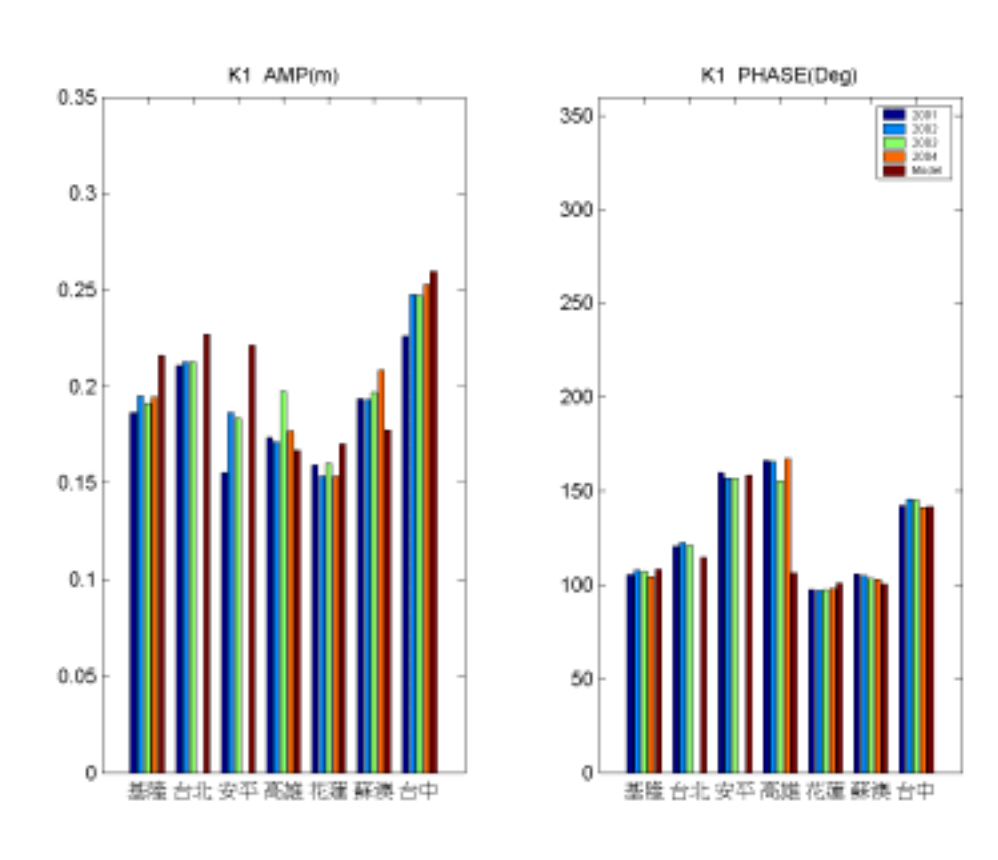


圖 4.1-15 各港口實測與模式分年 K1 調和常數比較

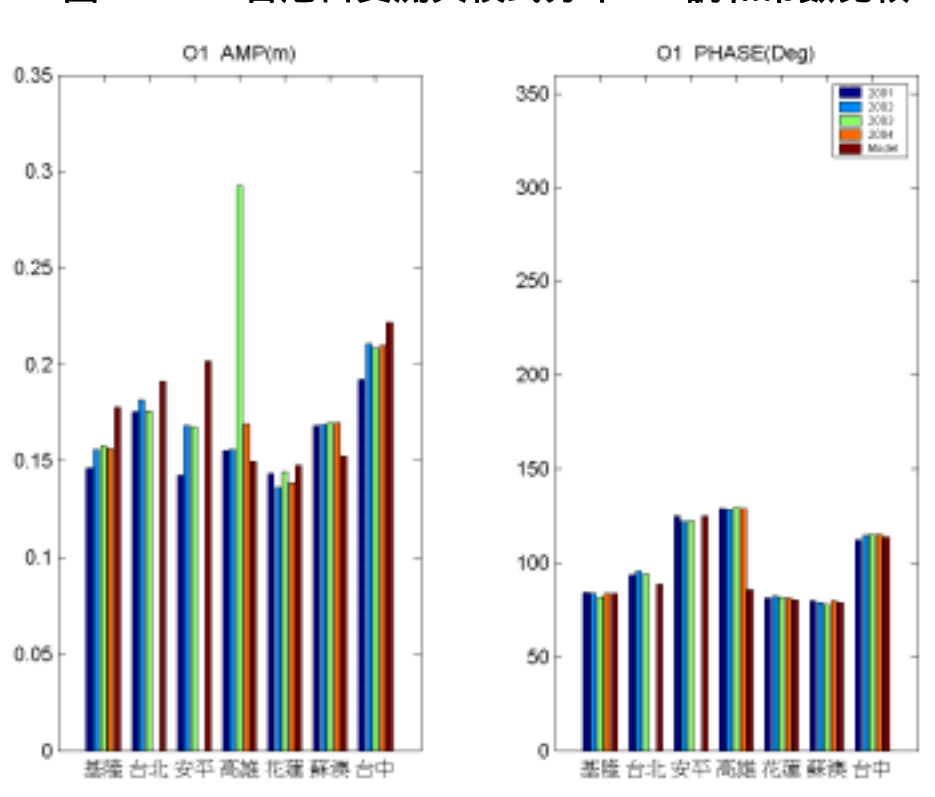


圖 4.1-16 各港口實測與模式分年 O1 調和常數比較

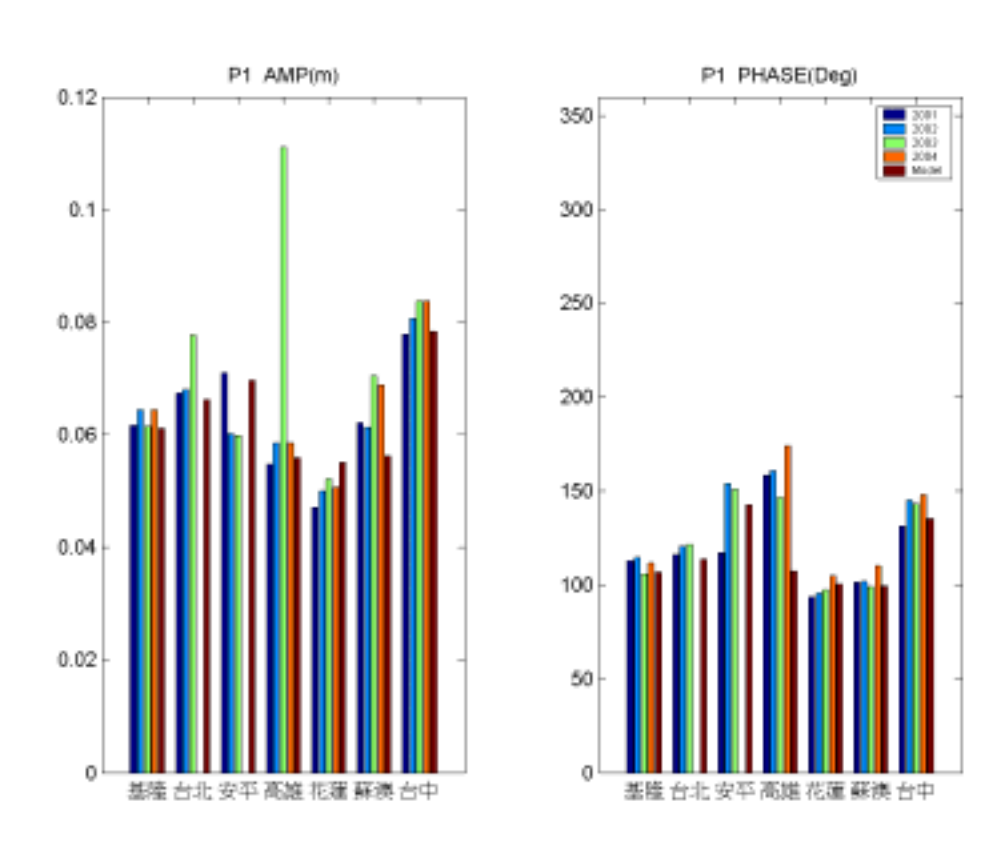


圖 4.1-17 各港口實測與模式分年 P1 調和常數比較

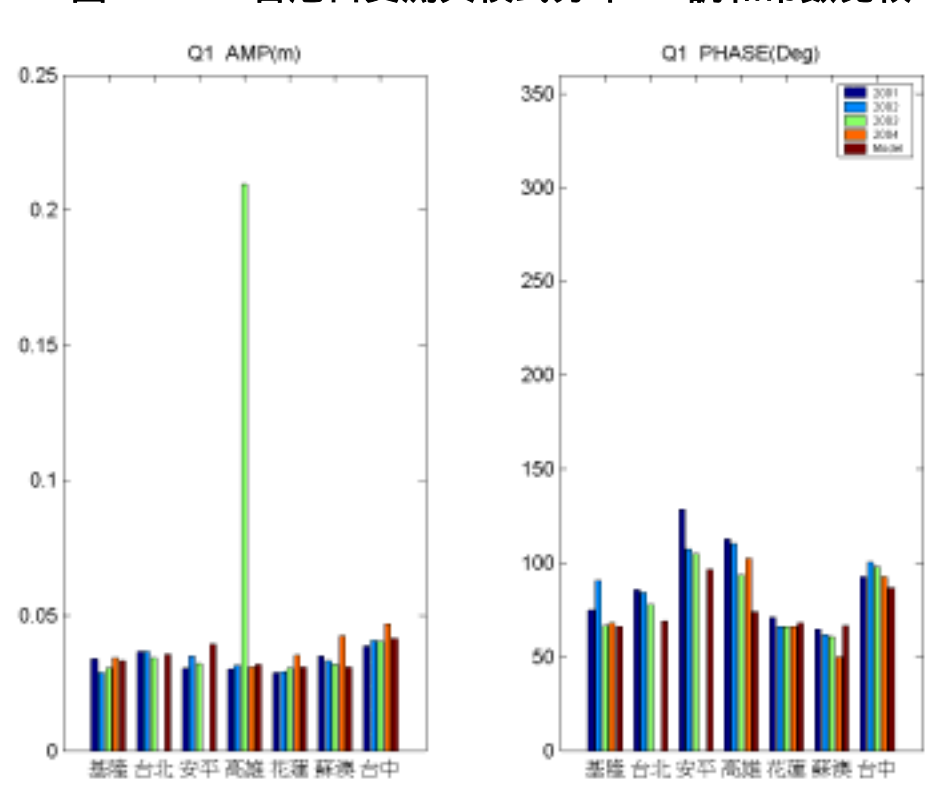


圖 4.1-18 各港口實測與模式分年 Q1 調和常數比較

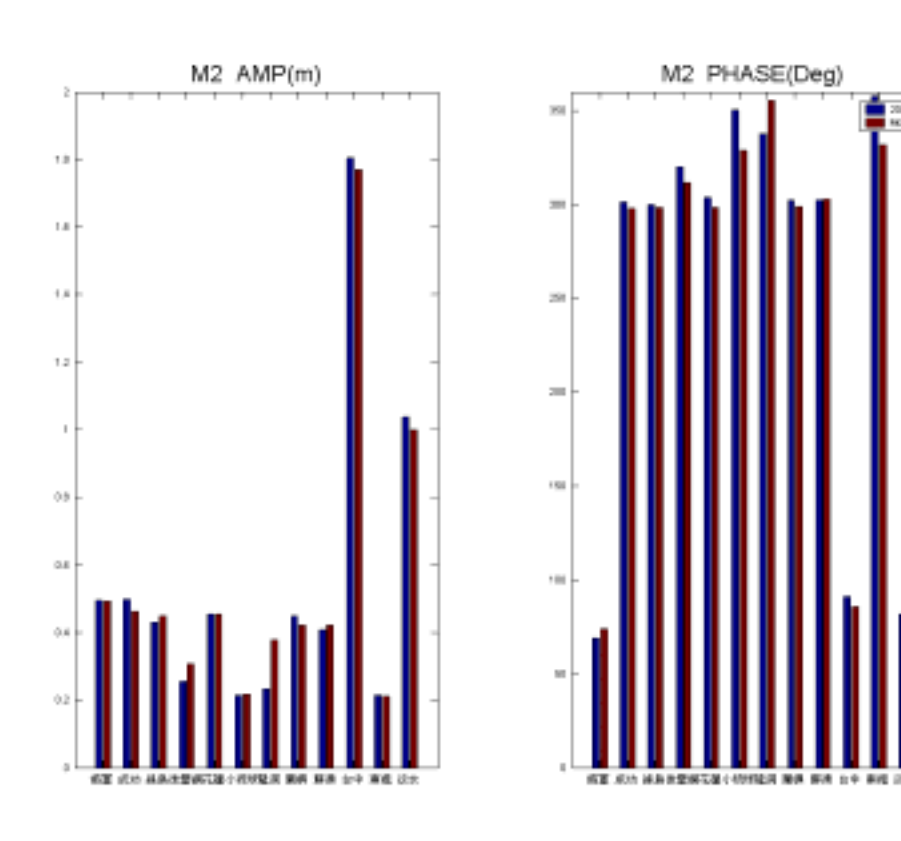


圖 4.1-19 氣象局測站實測與模式 M2 調和常數比較

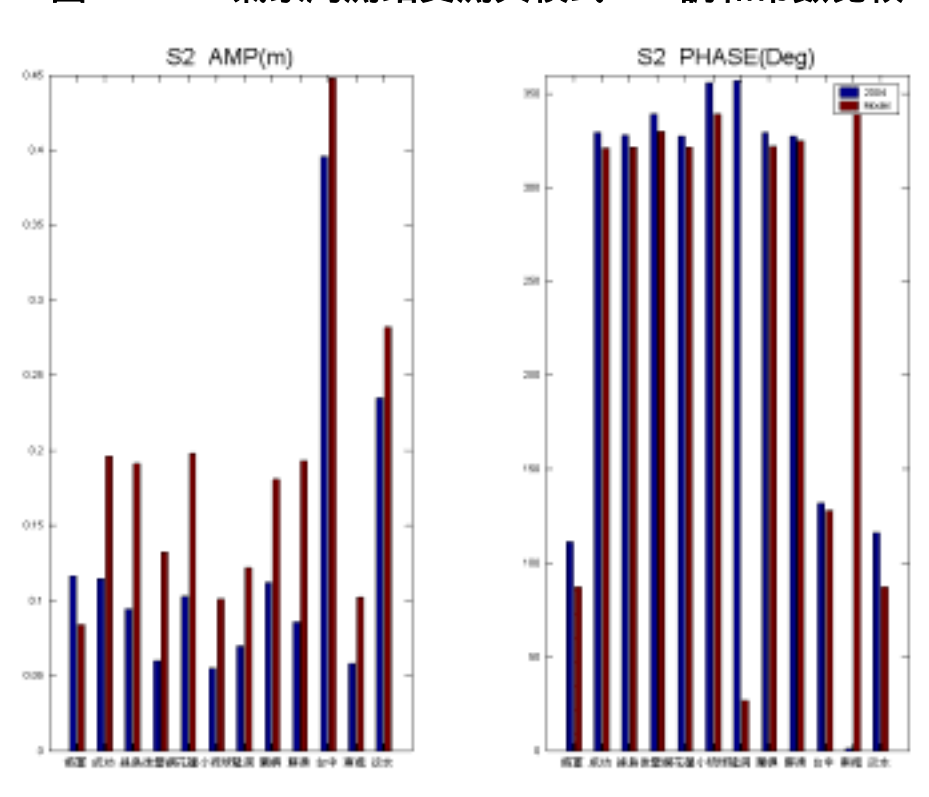
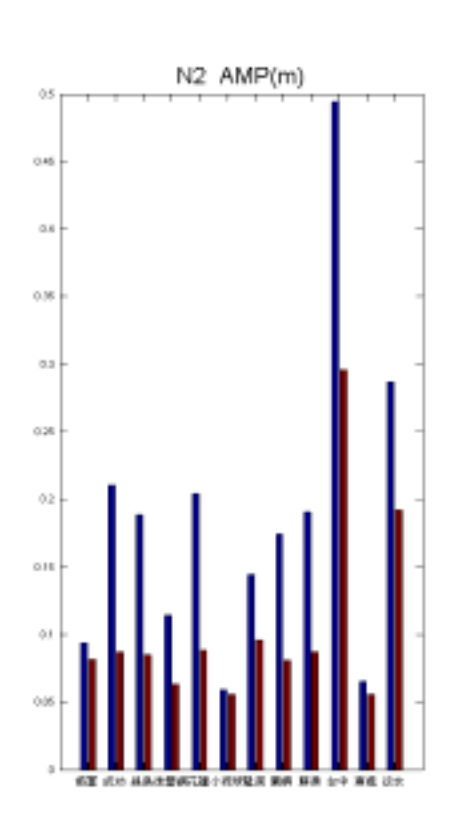


圖 4.1-20 氣象局測站實測與模式 S2 調和常數比較



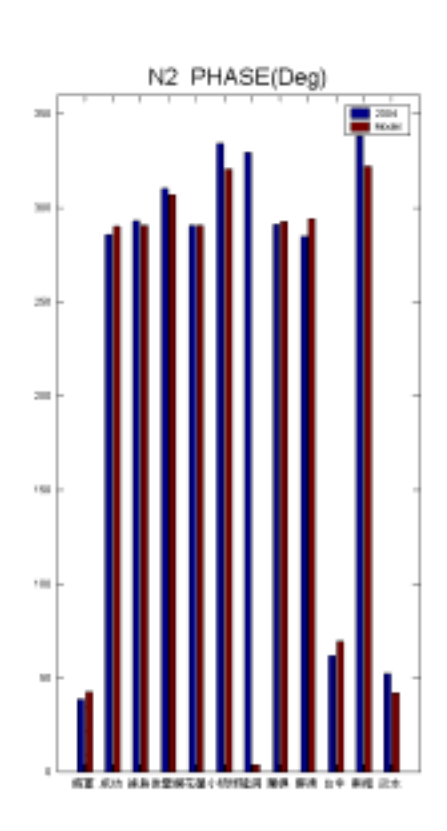
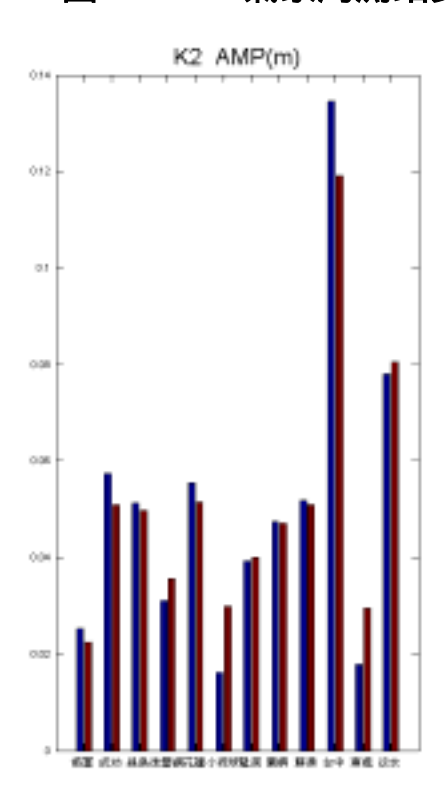


圖 4.1-21 氣象局測站實測與模式 N2 調和常數比較



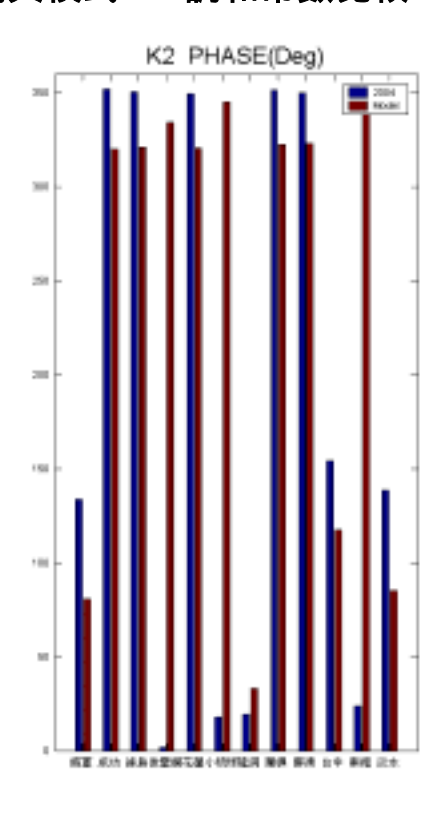


圖 4.1-22 氣象局測站實測與模式 K2 調和常數比較

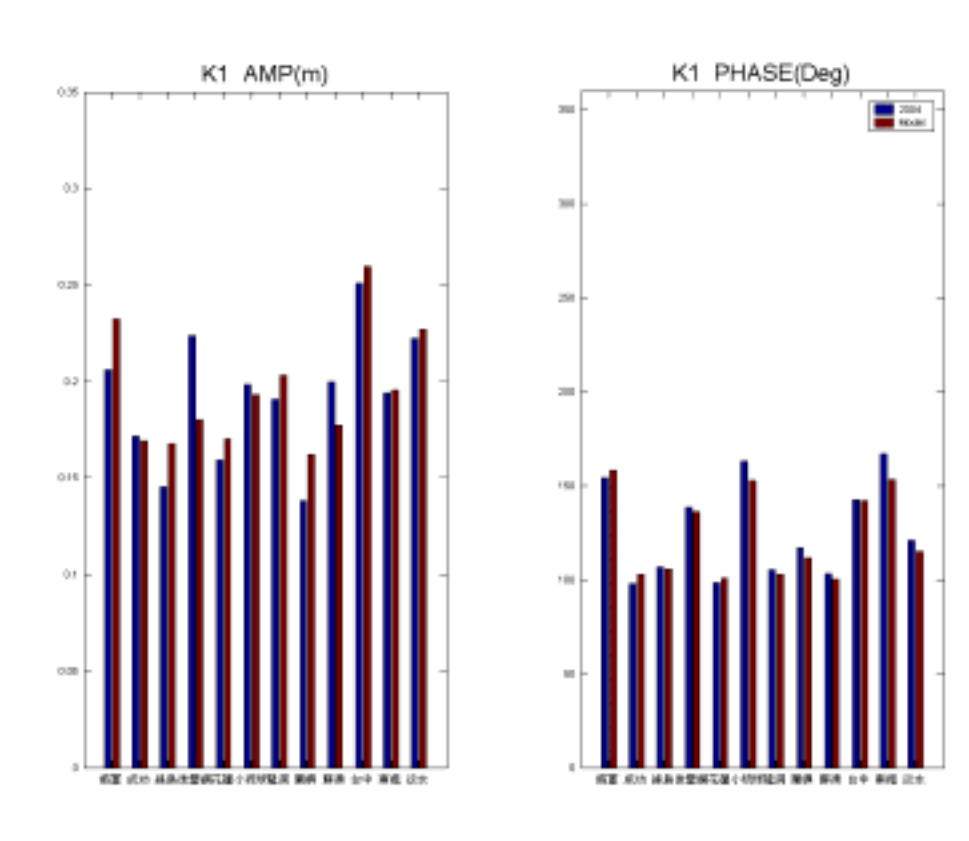


圖 4.1-23 氣象局測站實測與模式 K1 調和常數比較

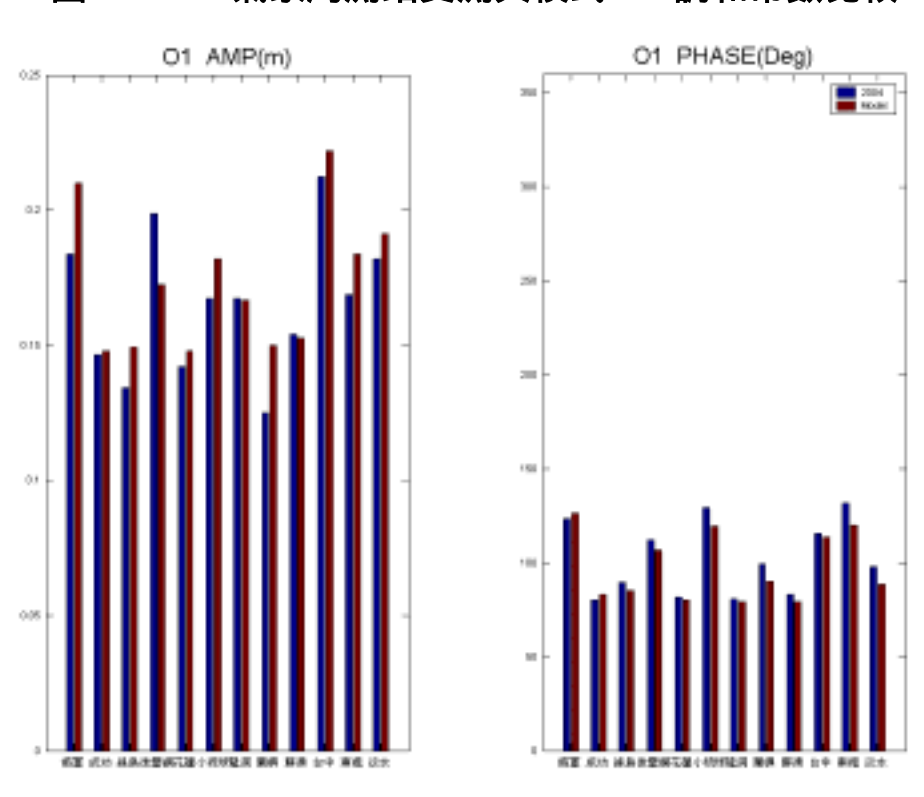


圖 4.1-24 氣象局測站實測與模式 O1 調和常數比較

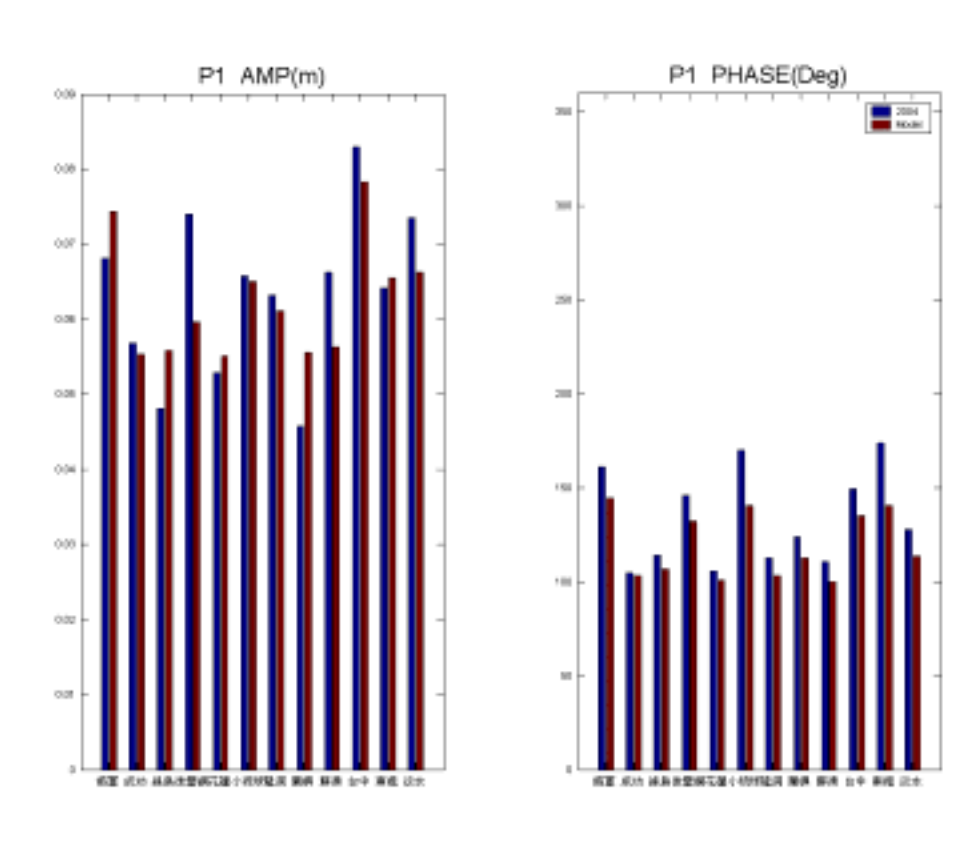


圖 4.1-25 氣象局測站實測與模式 P1 調和常數比較

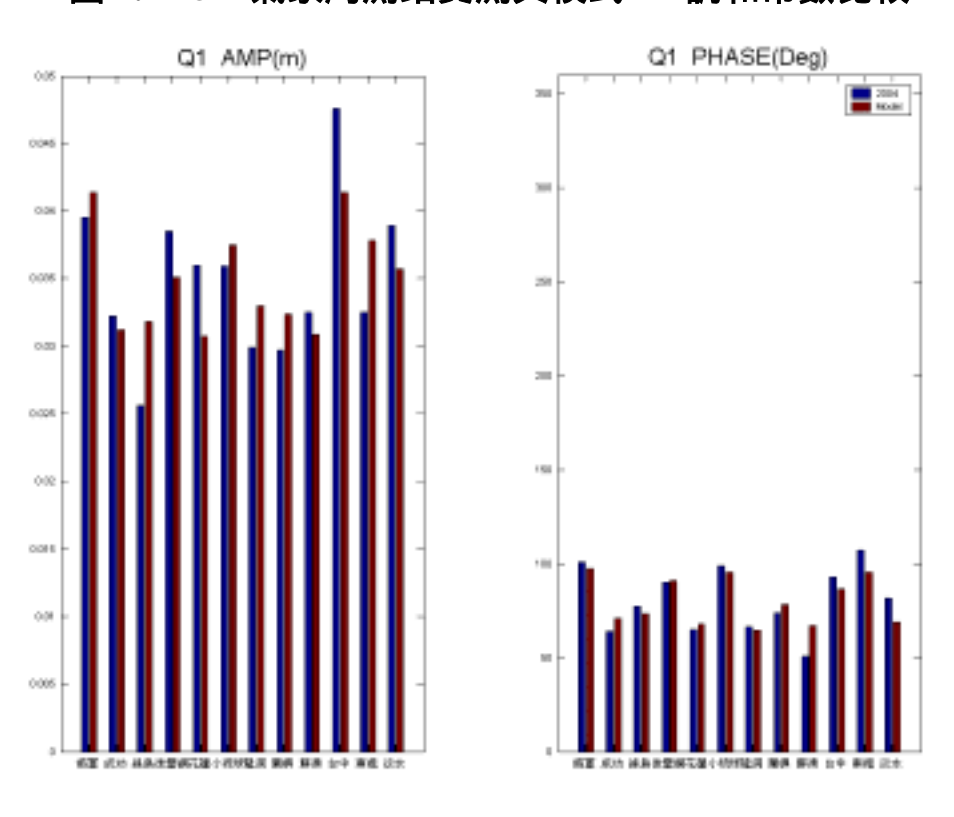


圖 4.1-26 氣象局測站實測與模式 Q1 調和常數比較

表 4.1-3 各分潮於不同測站模式計算與實測之調和常數差異值 d

No.	測站	經度	緯度	M2	S2	N2	K2	K1	O1	P1	Q1
1	將軍	120.1	23.2	0.041	0.052	0.013	0.021	0.031	0.028	0.022	0.003
2	成功	121.4	23.1	0.044	0.084	0.124	0.030	0.015	0.007	0.002	0.004
3	緑島	121.5	22.7	0.022	0.098	0.104	0.026	0.023	0.018	0.010	0.007
4	後壁湖	120.8	21.9	0.066	0.074	0.052	0016	0.044	0.032	0.021	0.003
5	花蓮	121.65	24.0	0.040	0.096	0.116	0.027	0.013	0.007	0.005	0.006
6	小琉球	120.4	22.4	0.080	0.051	0.014	0.019	0.036	0.032	0.034	0.003
7	龍洞	122.0	25.1	0.170	0.071	0.084	0.010	0.015	0.004	0.010	0.003
8	蘭嶼	121.5	22.1	0.038	0.072	0.094	0.024	0.027	0.034	0.014	0.004
9	蘇澳	121.9	24.6	0.014	0.108	0.106	0.024	0.024	0.011	0.015	0.009
10	台中	120.6	24.3	0.171	0.058	0.205	0.081	0.009	0.012	0.021	0.008
11	東港	120.5	22.5	0.097	0.053	0.019	0.019	0.047	0.040	0.037	0.009
12	淡 水	121.4	25.2	0.445	0.138	0.103	0.072	0.023	0.032	0.019	0.009

4.1.3 結果討論

天文潮模式的結果校驗需依據實際測站資料來做調整,在經過適當的調整邊界設定後,模式與實測結果經由調和分析比對台灣沿岸 7個港口測站之調和常數差異可由表 4.1-2 清楚得知,大致上來說,其差

異(d值)不超過5公分,顯示模式經由調整後邊界驅動的結果大致良好,就主要分潮M2與K1而言,高雄與基隆差異值較大,同時可由圖4.1-11~18可得知,大部分的實測分潮與模式結果相當,但高雄與基隆的分潮振幅差異最大可達兩倍(M2、S2),由於受到地形變化較大影響,在大範圍模式中不易得到類似結果,將藉由小範圍高解析度模式的建立來彌補。另外,2003年高雄測站資料分析結果異於其餘年份,同年其餘測站並無相同情形,可能是資料本身品管問題,該結果在進行潮位重組時將予以剔除,以其餘年份代替。氣象局資料部分,主要分潮M2大致符合,淡水測站由於遲角偏差較大使得差異較大,模式S2、N2分潮普遍較大,由於氣象局資料僅購買颱風期間月份,資料長度較為不足,分析結果無法完整代表潮汐特性,未來尚待取得較為長期潮位紀錄以進行分析,目前所有實測潮位資料,紀錄密度均為每小時一筆,地形或天候產生之高頻複合現象,並無法完整表現,未來亦期待取得原始資料,方能進行分析高頻的潮汐行為。

4.2 全域暴潮模式

4.2.1 模式理論介紹

風暴潮主要是由氣象大氣壓力的變化與風場的驅動等因素所引發的海水水位異常變化的現象,與天文潮最大的差異點是其不具週期性,完全根據當時的氣象狀況產生,其中影響最大的氣象因素就是風在海面產生的剪力及海面氣壓不同產生的抬昇,而在近岸地區又受到地形及底床的交互作用影響,增加風暴潮的水位變化。風暴潮依其產生的氣象條件可分為熱帶風暴潮及溫帶風暴潮。熱帶風暴潮,主要由颱風所產生的,由於颱風是低氣壓,本身所挾帶的風速相當強,再加上颱風擁有相當大的暴風半徑,影響的範圍極大,所以產生的風暴潮也比較強,但是此風暴潮的特性完全取決於颱風的路徑與影響時間;溫帶風暴潮則是以季風所產生的水位變化為主,由於季風的風速比起颱風要小的很多,所以產生的風暴潮強度比較弱,但是季風持續的時

間短則一兩個月,長則可達半年,所以累積影響的時間較颱風產生的 要長很多,另外影響的範圍也比颱風大很多。

風暴潮的水位計算有兩種方式,分別為經驗公式及數值模式。由 於以前的電腦運算能力有限,所以利用長期的水位資料分析推導水位 變化經驗公式,來求得風暴潮的水位變化,歐洲在早期亦曾使用區域 關聯模式來提供風暴潮的早期預警。這些方法的優點是不需要大量的 計算,所以幾乎是可以同步提供預警,但是亦有其限制,無法提供全 面海域的水位變化情形,關聯模式又必須有許多同步的水位觀測站連 結方得以提供預報,若需海面的水位變化,則需使用多點的水位資料 分別求出其水位變化經驗公式,然後比較個點的關係,亦可預報風暴 潮時各點的變化,但是此法最大的限制一方面是在推算點必須有長期 的觀測資料,另一方面由於這些方法是屬於經驗公式,還是無法掌握 全部的預測,一般來說準確率不及五成。在1980年代電腦科技的興起. 利用數值模式來計算風暴潮期間的水位變化的程式漸漸開始出現,初 期由於電腦的計算量不夠大,對水動力的數值解析方法的發展也缺乏 經驗,所以傳統的計算方式皆是天文潮與氣象潮分開計算,而且氣象 潮的計算多以風場的影響為主,大氣壓力的影響經常是被忽略的。天 文潮的預報大多以調和分析之結果當作邊界,求得模式內各處的水位 變化;風暴潮部分則是僅輸入氣象條件(氣壓場與風場),不包含天文 潮的影響,求得只有風及壓力產生的水位變化,以得到暴潮偏差為主, 水位預報則是將天文潮與風暴潮算出之水位線性疊加,以此算出的水 位變化並沒有考慮到風暴潮與天文潮之間的相互影響,但是由於不需 考慮與天文潮波的互動關係,計算上也較為快速,所以在潮差不大或 是大陸棚海域較短的區域(如美國東西岸海域),仍然是風暴潮預報的 主要方法。以下為風暴潮基本公式,以球面座標表示:

$$\frac{\partial u}{\partial t} + \frac{u}{R\cos\phi} \frac{\partial u}{\partial \chi} + \frac{v}{R} \frac{\partial u}{\partial \phi} - \frac{uv\tan\phi}{R} - v(2\omega\sin\phi) = -\frac{g}{R\cos\phi} \frac{\partial \zeta}{\partial \chi} - \frac{1}{\rho R\cos\phi} \frac{\partial p_a}{\partial \chi} - \frac{\tau_{b\chi} - \tau_{s\chi}}{\rho(h+\zeta)}$$
(4.2-1)

$$\frac{\partial v}{\partial t} + \frac{u}{R\cos\phi}\frac{\partial v}{\partial \chi} + \frac{v}{R}\frac{\partial v}{\partial \phi} - \frac{u^2\tan\phi}{R} + u(2\omega\sin\phi) = -\frac{g}{R}\frac{\partial \zeta}{\partial \phi} - \frac{1}{\rho R}\frac{\partial p_a}{\partial \phi} - \frac{\tau_{b\chi} - \tau_{s\chi}}{\rho(h + \zeta)} \quad (4.2-2)$$

$$\frac{\partial \zeta}{\partial t} + \frac{1}{R\cos\phi} \left(\frac{\partial}{\partial \chi} (u(h+\zeta)) + \frac{\partial}{\partial \phi} ((h+\zeta)v\cos\phi) \right) = 0$$
 (4.2-3)

底層摩擦產生之剪力可寫為

$$\tau_{bx} = \rho k \bar{u} \sqrt{u^2 + v^2}, \quad \tau_{bx} = \rho k \bar{v} \sqrt{u^2 + v^2}$$
(4.2-4)

其中 k 為底床摩擦係數。

風於表層產生之剪力可寫為

$$\tau_{sx} = C_D \rho_a W_x \sqrt{W_x^2 + W_y^2} \quad , \quad \tau_{sy} = C_D \rho_a W_y \sqrt{W_x^2 + W_y^2}$$
 (4.2-5)

C_D:拖曳係數

 ρ_z :空氣密度

 $W_x: x$ 方向風速

W_v:y方向風速

4.2.2 模擬結果說明

圖 4.2-1~4.2-4 為今年度敏督利及蘭寧颱風暴潮偏差與實測港口暴潮偏差比對圖。圖 4.2-1 及圖 4.2-2 為敏督利颱風其間花蓮港及蘇澳港的暴潮偏差比對圖。由比對圖可以發現比對的結果並不好,敏督利期間花蓮港的模擬結果只有在大小部分符合,趨勢與實際資料並不相同;而在蘇澳港的部分則可是模擬結果低於實測資料。在蘭寧颱風部分,由於路徑的關係,可以發現蘇澳港的比對結果叫花蓮港好,但仍然低估了暴潮偏差值,在趨勢方面也是蘇澳港的結果比花蓮港好。比對結果不佳的原因會於後節討論。

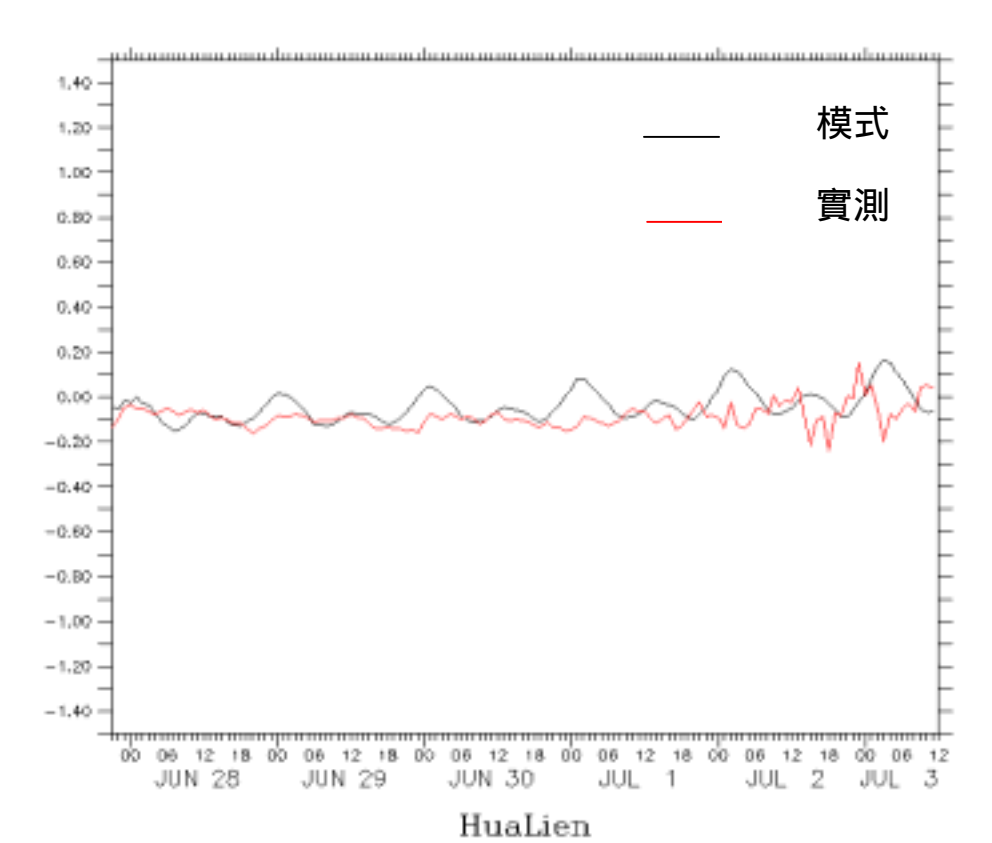


圖 4.2-1 敏督利颱風其間花蓮港暴潮偏差比對圖

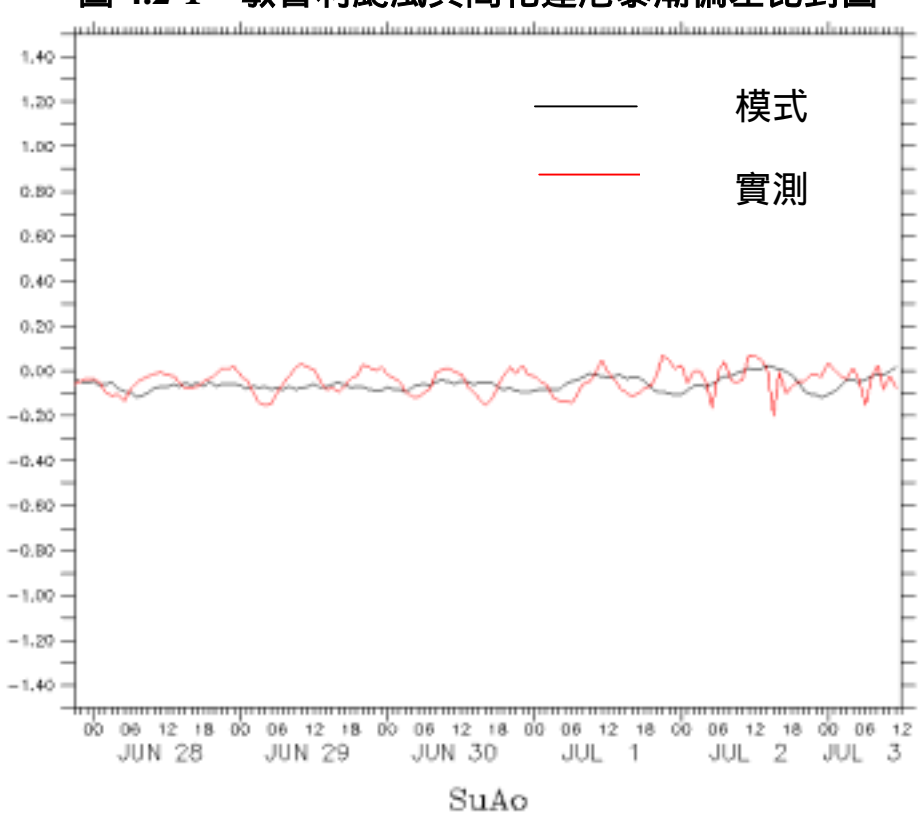


圖 4.2-2 敏督利颱風其間蘇澳港暴潮偏差比對圖

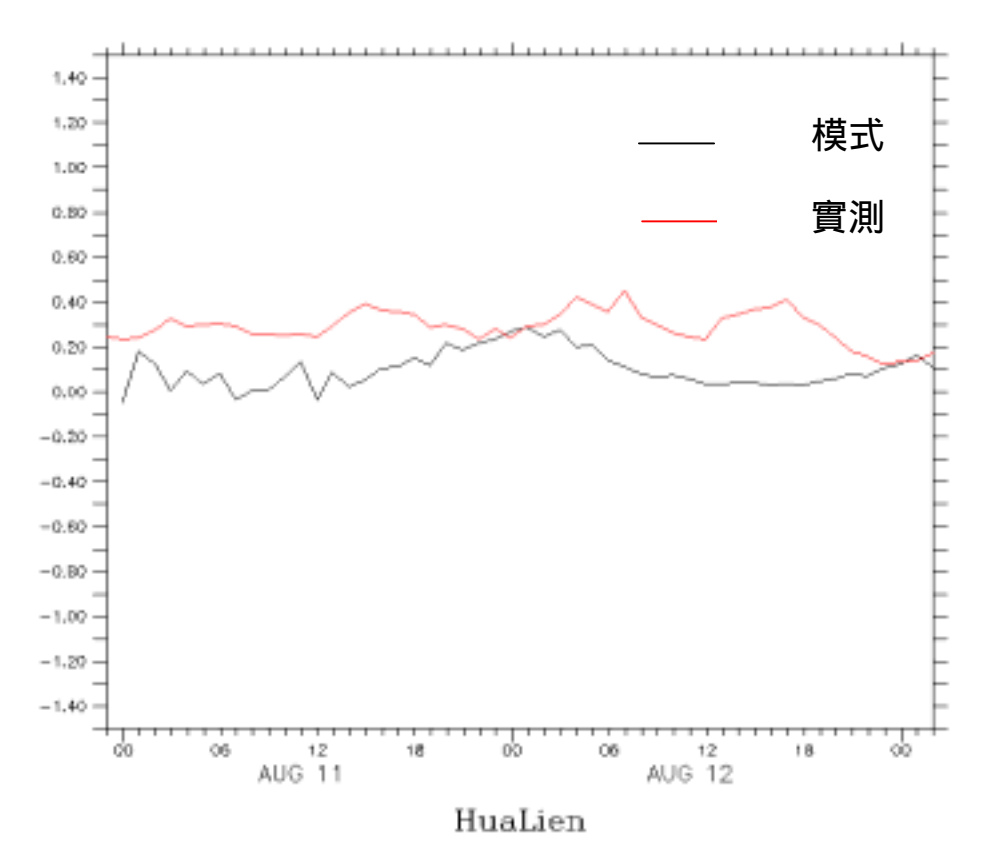


圖 4.2-2 蘭寧颱風其間花蓮港暴潮偏差比對圖

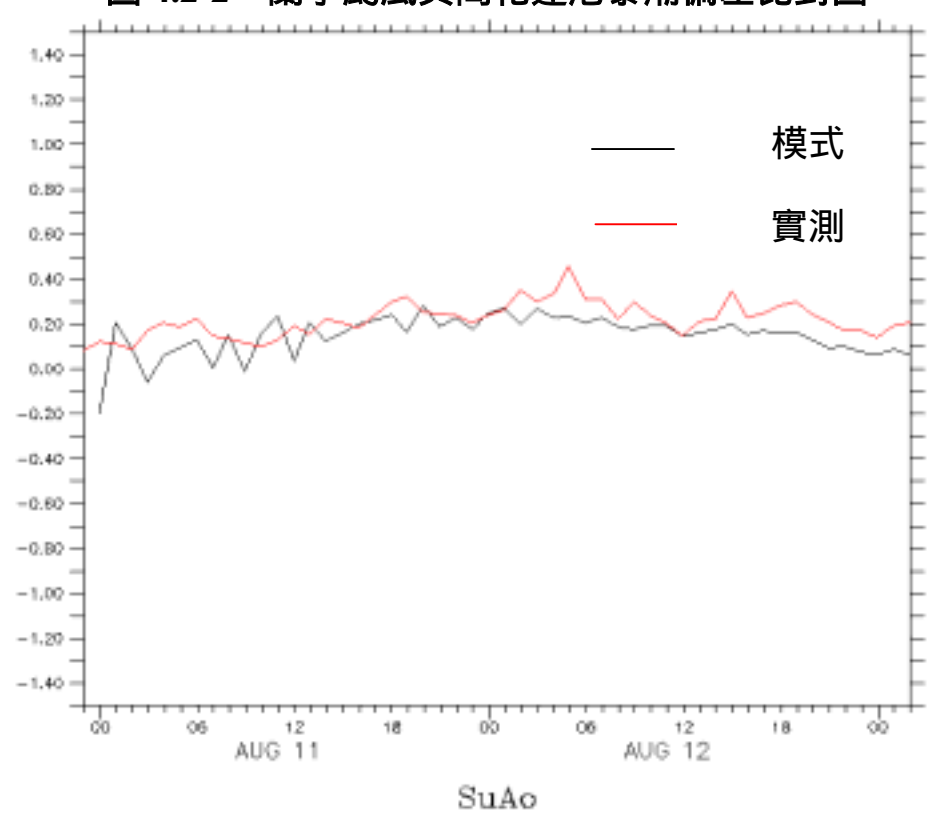


圖 4.2-4 蘭寧颱風其間蘇澳港暴潮偏差比對圖

4.2.3 討論與建議

綜合以上的模擬結果,對於暴潮偏差比對的不同,推測為以下幾個原因,第一個原因為颱風經過台灣陸地,造成結構的破壞,使的風速分佈與颱風模式的初始假設不合,同時也會影響路徑預報的精確性,再加上大尺度的網格解析度太粗,使得近岸的地形無法被精確的描繪出來,造成整個暴潮位的偏小,未來將模式解析度增加之後,可以得到更精確的暴潮偏差。

第二個原因則為 NOAA 預報風場的網格解析度過大,在台灣海峽內部只有一點兩點的風速資料,因此內插出來的風速雖然在趨勢上可以符合,但是在風速大小部分便無法很有很好的結果,特別在近岸地區風速的內插更是明顯的偏小,下一年度若能取得中央氣象局更精細的動態風場預報資料,應會有更好的暴潮偏差模擬結果。

第三個原因為颱風暴風半徑的準確性,由於 NOAA 預報風場解析度過大,因此對於颱風風場的模擬往往無法得到風速的極值,颱風範圍內的風速都較實際量測值來的小,因此需要使用颱風模型來模擬颱風內部風場,取代 NOAA 預報風場的颱風範圍,此時颱風的暴風半徑準確性便相當的重要,若是預報半徑過大,會造成風速偏大,預報半徑過小則是風速不足,此情況對於暴潮偏差的模擬影響很大。

第四個原因為氣壓因素,由於本年度沒有辦法取得平面的氣壓場分佈,因此無法將氣壓的影響納入,導致暴潮偏差被低估,下一年度若能取得中央氣象局的平面預報氣壓場後,將能得到更準確的暴潮偏差結果。

第五個原因為分析暴潮偏差的方式,目前使用的方法為以實測水位減去調和分析的重組水位(取震幅超過一公分的分潮)得到,由於目前的潮位站大部分皆位於港區內,會受到地形的影響,因此使用此方式來分析,並無法將地形的影響去除得到單純的暴潮偏差,未來可以嘗試使用其他的分析方式如 EMD,以便可以得到更準確的暴潮偏差值。

4.3 全域水位模式

4.3.1 模式理論介紹

拜現今電腦科技進步神速,電腦所能提供的運算量比起以前有大幅度的進步,計算的方法也隨之大幅改進,因此許多國家所發展的水位預報數值模式皆已朝向將氣象條件(風速、風向及大氣壓力)的影響直接與天文潮波整合進以全域水動力方程式直接計算,在模式中達成動態平衡,使風暴潮與天文潮的相互影響可以被完整的考慮,因此本年的目標除分別完成天文潮波與風暴潮預報模式外,整合完成一套風暴潮與天文潮耦合的水位預報模式亦是本年度計畫的重點之一。

對於不可壓縮流體的基本水動力方程式可分為兩個部分,一為 momentum equation,一為 continuity equation (Dronkers, 1975),以卡氏座標分述如下:

momentum equation:

$$\frac{\partial u}{\partial t} + u \frac{\partial u}{\partial x} + v \frac{\partial u}{\partial y} + w \frac{\partial u}{\partial z} = fv - \frac{1}{\rho} \frac{\partial p}{\partial x} + \left[\frac{\partial}{\partial x} \left(v_t \frac{\partial u}{\partial x} \right) + \frac{\partial}{\partial y} \left(v_t \frac{\partial u}{\partial y} \right) + \frac{\partial}{\partial z} \left(v_t \frac{\partial u}{\partial z} \right) \right]$$

$$\frac{\partial v}{\partial t} + u \frac{\partial v}{\partial x} + v \frac{\partial v}{\partial y} + w \frac{\partial v}{\partial z} = -fu - \frac{1}{\rho} \frac{\partial p}{\partial y} + \left[\frac{\partial}{\partial x} \left(v_t \frac{\partial v}{\partial x} \right) + \frac{\partial}{\partial y} \left(v_t \frac{\partial v}{\partial y} \right) + \frac{\partial}{\partial z} \left(v_t \frac{\partial v}{\partial z} \right) \right]$$

$$\frac{\partial w}{\partial t} + u \frac{\partial w}{\partial x} + v \frac{\partial w}{\partial y} + w \frac{\partial w}{\partial z} = -g - \frac{1}{\rho} \frac{\partial p}{\partial z} + \left[\frac{\partial}{\partial x} \left(v_t \frac{\partial w}{\partial x} \right) + \frac{\partial}{\partial y} \left(v_t \frac{\partial w}{\partial y} \right) + \frac{\partial}{\partial z} \left(v_t \frac{\partial w}{\partial z} \right) \right]$$

$$\frac{\partial w}{\partial t} + u \frac{\partial w}{\partial x} + v \frac{\partial w}{\partial y} + w \frac{\partial w}{\partial z} = -g - \frac{1}{\rho} \frac{\partial p}{\partial z} + \left[\frac{\partial}{\partial x} \left(v_t \frac{\partial w}{\partial x} \right) + \frac{\partial}{\partial y} \left(v_t \frac{\partial w}{\partial y} \right) + \frac{\partial}{\partial z} \left(v_t \frac{\partial w}{\partial z} \right) \right]$$

$$\frac{\partial w}{\partial t} + u \frac{\partial w}{\partial x} + v \frac{\partial w}{\partial y} + w \frac{\partial w}{\partial z} = -g - \frac{1}{\rho} \frac{\partial p}{\partial z} + \left[\frac{\partial}{\partial x} \left(v_t \frac{\partial w}{\partial x} \right) + \frac{\partial}{\partial y} \left(v_t \frac{\partial w}{\partial y} \right) + \frac{\partial}{\partial z} \left(v_t \frac{\partial w}{\partial z} \right) \right]$$

$$\frac{\partial w}{\partial t} + u \frac{\partial w}{\partial x} + v \frac{\partial w}{\partial y} + w \frac{\partial w}{\partial z} = -g - \frac{1}{\rho} \frac{\partial p}{\partial z} + \left[\frac{\partial}{\partial x} \left(v_t \frac{\partial w}{\partial x} \right) + \frac{\partial}{\partial y} \left(v_t \frac{\partial w}{\partial y} \right) + \frac{\partial}{\partial z} \left(v_t \frac{\partial w}{\partial z} \right) \right]$$

$$\frac{\partial w}{\partial t} + u \frac{\partial w}{\partial x} + v \frac{\partial w}{\partial y} + w \frac{\partial w}{\partial z} = -g - \frac{1}{\rho} \frac{\partial p}{\partial z} + \left[\frac{\partial w}{\partial x} \left(v_t \frac{\partial w}{\partial x} \right) + \frac{\partial w}{\partial y} \left(v_t \frac{\partial w}{\partial z} \right) \right]$$

$$\frac{\partial w}{\partial t} + u \frac{\partial w}{\partial x} + v \frac{\partial w}{\partial y} + w \frac{\partial w}{\partial z} = -g - \frac{1}{\rho} \frac{\partial p}{\partial z} + \left[\frac{\partial w}{\partial x} \left(v_t \frac{\partial w}{\partial x} \right) + \frac{\partial w}{\partial y} \left(v_t \frac{\partial w}{\partial y} \right) \right]$$

continuity equation:

$$\frac{\partial u}{\partial x} + \frac{\partial v}{\partial y} + \frac{\partial w}{\partial z} = 0 \tag{4.3-4}$$

 v_i : turbulent eddy viscosity

 ρ :水體密度

p: hydrostatic pressure

f:科氏力

g: 重力加速度

u:x方向流速

v:y方向流速

w:z方向流速

由於三維水動力模式需要的計算時間相當的長,以目前單一 PC 的運算速度來說,要當作預報模式是不可行的,所以本年度以建置二維水動力模式為主;再加上垂直流速原本就比水平流速小很多,因此可以忽略不計,水深平均流速可以定義如下:

其中 h 為水深, ζ 為水位變化。

所以整個方程式可以改寫如下 (Nihoul, 1982)

$$\frac{\partial \overline{u}}{\partial t} + \overline{u} \frac{\partial \overline{u}}{\partial x} + \overline{v} \frac{\partial \overline{u}}{\partial y} = f \overline{v} - g \frac{\partial \zeta}{\partial x} + \alpha_x \left(\frac{\partial^2 \overline{u}}{\partial x^2} + \frac{\partial^2 \overline{u}}{\partial y^2} \right) - \frac{1}{\rho} \frac{\partial p_a}{\partial x} - \frac{\tau_{bx}}{\rho (h + \zeta)} + \frac{\tau_{sx}}{\rho (h + \zeta)}$$

$$(4.3-6)$$

$$\frac{\partial \overline{v}}{\partial t} + \overline{u} \frac{\partial \overline{v}}{\partial x} + \overline{v} \frac{\partial \overline{v}}{\partial y} = -f \overline{u} - g \frac{\partial \zeta}{\partial y} + \alpha_y \left(\frac{\partial^2 \overline{v}}{\partial x^2} + \frac{\partial^2 \overline{v}}{\partial y^2} \right) - \frac{1}{\rho} \frac{\partial p_a}{\partial y} - \frac{\tau_{bx}}{\rho (h + \zeta)} + \frac{\tau_{sx}}{\rho (h + \zeta)}$$

$$(4.3-7)$$

$$\frac{\partial \zeta}{\partial t} + \frac{\partial}{\partial x} \left(\overline{u}(h + \zeta) \right) + \frac{\partial}{\partial y} \left(\overline{v}(h + \zeta) \right) = 0$$
 (4.3-8)

t:時間

pa:大氣壓力

 τ_{hx}, τ_{hy} :底床摩擦產生之剪力

 au_{sx} , au_{sy} :風於表層產生之剪力

 α_{x}, α_{y} :水平擴散係數

底層摩擦產生之剪力可寫為

$$\tau_{bv} = \rho k u \sqrt{u^{-2} + v^{-2}}, \ \tau_{bv} = \rho k v \sqrt{u^{-2} + v^{-2}}$$
 (4.3-9)

其中k為底床摩擦係數。

風於表層產生之剪力可寫為

$$\tau_{sx} = C_D \rho_a W_x \sqrt{W_x^2 + W_y^2} \quad , \quad \tau_{sy} = C_D \rho_a W_y \sqrt{W_x^2 + W_y^2}$$
 (4.3-10)

C_D:拖曳係數

 ρ_a :空氣密度

 $W_x: x$ 方向風速

 $W_v: y$ 方向風速

在實際的運算上,網格格點是以經緯度來表示,所以需將卡氏座 標轉換成球面座標,如此可將方程式改寫如下:

$$\frac{\partial u}{\partial t} + \frac{u}{R\cos\phi} \frac{\partial u}{\partial \chi} + \frac{v}{R} \frac{\partial u}{\partial \phi} - \frac{uv\tan\phi}{R} - v(2\omega\sin\phi) = -\frac{g}{R\cos\phi} \frac{\partial \zeta}{\partial \chi} - \frac{1}{\rho R\cos\phi} \frac{\partial p_a}{\partial \chi} - \frac{\tau_{b\chi} - \tau_{s\chi}}{\rho(h+\zeta)}$$
(4.3-11)

$$\frac{\partial v}{\partial t} + \frac{u}{R\cos\phi} \frac{\partial v}{\partial \chi} + \frac{v}{R} \frac{\partial v}{\partial \phi} - \frac{u^2 \tan\phi}{R} + u(2\omega\sin\phi) = -\frac{g}{R} \frac{\partial \zeta}{\partial \phi} - \frac{1}{\rho R} \frac{\partial p_a}{\partial \phi} - \frac{\tau_{b\chi} - \tau_{s\chi}}{\rho(h + \zeta)} \quad (4.3-12)$$

$$\frac{\partial \zeta}{\partial t} + \frac{1}{R\cos\phi} \left(\frac{\partial}{\partial \chi} (u(h+\zeta)) + \frac{\partial}{\partial \phi} ((h+\zeta)v\cos\phi) \right) = 0$$
 (4.3-13)

以上三式便是二維水位預報模式的基本原理。

模式的數值方法,為了配合格點的設置,預計採用有限差分法作為模式的數值方法,由於本計劃之大尺度模式所涵蓋的網格範圍相當大,計算點相當的多,因此記憶體使用量相對也需要比較多,所以在計算方法是選擇了較節省記憶體的顯示法來計算。

4.3.2 模式結果說明

模式模擬的颱風為今年度的敏督利及蘭寧颱風。 圖 4.3-1~圖 4.3-5 為五大港區於敏督利颱風期間模式水位及實測水位的比對圖,安平港 及台北港由於沒有今年度的實測資料,因此無法比對。圖 4.3-6~圖 4.3-10 為五大港區於蘭寧颱風期間模式水位及實測水位的比對圖,安平 港及台北港由於沒有今年度的實測資料,因此無法比對。由圖上可以 發現敏督利颱風其間花蓮港、蘇澳港及台中港的結果皆相當的不錯, 水位的趨勢及大小都能模擬到,只有台中港的潮時稍微延遲,高雄港 及基隆港的結果則差較多,推測為地形的影響及網格解析度較大的關 係。在蘭寧颱風的部分與敏督利颱風類似,花蓮港、蘇澳港及台中港 皆有不錯的比對結果,高雄港及基隆港的結果也比較不好,但是基隆 港的結果較敏督利颱風其間的比對圖好,推測為蘭寧颱風路徑未經過 臺灣陸地,且由北部略過,因此基隆港的結果較好。另外由於各港口 測站的基準水平面不一樣,因此實測資料的比對也有其困難度,未來 若能統一各個測站的基準水平面,在資料的處理會準確許多,能更容 易的與模式結果比對,驗證模式的準確性。台中港的部分兩個颱風結 果皆產生潮時的偏差,推測為內部地形的影響,由於網格點解析度較 粗,因次對於近岸地形的描述較不精確,待未來網格解析度提高便可 得到更精確的水位預報。

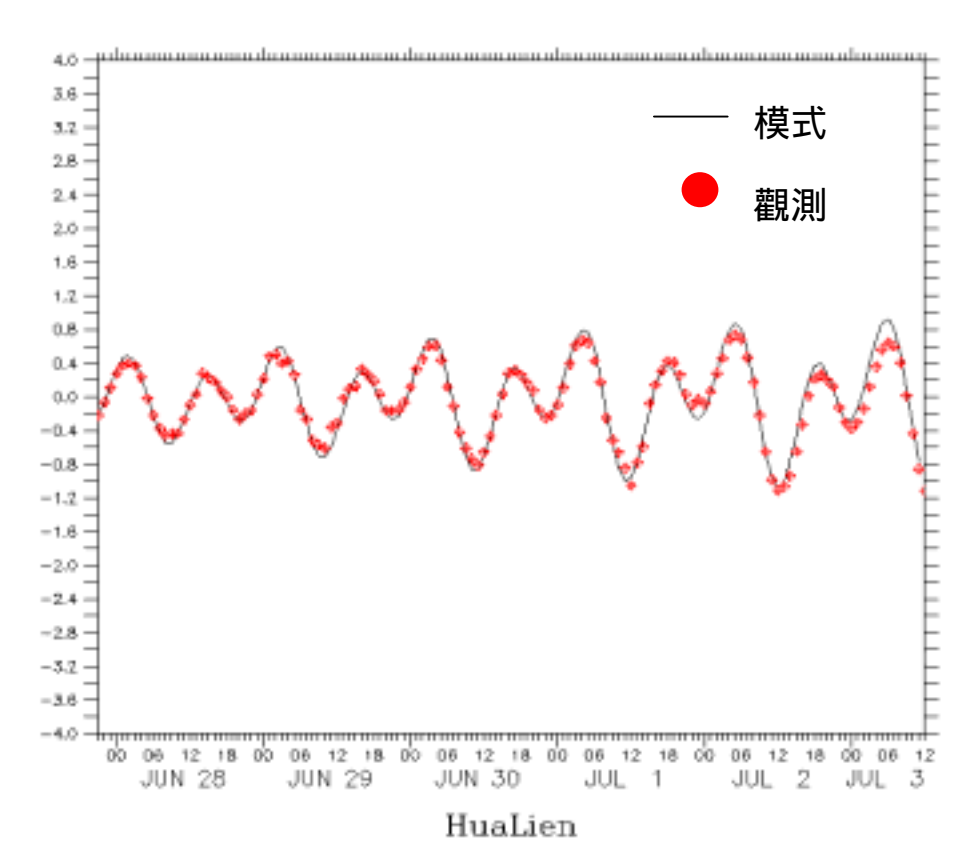


圖 4.3-1 敏督利颱風期間花蓮港水位比對圖

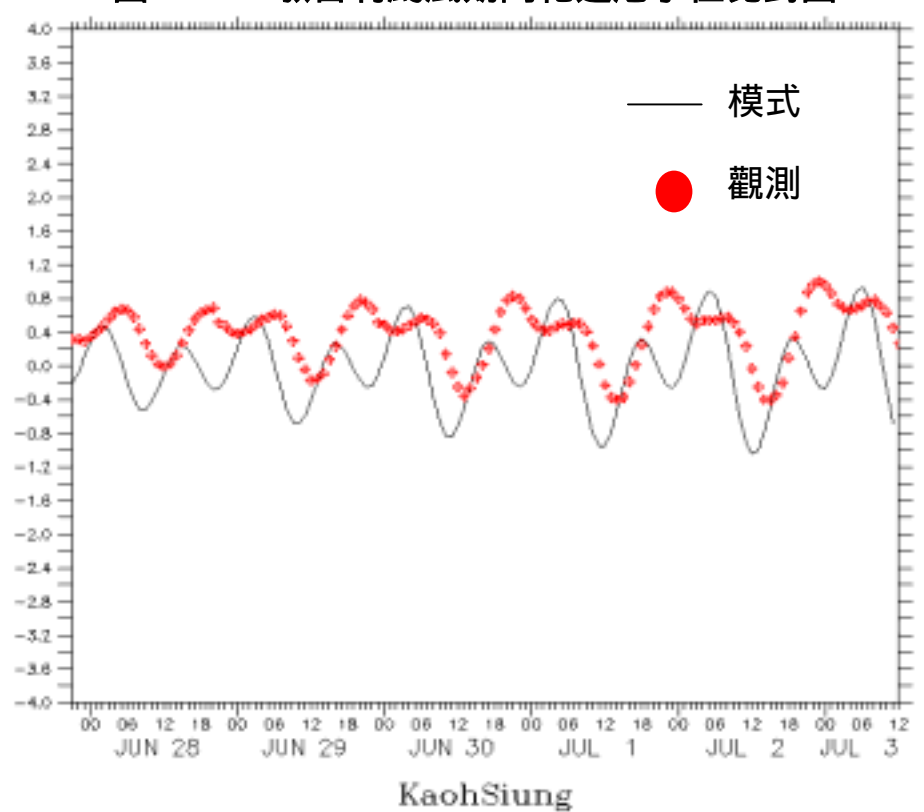


圖 4.3-2 敏督利颱風期間高雄港水位比對圖

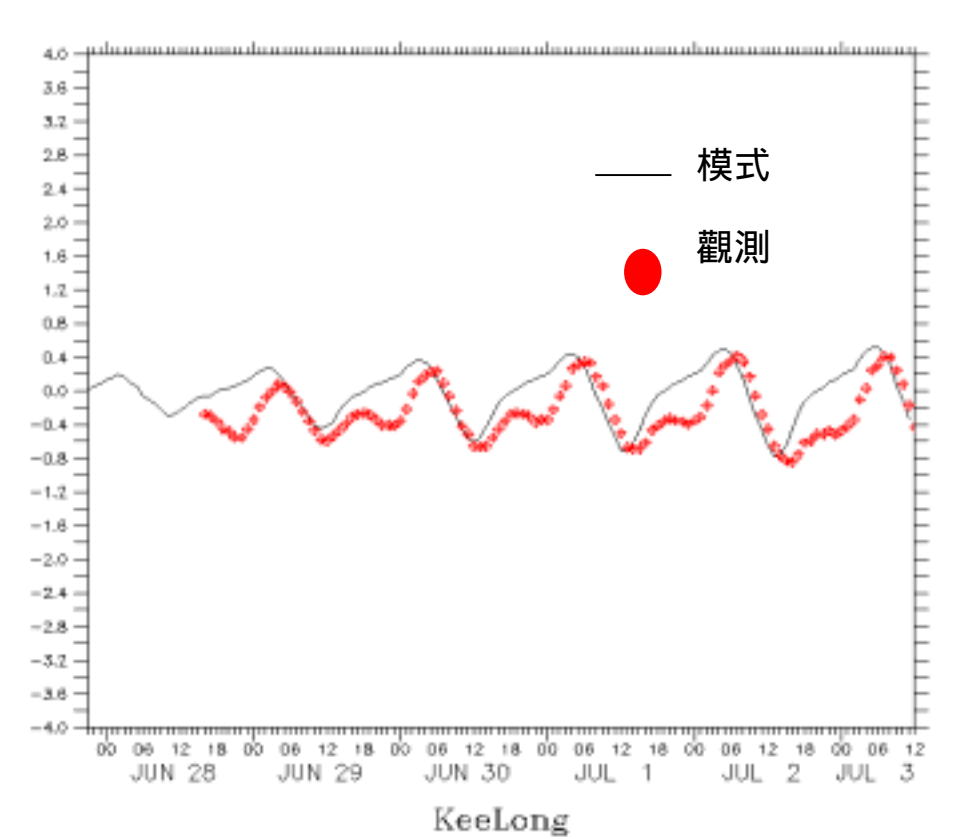


圖 4.3-3 敏督利颱風期間基隆港水位比對圖

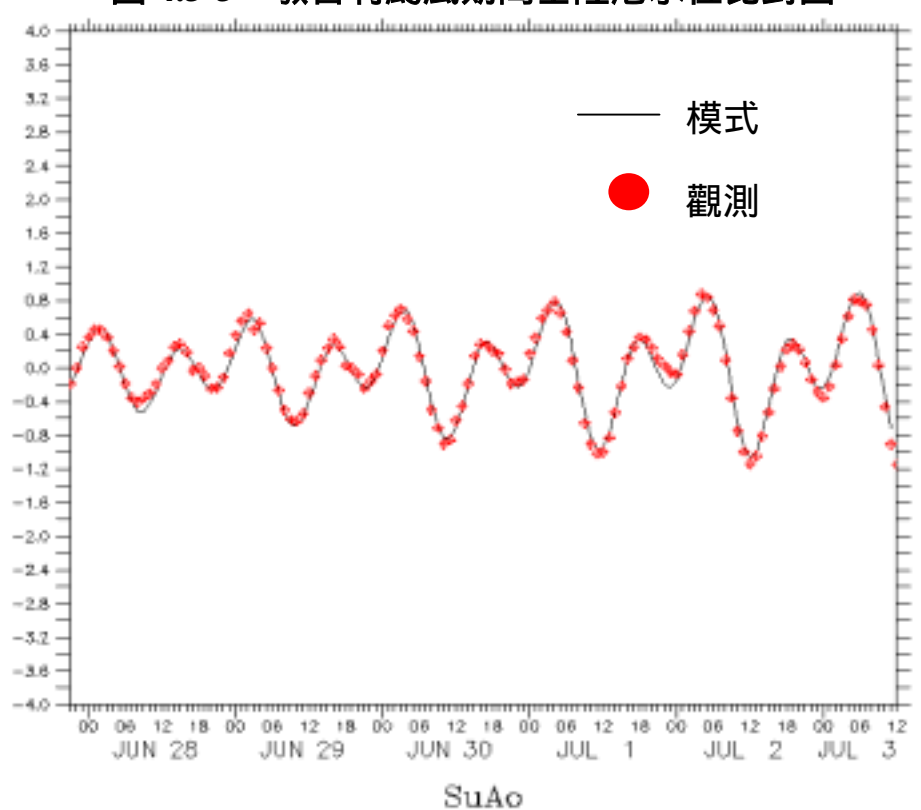


圖 4.3-4 敏督利颱風期間蘇澳港水位比對圖

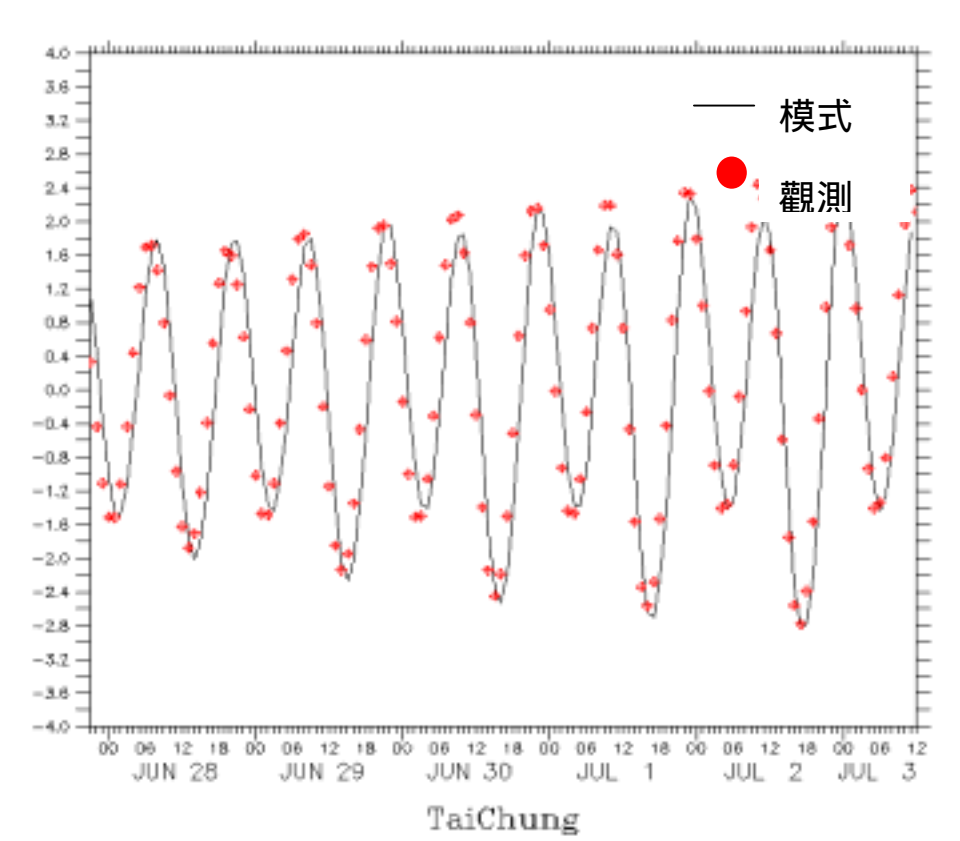


圖 4.3-5 敏督利颱風期間台中港水位比對圖

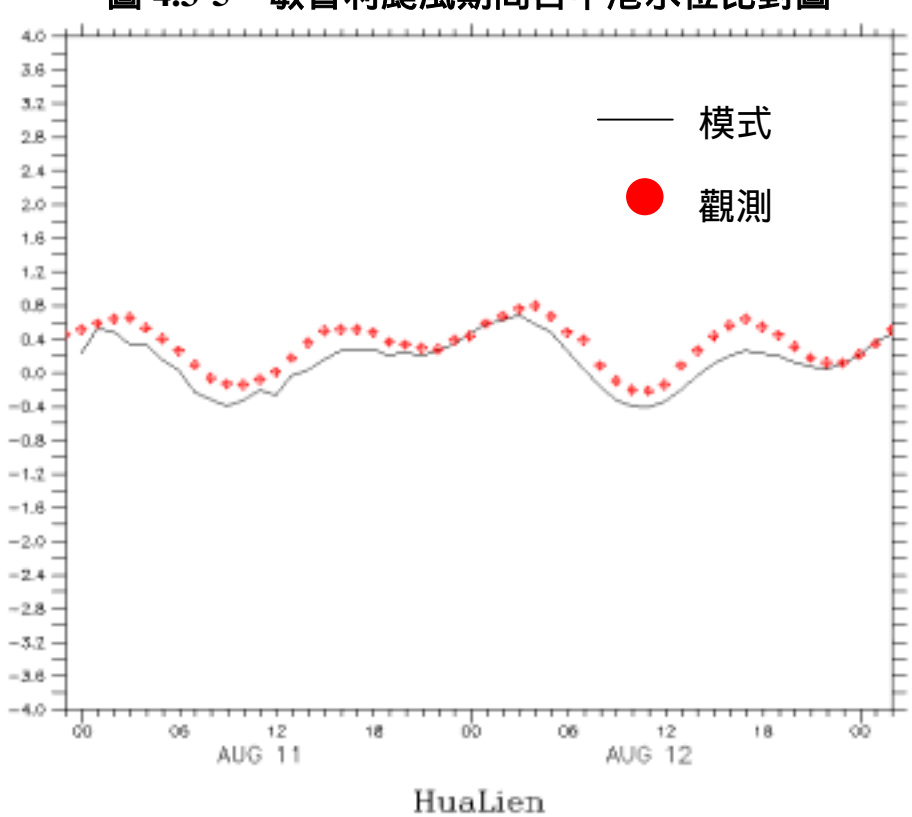


圖 4.3-6 蘭寧颱風期間花蓮港水位比對圖

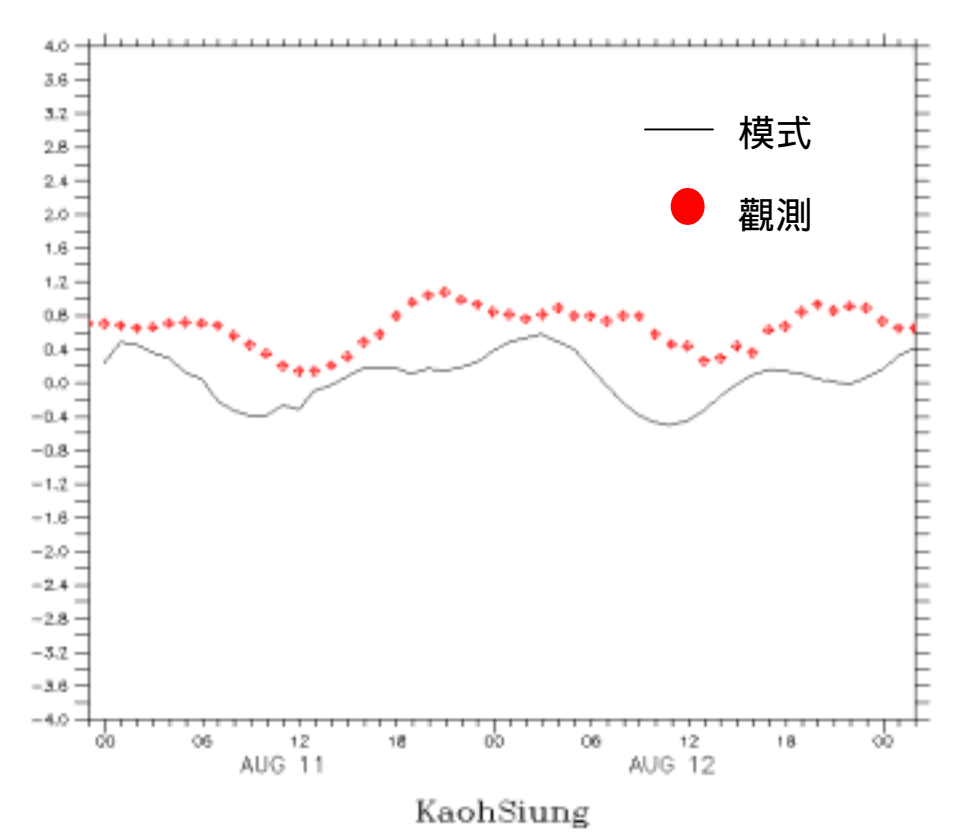


圖 4.3-7 蘭寧颱風期間高雄港水位比對圖

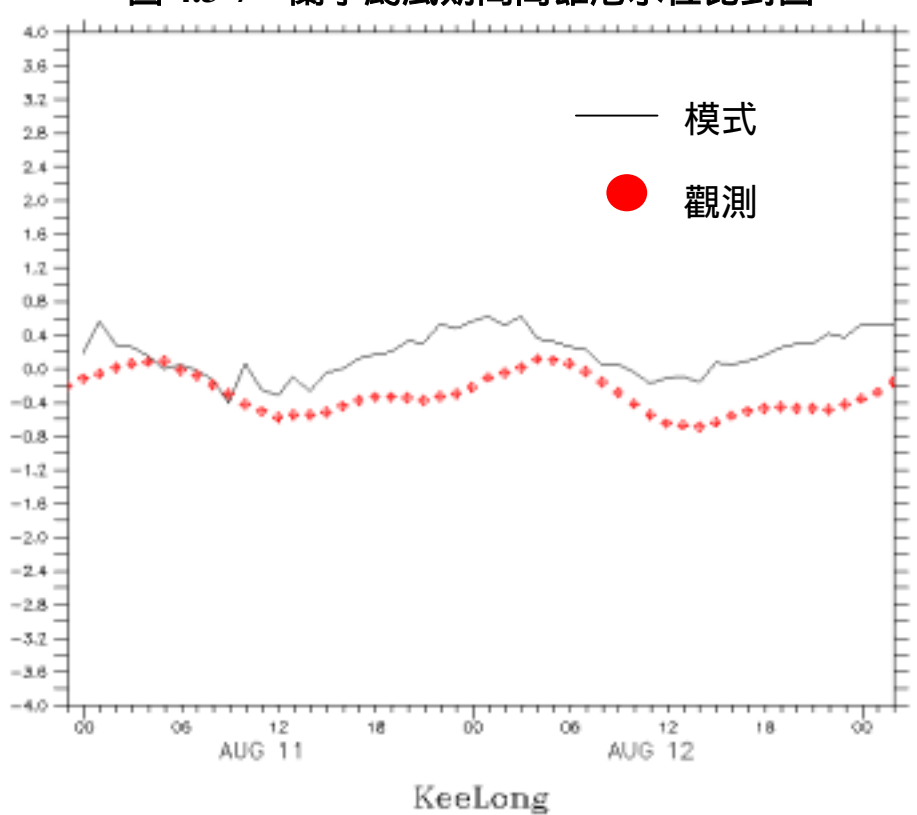


圖 4.3-8 蘭寧颱風期間基隆港水位比對圖

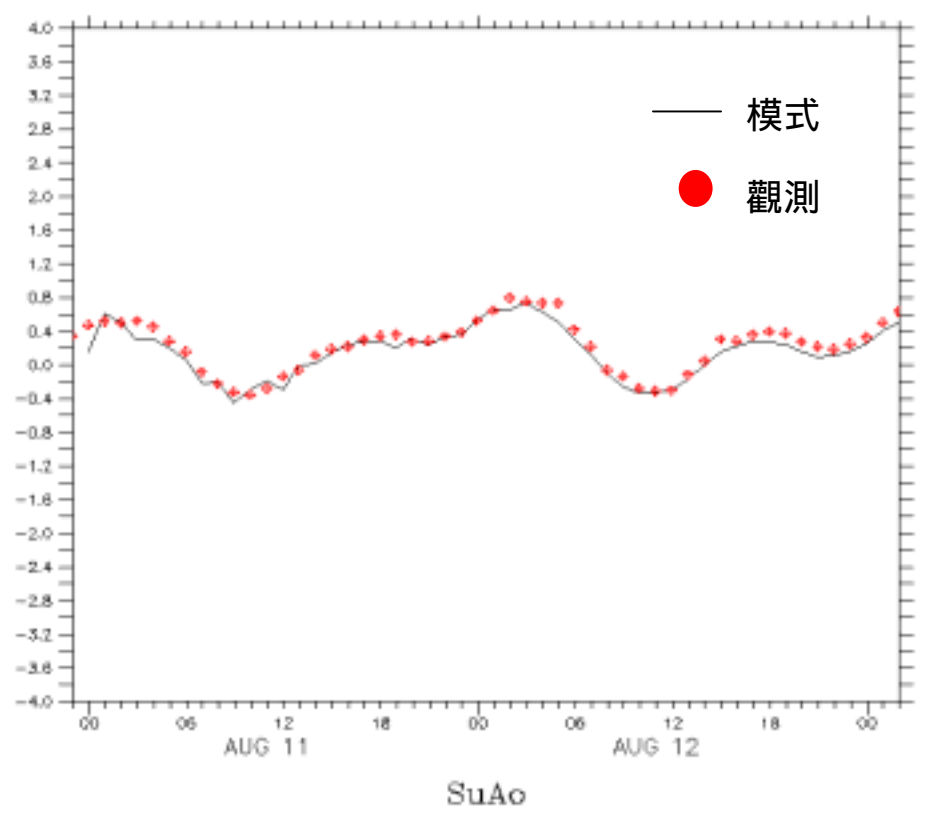


圖 4.3-9 蘭寧颱風期間蘇澳港水位比對圖

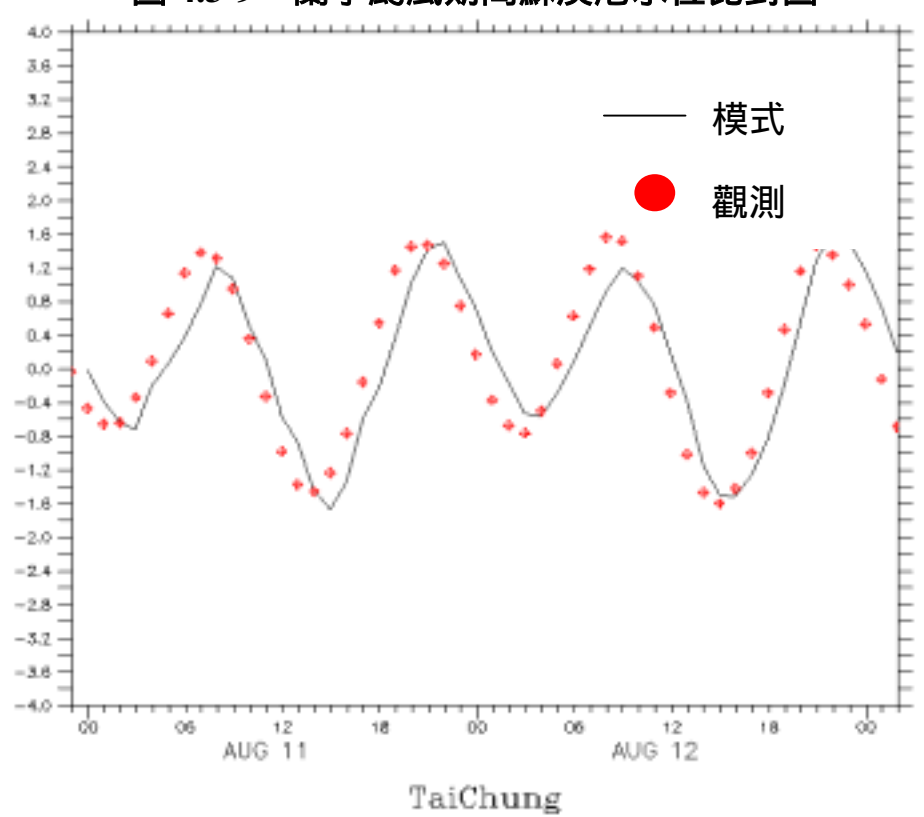


圖 4.3-10 蘭寧颱風期間台中港水位比對圖

4.3.3 討論

由以上的模擬結果可以發現水位整體的模擬結果大致上情況還符合實測資料,惟某些極值仍無法由模式得出,此為模式取點與測站位置偏移所致。模式由於網格點較大,因此要取出精確測站的點位有其困難度,網格偏移一點結果便會相差許多,另外則是近岸地型的影響,由於格點較粗,對於近岸的地形無法很精確的描述,因此無法將地型的影響很準確的包含進去,所以在水位的模擬結果會有些許差距,待未來模式精度提升後,便可以產生更近於實測資料的模式結果。同時會利用更多資料持續校正水位模式。

4.4 定點類神經網路水位模式

潮汐是一種海水水位週期運動的一種現象。潮汐對於海岸活動、海岸結構的設計高程及海港船隻進出安全有相當影響。所以,如何正確預測潮汐是相當重要的。往昔利用天體引力所求得之潮汐水位其相位角度與實測水位相似,其水位大小則小於實測潮汐。天文潮汐與實測潮汐仍有較大的誤差,其起因於天文引力之假設,地球為完全的球體與表面上全為海洋,水深均一。本計劃將利用天體引力產生水位變化的關係,應用類神經網路來進行潮汐預測。並以太陽及月亮為主要作用的天體,計算出地球上對應測點之相對位置與距離,藉此輸入神經網路以推算潮汐水位,並以此預測資料來求得颱風暴潮。

4.4.1 天文潮之神經網路模式

4.4.1.1 天文潮引力理論

本計劃將利用天體引力產生水位變化的關係,應用類神經網路來進行潮汐預測。本計劃以太陽及月亮為主要作用的天體,並計算出地球上對應測點之相對位置與距離,藉此輸入神經網路以推算潮汐水位,並以此預測資料來求得颱風暴潮。天體引潮力分為四項,包括天體對海水水體的萬有引力、天體與地球相對旋轉的離心力、地球本身的萬有引力以及自轉所生的科氏力。但這四種引潮力主要對水位有影響的為天體的萬有引力及相對旋轉的離心力二項,其他兩項因平衡抵消而不予以考慮。月球對地球上的潮汐引力如圖 4.4-1 中向月亮的白箭頭,表示受力是朝著月亮方向,而地球與月球公轉的離心力為圖 4.4-1 中之條紋箭頭,離心力垂直於地球與月球的公有旋轉軸,並相反於引力的方向,而離心力與引力的合力為實線箭頭所示。

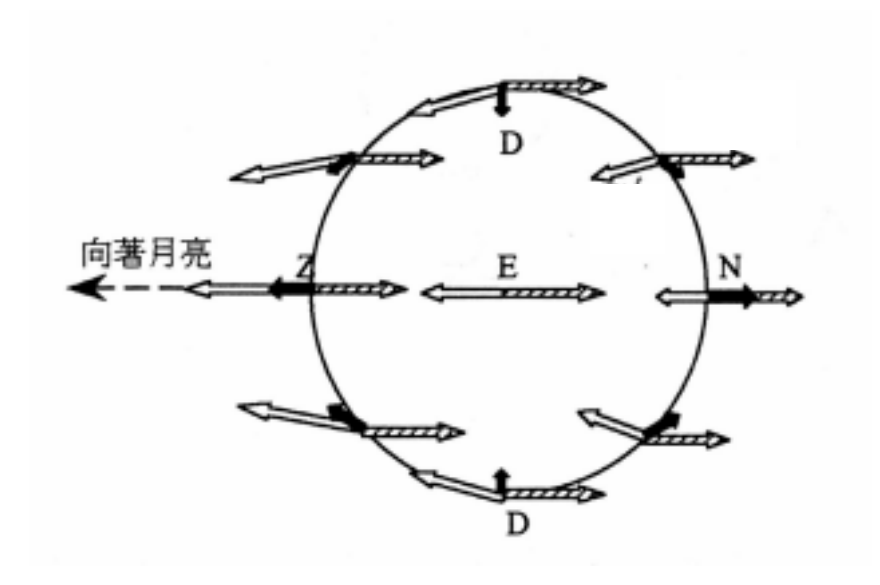


圖 4.4-1 月球對地球水體所造成的引潮力狀況

當地球與月球相對運動位置示意,如圖 4.4-2,若令月球與地球兩中心距離為 D,X 點為地球上水體的位置,而其與月球中心的距離為 ρ ,地球半徑為 R,地月的質量各為 E 與 M,重力加速度為 g,並令 X 處的水體為單位質量,月球引力, F_a ,及運動離心力, F_c ,分別為

$$F_a = \frac{gR^2 M}{E\rho^2}$$
 (4.4.1)

$$F_c = g(\frac{M}{E})(\frac{R^2}{D^2})$$
 (4.4.2)

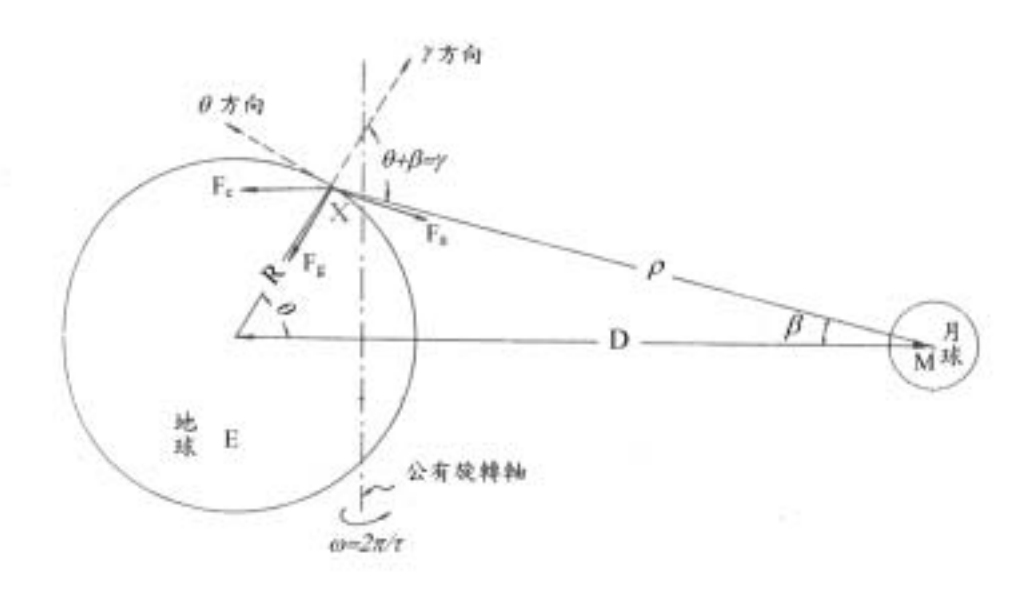


圖 4.4-2 月球對地表水體引潮力分析圖

其中天體引力與離心力的合力,以極座標r與 θ 表示其分力為

$$F_r = g(\frac{M}{E})R^2(\frac{\cos \gamma}{\rho^2} - \frac{\cos \theta}{D^2})$$
 (4.4.3)

$$F_{\theta} = g\left(\frac{M}{E}\right)R^{2}\left(\frac{\sin\theta}{D^{2}} - \frac{\sin\gamma}{\rho^{2}}\right) \tag{4.4.4}$$

式(4.4.3)及式(4.4.4)中, $\gamma = \theta + \beta$, β 為月球中心與 X 點及地心兩連線的夾角, θ 為觀測點 X 頭頂方向與地心及月球中心之連線的夾角,稱為天頂距離。由餘弦定理可知

$$\rho = \sqrt{R^2 + D^2 - 2DR \cos \theta}$$
 (4.4.5)

$$\cos \gamma = \frac{D \cos \theta - R}{\rho} \tag{4.4.6a}$$

$$\sin \gamma = \frac{D \sin \theta}{\rho} \tag{4.4.6b}$$

由於 R/D 很小,故式(4.4.3)及(4.4.4)中 $\cos\gamma/\rho^2$ 與 $\sin\gamma/\rho^2$ 可依二項式定理展開而得到

$$F_{r} = g\left(\frac{M}{E}\right) \frac{R^{2}}{D^{2}} \left[(\cos \theta - \frac{R}{D})(1 + 3\frac{R}{D}\cos \theta + \cdots) - \cos \theta \right]$$

$$= \frac{g}{2} \left(\frac{M}{E}\right) \frac{R^{3}}{D^{3}} (1 + 3\cos 2\theta)$$

$$F_{\theta} = g\left(\frac{M}{E}\right) \frac{R^{2}}{D^{2}} \left[\sin \theta - \sin \theta (1 + 3\frac{R}{D}\cos \theta + \cdots) \right]$$

$$= -\frac{3}{2} \left(\frac{M}{E}\right) \frac{R^{3}}{D^{3}} \sin 2\theta$$
(4.4.8)

由式(4.4.7)與(4.4.8)可知,引潮力與天體之質量成正比,而與兩者間的距離之三次方成反比。上述雖以月球為例,但也可適用於其他天體。

為了讓網路學習大小潮變化的特性,在此引入重要的天體在各時刻的相關平面位置,以及其所對應的位能形式,以期在類神經網路中給予其應有的資訊。式(4.4.9a,b)及式(4.4.10)分別為極座標受力與位勢之關係及為單位質量的水體受天體的引力所產生的位勢Ω_α

$$\frac{\partial \Omega}{\partial r} = F_r \tag{4.4.9a}$$

$$\frac{1}{r}\frac{\partial\Omega}{\partial\theta} = F_{\theta} \tag{4.4.9b}$$

$$\Omega_a = \int_{\rho}^{\infty} \frac{KM}{r^2} dr = \frac{KM}{\rho} \tag{4.4.10}$$

代入共同旋轉的離心力 F_c 之 r 方向與 θ 方向之分力於式(4.4.9), 得位勢為 Ω

$$\Omega_c = -\frac{KM}{D^2} r \cos \theta + C_0 \tag{4.4.11}$$

 C_0 為常數,故引潮力的位勢總合為

$$\Omega = \Omega_a + \Omega_c = \frac{KM}{\rho} - \frac{KMr}{D^2} \cos \theta + C_0 \qquad (4.4.12)$$

若代入條件地心 r=0 , $\rho=D$ 處無引潮力則 $\Omega=0$, 可得常數 $C_0=-KM/D$ 。若以地球表面來看 r=R , θ 為 X 點的天頂距離 , 則

$$\Omega = KM \left(\frac{1}{\rho} - \frac{R \cos \theta}{D^2} - \frac{1}{D} \right)$$
 (4.4.13)

4.4.1.2 神經網路模式

本文之神經網路為類神經網路具有學習最佳化的功能,並透過輸出值與學習目標值間的連結建立起其相關性,利用網路權重與門限值來表示其關係的強弱。由於倒傳遞網路具有監督式的學習,神經元間的交互作用經由該學習方式求得網路之最小均方根誤差。本文架構神經網路使用 Matlab 軟體來建置倒傳遞類神經網路,如圖 4.4-3 所示。

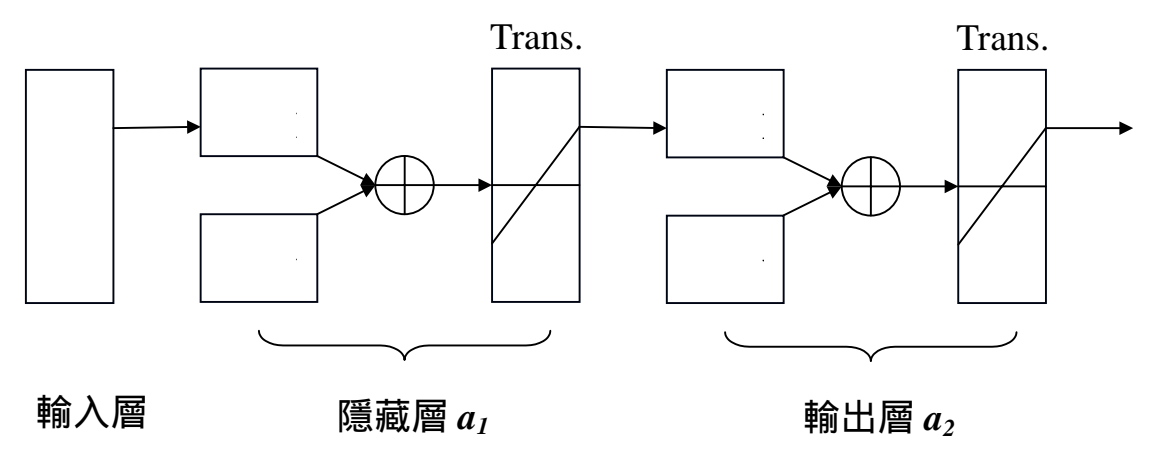


圖 4.4-3 倒傳遞類神經網路結構示意圖

傳遞學習演算法是被廣泛使用的一種學習演算法,因其具有學習及回想的功能,故可在回想過程中以相同於學習過程的方式來進行預測。一般倒傳遞網路可分為三部份,輸入層用以接受外在環境的訊息,輸出層用以輸出訊息給外在環境,隱藏層則表現輸入與輸出層各處理單元間的相互關係,並以權重和閥值來闡述該相關性。倒傳遞網路學

習方式是由輸入相當數量之學習樣本,應用向前餽入與誤差向後推導兩步驟,推求輸入變數與輸出變數的內在對映規則,再應用回想功能, 進行新案例之輸出變數值推估。

圖 4.4-3 所架構之網路為一層隱藏層及一層輸出層,Trans.為轉換函數,S 為神經元個數,P 為輸入變數矩陣, I_W 和 b_I 為輸入層與隱藏層間的權重和閥值矩陣, L_W 和 b_2 為輸出層與隱藏層間的權重和閥值矩陣。經由網路學習誤差最佳化的過程,神經網路將輸入值及學習目標值的關係紀錄在閥值與權重上,以此表示輸入值與學習目標值間的關係強弱。其中,神經網路使用轉換函數使隱藏層模仿生物神經元處理非線性的機能,以輸入值之加權乘積和轉換成處理單元之輸出值。整個倒傳遞網路模式由隱藏層與輸入參數及輸出層的關係可用方程式表示為

$$\boldsymbol{a}_{1} = f(\boldsymbol{I}_{W} \boldsymbol{P} + \boldsymbol{b}_{1}) \tag{4.4.14}$$

$$a_2 = f(L_W a 1 + b_2) (4.4.15)$$

其中 a_1 為隱藏層之輸出值矩陣 a_2 為倒傳遞網路輸出值矩陣 f 為轉換函數。

藉由上式之運算後求出網路輸出值 ,其與學習目標值 Y 間之誤差 平方定義為誤差函數 E ,示如下式

$$E = \frac{1}{2} (a_2 - Y)^2 \tag{4.4.16}$$

因此,整個網路學習的過程為了最佳化各神經元間之權重與閥值 使誤差函數達到最小值,即使網路輸出值趨近學習目標值。當網路完 成學習過程,建立最合適的權重和閥值後即可以此網路的回想過程來 進行預測分析。

最佳化過程可分為兩類,一為啟發式的最佳化,如可變學習數率

(Variable Learning Rate)與有彈性(Resilient)之演算法;另一為使用標準的數值最佳化,如共軛梯度法、擬牛頓法及 Levenberg-Marquardt(L-M)法。一般而言,在函數逼近的問題上 Levenberg-Marquardt 演算法將有最快之收斂性 (Neural Network Toolbox User's Guide)。因此,本文選擇使用 L-M 演算法做為達到網路誤差函數最小之最佳化過程,該演算法將使用 Hessian 矩陣逼近方式來達到最佳的目的,並以下式表示之

$$X_{k+1} = X_k - [J^T J + \mu I]^{-1} J^T e$$
 (4.4.17)

其中, X_k 、 X_{k+1} 分別表示每次疊代權重與閥值之前後最佳化計算值,J為 Jacobian 矩陣,它包含網路誤差與權重值和閥值的一階微分,e 為網路誤差向量,I 為單位向量。式(4.4.17)之 μ =0 時,則近似牛頓法的 Hessian 矩陣,當 μ 值很大時,式(4.4.17)則具有較小步階之梯度下降,其目的即為盡可能之快速地移向牛頓法以達到網路誤差最佳化的結果,最後可獲得適應該網路之最佳化權重和閥值。

4.4.1.3 天文潮神經網路模式之建構

本文將以第二章所述之天文潮引力理論為基礎,進行神經網路之分析。利用日、月及地球天體運行之三維空間資料,計算式(4.4.13)所述日與月之 D、 及 值,並增加日、月與地球之相對角度 ,示如圖 4.4-4,而本文之神經網路之輸入值共有七種參數,每一種參數之延時各為 3 小時,輸出值則對應之實測潮汐水位 ,示如表 4.4-1,其中 R 為地球半徑。本神經網路稱為 ANN-AST,使用一層隱藏層,5 個神經元,轉換函數為雙曲線函數,學習長度為花蓮港 2001 年 8760 筆資料,疊代次數 1500 代。預測時間為花蓮港 2002 年 8760 筆資料。

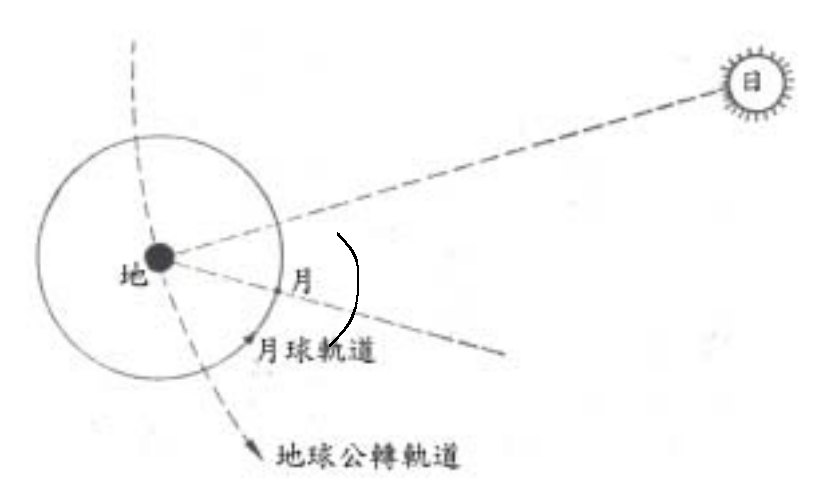


圖 4.4-4 太陽、月球相對地球角度

表 4.4-1 天文潮神經網路輸入參數

	Т	t-1	t-2
Moon	$\left(\frac{R}{D_m}\right)_t$	$\left(\frac{R}{D_m}\right)_{t-1}$	$\left(\frac{R}{D_m}\right)_{t-2}$
Moon	$\left(\frac{R}{\rho_m}\right)_t$	$\left(\frac{R}{\rho_m}\right)_{t-1}$	$\left(\frac{R}{\rho_m}\right)_{t-2}$
Moon	$\left[\left(\frac{R}{D_m} \right)^2 \cos \theta_m \right]_t$	$\left[\left(\frac{R}{D_m} \right)^2 \cos \theta_m \right]_{t-1}$	$\left[\left(\frac{R}{D_m} \right)^2 \cos \theta_m \right]_{t-2}$
Sun	$\left(\frac{R}{D_s}\right)_t$	$\left(\frac{R}{D_s}\right)_{t-1}$	$\left(\frac{R}{D_s}\right)_{t-2}$
Sun	$\left(\frac{R}{\rho_s}\right)_t$	$\left(\frac{R}{\rho_s}\right)_{t-1}$	$\left(\frac{R}{\rho_s}\right)_{t-2}$
Sun	$\left[\left(\frac{R}{D_s}\right)^2\cos\theta_s\right]_t$	$\left[\left(\frac{R}{D_s} \right)^2 \cos \theta_s \right]_{t-1}$	$\left[\left(\frac{R}{D_s}\right)^2\cos\theta_s\right]_{t-2}$
M-S	$(\cos \varphi)_t$	$(\cos\varphi)_{t-1}$	$(\cos\varphi)_{t-2}$

由天文潮神經網路模式之建構,經學習一年資料後,預測下一年資料。並計算預測值與實測值之每月誤差均方根,另與調和分析結果比較,示如圖 4.4-5。由圖 4.4-5 可知,網路學習之部分(前 12 個月)之誤差均方根值為 6.37 略低於調和分析法之結果,網路預測部分(後 12 個月)之誤差均方根值為 10.57,略高於調和分析法之結果,示如表4.4-2。由上述結果顯示,本研究之 ANN-AST 模式之精度與調和分析法之結果相似,因此,本文將利用該模式於.颱風期間暴潮偏差之求解。

表 4.4-2 網路模式與調和分析法之誤差均方根

誤差均方根(cm)	НА	ANN-AST
學習(第一年)	6.57	6.37
預測(第二年)	10.28	10.57

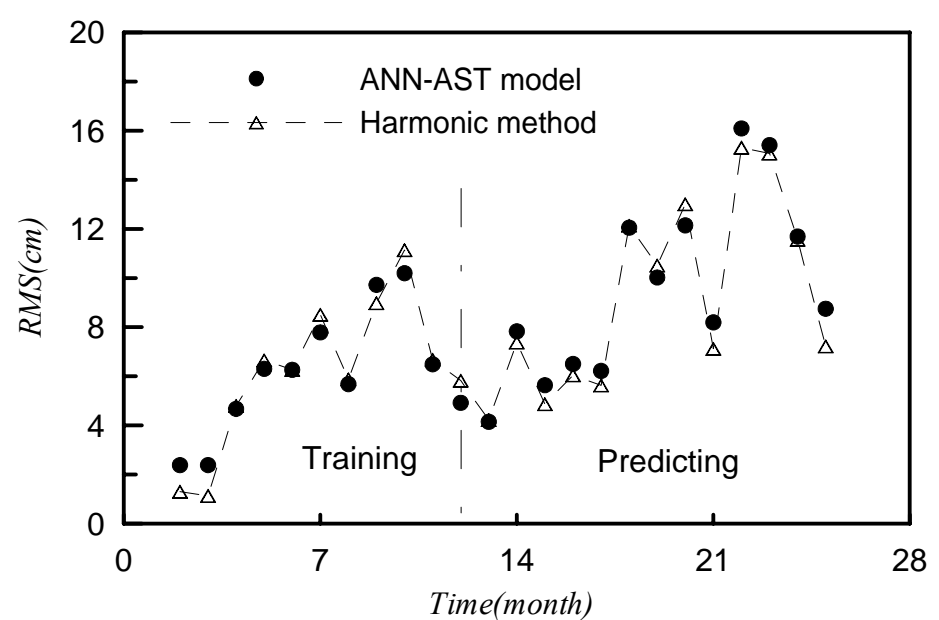


圖 4.4-5 ANN-AST 與調和分析法推算潮汐 之每月誤差均方根的比較

4.4.2 颱風暴潮分析

本文將建構完成之 ANN-AST 模式應用於颱風暴潮分析,本文以 2002 年 7 月 2 日 14 時至 4 日 17 時之雷瑪遜(Rammasun)颱風資料,應 用花蓮港暴潮水位之分析,而本模式和調和分析法之結果比較,示如圖 4.4-6 至圖 4.4-8。由圖 4.4-6 至圖 4.4-7 可知,ANN-AST 模式之推算 水位與調和分析法相似,由圖 4.4-8 可知 ANN-AST 模式之暴潮偏差略低於調和分析之結果,顯示,ANN-AST 於暴潮推算具有與調和分析相似之結果,因此,可應用本模式於颱風暴潮之推算。另外,由調和分析法推算之雷瑪遜颱風暴潮,並前後增加共五天之實際水位與調和分析資料之差,示如圖 4.4-9。由圖 4.4-9 可知,前後五天颱風現象對花蓮港之影響小於颱風期間之結果,但是實際水位與推算水位之差約 5-15 公分左右,顯示,實際水位除了颱風影響所產生之暴潮外,可能另含其他因素於實際水位之影響。

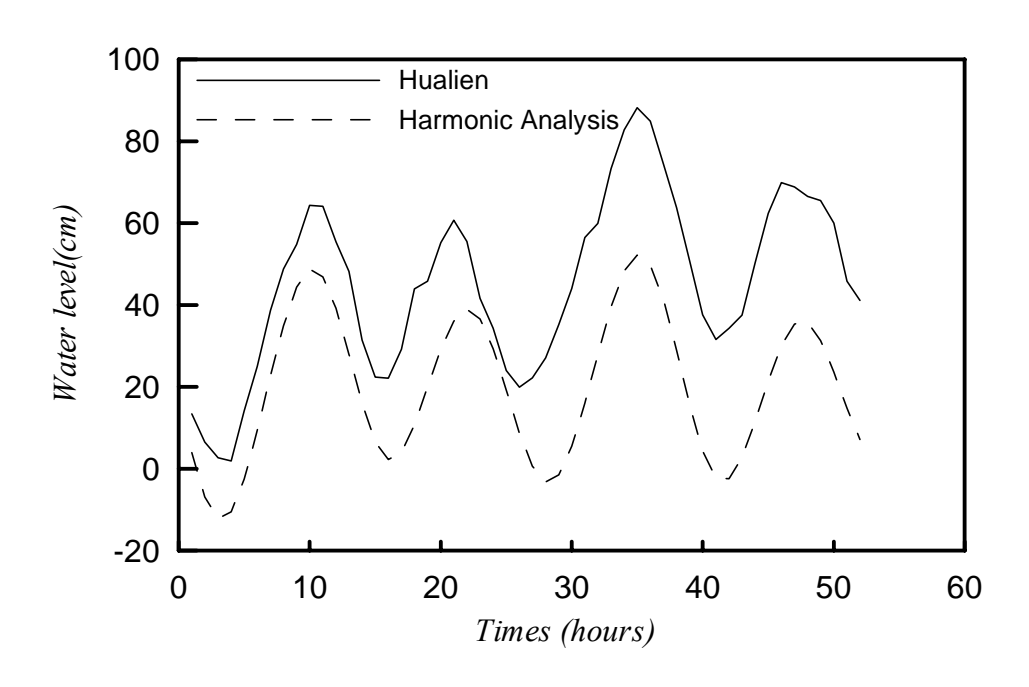


圖 4.4-6 以調和分析法計算雷瑪遜颱風發生期間之暴潮偏差

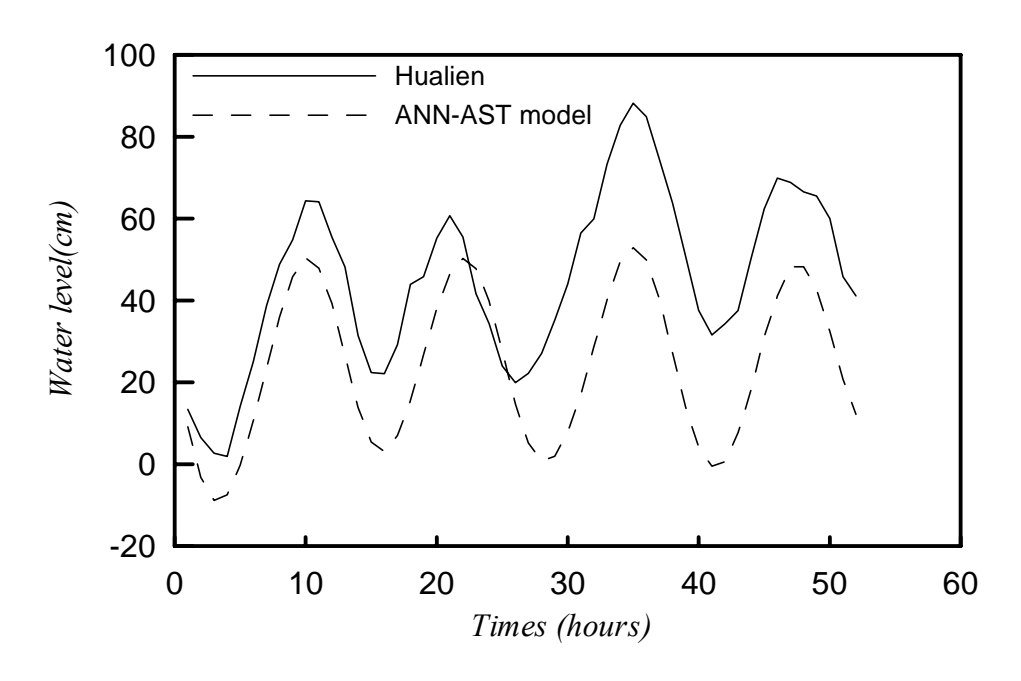


圖 4.4-7 以 ANN-AST 計算雷瑪遜颱風發生期間之暴潮偏差

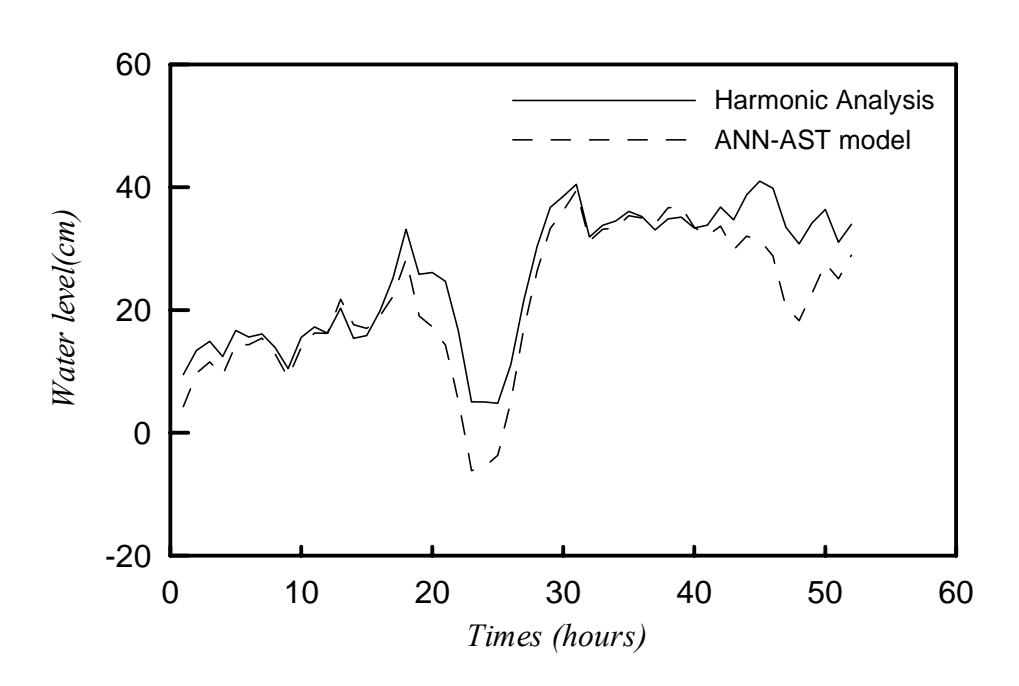
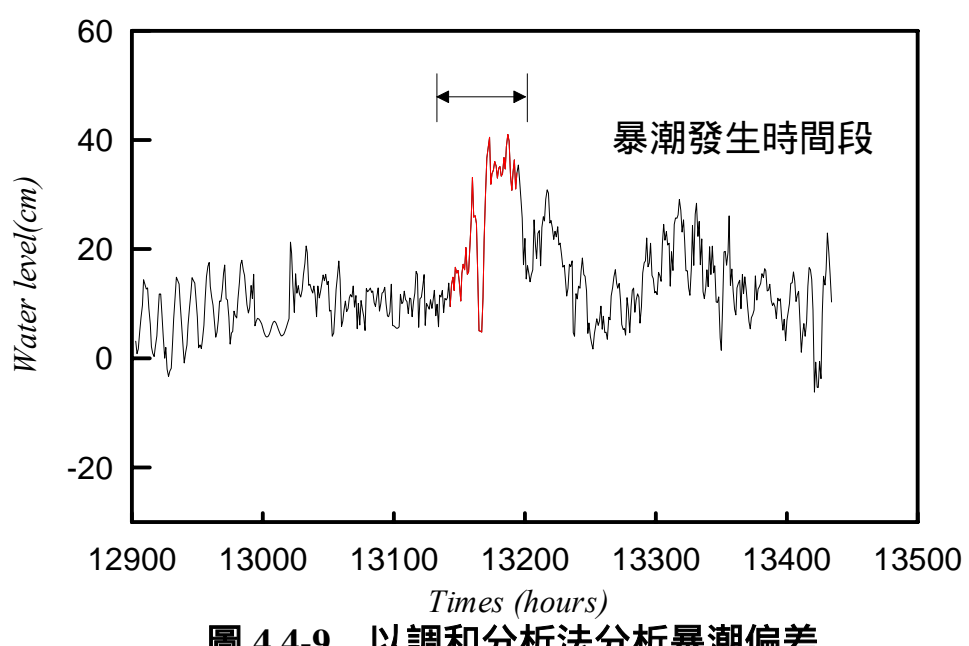


圖 4.4-8 ANN-AST 模式與調和分析法暴潮結果比較



以調和分析法分析暴潮偏差 圖 4.4-9

由上述之結果,顯示 ANN-AST 可應用花蓮港暴潮偏差之推算。 本文將以 2004 之 6 月 7 日 17 時至 9 日 23 時之康森(Conson)颱風,6 月 28 日 17 時至 7 月 3 日 11 時之敏督利(Mindulle)颱風; 8 月 10 日 23 時至 13 日 02 時之蘭寧(Rananim)颱風共三場颱風資料,其路徑與中心 氣壓示如表 4.4-3 至 4.4-5 , 並進行颱風暴潮 ANN-AST 模式之推算 , 並 示如圖 4.4-10 至圖 4.4-15 , 圖 4.4-10 圖 4.4-12 及圖 4.4-14 為 ANN-AS 模式在花蓮港之推算水位與實測值之比較。

由圖 4.4-11 及表 4.4-3 可知在 6 月 8 日 4 時至 14 時及 9 日 4 時至 16 時兩個時間段,有大於零之暴潮偏差。第一個時段之颱風中心氣壓 由 985 毫巴降低為 982 毫巴,與花蓮港之距離為 675 公里縮短至 539 公里;第二個時段之颱風中心氣壓皆為 970 毫巴,與花蓮港之距離為 373 公里縮短至 194 公里。由圖 4.4-13 及表 4.4-4 可知在 6 月 29 日 7 時至 14 時, 有大於零之暴潮偏差。該時段之颱風中心氣壓為 942 毫巴, 與花蓮港之距離為 615 公里縮短至 603 公里。由圖 4.4-15 及表 4.4-5 可 知在 8 月 10 日 23 時至 11 日 9 時及 8 月 11 日 13 時至 12 日 11 時 , 有 大於零之暴潮偏差。第一個時段之颱風中心氣壓由 970 毫巴降低為 975 毫巴,與花蓮港之距離為 605 公里縮短至 496 公里;第二個時段之颱風中心氣壓由 965 毫巴降低為 960 毫巴,與花蓮港之距離為 424 公里縮短至 376 公里。由上述結果可知颱風中心氣壓越大,且越靠近測站位置,則暴潮偏差越大。反之,暴潮偏差則不明顯。

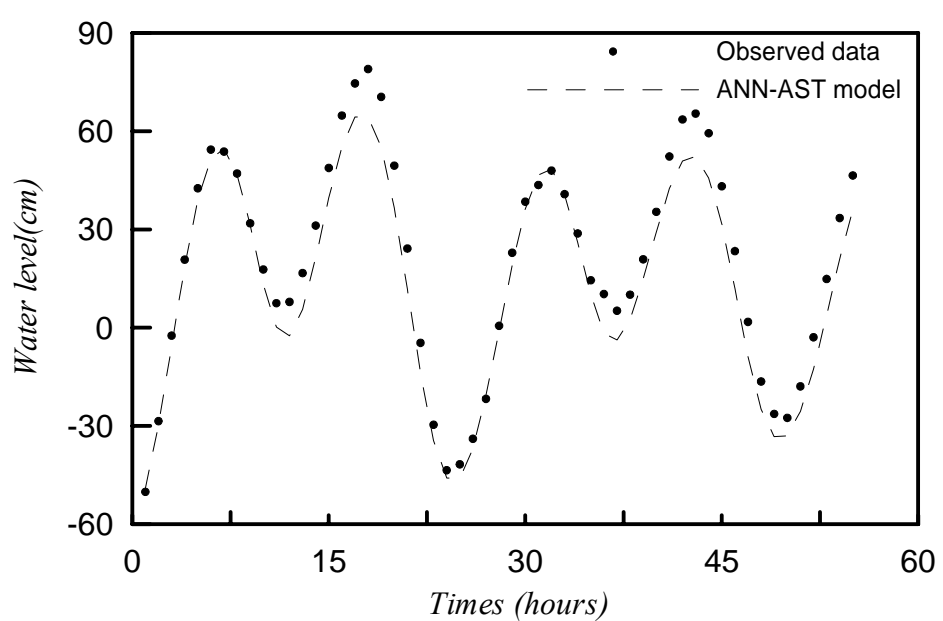


圖 4.4-10 以 ANN-AST 計算康森颱風期間之潮位與實測值之比較

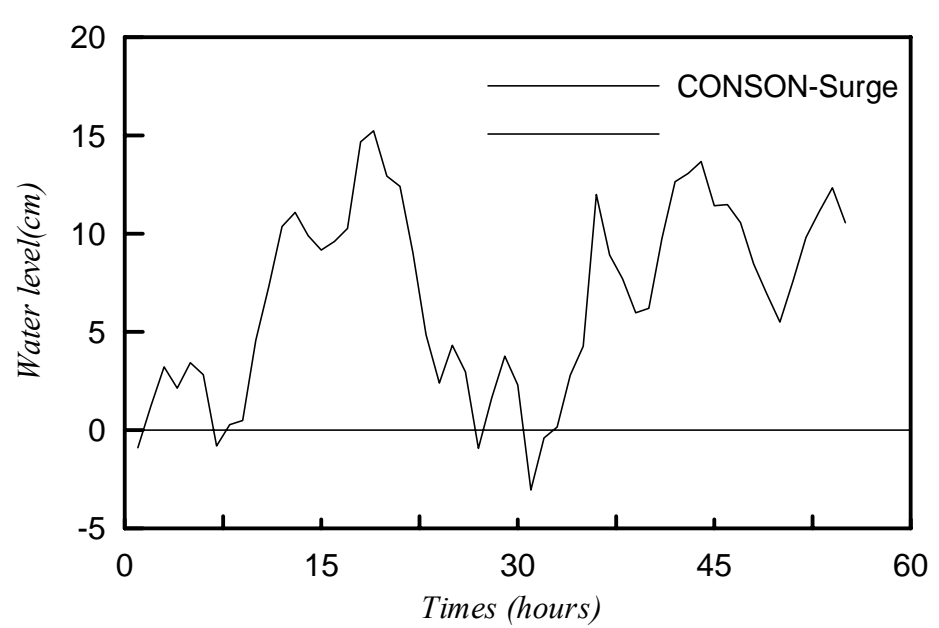


圖 4.4-11 ANN-AST 模式推算康森颱風之暴潮偏差

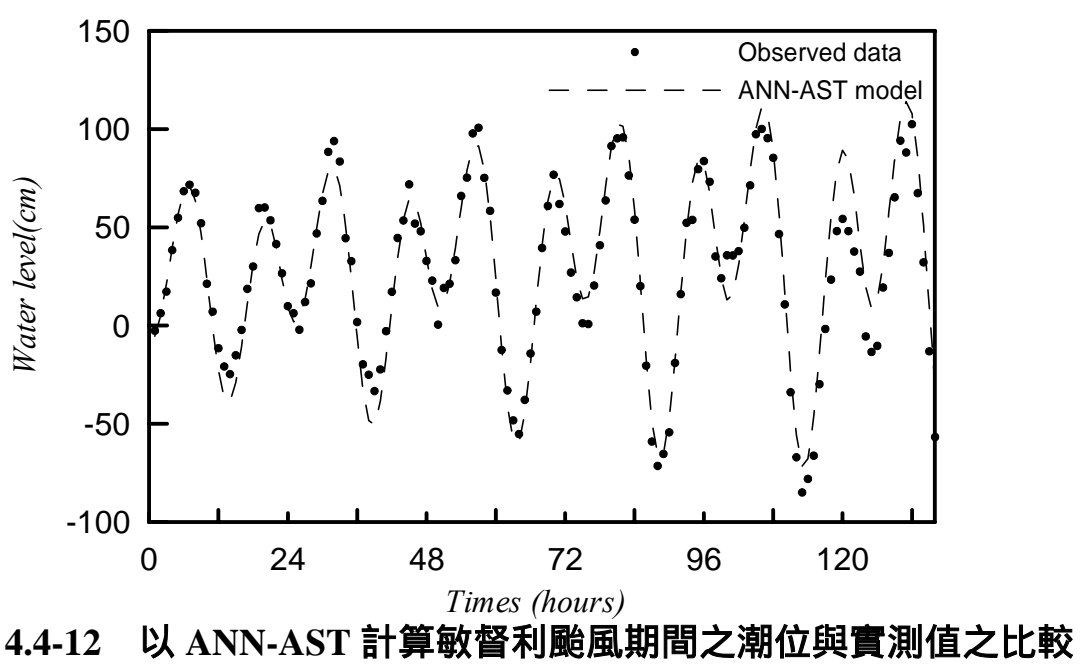
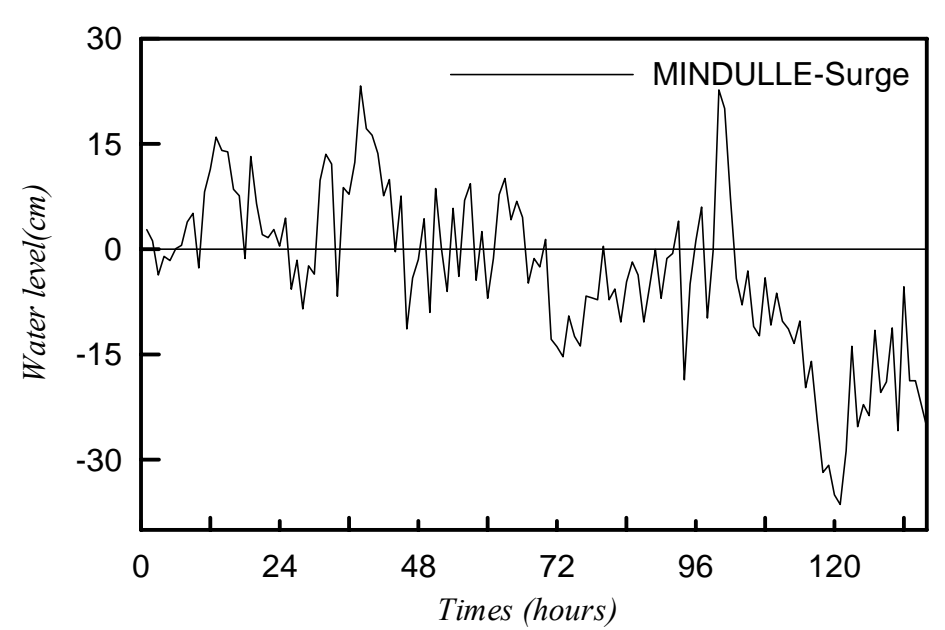
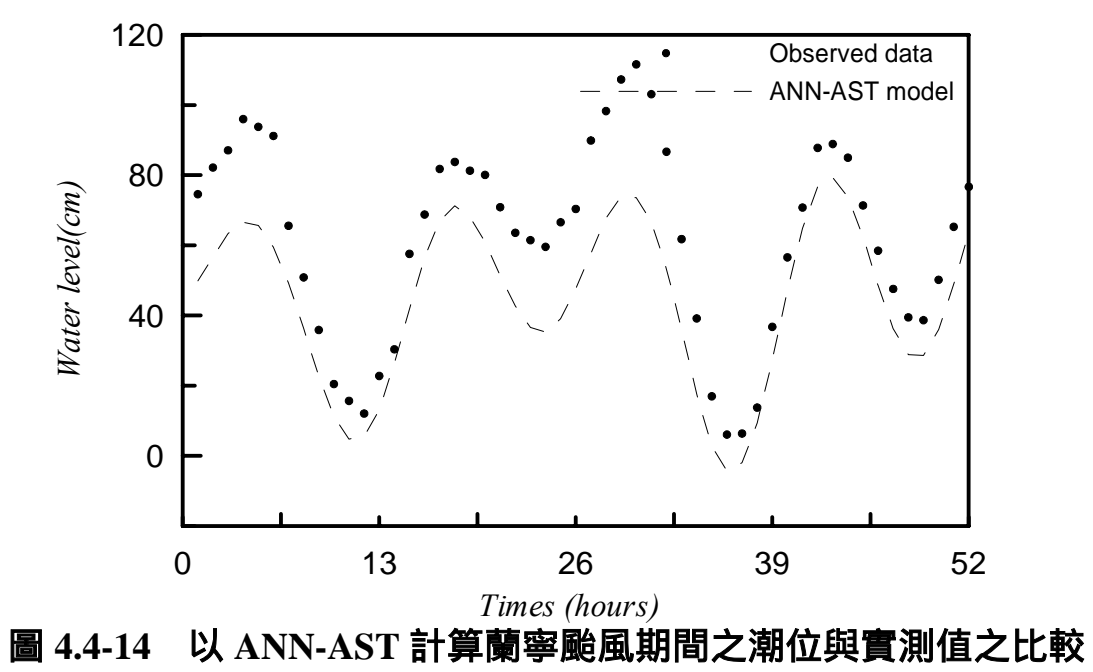


圖 4.4-12



ANN-AST 模式推算敏督利颱風之暴潮偏差 圖 4.4-13



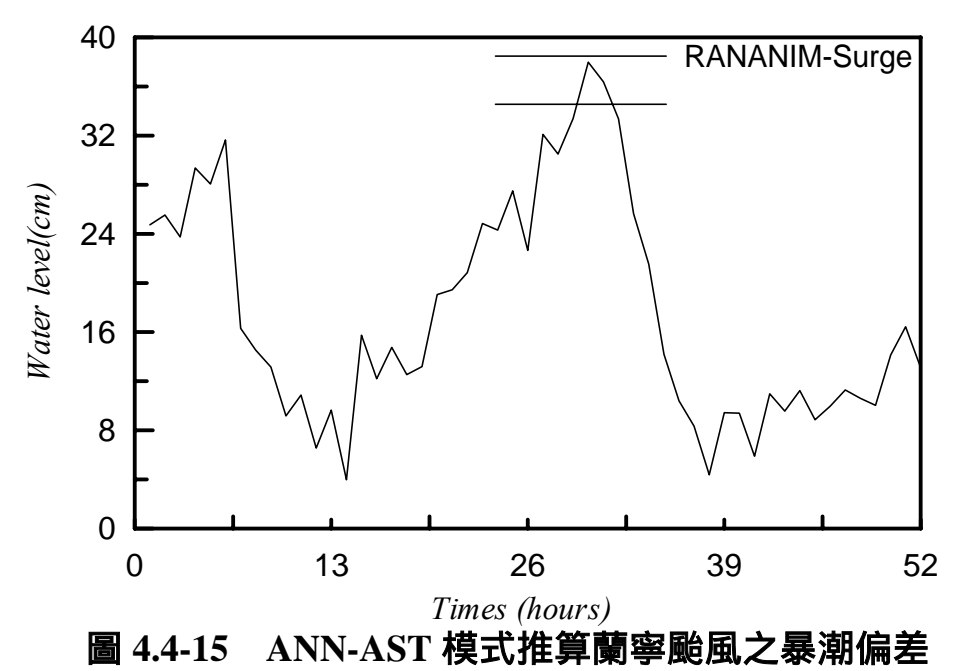


圖 4.4-15

表 4.4-3 康森颱風路徑與中心氣壓(資料來源;中央氣象局)

n+88	中心位置(中心氣壓	風暴半徑(2	公里)
時間	北緯	東經	(百帕)	七級風	十級風
7日17時	16.9	118.9	985	150	-
7日20時	17.3	119.0	985	150	-
7日23時	17.7	119.1	985	150	-
8日02時	18.1	119.2	985	150	-
8日05時	18.3	119.3	985	150	-
8日08時	18.7	119.5	985	150	-
8日11時	19.1	119.6	982	150	-
8日12時	19.2	119.6	982	150	
8日13時	19.4	119.6	982	150	-
8日14時	19.5	119.6	982	150	-
8日15時	19.6	119.7	982	150	-
8日16時	19.7	119.8	982	150	-
8日17時	19.7	119.8	975	150	-
8日18時	19.8	119.9	975	150	-
8日19時	19.9	120.0	975	150	-
8日20時	20.0	120.1	970	150	-
8日21時	20.0	120.2	970	150	-
8日22時	20.1	120.3	970	150	-
8日23時	20.3	120.5	970	150	-
9日00時	20.3	120.5	970	150	-
9日01時	20.4	120.5	970	150	-
9日02時	20.5	120.6	970	150	-
9日03時	20.6	120.7	970	150	-
9日04時	20.7	120.8	970	150	-
9日05時	20.8	120.9	970	150	50
9日06時	20.9	121.0	970	150	50
9日07時	21.0	121.2	970	150	50
9日08時	21.2	121.3	970	150	50
9日09時	21.3	121.5	970	150	50
9日10時	21.4	121.7	970	150	50
9日11時	21.7	121.9	970	150	50
9日12時	22.1	122.4	970	150	50

時間 中心位置(度)		中心氣壓	風暴半徑(2	公里)	
H신[印]	北緯	東經	(百帕)	七級風	十級風
9日14時	22.3	122.6	970	150	50
9日15時	22.5	122.7	970	150	50
9日16時	22.6	122.8	970	150	50
9日17時	22.9	123.0	970	150	50
9日20時	23.5	123.8	970	150	50
9日23時	24.3	124.4	970	150	50

表 4.4-4 敏督利颱風路徑與中心氣壓(資料來源;中央氣象局)

時間 中心位置(度)		中心氣壓	風暴半徑(2	公里)	
 H4 日	北緯	東經	(百帕)	七級風	十級風
27日20時	17.4	127.0	973	200	50
28日17時	18.5	125.3	950	250	100
28日20時	18.5	125.1	950	250	100
28日23時	18.7	124.7	950	250	100
29日02時	18.8	124.4	950	250	100
29日08時	18.9	124.0	942	250	100
29日11時	18.9	123.9	942	250	100
29日14時	18.9	123.7	942	250	100
29日17時	18.9	123.4	942	250	100
29日20時	19.0	123.2	942	250	100
29日23時	19.0	122.9	945	250	100
30日00時	19.0	122.9	945	250	100
30日01時	19.0	122.8	945	250	100
30日02時	19.1	122.7	945	250	100
30日03時	19.1	122.7	945	250	100
30 日 04 時	19.1	122.6	945	250	100
30日05時	19.1	122.5	945	250	100
30日06時	19.1	122.4	945	250	100
30日07時	19.1	122.3	945	250	100
30日08時	19.1	122.3	952	250	100
30日09時	19.1	122.3	952	250	100
30日10時	19.1	122.2	952	250	100
30日11時	19.2	122.1	952	250	100

時間	中心位置(度)	中心氣壓	風暴半徑(2	公里)
門印	北緯	東經	(百帕)	七級風	十級風
30日12時	19.2	122.1	952	250	100
30日13時	19.2	122.1	952	250	100
30日14時	19.3	122.0	952	250	100
30日15時	19.4	122.0	952	250	100
30日16時	19.4	122.0	952	250	100
30日17時	19.6	122.1	952	250	100
30日18時	19.6	122.1	952	250	100
30日19時	19.7	122.1	952	250	100
30日20時	19.8	122.1	952	250	100
30日21時	19.9	122.1	952	250	100
30日22時	20.0	122.1	952	250	100
30日23時	20.2	122.1	965	250	100
1日00時	20.3	122.1	965	250	100
1日01時	20.4	122.1	965	250	100
1日02時	20.6	122.0	968	200	80
1日03時	20.7	122.0	968	200	80
1日04時	20.8	122.0	968	200	80
1日05時	21.1	122.0	968	200	80
1日06時	21.3	122.0	968	200	80
1日07時	21.5	121.9	968	200	80
1日08時	21.7	121.8	975	200	-
1日09時	21.8	121.7	975	200	-
1日10時	21.9	121.7	975	200	-
1日11時	21.9	121.6	975	200	-
1日12時	22.0	121.6	975	200	-
1日13時	22.1	121.6	975	200	-
1日14時	22.2	121.6	975	200	-
1日15時	22.4	121.7	975	200	-
1日16時	22.6	121.7	975	200	-
1日17時	22.8	121.7	975	200	-
1日18時	23.0	121.8	975	200	-
1日19時	23.1	121.8	975	200	-
1日20時	23.3	121.8	975	200	-

時間	中心位置(度)	中心氣壓	風暴半徑(公里)
H4J 目]	北緯	東經	(百帕)	七級風	十級風
1日21時	23.5	121.8	975	200	-
1日22時	23.7	121.7	975	200	-
1日23時	23.9	121.5	975	200	-
2日00時	24.0	121.5	975	200	-
2日01時	24.1	121.5	975	200	-
2日02時	24.3	121.5	980	200	-
2日03時	24.4	121.5	980	200	-
2日04時	24.6	121.6	980	200	-
2日05時	24.8	121.6	980	200	-
2日06時	24.9	121.6	980	200	-
2日07時	25.0	121.6	980	200	-
2日08時	25.0	121.6	980	200	-
2日09時	25.0	121.5	980	200	-
2日10時	25.1	121.4	980	200	-
2日11時	25.2	121.0	983	150	-
2日12時	25.2	121.1	983	150	-
2日13時	25.2	121.1	983	150	-
2日14時	25.3	121.1	983	150	-
2日15時	25.4	121.2	983	150	-
2日16時	25.6	121.3	983	150	-
2日17時	25.8	121.4	983	150	-
2日18時	25.9	121.5	983	150	-
2日19時	26.0	121.5	983	150	-
2日20時	26.2	121.6	983	150	-
2日21時	26.3	121.7	983	150	-
2日22時	26.5	121.8	983	150	-
2日23時	26.7	121.9	983	150	-
3日02時	27.0	122.0	983	150	-
3日05時	27.3	122.1	983	150	-
3日08時	27.5	122.2	983	150	-
3日11時	27.7	122.1	990	120	-

表 4.4-5 蘭寧颱風路徑與中心氣壓(資料來源;中央氣象局)

時間	中心位置()	度)	中心氣壓	風暴半徑(2	公里)
H4J 目]	北緯	東經	(百帕)	七級風	十級風
10日23時	22.7	127.4	970	250	100
11日02時	22.9	127.1	970	250	100
11日05時	23.0	126.6	965	250	100
11日08時	23.1	126.4	965	250	100
11日11時	23.5	126.0	965	250	100
11日12時	23.8	125.8	965	250	100
11日13時	23.8	125.8	965	250	100
11日14時	23.9	125.6	960	250	100
11日15時	23.9	125.5	960	250	100
11日16時	24.0	125.4	960	250	100
11日17時	24.1	125.2	960	250	100
11日18時	24.2	125.2	960	250	100
11日19時	24.3	125.1	960	250	100
11日20時	24.3	125.1	960	250	100
11日21時	24.6	125.0	960	250	100
11日22時	24.8	124.9	960	250	100
11日23時	25.0	124.8	960	250	100
12日00時	25.1	124.8	960	250	100
12日01時	25.3	124.6	960	250	100
12日02時	25.5	124.5	960	250	100
12日03時	25.6	124.3	960	250	100
12日04時	25.7	124.2	960	250	100
12日05時	25.9	124.2	960	250	100
12日06時	26.2	124.1	960	250	100
12日07時	26.4	123.9	960	250	100
12日08時	26.5	123.8	960	250	100
12日09時	26.7	123.5	960	250	100
12日10時	26.9	123.3	960	250	100
12日11時	27.1	123.1	960	250	100
12日12時	27.2	122.8	960	250	100
12日13時	27.3	122.7	960	250	100
12日14時	27.5	122.5	955	250	100

時間	中心位置(度)	中心氣壓	風暴半徑(2	公里)
바시티	北緯	東經	(百帕)	七級風	十級風
12日15時	27.5	122.4	955	250	100
12日16時	27.7	122.2	955	250	100
12日17時	27.9	122.0	955	250	100
12日18時	28.0	121.8	955	250	100
12日19時	28.1	121.6	955	250	100
12日20時	28.2	121.3	955	250	100
12日21時	28.3	120.9	955	250	100
12日22時	28.3	120.7	955	250	100
12日23時	28.4	120.5	975	200	50
13日02時	28.5	120.0	980	150	-

4.4.3 討論

往昔由天體位勢求得之潮汐水位,其振幅大小皆小於實測值。因此,本研究應用天體引力之相關天體參數,以建構神經網路模式。該模式稱之為天文潮神經網路模式(ANN-AST)。該模式在延時為 3 小時、輸入參數共 21 個及學習時間為花蓮港 2001 年數據 8760 小時,其 ANN-AS 模式推算結果之精度與調和分析法相似。藉由該網路模式可求得較精確之潮汐水位,進而可求得在颱風期間之暴潮偏差。本研究並應用該模式於 2004 年在花蓮港之康森、敏督利及蘭寧等三個颱風暴潮偏差推算,其結果顯示,颱風之中心氣壓越大,中心位置越靠近花蓮港者,其暴潮偏差越明顯。若中心氣壓大,但離花蓮港較遠或心氣壓小,但離花蓮港較近者,暴潮偏差則較不明顯。故,藉由天體作用參數所建構之神經網路,可實際應用於花蓮港潮位預測,並可推算暴潮偏差。

4.5 各類水位模式比較

4.5.1 例子說明比較

圖 4.5-1~圖 4.5-5 為類神經網路暴潮模式與全域暴潮模式的模擬結果,模擬的颱風為 2004 年康森及敏督利。可由圖上發現類神經網路暴潮模式於康森颱風的模擬結果在趨勢及偏差大小上與實測暴潮偏差接近。而全域暴潮模式由於網格點較大,取點會有誤差,且未加入氣壓場的來模擬,可以發現暴潮偏差值偏小。敏督利颱風情況與康森相同,但是類神經網路暴潮模式的模擬結果上可發現雖然在趨勢上與實測暴潮偏差類似,但是在大小上仍無法模擬到極大值,在全域暴潮水位的部分,顯示出的情況與康森颱風相似,模擬出的暴潮偏差值則偏低。

圖 4.5-5 則為全域暴潮模式加入氣壓場的影響後模擬的結果。可以 發現暴潮偏差水位與實測資料差距不大,結果也與類神經網路暴潮模 式相似,氣壓的加入對於暴潮偏差水位的影響相當的大。

圖 4.5-6 為全域水位模式結果與實測資料比對圖。由圖上可以發現 全域水位模式的模擬結果相當不錯,模式結果與實測資料相當的吻合。

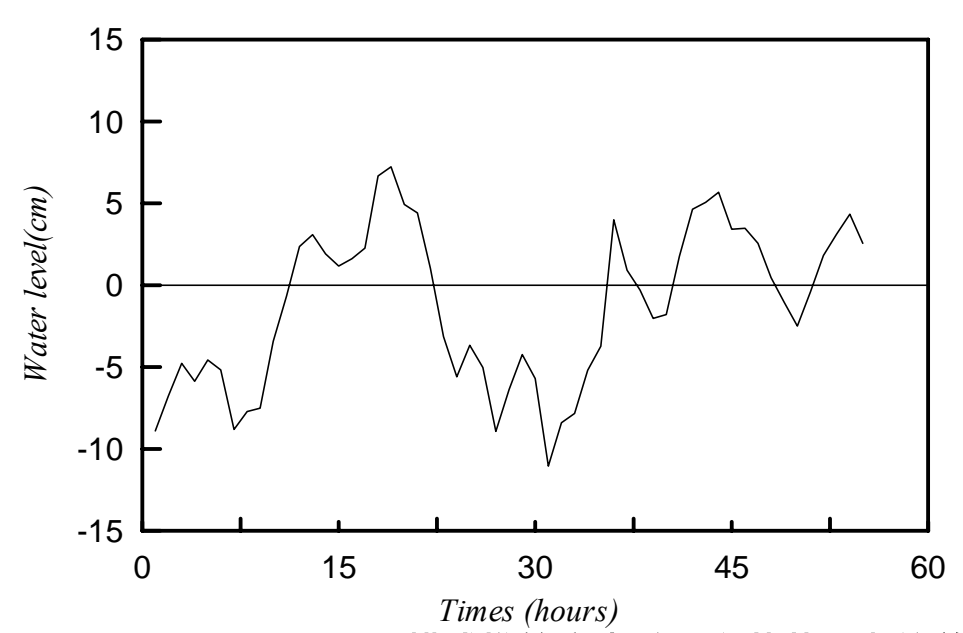
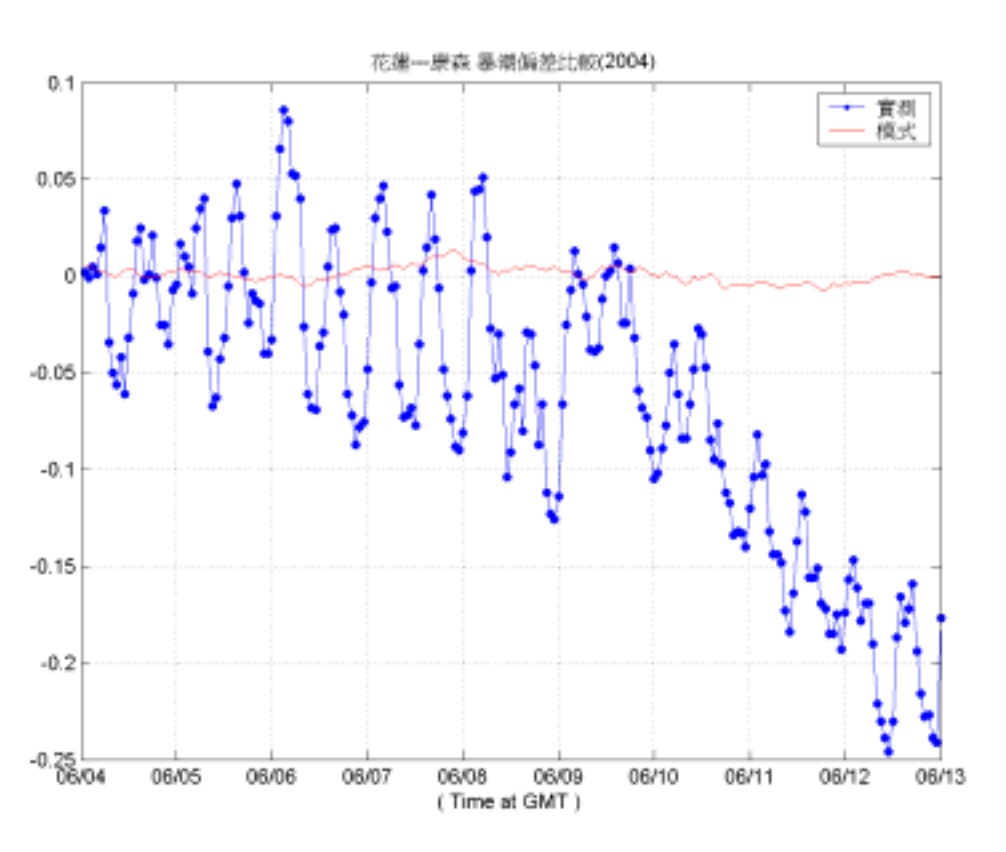
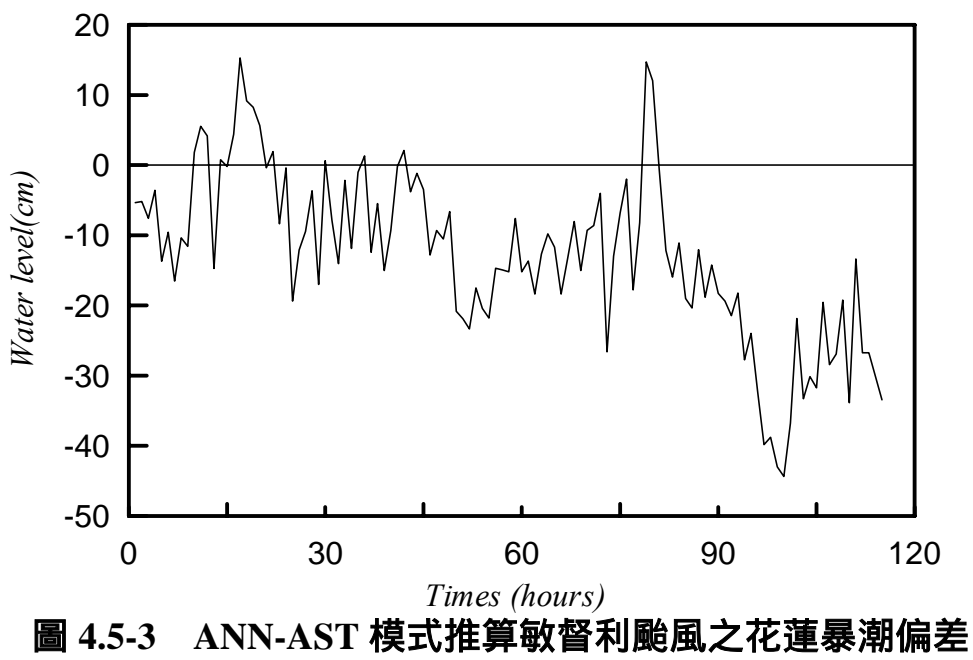


圖 4.5-1 ANN-AST 模式推算康森颱風之花蓮暴潮偏差



全域暴潮模式推算康森颱風之花蓮暴潮偏差



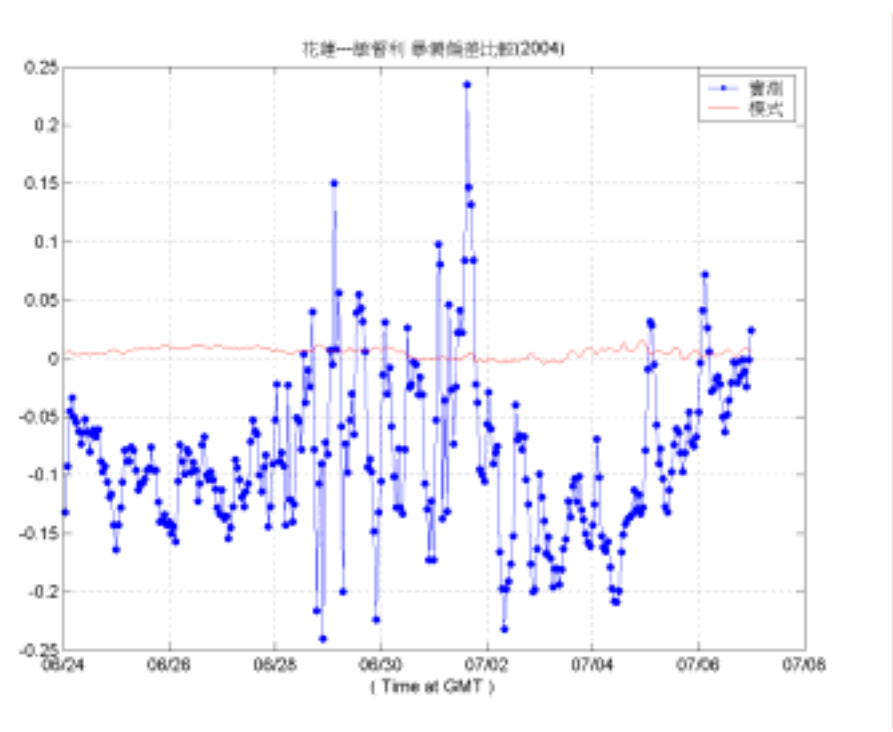


圖 4.5-4 全域暴潮模式推算敏督利颱風之花蓮暴潮偏差

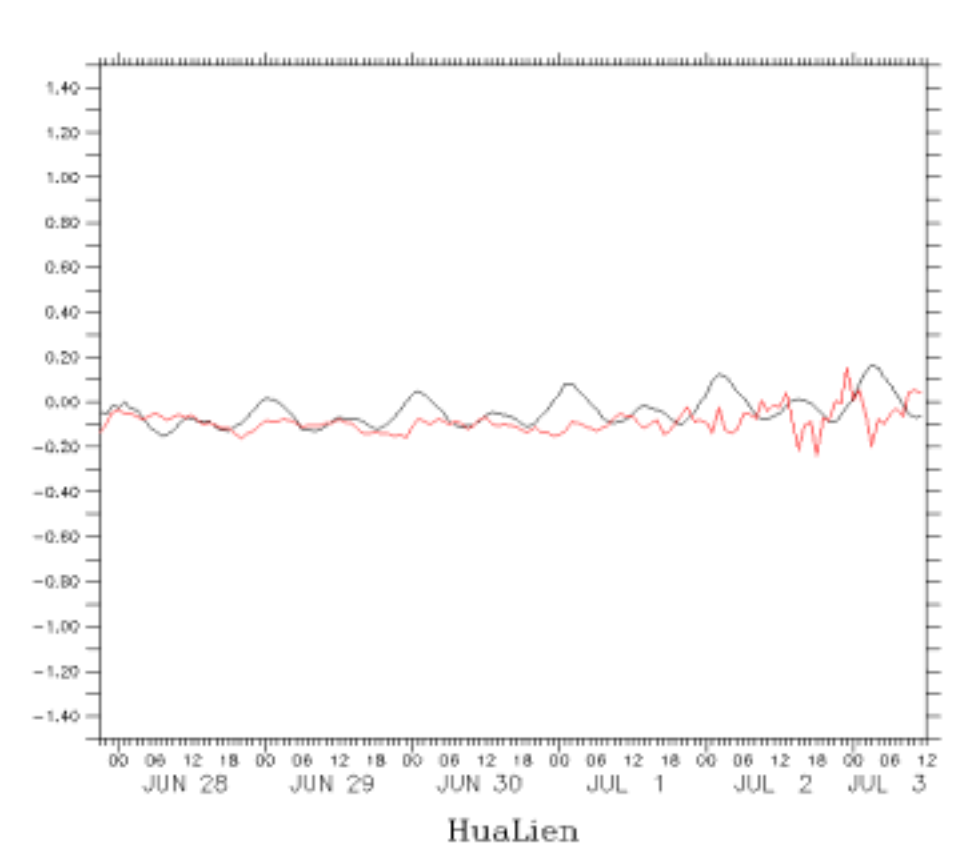


圖 4.5-5 全域暴潮模式推算敏督利颱風之花蓮暴潮偏差

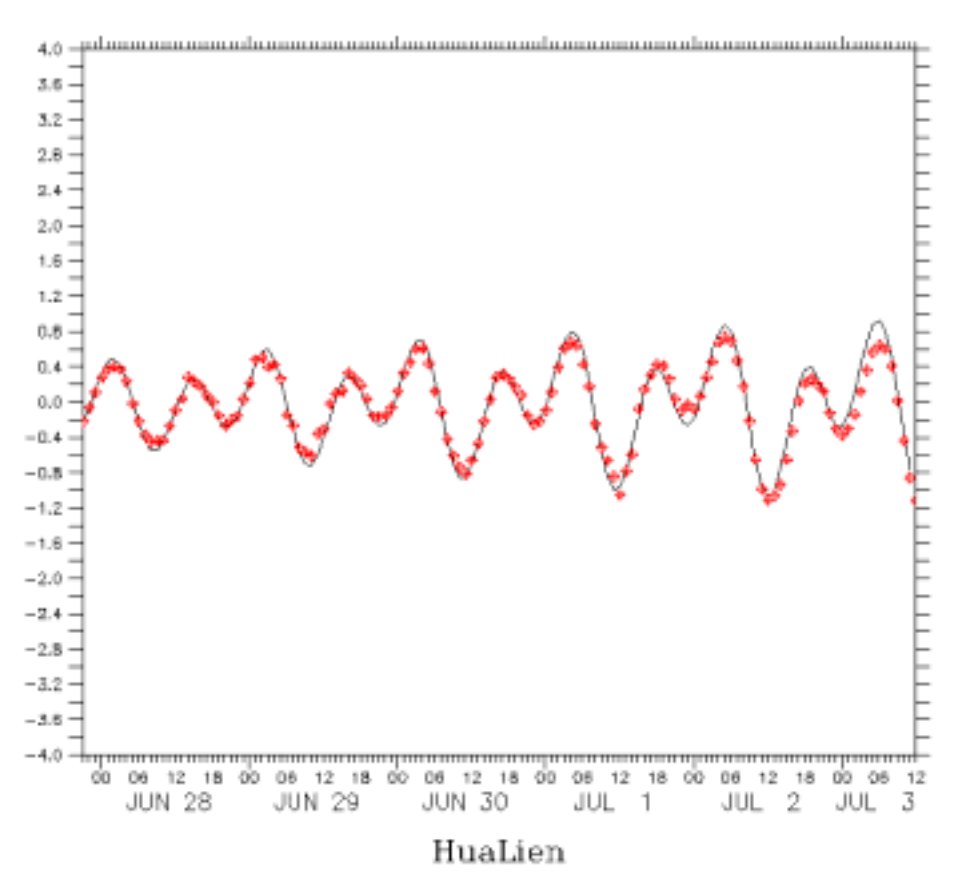


圖 4.5-6 全域水位模式推算敏督利颱風之花蓮暴潮偏差

4.5.2 討論

由上面的例子可以發現全域暴潮模式模擬出來的結果與類神經網路暴潮模式的結果差異不小,原因為取點的不同,全域暴潮模式由於網格點較大,因此取出的點位不若類神經暴潮網路的精確,因此在近岸地型的描述上便會差距很多,如此對於結果的比對會影響很大,然全域暴潮模式可以模擬整個平面的暴潮偏差情況也是類神經網路無法做到的,因此這兩種暴潮模式皆各有其優點及缺點。然由最後的全域水位模式結果可以得到相當不錯的水位結果,同時也可以得到全區域的水位變化,再加上暴潮偏差在使用上並沒有水位來的直接,因此未來利用全域水位預報模式來取代全域暴潮模式直接預報水位是最為可行及合理的方式。

表 4.5-1 全域水位模式與定點類神經網路水位模式應用摘要表 全域水位模式應用表

說明項目	應用說明
限制	計算時間較預警模式長
	需要全區域的風場及壓力場
精度	得到水位為測站附近的值(可提高模式解析度改進)
優點	可直接得到水位變化
	可模擬全區域的水位變化
缺點	網格點解析度較粗,近岸結果較不好
	計算時間較長
輸入資料	潮汐邊界
	氣象條件(風速及壓力)
輸出資料	全區域之水位資料(m)

表 4.5-1 全域水位模式與定點類神經網路水位模式應用摘要表 (續) 定點類神經網路水位模式應用摘要表

說明項目	應用說明
限制	需有一年以上之實際潮位資料。
精度	推算位置為觀測站潮汐水位。
	推算時間的刻度為小時。
	潮位推算結果與調和分析法相似。
優點	對非線性、複雜的關係具有良好的模擬能力。
	模式建構快速、容易。
	模式具有學習修正的能力。
	計算速度快。
缺點	模式需要足夠的學習資料進行學習與模擬。
	模式推算結果或解答,屬於滿意解而非精確解。
	僅能預測已學習過之測站水位
輸入資料	地球半徑 R。
	天頂距離 (太陽、月亮)。
	觀測點頭頂方向與地心及星球(太陽、月亮)中心之連線夾角。
	日、月與地球之相對角度
輸出資料	觀測站之潮位資料(cm)

附錄

定點類神經網路水位模式應用摘要表

說明項目	應用說明
限制	需有一年以上之實際潮位資料。
精度	推算位置為觀測站潮汐水位。
	推算時間的刻度為小時。
	潮位推算結果與調和分析法相似。
優點	對非線性、複雜的關係具有良好的模擬能力。
	模式建構快速、容易。
	模式具有學習修正的能力。
	計算速度快。
缺點	模式需要足夠的學習資料進行學習與模擬。
	模式推算結果或解答,屬於滿意解而非精確解。
	僅能預測已學習過之測站水位
輸入資料	地球半徑 R。
	天頂距離 (太陽、月亮)。
	觀測點頭頂方向與地心及星球(太陽、月亮)中心之連線夾角。
	日、月與地球之相對角度
輸出資料	觀測站之潮位資料(cm)

參考文獻

- 1. "類神經網路之應用 南中國海海域潮汐預報及補遺",國立中山大學海洋環境及工程研究所碩士論文 (2000)。
- 2. 馬樹俠(2000)"結合潮汐理論與類神經網路在潮汐預報上之研究", 國立交通大學土木工程研究所碩士論文。
- 3. 張憲國、曾彥朱執均(2000)吉吉(2001)"輸入天文潮汐改善類神經網路的潮汐預報能力之研究",第二十三屆海洋工程研討會論文集, 97 頁-104 頁。
- 4. 張憲國 黃金維(2001)"以 NAO99b 潮汐模式預測台灣西岸潮汐之評估",第二十三屆海洋工程研討會論文集,105 頁-111 頁。
- 5. 劉文俊(1996) "台灣的潮汐", 文英出版社。
- 6. 謝榮哲(2000)"類神經網路在長時期潮汐預報之應用",國立中興大學土木工程研究所碩士論文。
- 7. Kumar, A., and Minocha, V.K., (2001) "A Discussion on Back-propagation Neural Network in Tidal-level Forecasting, by Tsai, C.P., and Lee, T.L.," *Journal of Waterway, Port, Coastal and Ocean Engineering*, vol. 127, pp. 54-55.
- 8. Lee, T.L., and D.S. Jeng (2002) "Application of artificial neural networks in tide forecasting," *Ocean Engineering*, Vol. 29, pp. 1003-1022.
- 9. Mandal S., (2001) "A Discussion on Back-propagation Neural Network in Tidal-level Forecasting, by Tsai, C.P., and Lee, T.L.," *Journal of Waterway, Port, Coastal and Ocean Engineering*, vol. 127, pp. 54-55.
- 10. Medina, J.R., (2001) "A Discussion on Back-propagation Neural Network in Tidal-level Forecasting, by Tsai, C.P., and Lee, T.L.," *Journal of Waterway, Port, Coastal and Ocean Engineering*, vol. 127, pp. 55-57.
- 11. Tsai, C.P., and Lee, T.L., (1999) "Back-Propagation Neural Network in Tidal-Level Forecasting," *Journal of Waterway, Port, Coastal and Ocean Engineering*, vol. 125, pp. 195-202.

第五章 台灣環島觀測風浪資料分析及長期波浪推算結果

5.1 台灣環島觀測風浪資料分析

5.1.1 觀測風浪資料蒐集

本次研究根據港研中心提供西元 2000~2004 年期間風浪資料,依區域性將環島藍色公路的七大港口予以分類,分別是東部港口:蘇澳港、花蓮港;北部港口:基隆港、台北港;西部港口:台中港;南部港口:安平港、高雄港。

其中部分港口風浪資料有缺失情形。缺失情形附表如下。

表 5.1-1 實測風浪資料缺失統計表(2000-2003)

測站	風資料缺失	波浪資料缺失
台北港	2003(1 \ 2 \ 6~10 \ 12)	2000(7 \cdot 10)
		2002(1~3)
		2003(1 \cdot 2)
基隆港	無缺失	2000
		2001(1~5)
		2003(1~3)
蘇澳港	無缺失	2000(3 \cdot 11 \cdot 12)
		2002(3~6)
花蓮港	無缺失	2000(7)
		2001(11 \ 12)
台中港	2000 , 2001(1~6)	2000
		2001
		2002
		2003(1~7)
安平港	無缺失	2002(12)
		2003(3 \ 12)
高雄港	無缺失	2000
		2001(7 \ 11 \ 12)
		2002(1~5)
		2003(1 \cdot 2)

由上表風的資料僅台北港與台中港有資料缺失的情形,波浪的資料則每個港口都有缺失。風浪資料缺失會影響波浪特性分析判斷,其中風的資料尚需要風速資料與風向資料完整才能做出數據的統計分析;波浪的資料需要波高與週期、及波高與波速的資料完整性才能呈現出波浪的特性。因此在資料的蒐集除了需要資料完整外,還需要有效性的資料。有效的資料狀況附表如下。

表 5.1-2 實測風有效資料統計表

測站	實測資料	實測資料總	風速有效資	風向有效資	風速風向有效
	年份	筆數	料總筆數	料總筆數	資料總筆數
台北港	2000	8672	8422	8422	8422
	2001	8100	7660	7660	7660
	2002	7589	7589	7589	7589
	2003	1649	1323	1323	1323
基隆港	2000	8784	8527	8527	8527
	2001	8760	8664	8663	8663
	2002	8760	8678	8677	8677
	2003	8760	8760	8760	8760
蘇澳港	2000	8784	8714	8714	8714
	2001	8760	8643	8643	8643
	2002	8761	8563	8562	8562
	2003	8760	8760	8760	8760
花蓮港	2000	8784	8784	8784	8784
	2001	8761	8722	8722	8722
	2002	8760	8732	8732	8732
	2003	8762	8762	8762	8762
台中港	2000	0	0	0	0
	2001	4186	4186	4186	4186
	2002	8760	8760	8760	8760
	2003	8759	8703	8703	8703
安平港	2000	8229	6859	6859	6859
	2001	7717	6759	6759	6759
	2002	8647	8259	8259	8259
	2003	8587	8541	8541	8541
高雄港	2000	8784	8676	8676	8676
	2001	8760	8523	8523	8523
	2002	8760	8553	8553	8553
	2003	8760	8760	8760	8760

5.1-3 實測波浪有效資料統計表

測站	實測資	實測資	波高資	週期資	波向資	波高週	波高波
	料年份	料總筆	料有效	料有效	料有效	期資料	向資料
		數	筆數	筆數	筆數	有效筆	有效筆
						數	數
台北港	2000	6276	6212	6212	6212	6212	6212
	2001	7265	7101	7101	7101	7101	7101
	2002	6123	5697	5697	5307	5697	5038
	2003	7367	6628	6628	6628	6628	6628
基隆港	2000	0	0	0	0	0	0
	2001	4627	4123	4123	4121	4123	4121
	2002	8568	7913	7913	7914	7913	7913
	2003	6347	6192	6192	6195	6192	6191
蘇澳港	2000	6243	5768	5751	8	5751	8
	2001	6141	5160	5162	12	5160	12
	2002	4646	4236	4236	3575	4236	3572
	2003	7750	7368	7368	7366	7368	7364
花蓮港	2000	6243	4133	4133	2466	4133	2466
	2001	7204	4049	4049	4045	4049	4045
	2002	8549	8110	8110	5126	8110	5125
	2003	8205	6768	7580	7565	6768	6754
台中港	2000	0	0	0	0	0	0
	2001	0	0	0	0	0	0
	2002	0	0	0	0	0	0
	2003	3672	3645	3645	3645	3645	3645
安平港	2000	7800	7028	7028	7028	7028	7028
	2001	7901	7471	7471	7471	7471	7471
	2002	7266	6983	6983	6981	6983	6981
	2003	6733	6663	6663	6663	6663	6663
高雄港	2000	0	0	0	0	0	0
	2001	5952	5075	5075	5073	5075	5073
	2002	4366	3944	3944	3944	3944	3943
	2003	7024	6667	6667	6666	6667	6666

5.1.2 觀測風浪資料分析特性

5.1.2.1 東部港口風浪資料分析特性

東部港口主要受到東北季風影響,東北季風影響台灣的時期從每年十月上旬開始出現,一直到隔年的四月下旬才結束,時間長達半年以上。由花蓮港與蘇澳港的資料可以明顯看出東北季風作用的趨勢。

花蓮港部份,波高波向玫瑰圖與風向風速玫瑰圖四年都分別呈現相同的趨勢。花蓮港的波浪資料經過整理得到表 5.1-4 波浪週期聯合分布表、圖 5.1-1 所呈現在四年波高波向玫瑰圖、圖 5.1-2 的東北季風期間波高波向玫瑰圖及圖 5.1-3 的非東北季風期間波高波向玫瑰圖。圖 5.1-4 為四年風向風速玫瑰圖。圖 5.1-6 為東北季風作用時期與非東北季風作用時期的四年風向風速玫瑰圖。

表 5.1-4 花蓮港四年波高週期聯合分布

花蓮港波高週期聯合分布													
	週期(週期(s)											
波高 (m)	0~1	1~2	2~3	3~4	4~5	5~6	6~7	7~8	8~9	9~10	>10	%	
0.0~ 0.5	0.01	0	0	0	0.03	2.11	4.89	1.44	0.17	0.01	0.02	8.68	
0.5~ 1.0	0	0	0	0	0.06	8.77	13.88	4.41	0.66	0.28	0.12	28.17	
1.0~ 1.5	0	0	0	0	0.12	6.98	16.04	5.59	0.88	0.16	0.2	29.97	
1.5~ 2.0	0	0	0	0	0.04	3.18	10.69	4.8	0.94	0.1	0.09	19.84	
2.0~ 2.5	0	0	0	0	0.03	1	4.35	2.78	0.51	0.08	0.03	8.78	
2.5~ 3.0	0	0	0	0	0	0.29	1.48	1	0.23	0.02	0.02	3.06	
3.0~ 3.5	0	0	0	0	0	0.13	0.36	0.24	0.08	0.01	0.03	0.85	
3.5~ 4.0	0	0	0	0	0	0.08	0.08	0.03	0.06	0.03	0.03	0.3	
>4.0	0	0	0	0	0	0	0	0	0	0	0.35	0.35	
%	0.01	0	0	0	0.29	22.54	51.78	20.29	3.52	0.69	0.88	100	

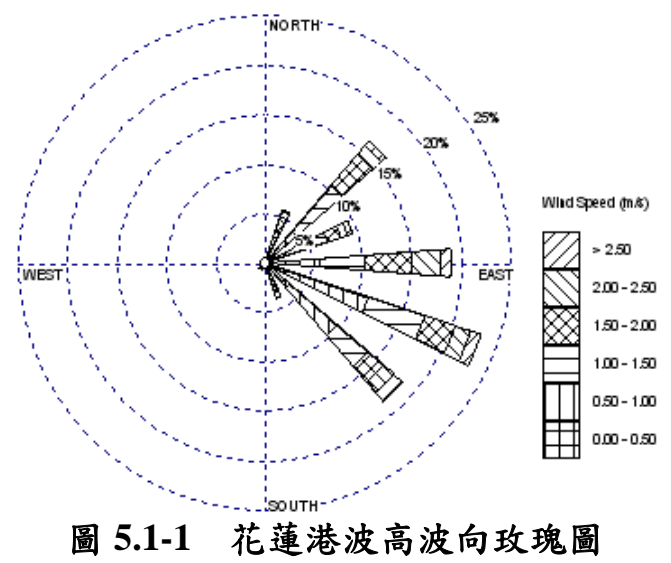


圖 5.1-1

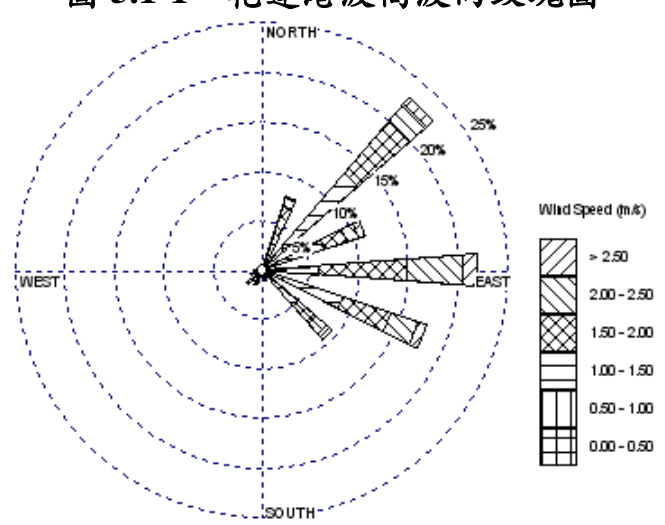
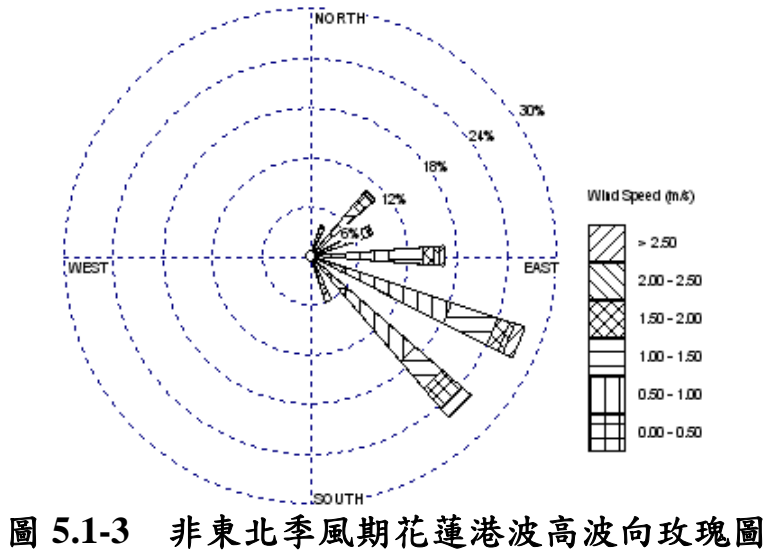


圖 5.1-2 花蓮港波高波向玫瑰圖



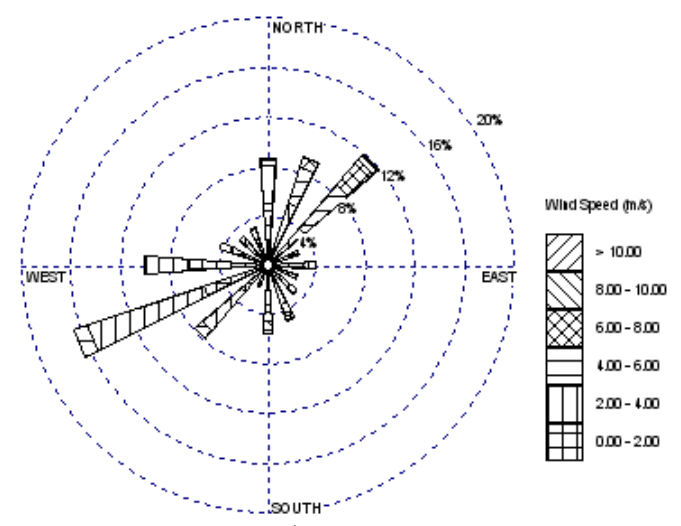


圖 5.1-4 花蓮港風向風速玫瑰圖

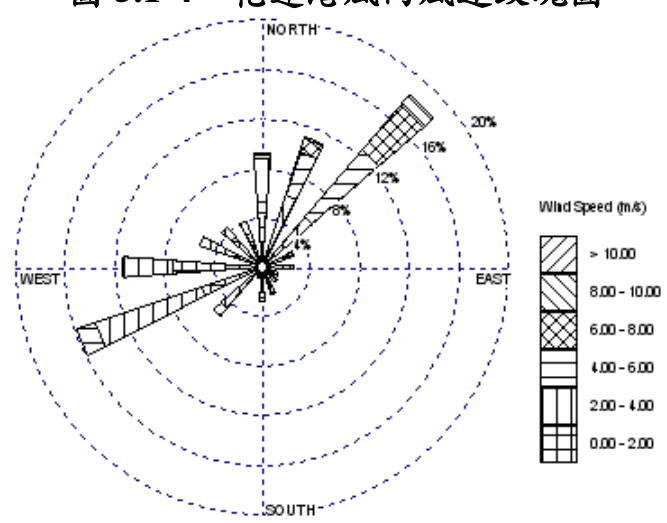


圖 5.1-5 花蓮港東北季風期風向風速玫瑰圖

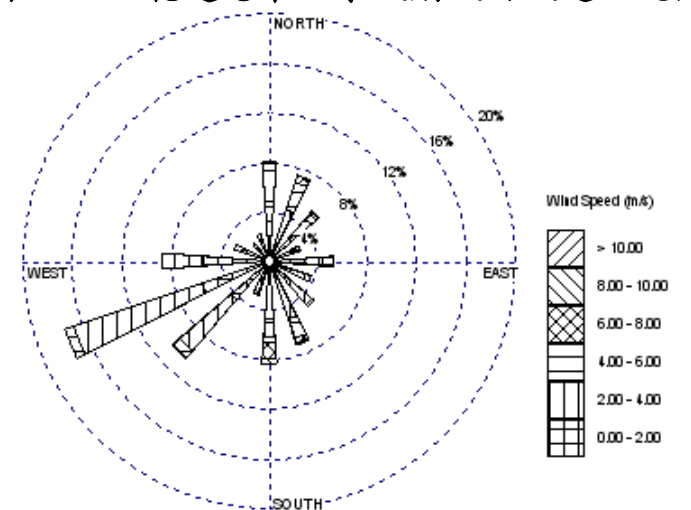
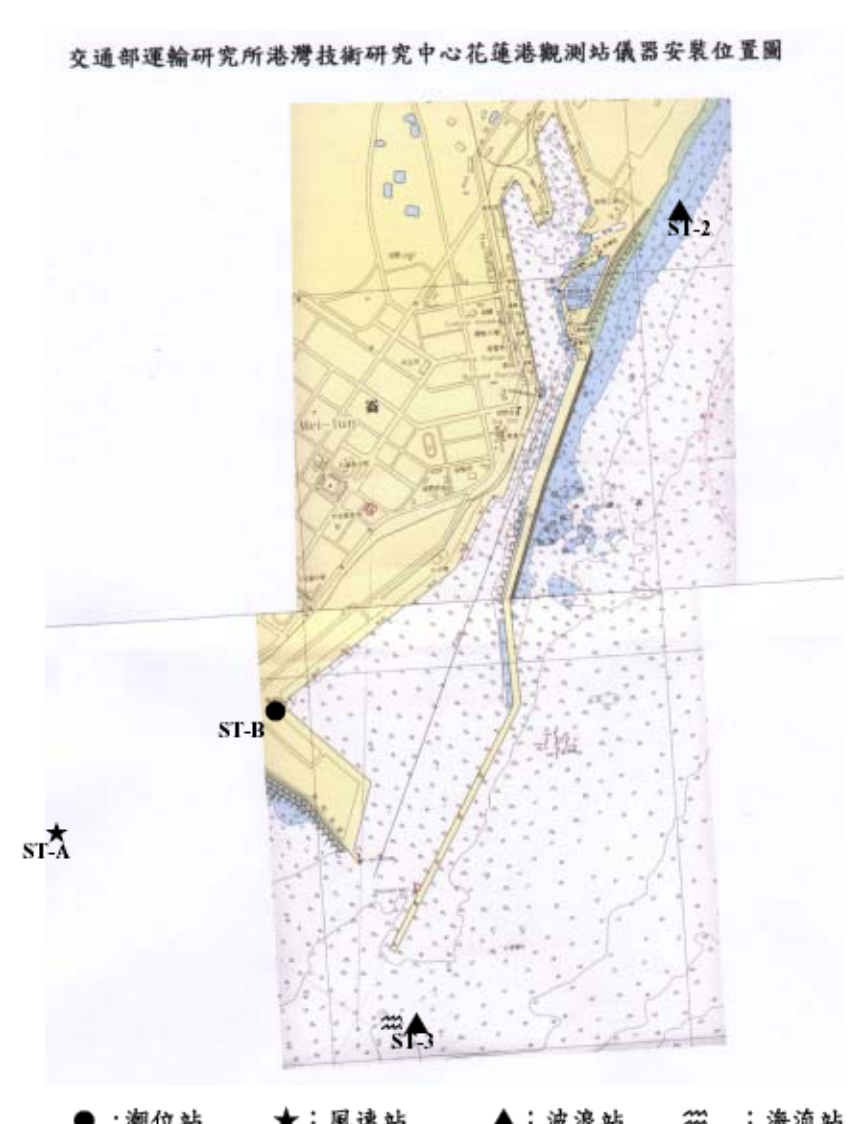


圖 5.1-6 花蓮非東北季風期風向風速玫瑰圖

由波高波向玫瑰圖可以看出東北季風作用旺盛時,波浪也會因為季風吹襲造成東北向波浪比例的增強。從風玫瑰圖中觀察西南西風向佔了極大比例,由於風與浪有相關性的關係,在東北季風作用旺盛的區域,在無第三象限波浪對應的情況下不甚合理。由花蓮港風速站位置(圖 5.1-7)推測或許是地形風的關係所造成的結果,是否如此仍需進一步探討。若將西南西風向略去,可以比較出花蓮港地區東北季風期與非東北季風期有明顯風向差異。



●:潮位站 ★:風速站 ▲:波浪站 恕 :海流站圖 5.1-7 花蓮港測站示意圖(港研中心提供)

蘇澳港部份,波浪資料部份經過整理得到表 5.1-5 波浪週期聯合分布表。波向波高玫瑰圖則略去不具意義(2000 年、2001 年)及數據不足(2002 年)的資料,以 2003 年波浪資料得到圖 5.1-8 波高波向玫瑰圖、圖 5.1-9 的東北季風期波高波向玫瑰圖及圖 5.1-10 非東北季風期的波高波向玫瑰圖。

由2003年波高波向玫瑰圖,可以看出一年之中東向、東北東向與東南東向佔得六成以上的比例。在比較2003年中東北季風作用期間與非東北季風作用期間的波高波向玫瑰圖,可以發現在這一年中位處東北角海域的蘇澳港受到東北季風強烈的吹拂呈現出明現的波浪特性。

表 5.1-5 蘇澳港波高週期聯合分布

蘇澳港波高週期聯合分布												
	週期(s)											
波高 (m)	0~1	1~2	2~3	3~4	4~5	5~6	6~7	7~8	8~9	9~10	>10	%
0.0~	0.1	0	0	0.13	1.23	3.8	5.42	2.65	0.72	0.25	0.12	14.41
0.5~ 1.0	0	0	0	0.17	1.62	9.2	14.56	6.53	1.81	0.59	0.57	35.06
1.0~ 1.5	0	0	0	0	0.23	3.71	11.7	7.96	2.56	0.88	0.45	27.49
1.5~ 2.0	0	0	0	0	0.06	1.02	3.69	5.59	2.37	0.79	0.52	14.04
2.0~ 2.5	0	0	0	0	0.01	0.35	0.97	1.56	1.43	0.38	0.44	5.14
2.5~ 3.0	0	0	0	0	0	0.02	0.19	0.55	0.89	0.36	0.21	2.22
3.0~ 3.5	0	0	0	0	0	0	0	0.18	0.32	0.26	0.11	0.87
3.5~ 4.0	0	0	0	0	0	0	0	0.02	0.11	0.24	0.04	0.4
>4.0	0	0	0	0	0	0	0	0	0	0	0.36	0.36
%	0.1	0	0	0.3	3.14	18.1	36.52	25.04	10.22	3.74	2.82	100

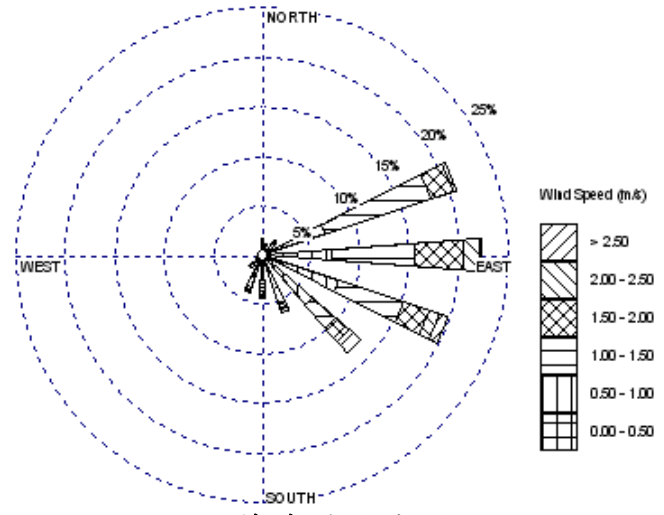


圖 5.1-8 蘇澳港波高波向玫瑰圖

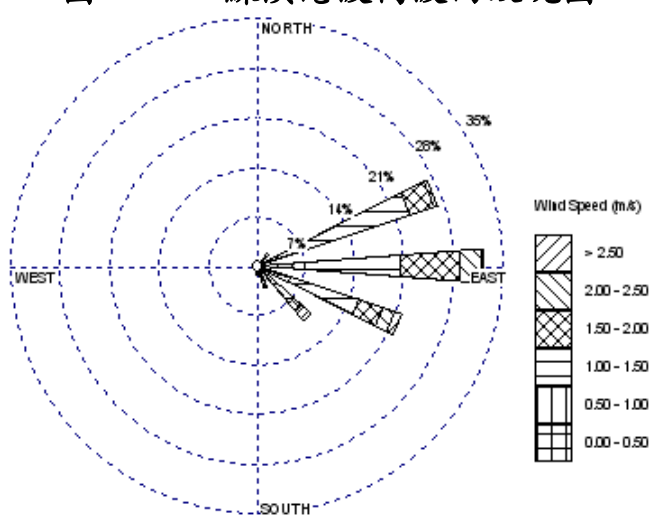


圖 5.1-9 東北季風期蘇澳港波高波向玫瑰圖

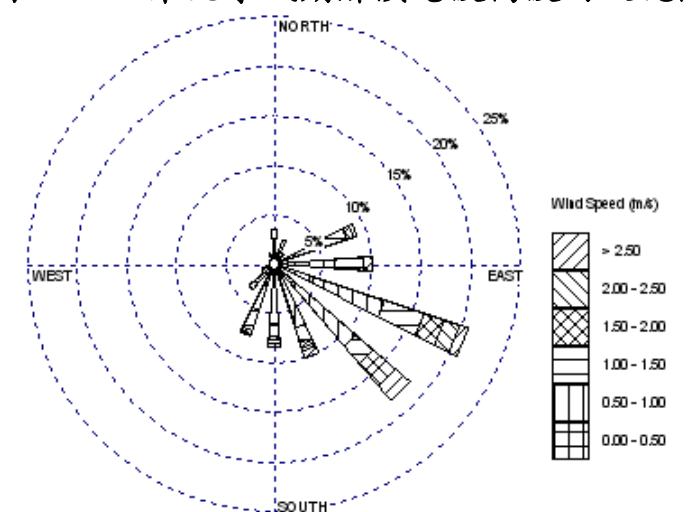


圖 5.1-10 非東北季風期蘇澳港波高波向玫瑰圖

在蘇澳港四年風向風速玫瑰圖有相同的性質,圖 5.1-11 為四年風向風速玫瑰圖。圖 5.1-12 與 5.1-13 分別為東北季風作用時期與非東北季風作用時期的風向風速玫瑰圖,比較兩圖即可了解東北季風作用下對蘇澳港產生風向組成上的差異。從圖中正西風向為主要風向,根據現場分析結果應為地形風的因素。圖 5.1-14 為蘇澳港測站位置圖。

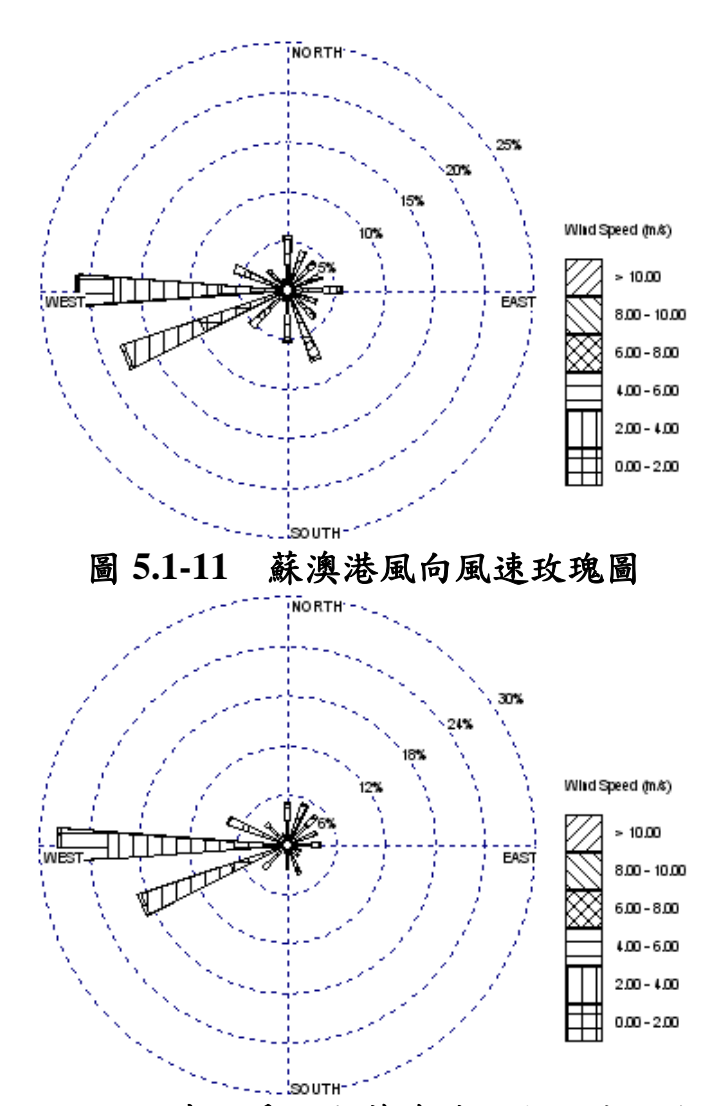


圖 5.1-12 東北季風期蘇澳港風向風速玫瑰圖

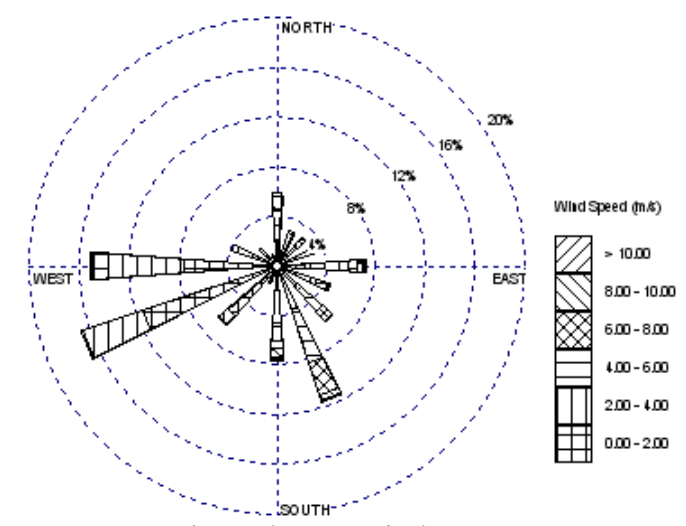
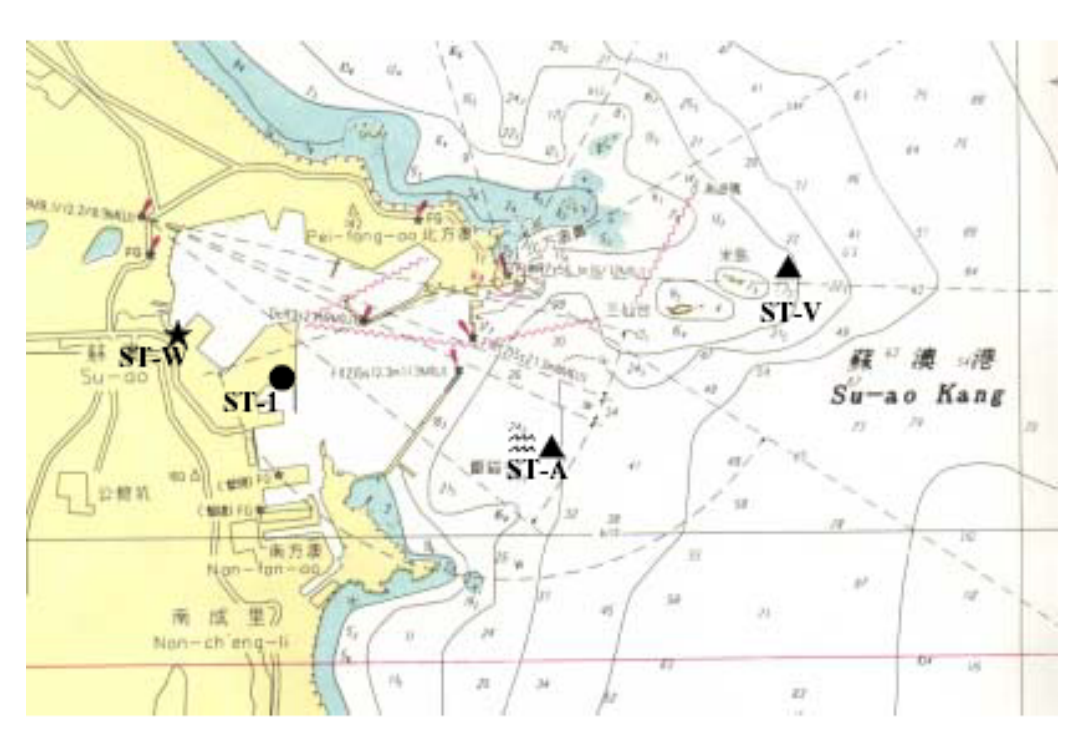


圖 5.1-13 非東北季風期蘇澳港風向風速玫瑰圖



●:潮位站 ★:風速站 ▲:波浪站 巛 :海流站

圖 5.1-14 蘇澳港測站示意圖(港研中心提供)

5.1.2.2 北部港口風浪資料分析特性

台北港與基隆港都屬於北部港口的部份,北部港口和東部港口在台灣沿岸都是受到東北季風影響較大的區域。

台北港與基隆港波浪與週期有效資料經過整理之後可以得到表 5.1-6 與表 5.1-7 兩個港口的波高週期聯合分布。

表 5.1-6 台北港波高週期聯合分布

台北港波高週期聯合分布													
	週期(週期(s)											
波高 (m)	0~1	1~2	2~3	3~4	4~5	5~6	6~7	7~8	8~9	9~10	>10	%	
0.0~ 0.5	0	0	0.07	2.22	7.14	11.96	10.87	7.96	3.98	1.17	0.28	45.65	
0.5~ 1.0	0	0	0.01	0.6	4.08	8.23	7.54	5.13	2.35	0.54	0.16	28.65	
1.0~ 1.5	0	0	0	0.03	0.63	2.88	5.36	2.75	1.25	0.51	0.1	13.51	
1.5~ 2.0	0	0	0	0	0.04	0.61	2.45	2.44	0.78	0.22	0.11	6.65	
2.0~ 2.5	0	0	0	0	0	0.09	0.62	1.58	0.74	0.11	0.09	3.23	
2.5~ 3.0	0	0	0	0	0	0.01	0.13	0.56	0.55	0.1	0.06	1.41	
3.0~ 3.5	0	0	0	0	0	0	0.03	0.12	0.2	0.07	0.11	0.53	
3.5~ 4.0	0	0	0	0	0	0	0.01	0.04	0.11	0.06	0.04	0.25	
>4.0	0	0	0	0	0	0	0	0	0	0	0.12	0.12	
%	0	0	0.08	2.84	11.88	23.79	27.02	20.58	9.96	2.78	1.06	100	

表 5.1-7 基隆港波高週期聯合分布

基隆港波高週期聯合分布													
	週期(週期(s)											
波高 (m)	0~1	1~2	2~3	3~4	4~5	5~6	6~7	7~8	8~9	9~10	>10	%	
0.0~	0	0	0	0	0.1	10.94	9.9	1.43	0.12	0.04	0	22.53	
0.5~ 1.0	0	0	0	0	0.35	16.65	10.49	2.51	0.48	0.13	0.03	30.64	
1.0~ 1.5	0	0	0	0	0.19	7.7	8.04	1.71	0.24	0.06	0.01	17.95	
1.5~ 2.0	0	0	0	0	0.1	3.87	5.8	1.53	0.14	0.02	0	11.45	
2.0~ 2.5	0	0	0	0	0.09	2.41	3.77	0.92	0.07	0	0	7.25	
2.5~ 3.0	0	0	0	0	0.03	1.28	2.68	0.8	0.03	0	0	4.82	
3.0~ 3.5	0	0	0	0	0	0.57	1.78	0.55	0.01	0	0	2.9	
3.5~ 4.0	0	0	0	0	0.01	0.2	0.78	0.29	0.02	0	0	1.29	
>4.0	0	0	0	0	0	0	0	0	0	0	1.16	1.16	
%	0	0	0	0	0.86	43.62	43.24	9.73	1.1	0.25	1.2	100	

台北港波浪資料經過波高與波向有效性的篩選之後,圖 5.1-15 為 2000~2003 年波浪資料的波高波向玫瑰圖。圖 5.1-16 與圖 5.1-17 分別 為這四年東北季風期台北港波高波向玫瑰圖與非東北季風期台北港波高波向玫瑰圖。

基隆港缺失 2000 年波浪資料,2001 年缺失 1~5 月資料,因此基隆港波浪特性則以 2002、2003 年雨年為代表進行特性統計。圖 5.1-18 為基隆港 2002~2003 年波高波向玫瑰圖。圖 5.1-19 及圖 5.1-20 分別為東北季風期基隆港波高波向玫瑰圖與非東北季風期波高波向玫瑰圖。

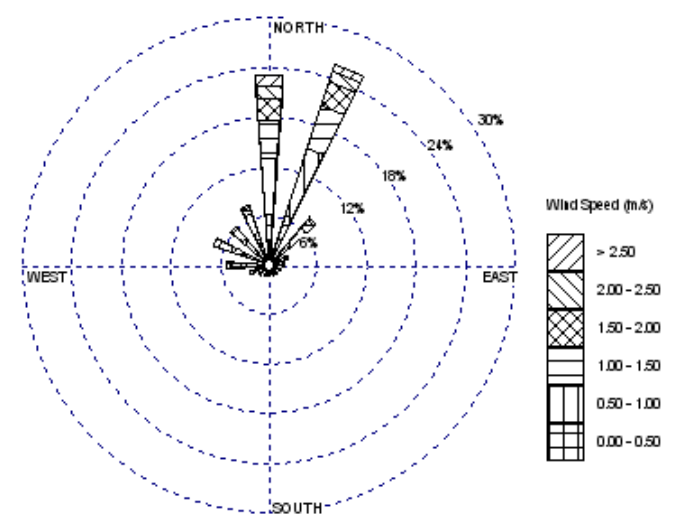


圖 5.1-15

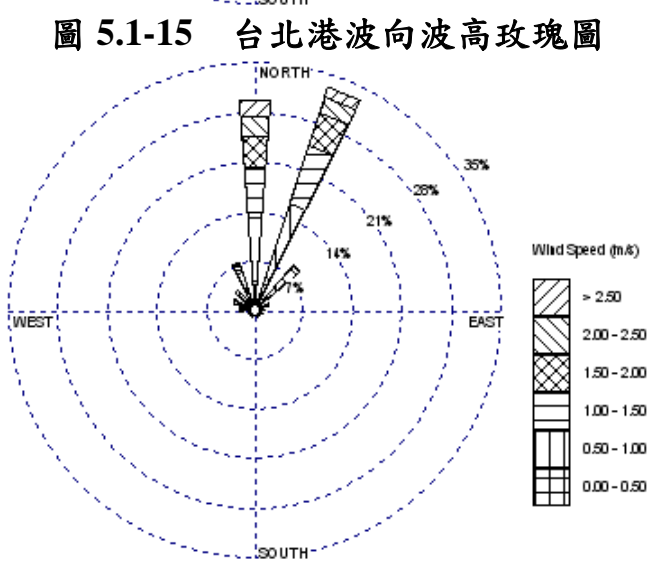
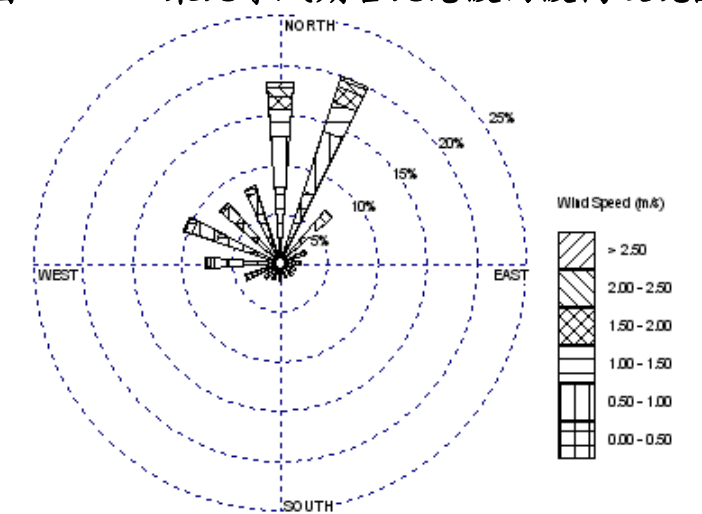


圖 5.1-16 東北季風期台北港波向波高玫瑰圖



非東北季風期台北港波向波高玫瑰圖 圖 5.1-17

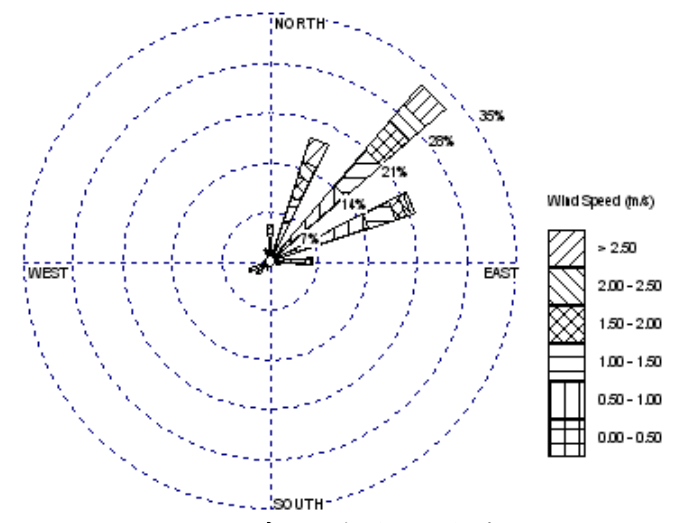


圖 5.1-18 基隆港波向波高玫瑰圖

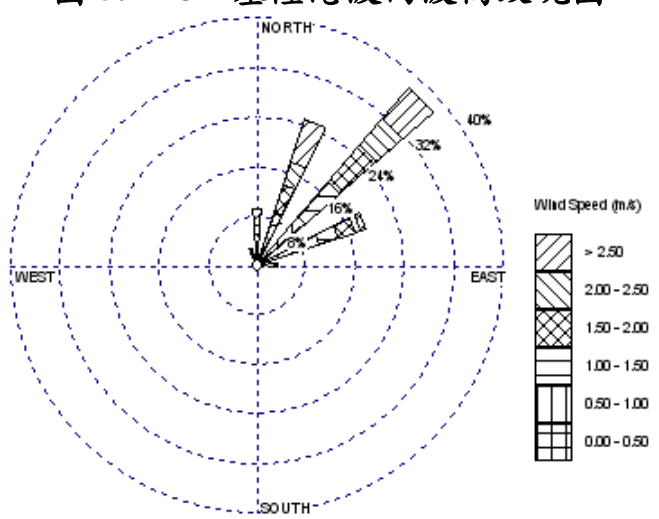


圖 5.1-19 東北季風期基隆港波向波高玫瑰圖

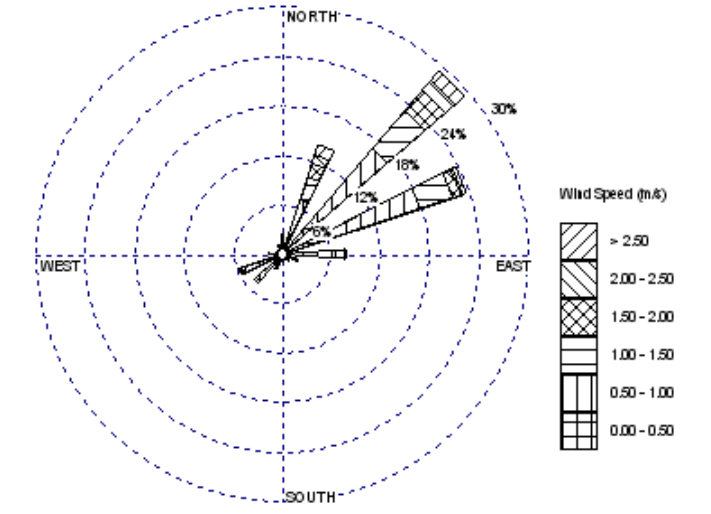


圖 5.1-20 非東北季風期基隆港波向波高玫瑰圖

由上圖,可得知在東北季風作用下,台北港與基隆港的波高波向 玫瑰圖明顯呈現出東北季風特徵波浪特性。

台北港 2003 年有效風資料筆數太少,因此在分析台北港風資料時略去 2003 年實測風資料。圖 5.1-21 為台北港 2000~2002 年風向風速玫瑰圖。圖 5.1-22 與圖 5.1-23 為東北季風期台北港風向風速玫瑰圖和非東北季風期台北港風向風速玫瑰圖。

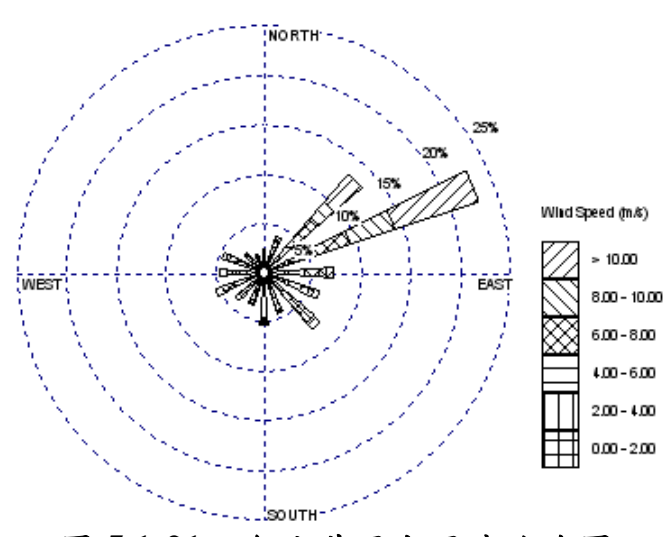


圖 5.1-21 台北港風向風速玫瑰圖

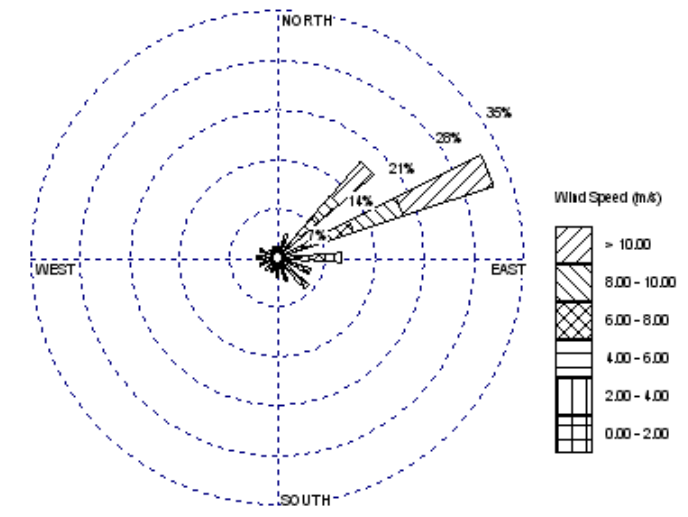


圖 5.1-22 東北季風期台北港風向風速玫瑰圖

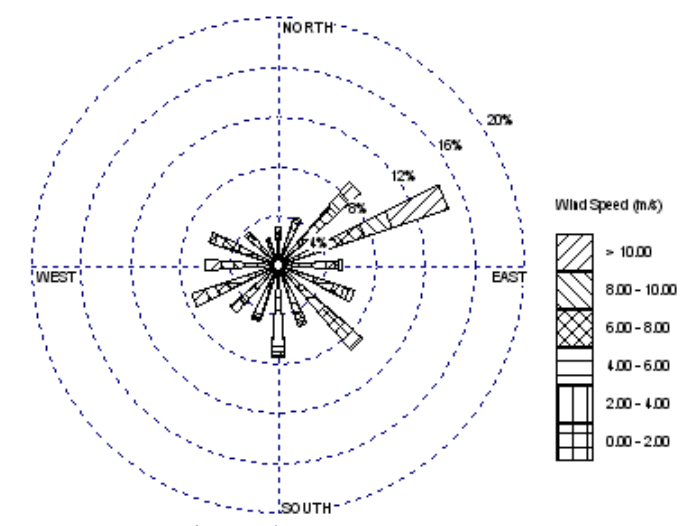


圖 5.1-23 非東北季風期台北港風向風速玫瑰圖

基隆港現有四年風實測資料中有效資料的良率非常高,在分析四年風向風速資料中發現 2002 年的風速風向(圖 5.1-24)的趨勢與其餘三年的趨勢有異,因此在分析的過程中將不採納 2002 年風實測資料。圖 5.1-25 為蒐集 2000、2001 與 2003 年風實測資料的風向風速玫瑰圖。圖 5.1-26 與圖 5.1-27 分別為東北季風期基隆港風向風速玫瑰圖及非東北季風期基隆港風向風速玫瑰圖。

圖 5.1-28 與圖 5.1-29 為北部港口風浪資料觀測站位置。

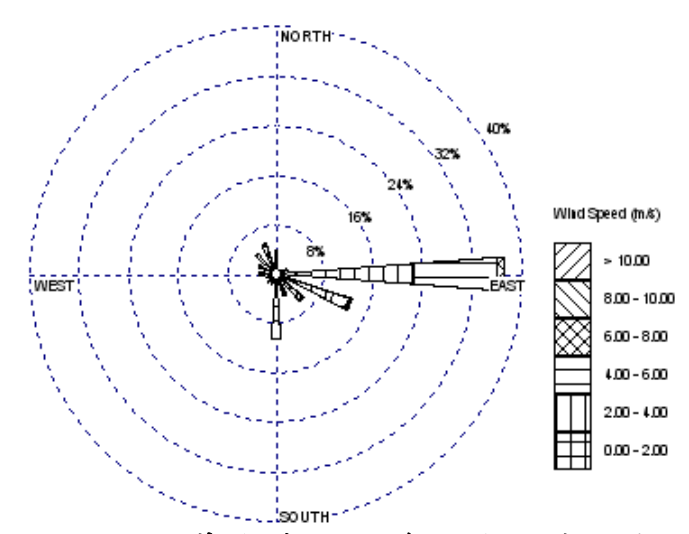


圖 5.1-24 基隆港 2002 年風向風速玫瑰圖

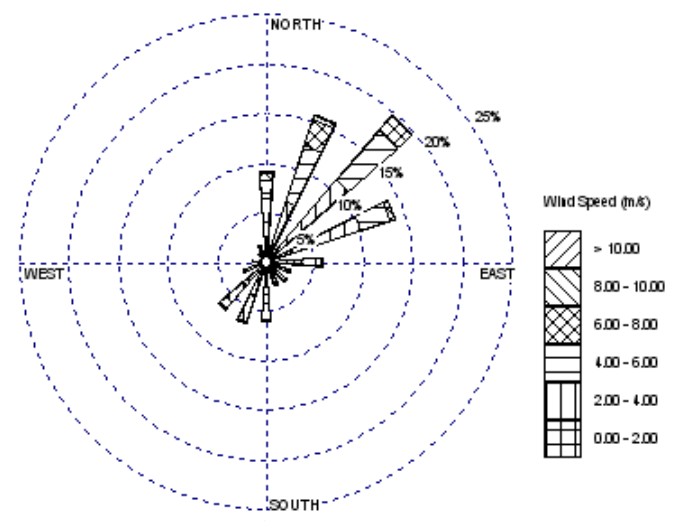


圖 5.1-25 基隆港風向風速玫瑰圖

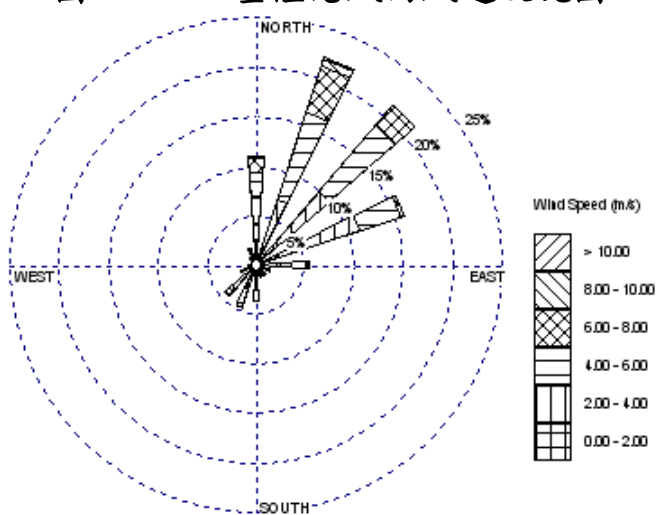


圖 5.1-26 東北季風期基隆港風向風速玫瑰圖

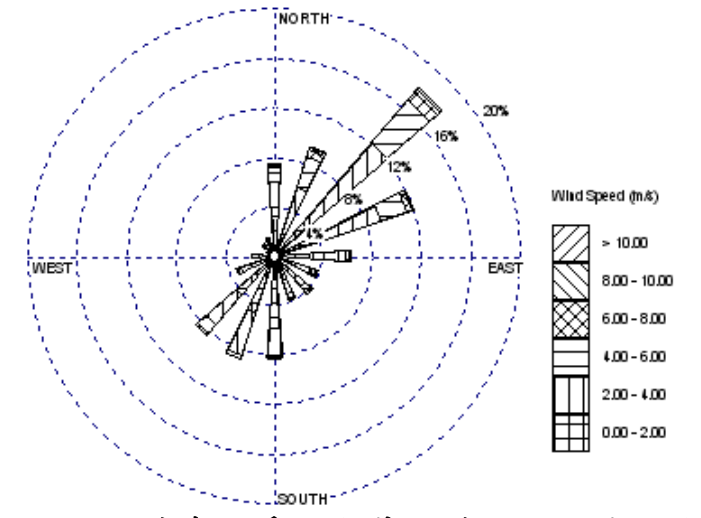
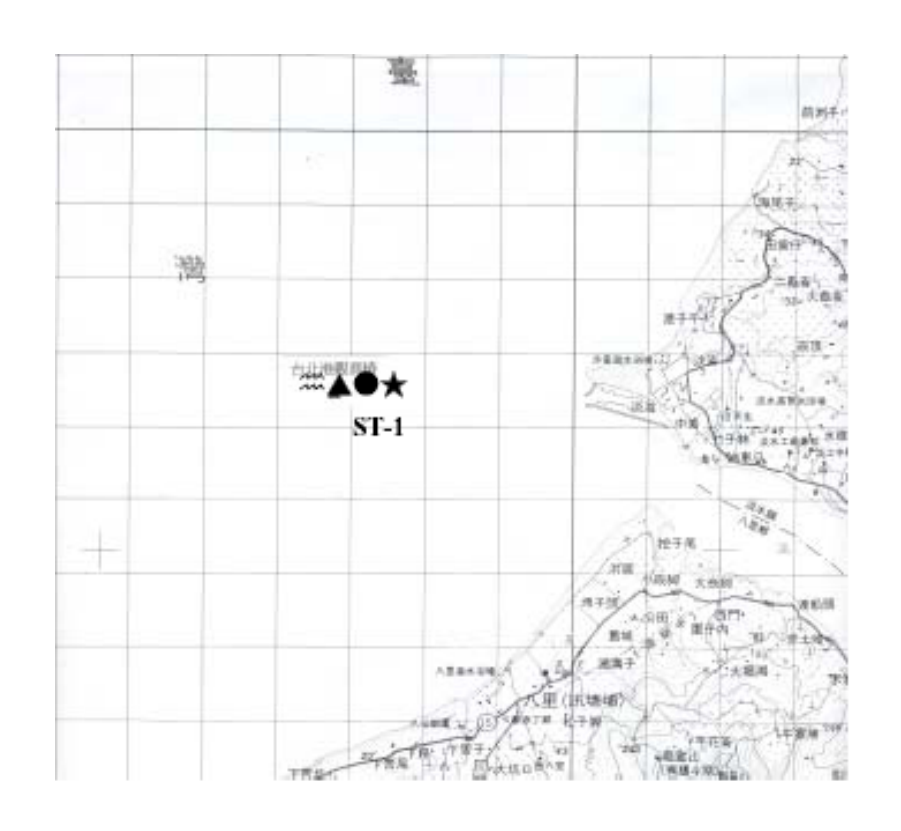


圖 5.1-27 非東北季風期基隆港風向風速玫瑰圖



●:潮位站 ★:風速站 ▲:波浪站 恕 :海流站圖 5.1-28 台北港測站示意圖(港研中心提供)



●:潮位站 ★:風速站 ▲:波浪站 恕 :海流站圖 5.1-29 基隆港測站示意圖(港研中心提供)

由上面風向風速玫瑰圖,可得到與北部港口波浪特性相同的結果。即從台北港與基隆港的風向風速玫瑰圖可以明顯呈現出東北季風特徵風向趨勢。

5.1.2.3 西部港口風浪資料分析特性

台中港涵蓋於台灣西部港口,西部港口區域西南季風作用旺盛。 西南季風影響台灣的時期從每年五月中旬開始出現,一直到九月中旬 才結束,時間長達四個月左右以上。西南季風作用的趨勢將由台中港 的風浪資料明顯看出。台中港波浪資料經整理後得表 5.1-8 台中港波高 週期聯合分布。

表 5.1-8 台中港波高週期聯合分布

ム中法	台中港波高週期聯合分布											
	週期(<u>и и</u>									
波高 (m)	0~1	1~2	2~3	3~4	4~5	5~6	6~7	7~8	8~9	9~10	>10	%
0.0~ 0.5	0	0	0	0	0.6	12.76	3.21	0	0	0	0	16.57
0.5~ 1.0	0	0	0	0.03	4.91	14.51	3.46	0.38	0	0	0	23.29
1.0~ 1.5	0	0	0	0	3.65	9.08	1.12	0.41	0.03	0	0	14.29
1.5~ 2.0	0	0	0	0	2.36	7.41	1.29	0.11	0	0	0	11.17
2.0~ 2.5	0	0	0	0	1.07	8.34	0.96	0.05	0	0	0	10.43
2.5~ 3.0	0	0	0	0	0.63	8.97	1.45	0.08	0	0	0	11.14
3.0~ 3.5	0	0	0	0	0.14	4.97	2.03	0.03	0	0	0	7.16
3.5~ 4.0	0	0	0	0	0.11	2.03	1.48	0	0	0	0	3.62
>4.0	0	0	0	0	0	0	0	0	0	0	2.33	2.33
%	0	0	0	0.03	13.47	68.07	15.01	1.07	0.03	0	2.33	100

由於 2000~2002 年台中港波浪實測資料缺失,且 2003 年有效波浪資料只有 8~12 月,故現有資料僅能部份代表台中港波浪特性。圖 5.1-30 為 2003 年台中港波向波高玫瑰圖。圖 5.1-31 與圖 5.1-32 分別為台中港西北季風作用期與非作用期的風向風速玫瑰圖。

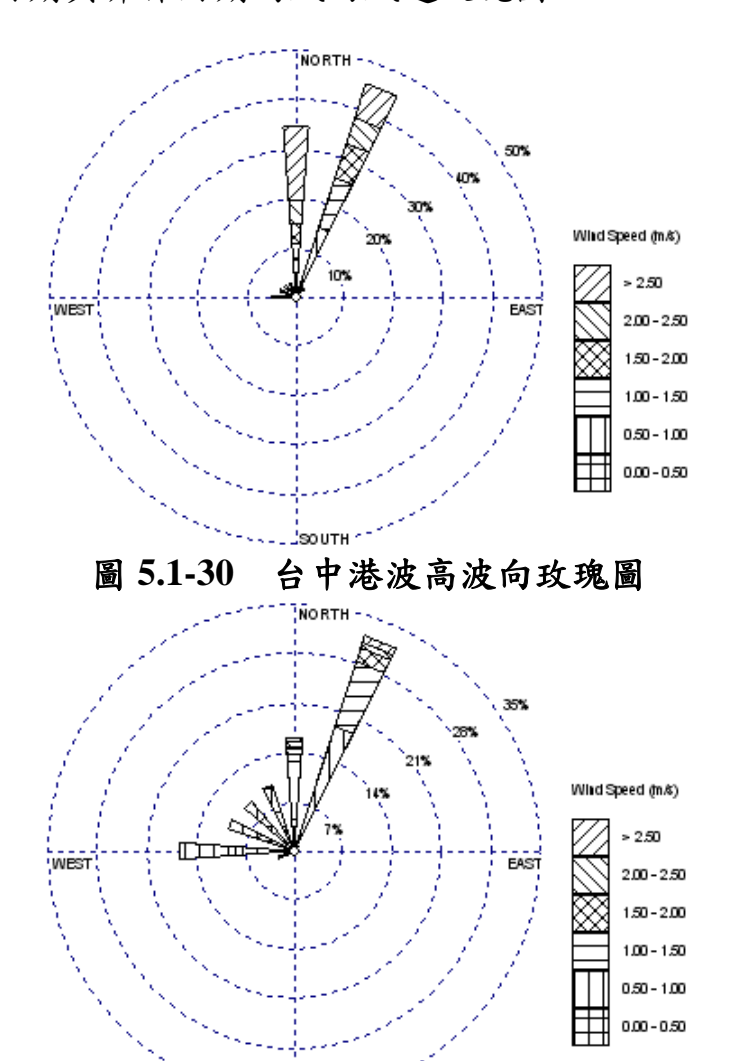


圖 5.1-31 西南季風期台中港波高波向玫瑰圖

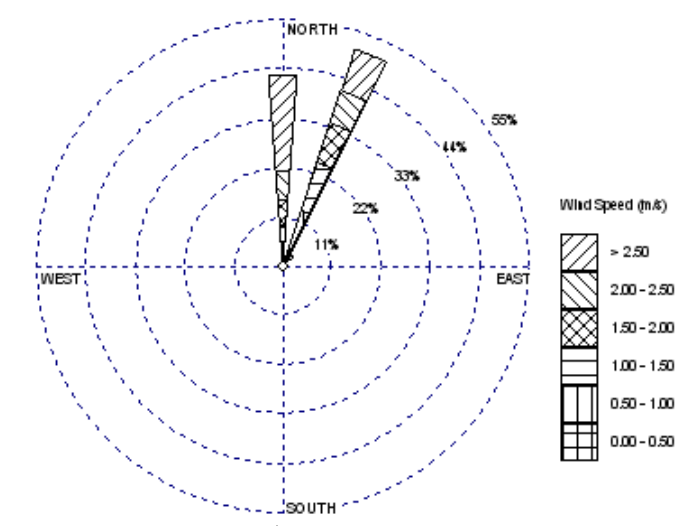


圖 5.1-32 非西南季風期台中港波高波向玫瑰圖

台中港只有半年的波浪資料,但是在波高波向玫瑰圖中還可以比較得到西南季風期間比非西南季風期間在西向波浪的比例上增強。現有資料中北北東向與北向波浪的比例極大,約佔80.3%,推估應為沿岸地形波浪的關係,確實原因仍需要探討。

台中港風場實測資料分析將缺失的 2000 年資料及資料筆數太少的 2001 年資料略去。圖 5.1-33 為 2002 與 2003 年台中港風向風速玫瑰圖。圖 5.1-34 與圖 5.1-35 分別為台中港西南季風與非西南季風的風向風速玫瑰圖。

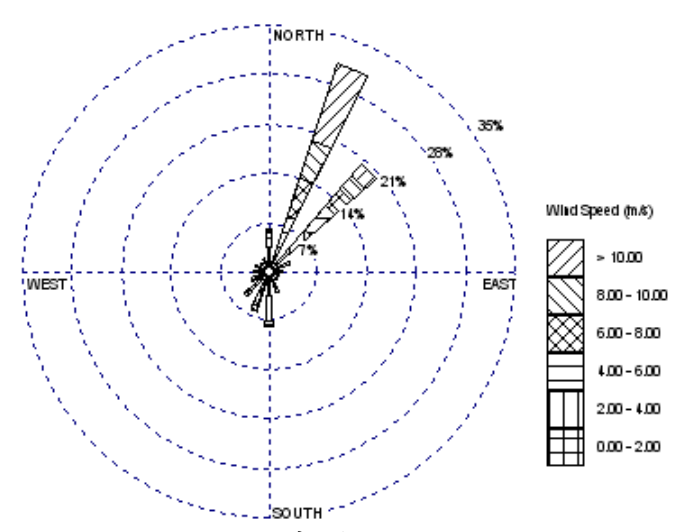


圖 5.1-33 台中港風向風速玫瑰圖

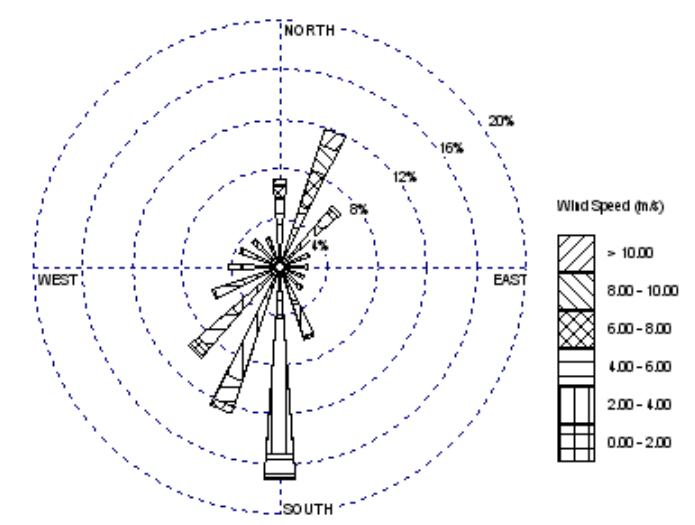


圖 5.1-34 西南季風期台中港風向風速玫瑰圖

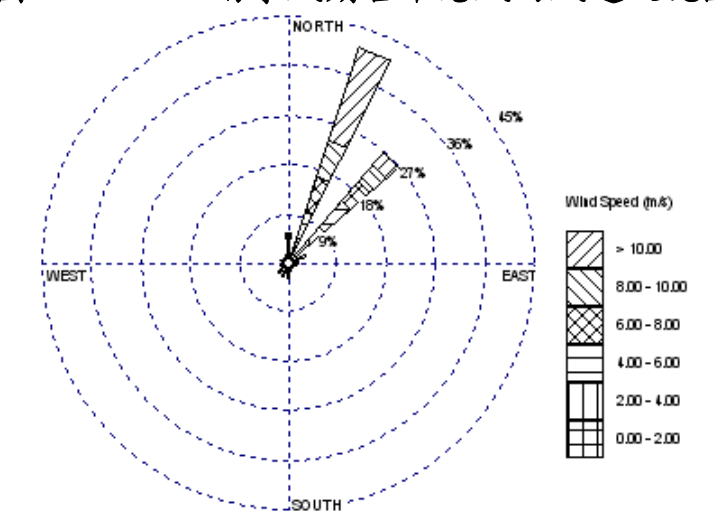
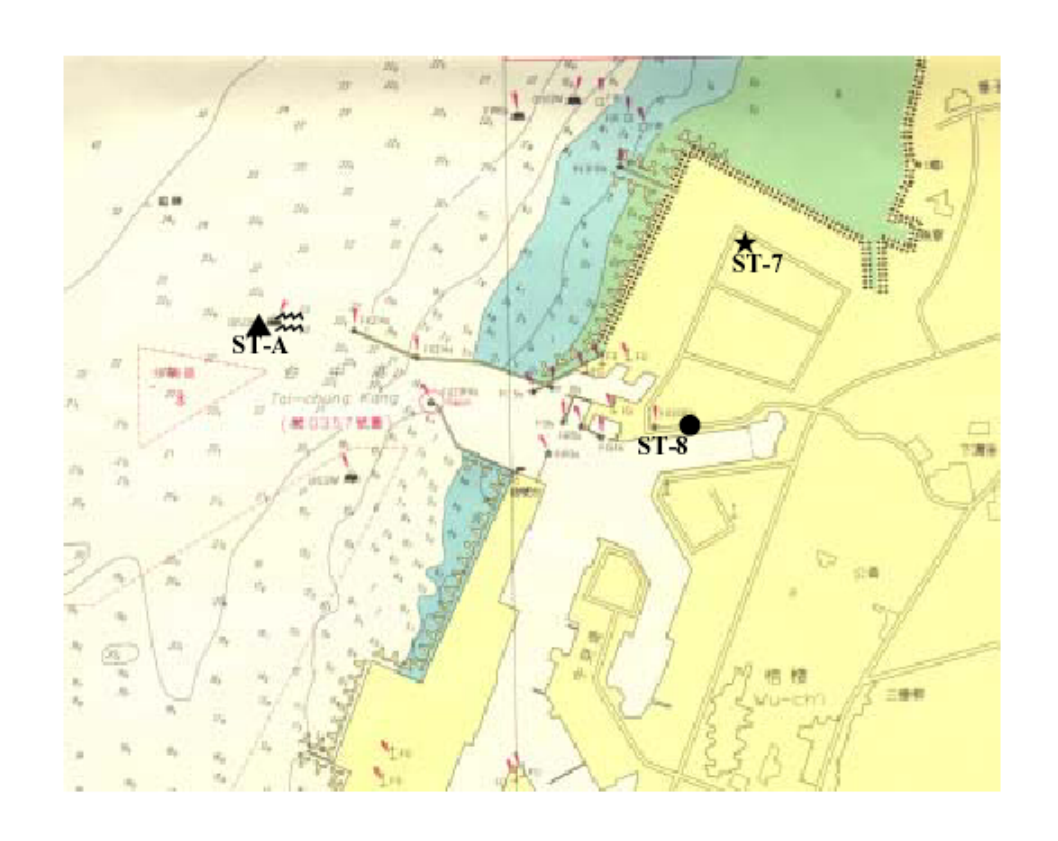


圖 5.1-35 非西南季風期台中港風向風速玫瑰圖

比較台中港各期風向風速玫瑰圖,發現西南季風期與非西南季風期風向作用明顯不同。可以觀察出西南季風期台中港在第三象限風向所佔的比例非常大,從此可以了解台中港受到西南季風影響。圖 5.1-36 為台中港各種資料實測站的位置圖。



▶:湖位站 ★:風速站 ▲:波浪站 篇 :海流站圖 5.1-36 台中港測站示意圖(港研中心提供)

5.1.2.4 南部港口風浪資料分析特性

南部港口包含了安平港與高雄港。這兩個港口和台中港一樣都位於西南季風作用旺盛的區域。

安平港與高雄港波浪實測資料經過整理得到表 5.1-9 安平港波高週 期聯合分布與表 5.1-10 高雄港波高週期聯合分布。

安平港有效波浪資料非常完整,圖 5.1-37 為 2000~2003 年安平港波向波高玫瑰圖。圖 5.1-38 與圖 5.1-39 為西南季風期與非西南季風期之安平港波向波高玫瑰圖。

高雄港的波浪資料經過略去缺失的 2000 年資料及有效資料筆數過少的 2002 年資料,整理 2001 和 2003 有效波浪資料得到圖 5.1-40 之高雄港波向波高玫瑰圖。圖 5.1-41 與圖 5.1-42 為高雄港西南季風期與非西南季風期的波向波高玫瑰圖。

表 5.1-9 安平港波高週期聯合分布

安平港	安平港波高週期聯合分布											
	週期(週期(s)										
波高 (m)	0~1	1~2	2~3	3~4	4~5	5~6	6~7	7~8	8~9	9~10	>10	%
0.0~ 0.5	0.02	0	0	1.98	24.75	23.84	5.77	0.55	0.08	0.01	0	57.01
0.5~ 1.0	0	0	0	1	11.27	10.59	6.83	2.21	0.32	0.02	0	32.23
1.0~ 1.5	0	0	0	0.05	0.85	1.46	1.92	1.21	0.48	0.09	0.01	6.07
1.5~ 2.0	0	0	0	0	0.29	0.64	0.56	0.46	0.38	0.09	0.01	2.43
2.0~ 2.5	0	0	0	0	0.12	0.34	0.29	0.2	0.15	0.06	0	1.16
2.5~ 3.0	0	0	0	0	0.05	0.09	0.1	0.1	0.12	0.06	0.02	0.53
3.0~ 3.5	0	0	0	0	0.01	0.05	0.05	0.04	0.03	0.04	0.03	0.26
3.5~ 4.0	0	0	0	0	0.02	0.01	0.02	0.01	0.02	0.04	0.01	0.14
>4.0	0	0	0	0	0	0	0	0	0	0	0.18	0.18
%	0.02	0	0	3.03	37.35	37.03	15.54	4.78	1.58	0.4	0.27	100

表 5.1-10 高雄港波高週期聯合分布

高雄港	高雄港波高週期聯合分布											
	週期(週期(s)										
波高 (m)	0~1	1~2	2~3	3~4	4~5	5~6	6~7	7~8	8~9	9~10	>10	%
0.0~ 0.5	0	0	0	0	3.4	28.32	11.23	1.19	0.04	0.01	0	44.19
0.5~ 1.0	0	0	0	0	3.22	23.06	9.28	2.86	0.46	0.07	0	38.94
1.0~ 1.5	0	0	0	0	0.56	3	2.98	1.63	0.53	0.07	0.01	8.78
1.5~ 2.0	0	0	0	0	0.14	1.06	1.35	1.27	0.43	0.14	0.01	4.4
2.0~ 2.5	0	0	0	0	0.03	0.3	0.45	0.57	0.61	0.11	0	2.07
2.5~ 3.0	0	0	0	0	0.08	0.16	0.1	0.24	0.17	0.02	0	0.76
3.0~ 3.5	0	0	0	0	0.03	0.08	0.09	0.11	0.11	0.03	0	0.44
3.5~ 4.0	0	0	0	0	0.01	0.03	0.04	0.04	0.1	0.02	0	0.24
>4.0	0	0	0	0	0	0	0	0	0	0	0.2	0.2
%	0	0	0	0	7.48	56	25.51	7.9	2.44	0.46	0.22	100

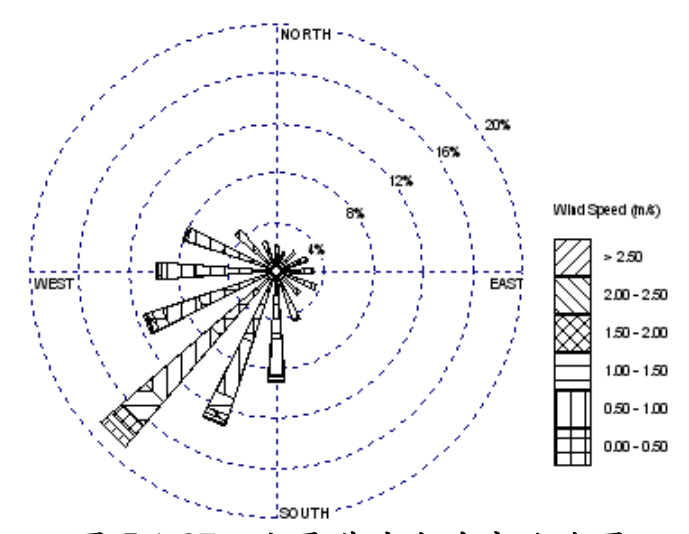


圖 5.1-37 安平港波向波高玫瑰圖

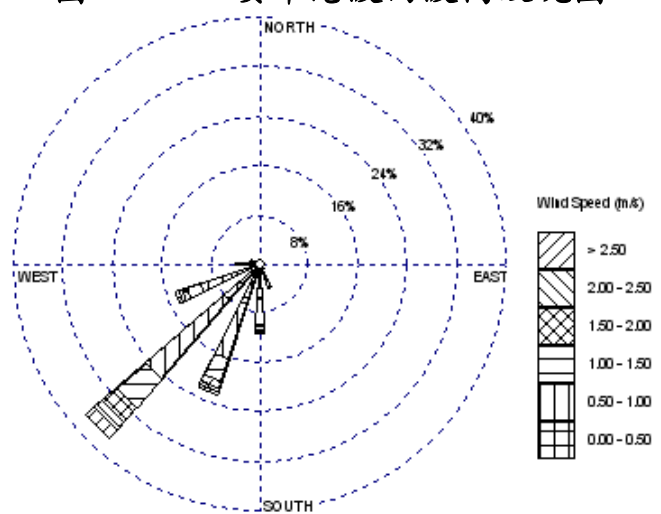


圖 5.1-38 西南季風期安平港波向波高玫瑰圖

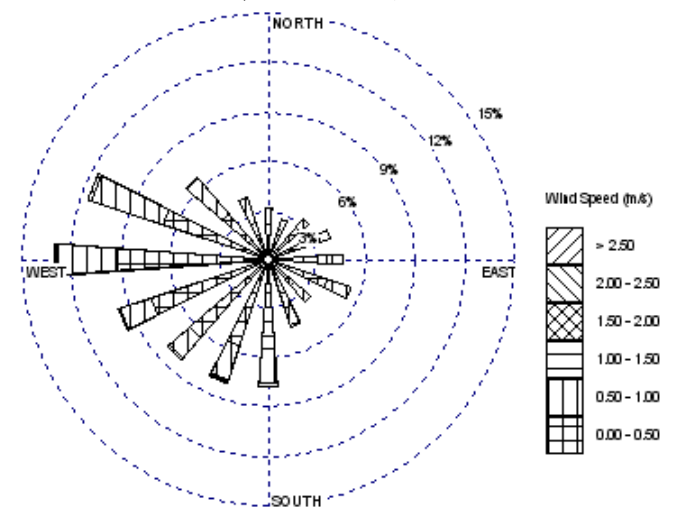


圖 5.1-39 非西南季風期安平港波向波高玫瑰圖

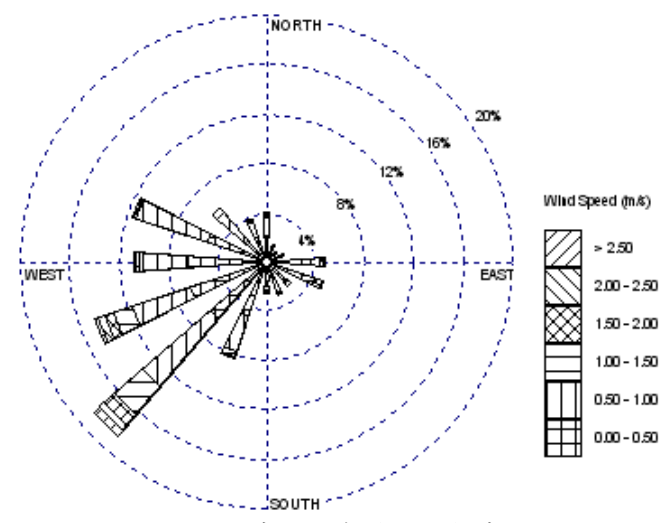


圖 5.1-40 高雄港波向波高玫瑰圖

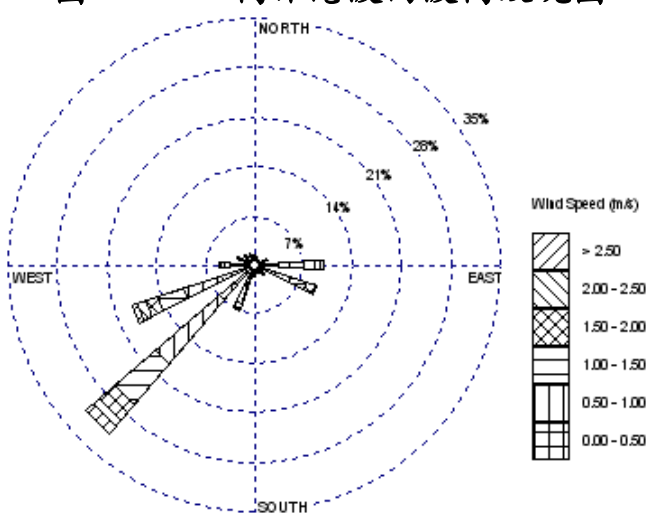


圖 5.1-41 西南季風期高雄港波向波高玫瑰圖

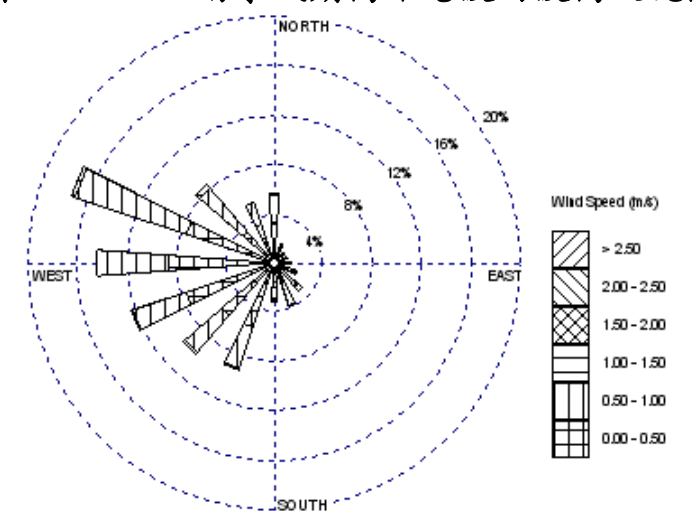


圖 5.1-42 非西南季風期高雄港波向波高玫瑰圖

從上面兩個港口的波向波高玫瑰圖,可以明顯觀察出西南季風作 用期間與非西南季風作用期間波向組成完全不同。西南季風期間安平 港與高雄港的波向在第三象限佔了極大的比例,各為 89.54%與 64.17%。

安平港與高雄港四年風實測資料經有效資料整理後,得到圖 5.1-43 安平港風向風速玫瑰圖、圖 5.1-44 西南季風期安平港風向風速玫瑰圖、圖 5.1-45 非西南季風期安平港風向風速玫瑰圖、圖 5.1-46 高雄港風向風速玫瑰圖、圖 5.1-47 西南季風期高雄港風向風速玫瑰圖與圖 5.1-48 非西南季風期高雄港風向風速玫瑰圖。

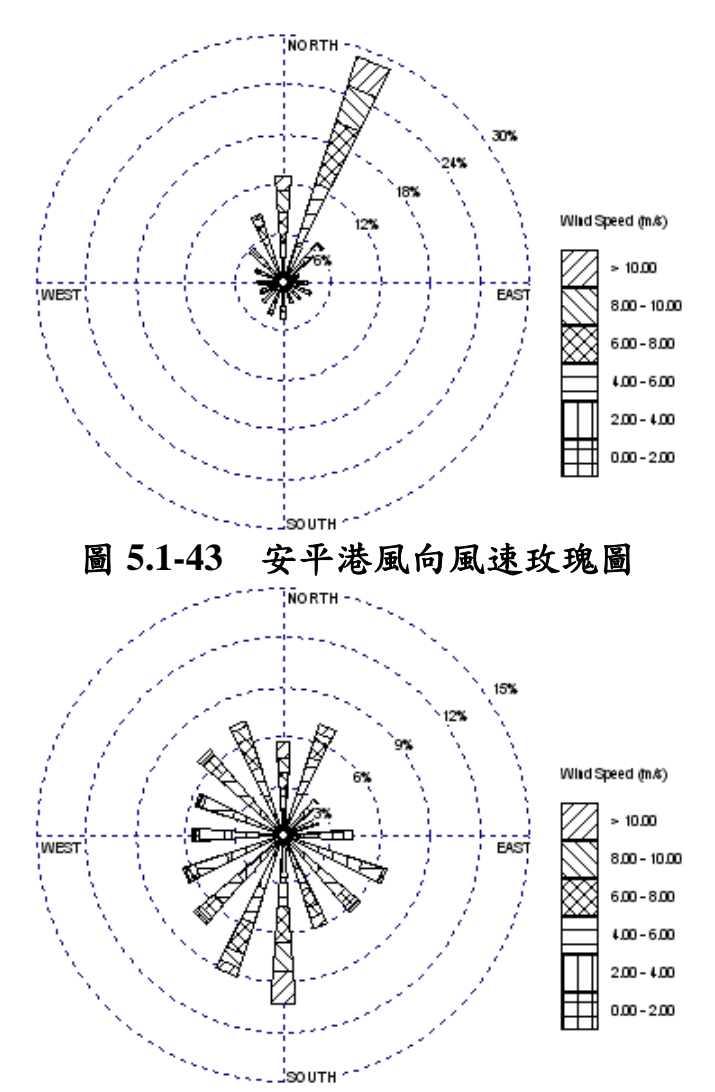


圖 5.1-44 西南季風期安平港風向風速玫瑰圖

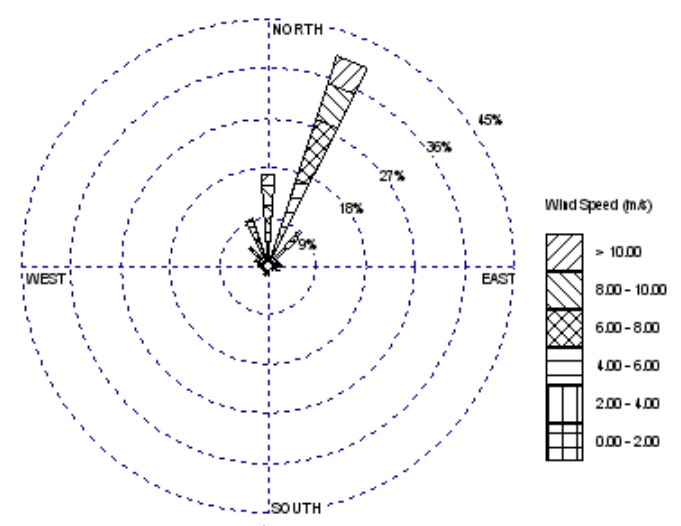


圖 5.1-45 非西南季風期安平港風向風速玫瑰圖

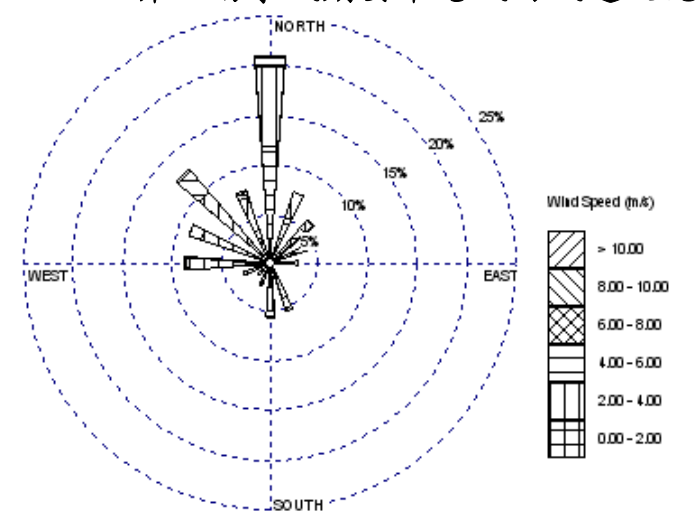


圖 5.1-46 高雄港風向風速玫瑰圖

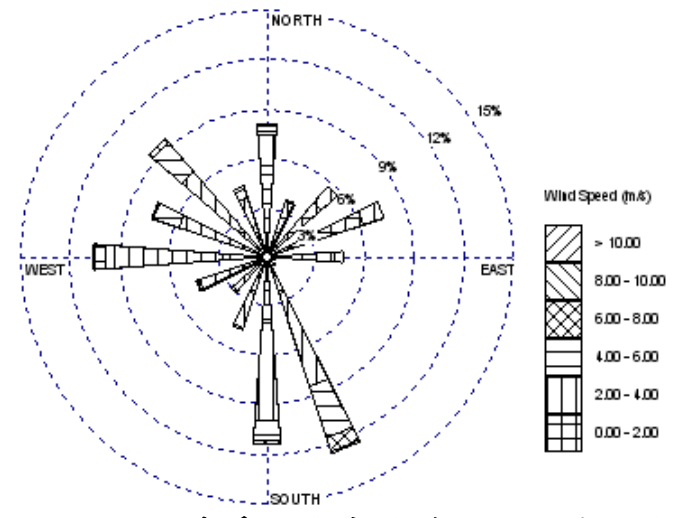


圖 5.1-47 西南季風期高雄港風向風速玫瑰圖

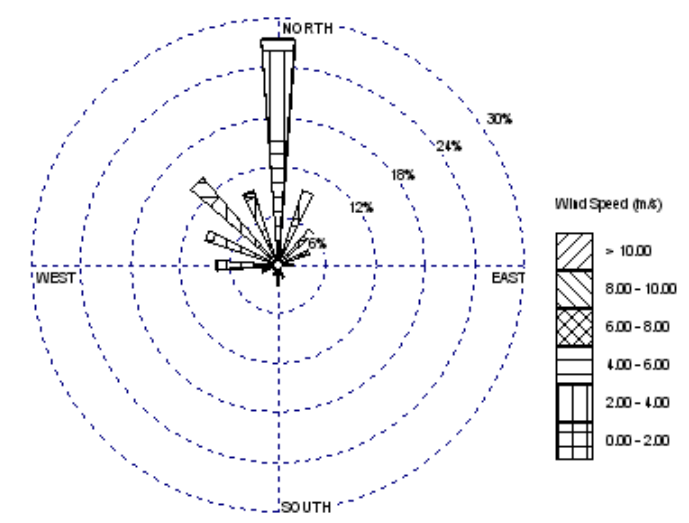


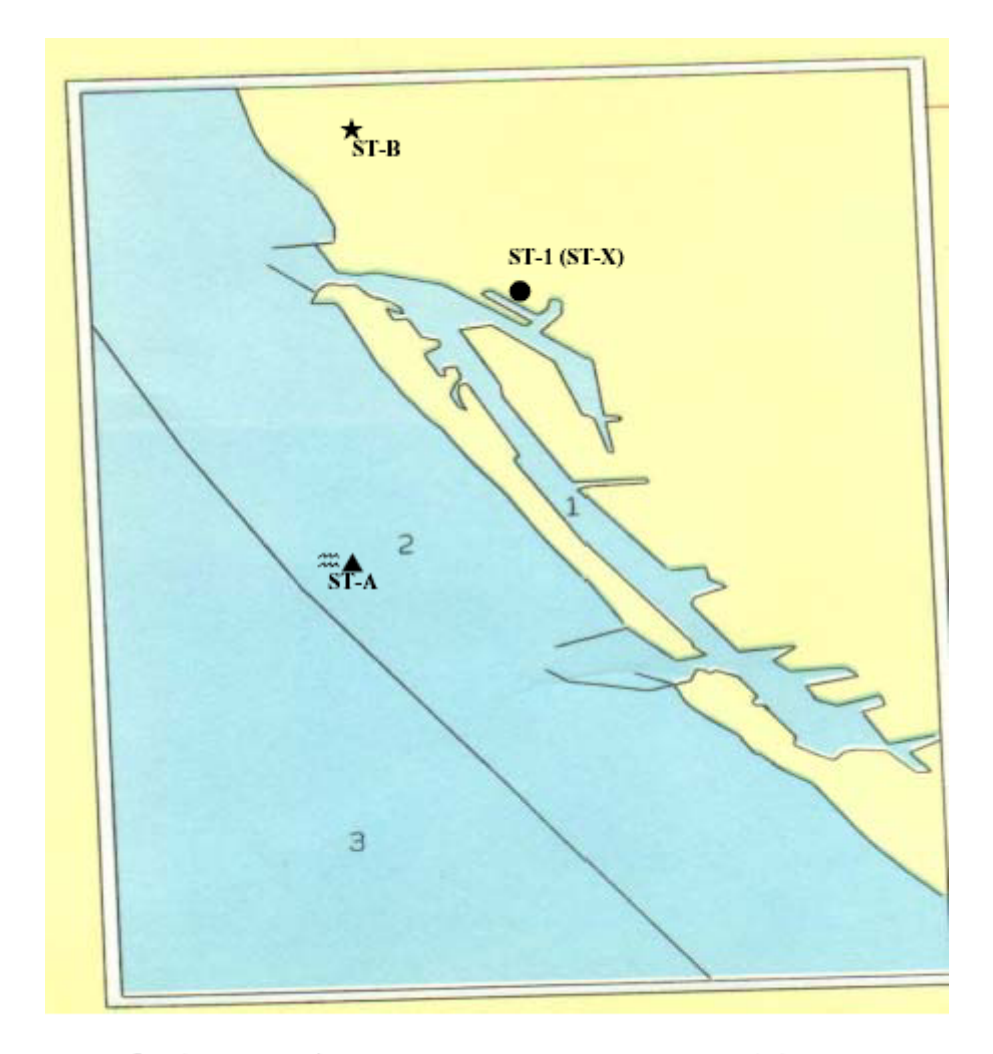
圖 5.1-48 非西南季風期高雄港風向風速玫瑰圖

由上面兩個港口的風向風速玫瑰圖,發現在安平港與高雄港在西南季風期與非西南季風期間的風向組成差異,可以判定南部港口受到西南季風的影響。在安平港的部份,優勢風向為北北東向,佔整年資料的 28.9%。高雄港部分也有類似的現象,雖然可以由風向組成區分西南季風期,但是西南季風期間第三象限風向比例不大,僅佔 34.28%,在全年的資料中,優勢風向為北風,佔 20.9%。安平港與高雄港的優勢風向產生原因是否為地形風仍需探討。

圖 5.1-49 與圖 5.1-50 為安平港與高雄港資料測站位置圖。



●:潮位站 ★:風速站 ▲:波浪站 郑 :海流站 圖 5.1-49 安平港測站示意圖(港研中心提供)



●:潮位站 ★:風速站 ▲:波浪站 巛 :海流站

圖 5.1-50 高雄港測站示意圖(港研中心提供)

5.1.2.5 藍色公路風浪特性

「藍色公路」由淡水開始,到富基漁港等北海岸各港,今日已發 展東到花蓮、南至屏東、高雄各地,成為熱門的親海性遊憩模式。

海上遊憩及交通方面都需要注意海氣象狀況,因此七大港口的風 浪特性分析可以提供藍色公路使用者的參考,尤其是季風作用區域會 因作用時期而產生兩種不同的海象狀況,且不同地區季風作用的風向 與時間長短都不一樣,因季風吹拂所引起的波浪狀況也會因為地形的 關係而有所不同。因此藍色公路的航運應就不同時期不同區域的特性 來進行調整。表 5.1-11 與表 5.1-12 為七大港口波高與風速統計情形。 由表中可以了解位於受東北季風影響的東部與北部港口區域的藍色公路,由於東北季風作用期間風速增大,因此行經這些港口的藍色公路船隻應注意季風時期港口區域的風浪大小及特性分布。而當藍色公路位於受西南季風影想的西部與南部區域時,因為西南季風作用期間風速不強,海上波浪較為平緩,但仍需注意夏季颱風的侵襲狀況。

表 5.1-11 七大港口波高特性統計

港口	平均波高	季風期間	非季風期	波高極大
	(m)	平均波高	間平均波	值(m)
		(m)	高(m)	
台北	0.76	0.99	0.58	6.54
基隆	1.18	1.59	0.89	11.35
蘇澳	1.18	1.29	1.05	9.10
花蓮	1.28	1.58	1.04	8.96
台中	1.61	0.71	1.99	5.92
安平	0.59	0.85	0.43	6.99
高雄	0.66	0.91	0.50	7.95

表 5.1-12 七大港口風速特性統計

港口	平均風速	季風期間	非季風期	風速極大
	(m/s)	平均風速	間平均風	值(m/s)
		(m/s)	速(m/s)	
台北	5.99	6.87	5.21	26.33
基隆	2.97	3.38	2.57	20.89
蘇澳	2.73	2.79	2.67	21.50
花蓮	2.76	2.89	2.64	19.29
台中	5.35	3.39	6.36	26.47
安平	5.40	4.76	5.73	28.06
高雄	2.22	2.36	2.15	12.60

5.2 台灣環島長期波浪推算結果

本節利用第三章所建立的台灣海岸之風浪模式,為了使風浪預報在空間與時間上皆可達到委託單位的要求,透過 2001 與 2002 年之長期風浪推算,驗證風浪模式之合理性。

5.2.1 風浪推算模式、計算地區及計算時間

近岸海域地區依照 2000 年 2 月 24 日由內政部以台八十九字第〇五六七五號函函送立法院審議的「海岸法」(草案)中,即明訂我國的海岸地區主要劃分為「濱海陸地」及「近岸海域」兩部分,其中,定義「濱海陸地」以平均海水面至最近之山稜線,或致地形、植被有顯著變化處,或至濱海主要公路、行政區界、溝渠、宗地界線明確之處為界,並含擴界內劃定之土地及地下水域;「近岸海域」以平均海水面至等深線三十公尺,或者平均海水面向海六公里,取其距離較長者為界,並不超過領海範圍,且含擴界內劃定支水域與水域下之海床及底土。

台灣四面環海,陸域面積約 36000 平方公里,這狹小的地區向海發展的方向就變的很自然了,所以很多人居住於海濱,為了保護人民的生命財產,必須在海岸興建人工建築物來抵擋海岸侵蝕、海水倒灌等等的災害,所以對於近海的海象狀況比需要有一定程度的了解;另一方面領海的面積約為 17 萬平方公里,比起陸域面積大上許多,提供了許多能源、資源及遊憩活動空間,如台灣海峽廣大的漁場、填海造陸、各縣市政府推行的藍色公路等。本計畫目的為建立台灣環島沿岸之海象預報模式,為了使風浪預報在空間與時間上皆可達到委託單位的要求,整合不同風浪與波浪預報模式,完成海象預報模式的建立。

風浪模式的選擇在第三章中已有略述,在遠域區域中選擇 WAM 模式,在近岸區域選擇 SWAN 風浪模式,透過巢狀格網連結兩模式, 使其在台灣近岸海域可達約 5 公里之風浪預報解析度。風浪模式之外 力主要為風,風場資料的獲得在計畫中並未規劃,如由計畫中進行風 場的模擬並不合經濟效益,故風場資料的獲得以國內外現有之產品為主要選擇。圖 5.2-1 為格林威治時間 2001 年 1 月 1 日 0 時之美國大氣及海洋總署 (NOAA) 之大氣模式的海面風場分析資料,其資料範圍為北緯78°至南緯78°,起始東經0°至358.75°,其資料幾乎涵蓋全球,在緯度解析度為 1 度,而經度解析度為 1.25 度,資料時間間隔為 3 小時。為了配合風浪模式之格網範圍與解析度,經線性內插後可得如圖 5.2-2之 2001 年 1 月 1 日 0 時台灣附近海域之風場資料。

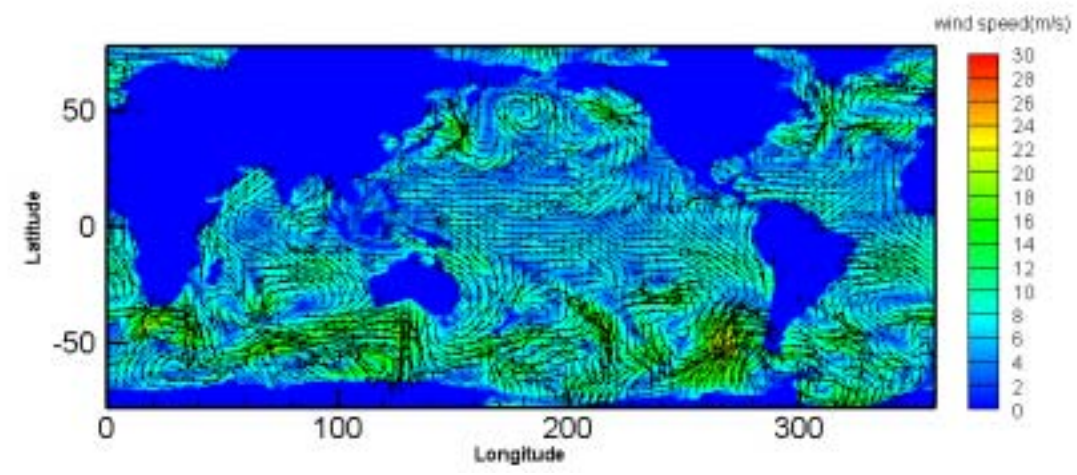


圖 5.2-1 NOAA 之大氣模式風場資料

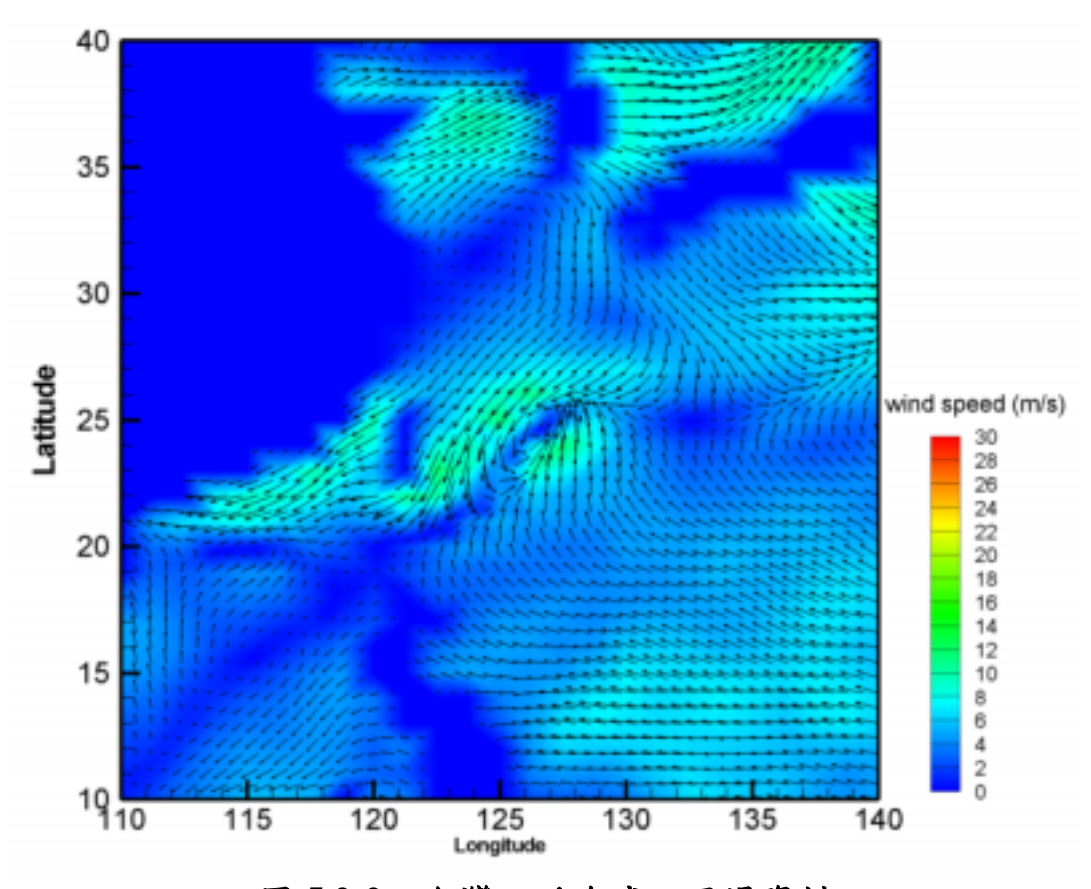


圖 5.2-2 台灣附近海域之風場資料

模式計算範圍、計算時間間隔、格網大小、頻率及方向波譜解析度與節 3.1.2 所介紹的相同,而模式推算長期波浪的時間點乃以現階段所能獲得之美國大氣及海洋總署 (NOAA) 之大氣模式的海面風場分析資料,時間從格林威治時間 2001 年 1 月 1 日 0 時至 2003 年 2 月 1 日 0 時,可涵蓋兩年間春夏秋冬之波浪變化情形。而風浪模式主要輸出作驗証之地區以台北港、基隆港、蘇澳港、花蓮港、高雄港、安平港及台中港等7個商港為主,另外為兼顧環島藍色公路海域之完整性,特別輸出台東綠島、屏東鵝鸞鼻及澎湖馬公之波浪推算結果,以分析台灣環島附近海域之海象預報模式,上述地區於台灣海域之位置如圖 5.2-3 所示。

為了客觀表示推算結果之優劣,本計畫利用兩統計參數作為模擬 結果之優劣程度之參考。一為相關係數 CR,其可表現推算值與實測值 間之趨勢,其定義為

$$CR = \frac{\sum_{i=1}^{N} \left[(P_i - \overline{P})(O_i - \overline{O}) \right]}{\left[\sum_{i=1}^{N} (P_i - \overline{P})^2 \sum_{i=1}^{N} (O_i - \overline{O})^2 \right]^{1/2}}$$
(5-2-1)

其中 P_i 與 O_i 分別表示推算值與實測值,而 \overline{P} 與 \overline{O} 分別表示推算時間內之推算平均值與實測資料平均值,N為資料點數。另一個參數為絕對誤差 ε ,其定義為

$$\varepsilon = \frac{\sum_{i=1}^{N} \left| P_i - O_i \right|}{N} \tag{5-2-2}$$

其可表現出推算值與實測值間之平均推算誤差。

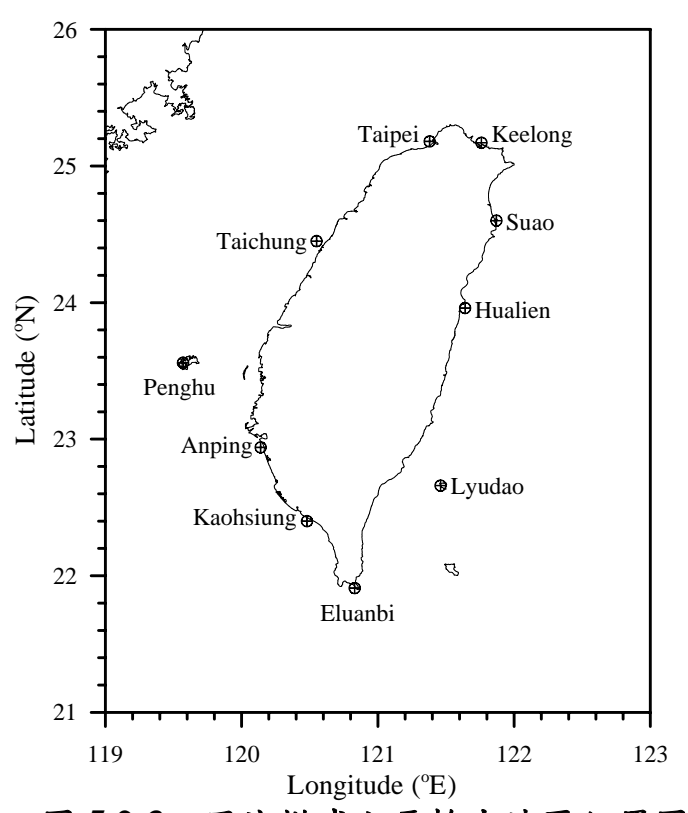


圖 5.2-3 風浪模式主要輸出地區位置圖

圖 5.2-4 及圖 5.2-5 分別為 2001 年、2002 年安平港附近海域風速實測資料與推算值之比較圖,安平港受到中度奇比颱風之侵襲,在 2001 年 6 月 23 日 12 時發生最大風速為 28.06 m/s。依時間特性之統計分析,如表 5.2-1 所示,實測風速最大平均值發生在 2002 年冬季,約為 6.90 m/s,NOAA 大氣模式模擬平均風速約為 4.79 m/s,實測風速與推算值之相關係數為 0.57、絕對誤差為 2.78 m。安平港位於台灣西南方,年平均風速約為 5.46 m/s,在夏、秋二季容易受到颱風影響,造成風速紊亂分散,在冬季,台灣海峽之狹管效應導致東北季風風向一致,平均風速也較大。利用 NOAA 大氣模式推算風速發現,除了 2002 年春季模擬結果相關係數較低外,大致均有相當良好之相關性。

表 5.2-1 安平港附近海域風速實測資料與推算值之比較統計表

月份	參數	實測平均	NOAA 大氣模式	相關係數	絕對誤差
	2001年春季	5.71	3.84	0.52	2.46
	2001年 夏季	4.61	3.44	0.41	2.09
	2001 年 秋季	5.28	4.07	0.57	2.37
風	2001 年 冬季	6.66	4.83	0.35	2.68
速	2001年春季	5.27	3.74	0.00	2.76
	2001 年 夏季	4.46	3.44	0.31	2.12
	2001 年 秋季	4.78	4.01	0.57	2.05
	2001 年 冬季	6.90	4.79	0.57	2.78

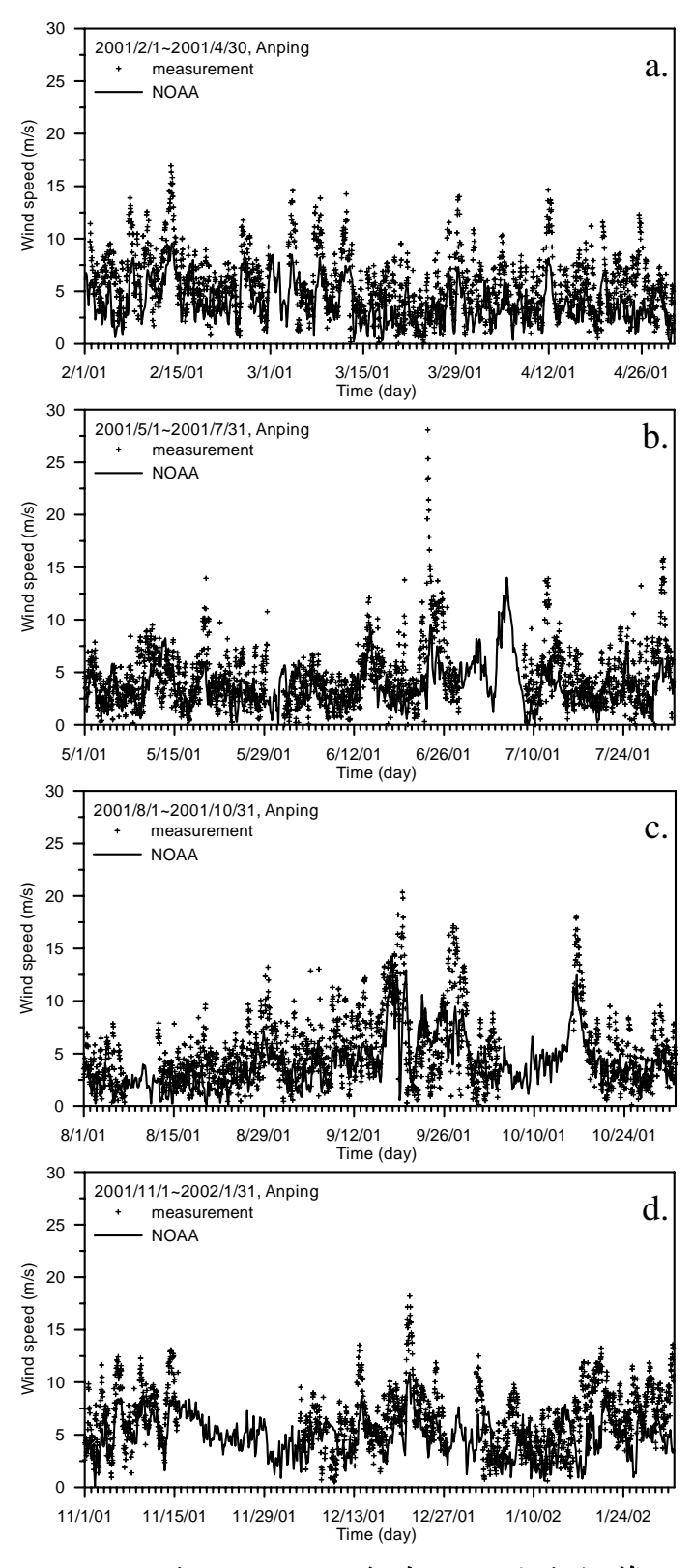


圖 5.2-4 安平港附近 2001 年實測風速與推算值之比較圖 (a.春季、b.夏季、c.秋季、d.冬季)

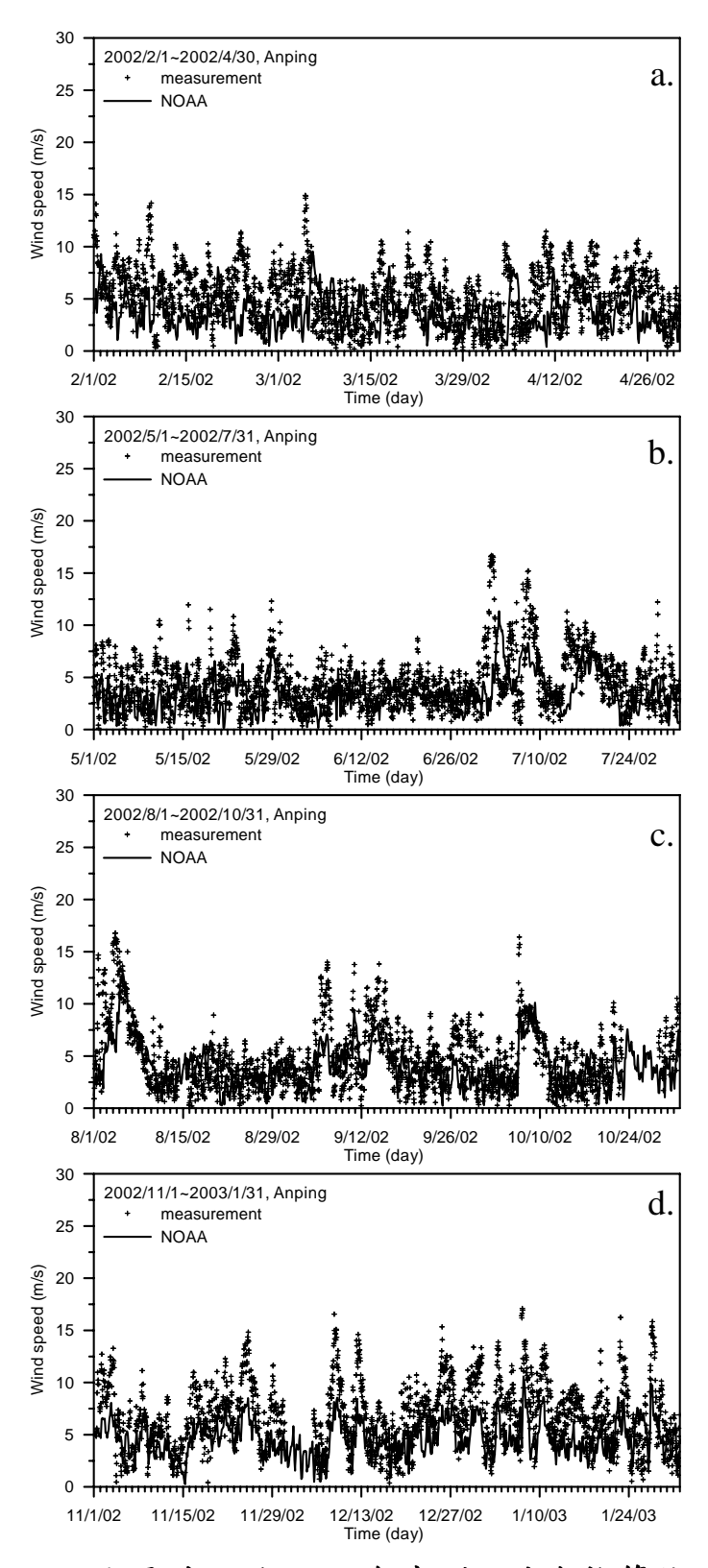


圖 5.2-5 安平港附近 2002 年實測風速與推算值之比較圖 (a.春季、b.夏季、c.秋季、d.冬季)

圖 5.2-6 及圖 5.2-7 分別為 2001 年、2002 年花蓮港附近海域風速實測資料與推算值之比較圖,花蓮港受到中度桃芝颱風之侵襲,在 2001 年 7 月 30 日 5 時發生最大風速為 18.5 m/s。依時間特性之統計分析,如表 5.2-2 所示,實測風速最大平均值發生在 2002 年冬季,約為 3.33 m/s,NOAA 大氣模式模擬平均風速約為 3.46 m/s,實測風速與推算值之相關係數為 0.51、絕對誤差為 1.41 m。花蓮港位於台灣東部,年平均風速約為 2.99 m/s,風速推算與實測風速之誤差較小,絕對誤差約在 1.42 m 左右。

表 5.2-2 花蓮港附近海域風速實測資料與推算值之比較統計表

月份	參數	實測平均	NOAA 大氣模式	相關係數	絕對誤差
	2001年春季	3.02	3.05	0.35	1.40
	2001年 夏季	3.01	2.55	0.25	1.53
	2001 年 秋季	2.96	3.06	0.30	1.44
風	2001年	3.20	3.39	0.36	1.50
速	2001年春季	3.08	2.70	0.33	1.34
	2001 年 夏季	2.59	2.43	0.07	1.40
	2001 年 秋季	2.79	2.77	0.21	1.37
	2001 年 冬季	3.33	3.46	0.51	1.41

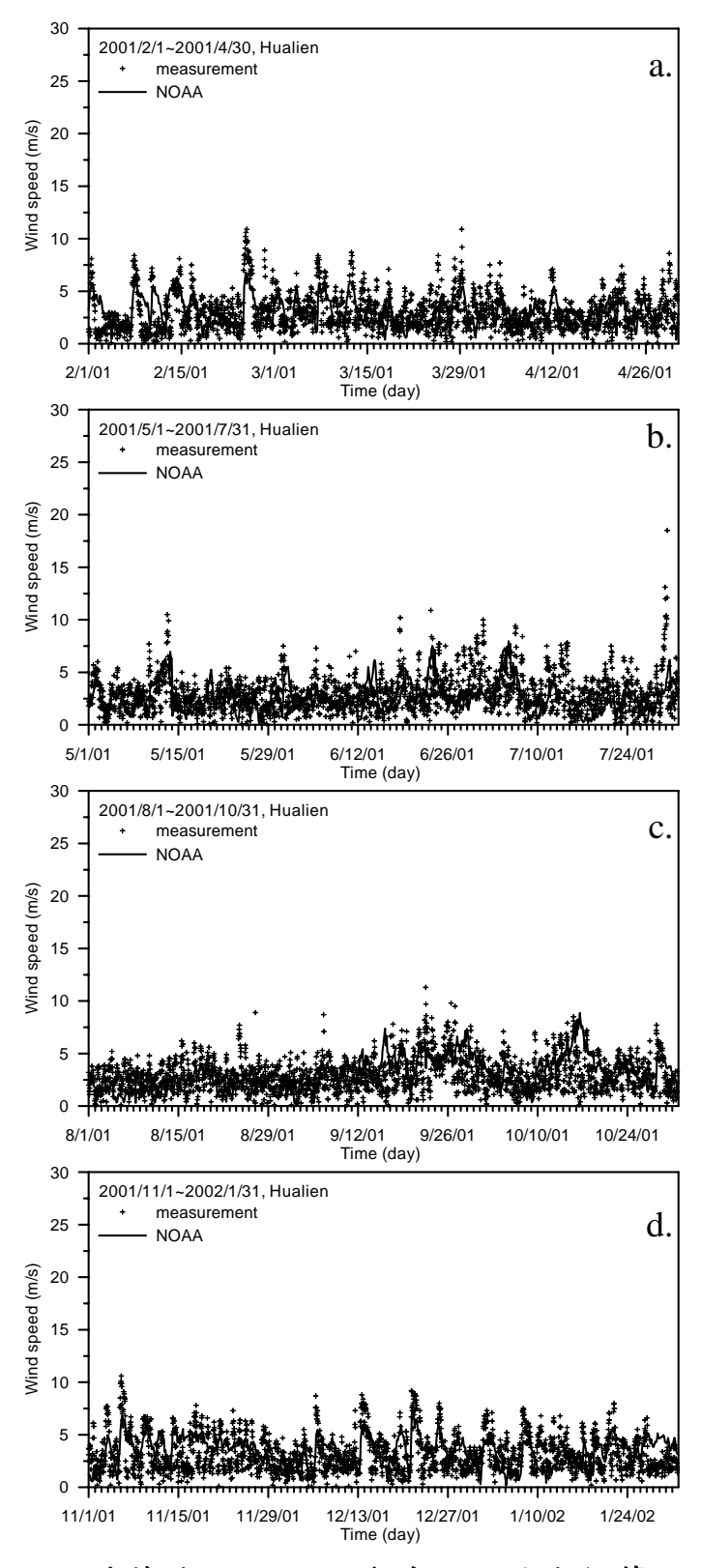


圖 5.2-6 花蓮港附近 2001 年實測風速與推算值之比較圖 (a.春季、b.夏季、c.秋季、d.冬季)

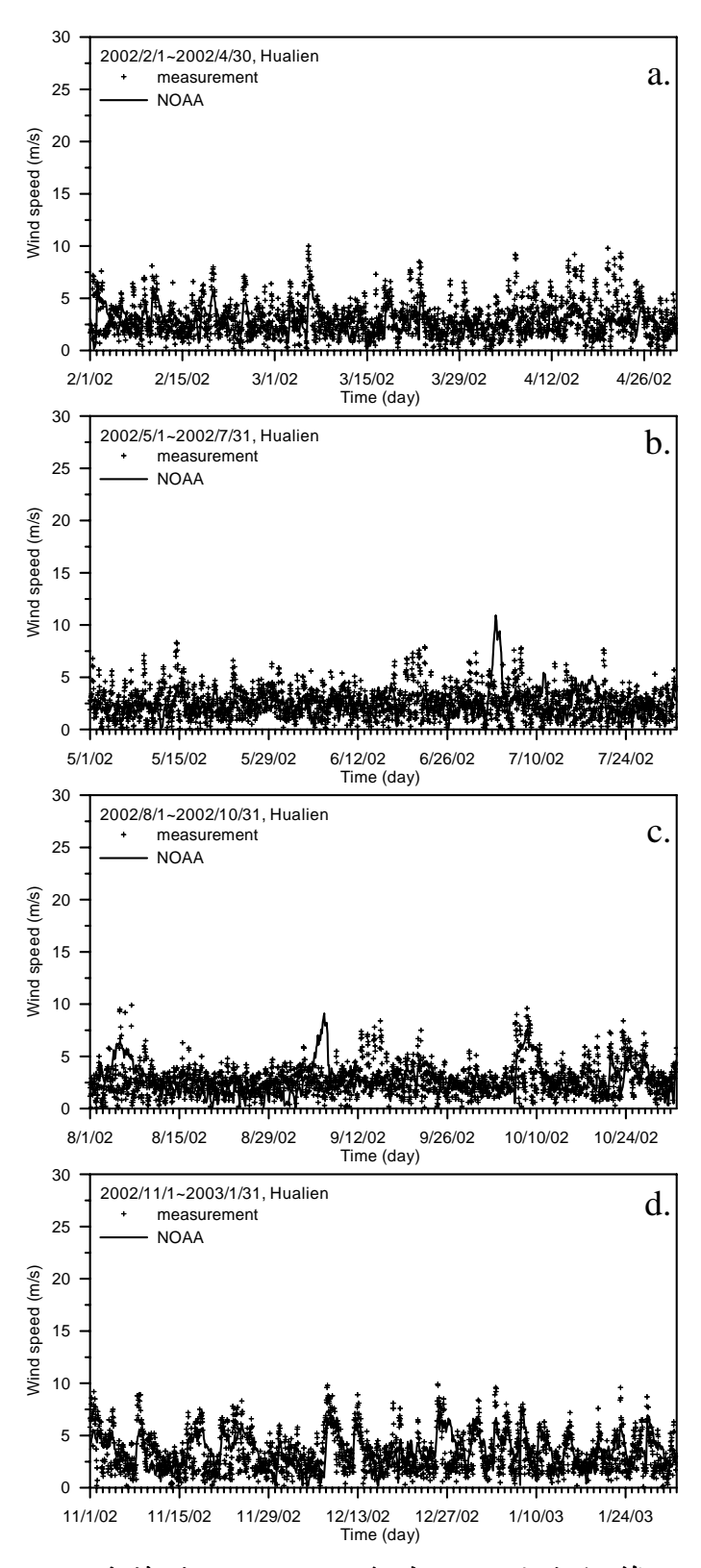


圖 5.2-7 花蓮港附近 2002 年實測風速與推算值之比較圖 (a.春季、b.夏季、c.秋季、d.冬季)

圖 5.2-8 及圖 5.2-9 分別為 2001 年、2002 年高雄港附近海域風速實測資料與推算值之比較圖,高雄港受到中度奇比颱風之侵襲,在 2001 年 6 月 23 日 1 時發生最大風速為 12.2 m/s。依時間特性之統計分析,如表 5.2-3 所示,實測風速最大平均值發生在 2001 年秋季,約為 2.32 m/s,NOAA 大氣模式模擬平均風速約為 3.59 m/s,實測風速與推算值之相關係數為 0.38、絕對誤差為 1.86 m。高雄港的地理位置與安平港較為相近,年平均風速約為 2.23 m/s。冬季時,利用 NOAA 大氣模式分析海面風場資料較實測風速大,其可能是東北季風受中央山脈阻隔,導致高雄港附近風速稍弱。

表 5.2-3 高雄港附近海域風速實測資料與推算值之比較統計表

月份	參數	實測平均	NOAA 大氣模式	相關係數	絕對誤差				
	2001 年 春季	2.12	3.92	0.01	2.20				
	2001年 夏季	2.28	3.66	0.32	1.95				
	2001 年 秋季	2.32	3.59	0.38	1.86				
風	2001 年 冬季	2.11	4.42	0.03	2.46				
速	2001年春季	2.28	3.72	0.01	1.86				
	2001 年 夏季	2.31	3.19	0.28	1.56				
	2001 年 秋季	2.23	3.76	0.23	1.98				
	2001 年 冬季	2.16	4.65	0.02	2.62				

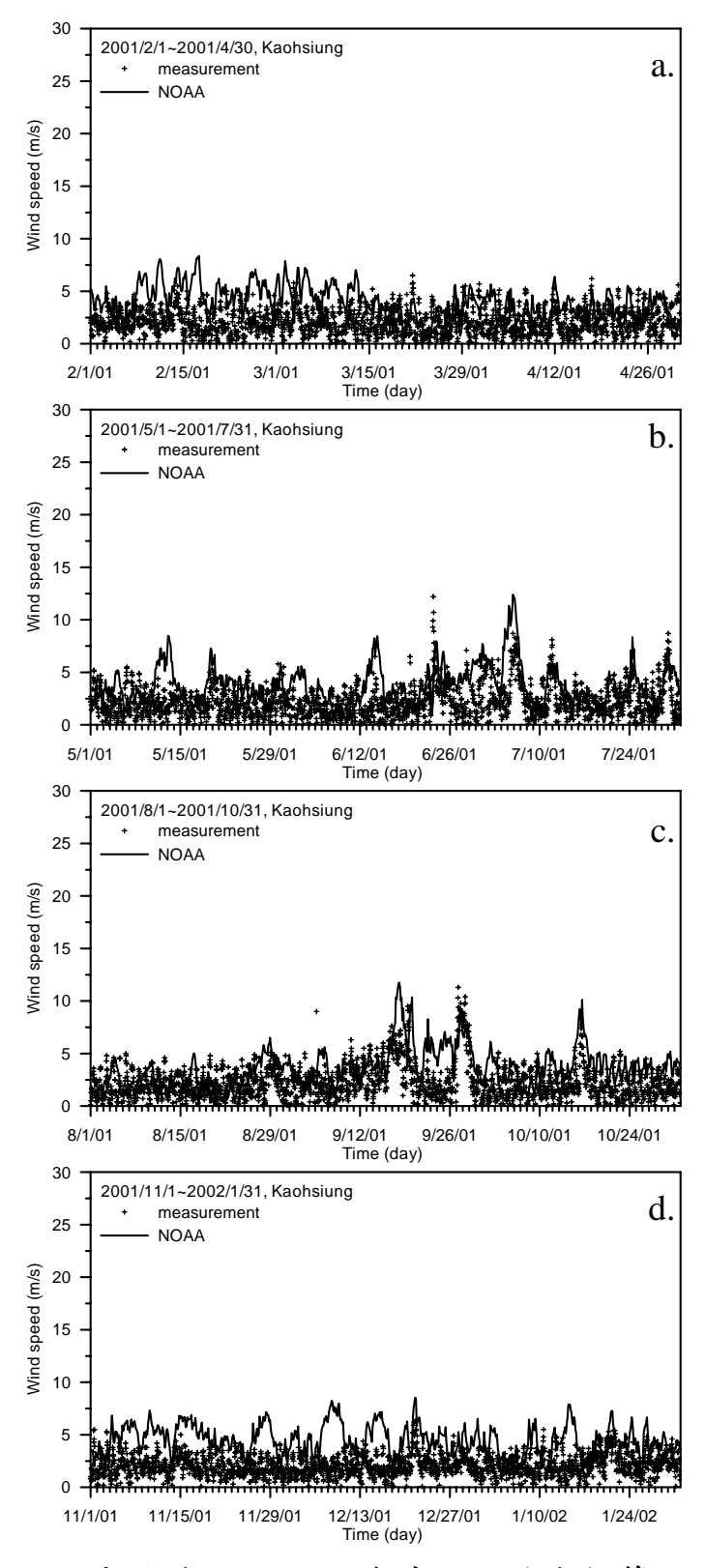


圖 5.2-8 高雄港附近 2001 年實測風速與推算值之比較圖 (a.春季、b.夏季、c.秋季、d.冬季)

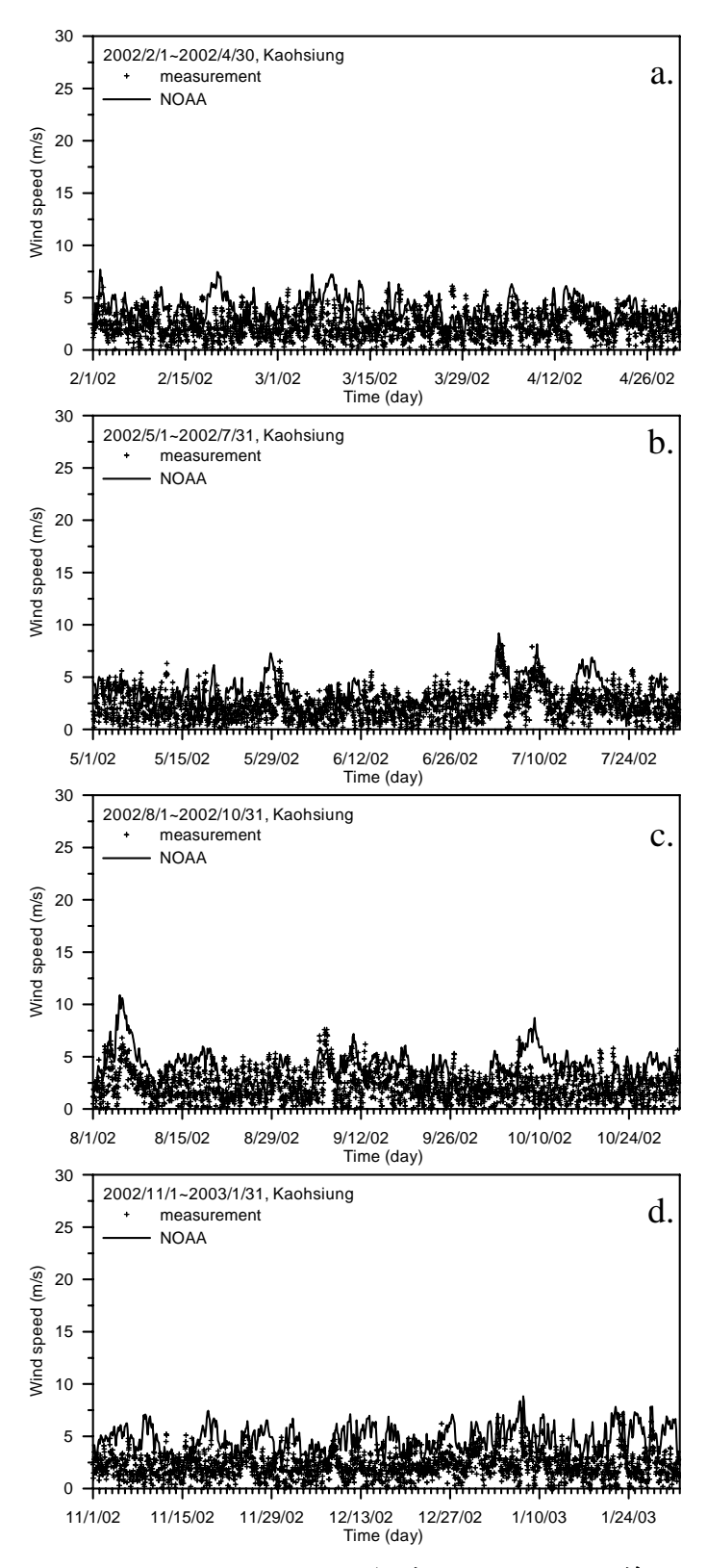


圖 5.2-9 高雄港附近 2002 年實測風速與推算值之比較圖 (a.春季、b.夏季、c.秋季、d.冬季)

圖 5.2-10 及圖 5.2-11 分別為 2001 年、2002 年基隆港附近海域風速實測資料與推算值之比較圖,基隆港受到中度 新颱風之侵襲,在 2001 年 9 月 16 日 20 時發生最大風速為 20.9 m/s,根據中央氣象局颱風紀錄, 新颱風路徑特殊,且停留時間過久,豐沛雨量造成北台灣嚴重水患。依時間特性之統計分析,如表 5.2-4 所示,實測風速最大平均值發生在 2001 年秋季,約為 3.48 m/s, NOAA 大氣模式模擬平均風速約為 3.07 m/s,實測風速與推算值之相關係數為 0.44、絕對誤差為 1.53 m。基隆港位於台灣北部,年平均風速為 2.90 m/s,主要受到東北季風迎風面之影響,冬季風速普遍偏大,風速推算之結果大致與實測風速有良好之相關性,絕對誤差也較小。

表 5.2-4 基隆港附近海域風速實測資料與推算值之比較統計表

月份	多數	實測平均	NOAA 大氣模式	相關係數	絕對誤差
	2001 年 春季	2.97	3.04	0.62	1.20
	2001年 夏季	2.59	2.48	0.42	1.22
	2001 年 秋季	3.48	3.07	0.44	1.53
風	2001 年 冬季	3.37	3.37	0.56	1.27
速	2001 年春季	2.65	2.81	0.29	1.35
	2001 年 夏季	2.43	2.35	0.23	1.30
	2001 年 秋季	2.77	2.92	0.22	1.42
	2001年	2.95	3.54	0.43	1.39

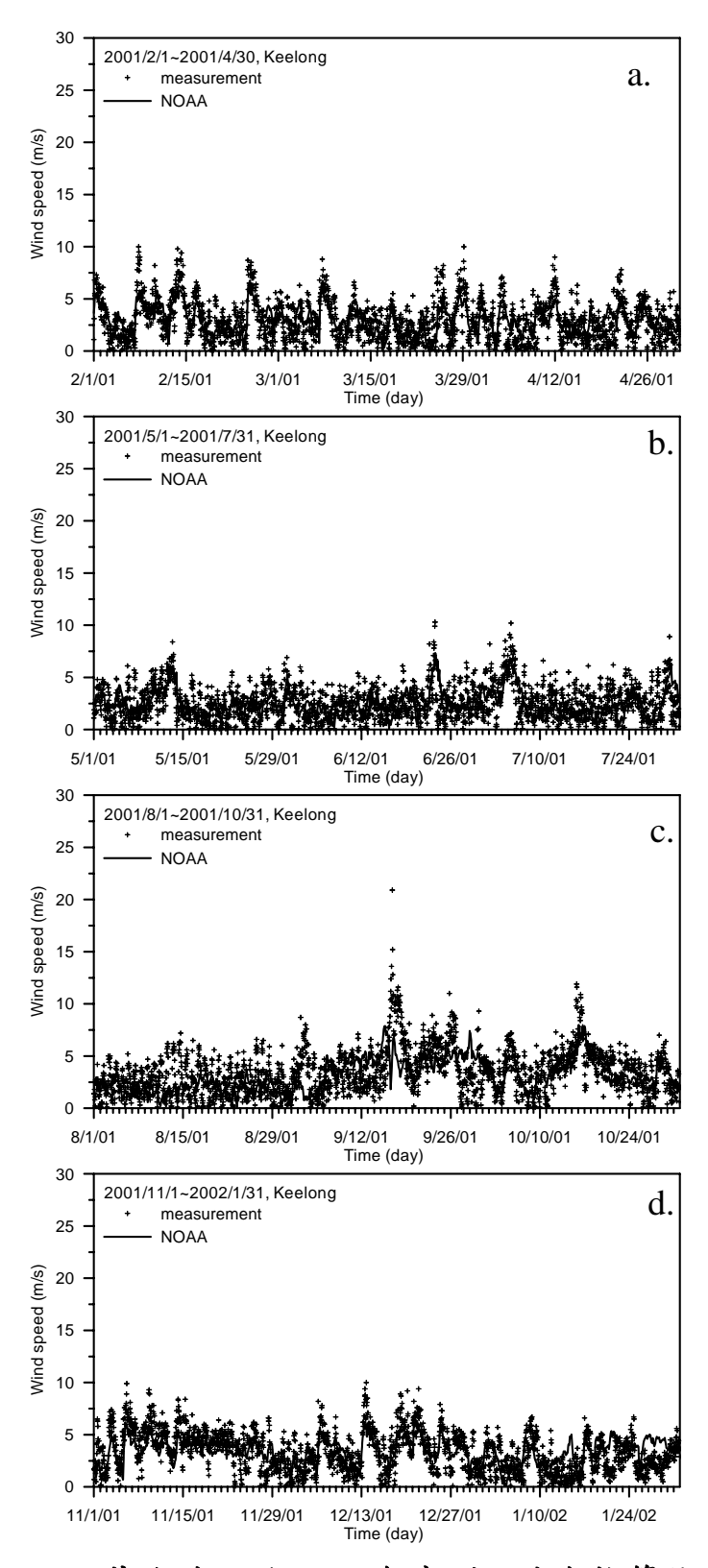


圖 5.2-10 基隆港附近 2001 年實測風速與推算值之比較圖 (a.春季、b.夏季、c.秋季、d.冬季)

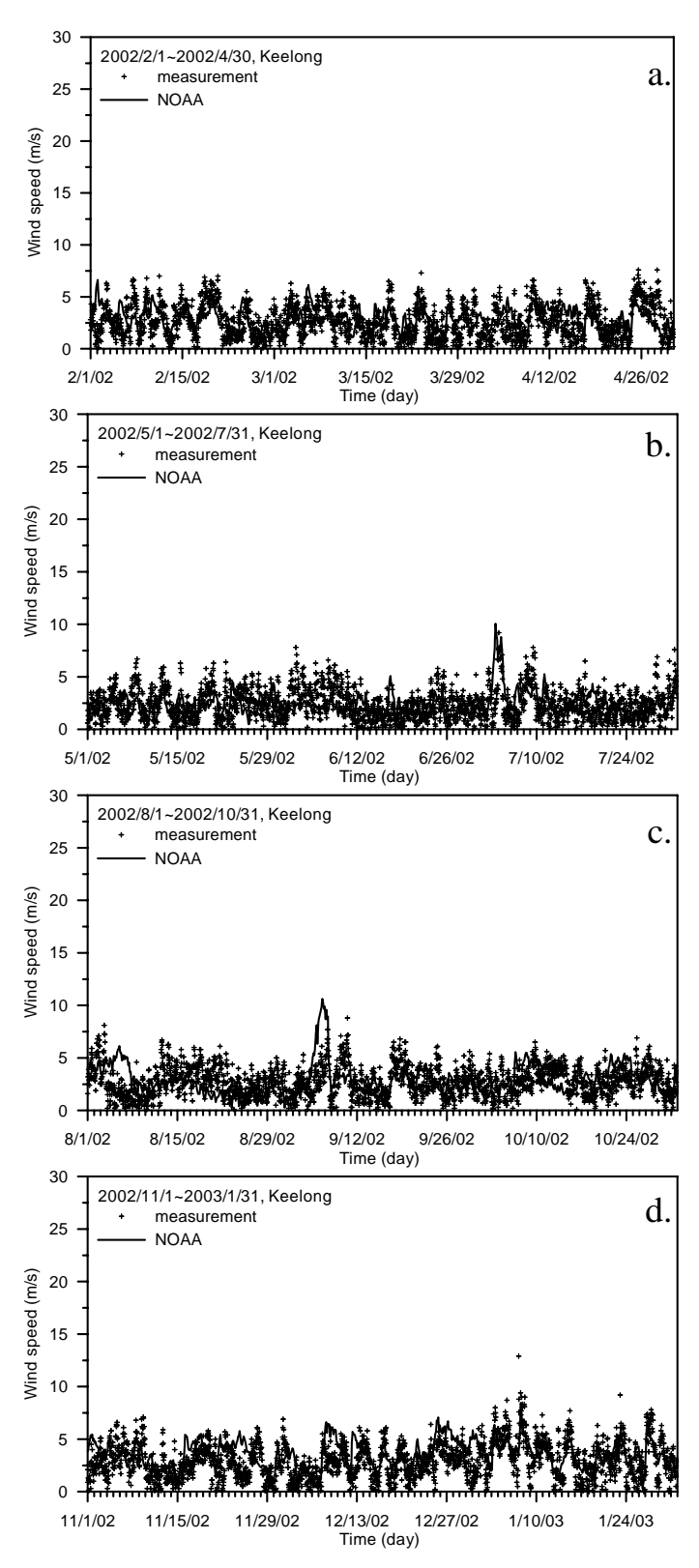


圖 5.2-11 基隆港附近 2002 年實測風速與推算值之比較圖 (a.春季、b.夏季、c.秋季、d.冬季)

圖 5.2-12 及圖 5.2-13 分別為 2001 年、2002 年蘇澳港附近海域風速實測資料與推算值之比較圖,蘇澳港受到中度桃芝颱風之侵襲,在2001 年 7 月 30 日 7 時發生最大風速為 14.9 m/s。依時間特性之統計分析,如表 5.2-5 所示,實測風速最大平均值發生在 2001 年冬季,約為3.01 m/s,NOAA 大氣模式模擬平均風速約為 4.53 m/s,實測風速與推算值之相關係數為 0.37、絕對誤差為 2.00 m。蘇澳港位於台灣東北部,年平均風速為 2.71 m/s。

表 5.2-5 蘇澳港附近海域風速實測資料與推算值之比較統計表

月份	參數	實測平均	NOAA 大氣模式	相關係數	絕對誤差
	2001年春季	2.65	4.06	0.27	1.96
	2001 年 夏季	2.73	3.35	0.43	1.76
	2001 年 秋季	2.83	4.11	0.35	2.11
風	2001 年 冬季	3.01	4.53	0.37	1.99
速	2001 年 春季	2.64	3.63	0.16	2.69
	2001 年 夏季	2.27	3.20	0.20	1.91
	2001 年 秋季	2.76	3.83	0.26	1.92
	2001 年 冬季	2.77	4.69	0.40	2.23

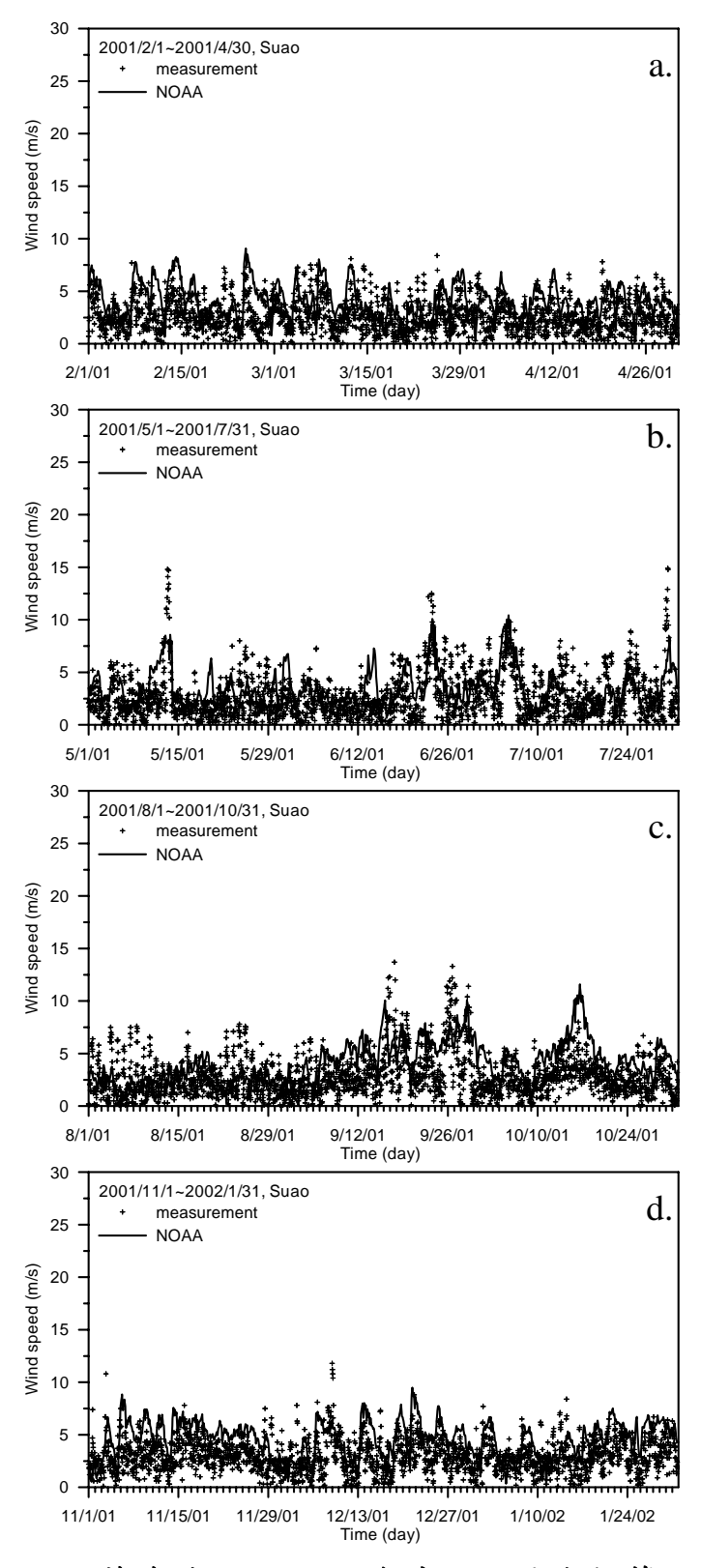


圖 5.2-12 蘇澳港附近 2001 年實測風速與推算值之比較圖 (a.春季、b.夏季、c.秋季、d.冬季)

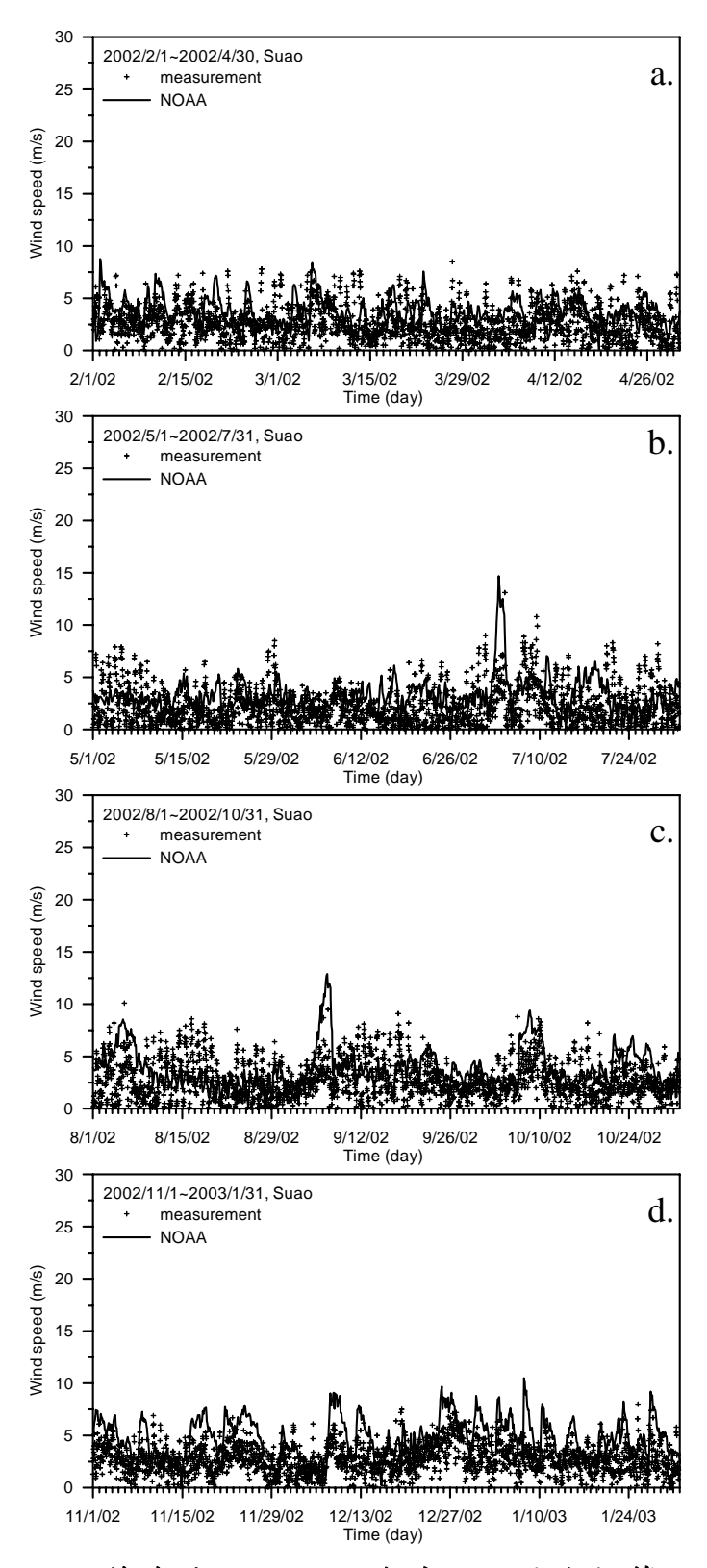


圖 5.2-13 蘇澳港附近 2002 年實測風速與推算值之比較圖 (a.春季、b.夏季、c.秋季、d.冬季)

圖 5.2-14 及圖 5.2-15 分別為 2001 年、2002 年台北港附近海域風速實測資料與推算值之比較圖,台北港受到中度納莉颱風之侵襲,在2001 年 9 月 16 日 23 時發生最大風速為 22.07 m/s。依時間特性之統計分析,如表 5.2-6 所示,實測風速最大平均值發生在 2001 年冬季,約為 7.56 m/s,NOAA 大氣模式模擬平均風速約為 1.52 m/s,實測風速與推算值之相關係數為 0.78、絕對誤差為 6.07 m。台北港之地理位置與基隆港相近,由於地勢較低,受到東北季風直接影響,導致年平均風速 6.33 m/s。

綜合以上風場實測資料與 NOAA 大氣模式比較結果可知,可將以上六個測站分成三組,相關係數由優至劣排列分別為(1)台北、安平;(2)基隆、花蓮;(3)蘇澳、高雄,若將這三組位置對照至圖 5.2-3 可看出在緯度解析度 1 度及經度解析度 1.25 度,第一組是最接近角隅點的位置,而最差的一組在方框的中心點,因此可研判出解析度的大小影響模式計算的準確性,而且實測風速資料變化較為快速,不若分析之風場資料變化較為平緩,但大致上仍可表現出風速變化趨勢。若能獲得更高解析度的大氣資料,計算結果正確性會更好。故利用此風場資料所推算出之風浪變化,若不考慮風浪模式本身之精確度所導致之誤差,此風場模式仍可應用於台灣附近遠域波浪推算。

表 5.2-6 台北港附近海域風速實測資料與推算值之比較統計表

月份	參數	實測平均	NOAA 大氣模式	相關係數	絕對誤差
風速	2001 年春季	6.48	1.34	0.77	5.21
	2001 年夏季	5.05	1.08	0.53	4.04
	2001 年秋季	6.69	1.45	0.69	5.29
	2001 年冬季	7.56	1.52	0.78	6.07
	2001 年春季	6.09	1.31	0.70	4.84
	2001 年夏季	5.42	1.28	0.53	4.23
	2001 年秋季	5.88	1.32	0.62	4.63
	2001 年冬季	7.44	1.59	0.71	5.87

註:風速 (公尺/秒)

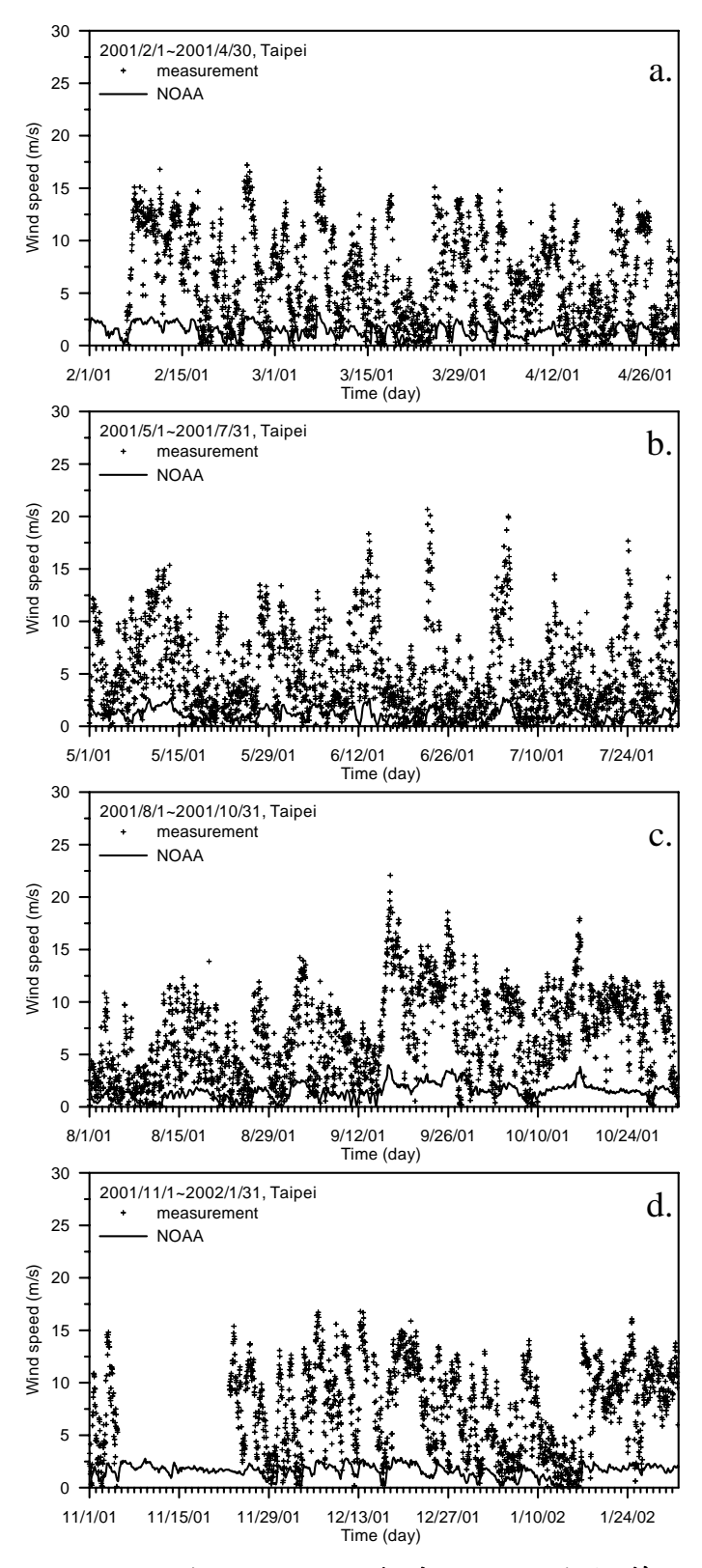


圖 5.2-14 台北港附近 2001 年實測風速與推算值之比較圖 (a.春季、b.夏季、c.秋季、d.冬季)

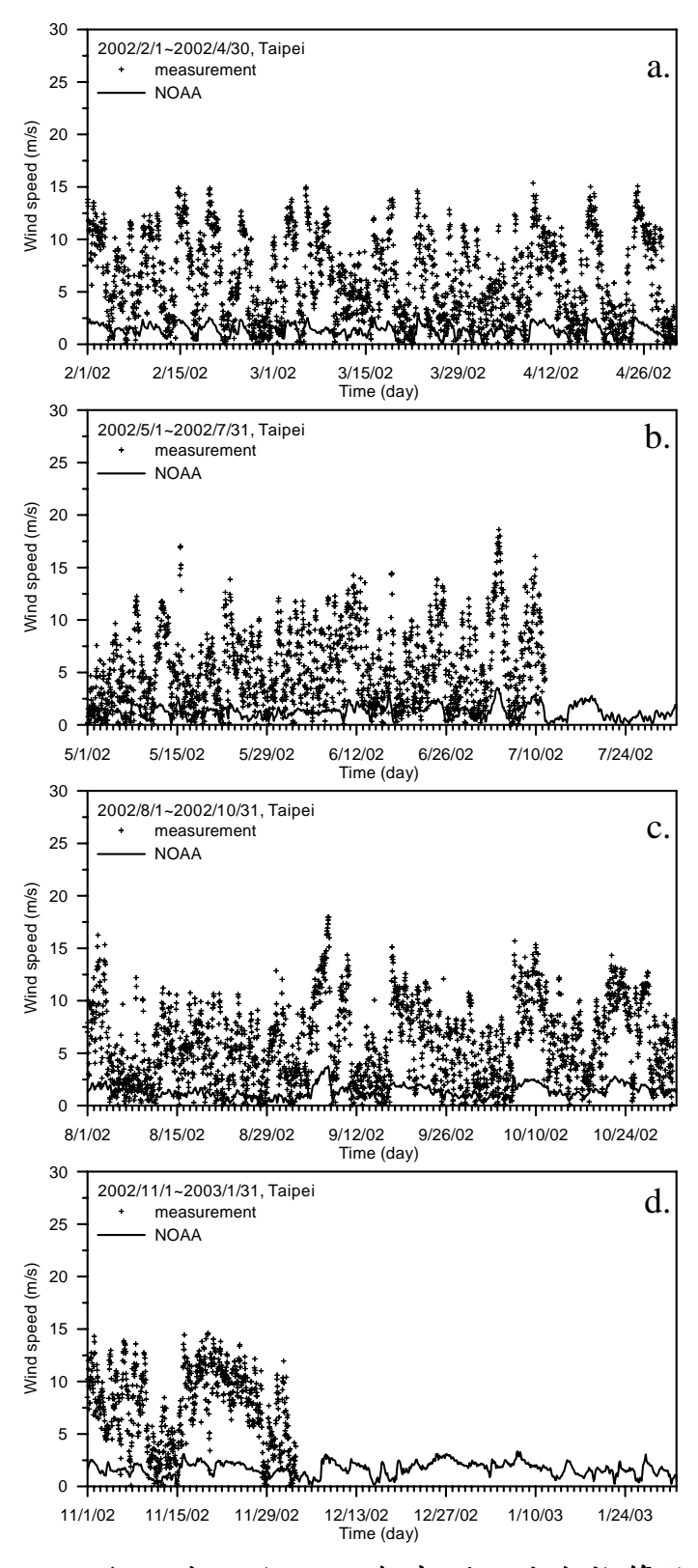


圖 5.2-15 台北港附近 2002 年實測風速與推算值之比較圖 (a.春季、b.夏季、c.秋季、d.冬季)

5.2.2 環島藍色公路海域長期波浪推算結果特性

由於週休二日制度之實施,每逢例假日均出現車潮、人潮,造成各旅遊郊區擁擠不堪,不但影響民眾休閒旅遊的品質,也無法提升國內觀光事業之發展。為改善國人休閒旅遊之缺點,政府藉由台灣四面環海,海洋資源豐富之優勢,推動兼具休閒、交通、娛樂及文化保育之「藍色公路」構想,增加國人旅遊休閒的選擇性;此外還可改善沿海漁業資源日漸枯竭情況,將傳統漁業轉型,發展海上觀光,亦可間接紓解陸上將交通問題;藍色公路的優點還不僅於此,還可增加就業人數地區、促進地方經濟繁榮、提升地區之觀光價值,進而打開台灣在國際上的知名度。

藍色公路除了規劃具有海洋觀光特性之航線外,旅遊的舒適便利 更是能延續海上觀光之發展。藍色公路以船隻為交通工具,大多使用 娛樂漁船或遊艇,海上波浪甚大會導致船身晃動,遊客容易發生身體 不適,降低民眾海洋旅遊之意願。依據觀光局的統計資料,東港至小 琉球、台東至綠島這兩條航線每年乘坐人數約有 40 萬~50 萬,是目前 較具有發展空間的藍色公路航線,為了分析台灣環島藍色公路海域長 期波浪推算之特性,選擇台東綠島、屏東鵝鸞鼻及澎湖馬公三個區域 進行模擬,以有助海洋觀光航線之發展。

圖 5.2-16 至圖 5.2-19 分別為 2001 年、2002 年台東綠島附近海域實測示性波高、週期與模式推算值之比較圖,從圖中可看出綠島受到颱風影響較大的分別有 2001 年之西馬隆 (5月)、奇比 (6月)、尤特 (7月) 及潭美 (7月) 與 2002 年的雷馬遜颱風 (7月),其中 2001 年的尤特 (7/4) 與潭美颱風 (7/11) 接踵而來,且均在台灣東南方海面上形成,分別朝西北西、西北方向前進,直接影響台灣東、南部沿海地區,導致綠島附近海域的波高起伏最為劇烈,WAM 與 SWAN 模式計算出的示性波高與週期分別為 5.9 m、7.7 m 與 11.8 sec、13.0 sec。

圖 5.2-20 至圖 5.2-23 分別為 2001 年、2002 年屏東鵝鸞鼻附近海域實測示性波高、週期與模式推算值之比較圖,由於鵝鸞鼻的地理位

置與綠島相近,對於相同路徑的颱風所造成的影響亦大致相同,由圖中可以發現,鵝鸞鼻附近海域的波浪特性與綠島相似,在 2001 年的 7月上旬的颱風波浪較強,根據實測波浪數據得知最大示性波高為 7.1 m,而 WAM 與 SWAN 模式計算出的示性波高分別是 6.7 m 及 9.3 m。圖 5.2-24 至圖 5.2-27 分別為 2001 年、2002 年澎湖馬公附近海域實測示性波高、週期與模式推算值之比較圖,從圖中可看出 WAM 與 SWAN 模式計算出的最大的颱風示性波高分別是 5.0 m 及 6.2m。

接著依時間特性統計台東綠島、屏東鵝鸞鼻及澎湖馬公附近海域模式推算值,分別如表 5.2-7 至 5-2-9 所示,從表中可看出三個地區之風速均以冬季最大夏季最小,台東綠島冬季平均風速為 3.59 m/s、夏季為 2.24 m/s、全年平均風速為 2.80m/s,WAM 模式推算綠島冬季平均波高是 1.25 m、夏季為 0.82 m、年平均值為 1.0 m,SWAN 模式之推算值較 WAM 模式大,依序分別是 1.95 m、1.23 m 及 1.55 m。

至於屏東鵝鸞鼻的冬季平均風速為 8.28 m/s、夏季為 5.39 m/s、全年平均風速為 6.56 m/s,WAM 模式推算綠島冬季平均波高是 1.56 m、夏季為 1.08 m、年平均值為 1.25 m,SWAN 模式之推算值較 WAM 模式大,依序分別是 2.41 m、1.58 m 及 1.90 m。澎湖馬公雖然在風速方面也是冬季最大夏季最小,但是波高平均值卻是春季最小,冬季、春季與年平均波高以 WAM 計算後分別為 1.13 m、0.81 m 及 0.97 m,而 SWAN 則是 1.14 m、0.88 m 與 1.05 m。整體來說 SWAN 在波高計算值較 WAM 稍微大,而週期則大致相同,以鵝鸞鼻測站來對模式作比較可知,模式在波高與週期趨勢上尚稱合理,唯獨在冬季時分差距較大。

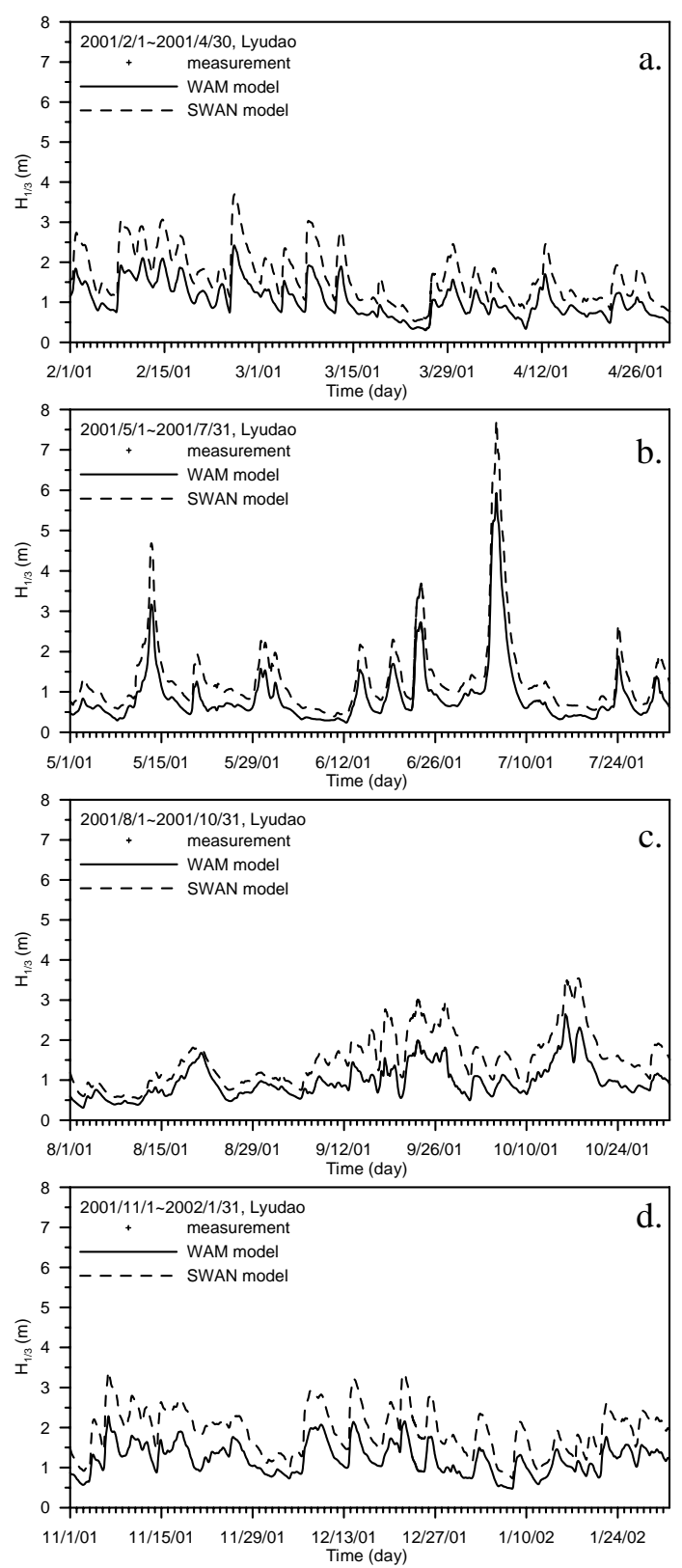


圖 5.2-16 台東綠島附近 2001 年實測示性波高與推算值之比較圖 (a.春季、b.夏季、c.秋季、d.冬季)

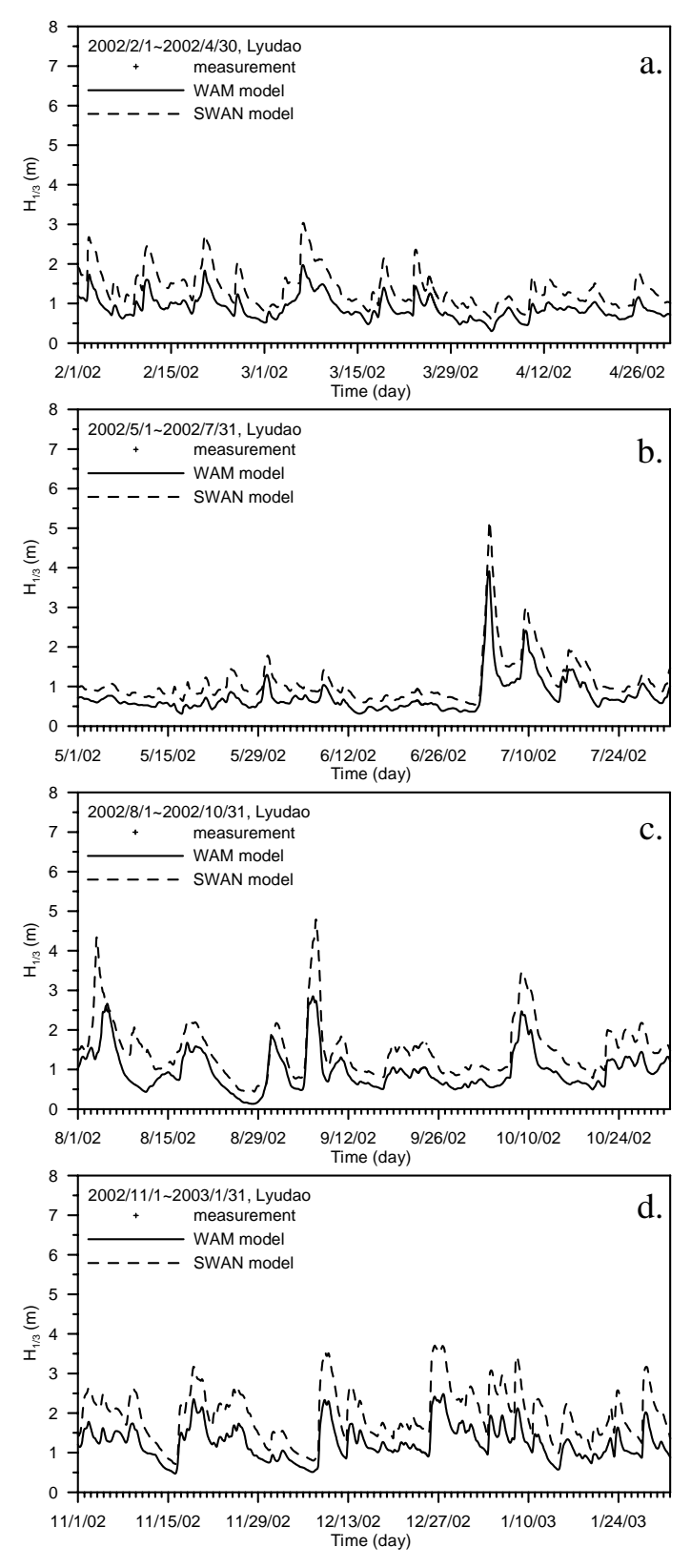


圖 5.2-17 台東綠島附近 2002 年實測示性波高與推算值之比較圖 (a.春季、b.夏季、c.秋季、d.冬季)

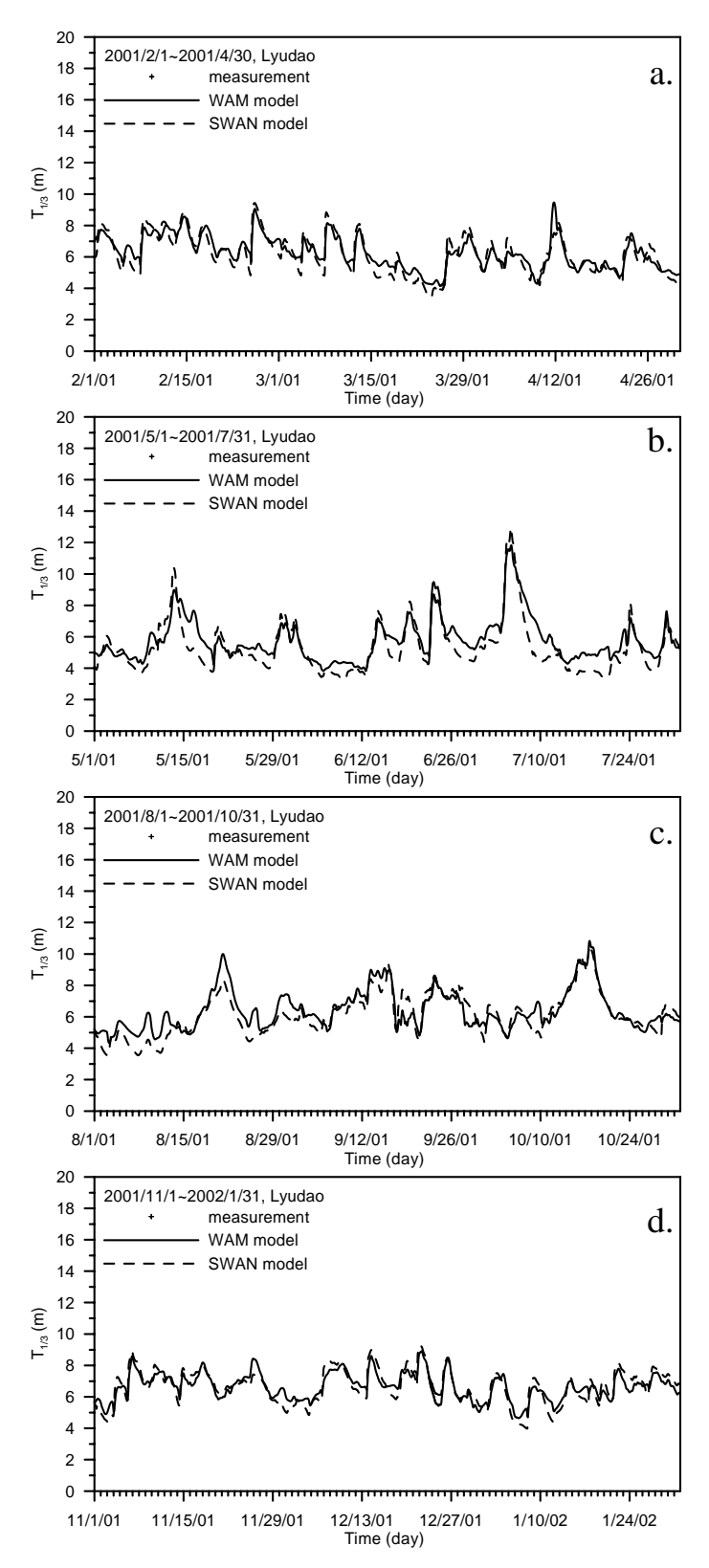


圖 5.2-18 台東綠島附近 2001 年實測示性週期與推算值之比較圖 (a.春季、b.夏季、c.秋季、d.冬季)

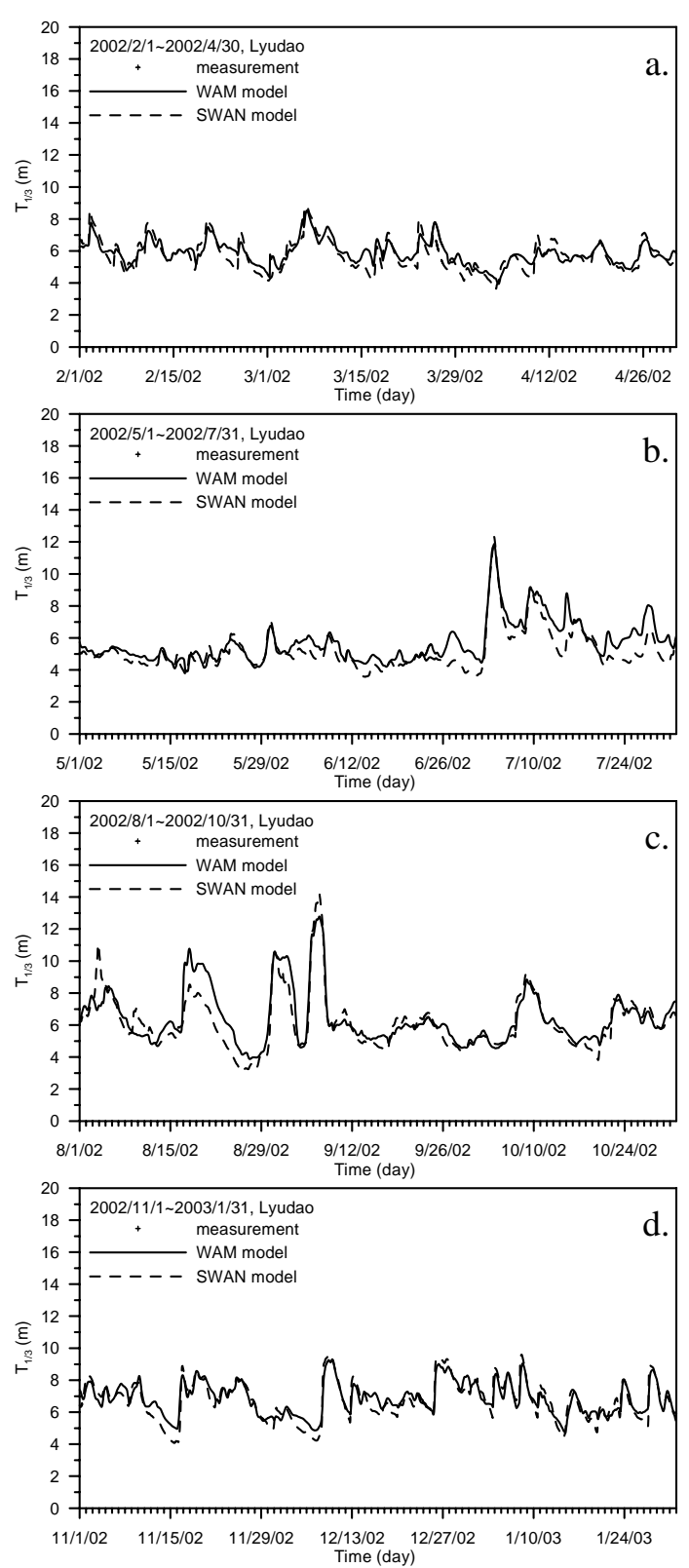


圖 5.2-19 台東綠島附近 2002 年實測示性週期與推算值之比較圖 (a.春季、b.夏季、c.秋季、d.冬季)

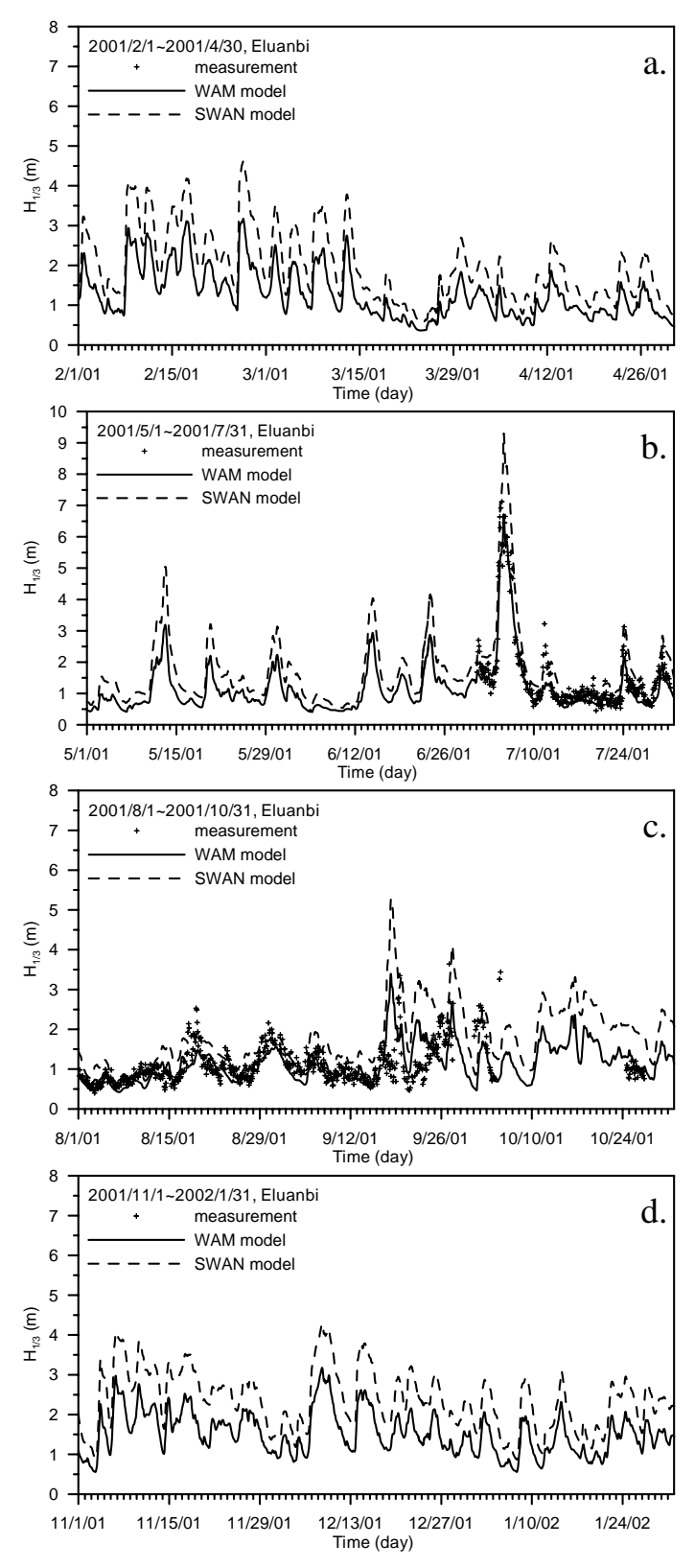


圖 5.2-20 屏東鵝鸞鼻附近 2001 年實測示性波高與推算值 之比較圖 (a.春季、b.夏季、c.秋季、d.冬季)

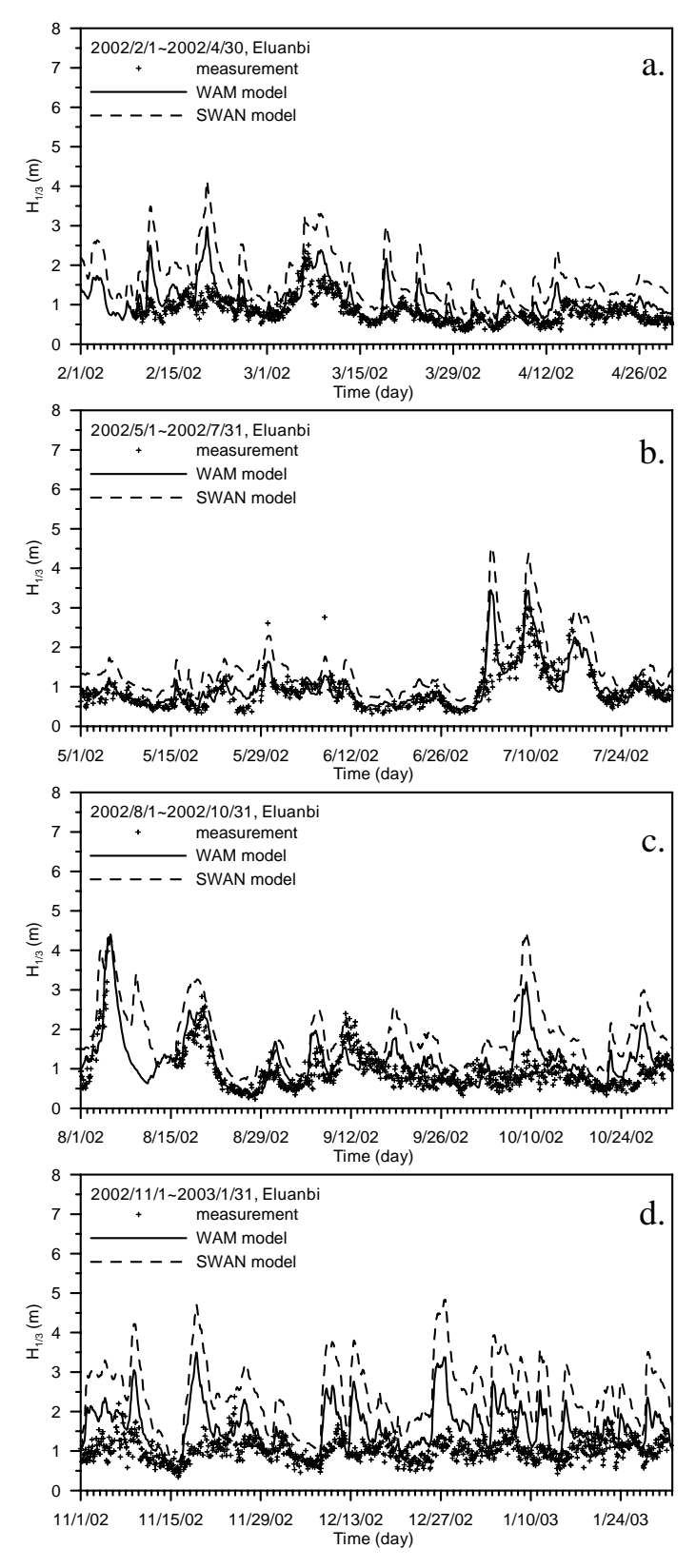


圖 5.2-21 屏東鵝鸞鼻附近 2002 年實測示性波高與推算值 之比較圖 (a.春季、b.夏季、c.秋季、d.冬季)

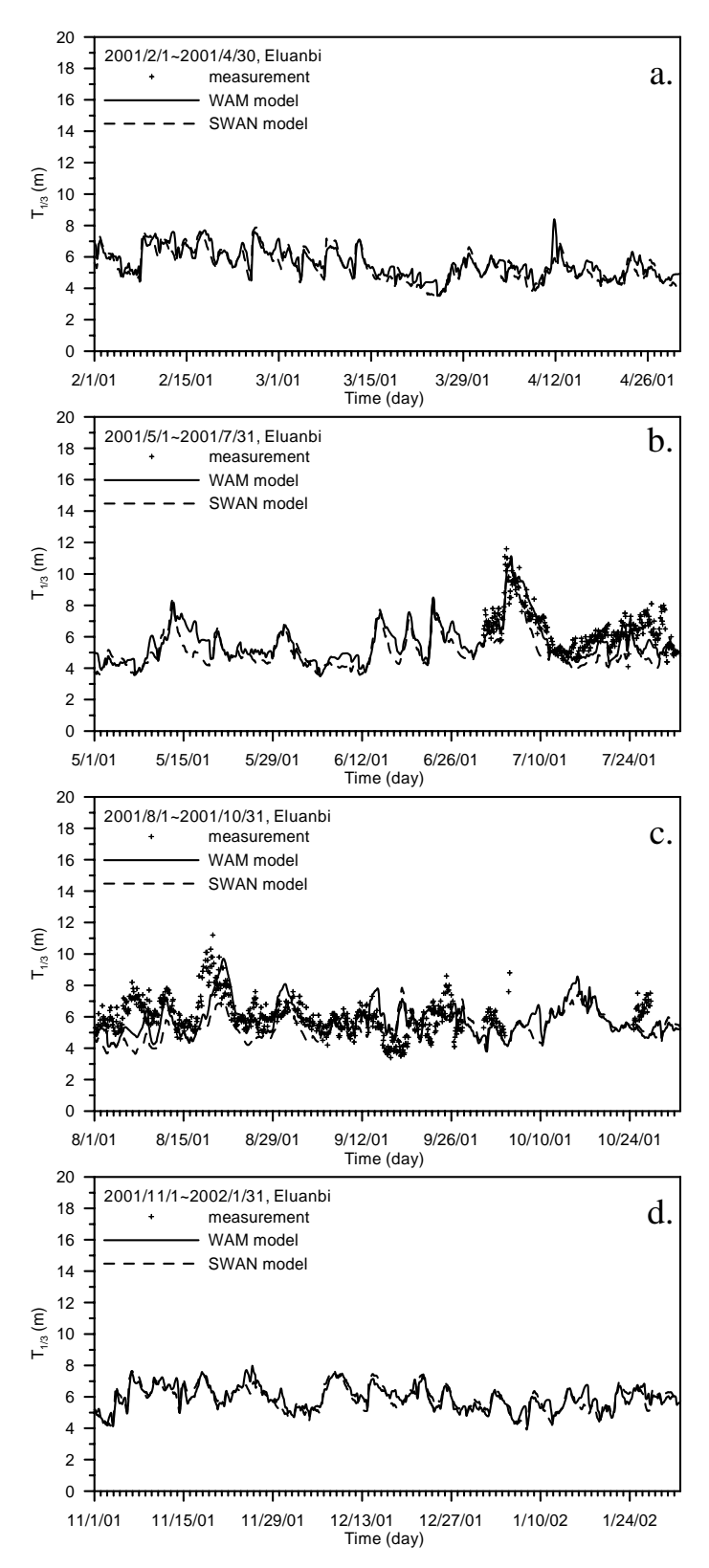


圖 5.2-22 屏東鵝鸞鼻附近 2001 年實測示性週期與推算值 之比較圖 (a.春季、b.夏季、c.秋季、d.冬季)

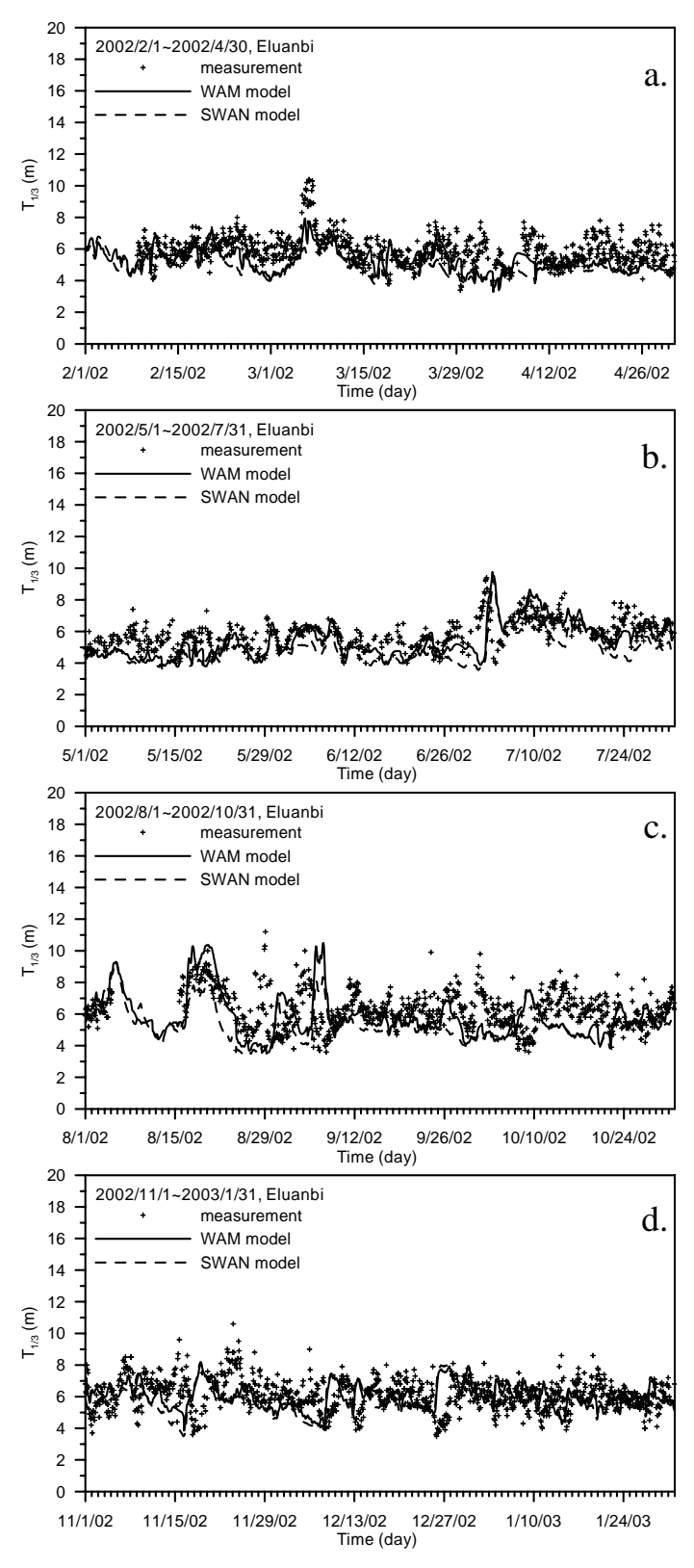


圖 5.2-23 屏東鵝鸞鼻附近 2002 年實測示性週期與推算值 之比較圖 (a.春季、b.夏季、c.秋季、d.冬季)

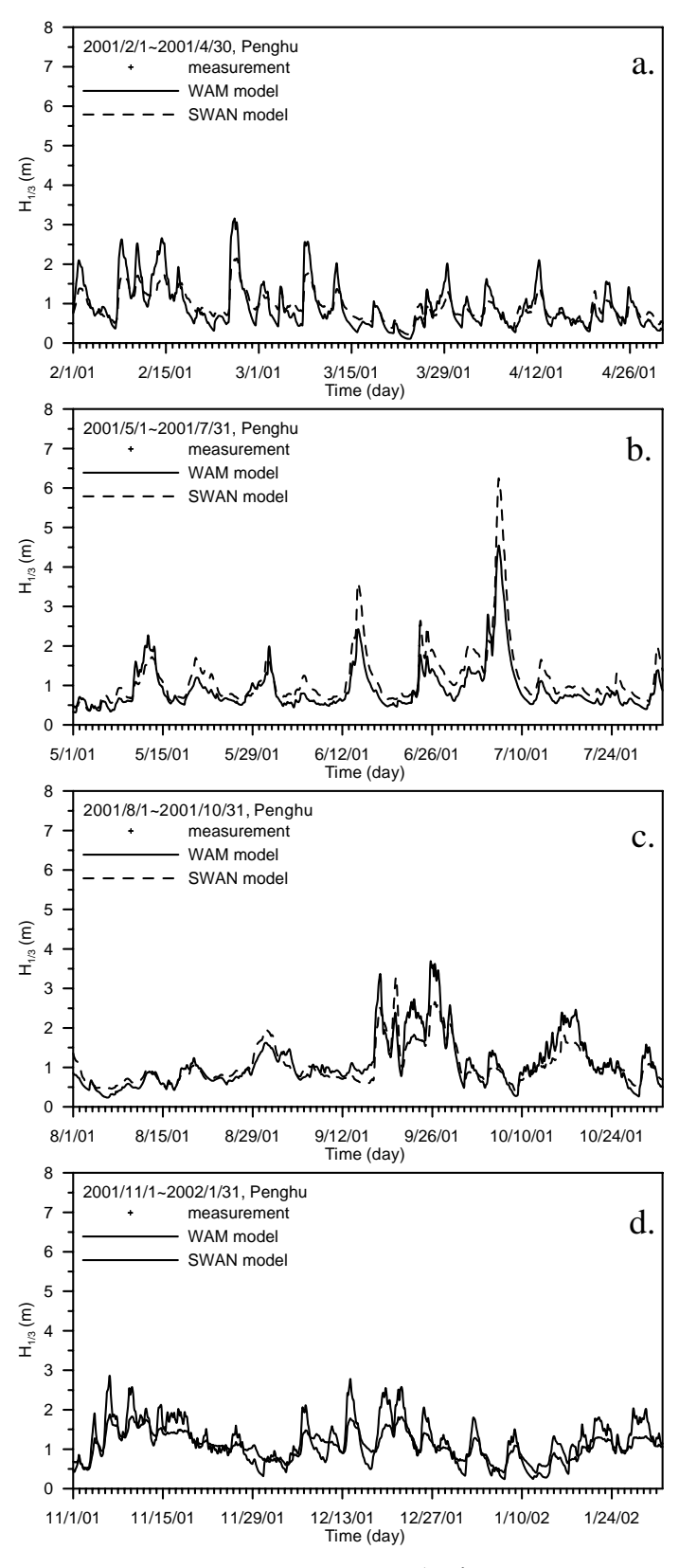


圖 5.2-24 澎湖馬公附近 2001 年實測示性波高與推算值 之比較圖 (a.春季、b.夏季、c.秋季、d.冬季)

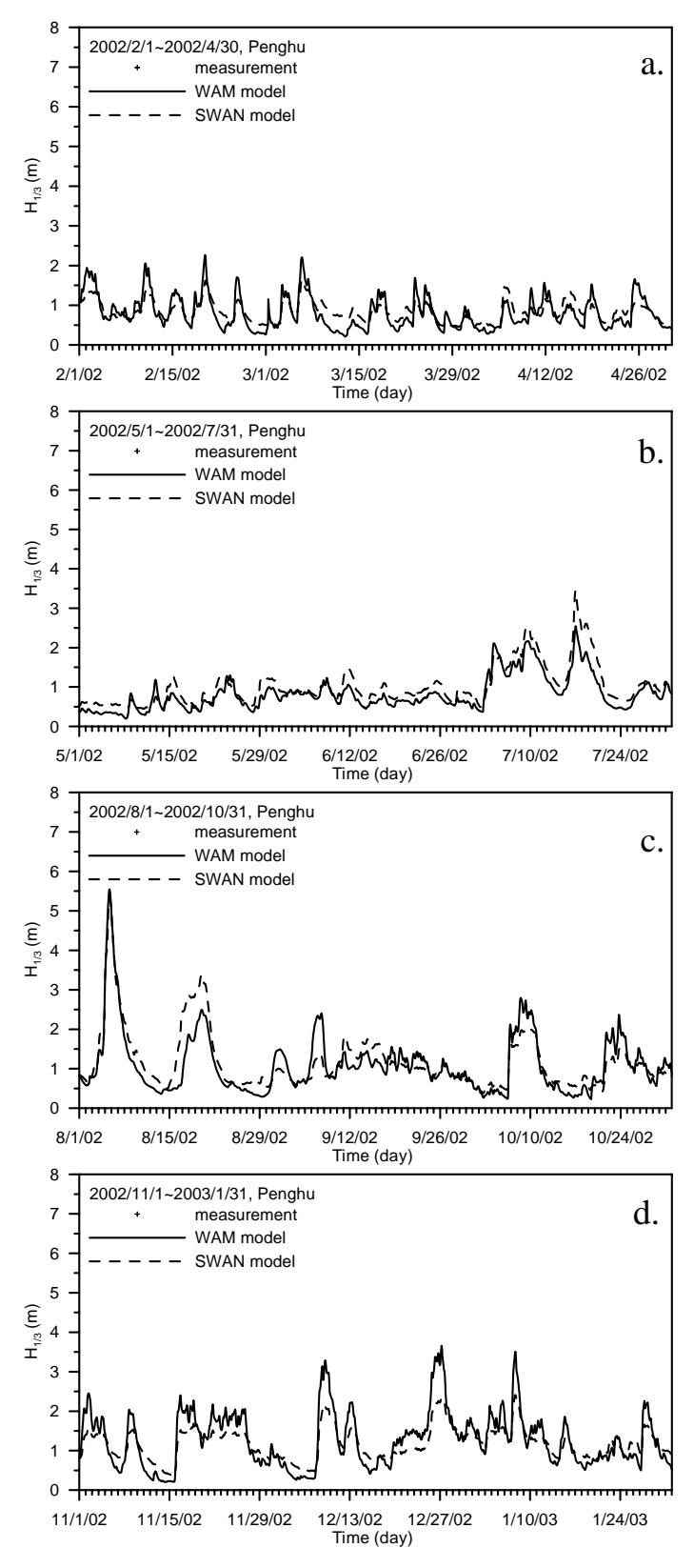


圖 5.2-25 澎湖馬公附近 2002 年實測示性波高與推算值 之比較圖 (a.春季、b.夏季、c.秋季、d.冬季)

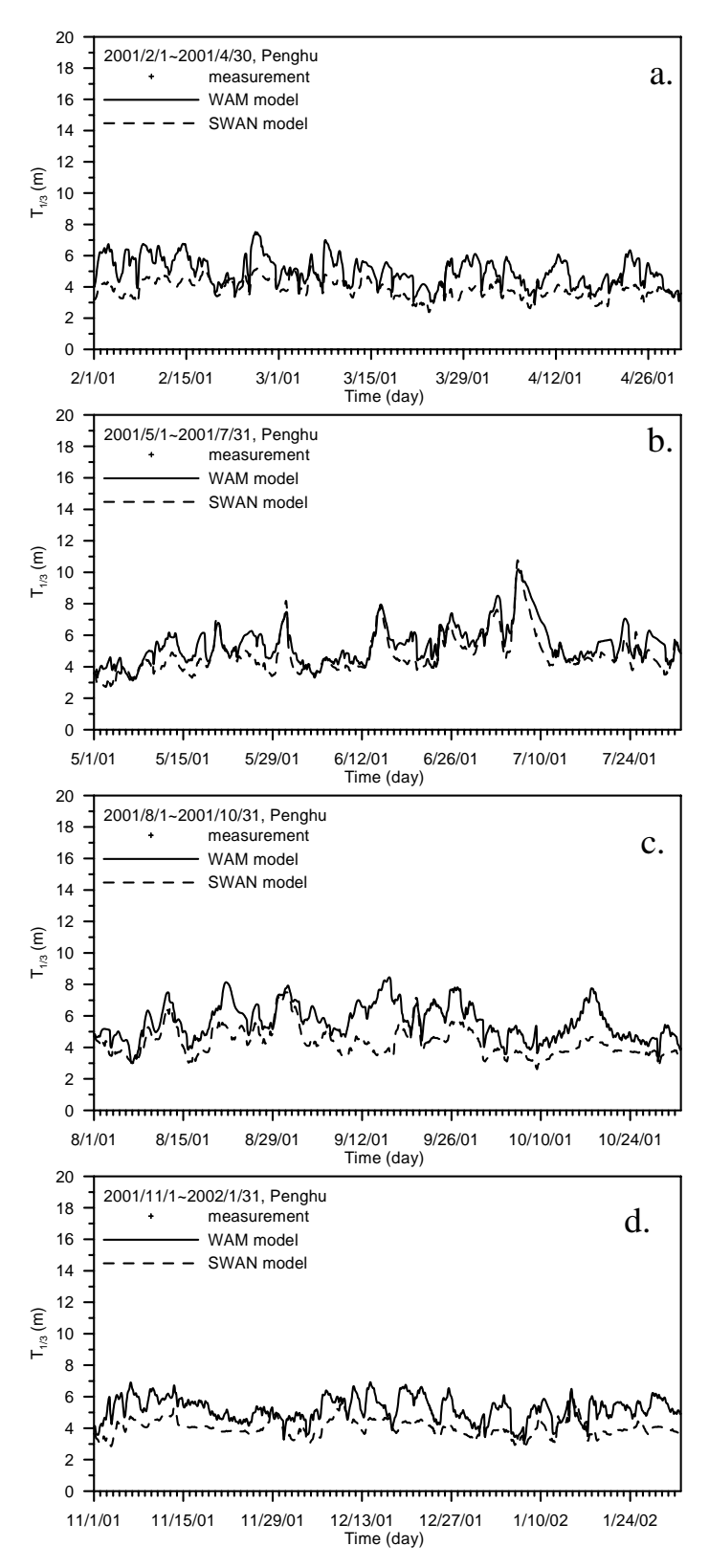


圖 5.2-26 澎湖馬公附近 2001 年實測示性週期與推算值 之比較圖 (a.春季、b.夏季、c.秋季、d.冬季)

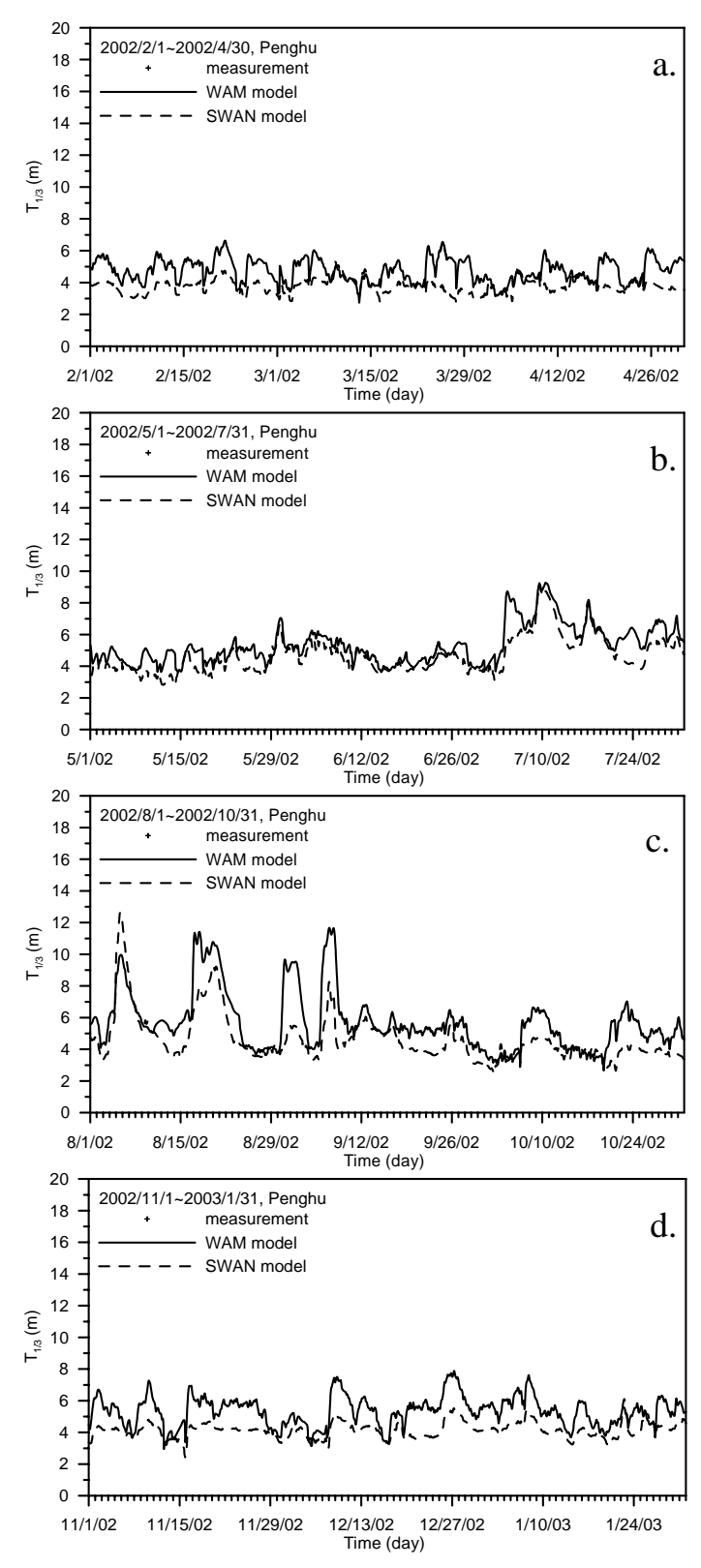


圖 5.2-27 澎湖馬公附近 2002 年實測示性週期與推算值 之比較圖 (a.春季、b.夏季、c.秋季、d.冬季)

表 5.2-7 台東綠島附近海域模式推算值之統計表

參數	NOAA 大氣模式 模擬風速平均	遠域風浪模式模擬平均		近岸風浪模式模擬平均	
月份		示性波高	示性週期	示性波高	示性週期
2001 年 春季	2.96	1.05	6.24	1.63	6.14
2001 年 夏季	2.36	0.89	5.77	1.34	5.32
2001 年 秋季	2.67	0.98	6.41	1.53	6.15
2001 年 冬季	3.55	1.23	6.66	1.93	6.66
2001 年 春季	2.59	0.89	5.88	1.37	5.74
2001 年 夏季	2.11	0.75	5.68	1.11	5.18
2001 年 秋季	2.50	0.98	6.43	1.50	6.16
2001 年 冬季	3.63	1.26	6.85	1.97	6.75

註:風速 (公尺/秒)、示性波高 (公尺)、示性週期 (秒)

表 5.2-8 屏東鵝鸞鼻附近海域模式推算值之統計表

參數	NOAA 大氣模式 模擬風速平均	遠域風浪模式模擬平均		近岸風浪模式模擬平均	
月份		示性波高	示性週期	示性波高	示性週期
2001 年 春季	6.79	1.27	5.59	1.96	5.41
2001 年 夏季	5.71	1.17	5.59	1.73	5.15
2001 年 秋季	6.12	1.16	5.79	1.78	5.37
2001 年 冬季	8.09	1.53	5.96	2.37	5.91
2001 年 春季	6.17	1.07	5.27	1.65	5.07
2001 年 夏季	5.06	0.99	5.40	1.42	4.88
2001 年 秋季	6.07	1.21	5.86	1.81	5.38
2001 年 冬季	8.47	1.59	5.98	2.44	5.89

註:風速(公尺/秒)、示性波高(公尺)、示性週期(秒)

表 5.2-9 澎湖馬公附近海域模式推算值之統計表

多數月份	NOAA 大氣模式 模擬風速平均	遠域風浪模式模擬平均		近岸風浪模式模擬平均	
		示性波高	示性週期	示性波高	示性週期
2001 年 春季	5.02	0.86	4.95	0.91	3.88
2001 年 夏季	4.51	0.94	5.42	1.17	4.47
2001 年 秋季	5.20	1.02	5.55	1.04	4.33
2001 年 冬季	6.50	1.10	5.19	1.10	4.03
2001 年 春季	4.71	0.76	4.72	0.84	3.78
2001 年 夏季	4.04	0.83	5.33	1.01	4.65
2001 年 秋季	5.09	1.05	5.65	1.17	4.63
2001 年 冬季	6.51	1.16	5.29	1.17	4.13

註:風速(公尺/秒)、示性波高(公尺)、示性週期(秒)

5.2.3 台灣7個商港長期波浪推算結果特性

本節針對台灣 7 個商港在經過長達兩年波浪推算後,分別將實測資料與遠域模式及近岸模式之結果作一比較,圖 5.2-28 至圖 5.2-55 分別為 2001 年 2 月至 2003 年 1 月之安平、花蓮、高雄、基隆、蘇澳、台中與台北港附近海域之實測示性波高、週期與計算結果比較圖,圖中黑點為港灣技術研究中心之觀測值,黑線為 WAM 模式之推算結果,黑色虛線為 SWAN 之計算值。由圖中可知,在波高變化趨勢上大致能吻合實測資料,表示推算結果具有一定之合理性,但在波高變化劇烈處,如出現局部最大波高處,模式計算準確性降低,推估其原因應與風浪模式之參數有關,仍需大量實測資料作模式參數上之調整,另外與風場資料解析度過低亦有所關聯。由於風場資料解析度約為 1 度,相對於台灣海域地形與海岸線多變化有偏低之慮,但大致上而言

仍可推算出正確之風浪變化趨勢。在週期方面的推算可模擬出週期變 化的趨勢,在長週期波浪出現時亦可合理的推算,表示模式在風浪的 推算方面可合理的表現出各港區外海波浪的變化。

為了更近一步了解實測資料與模式推算結果之關係,分析各季節之實測與模式結果之個別平均值、相關係數與絕對誤差,統計如表5.2-10 至表5.2-15 中所示。由表中可知,除了台中港資料短缺外,計算其餘六大港之波高之相關係數平均值,遠域模式及近岸模式均為0.77、以安平港最低,基隆港最高,絕對誤差平均值(絕對誤差/實測值)則分別為0.35、0.48,以台北港最高,花蓮港最低。以台北港為例,其相關係數為0.83,但絕對誤差則高達0.62,參照實測與模擬之比較圖形,由於局部最大值在模擬結果皆有偏低現象,導致絕對誤差偏大但相關係數仍高的現象。

在週期模擬方面,遠域及近域模式之相關係數皆有偏低現象其平均值分別為 0.50 及 0.42,絕對誤差則為 0.17、0.22,表示週期推算平均誤差約 2 成左右。綜合以上可知,風浪模式模擬時,風場之準確性佔較大因素,若能獲得更正確的風場相信計算結果會更佳,另外由於受限模式格網大小,各站所輸出的位置可能無法與實際觀測站位置吻合,兩者水深若有差異計算時可能就會有誤差了,通常模式輸出點的水深較深,因此推算值就會稍微大些。但是整體波浪的趨勢尚能合理模擬。

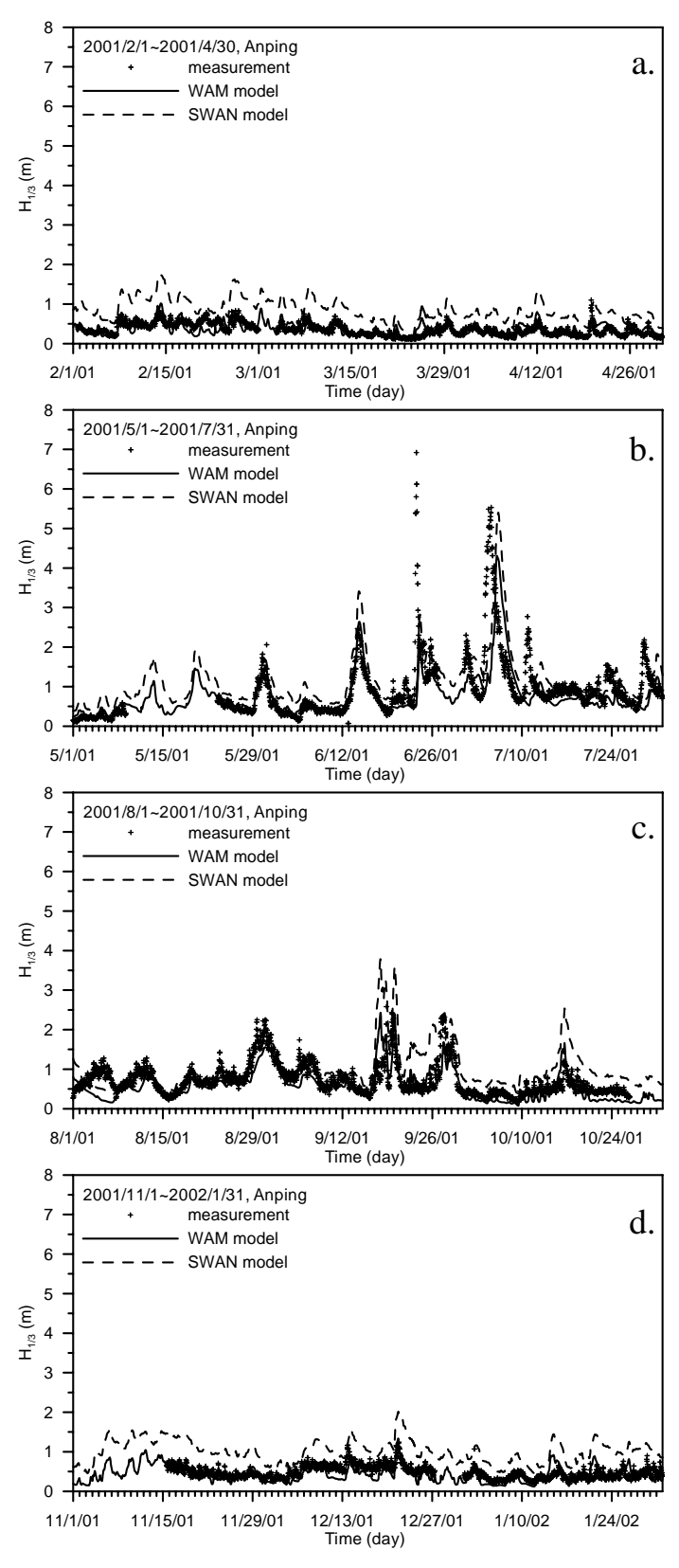


圖 5.2-28 安平港附近 2001 年實測示性波高與推算值 之比較圖 (a.春季、b.夏季、c.秋季、d.冬季)

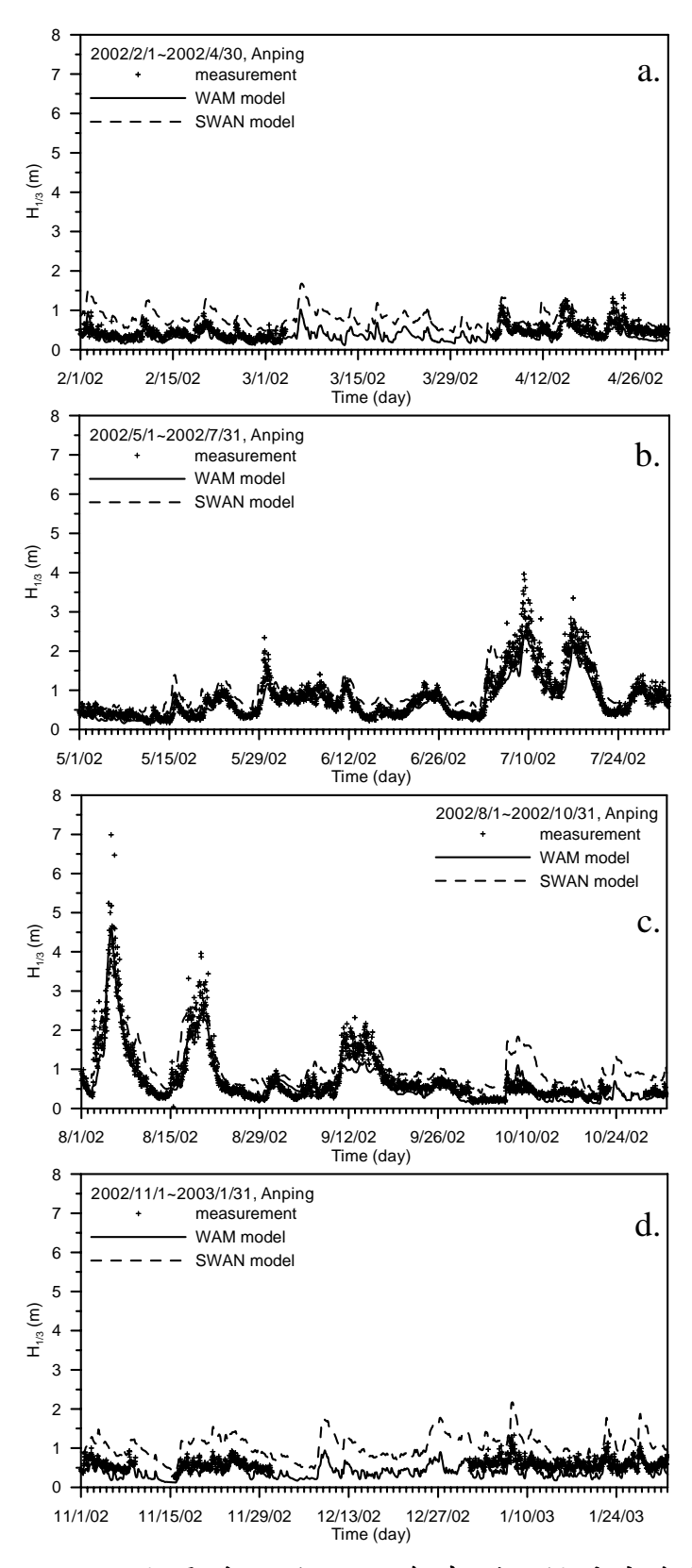


圖 5.2-29 安平港附近 2002 年實測示性波高與推算值 之比較圖 (a.春季、b.夏季、c.秋季、d.冬季)

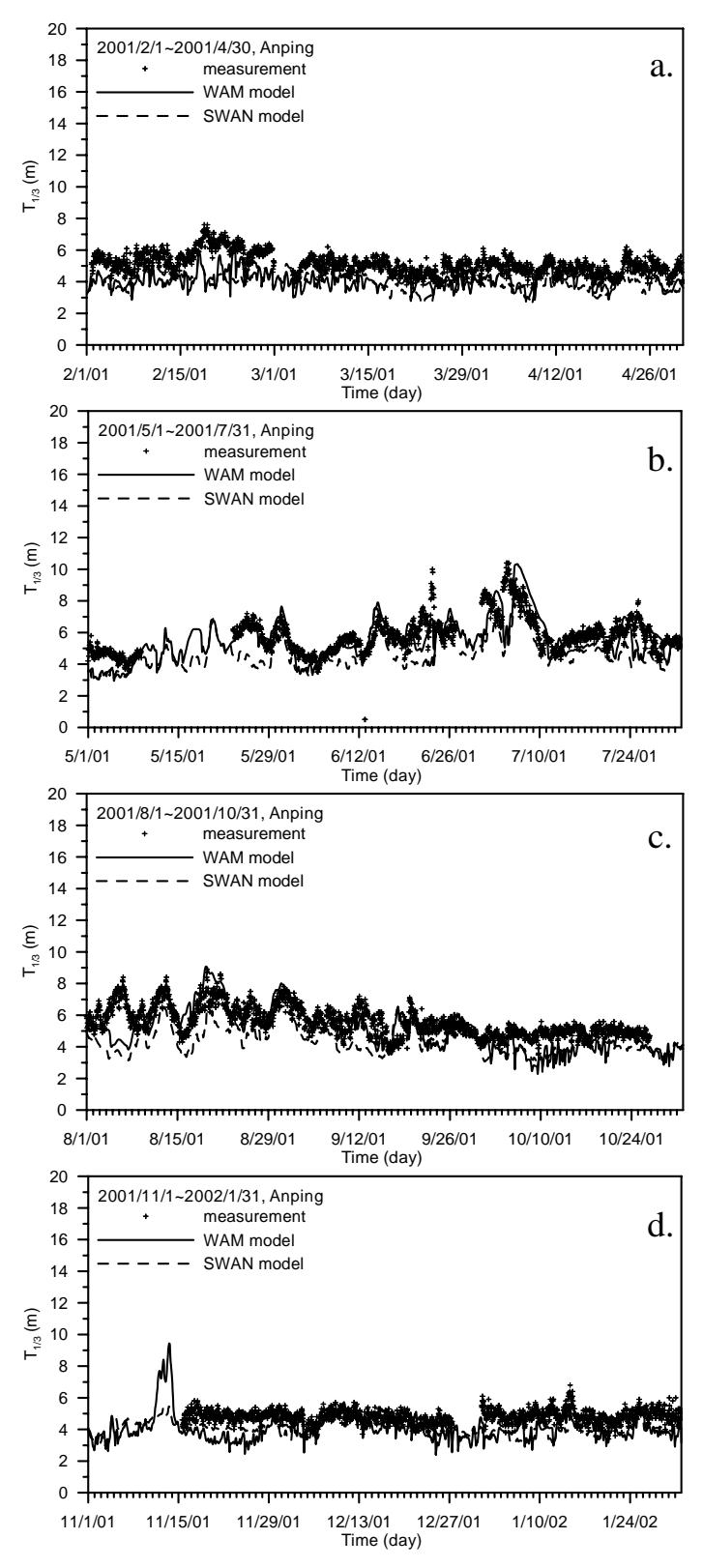


圖 5.2-30 安平港附近 2001 年實測示性週期與推算值 之比較圖 (a.春季、b.夏季、c.秋季、d.冬季)

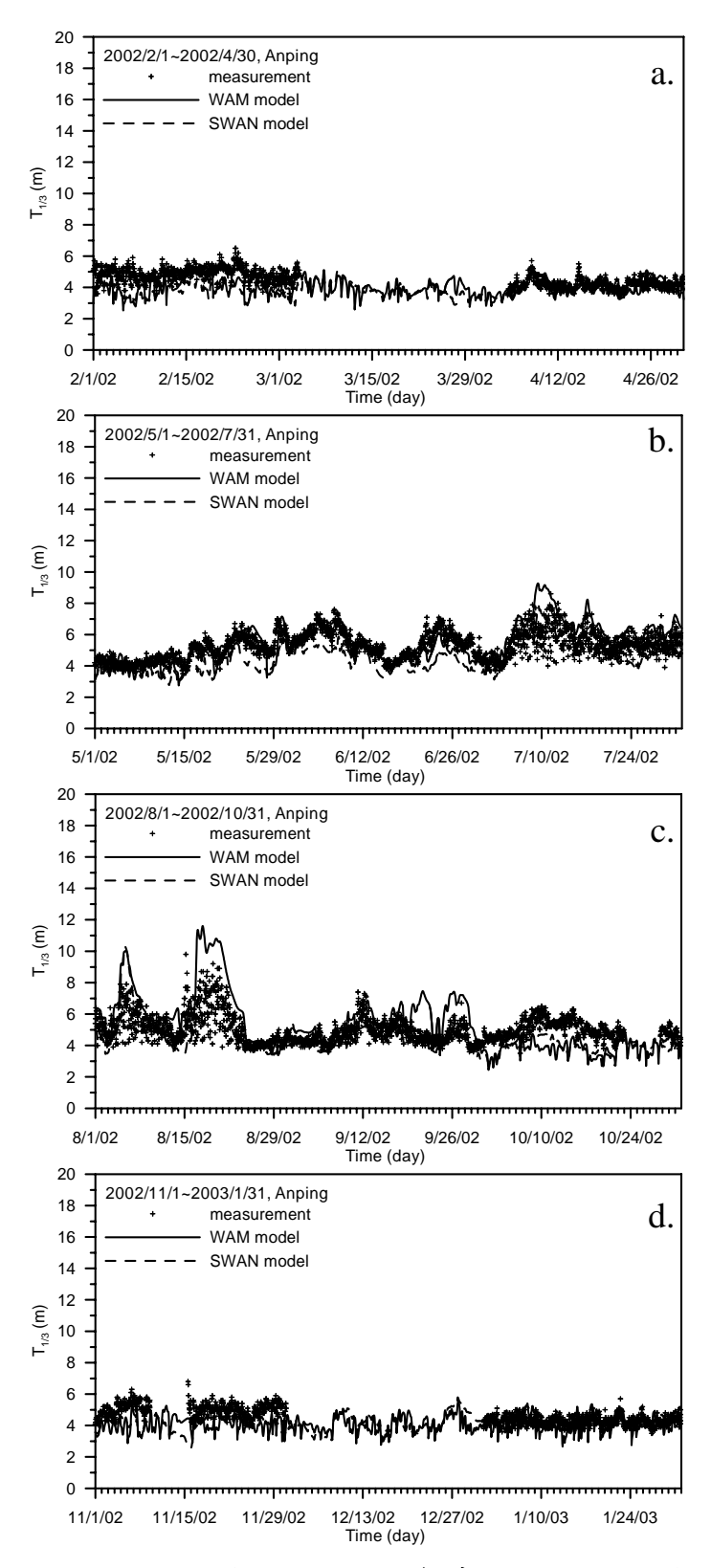


圖 5.2-31 安平港附近 2002 年實測示性週期與推算值 之比較圖 (a.春季、b.夏季、c.秋季、d.冬季)

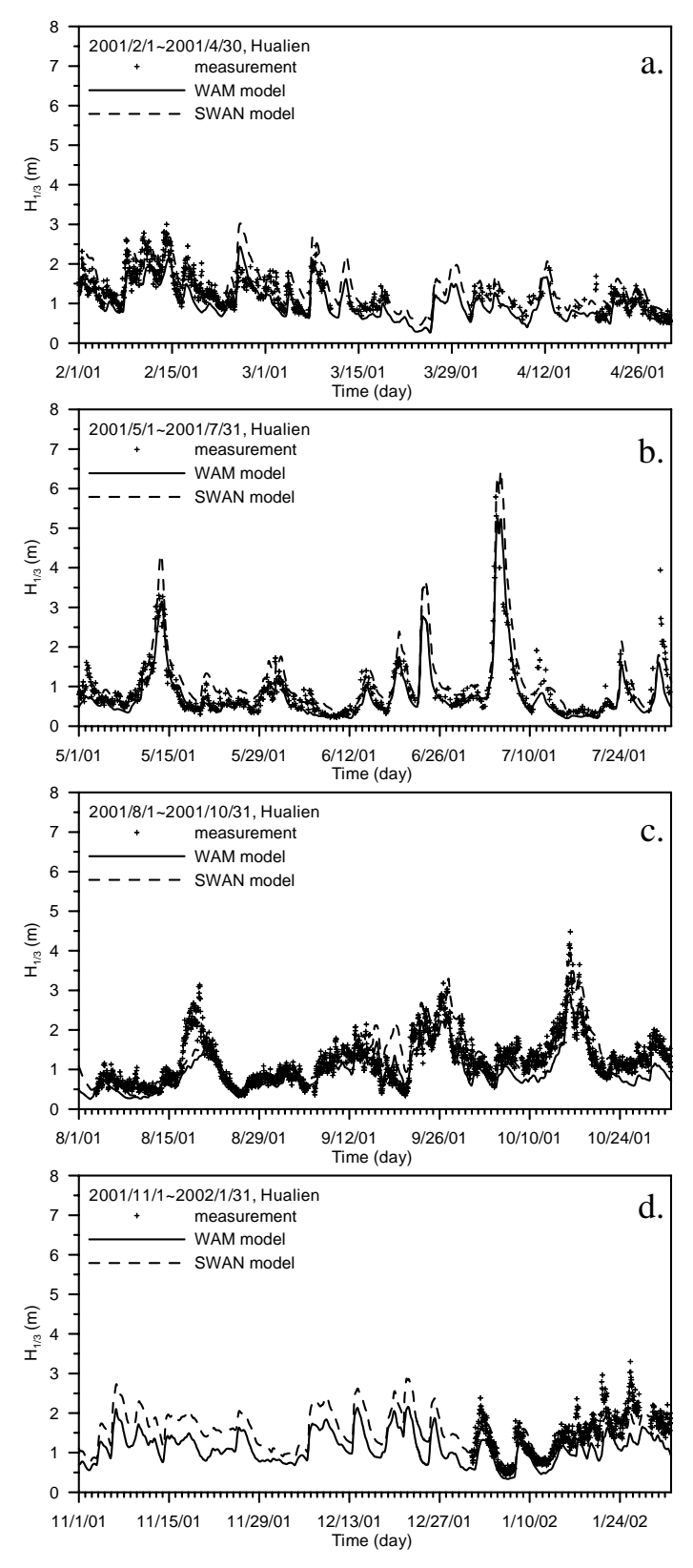


圖 5.2-32 花蓮港附近 2001 年實測示性波高與推算值 之比較圖 (a.春季、b.夏季、c.秋季、d.冬季)

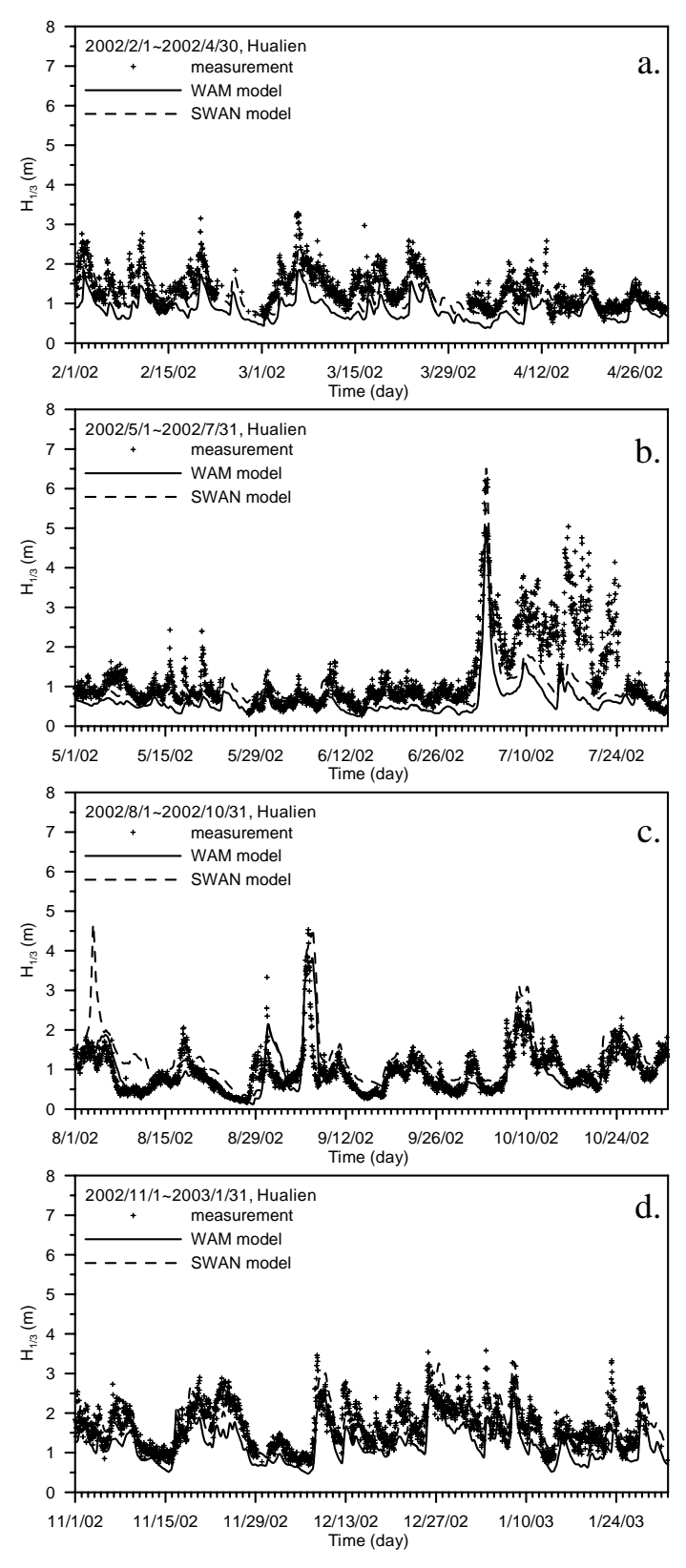


圖 5.2-33 花蓮港附近 2002 年實測示性波高與推算值 之比較圖 (a.春季、b.夏季、c.秋季、d.冬季)

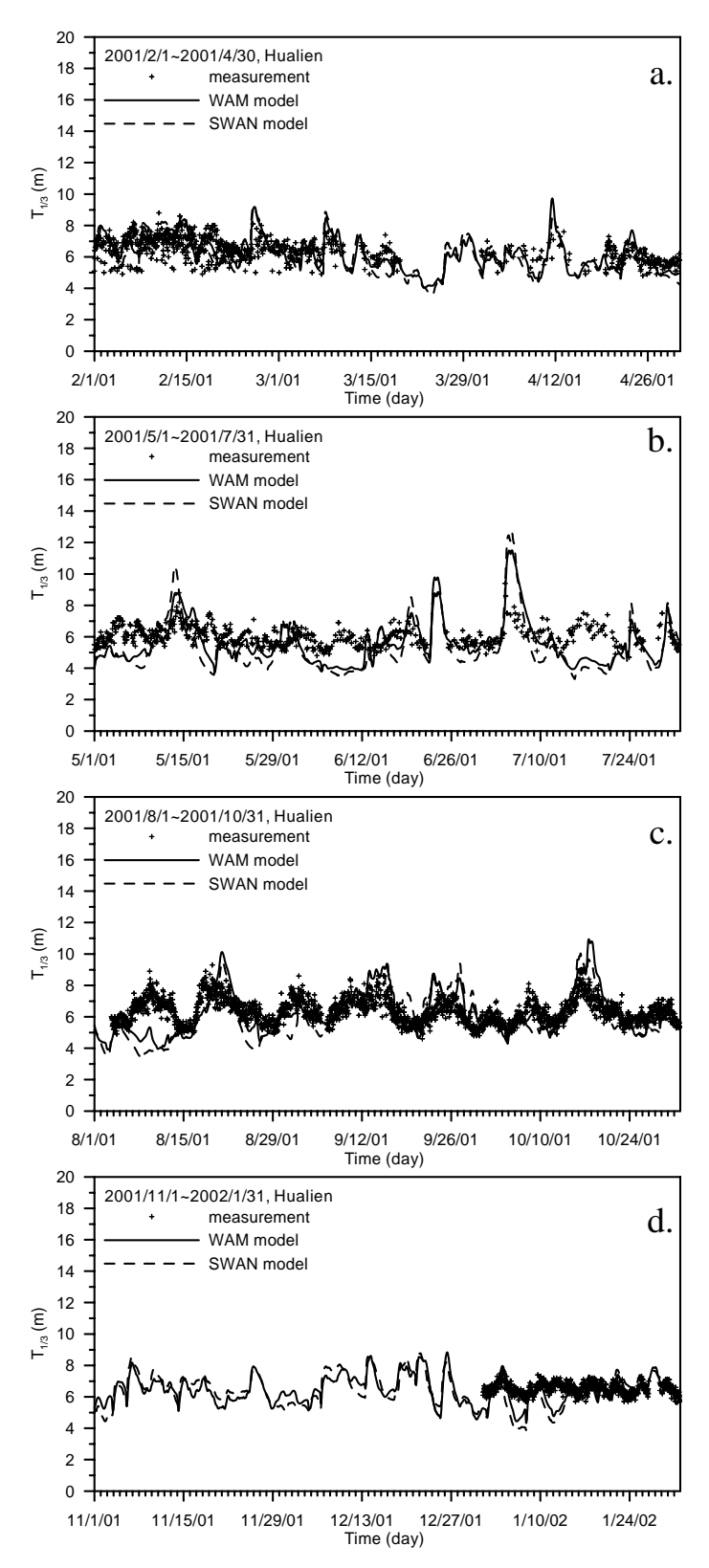


圖 5.2-34 花蓮港附近 2001 年實測示性週期與推算值 之比較圖 (a.春季、b.夏季、c.秋季、d.冬季)

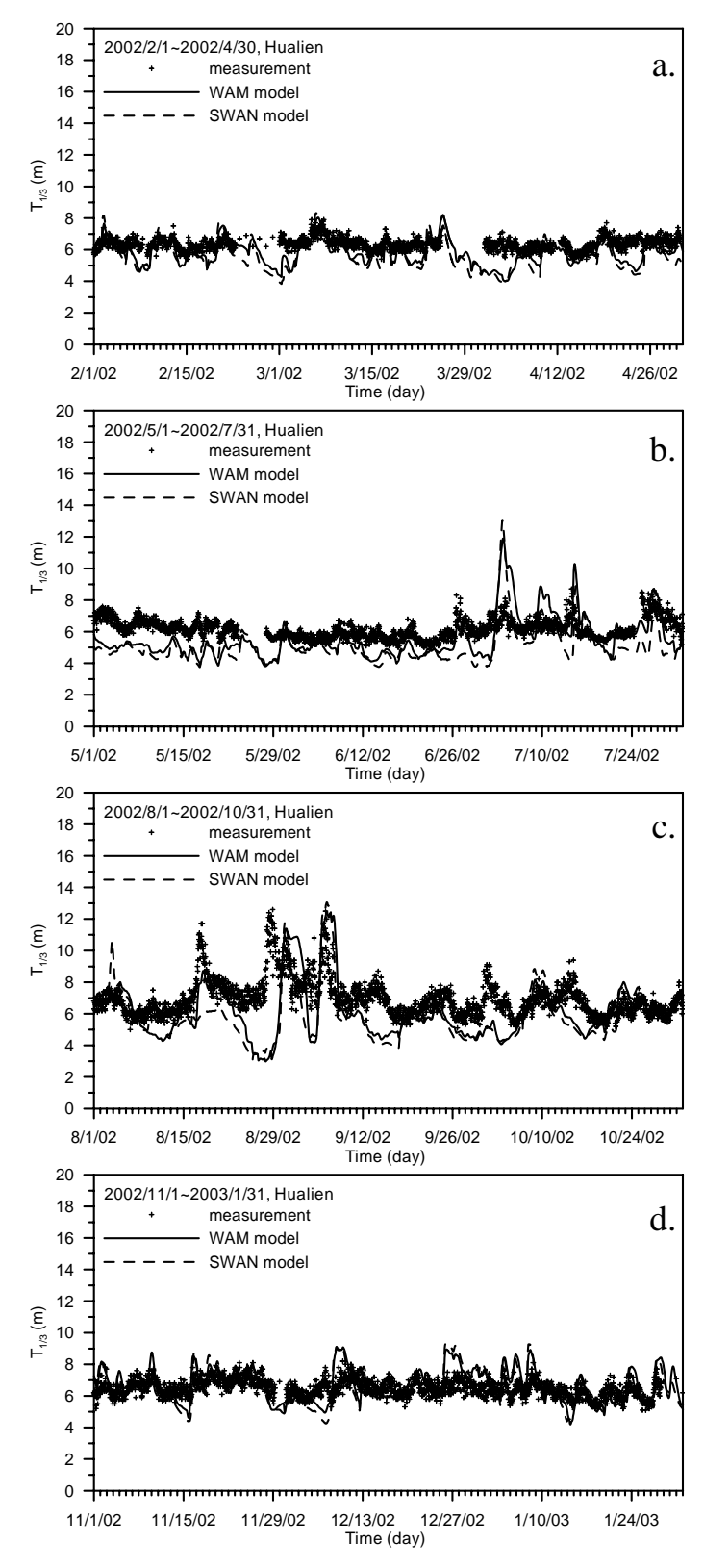


圖 5.2-35 花蓮港附近 2002 年實測示性週期與推算值 之比較圖 (a.春季、b.夏季、c.秋季、d.冬季)

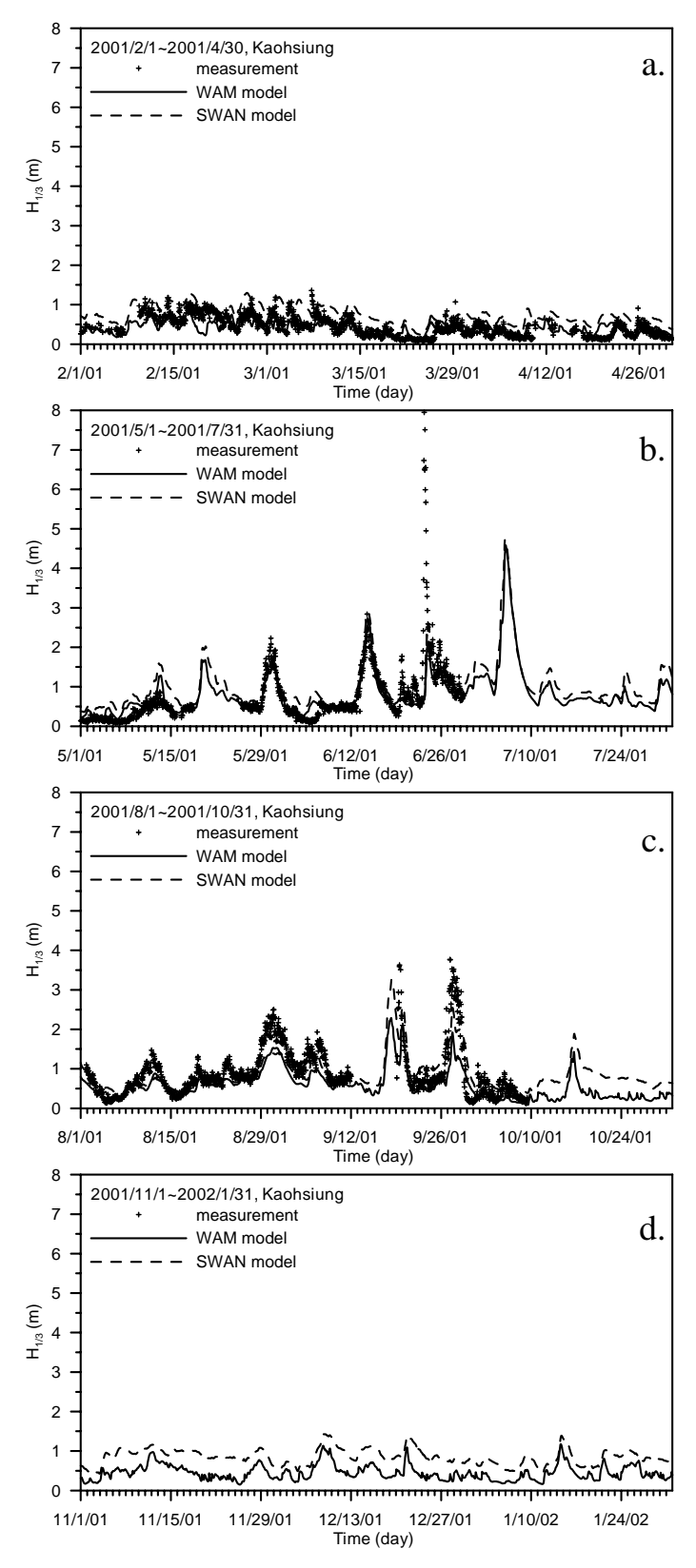


圖 5.2-36 高雄港附近 2001 年實測示性波高與推算值 之比較圖 (a.春季、b.夏季、c.秋季、d.冬季)

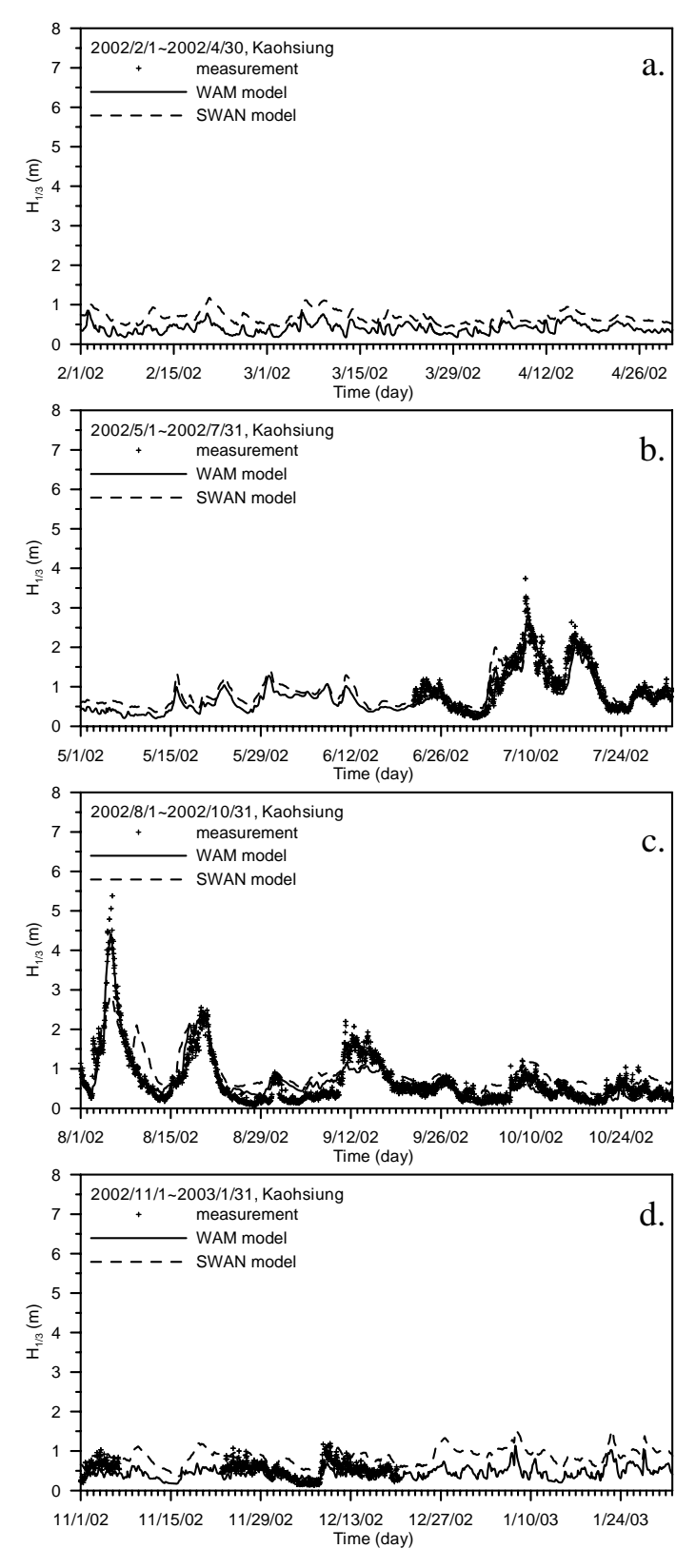


圖 5.2-37 高雄港附近 2002 年實測示性波高與推算值 之比較圖 (a.春季、b.夏季、c.秋季、d.冬季)

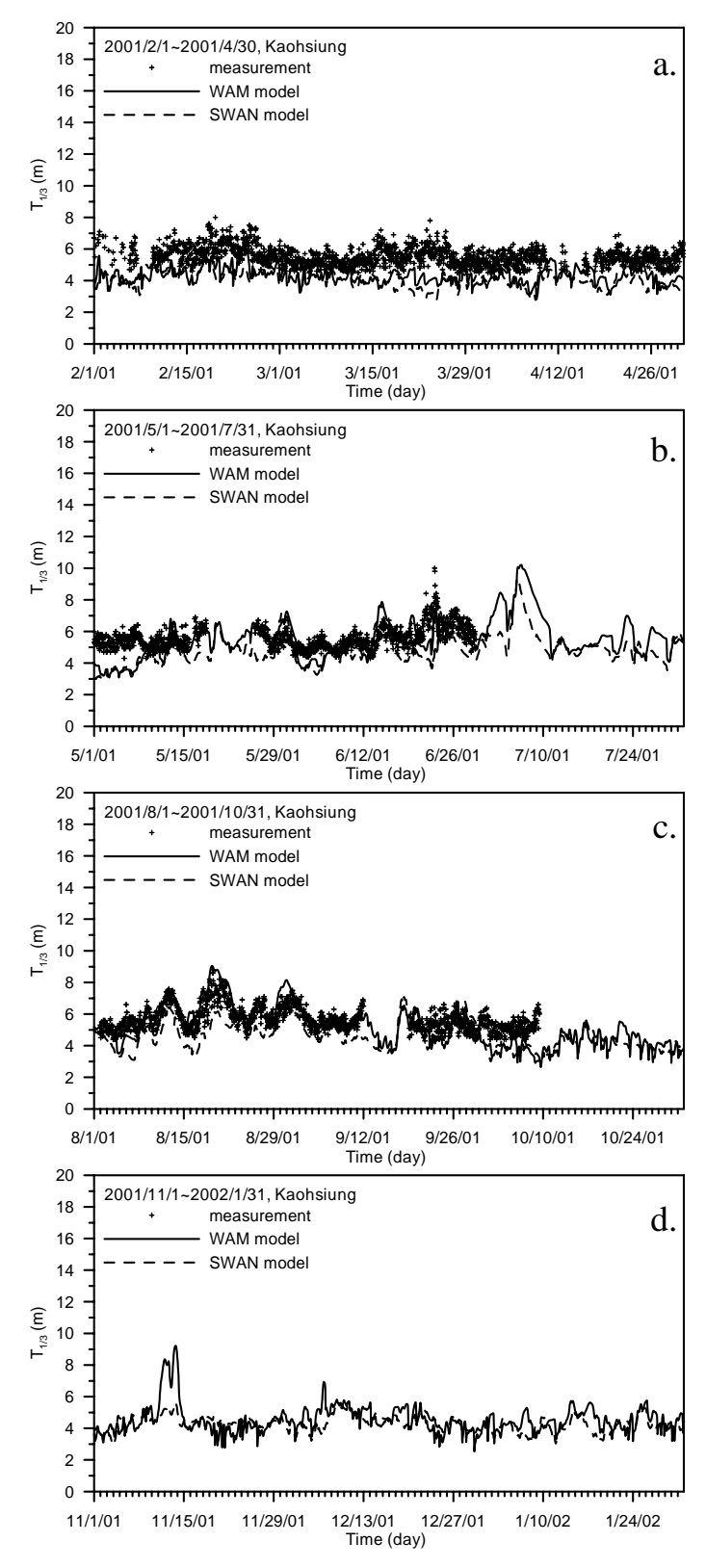


圖 5.2-38 高雄港附近 2001 年實測示性週期與推算值 之比較圖 (a.春季、b.夏季、c.秋季、d.冬季)

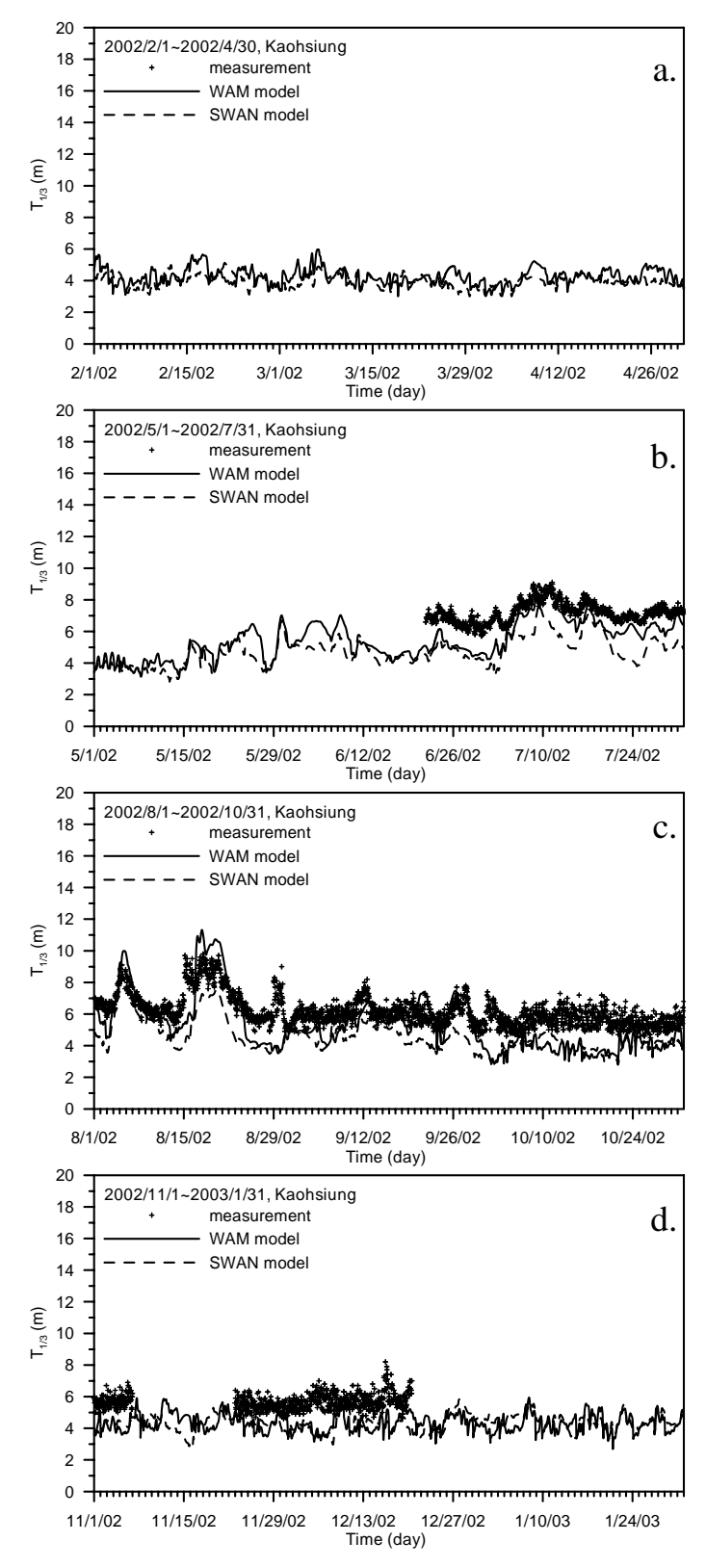


圖 5.2-39 高雄港附近 2002 年實測示性週期與推算值 之比較圖 (a.春季、b.夏季、c.秋季、d.冬季)

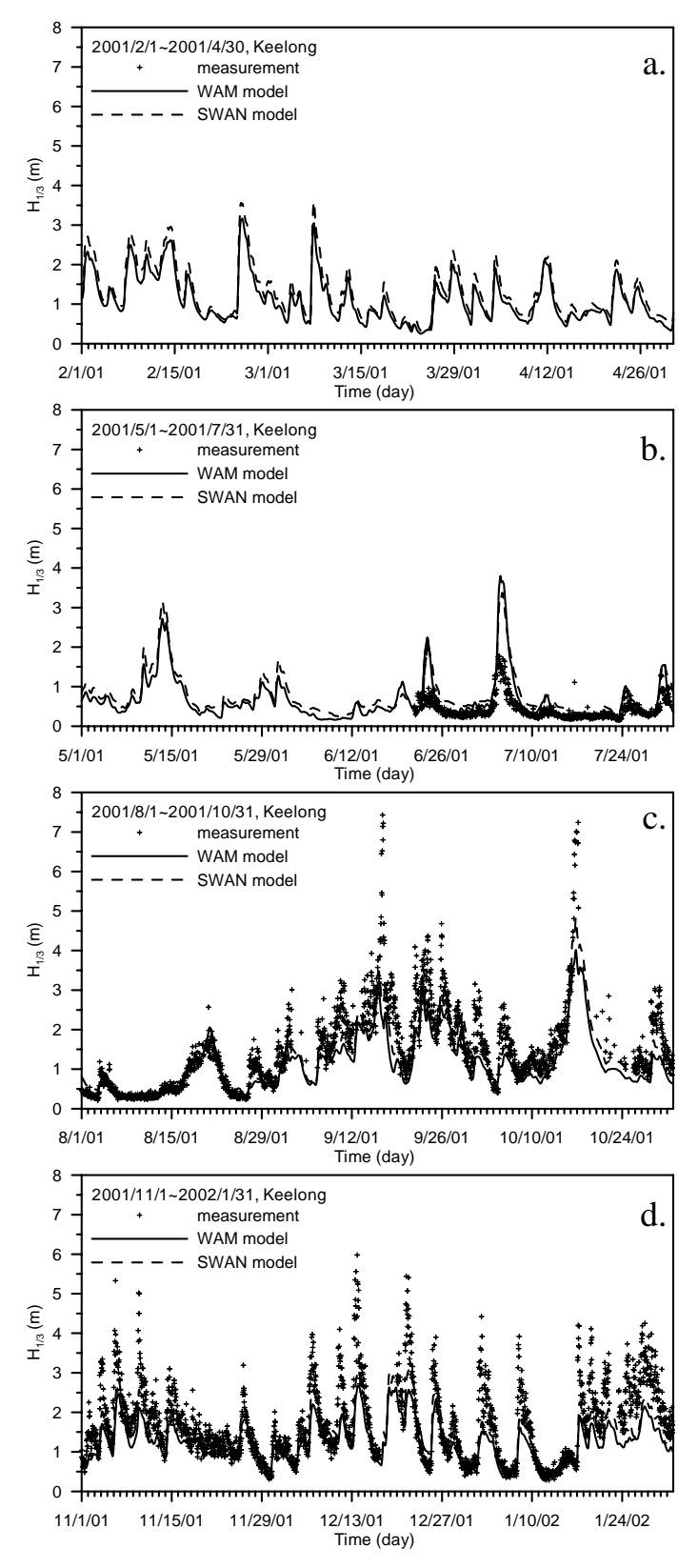


圖 5.2-40 基隆港附近 2001 年實測示性波高與推算值 之比較圖 (a.春季、b.夏季、c.秋季、d.冬季)

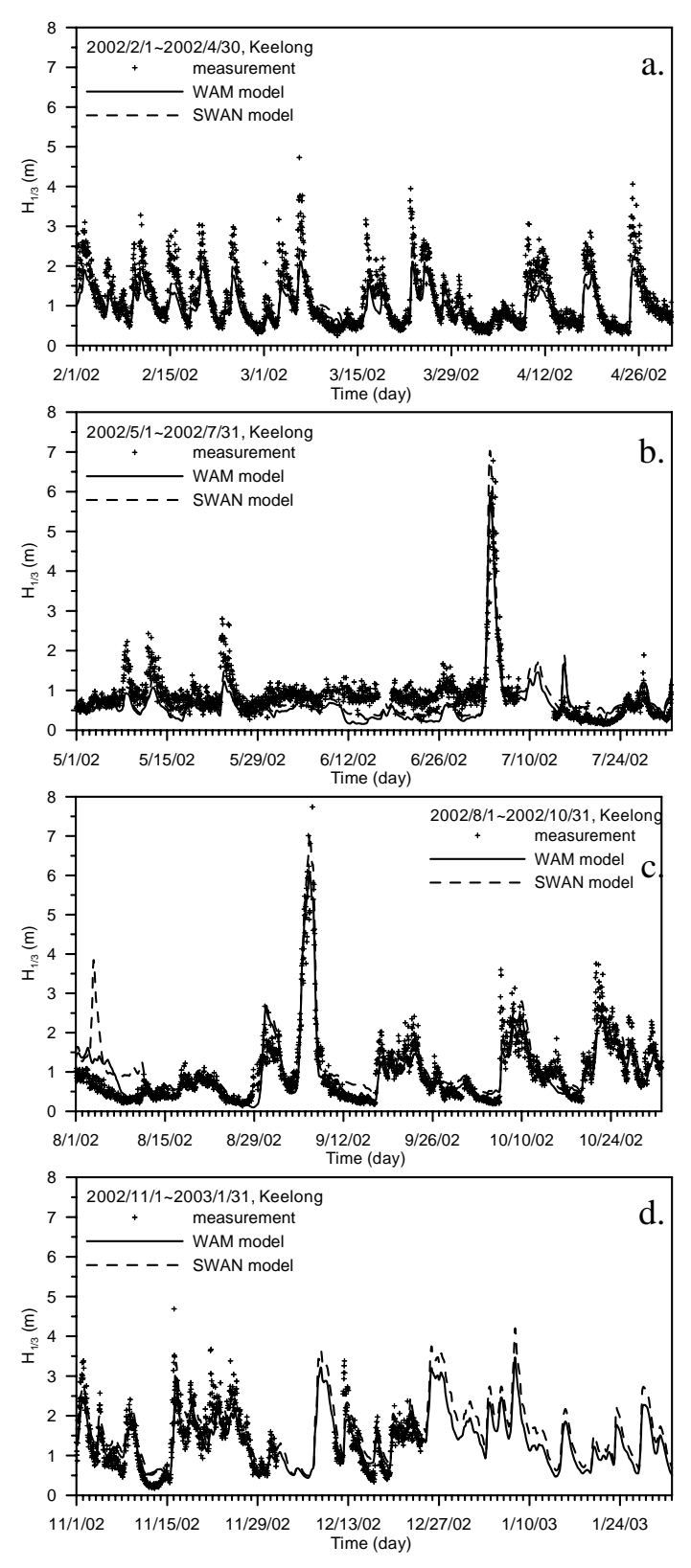


圖 5.2-41 基隆港附近 2002 年實測示性波高與推算值 之比較圖 (a.春季、b.夏季、c.秋季、d.冬季)

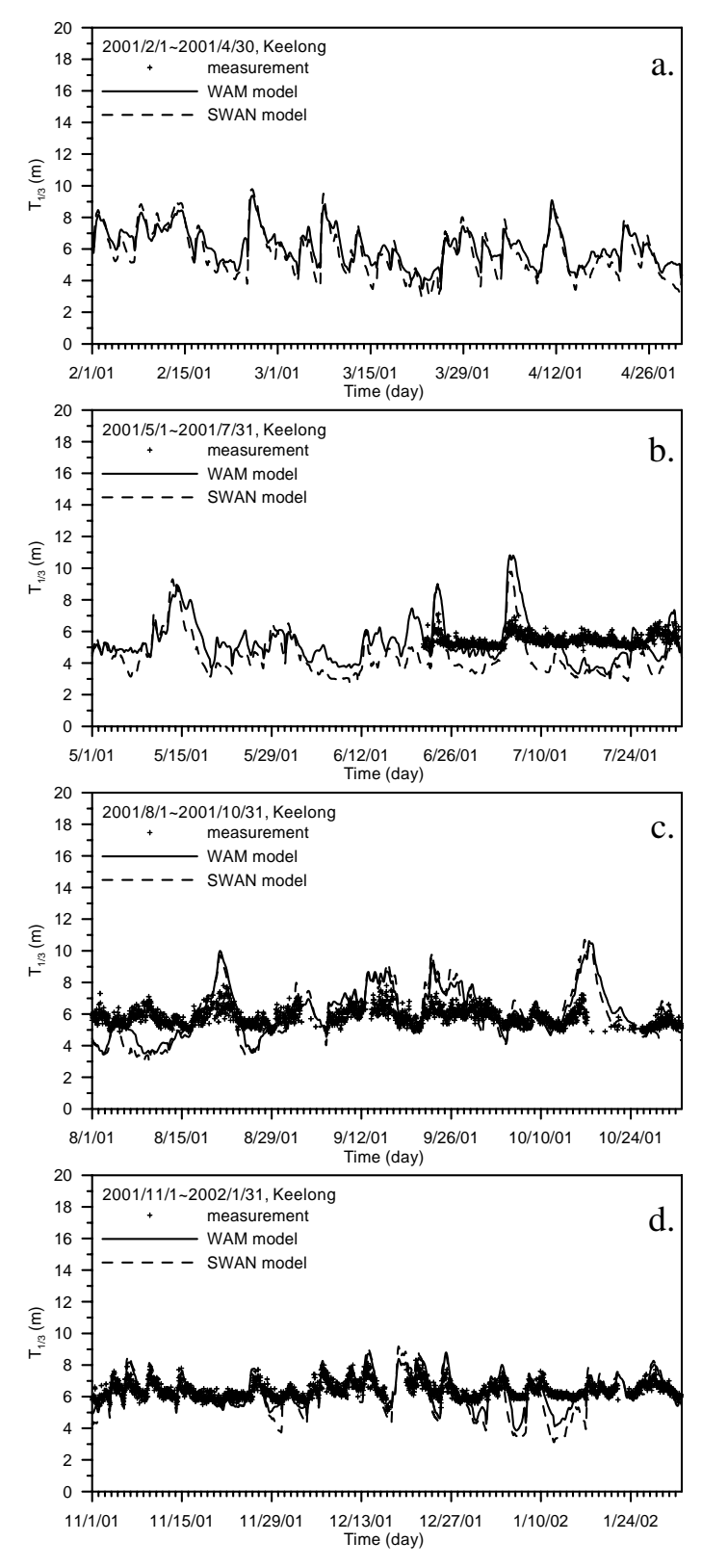


圖 5.2-42 基隆港附近 2001 年實測示性週期與推算值 之比較圖 (a.春季、b.夏季、c.秋季、d.冬季)

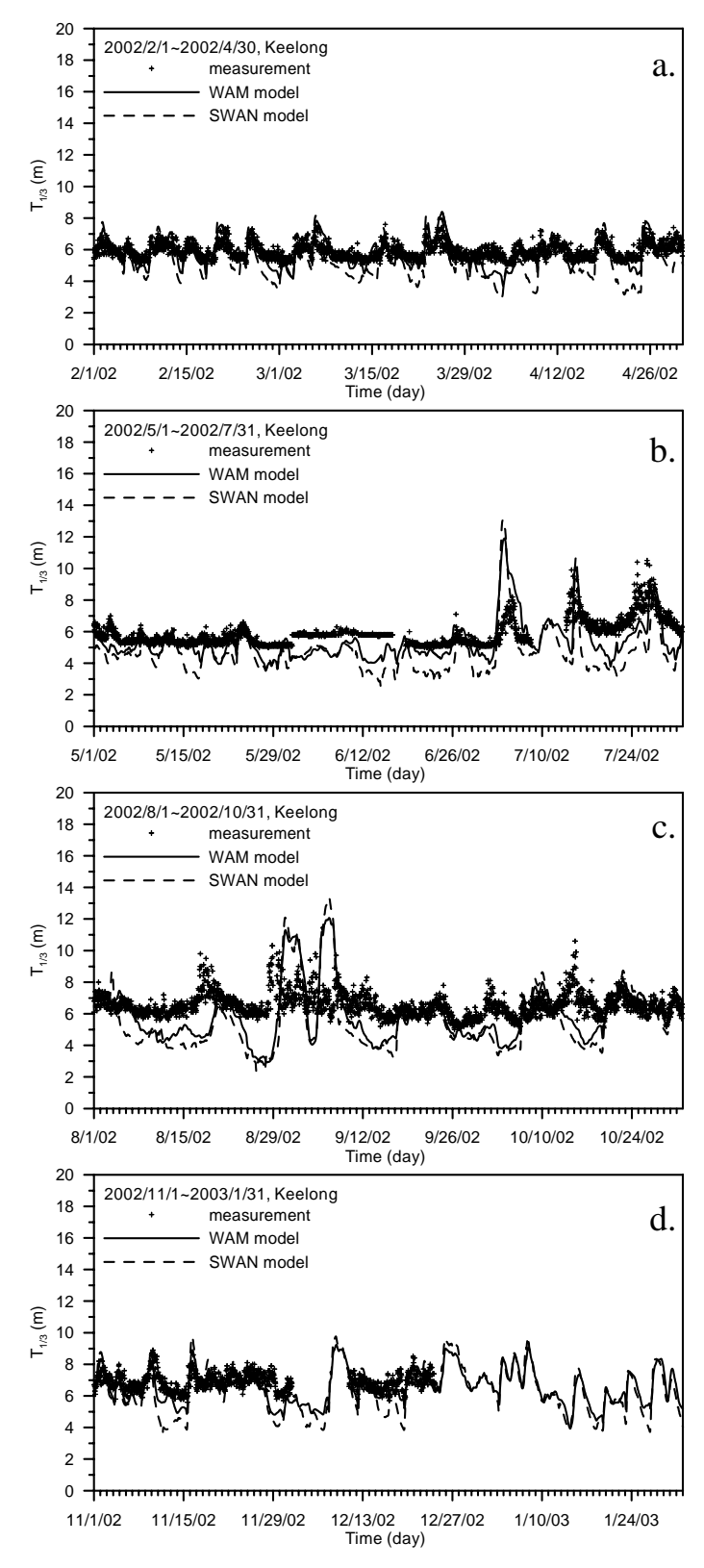


圖 5.2-43 基隆港附近 2002 年實測示性週期與推算值 之比較圖 (a.春季、b.夏季、c.秋季、d.冬季)

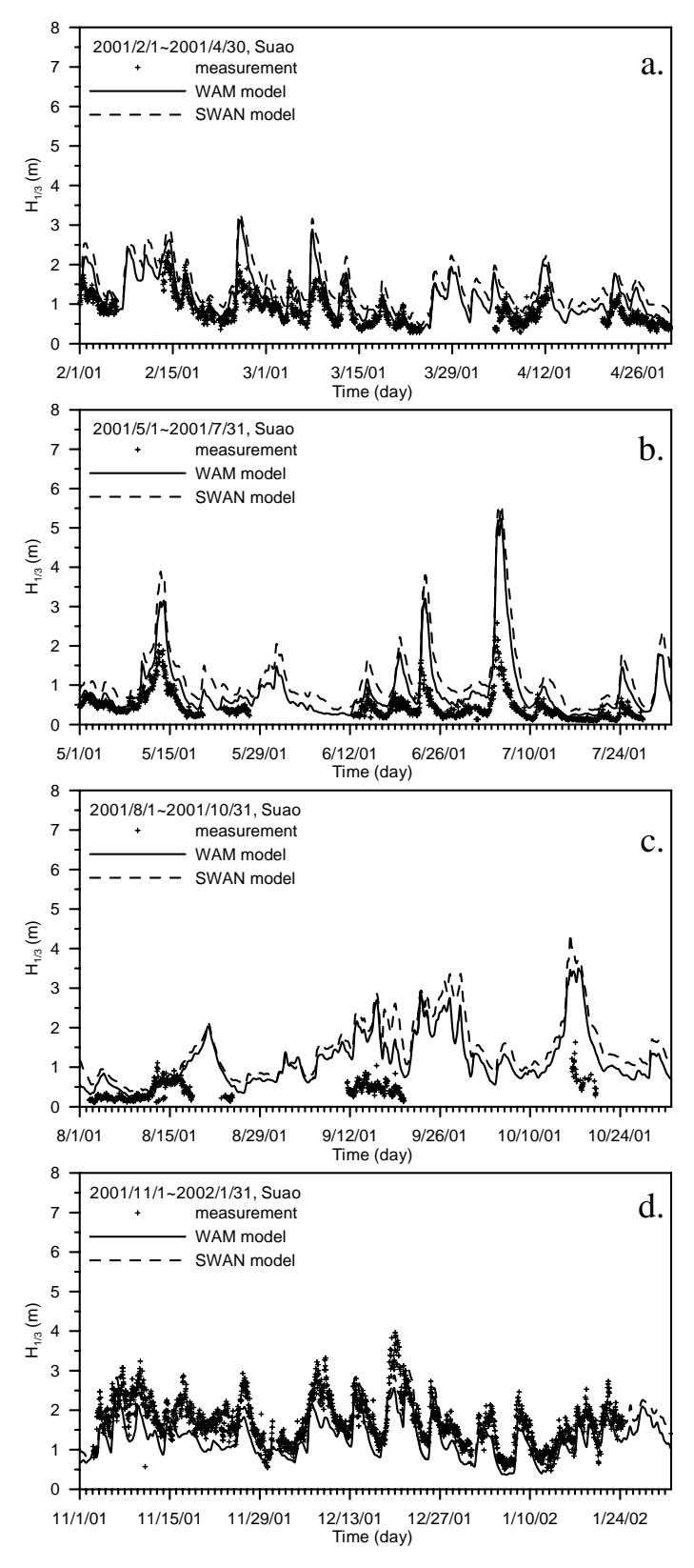


圖 5.2-44 蘇澳港附近 2001 年實測示性波高與推算值 之比較圖 (a.春季、b.夏季、c.秋季、d.冬季)

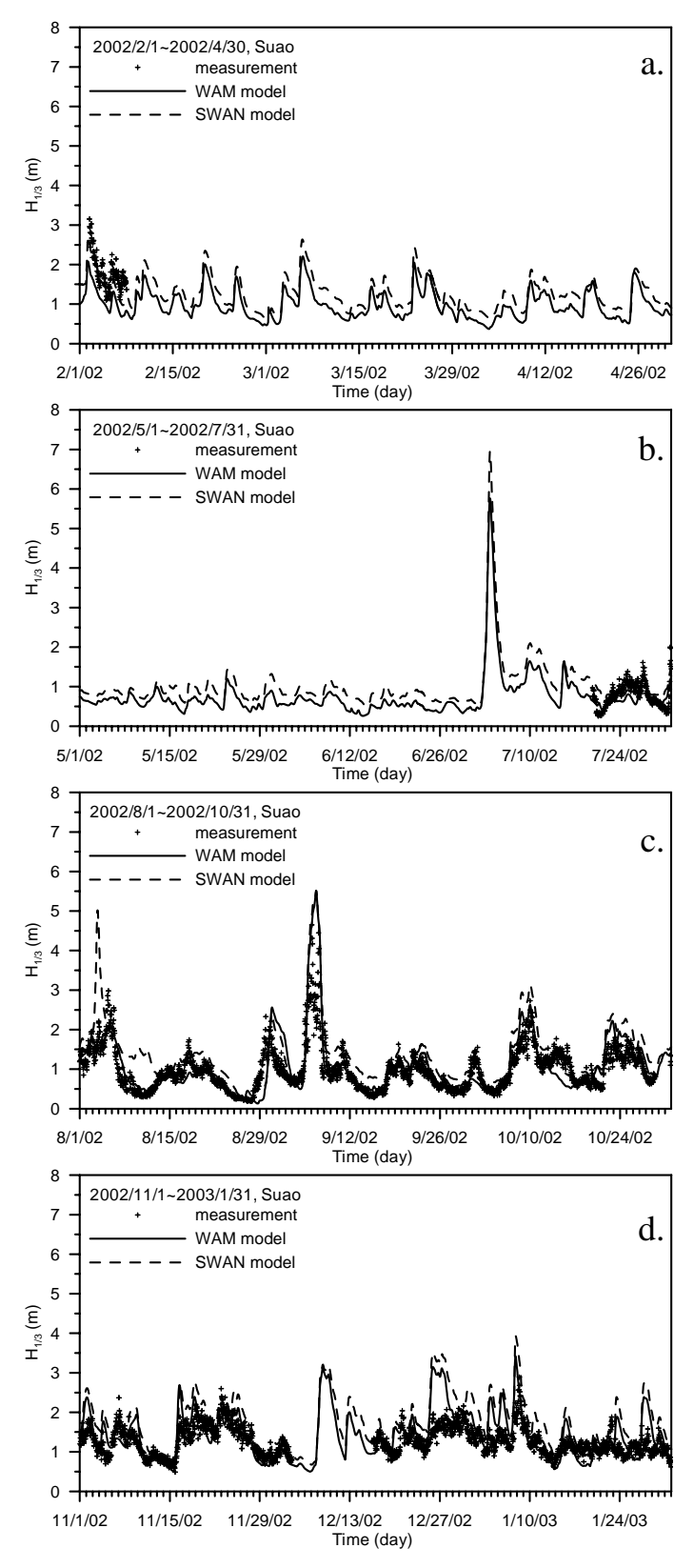


圖 5.2-45 蘇澳港附近 2002 年實測示性波高與推算值 之比較圖 (a.春季、b.夏季、c.秋季、d.冬季)

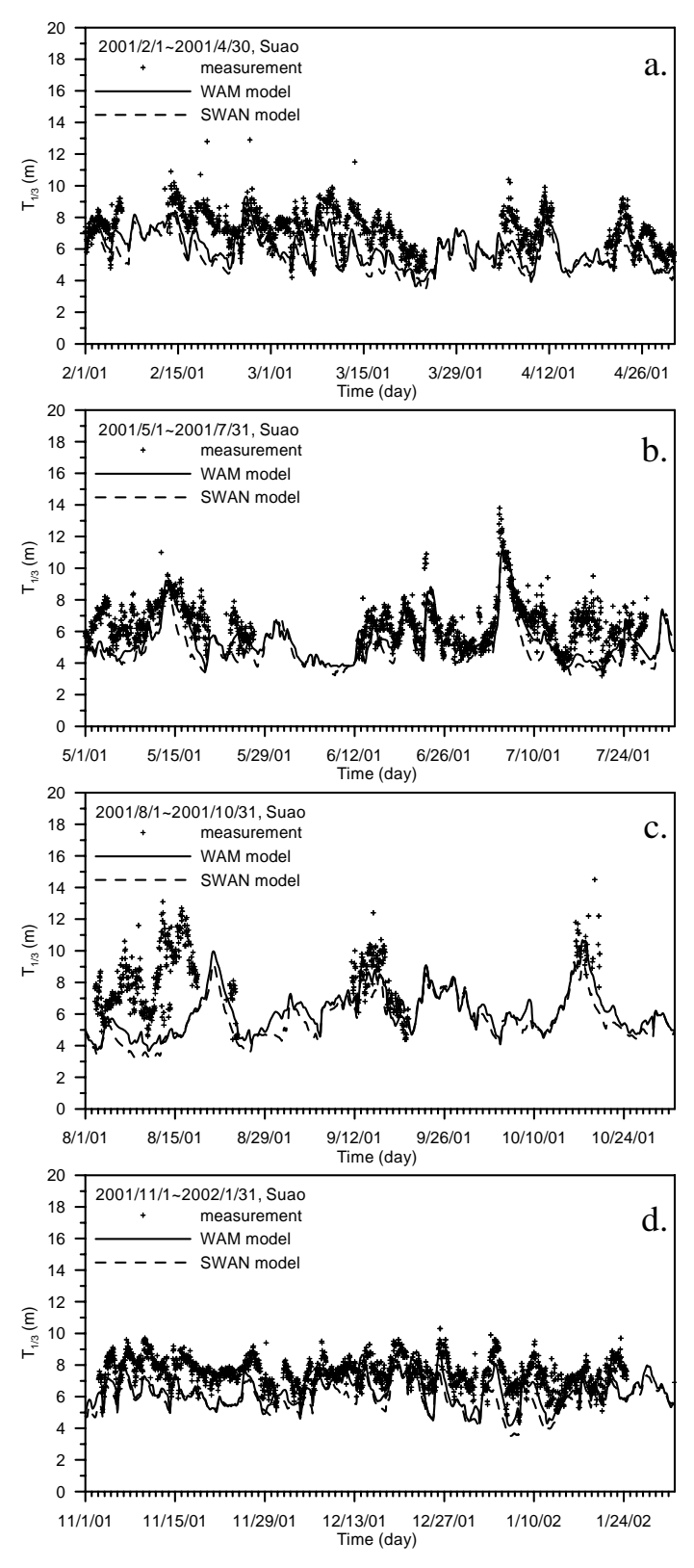


圖 5.2-46 蘇澳港附近 2001 年實測示性週期與推算值 之比較圖 (a.春季、b.夏季、c.秋季、d.冬季)

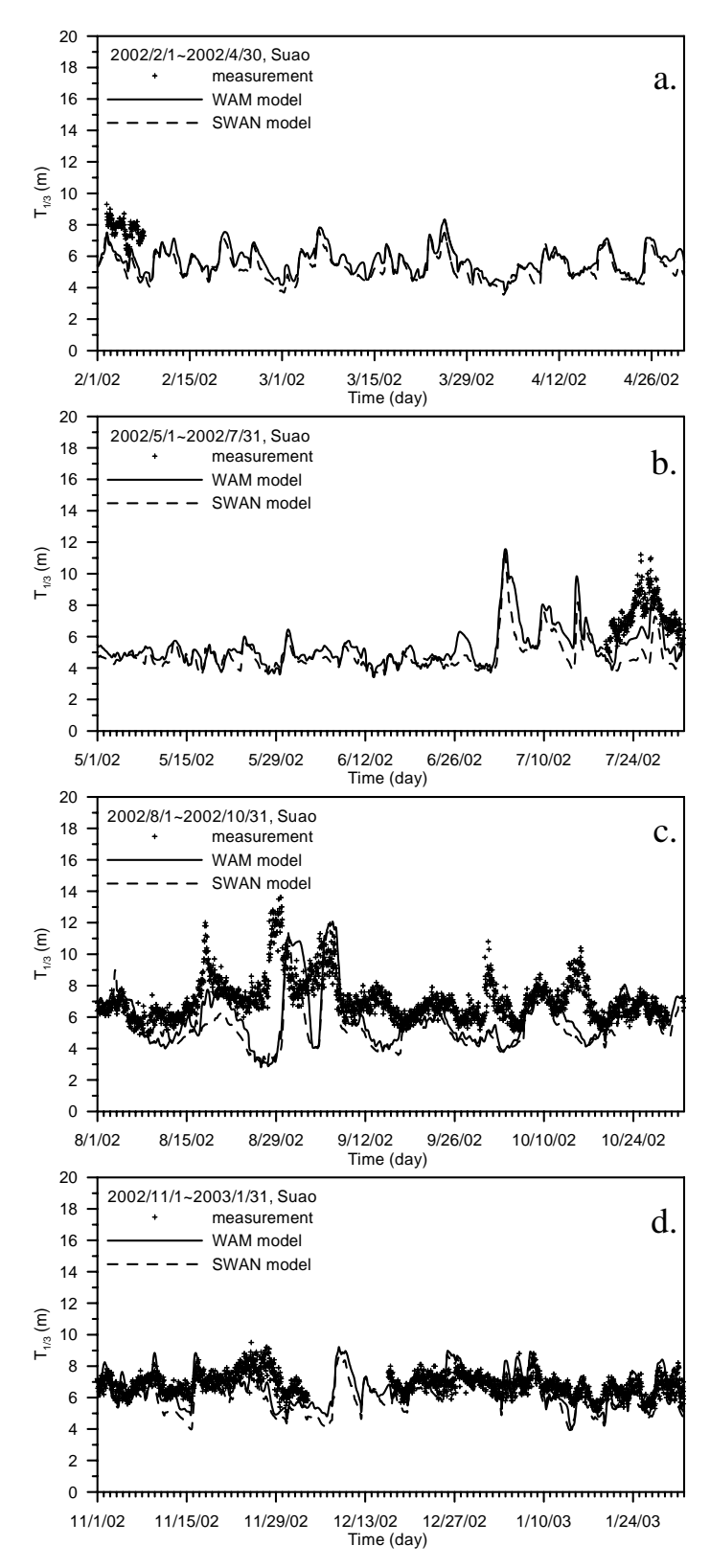


圖 5.2-47 蘇澳港附近 2002 年實測示性週期與推算值 之比較圖 (a.春季、b.夏季、c.秋季、d.冬季)

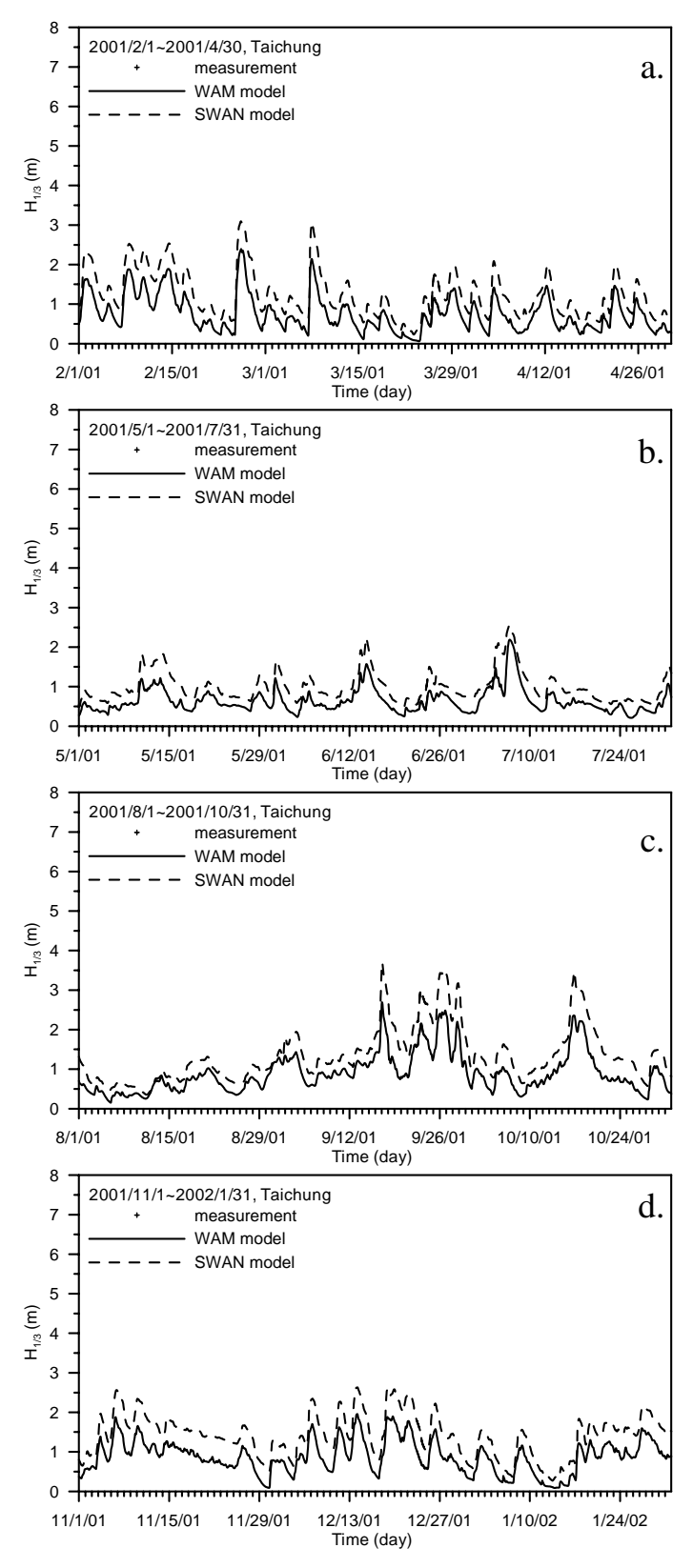


圖 5.2-48 台中港附近 2001 年實測示性波高與推算值 之比較圖 (a.春季、b.夏季、c.秋季、d.冬季)

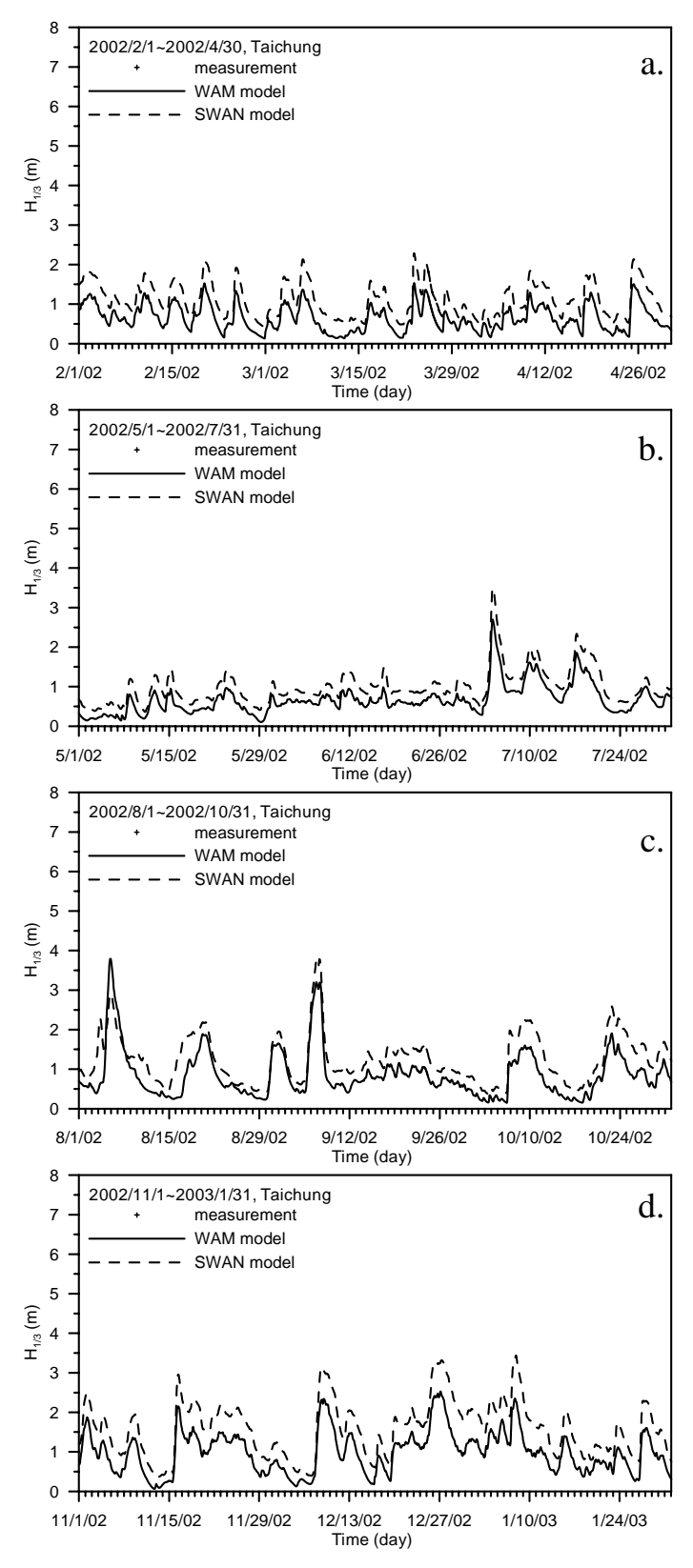


圖 5.2-49 台中港附近 2002 年實測示性波高與推算值 之比較圖 (a.春季、b.夏季、c.秋季、d.冬季)

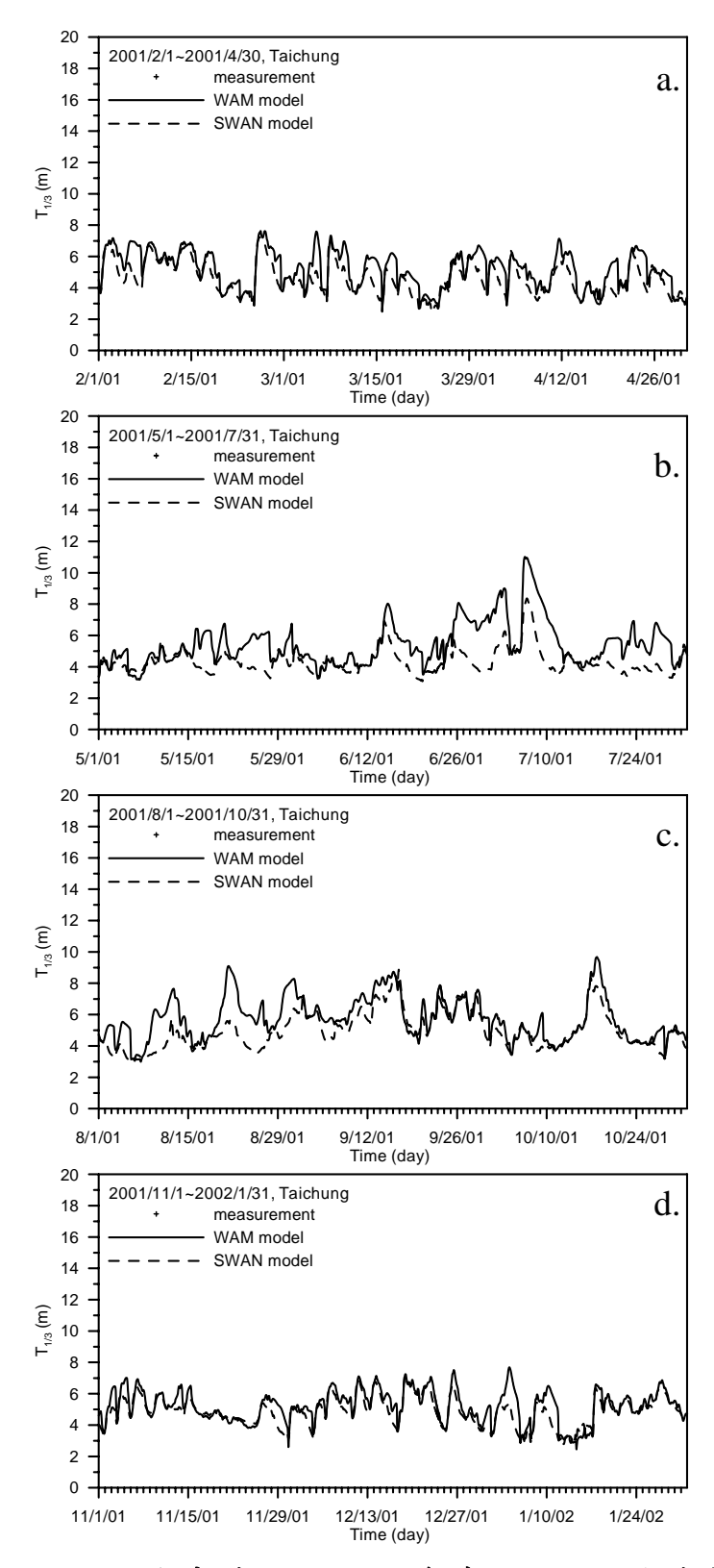


圖 5.2-50 台中港附近 2001 年實測示性週期與推算值 之比較圖 (a.春季、b.夏季、c.秋季、d.冬季)

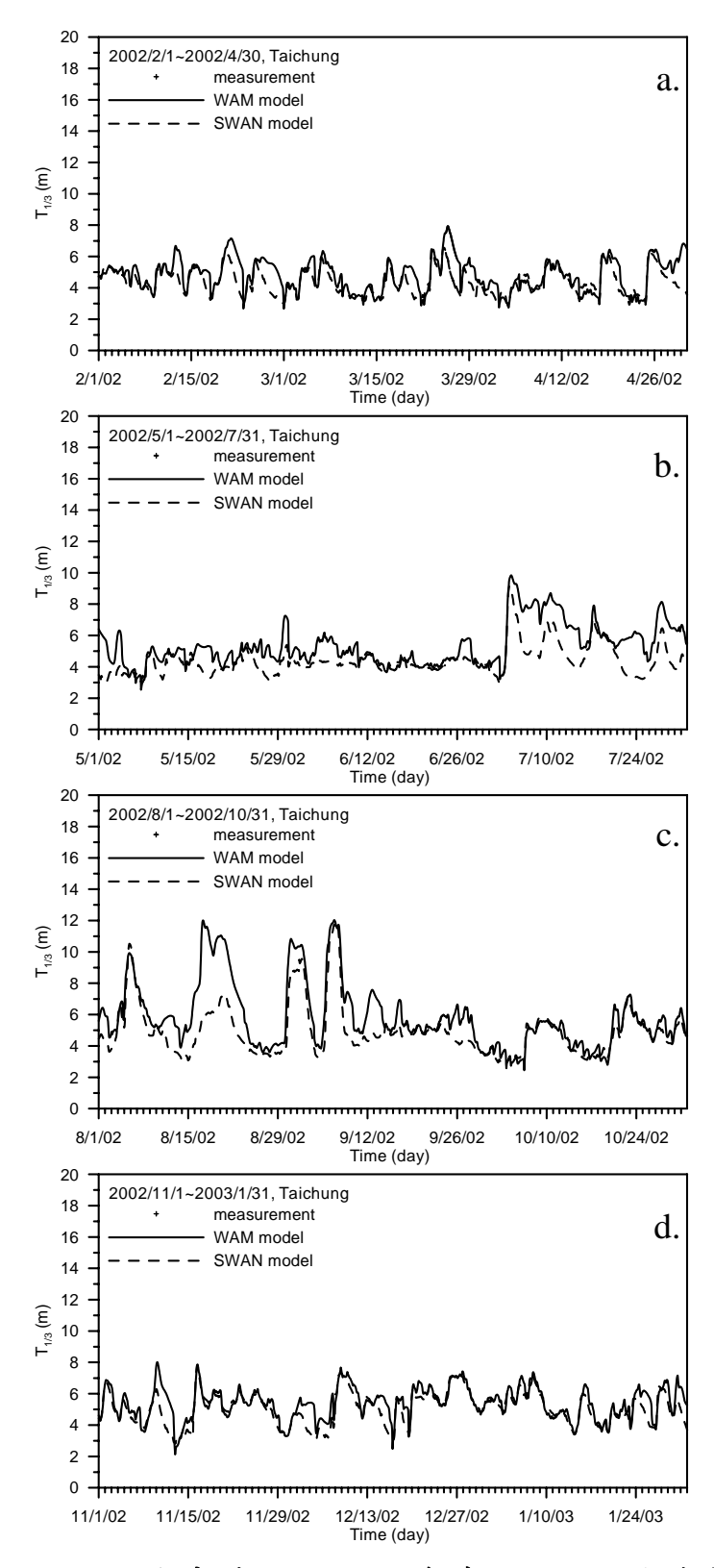


圖 5.2-51 台中港附近 2002 年實測示性週期與推算值 之比較圖 (a.春季、b.夏季、c.秋季、d.冬季)

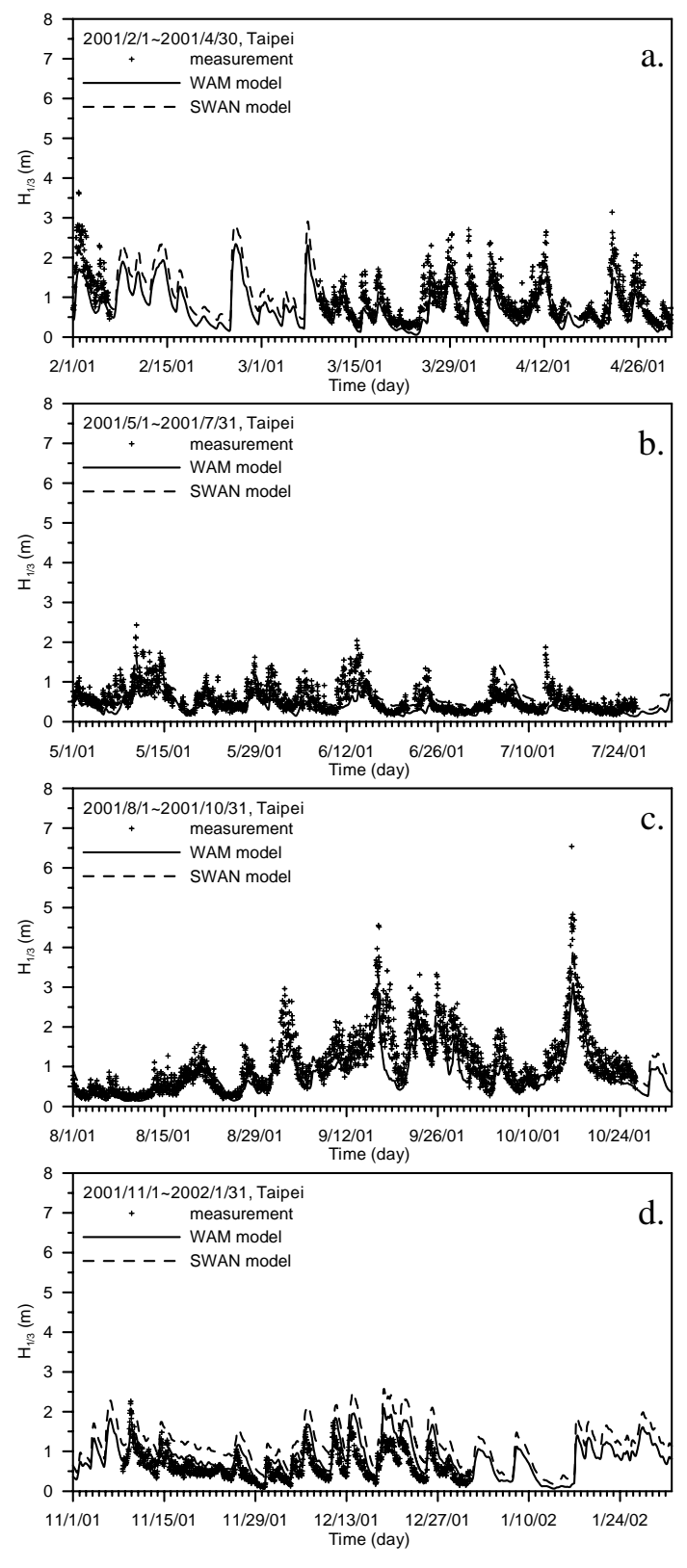


圖 5.2-52 台北港附近 2001 年實測示性波高與推算值 之比較圖 (a.春季、b.夏季、c.秋季、d.冬季)

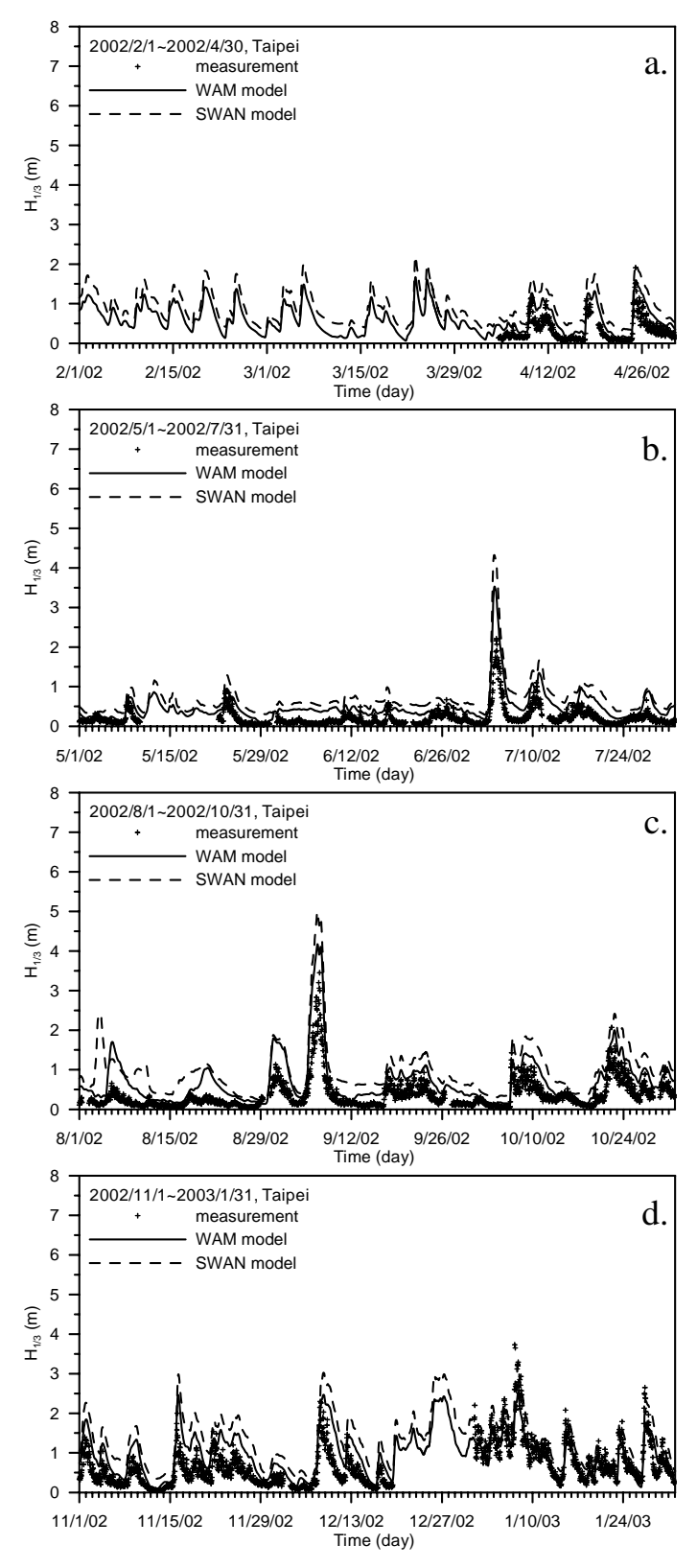


圖 5.2-53 台北港附近 2002 年實測示性波高與推算值 之比較圖 (a.春季、b.夏季、c.秋季、d.冬季)

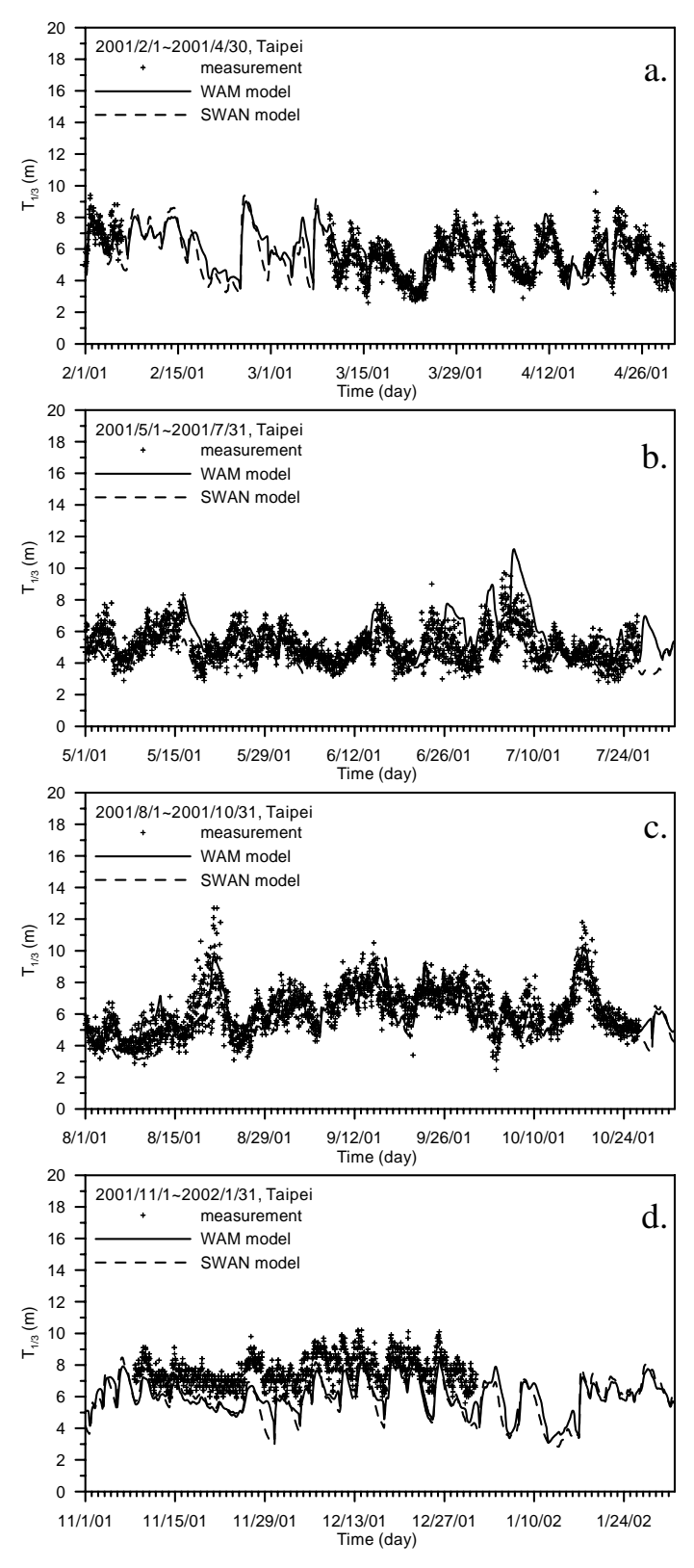


圖 5.2-54 台北港附近 2001 年實測示性週期與推算值 之比較圖 (a.春季、b.夏季、c.秋季、d.冬季)

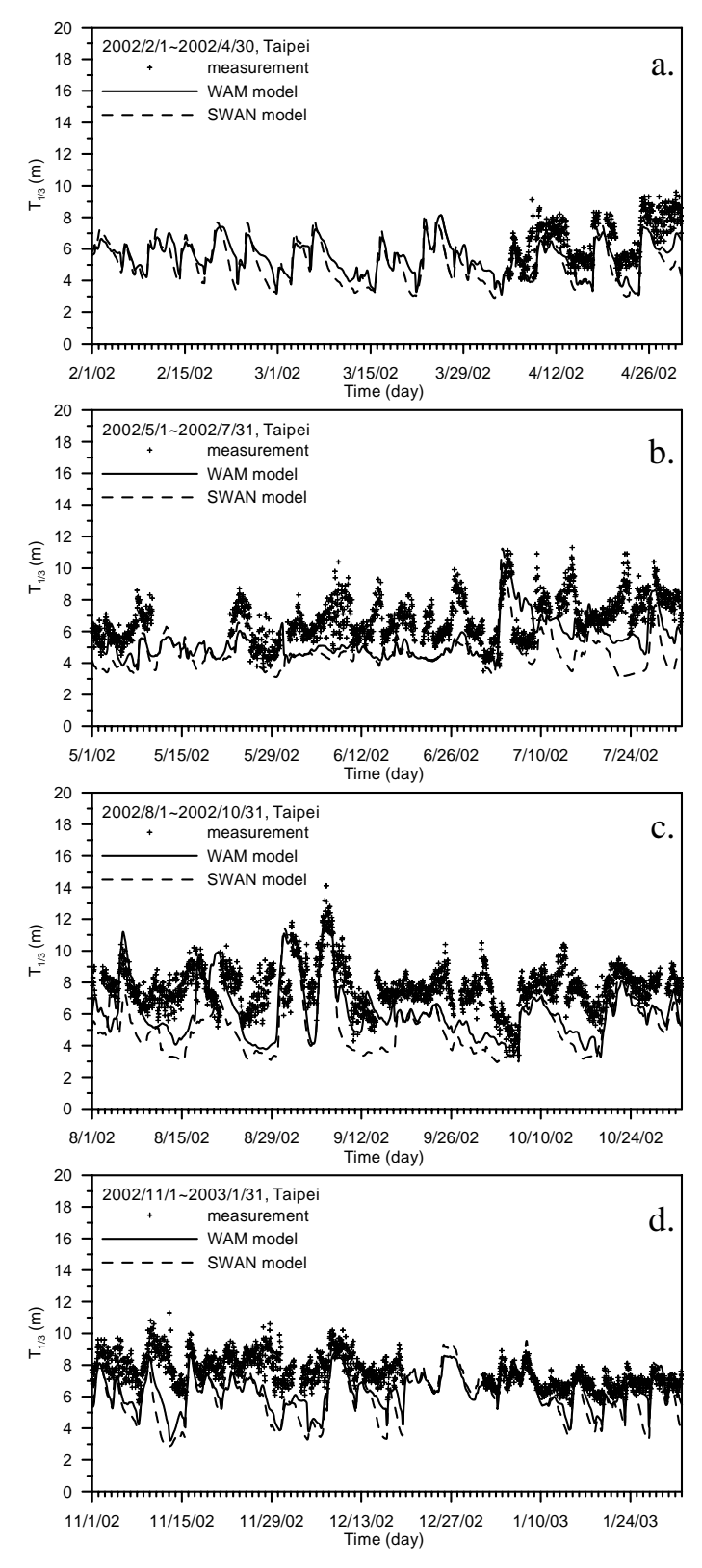


圖 5.2-55 台北港附近 2002 年實測示性週期與推算值 之比較圖 (a.春季、b.夏季、c.秋季、d.冬季)

表 5.2-10 安平港附近海域實測資料與推算值之比較統計表

月份	參數	實測平均	遠域風浪模式 模擬平均	相關係數	絕對誤差	近岸風浪模式 模擬平均	相關係數	絕對 誤差
	2001 年 春季	0.36	0.37	0.52	0.11	0.84	0.76	0.48
	2001年	0.91	0.80	0.70	0.33	1.12	0.72	0.47
	2001 年 秋季	0.73	0.60	0.71	0.23	1.03	0.53	0.39
示 性	2001 年 冬季	0.48	0.42	0.49	0.14	0.99	0.66	0.52
波高	2002 年 春季	0.46	0.36	0.58	0.14	0.80	0.53	0.34
	2002 年 夏季	0.81	0.72	0.92	0.17	1.00	0.89	0.26
	2002 年 秋季	0.79	0.70	0.89	0.20	1.11	0.85	0.39
	2002 年 冬季	0.59	0.45	0.54	0.18	1.10	0.59	0.51
	2001 年 春季	5.09	4.15	0.38	0.99	3.95	0.48	1.16
	2001 年 夏季	5.79	5.57	0.66	0.86	4.71	0.56	1.25
	2001 年 秋季	5.56	5.15	0.67	0.81	4.45	0.42	1.24
示 性	2001 年 冬季	4.80	4.03	0.13	0.86	4.11	0.12	0.76
週期	2002 年 春季	4.53	4.11	0.14	0.65	3.87	0.29	0.70
	2002 年 夏季	5.26	5.42	0.67	0.68	4.54	0.58	0.94
	2002 年 秋季	4.99	5.40	0.52	1.21	4.50	0.59	0.83
	2002 年 冬季	4.60	4.07	0.03	0.71	4.31	-0.03	0.54

表 5.2-11 花蓮港附近海域實測資料與推算值之比較統計表

月份	參數	實測平均	遠域風浪模式 模擬平均	相關係數	絕對誤差	近岸風浪模式 模擬平均	相關係數	絶對 誤差
	2001 年 春季	1.35	1.14	0.80	0.28	1.55	0.77	0.31
	2001 年 夏季	0.89	0.76	0.90	0.21	1.11	0.88	0.31
	2001 年 秋季	1.23	0.99	0.83	0.32	1.35	0.80	0.30
示 性	2001 年 冬季	1.45	0.99	0.82	0.46	1.37	0.79	0.24
波高	2002 年 春季	1.37	0.86	0.73	0.51	1.21	0.70	0.28
	2002 年 夏季	1.28	0.66	0.70	0.64	0.94	0.71	0.46
	2002 年 秋季	0.95	0.93	0.77	0.24	1.29	0.72	0.42
	2002 年 冬季	1.67	1.24	0.76	0.46	1.68	0.75	0.30
	2001 年春季	6.48	6.52	0.49	0.69	6.39	0.41	0.86
	2001 年 夏季	6.05	5.51	0.39	1.03	5.31	0.34	1.33
	2001 年 秋季	6.35	6.26	0.52	0.89	6.10	0.36	1.09
示 性	2001 年 冬季	6.51	6.17	0.37	0.58	6.15	0.12	0.84
週期	2002 年 春季	6.36	5.78	0.42	0.71	5.68	0.32	0.88
	2002年 夏季	6.16	5.54	0.44	1.13	5.07	0.26	1.35
	2002 年 秋季	6.95	6.15	0.35	1.40	5.89	0.28	1.60
	2002 年 冬季	6.49	6.71	0.48	0.70	6.66	0.46	0.80

表 5.2-12 高雄港附近海域實測資料與推算值之比較統計表

月份	多數	實測平均	遠域風浪模式 模擬平均	相關係數	絕對誤差	近岸風浪模式 模擬平均	相關係數	絶對 誤差
	2001 年 春季	0.44	0.43	0.55	0.16	0.75	0.72	0.32
	2001 年 夏季	0.72	0.69	0.67	0.23	0.90	0.63	0.33
	2001 年 秋季	0.89	0.63	0.86	0.30	0.84	0.83	0.27
示 性	2001 年 冬季	×	×	×	×	×	×	×
波高	2002 年 春季	×	×	×	×	×	×	×
	2002 年 夏季	1.05	0.98	0.93	0.18	1.12	0.87	0.22
	2002 年 秋季	0.68	0.68	0.91	0.20	0.91	0.85	0.34
	2002 年 冬季	0.53	0.43	0.52	0.16	0.81	0.73	0.29
	2001 年春季	5.52	4.30	0.21	1.25	4.11	0.04	1.42
	2001 年 夏季	5.56	5.21	0.44	0.85	4.62	0.20	1.19
	2001 年 秋季	5.66	5.53	0.71	0.73	4.73	0.48	1.09
示性	2001 年 冬季	×	×	×	×	×	×	×
週期	2002 年 春季	×	×	×	×	×	×	×
	2002 年 夏季	7.18	6.16	0.85	1.08	5.19	0.71	1.99
	2002 年 秋季	6.18	5.30	0.73	1.24	4.58	0.64	1.62
	2002 年 冬季	5.67	4.21	0.03	1.47	4.23	-0.12	1.44

表 5.2-13 基隆港附近海域實測資料與推算值之比較統計表

月份	參數	實測平均	遠域風浪模式 模擬平均	相關係數	絕對 誤差	近岸風浪模式 模擬平均	相關係數	絕對 誤差
	2001 年 春季	×	×	×	×	×	×	×
	2001 年 夏季	0.43	0.67	0.87	0.28	0.76	0.88	0.35
	2001 年 秋季	1.50	1.10	0.87	0.45	1.31	0.89	0.34
示 性	2001 年 冬季	1.70	1.22	0.85	0.53	1.46	0.83	0.41
波高	2002 年 春季	1.19	0.93	0.87	0.32	1.11	0.85	0.26
	2002 年 夏季	0.87	0.62	0.81	0.36	0.75	0.82	0.31
	2002 年 秋季	1.02	1.02	0.89	0.28	1.22	0.87	0.36
	2002 年 冬季	1.35	1.31	0.86	0.27	1.54	0.84	0.35
	2001 年春季	×	×	×	×	×	×	×
	2001 年 夏季	5.45	5.31	0.46	1.13	4.31	0.43	1.51
	2001 年 秋季	5.81	6.00	0.54	0.99	5.89	0.48	1.17
示 性	2001 年 冬季	6.39	6.28	0.72	.54	6.11	0.67	0.80
週期	2002 年 春季	5.89	5.77	0.67	0.50	5.37	0.66	0.92
	2002 年 夏季	5.88	5.34	0.53	0.96	4.65	0.42	1.51
	2002 年 秋季	6.54	5.94	0.25	1.36	5.61	0.18	0.78
	2002 年 冬季	6.88	6.57	0.60	0.59	6.25	0.53	1.03

表 5.2-14 蘇澳港附近海域實測資料與推算值之比較統計表

月份	參數	實測平均	遠域風浪模式 模擬平均	相關係數	絕對誤差	近岸風浪模式 模擬平均	相關係數	絶對 誤差
	2001 年 春季	0.85	1.16	0.84	0.33	1.46	0.85	0.61
	2001 年 夏季	0.44	0.88	0.85	0.44	1.20	0.82	0.76
	2001 年 秋季	0.40	1.01	0.56	0.64	1.27	0.54	0.88
示 性	2001 年 冬季	1.72	1.29	0.80	0.47	1.62	0.82	0.50
波高	2002 年 春季	1.81	1.10	0.83	0.70	1.53	0.80	0.32 ×
	2002 年 夏季	0.77	0.71	0.62	0.20	0.89	0.46	0.25
	2002 年 秋季	0.98	1.08	0.81	0.28	1.38	0.79	0.47
	2002 年 冬季	1.27	1.43	0.66	0.33	1.77	0.70	0.53
	2001 年 春季	7.26	6.09	0.66	1.32	5.63	0.56	1.71
	2001 年 夏季	6.47	5.51	0.69	1.13	5.02	0.65	1.52
	2001 年 秋季	8.16	5.78	0.32	2.49	5.32	0.26	2.97
示性	2001 年 冬季	7.49	6.33	0.55	1.27	5.92	0.50	1.63
週期	2002 年 春季	7.71	5.88	0.62	1.82	5.53	0.62	2.17
	2002 年 夏季	7.28	5.88	0.67	1.46	4.81	0.33	2.48
	2002 年 秋季	7.10	5.96	0.24	1.62	5.50	0.19	1.85
	2002 年 冬季	6.83	6.59	0.51	0.74	6.12	0.50	0.94

表 5.2-15 台北港附近海域實測資料與推算值之比較統計表

月份	多數	實測平均	遠域風浪模式 模擬平均	相關係數	絕對誤差	近岸風浪模式 模擬平均	相關係數	絶對 誤差
	2001 年 春季	0.94	0.63	0.85	0.32	0.90	0.84	0.22
	2001 年 夏季	0.57	0.40	0.60	0.20	0.63	0.61	0.21
	2001 年 秋季	1.10	0.82	0.87	0.33	1.12	0.89	0.25
示 性	2001 年 冬季	0.64	0.92	0.84	0.30	1.28	0.82	0.65
波高	2002 年 春季	0.32	0.57	0.90	0.25	0.85	0.88	0.53
	2002 年 夏季	0.21	0.48	0.89	0.27	0.70	0.89	0.49
	2002 年 秋季	0.35	0.70	0.90	0.36	1.00	0.87	0.65
	2002 年 冬季	0.67	0.89	0.76	0.33	1.27	0.77	0.61
	2001 年春季	5.57	5.69	0.75	0.68	5.29	0.80	0.66
	2001 年 夏季	5.12	5.54	0.45	0.96	4.51	0.60	0.83
	2001 年 秋季	6.20	6.20	0.75	0.78	5.74	0.76	0.91
示 性	2001 年 冬季	7.64	6.12	0.70	1.52	6.10	0.64	1.57
週期	2002 年 春季	6.63	5.31	0.79	1.37	5.00	0.67	1.67
	2002 年 夏季	6.75	5.46	0.38	1.64	4.61	0.33	2.22
	2002 年 秋季	7.69	6.16	0.56	1.89	5.28	0.57	2.56
	2002 年 冬季	7.57	6.21	0.42	1.43	5.89	0.35	1.78

5.3 風浪模式長期推算建立之相關模式

根據本年度合約,相關模式為其一研究重點,其目的為透過回歸公式,可由風速資料即可快速推算波高,期望可作為系統無法操作或需要快速推算時之用。

5.3.1 相關模式理論介紹

本節以風與浪之間的關係來建立各測站的相關模式,決定以指數型態迴歸的方式來求得風與浪的公式,假設風浪模式輸入的風速與波高可成立如下

$$\hat{H}_{1/3} = A \exp(BU_{10}) \tag{5-3-1}$$

其中 $\hat{H}_{1/3}$ 為迴歸線之示性波高值 (m), U_{10} 為風速(m/s), $A \times B$ 為 待求係數。一般用最小二乘法來推算待求係數值,再以 Person 積差相關係數的平方值 R^2 來決定此相關模式的可靠性, R^2 值越高表是模式的信賴度更高。

$$R^{2} = 1 - \frac{\sum (H_{1/3} - \hat{H}_{1/3})^{2}}{\sum (H_{1/3})^{2} - \frac{(\sum H_{1/3})^{2}}{n}}$$
(5-3-2)

其中 H_{1/3} 為風浪模式計算出的波高值。

5.3.2 台灣7個商港之風浪相關模式

圖 5.2-56 至圖 5.2-69 分別為遠域風浪模式於七大港附近 2001 年至 2002 年風速與示性波高之關係圖,圖中黑點為某時刻之風速所對照的波高值,黑實線為模式最佳迴歸趨勢線,迴歸公式如圖右下角所示,Y 代表因變數的波高,X 代表自變數的風速值,同時有列出 R^2 (R-squared) 來確認此相關模式的實用性。在此若定義 $R^2>0.5$ 以上即可應用此相關模式來作一簡易推估方法,從圖中可看出安平港僅有春

季及冬季符合,冬季之 R² 值甚至達 0.65 以上,花蓮港與蘇澳港在,冬季值尚有 0.46 之水準,同樣高雄港也是春、冬雨季的模擬情況較佳,基隆與台北港也是冬季模擬情況較好, R² 介於 0.42 ~0.62 之間,同樣也是冬季,台中港在春、冬雨季的值介於 0.55~0.65 之間。圖 5.2-70 及圖 5.2-83 則分別為近域 SWAN 風浪模式於七大港附近 2001 年至 2002年風速與示性波高之關係圖,基本上近域模式與遠域模式在迴歸時的趨勢是一致的,甚至在提升秋季的 R² 值,可從安平、花蓮、基隆、蘇澳及台北港看出實用性增大的情形。

根據以上分析顯示遠域模式的風浪相關模式應用時,冬季波浪示性波高與風速之相關性較為一致,較具有其應用性,而近岸模式的相關模式則可應用之秋、冬兩季,R² 約在 0.5 以上,另外花蓮港、基隆港、蘇澳港及台北港均在冬季發生示性波高之最大平均值,由於台灣東、北部地區在冬季屬於東北季風迎風面,受東北季風影響時間較長,且風向較為一致,故造成此地區波浪變化較大,可看出似乎在風速較大的情況下,由於波浪受到風的因素所佔成分偏大,而其他波浪效應(如折射、淺化等)相對起來影響力偏小的情況下,另外台灣夏季主要受到颱風波浪影響,風速與示性波高之相關性較小。

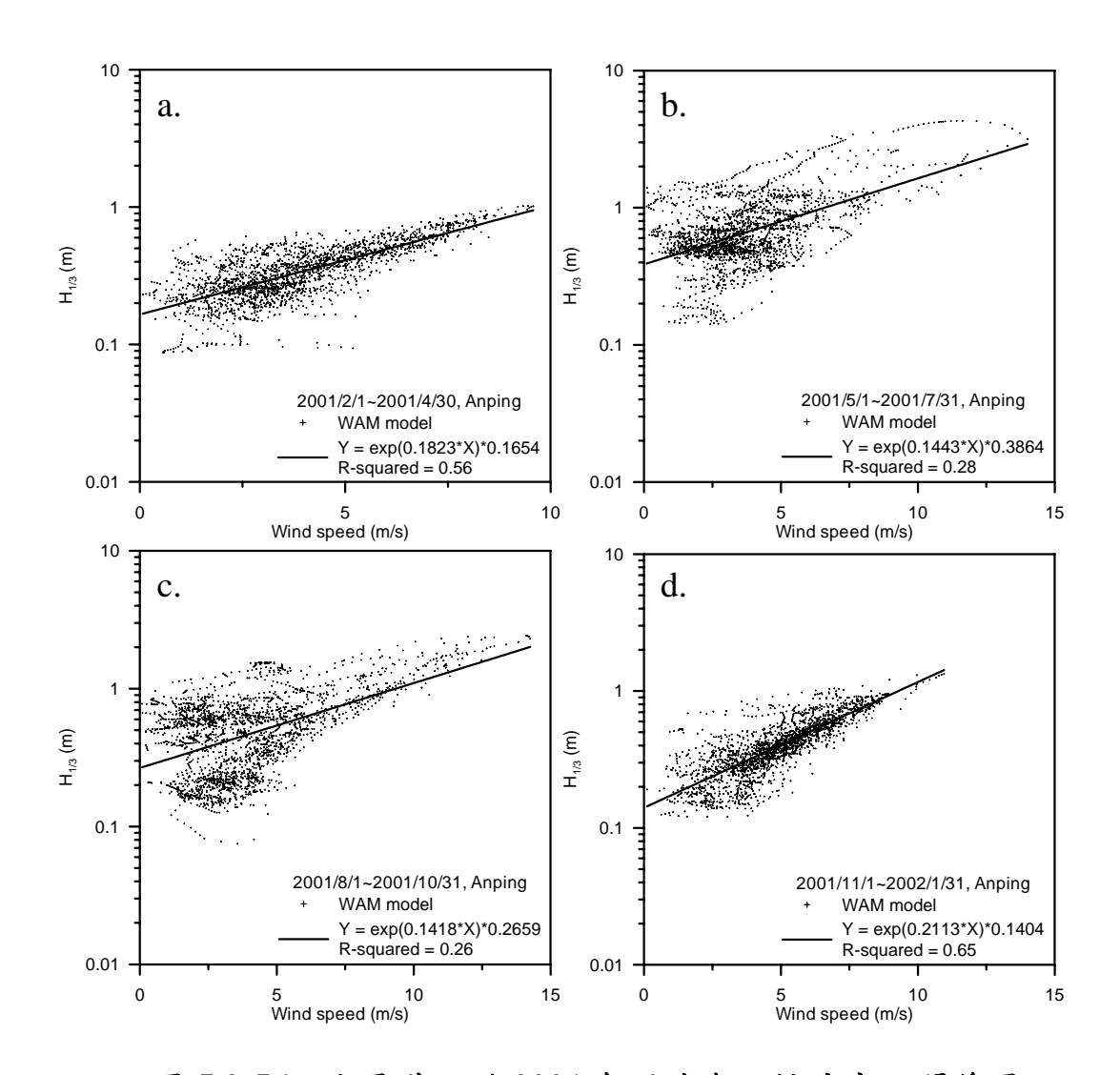


圖 5.2-56 安平港附近 2001 年風速與示性波高之關係圖 (a.春季、b.夏季、c.秋季、d.冬季, WAM)

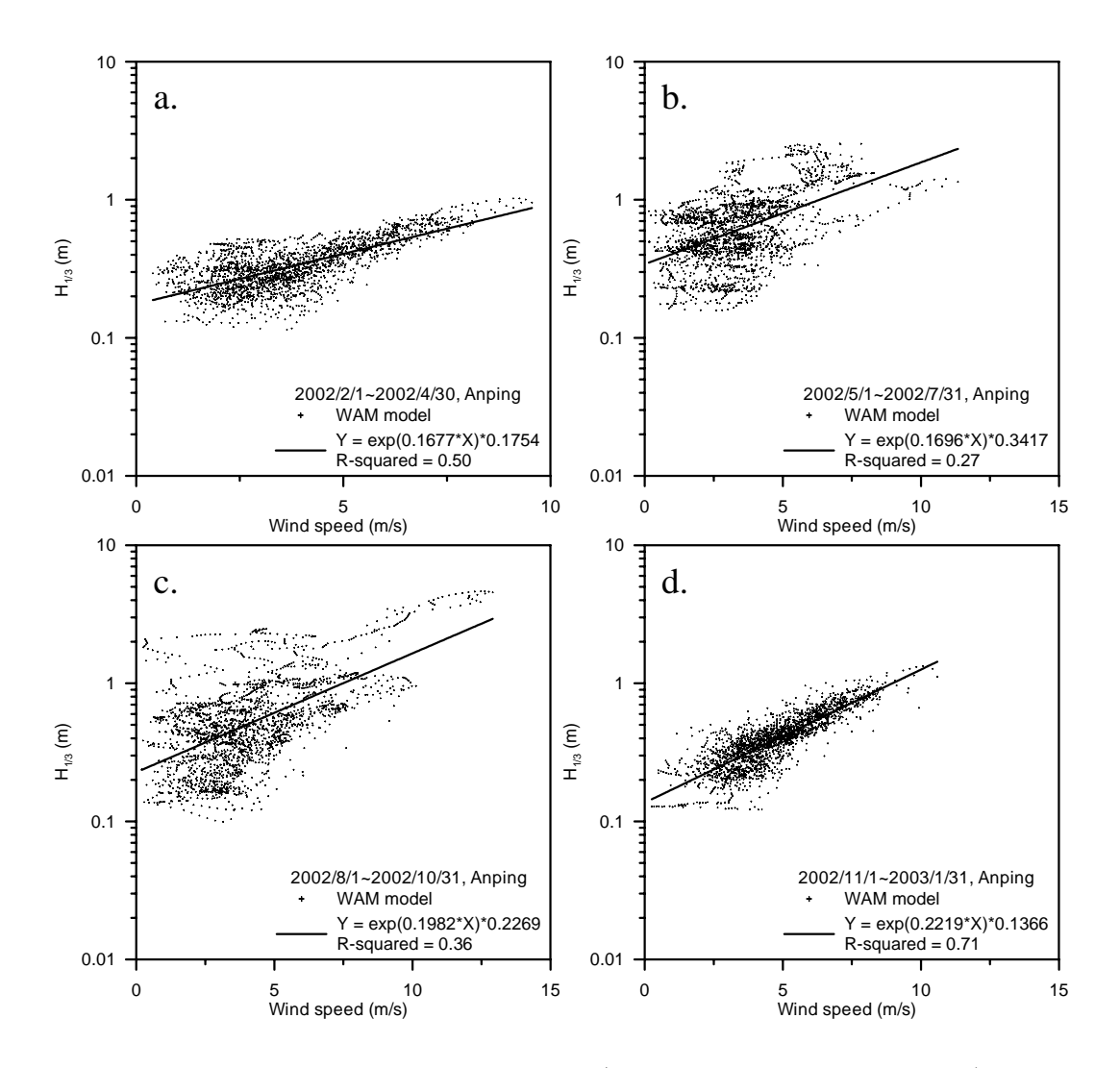


圖 5.2-57 安平港附近 2002 年風速與示性波高之關係圖 (a.春季、b.夏季、c.秋季、d.冬季, WAM)

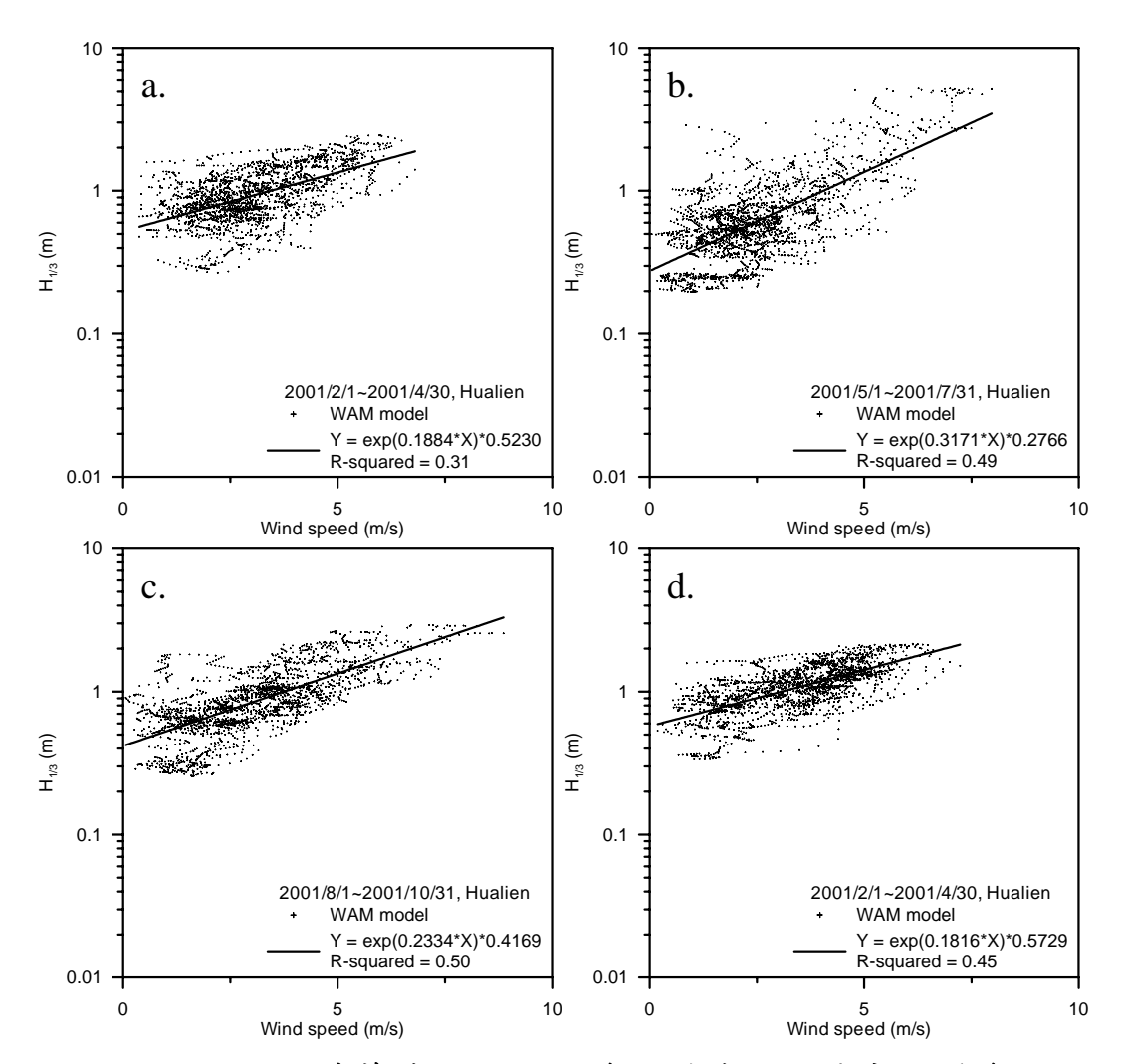


圖 5.2-58 花蓮港附近 2001 年風速與示性波高之關係圖 (a.春季、b.夏季、c.秋季、d.冬季, WAM)

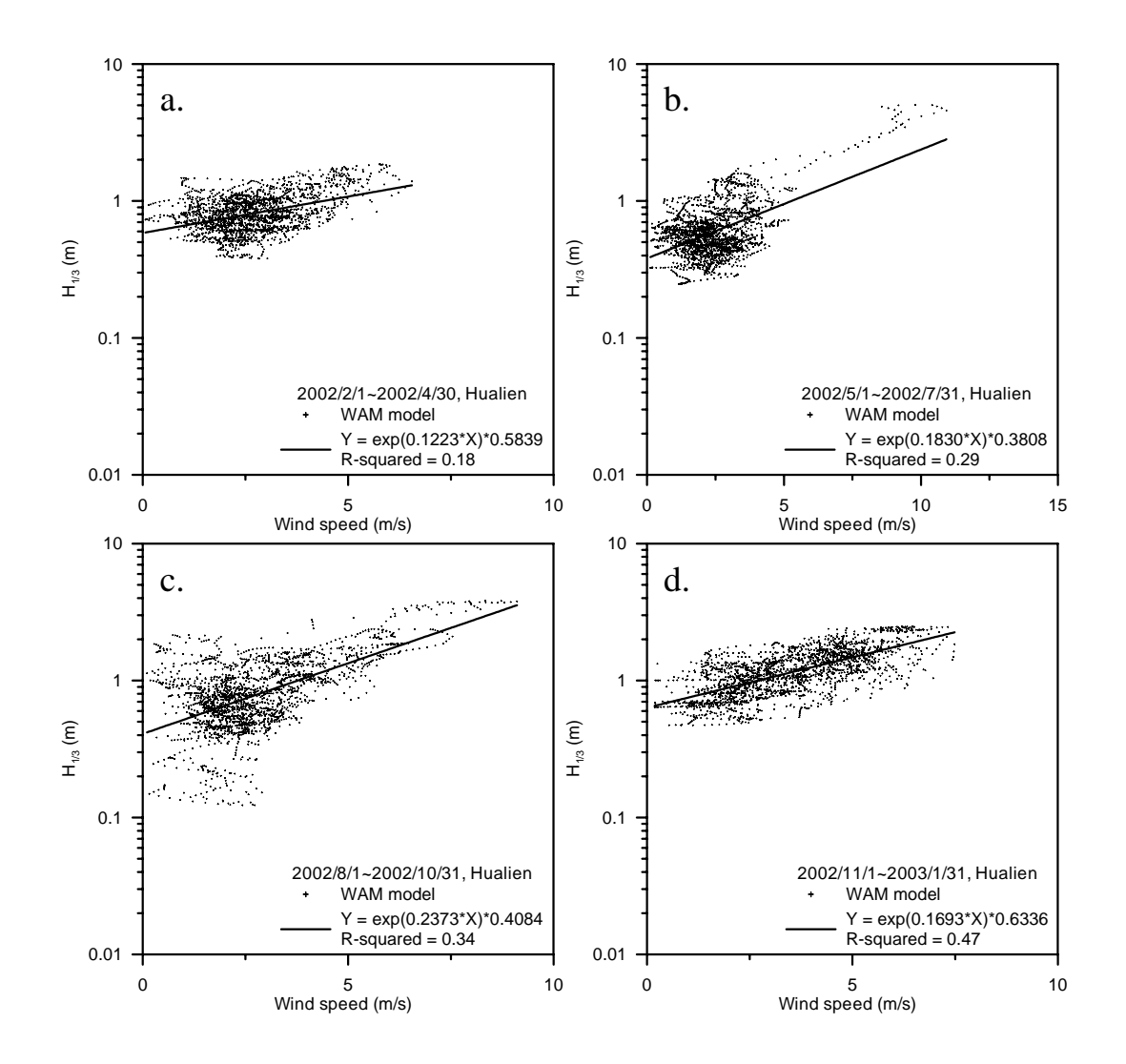


圖 5.2-59 花蓮港附近 2002 年風速與示性波高之關係圖 (a.春季、b.夏季、c.秋季、d.冬季, WAM)

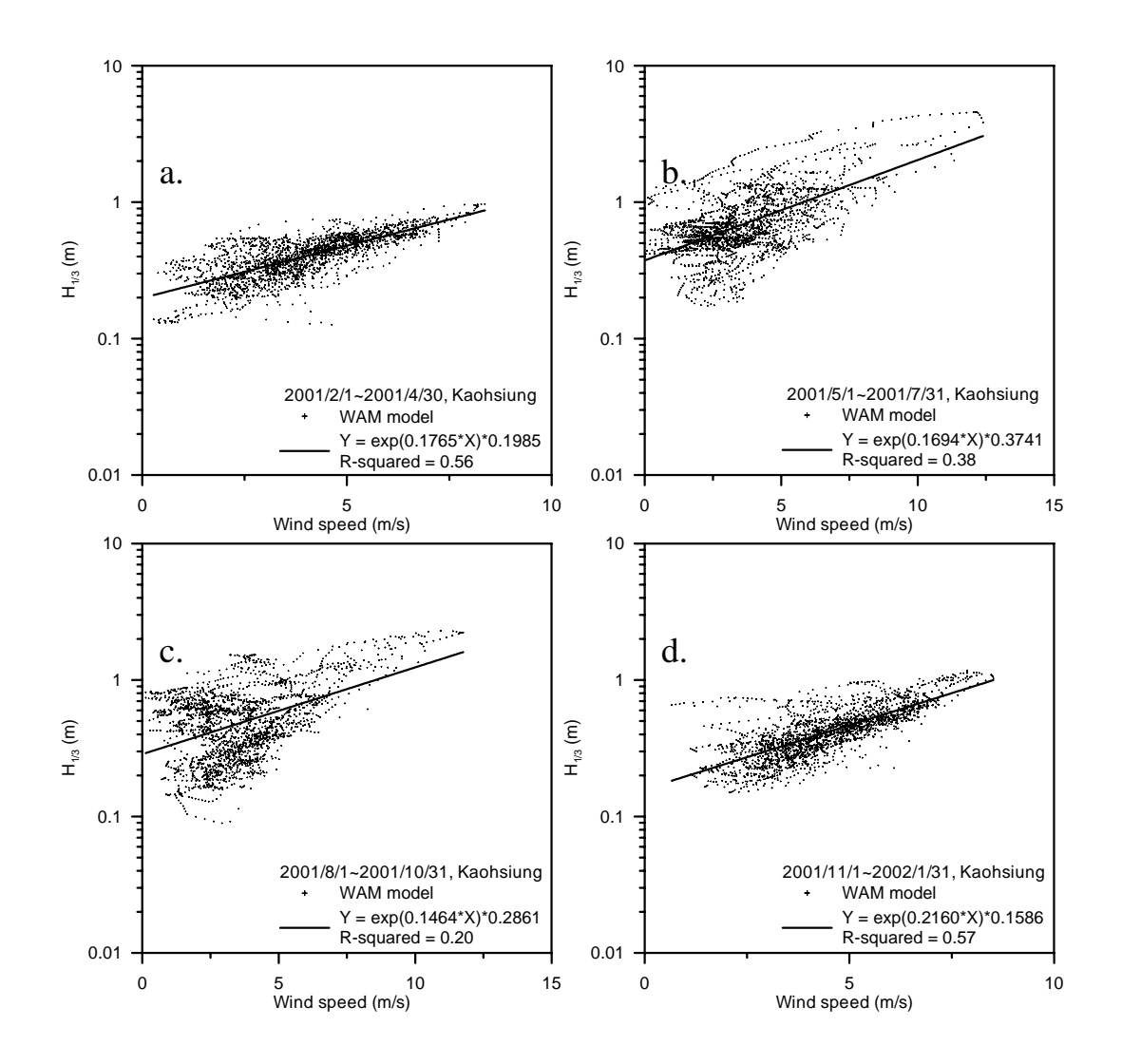


圖 5.2-60 高雄港附近 2001 年風速與示性波高之關係圖 (a.春季、b.夏季、c.秋季、d.冬季, WAM)

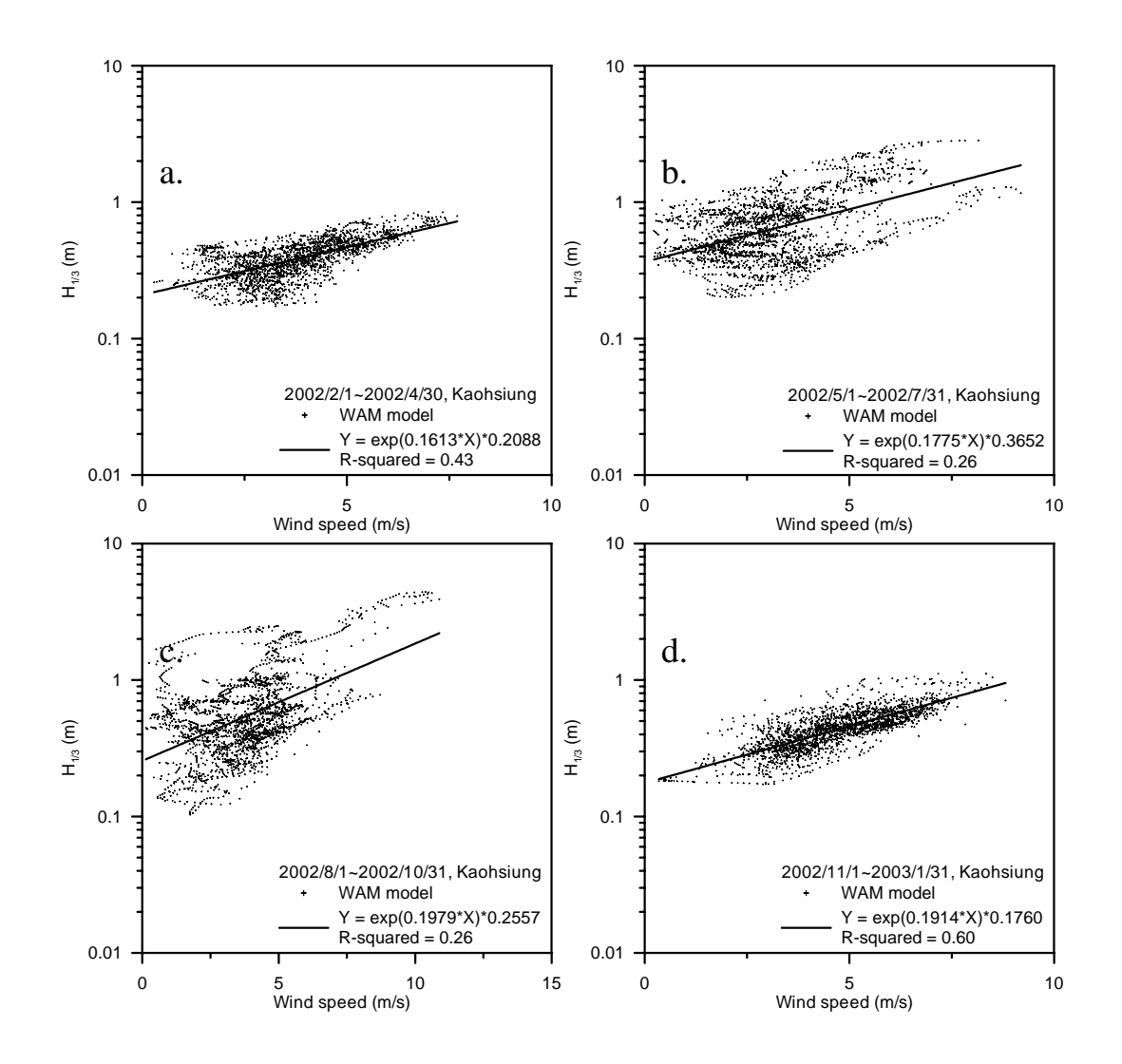


圖 5.2-61 高雄港附近 2002 年風速與示性波高之關係圖 (a.春季、b.夏季、c.秋季、d.冬季, WAM)

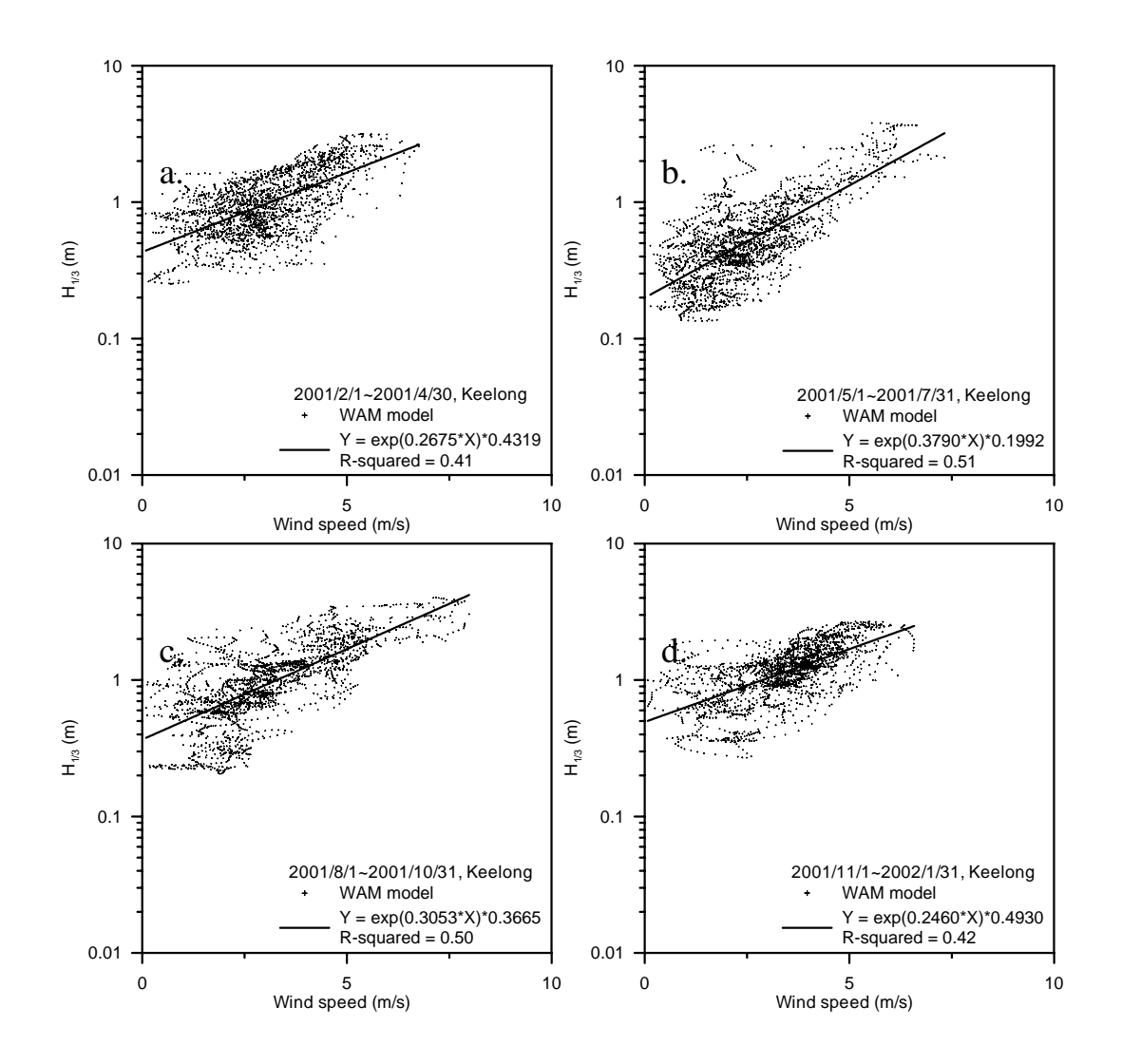


圖 5.2-62 基隆港附近 2001 年風速與示性波高之關係圖 (a.春季、b.夏季、c.秋季、d.冬季, WAM)

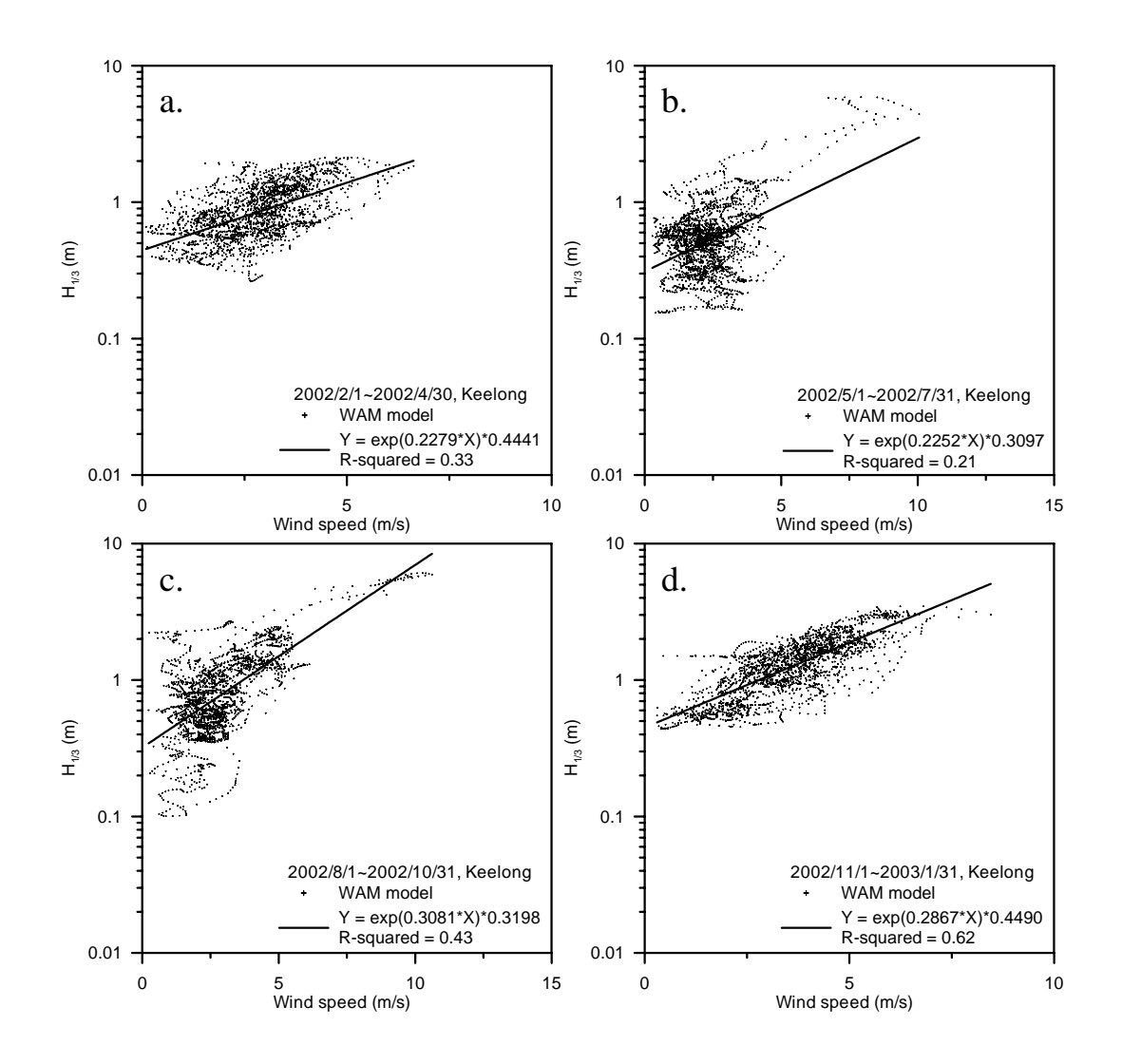


圖 5.2-63 基隆港附近 2002 年風速與示性波高之關係圖 (a.春季、b.夏季、c.秋季、d.冬季, WAM)

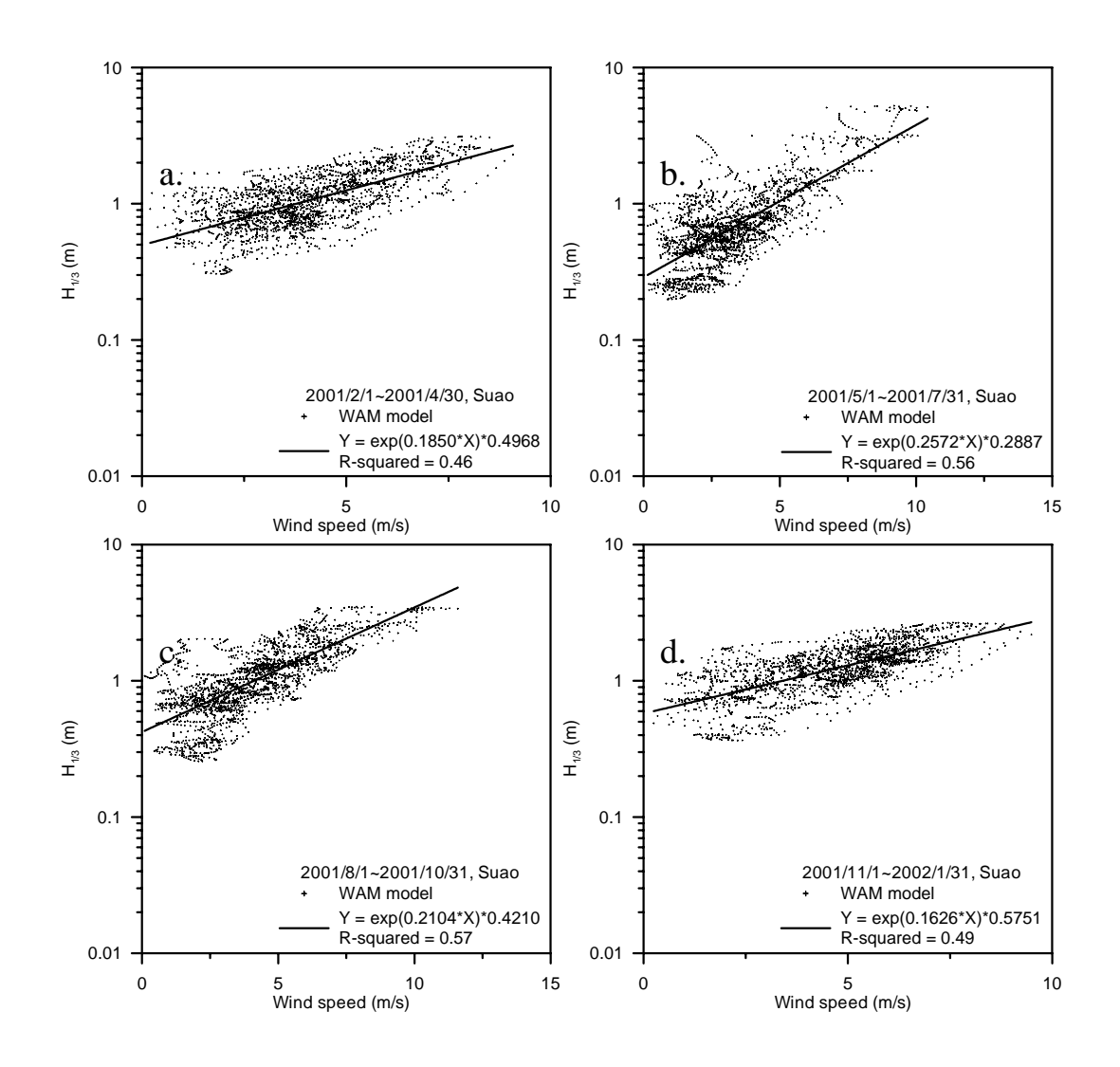


圖 5.2-64 蘇澳港附近 2001 年風速與示性波高之關係圖 (a.春季、b.夏季、c.秋季、d.冬季, WAM)

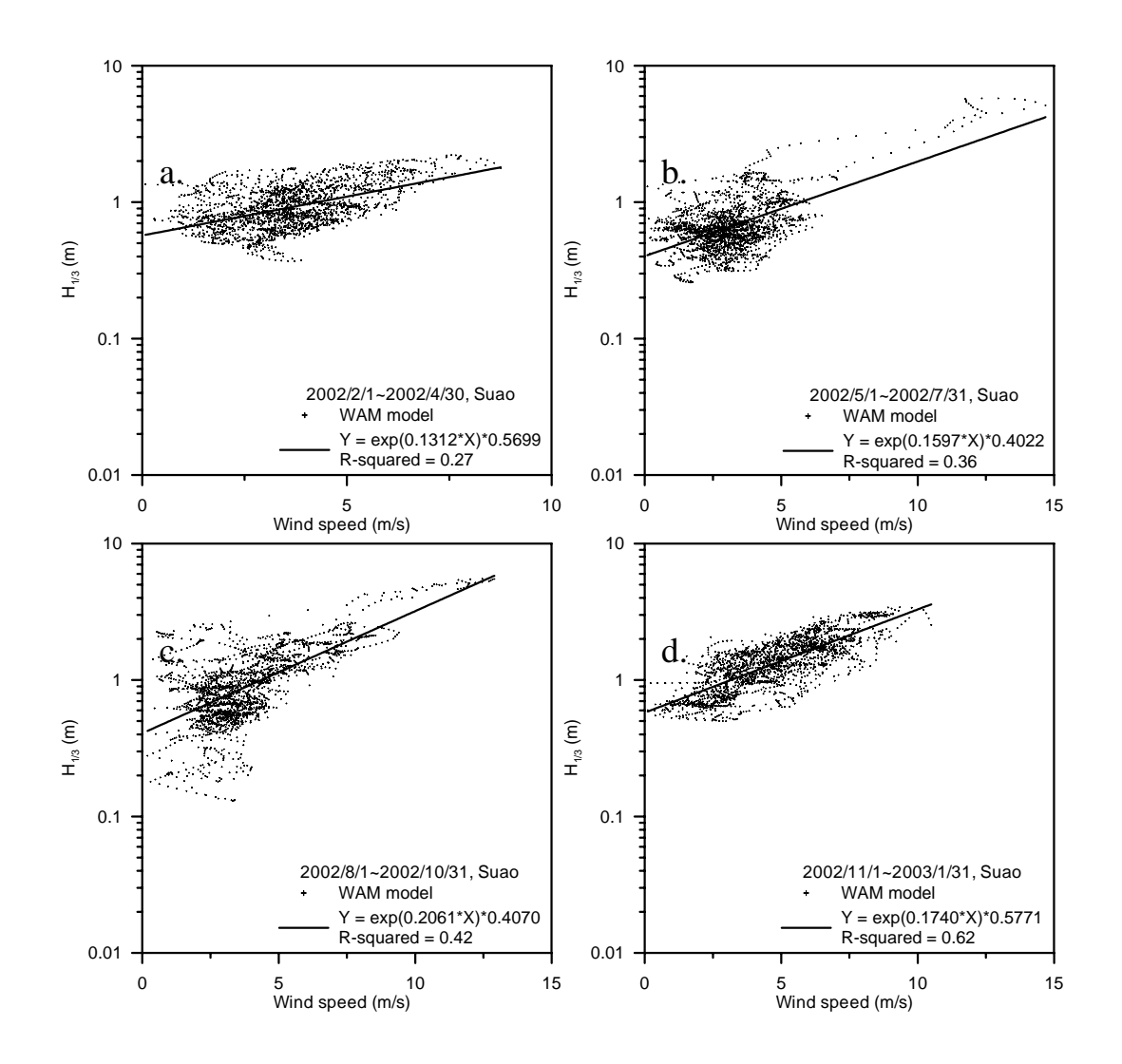


圖 5.2-65 蘇澳港附近 2002 年風速與示性波高之關係圖 (a.春季、b.夏季、c.秋季、d.冬季, WAM)

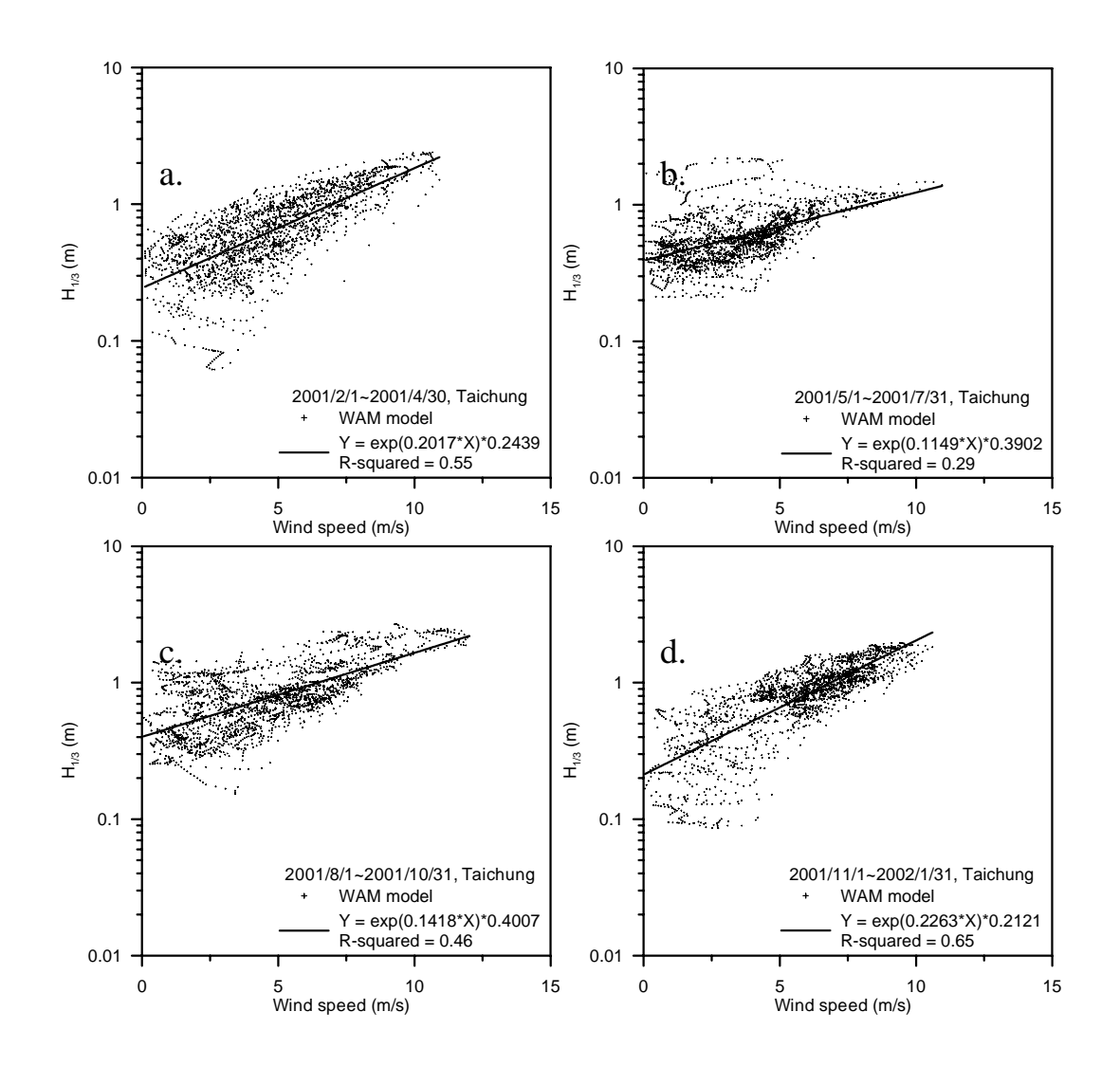


圖 5.2-66 台中港附近 2001 年風速與示性波高之關係圖 (a.春季、b.夏季、c.秋季、d.冬季, WAM)

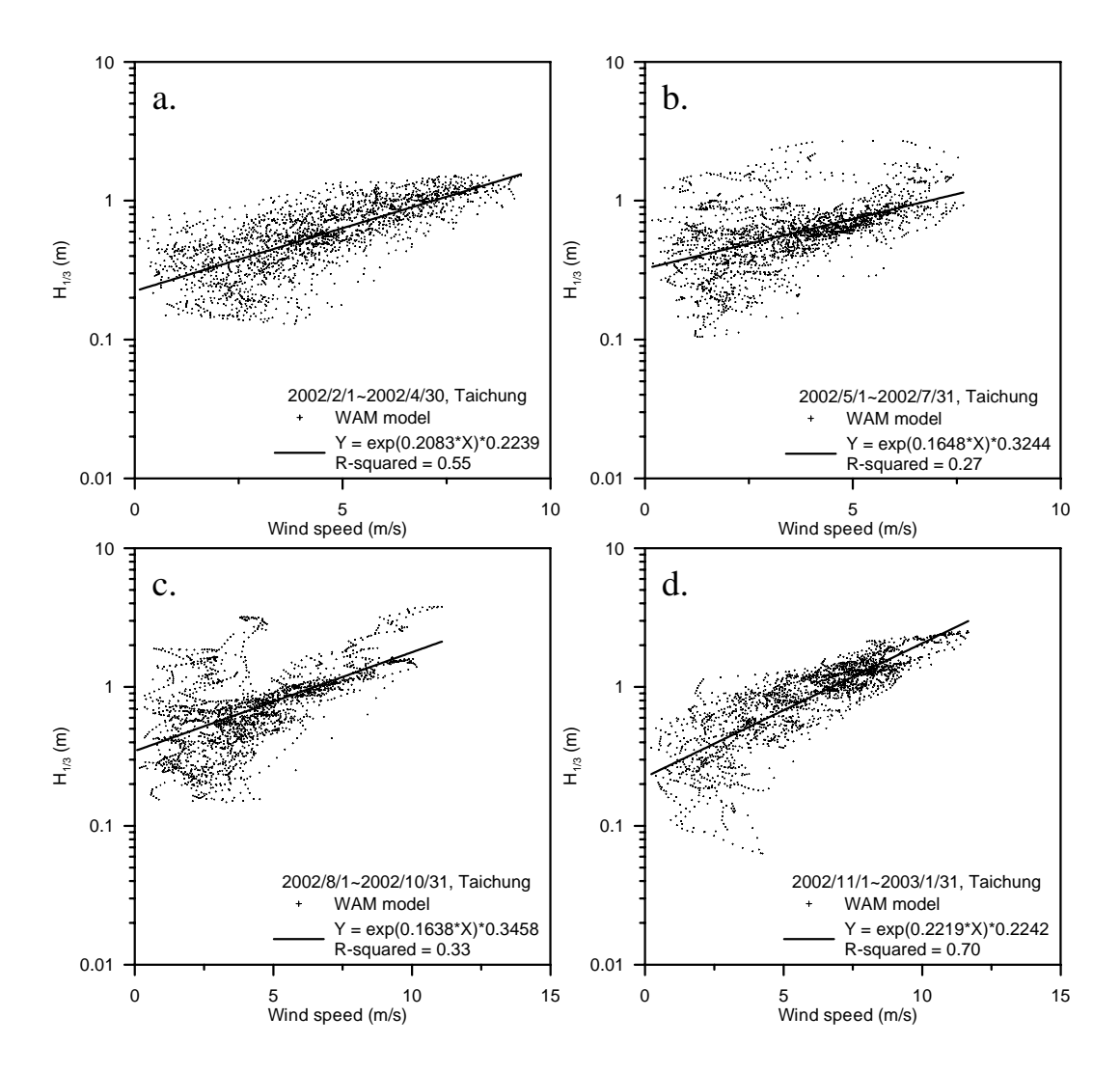


圖 5.2-67 台中港附近 2002 年風速與示性波高之關係圖 (a.春季、b.夏季、c.秋季、d.冬季, WAM)

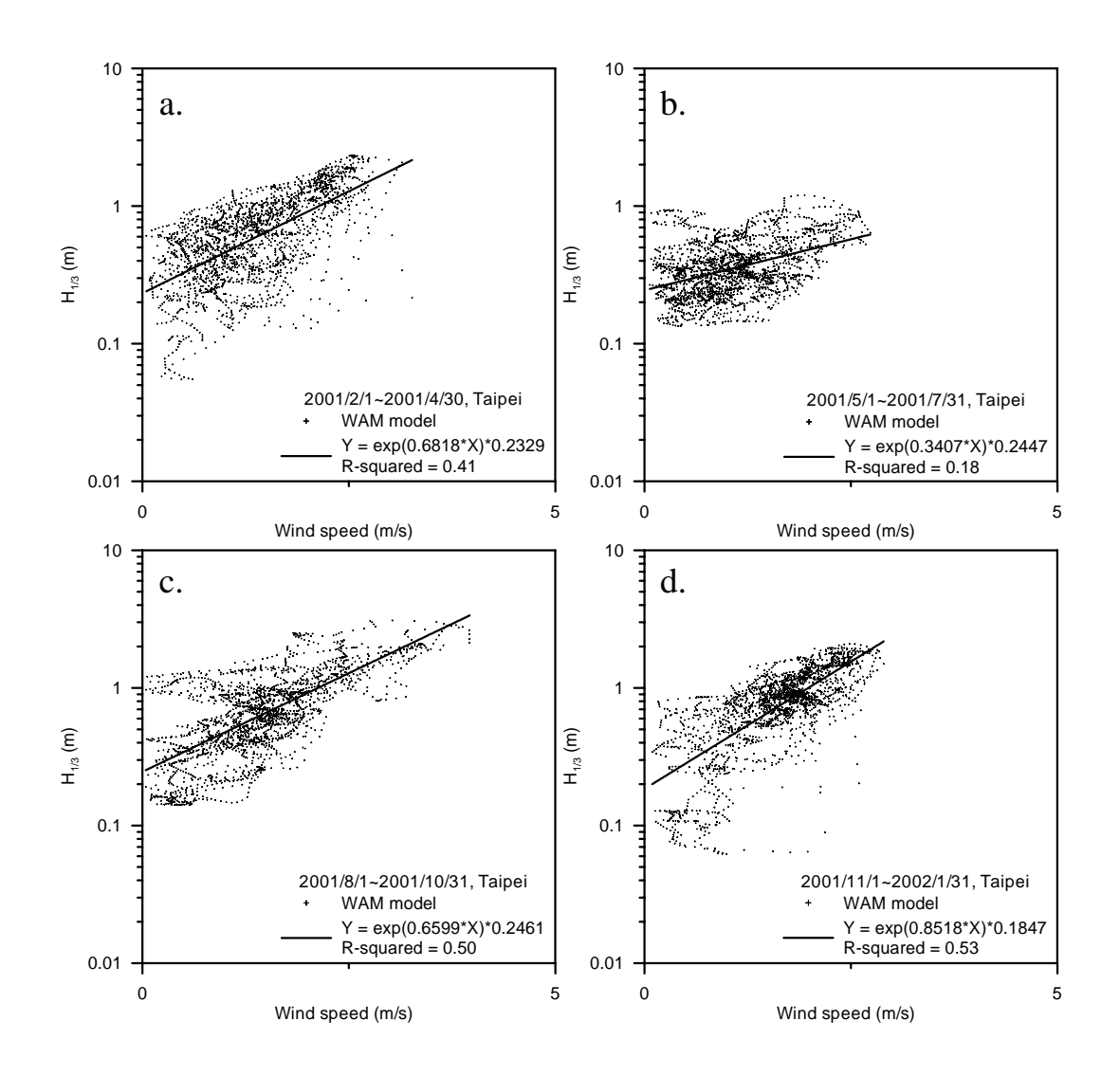


圖 5.2-68 台北港附近 2001 年風速與示性波高之關係圖 (a.春季、b.夏季、c.秋季、d.冬季, WAM)

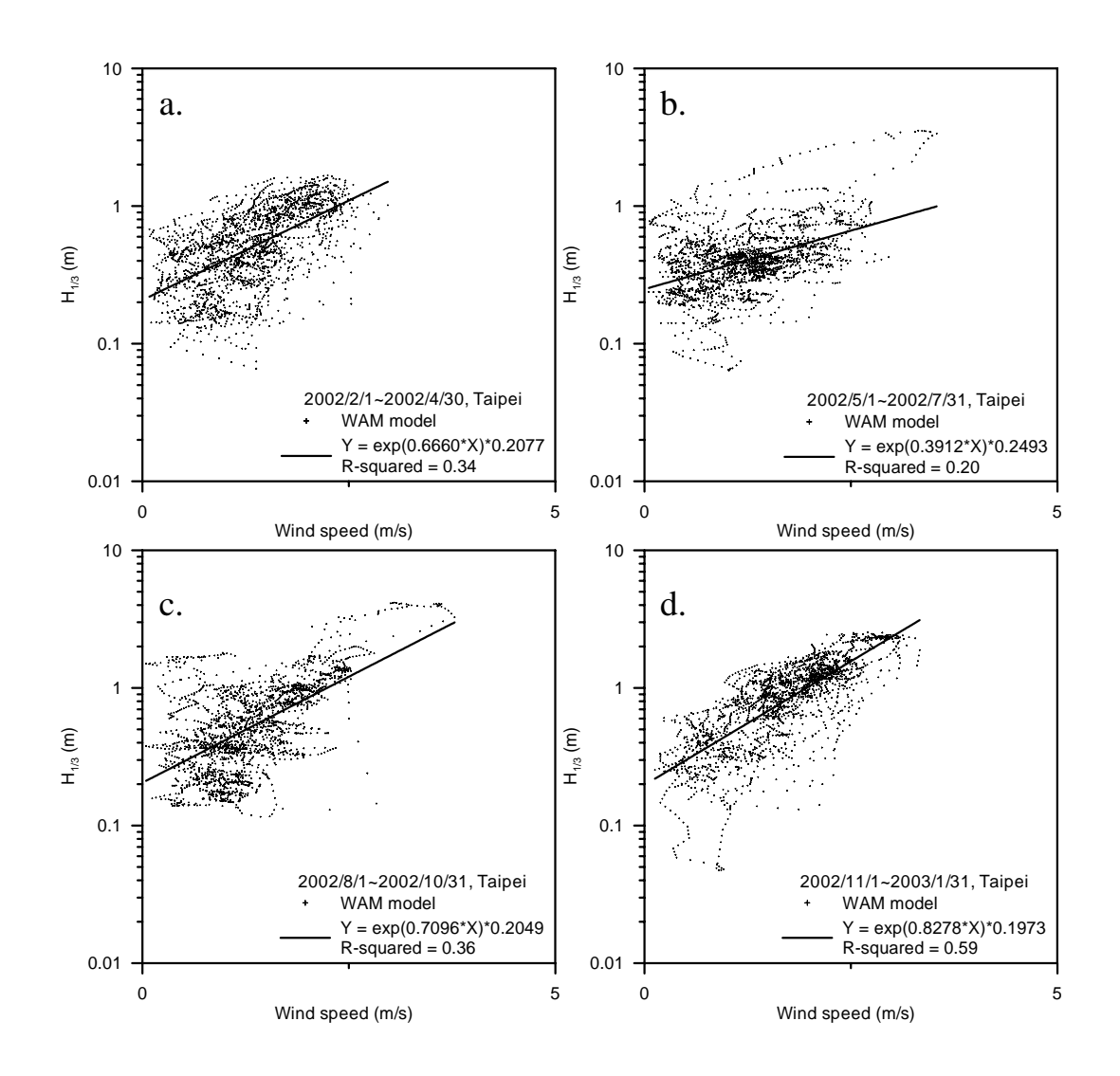


圖 5.2-69 台北港附近 2002 年風速與示性波高之關係圖 (a.春季、b.夏季、c.秋季、d.冬季, WAM)

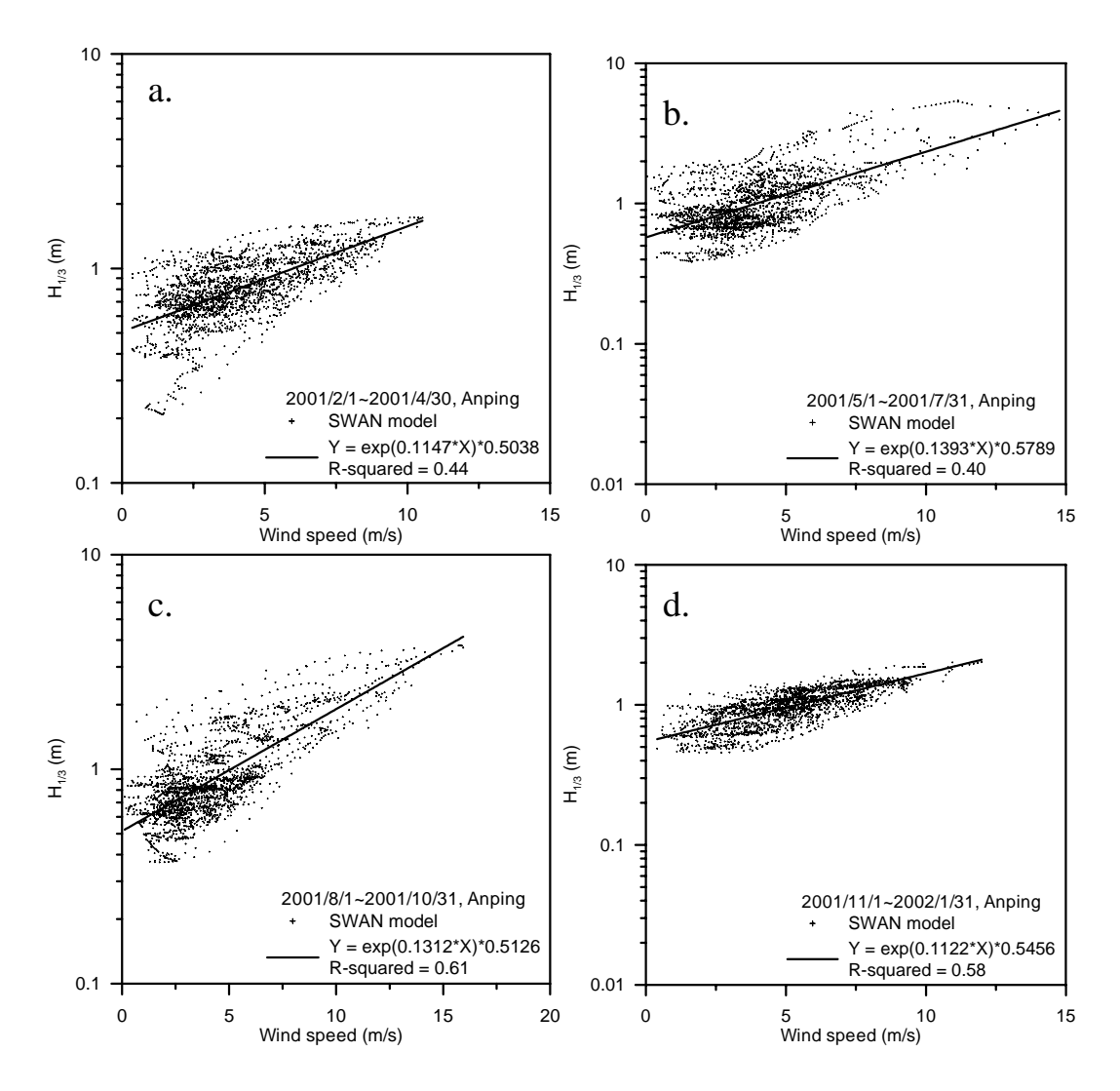


圖 5.2-70 安平港附近 2001 年風速與示性波高之關係圖 (a.春季、b.夏季、c.秋季、d.冬季, SWAN)

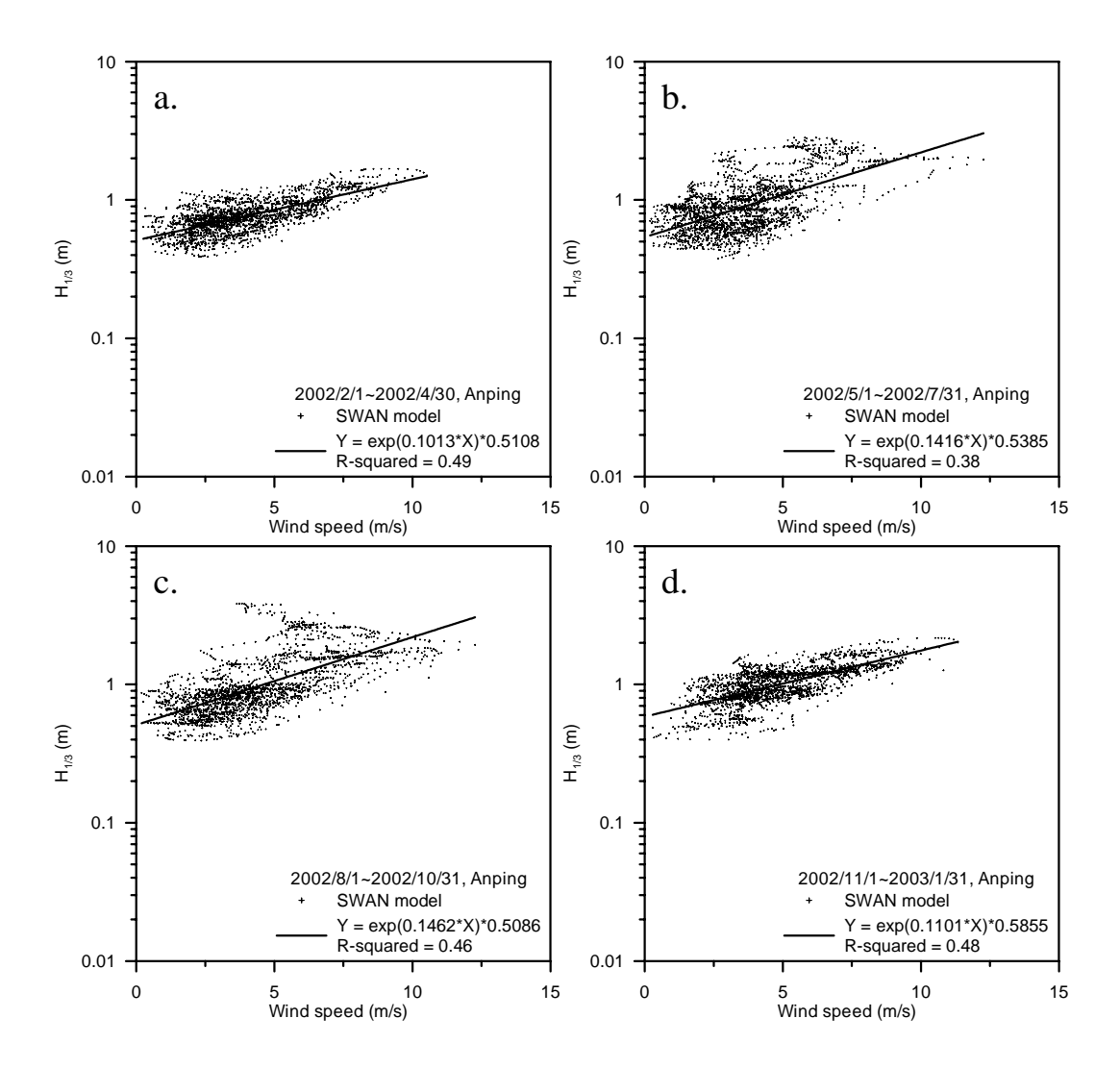


圖 5.2-71 安平港附近 2002 年風速與示性波高之關係圖 (a.春季、b.夏季、c.秋季、d.冬季, SWAN)

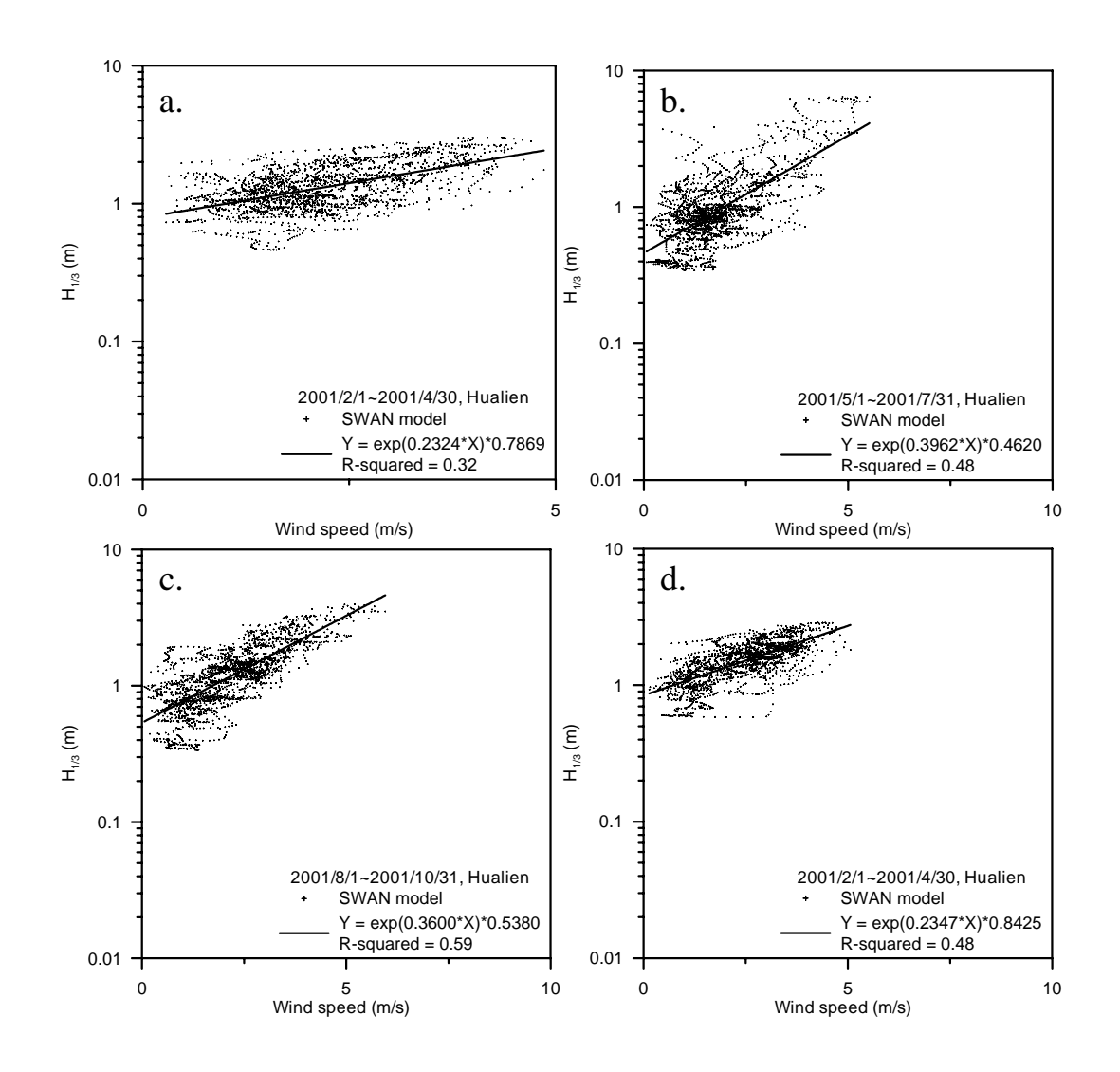


圖 5.2-72 花蓮港附近 2001 年風速與示性波高之關係圖 (a.春季、b.夏季、c.秋季、d.冬季, SWAN)

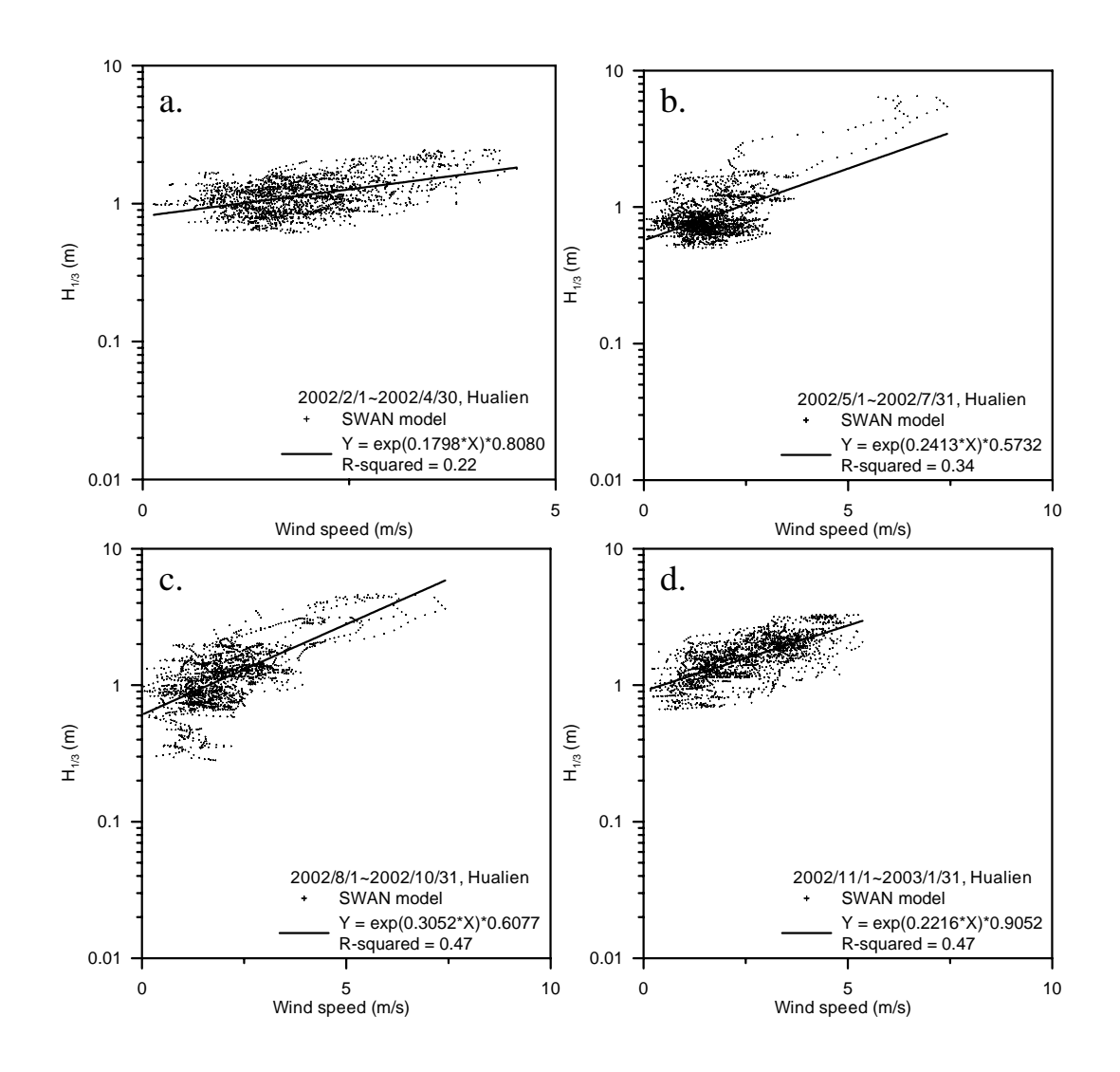


圖 5.2-73 花蓮港附近 2002 年風速與示性波高之關係圖 (a.春季、b.夏季、c.秋季、d.冬季, SWAN)

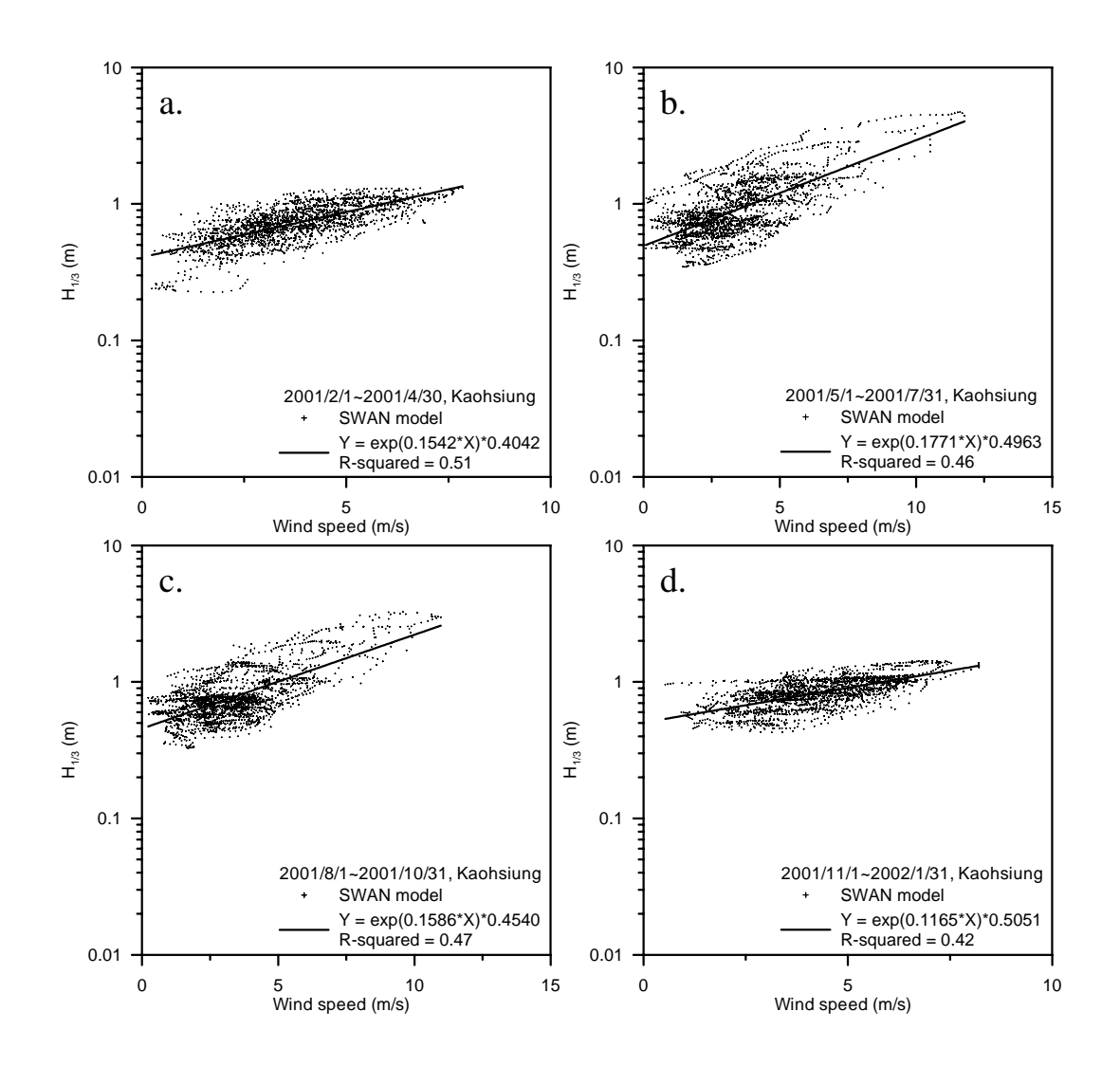


圖 5.2-74 高雄港附近 2001 年風速與示性波高之關係圖 (a.春季、b.夏季、c.秋季、d.冬季, SWAN)

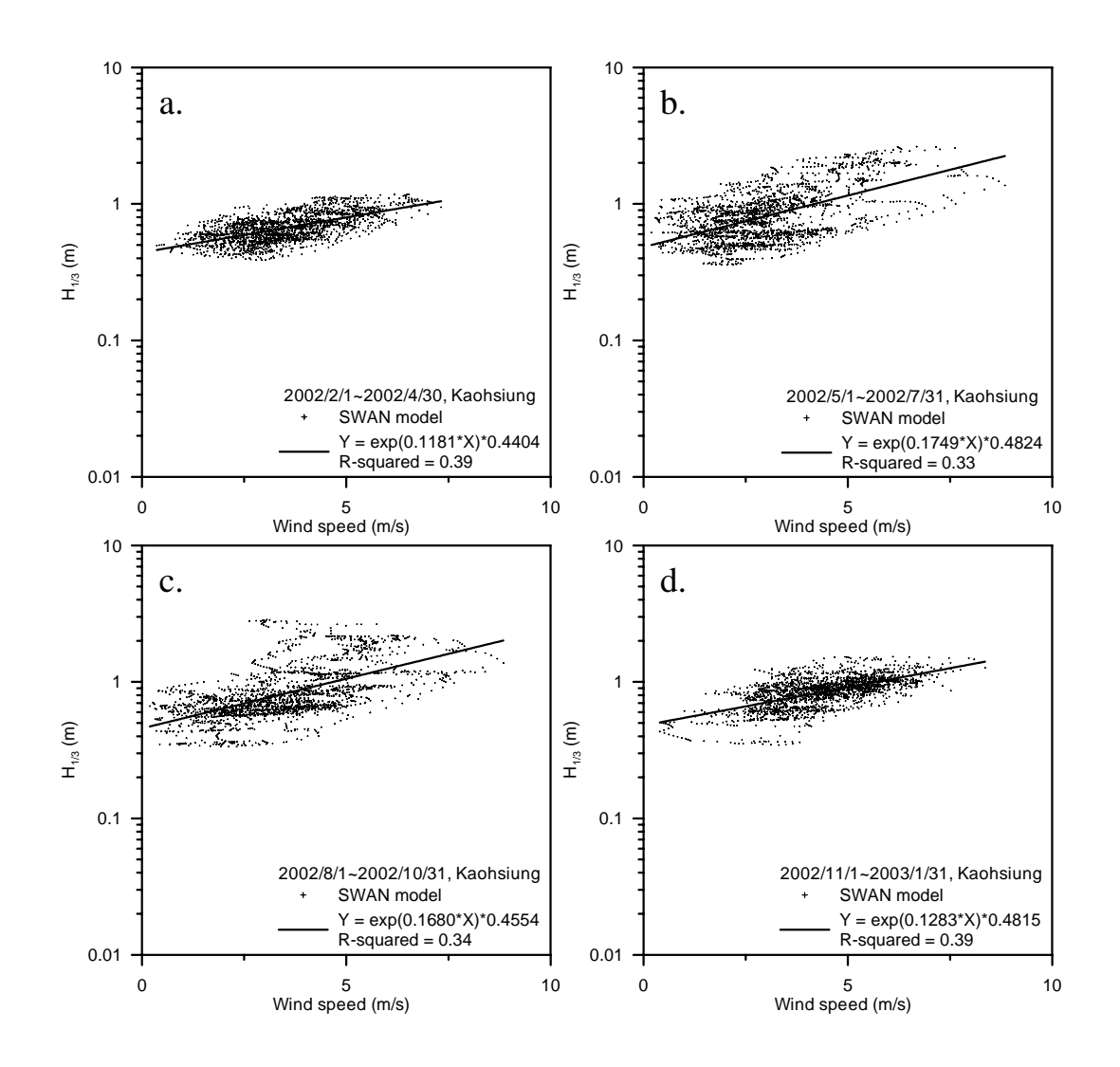


圖 5.2-75 高雄港附近 2002 年風速與示性波高之關係圖 (a.春季、b.夏季、c.秋季、d.冬季, SWAN)

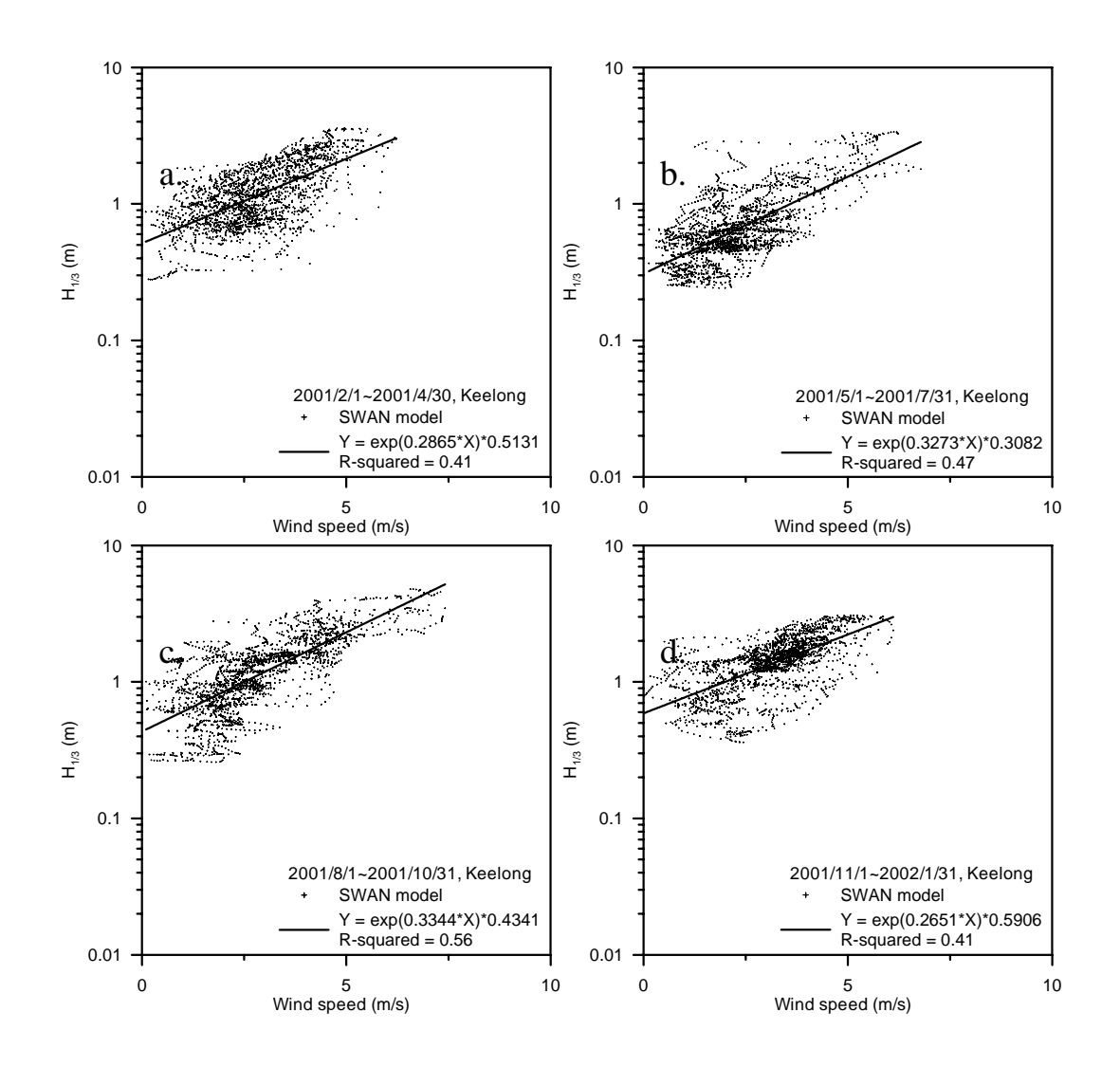


圖 5.2-76 基隆港附近 2001 年風速與示性波高之關係圖 (a.春季、b.夏季、c.秋季、d.冬季, SWAN)

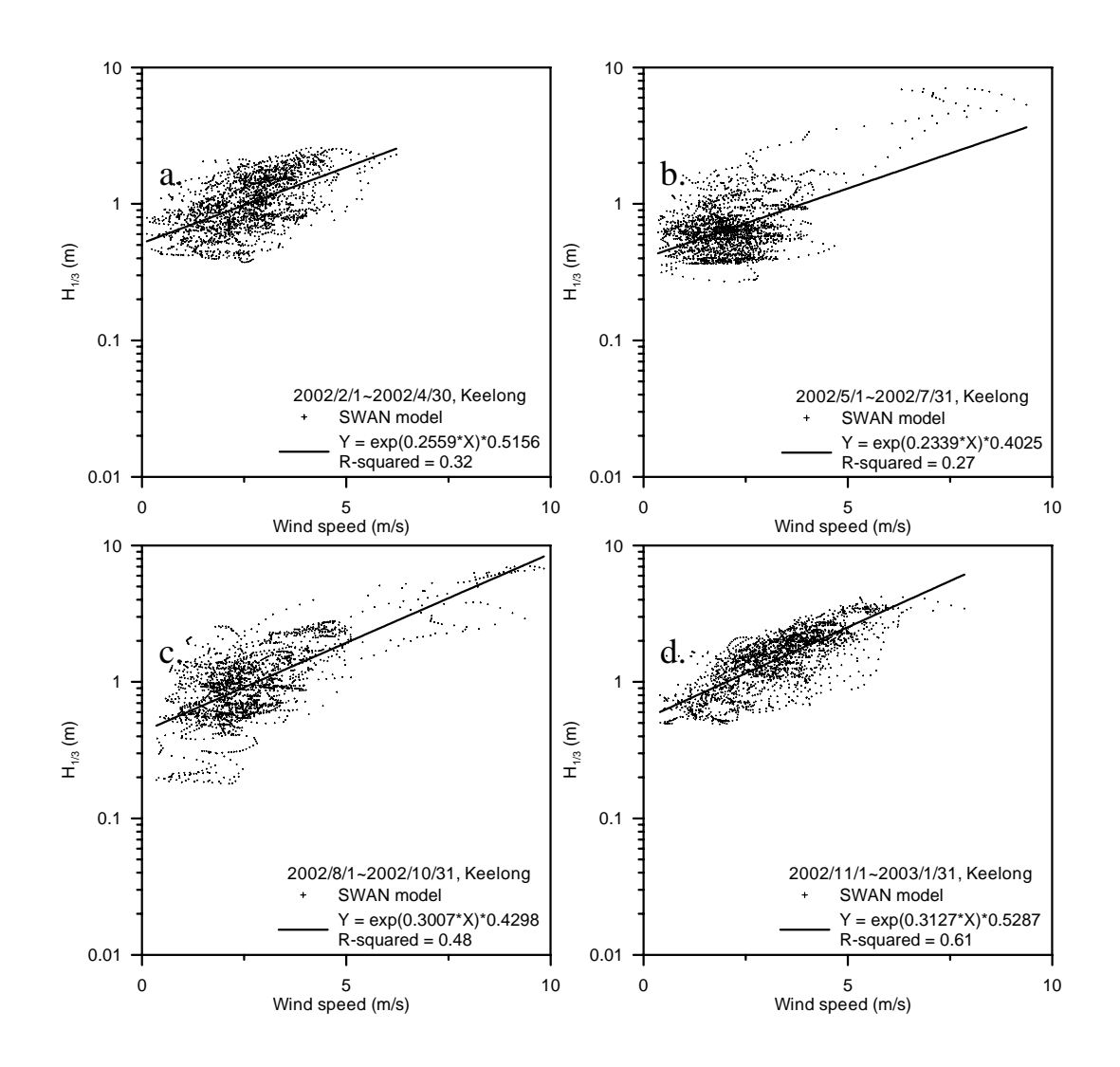


圖 5.2-77 基隆港附近 2002 年風速與示性波高之關係圖 (a.春季、b.夏季、c.秋季、d.冬季,SWAN)

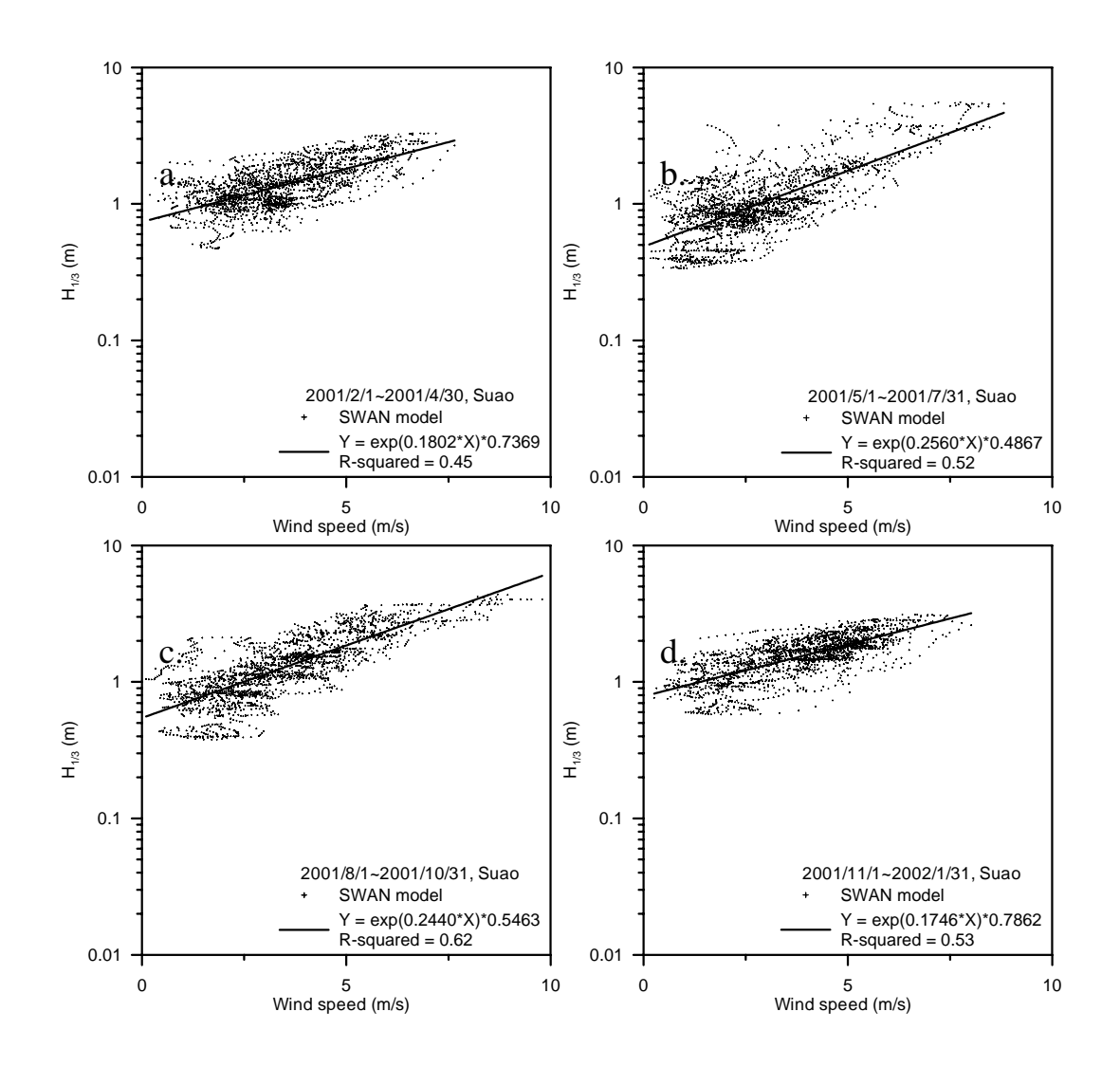


圖 5.2-78 蘇澳港附近 2001 年風速與示性波高之關係圖 (a.春季、b.夏季、c.秋季、d.冬季, SWAN)

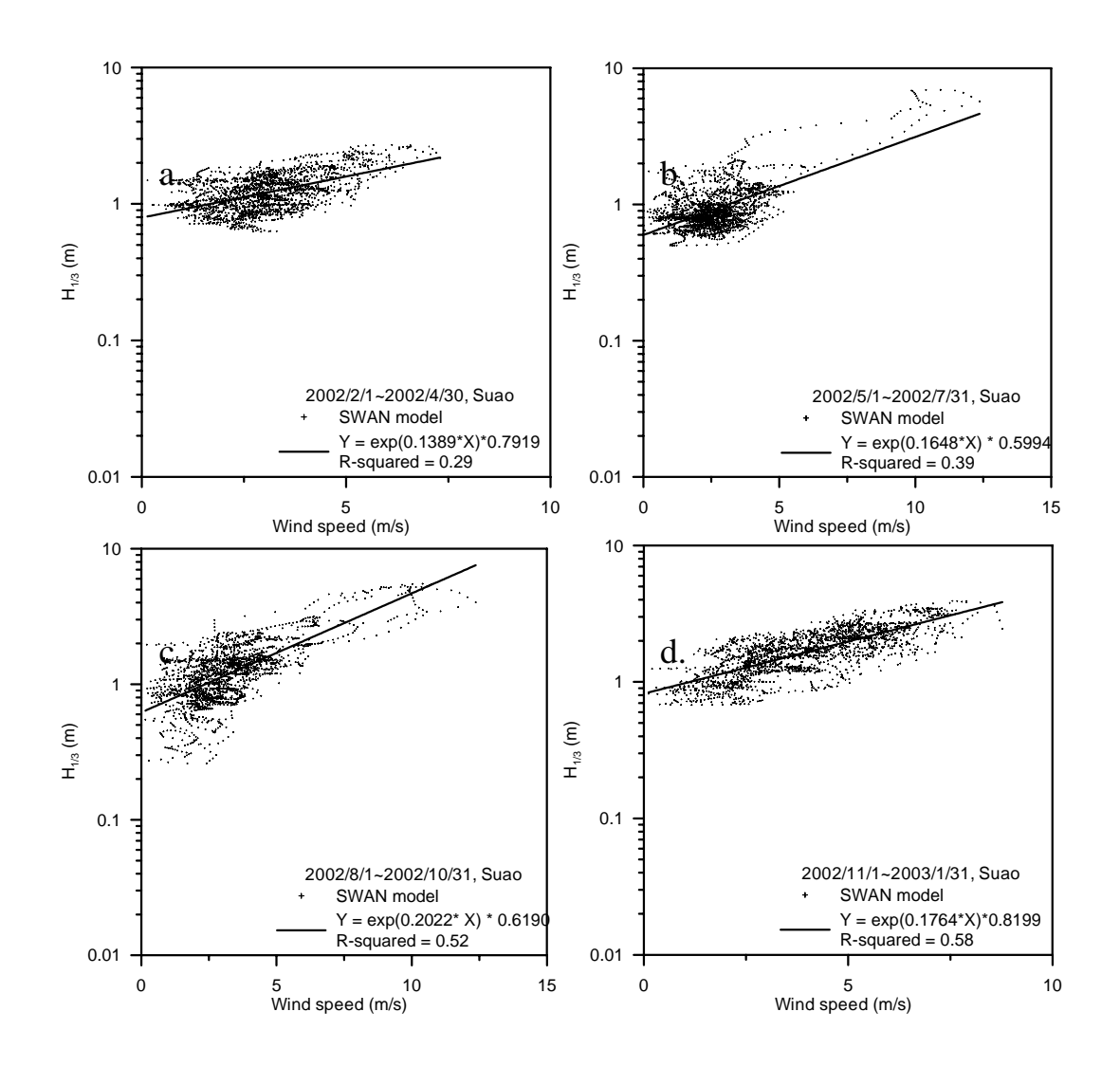


圖 5.2-79 蘇澳港附近 2002 年風速與示性波高之關係圖 (a.春季、b.夏季、c.秋季、d.冬季, SWAN)

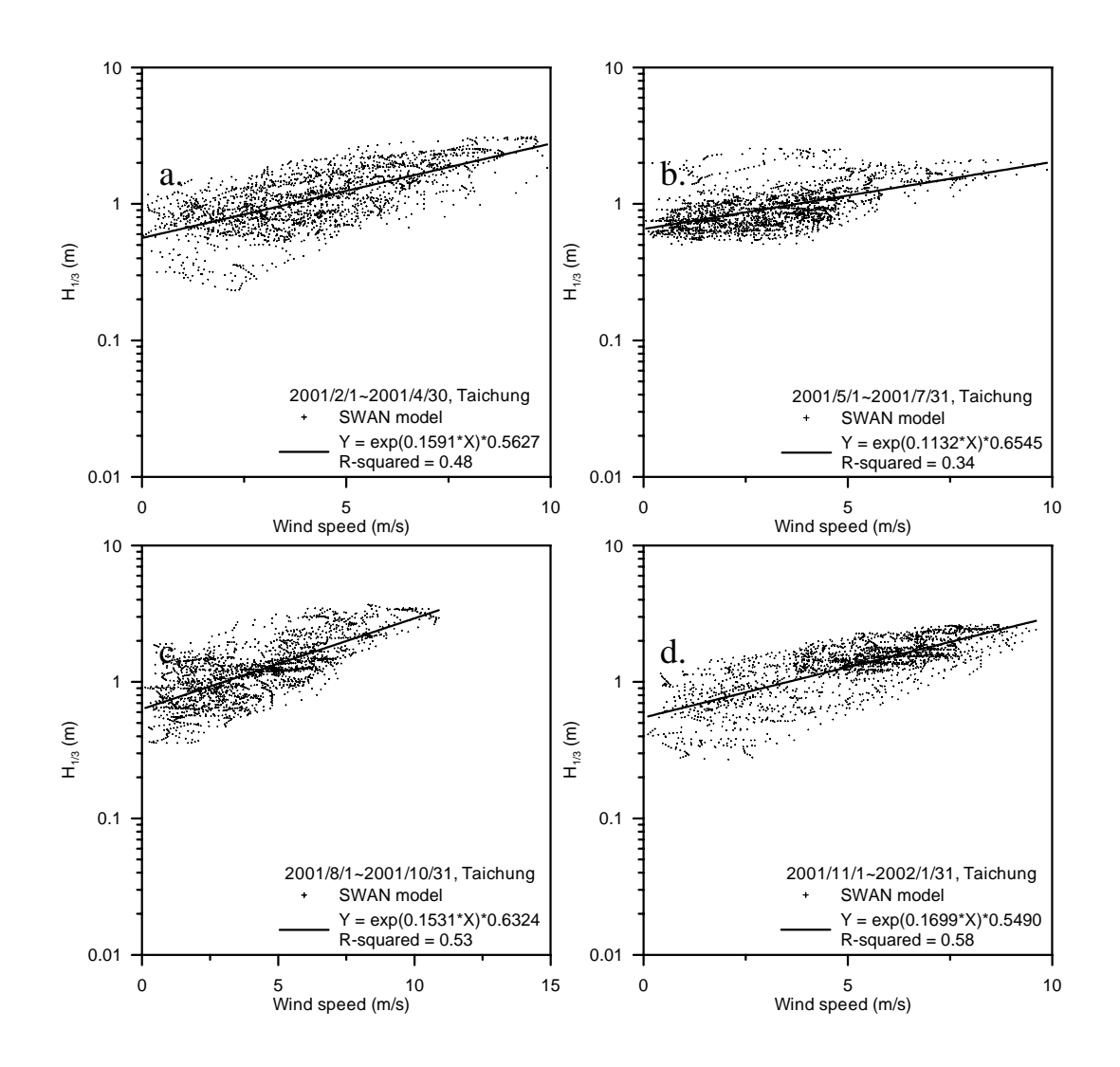


圖 5.2-80 台中港附近 2001 年風速與示性波高之關係圖 (a.春季、b.夏季、c.秋季、d.冬季, SWAN)

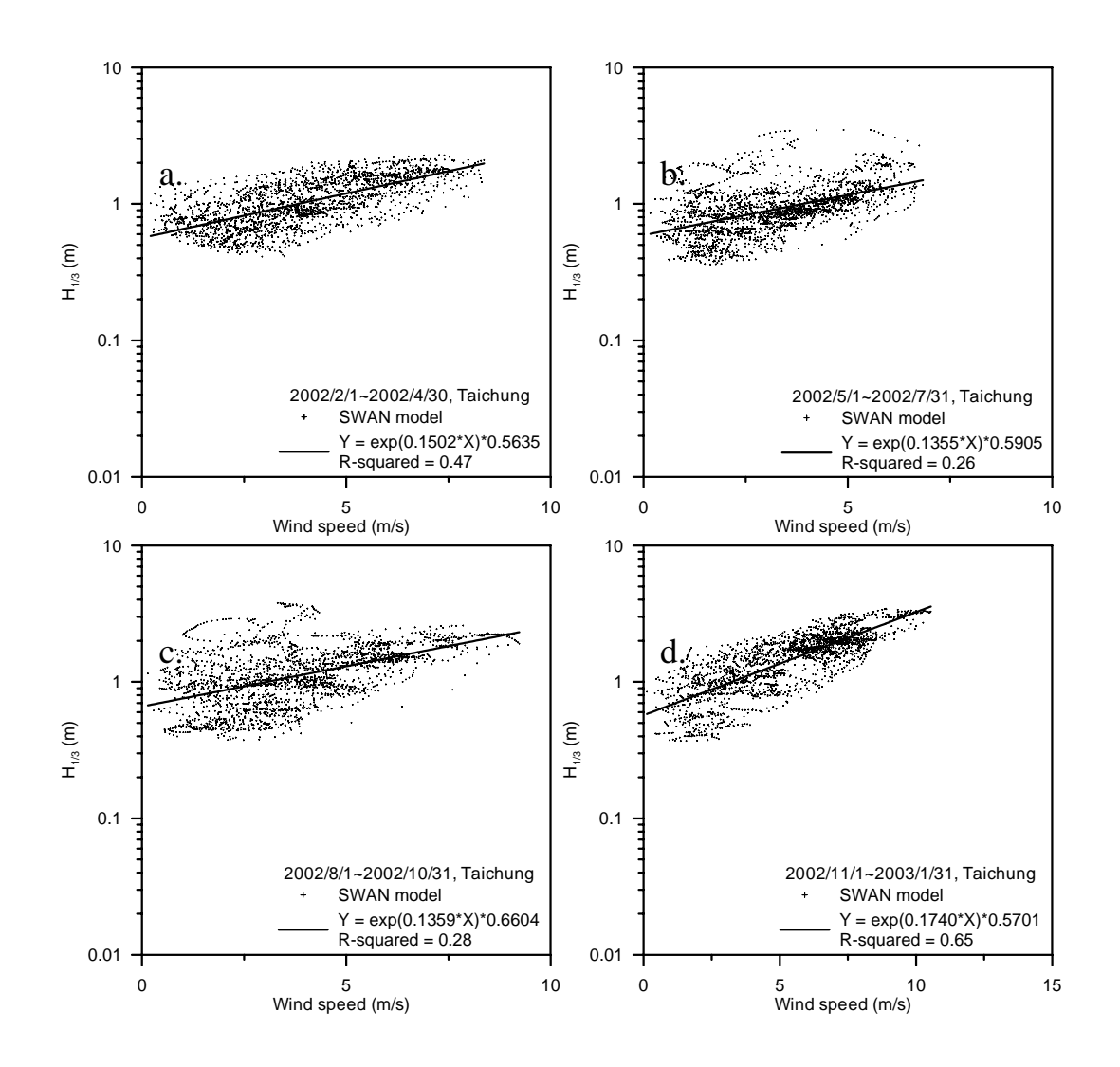


圖 5.2-81 台中港附近 2002 年風速與示性波高之關係圖 (a.春季、b.夏季、c.秋季、d.冬季, SWAN)

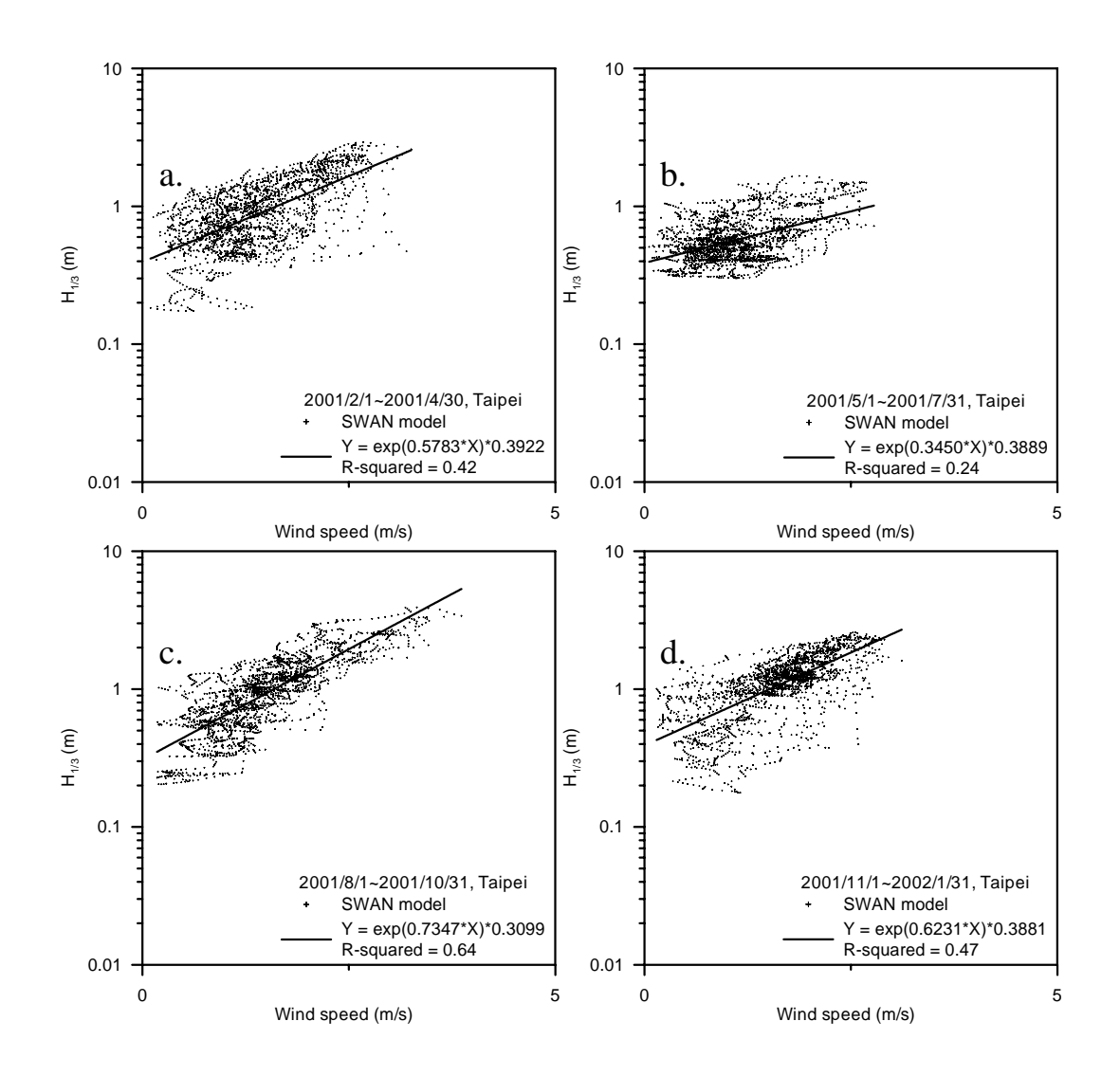


圖 5.2-82 台北港附近 2001 年風速與示性波高之關係圖 (a.春季、b.夏季、c.秋季、d.冬季, SWAN)

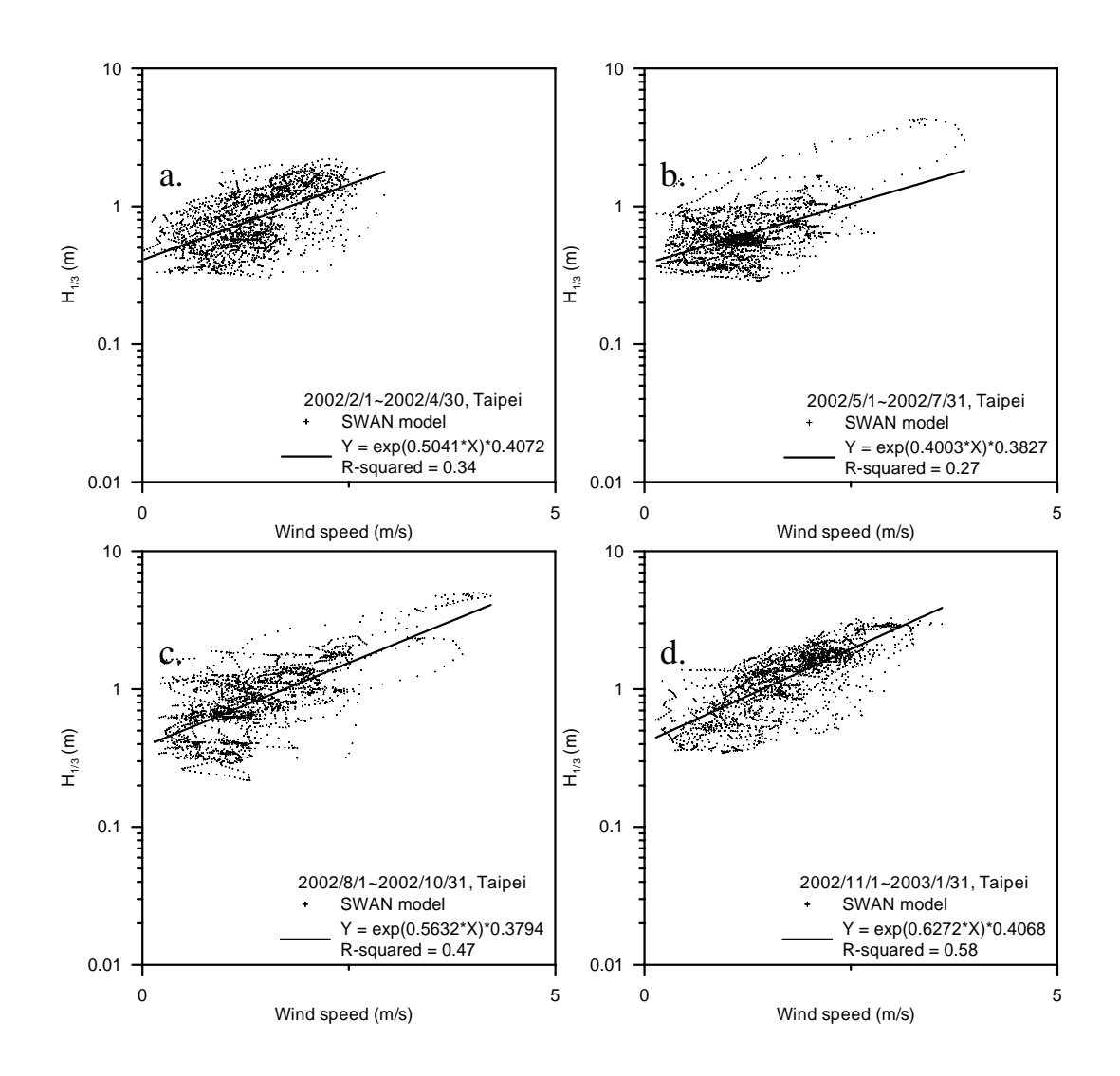


圖 5.2-83 台北港附近 2002 年風速與示性波高之關係圖 (a.春季、b.夏季、c.秋季、d.冬季, SWAN)

第六章 波浪、水位模式與觀測資料之資料同化

為了降低計算所需的時間及資源,本研究利用類神經網路與數值 波浪模式進行聯結計算,以建立波浪、水位模式與觀測資料之資料同 化(assimilation)。因此,本研究利用數值波浪及水位模式,在外海區域 先進行波浪及水位的推算,再連結類神經網路之波浪及水位推算模 式,配合觀測資料,以達降低計算量並滿足區域特性。

6.1 能量平衡方程式

本研究對同化解析方法的條件及使用條件說明如下:

假設風、波浪的作用機制滿足能量守恆,對於大區域的波浪推算模式,如 WAM (1988)或 Tolman (1997)等,在風場作用下的二維波譜 $E(t,\phi,\theta,\lambda)$ 能量守恆方程式表示為:

$$\frac{\partial E}{\partial t} + \frac{1}{\cos \phi} \frac{\partial}{\partial \phi} (\phi E \cos \theta) + \frac{\partial}{\partial \lambda} (\lambda E) + \frac{\partial}{\partial \theta} (\theta E) = \frac{S}{\sigma}$$
 (6-1)

$$S = S_{in} + S_{nl} + S_{ds} + S_{bot} ag{6-2}$$

其中,t為時間, θ 是波浪的前進方向, ϕ 、 λ 是經度及緯度, σ 為成分波的頻率, $\dot{\phi}$ 、 $\dot{\lambda}$ 是群波速度在經度及緯度方向的分量, $\dot{\theta}$ 為波浪方向改變率,S是總和的能量交換,包括風能輸入作用項(S_{in}),波波間非線性交互作用項(S_{ni}),由白沫現象或是碎波波浪產生之能量散逸(S_{ds}),及底床摩擦的能量消耗(S_{hot})。

利用能量平衡式對風域進行波浪推算時,瞭解風場變動與能量輸入的機制就顯的相當重要,由於風場的變動因素包括風域分佈、行為等,而且風場需要足夠的作用時間提供海面形成波浪的能量,因此,對於風場與波浪波波間非線性交互作用、波浪白沫現象及碎波波浪產生之能量散逸皆與風域運動行為及風場規模的變動有密切的關係。以下說明式(6-2)之各項參數

1.風能輸入作用項 (S_{in})

風場能量輸入的建構方式,可使用即時衛星觀測資料、大氣氣象模式模擬以及參數風場模式,這三種提供風場能量輸入的方式前兩種需相當多的軟、硬體資源及冗長複雜的計算過程,而參數風場模式提供了較為簡潔的計算方式因此應用較為普遍,但是在解析運動行為複雜的風場結構時則參數式應用上相對受到較多限制。

2.波波間非線性交互作用項 (S_{n})

波浪在生成與傳遞的過程中,由於風場行為與位置的快速變動等因素形成不同週期、波高的波浪,造成波浪間的交互作用頻繁且複雜。假設交互作用的波浪都來自於風場,在這樣的假設下波波間非線性交互作用項 (S_m) 只與風場結構以及運動行為有關,相似的風場結構及風場運動行為有相似的波波間非線性交互作用結果。所以波波間非線性交互作用可以利用風場運動軌跡以及風場規模的變動描述。

3.能量散逸項(S_{ds})

對於波浪能量散逸的型態,主要來自於波浪的摩擦、碎波或是白沫現象,通常發生因素包括風速的驟變、地形的影響,在固定區域的考量下這些現象的發生也是來自於風場型態及行為變化,如果相似的風場結構及風場運動行為,則有相似的能量散逸作用的結果。對能量散逸項 (S_{as}) 的描述也可以利用風場運動軌跡以及風場規模的變化進行描述。

4.底床摩擦的能量消耗(S_{bot})

底床摩擦的能量消耗(S_{bot})在假設颱風作用的過程中及颱風作用後,對近岸環境與海下地形沒有影響。在限制的區域內,假設地形影響波浪的條件為固定值,或因水深較深忽略海底地形對波浪行為的影響,因此可以將地形的影響合併在觀測的颱風波浪行為中,由颱風所處的位置與颱風運動的軌跡,反應來自於颱風波浪推算區域內近岸地形及底床的影響。

6.2 近岸波浪表示式

由上述模式可了解風場為提供波浪能量主要的因素,而風場的路徑及行為是影響波浪變化的另一個因素,在固定位置上同樣的風場規模及運動方向不同,在不同路徑也將有不同發展的波浪。隨著波浪接近海岸時,複雜的地形及海流的交互作用下,更增加了計算近岸波浪的困難度,為了簡化能量方程式的架構,利用限制推算波浪區域的方式減少影響變數,在相似颱風行為及規模的風場條件下,風場直接輸入的能量 (S_{in}) 、波浪傳遞與波波間非線性交互作用 (S_{in}) 相似、能量散逸 (S_{in}) ,以及底床摩擦的能量消耗 (S_{in}) 可以表示為:

$$S(t) = \sum_{m=0}^{t} a_m f(S_{in}, S_{nl}, S_{ds}, S_{bot}, t_m)$$
(6-3)

根據以上的考量,由能量平衡關係式可假設成q個不同區域對觀測位置波浪行為有影響,則計算式可以表示為:

$$H_s(t) = \sum_{n=0}^{q} c_p f(\sum_{m=0}^{t} b_m f(S(t_m)))$$
(6-4)

式(6-4)中m 表示在計算時間內之風場影響波浪行為,然而事實上風場影響波浪的時間是有限的,假設 t 時刻的波浪只受過去n 小時內的風場行為影響,所以m = t-n 即 t-n 時間內的風場行為影響波浪,n 即為計算風場波浪資料的延時,因此示性波高如式(6-5)所示。

$$H_{s}(t) = \sum_{p=0}^{q} c_{p} f\left(\sum_{m=t-n}^{t} b_{m} f(S(t_{m}))\right)$$
 (6-5)

6.3 類神經網路波浪推算同化模式

若以觀測站之水位及波浪模式,推算示性波高 $H_{s,p}$ 與週期 $T_{s,p}$ 時,式(6-5)的類神經網路模式可以表為

$$O = f_2(W_{S2\times S1} \cdot f_1(W_{S1\times (R^*n)} [\overline{I}_{R\times 1}]_{n\times 1} + b_{S1\times 1}) + b_{S2\times 1})$$
(6-6)

模式的輸出 $O = [H_{s,p}T_{s,p}]^T$,輸入函數 $\overline{I} = [S_1,S_2,....,S_q]^T$ 為輸入n小時延時資料, $S_1,S_2,....,S_q$ 由數值波浪模式計算影響觀測站不同區域的能量。

本模式將採用 2 個隱藏層的神經網路,該網路對非線性、片段連續的函數具有足夠的模擬能力。因此,為了描述颱風風場與波浪間的交互作用,可以藉由 2 個隱藏層的結構描述風場運動參數與波浪間的關係。若輸入參數與輸出參數(示性波高 Hs 及週期 Ts)的關係不確定時,可藉由增加第一隱藏層的神經元個數,並設定神經元個數必須大於輸入參數的個數,目的是將輸入參數間做不同權重的組合,第二隱藏層的作用則對第一隱藏層的神經元做權重的調整及組合,在網路的學習過程中將依照隱藏層的神經元重要程度配置不同的權重值,學習後的第二隱藏層神經元權重值將組合成為示性波高 H_{s,p}與週期 T_{s,p}的函數。本研究現階段將對結合目前發展的類神經網路波浪及水位模式與進行觀測資料之同化,並進行初步分析,並探討其優、缺點與改進方針,期望模式能達到推算準確與快速的目的。

第七章 海象預報模式

本節說明海象模式中之 WAM 與 SWAN 之操作流程與說明,由於 今年度由中央氣象局提供大氣模式之海面風場資料,故將說明其模式 執行流程與今年度颱風季節所模擬之結果。

7.1 各種風壓模式之流程及操作說明

7.1.1 NOAA 預報風場

NOAA 預報風場為全球尺度的風場資料,範圍為西經 180 度至東經 180 度,南緯 75 度至北緯 75 度,網格解析度在經度部分為 1.25 度一格,緯度部分則為 1 度一格,由於輸出的檔案為二進位檔,一般文書編輯程式無法直接讀取,因此需使用其專屬的擷取程式才有辦法取得其中之風速資料,所使用的程式為 wgrib,在 NOAA 網站便可取得原始程式,目前使用的版本為 1.7 版。由於 wgrib 沒有視窗介面,因此使用者只能在 windows 命命列模式下、UNIX 及 LINUX 環境下執行,同時必須要準備 C++的編譯器。

擷取資料的步驟如下:

- 1.由 NOAA 網站取得 wgrib 的原始程式。
- 2.取得預報風場的風速資料檔。
- 3.利用 C++編譯器產出執行檔 wgrib。
- 4.利用執行檔配合風速資料檔即可產出一般文書編輯軟體可以讀 取的純文字風速資料檔,檔案內容為風向量。
- 5.從此純文字檔取出模式範圍所需要的風速資料即可。
- 6.若模式解析度與 NOAA 預報風場不一致時,便需要利用內插的 方式得到模式內部所有點的風速資料。

7.1.2 颱風模式

由於颱風模式已整合進水動力模式內,因此無須做任何改變,只需準備颱風模式所需要的資訊即可。颱風模式所需要的資訊為警報時間、颱風中心經度、緯度、中心最低氣壓(豪巴)、暴風半徑(公里)、中心最大風速(公尺/秒)、移動速度(公里/小時)及移動方向(角度,向東移動為 0 度,逆時鐘旋轉),將以上資訊存成七行的形式,同時以颱風名稱為檔名的檔案即可讓颱風模式讀入。以敏督利颱風為例,檔名為mindulle.csv,檔案各式如下:

日期	經度	緯度	中心氣壓	基 国 坐 徑	中心最	移動	移動方向
	烂皮	评及	1 0 和/至	杂风干 在	大風速	速度	
6281700	125.3	18.5	950	250	43	10	157.5
6282000	125.1	18.5	950	250	43	10	157.5
6282300	124.7	18.7	950	250	43	10	157.5

7.2 各種海象模式之流程及操作說明

7.2.1 WAM 與 SWAN 颱風波浪模式

目前所使用的 WAM 模式是由 WAMDI Group (1988) 所發表,計畫中所使用的版本是 WAM cycle 4 版本,其中包含數個模組 PREPROC、PRESET、CHIEF、BOUINT、PGRID、PSWGRID、PSPEC、PSWSPEC 等,由於計畫執行所需本計畫只使用到格網處理模組 PREPROC、初始值給定模組 PRESET、風浪計算模組 CHIEF 與後處理模組 PGRID 等。而在 SWAN (Booij 等人,1996) 模式方面,本計畫所使用的 SWAN 模式是最新版本的 SWAN cycle III Version 40.31 版。由於 WAM 與 SWAN 模式皆使用 Fortran 90 程式語言所發展,故利用標

準 Fortran 90 程式語言編譯成相關程式執行檔,以利計畫執行。在模式執行平台上,為了計畫結束後相關人員操作便利,現今有 Windows 版本與 Linux 版本,在不同平台上除了相關檔案的路徑有所差異之外,其餘操作流程皆為一致。

圖 7.2-1 為 WAM 與 SWAN 風浪操作流程圖,如圖所示,由中央氣象局所提供的風場資料經由預處理程式轉換至 WAM 與 SWAN 模式所需之風場格式之後,配合水深資料,先進行 WAM 模式之 PREPROC與 PRESET 模組,之後進行主程式 CHIEF 之風浪模擬,由 CHIEF 模組所輸出之 CBO 邊界檔即可做為 SWAN 模式之邊界輸入檔,而 MAP 檔可利用 PGRID 模組輸出 WAM 模式之結果。

表 7.2-1 為中央氣象局現所使用的有限區域大氣模式(NFS)之模式網格資訊,為了配合氣象局之大氣模式之範圍,以 WAM 模式範圍符合 MC 模式,而 SWAN 模式之範圍符合 HC 模式,由於大氣模式之座標是利用 Lambert 投影法,與波浪模式所使用的球面直角座標有所不同,且格網位置有差異,故需利用內插方式轉換出波浪模式所需的風場資料以進行計算。

表 7.2-1 為中央氣象局之有限區域大氣模式網格資訊

模式	DMS	DIMENSION	RESOLUTION	格點位置
	FLAP			
NFS	RC	221*127	45KM	左下點(-5.34068°N,77.91867°E)
				右上點(42.92812°N,180.2034°E)
	MC	181*193	15KM	左下點(9.28194°N,109.7727°E)
				右上點(35.26665°N,137.7342°E)
	НС	91*121	5 KM	左下點(20.78609°N,118.6597°E)
				右上點(26.33824°N,123.2724°E)

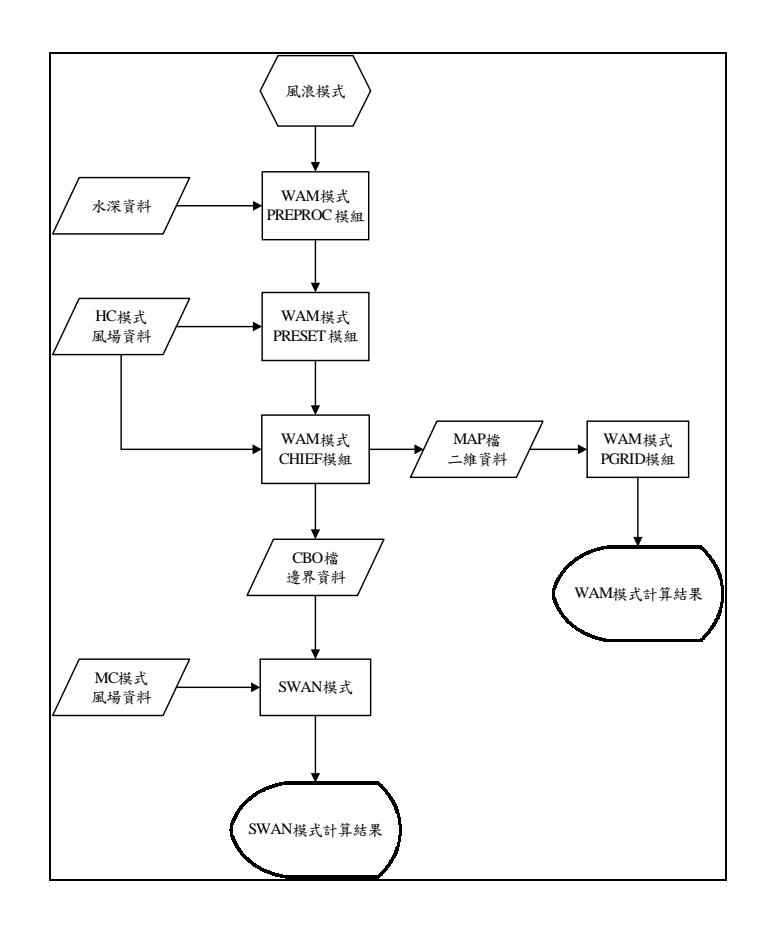


圖 7.2-1 WAM 與 SWAN 風浪模式操作流程圖

7.2.2 定點風域推算半經驗颱風波浪模式

定點風域推算半經驗颱風波浪模式屬於一種定點線風域(line fetch) 波浪推算模式,模式所考慮的颱風移動路徑亦為直線。當各港口之推算點位置(經、緯度)以及自推算點延伸出去之吹風距離線及其相關水深資料等均事先建置完成後,模式僅需輸入的颱風相關資料如颱風位置(經、緯度)、颱風中心氣壓(P_c)、颱風移動速度(V_F)與行徑方向(θ_F)等以及颱風風場模式之 C_{W1} 及 C_{W2} 參數,即可執行數值模擬。模式輸出結果包括推算點上各波向之最大波高及週期,以及推算點上各波向波高及週期之時間序列結果。模式之計算流場如圖 7.2-2 所示:

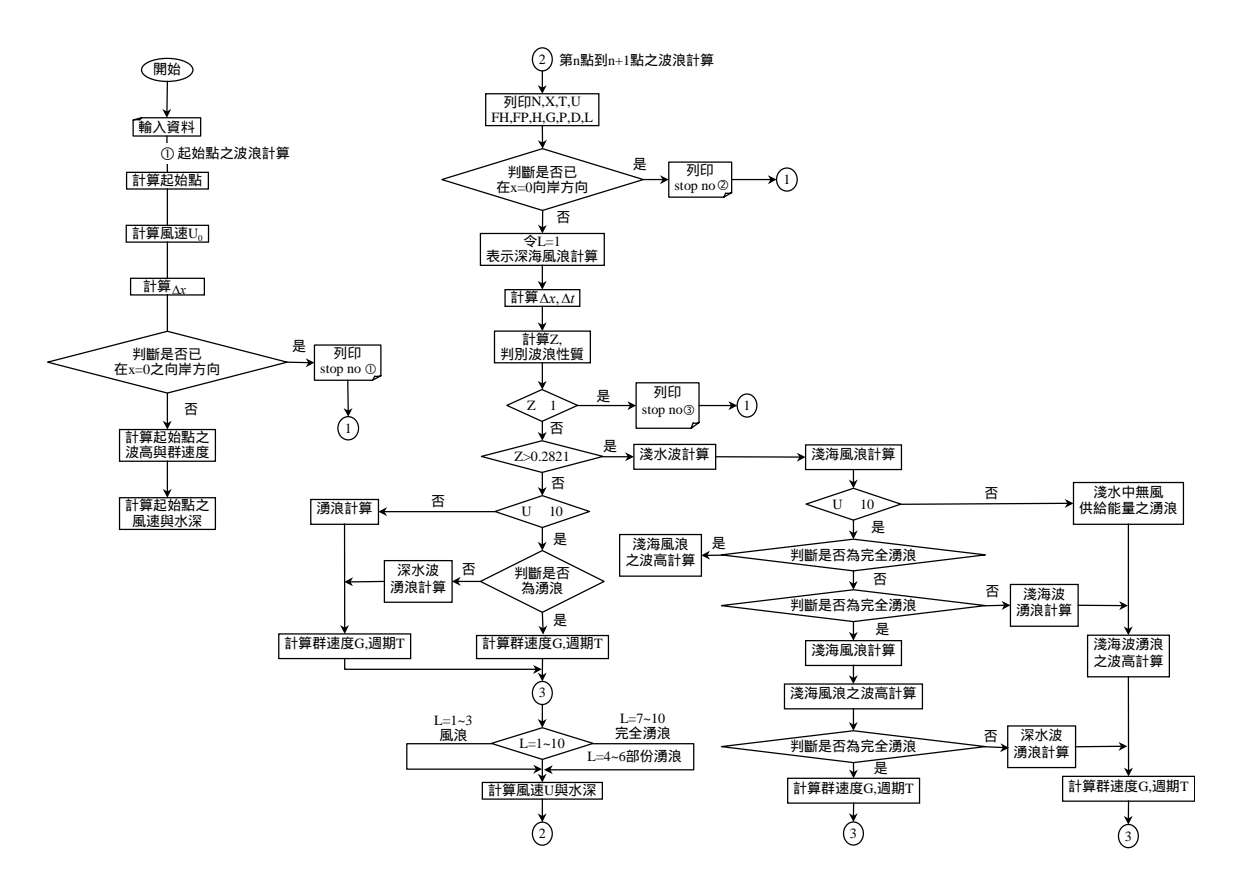


圖 7.2-2 定點風域推算半經驗颱風波浪模式之計算流程圖

7.3 風浪模式年度侵台颱風模擬現報結果與討論

7.3.1 WAM 與 SWAN 颱風波浪模式推算結果

本年度颱風根據中央氣象局所發布的颱風警報,如表 7.3-1 中所示,至十月中旬為止共計有6月7日至6月9日之康森(Conson)颱風,6月28日至7月3日之敏督利(Mindulle)颱風,8月10日至8月13日之蘭寧(Rananim)颱風,8月23日至8月26日之艾利(Aere)颱風等,配合所收集到之風場資料與驗證所需之波浪測站資料,所模擬之時間為6月25日至9月29日,模擬期間所發生之颱風為敏督利、蘭寧與艾利颱風,而計算範圍與方式如第三章中所述。

圖 7.3-1 至圖 7.3-9 分別為七股、大鵬灣、金門、小琉球、鵝鸞鼻、 龜山島、花蓮、龍洞與蘇澳等波浪測站實測資料與風浪模式計算結果 之比較圖,圖中上圖為示性波高比較結果,中圖為週期比較結果,下 圖為風速比較結果。由圖中可知,在模擬期間台灣附近海域測站大致 上有四個波高尖峰出現,對照表 7.3-1 颱風生成時間,其波高尖峰可分 別為敏督利、蘭寧、艾利與海馬颱風所生成之颱風波浪,除了七股測 站在波高尖峰處有較大之低估情況出現之外,其餘測站之模擬結果均 具有合理性。推測其原因可能為颱風經過北部海域之後會在台灣西南 部引進強烈西南氣流,並對照七股測站之風速資料均有偏低現象,故 七股測站波高尖峰處會有偏低之預測值。此外,參考節 5.2 之安平港 2001 年至 2002 年波高模擬結果,在波高大於 7 公尺以上之尖峰波高亦 有偏低之預測結果。

表 7.3-2 為風浪模式計算結果與波浪測站實測資料之相關係數表,由表中可知,波高模擬之相關係數均大於 0.60,比較 WAM 與 SWAN模式之模擬結果,在東部海域花蓮、龍洞、蘇澳與金門測站之 SWAN模式模擬結果優於 WAM 模式,表示在水深變化較為劇烈之東部海域,SWAN模式之細化格網可較為準確模擬波高。但在西部海域之七股與大鵬灣測站 WAM模式之模擬結果略優於 SWAN模式,但相關係數差距並不大。由於此次計算並無西北部海域之測站資料可供比較,西部海域之 SWAN模式細化格網計算並無法改善波浪計算精確度,其原因仍待進一步探討。而在週期計算結果與實測資料之相關係數方面,其相關係數與波高相較之下有偏低現象。利用波高和週期相關係數與風速之相關係數相較之下,可發現當風速之相關係數偏低時,週期之相關係數有明顯偏低之現象,波高相關係數受影響程度較小。

表 7.3-3 為風浪模式計算結果與波浪測站實測資料之絕對誤差表,由表中可知,以模擬期間之 8 個測站之 WAM 模式的波高平均模擬誤差為 0.33 公尺, SWAN 模式之波高平均誤差為 0.30 公尺, 而 WAM 模式之週期平均模擬誤差為 1.14 秒, SWAN 模式週期平均誤差為 1.28 秒,大氣模式之風速與測站實測風速之平均模擬誤差為 2.10 公尺/秒。

表 7.3-1 2004 年西太平洋颱風生成表

編號	中文名稱	英文名稱	警報期間	生成時間	強度
200401	舒達	SUDAL		04/03~04/17	
200402	妮妲	NIDA		05/13~05/21	
200403	奥麥斯	OMAIS		05/16~05/22	
200404	康森	CONSON	06/07~06/09	06/05~06/11	中度
200405	璨樹	CHANTHU		06/09~06/13	
200406	電母	DIANMU		06/14~06/21	
200407	敏督利	MINDULLE	06/28~07/03	06/23~07/5	中度
200408	婷婷	TINGTING		06/26~07/04	
200409	康柏斯	KOMPASU	07/14~07/15	07/13~07/16	輕度
200410	南修	NAMTHEUN		07/25~08/01	
200411	瑪瑙	MALOU		08/04~08/05	
200412	莫蘭蒂	MERANTI		08/04~08/09	
200413	蘭寧	RANANIM	08/10~08/13	08/08~08/13	中度
200414	馬勒卡	MALAKAS		08/11~08/14	
200415	梅姬	MEGI		08/14~08/20	
200416	佳芭	CHABA		08/19~08/31	
200417	艾利	AERE	08/23~08/26	08/20~08/27	中度
200418	桑達	SONGDA		08/28~09/08	
200419	莎莉佳	SARIKA		09/05~09/08	
200420	海馬	HAIMA		09/11~09/13	輕度
200421	米雷	MEARI		09/21~09/30	
200422	馬鞍	MA-ON		10/04~10/10	

註:資料來源為中央氣象局網站之颱風資料庫與中國颱風網

表 7.3-2 風浪模式計算結果與實測資料之相關係數

項目	遠域波浪模式(WAM)			近岸波浪模式(SWAN)			
測站	波高	週期	風速	波高	週期	風速	
七股	0.70	0.65	0.63	0.65	0.61	0.61	
大鵬灣	0.88	0.70	0.60	0.85	0.67	0.57	
金門	0.83	0.54	0.57	0.78	0.50	0.64	
鵝鸞鼻	0.86	0.32	0.69	0.85	0.28	0.67	
龜山島	0.86	0.60	0.70	0.86	0.64	0.86	
花蓮	0.60	0.26	0.24	0.75	0.33	0.29	
龍洞	0.76	0.56	0.63	0.88	0.66	0.64	
蘇澳	0.77	0.62	0.58	0.88	0.71	0.63	

表 7.3-3 風浪模式計算結果與實測資料之絕對誤差

項目	遠域波浪模式(WAM)		近岸波浪模式		
測站	波高	週期	波高	週期	風速
七股	0.39	0.91	0.42	0.90	2.32
大鵬灣	0.21	0.82	0.28	0.89	2.96
金門	0.18	0.81	0.27	1.12	2.20
鵝鸞鼻	0.33	1.25	0.35	1.46	2.41
龜山島	0.32	1.16	0.23	1.25	1.97
花蓮	0.39	1.78	0.30	1.88	2.06
龍洞	0.43	1.23	0.27	1.50	2.11
蘇澳	0.39	1.14	0.27	1.26	0.71

註:波高單位為公尺、週期為秒、風速為公尺/秒

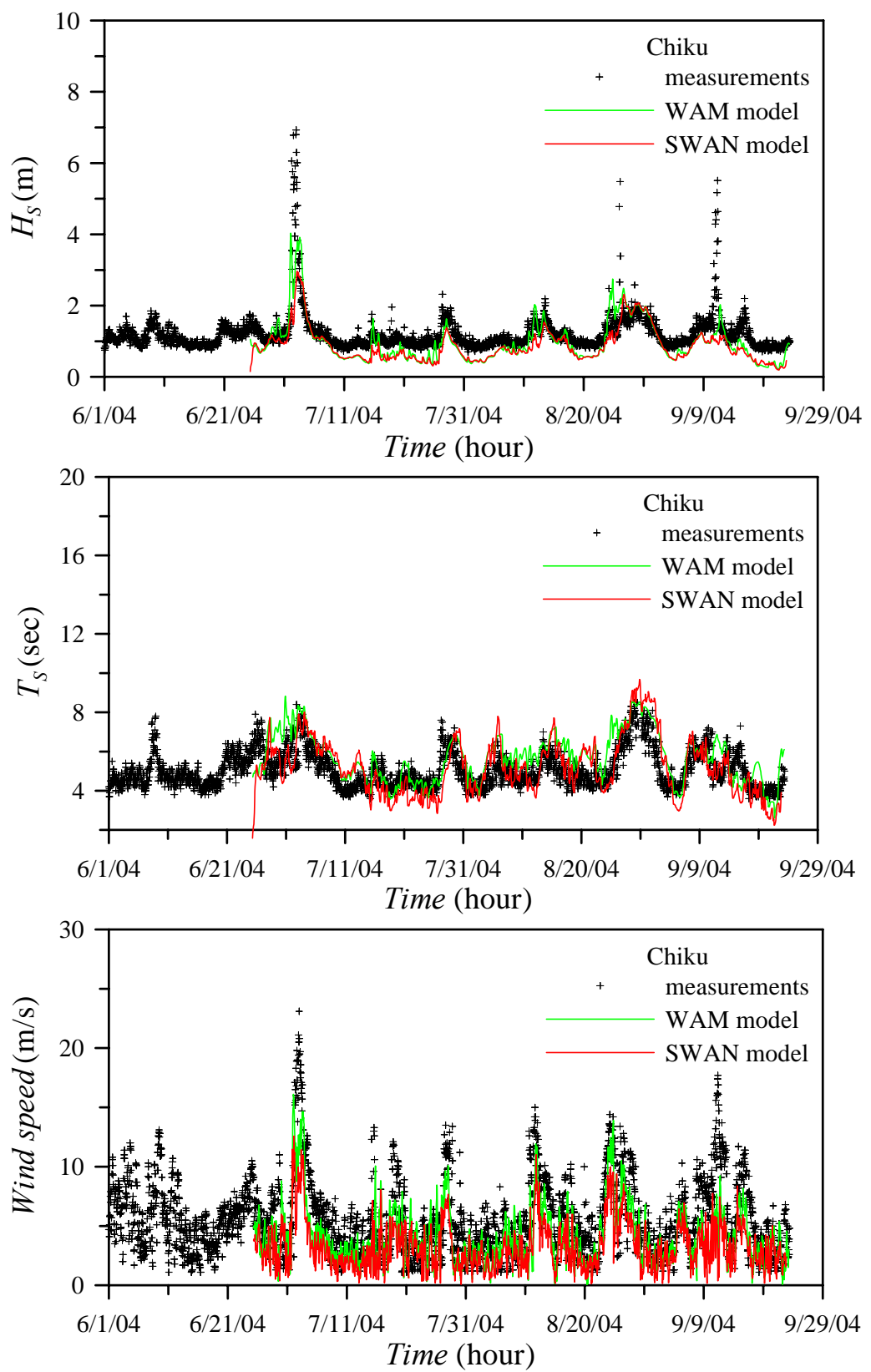


圖 7.3-1 2004 年之七股之風浪模式模擬結果 (上:波高,中:週期,下:風速)

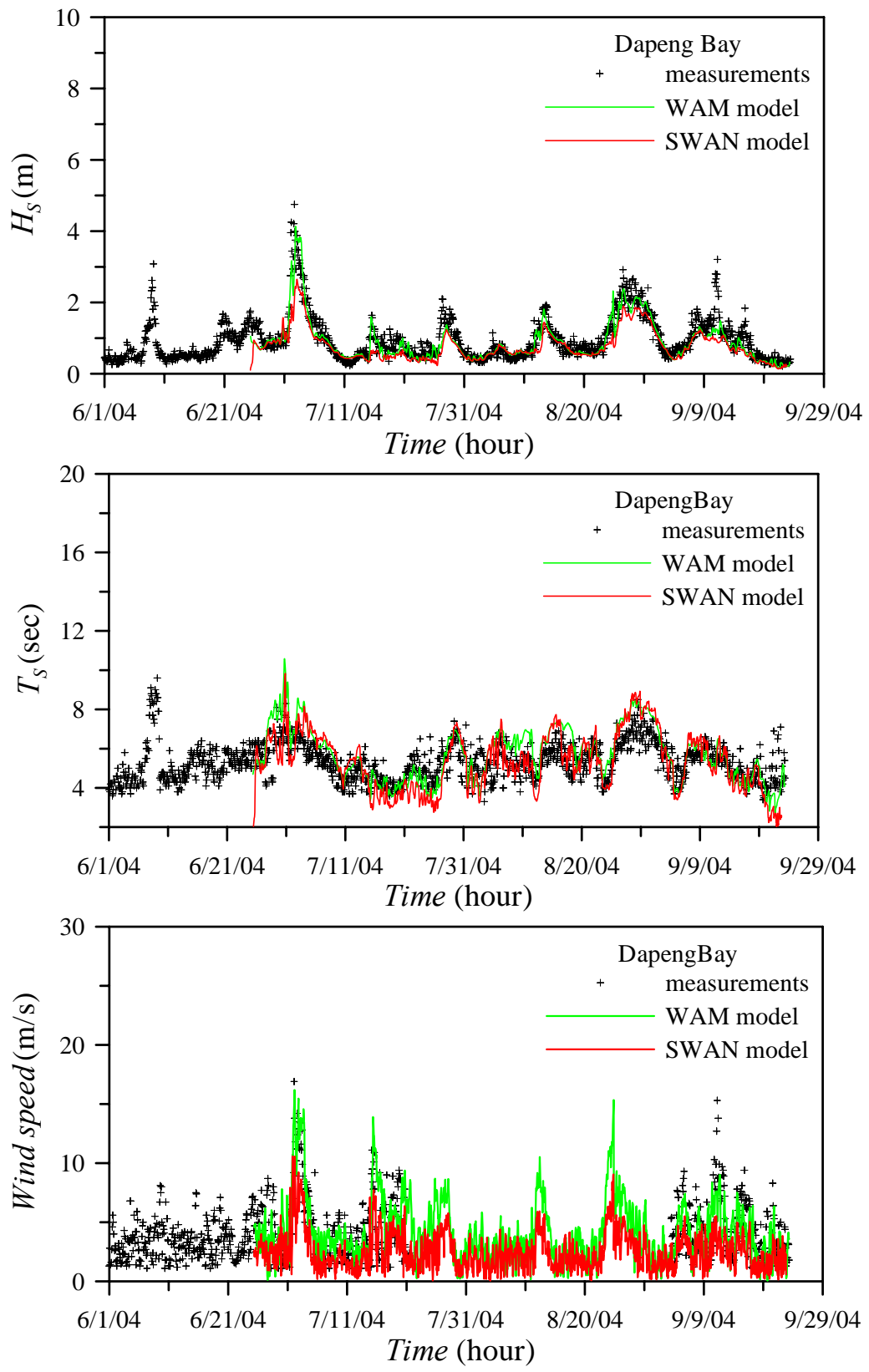


圖 7.3-2 2004 年之大鵬灣之風浪模式模擬結果 (上:波高,中:週期,下:風速)

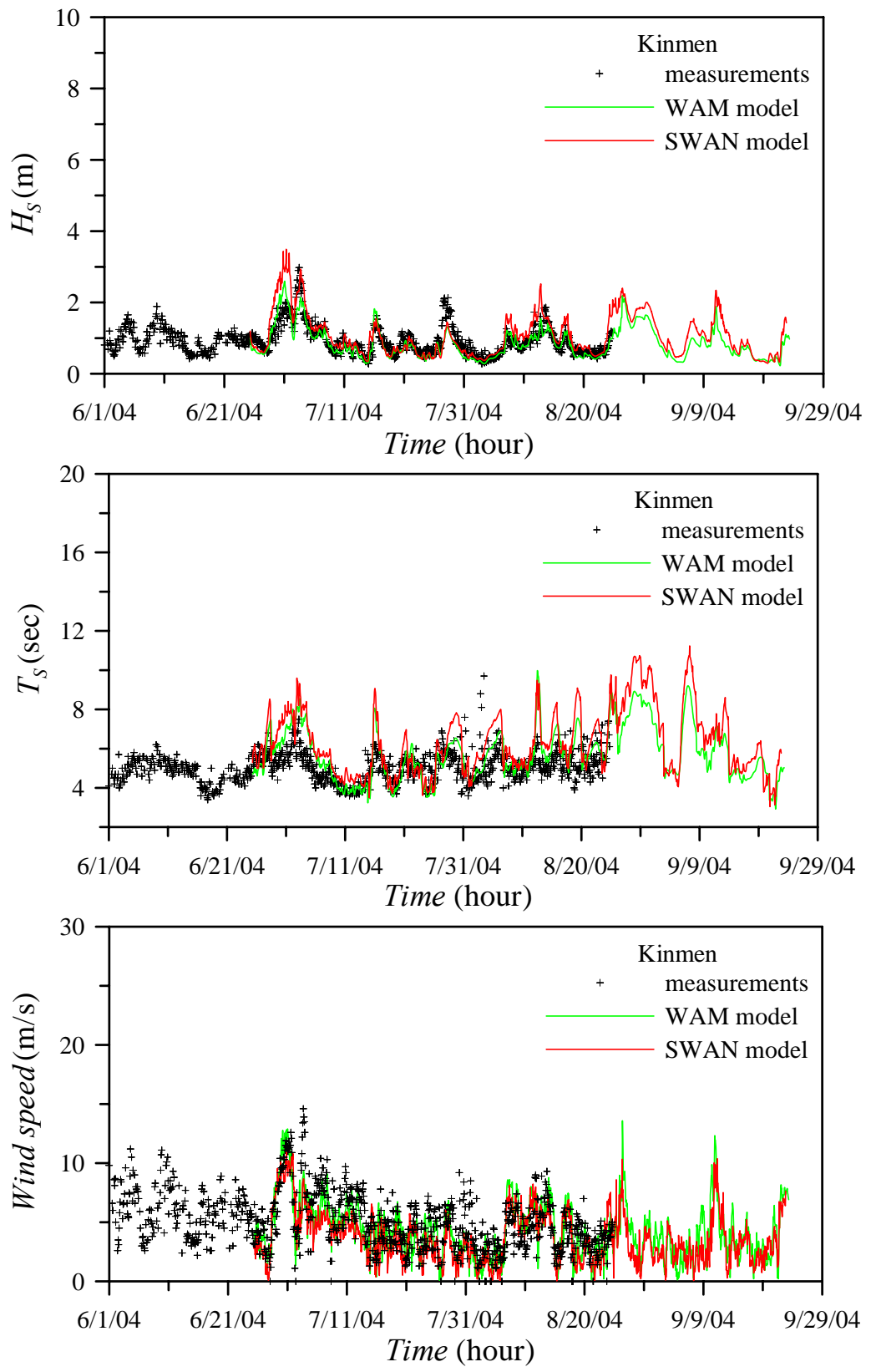


圖 7.3-3 2004 年之金門之風浪模式模擬結果 (上:波高,中:週期,下:風速)

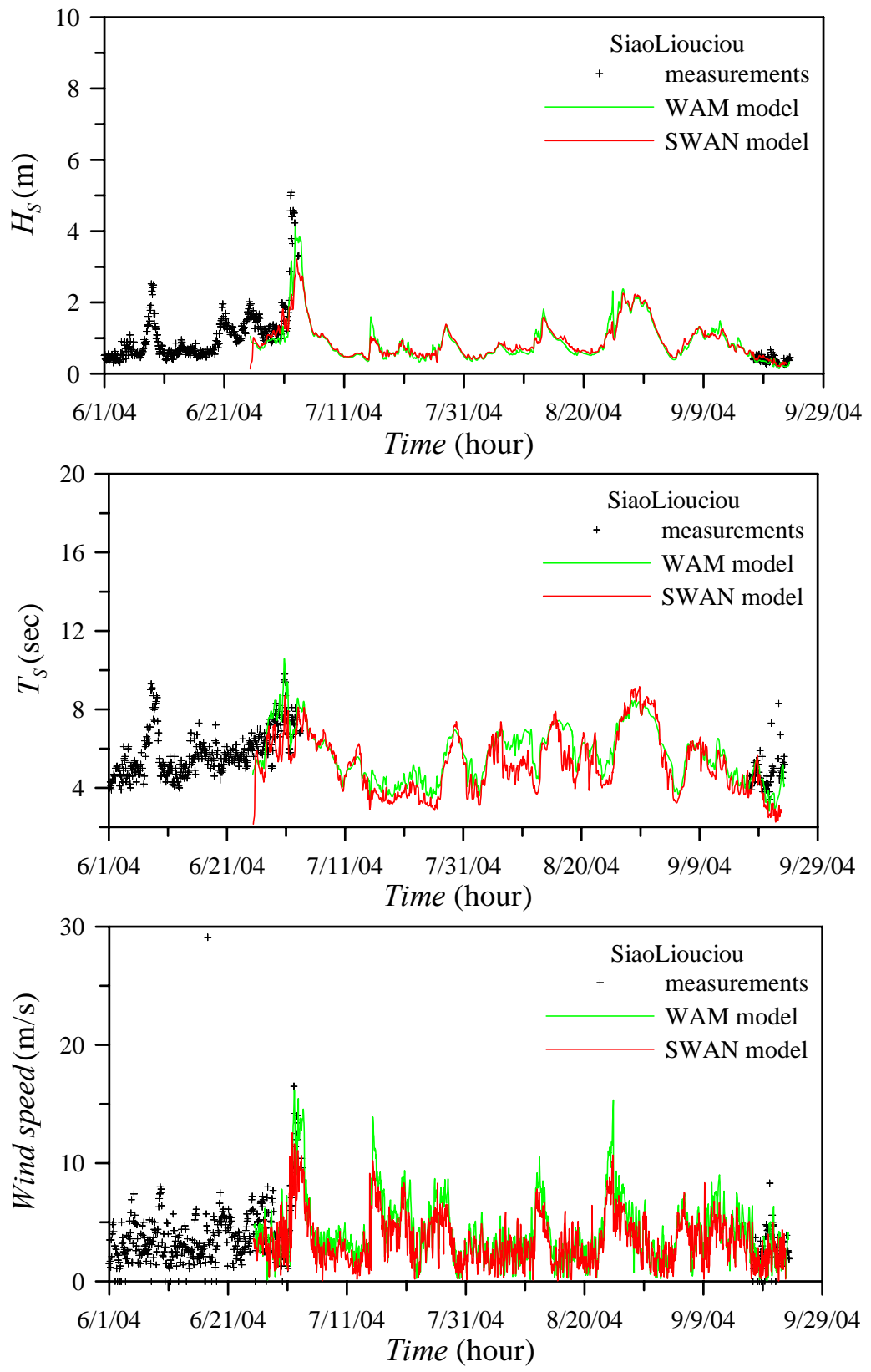


圖 7.3-4 2004 年之小琉球之風浪模式模擬結果 (上:波高,中:週期,下:風速)

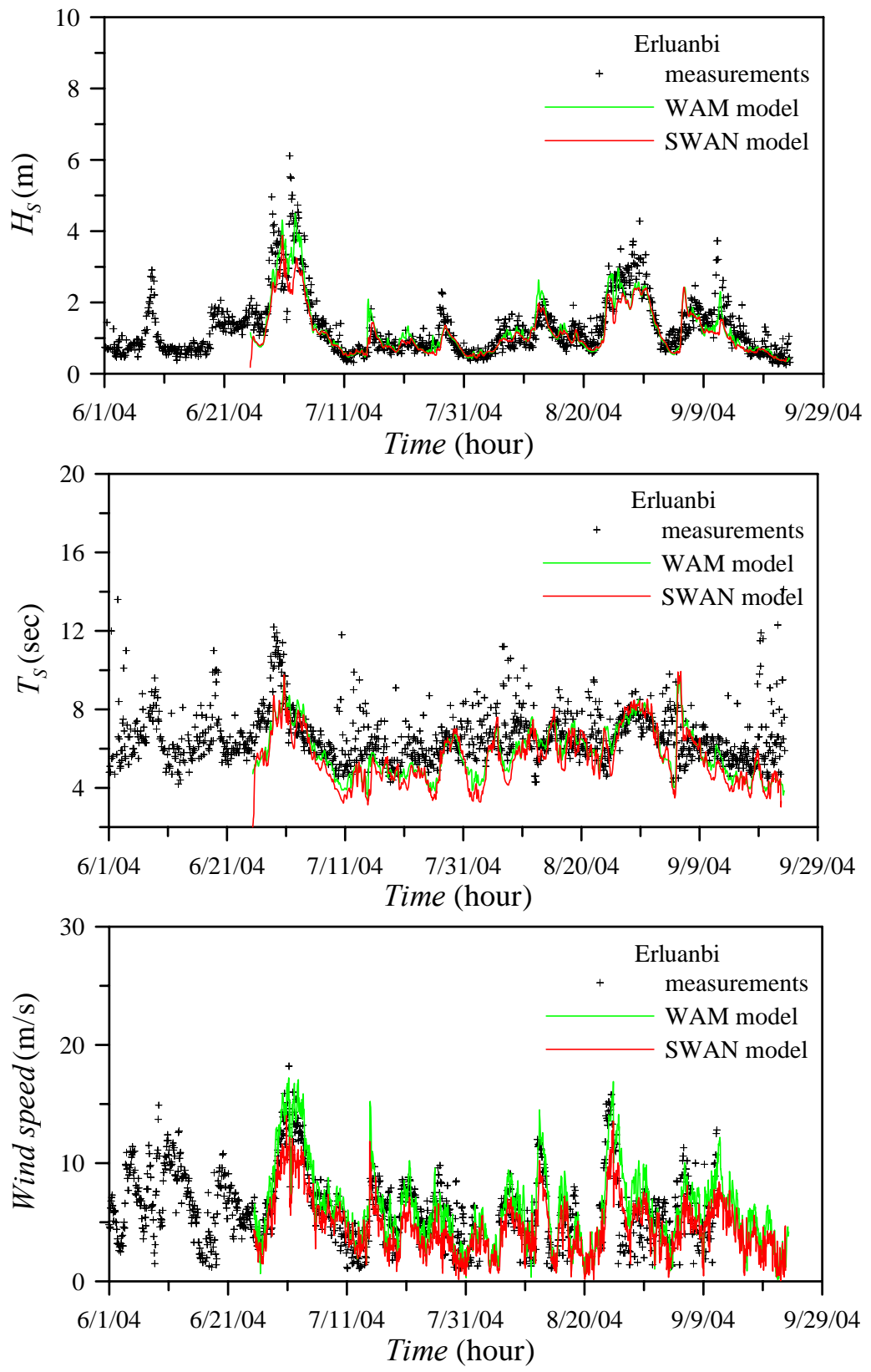


圖 7.3-5 2004 年之鵝鸞鼻之風浪模式模擬結果 (上:波高,中:週期,下:風速)

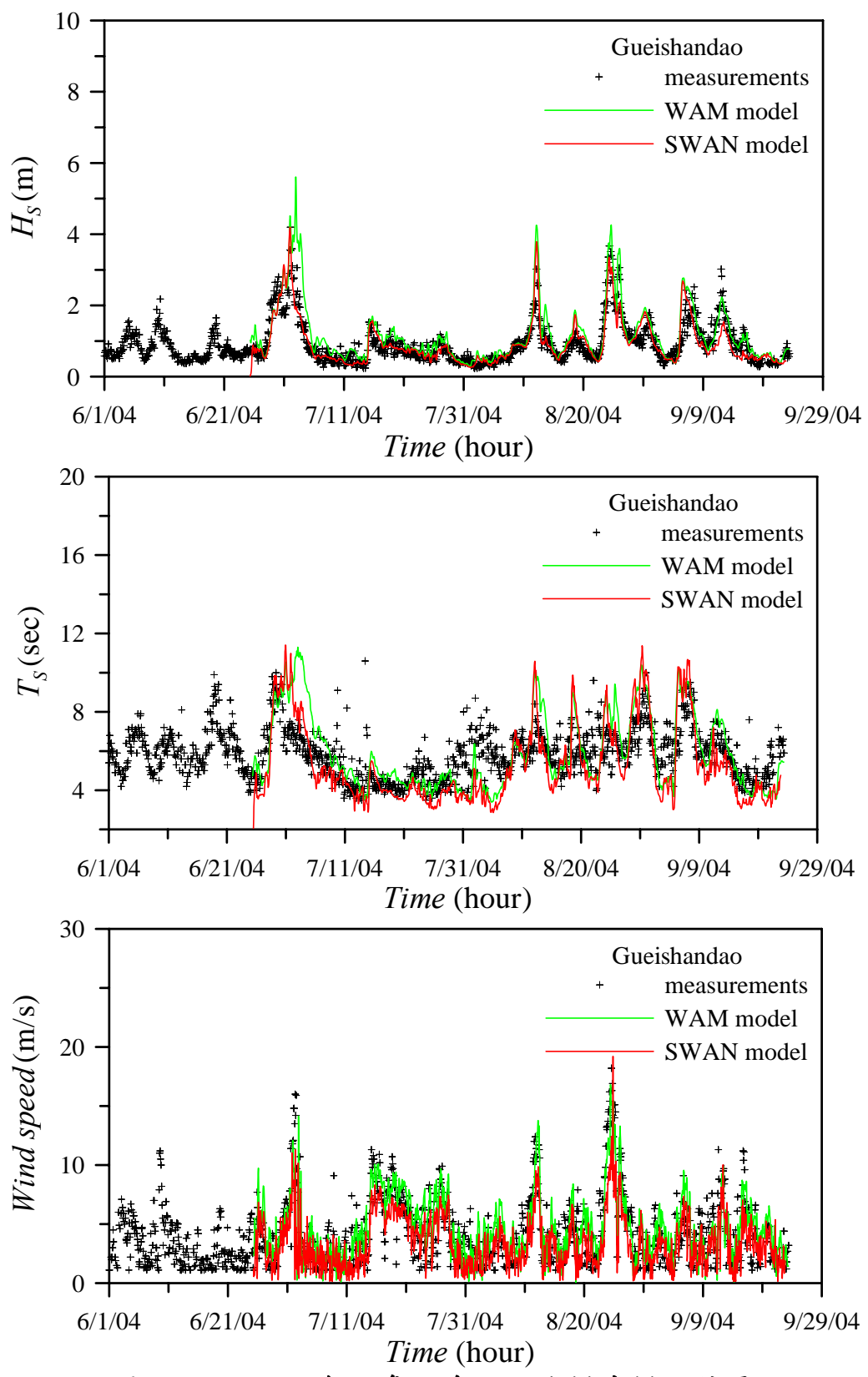


圖 7.3-6 2004 年之龜山島之風浪模式模擬結果 (上:波高,中:週期,下:風速)

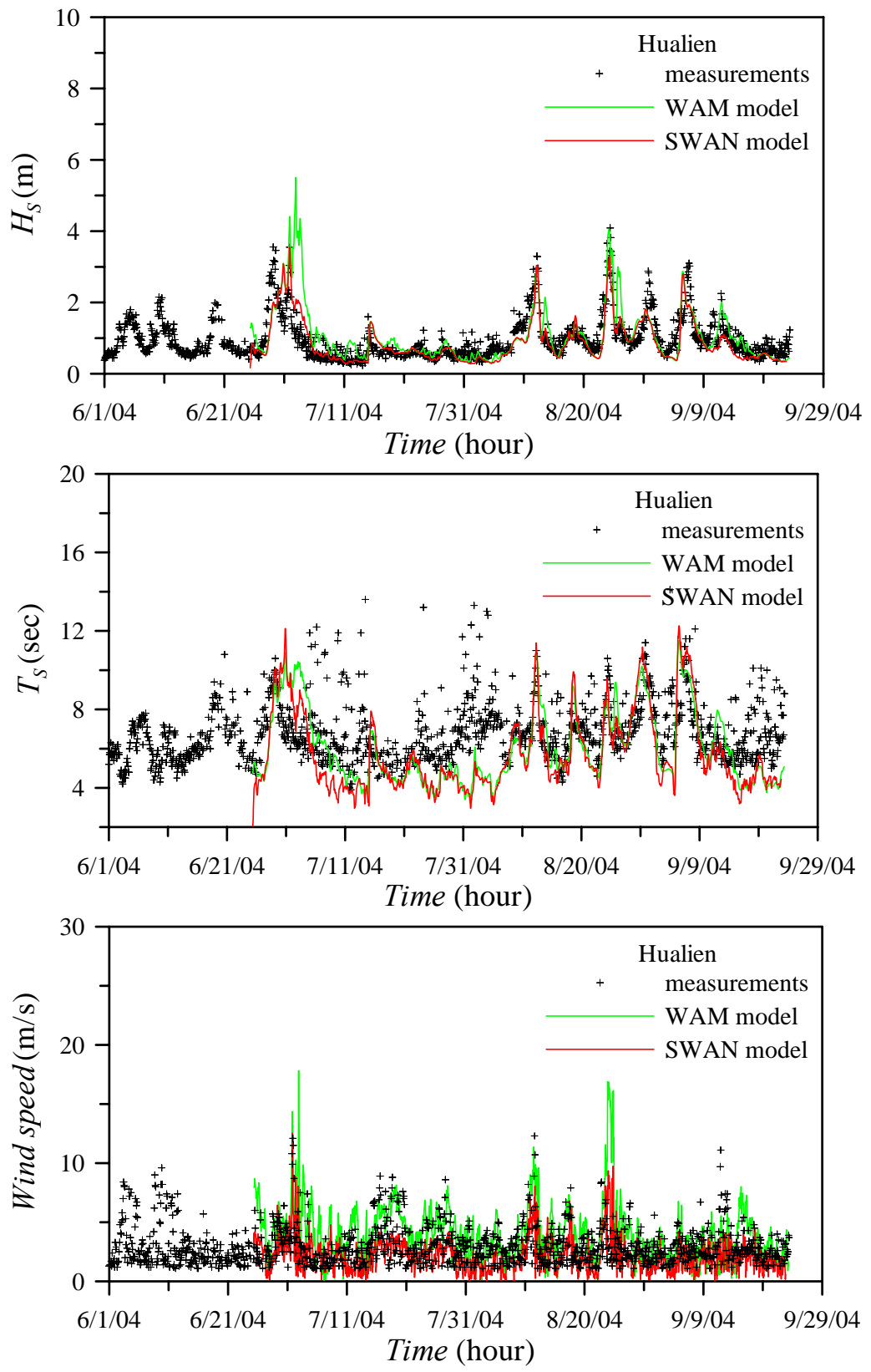


圖 7.3-7 2004 年之花蓮之風浪模式模擬結果 (上:波高,中:週期,下:風速)

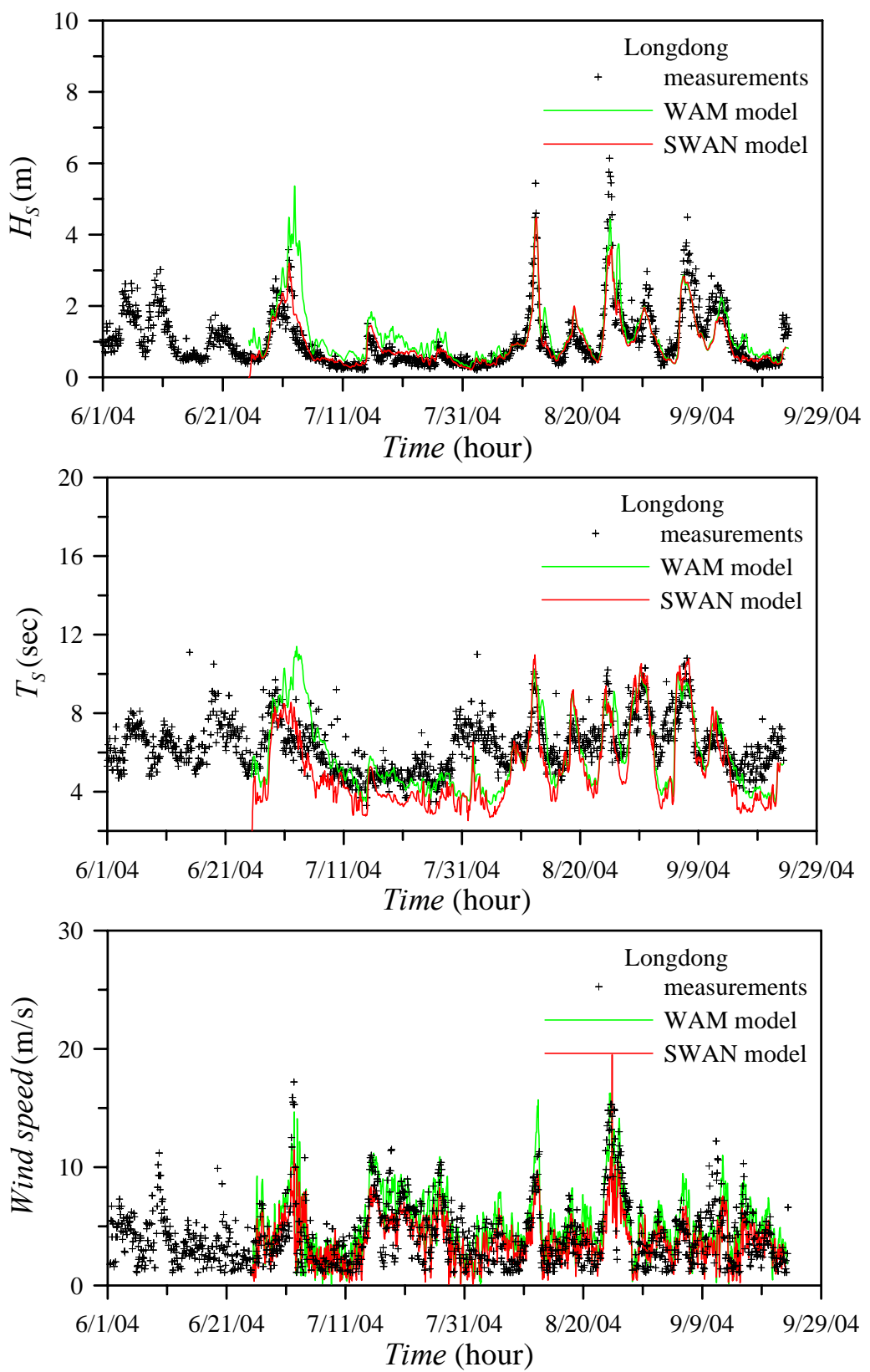


圖 7.3-8 2004 年之龍洞之風浪模式模擬結果 (上:波高,中:週期,下:風速)

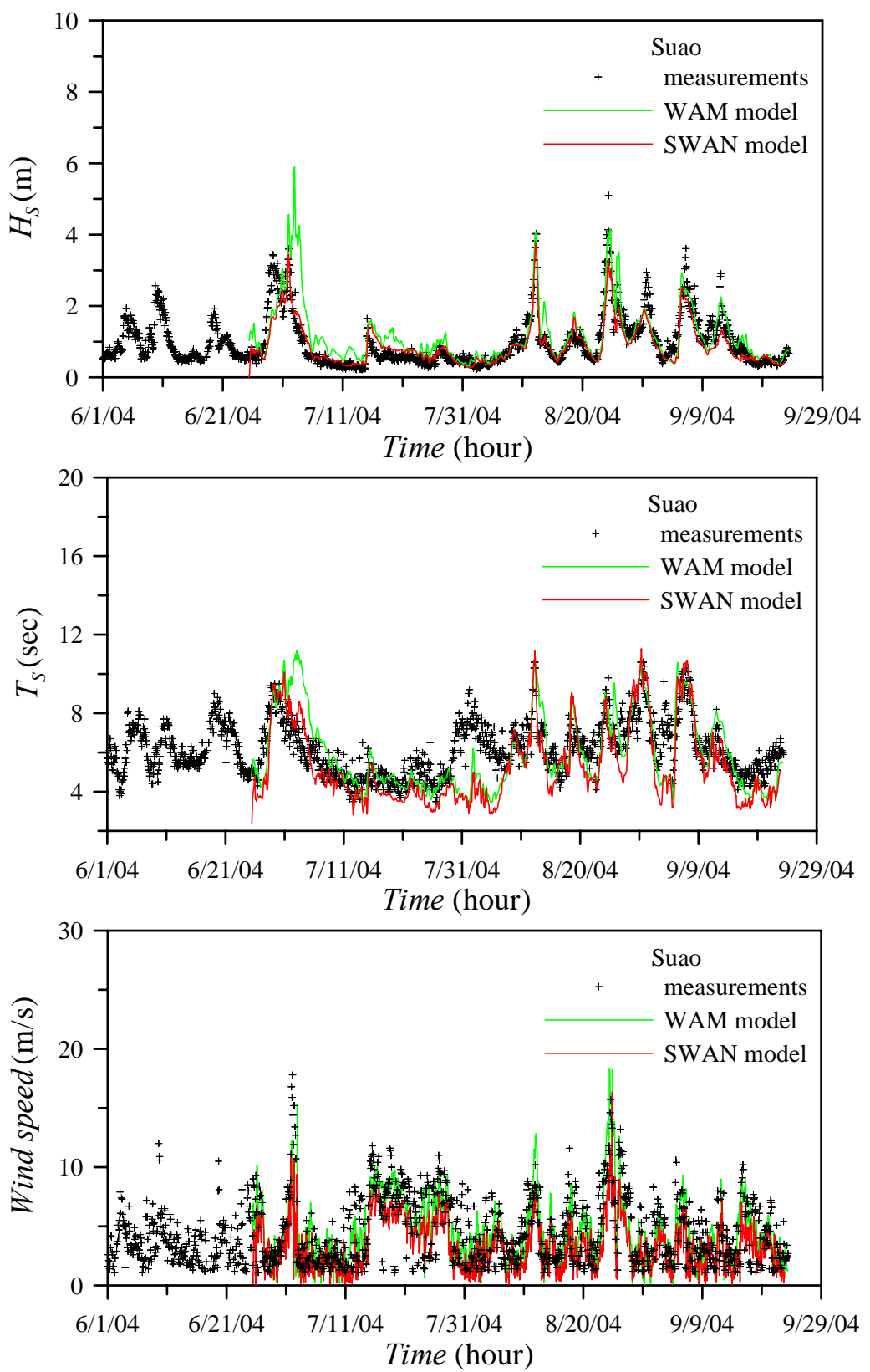


圖 7.3-9 2004 年之蘇澳之風浪模式模擬結果 (上:波高,中:週期,下:風速)

7.3.2 定點風域推算半經驗颱風波浪模式推算結果

本年度侵台颱風(至 8 月底)計有康森($06/07\sim06/09$)、敏督利($06/28\sim07/03$)、康伯斯($07/14\sim07/15$)、蘭寧($08/13\sim08/14$)及艾莉($08/23\sim08/26$)等,本計畫選取康森及敏督利颱風推算各港口最大波高。其中康森颱風因路徑發生變化故分別根據6月7日11時及6月8日18時之颱風警報資料模擬各港最大波高如表7-3.1所示,模式所採用颱風風場參數係依據2001年西馬隆颱風之率定結果($C_{WI}=0.70$ 及 $C_{W2}=1.0$);敏督利颱風自6月30日至7月2日間行進路徑變動不,但是中心氣壓出現變動,因此根據6月30日零時之颱風警報資料分別選取中心氣壓值950mb及965mb預測各港口最大波高如表7-3.4所示,模式所採用的風場參數則參照2001年奇比及桃芝颱風之率定結果另定 $C_{W1}=0.75$ 及 $C_{W2}=1.0$ 。

表 7.3-4 康森颱風侵台期間各港口颱風波浪預測結果

	台北港	基隆港	蘇澳港	花蓮港	高雄港	安平港	台中港	備註
最大示性 波高(m)	1.9	2.1	4.5	4.1	3.5	3.3	1.9	依
週期 (sec)	6.3 (5.0)	8.4	11.6	11.3	11.7 (11.1)	12.0	4.0	06/07/11 颱風警 報資料
波向 波浪資料	N(NNW)	Е	S	S	S(SSE)	S	WN	報 貝 杆模擬
股人 示性 波高(m)	=	1.8	4.1	5.4	5.4	4.6		依 06/08/18
週期 (sec)	_	12.1	11.3	14.3	12.4	14.0	_	100/08/18 颱風警 報資料
波向 波浪資料		Е	S	S	S	S		模擬

7.4 各種水位模式之流程及操作說明

7.4.1 全域天文潮模式

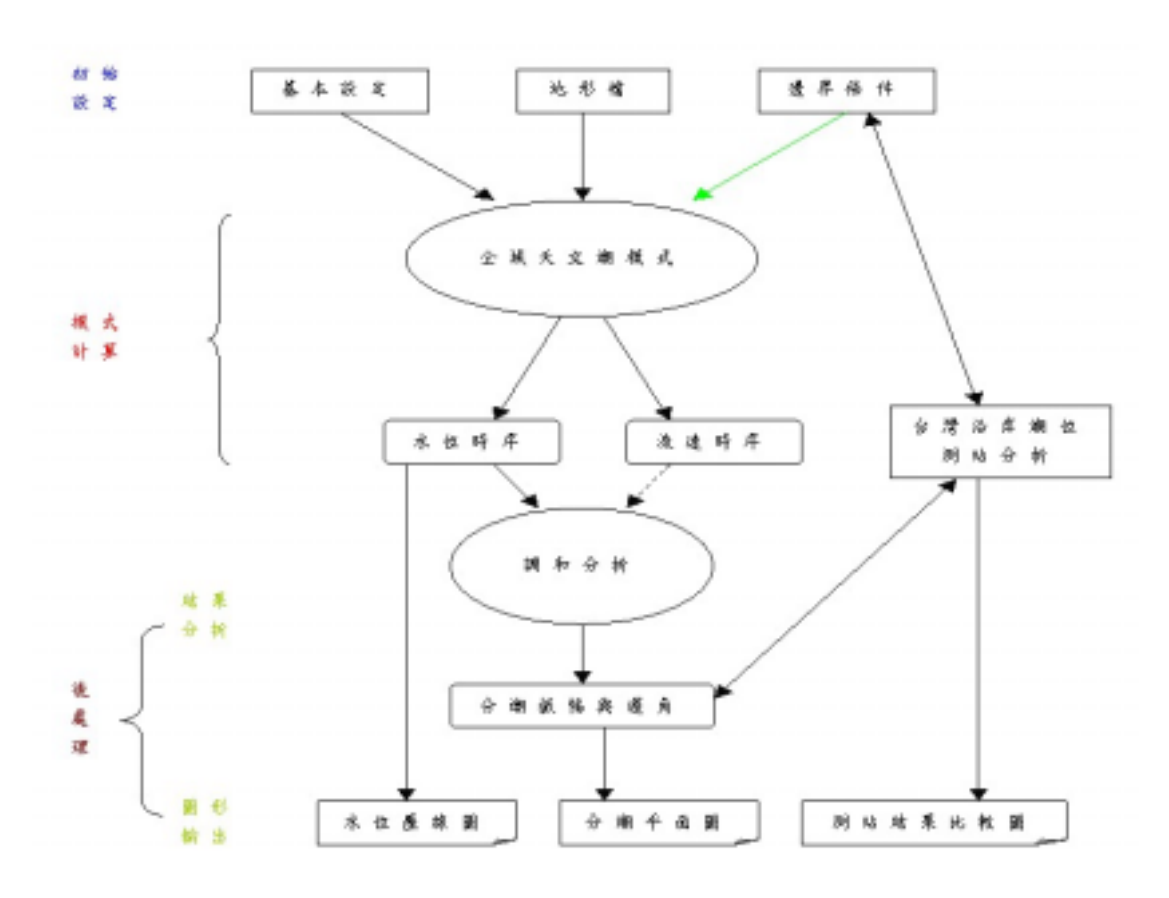


圖 7.4-1 全域天文潮模式流程

7.4.2 全域暴潮模式

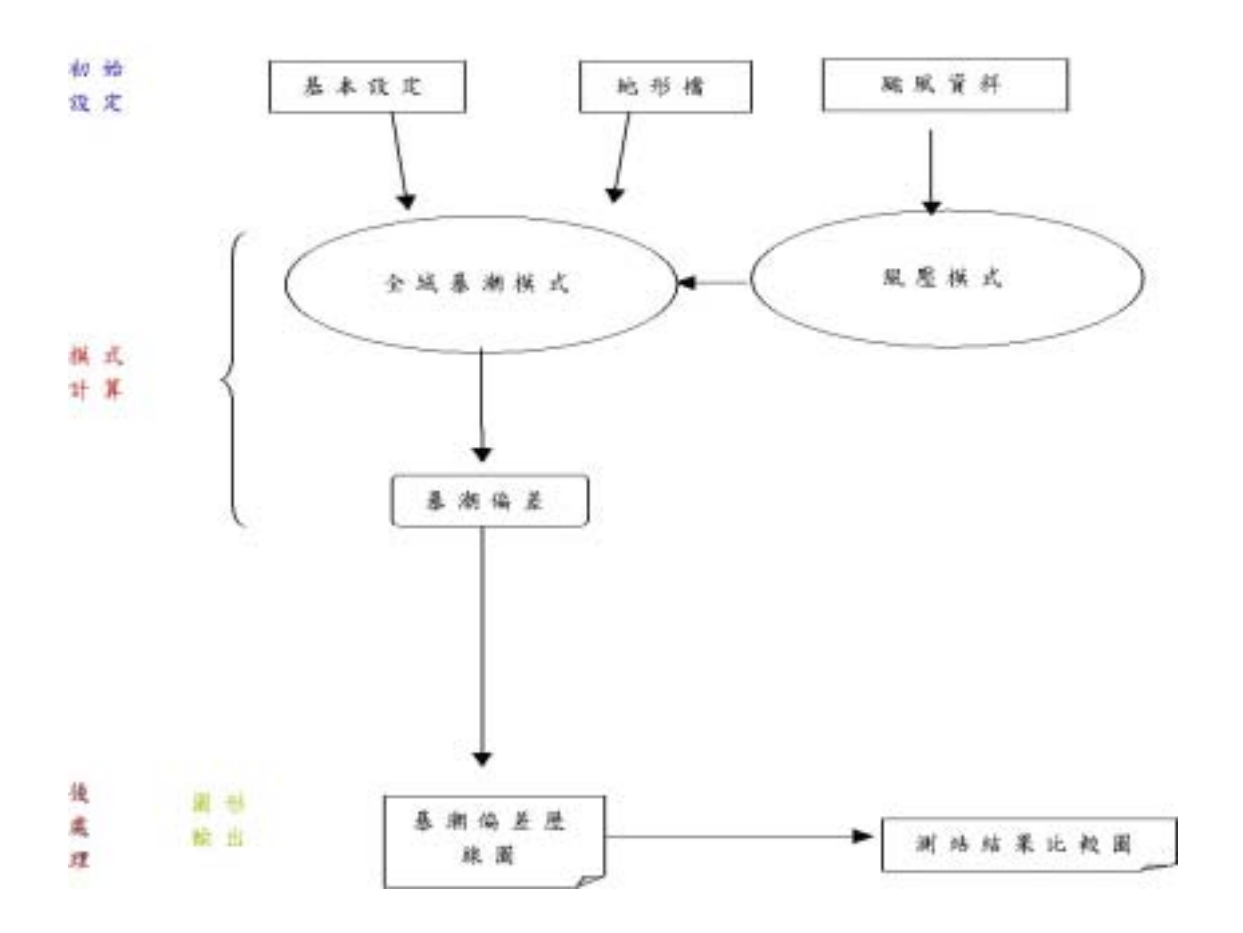


圖 7.4-2 全域暴潮模式流程

7.4.3 全域水位模式

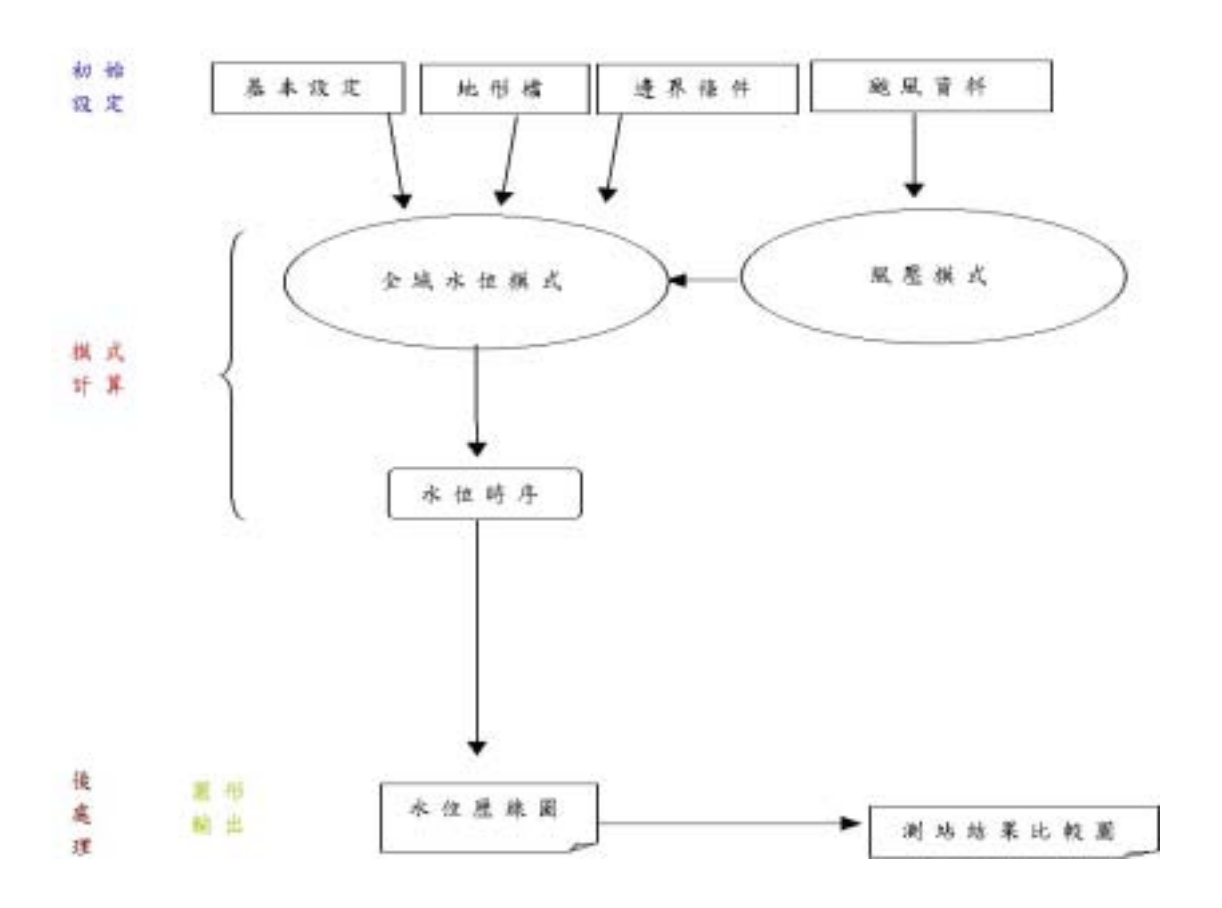


圖 7.4-3 全域水位模式流程圖

第八章 海象預報資訊系統

8.1 前言

台灣四周海岸由不同單位依其個別需求而佈置許多海象觀測站。 由於缺乏整體性的整合,往往形成觀測站分布不均、觀測項目、經度 與資料格式不同,造成觀測結果無法相互支援提供防災使用,而顯現 資源重複投資卻沒有發揮應有的功能現象。本計畫的另一目標是建置 本土化颱風波浪預報系統,透過模式的預測模擬可提供台灣沿海波浪 在時間及空間上完整的資料,模式預報資料與現場觀測資料的比對與 展示可以提供使用者參考,亦可作為模式修正的資訊。因此,本計劃 嘗試規劃出一個以網路為溝通媒介的環境讓專家學者及各單位使用者 能透過此系統輕鬆地掌握、瞭解所需的資料。

本模式介面的目標希望能藉由相關人員所建議且討論的資料架構圖,來建構一套符合需求的網站介面。資料呈現的架構是利用分門別類的方式將每個主題突顯出來,然後在針對每個主體內容做細部資料的呈現或查詢。資料架構圖說明如後。

◆ 8.1.1 第一層下拉式表單

- 系統說明
- 觀測資料
- 綜合查詢
- 颱風海象
- 風壓模式
- 波場模式
- 水位模式

- 流場模式
- 擴散模式
- 相關網站
- 回首頁
 - ◆ 8.1.2 第二層下拉式表單

҈≲系統說明

- ◆ 系統概述
- ◆ 研究計畫

҈觀測資料

- ◆ 觀測網站
- ◆ 水深資料
- ◆ 颱風資料
- ◆ 氣壓資料
- ◆ 風場資料
- ◆ 波場資料
- ◆ 水位資料
- ◆ 流場資料
- ◆ 污染擴散

□綜合查詢

- ◆ 歴史資料
- ◆ 即時資料

□颱風海象

- ◆ 模式說明
- ◆ 歴史資料
- ◆ 即時資料
- ◆ 更新資料

҈風壓模式

- ◆ 模式說明
- ◆ 歷史風壓
- ◆ 即時風壓

҈涉場模式

- ◆ 模式說明
- ◆ 歷史波場
- ◆ 即時波場

҈水位模式

- ◆ 模式說明
- ◆ 歷史水位
- ◆ 即時水位
- ҈流場模式
- ҈擴散模式
- ҈ऻऻऻॗॗॗॗॴॗॴ

- 港灣研究中心
- 中央氣象局
- 經濟部水利署

□回首頁

◆ 8.1.3 第三層下拉式表單

҈系統說明

- ◆ 系統概述→輸出結果
- ◆ 研究計畫
 - 計畫緣由→輸出結果
 - 計畫目的→輸出結果
 - 參與人力→輸出結果
 - 預期完成工作→輸出結果

҈觀測資料

◆ 觀測網站

- 風力測站→輸出風力測站位置圖
- 被浪測站→輸出波浪測站位置圖
- 水位測站→輸出水位測站位置圖
- 海流測站→輸出海流測站位置圖
- 水深測區→輸出水深測區位置圖
- ◆ 水深資料→選區域→輸出資料檔或等深線圖

- ◆ 颱風資料→歷史資料(表單點選)→輸出颱風路徑圖 或報表或資料檔。
- ◆ 氣壓資料→建構中。
- ◆ 風場資料→選區域或測點→歷史資料(表單點選)→ 輸出定點風速、風向歷線圖或報表或資料檔。
- ◆ 波場資料→選測點→歷史資料(表單點選)→輸出資料檔或定點波高、週期、波向歷線圖或報表。
- ◆ 水位資料→選測點→歷史資料(表單點選)→輸出資料檔或定點水位歷線圖。
- ◆ 流場資料(建構中)
- ◆ 污染擴散(建構中)

□綜合查詢

- ◆ 歷史資料→選數值或現場→選類別(波浪、水位…)→選不同方法(WAN、SAWAN...)→選區域(台中港、高雄港…)→選測點或區域→選年、月(或季節或颱風名稱)、或日→選各種圖或表(表單點選)→輸出資料檔或圖或表。
- ◆ 即時資料(建構中)

□颱風海象

- ◆ 模式說明→輸出結果
- ◆ 即時資料
 - 風場資料→表單點選→輸出風場變化(或颱風路徑、風速風向時序圖)。
 - 波浪模擬→表單點選→台灣海域颱風波浪波高 變化圖(或台灣海域颱風、波浪週期變化圖、波

浪變化的時序圖)。

◆ 歴史資料

- 風場資料→颱風名稱→表單點選→輸出風場變化(或颱風路徑、風速風向時序圖)。
- 波浪模擬→颱風名稱→表單點選→台灣海域颱風波浪波高變化圖(或台灣海域颱風、波浪週期變化圖、波浪變化的時序圖)。

◆ 即時資料

- 風場資料→颱風名稱→表單點選→輸出風場變化(或颱風路徑、風速風向時序圖)。
- 波浪模擬→颱風名稱→表單點選→台灣海域颱風波浪波高變化圖(或台灣海域颱風、波浪週期變化圖、波浪變化的時序圖)。
- ◆ 更新資料→顯示模擬資訊

҈風壓模式

- ◆ 模式說明→輸出結果
- ◆ 歴史風壓
 - 歷史颱風→選區域(或測點)→選年→表單點選→ 輸出風向量圖(或風速、風向歷線圖)。
 - 歴史風場→選區域(或測點)→選年→表單點選→ 輸出風向量圖(或風速、風向歷線圖)。
 - 歴史氣壓→選區域(或測點)→選年→表單點選→ 輸出等氣壓圖(或氣壓歷線圖)。
- ◆ 即時風壓(建構中)

҈波場模式

- ◆ 模式說明→輸出結果
- ◆ 歷史波場
 - 歴史波場→選區域(或測點)→選年→表單點選→輸出等波高圖、等週期圖、波向線圖、波向量圖(或波高、週期、波向歷線圖)。
- ◆ 即時波浪(建構中)

҈水位模式

- ◆ 模式說明→水位模式說明
- ◆ 歷史水位
- ◆ 即時水位(建構中)
- ҈流場模式
- ҈擴散模式
- **一相關網站**
- □□首頁

8.2 網站架構及內容

◆ 8.2.1 網站架構概念

設計 Taicoms 網站架構時,預先考量到往後如果開放給一般民眾參觀,如何在使用者進入到此網站後,便可以一目了然的理解網站所要呈現的內容,同時可以符合港研中心所建議的資料架構。現今的網頁均會在首頁,利用一些多媒體技術來加強網頁的生動、活潑性。因

此,網頁設計之初也將此概念加入,利用 flash 的動畫來加強本網站的豐富性。網站的設計也以可以讓使用者一目了然的架框結構來當作開發基礎。本網頁設計時將網頁切割成三個 FRAME(頁框);左頁框放計劃執行相關單元選單,右頁框則當作顯示頁面,上頁框則是作為本網站 BANNER 顯示處。概念圖如圖 8.2-1 及圖 8.2-2 所示。

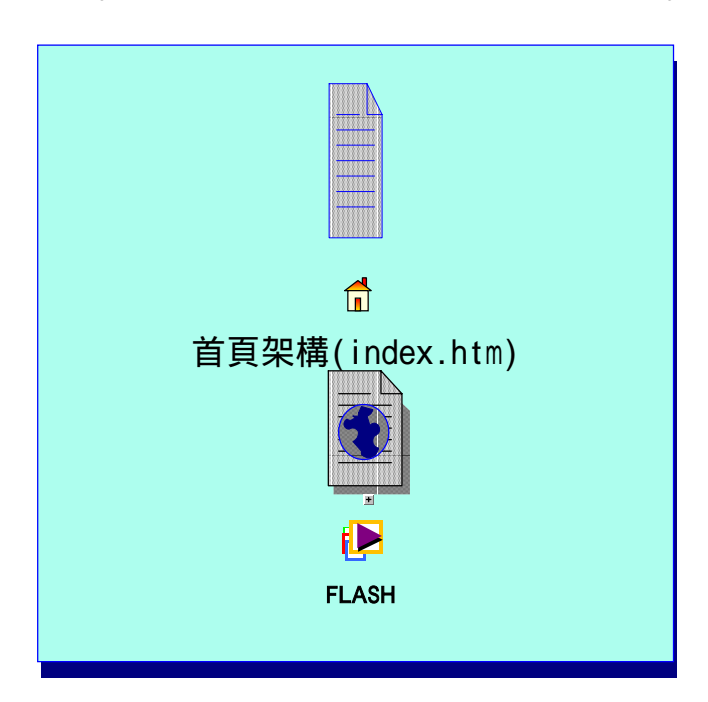


圖 8.2-1 TaiCOMS 首頁架構

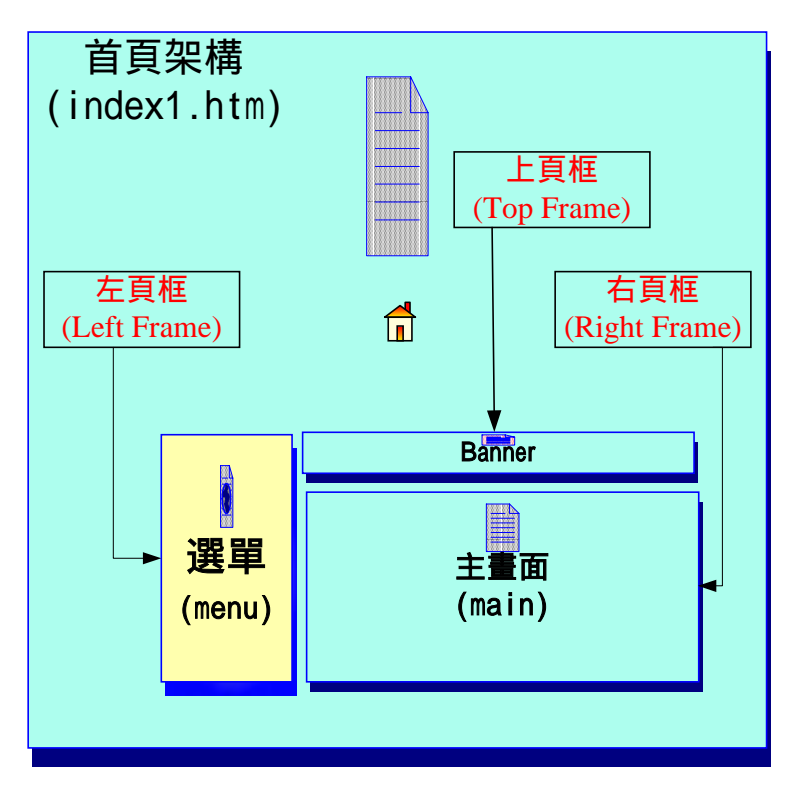


圖 8.2-2 TaiCOMS 網站架構概念

◆ 8.2.2 階層概念選單

本計劃中很多資料都必須利用階層式的概念,一層一層的將東西呈現。為了方便使用者在進入此網站後,可以馬上找到所需要的資料,設計時,先將所有主題分門別類,利用專業的概分方式(示意圖如 8.2-3)將本計劃的主題呈現出來。一般的政府機關網站也是利用此方式幫助使用者來找尋資料,所以使用者在使用上會有熟悉的感覺,操作較易。

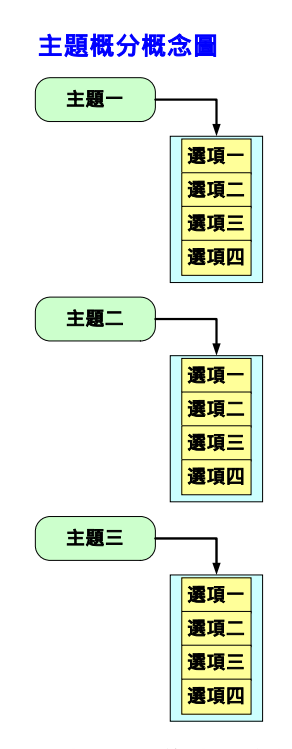


圖 8.2-3 以主題為概分概念圖

◆ 8.2.3 資料呈現方式

網站在資料的呈現部分完全以使用者的直覺化反應來作設計。當使用者在選單上點選所要觀看的主題後,往往希望能馬上在網頁看到選單選項的內容資料。所以網站設計上才會將視窗以架框的格式來實現,當使用者點選左邊架框的選單後,右手邊的頁框會馬上呈現資料(圖8.2-4)。

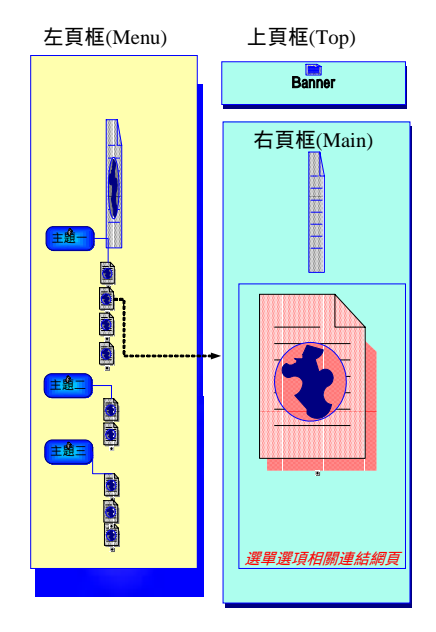


圖 8.2-4 資料呈現方式

◆ 8.2.4 網站內容

本章節將所規劃的概念,實際利用 Homepage 的方式呈現。本網站的首頁利用動畫 Flash(圖 8.2-5)來呈現,讓網頁更加生動及活潑。本網站中,將主題分成下列幾項:

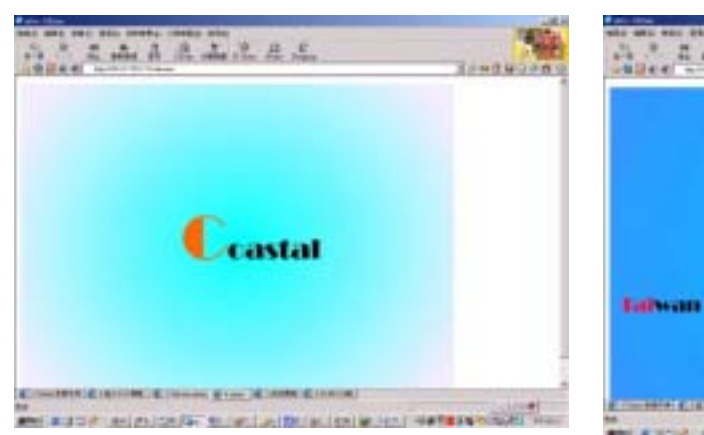




圖 8.2-5 Flash 多媒體首頁

□主網頁(http://taicoms.iut.nsysu.edu.tw/index1.htm)



圖 8.2-6 Taicoms 主網頁

■系統說明

在系統說明的選項中,包含有系統概述及研究計畫。



圖 8.2-7 Taicoms 系統說明



圖 8.2-8 Taicoms 系統說明 2

◆ 系統概述

其中系統概述包含台灣近海海象預報系統及台灣近海海象預報系統規劃時程。





圖 8.2-9 台灣近海海象預報系統概述 圖 8.2-10 台灣近海海象預報系統示意圖

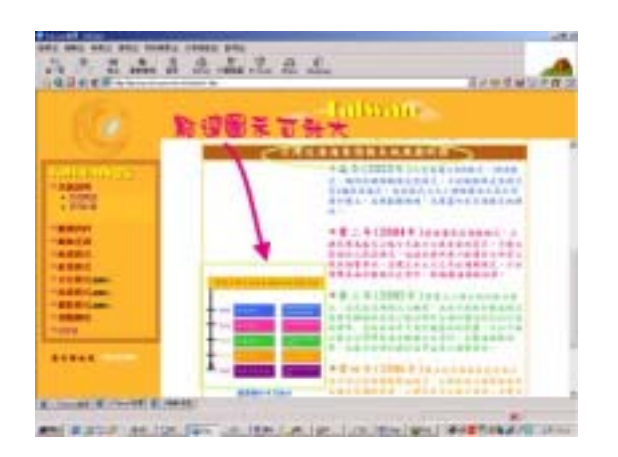




圖 8.2-11 台灣近海海象預報系統規劃時程 圖 8.2-12 台灣近海海象預報系統規劃時程圖

◆ 研究計畫



圖 8.2-13 研究計畫

● 計畫緣由



圖 8.2-14 計畫緣由

● 計畫目的



圖 8.2-15 計畫目的

● 參與人力



圖 8.2-16 參與人力

● 預期完成工作項目



圖 8.2-17 預期完成工作項目

■觀測資料



圖 8.2-18 觀測資料選項

◆ 觀測網站

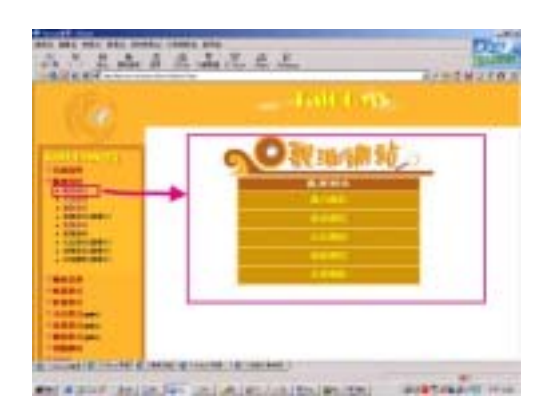


圖 8.2-19 觀測網站

其中,觀測網站中共包含有下列幾個不同形式的測站:

● 風力測站





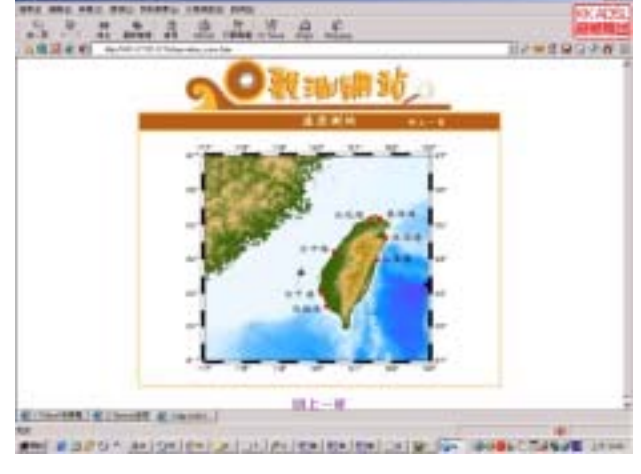
點選前

點選後

圖 8.2-20 風力測站

● 波浪測站





點選前

點選後

圖 8.2-21 波浪測站

● 水位測站





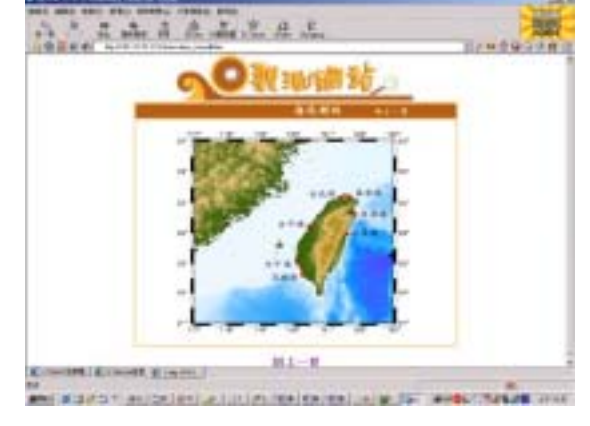
點選前

點選後

圖 8.2-22 水位測站

● 海流測站





點選前

點選後

圖 8.2-23 海流測站

● 水深測區



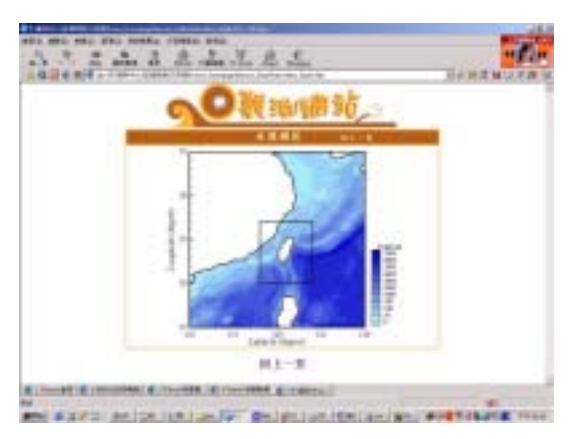


圖 8.2-24 水深測區

◆ 水深資料



圖 8.2-25 水深資料

◆ 颱風資料



圖 8.2-26 颱風資料

- ◆ 氣壓資料(建構中)
- ◆ 風場資料

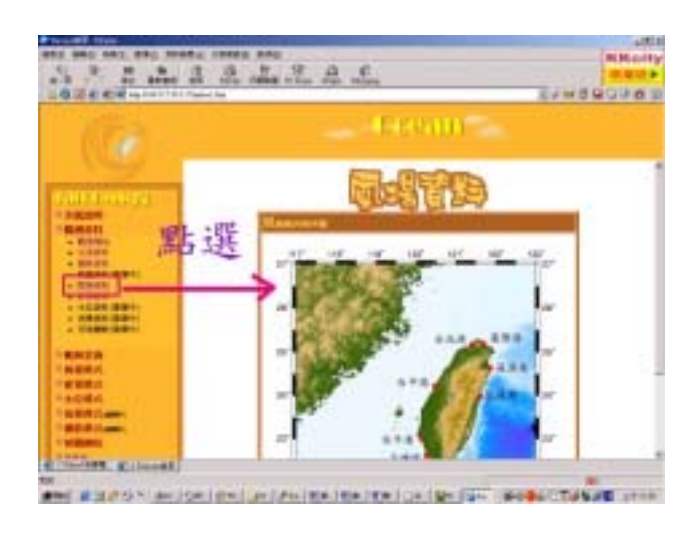
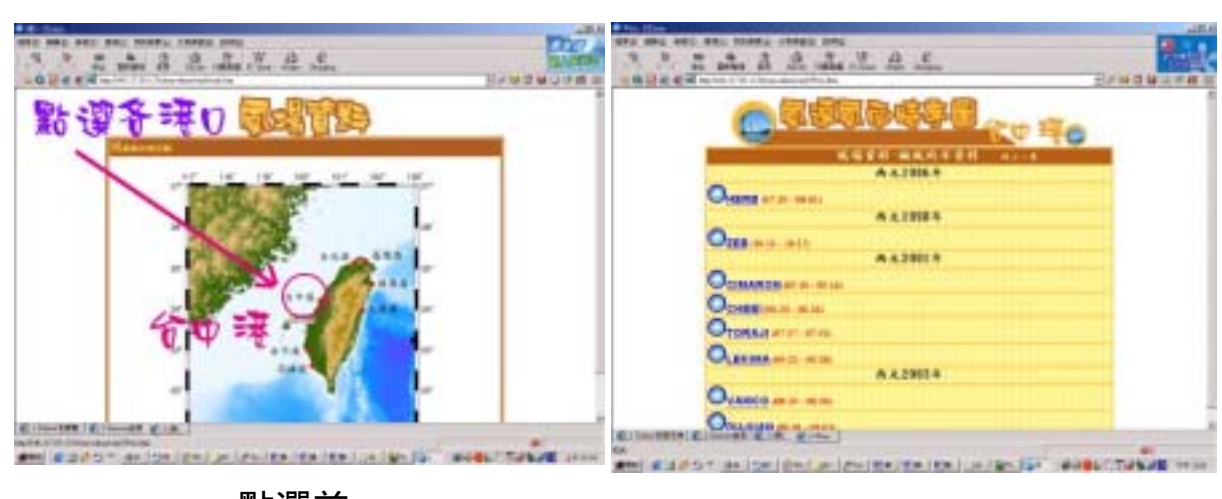


圖 8.2-27 風場資料

點選各港口的名稱,將可以看到近幾年來颱風在此港口的風速風向時序圖。下面以點選台中港為例,將可在網站看到如下畫面:



點選前點選後

圖 8.2-28 風場資料(以點選台中港為例)

◆ 波場資料



圖 8.2-29 波場資料

點選各港口的名稱,將可以看到近幾年來颱風在此港口的波場變化時序圖。下面以點選花蓮港為例,將可在網站看到如下畫面:



點選前 點選後

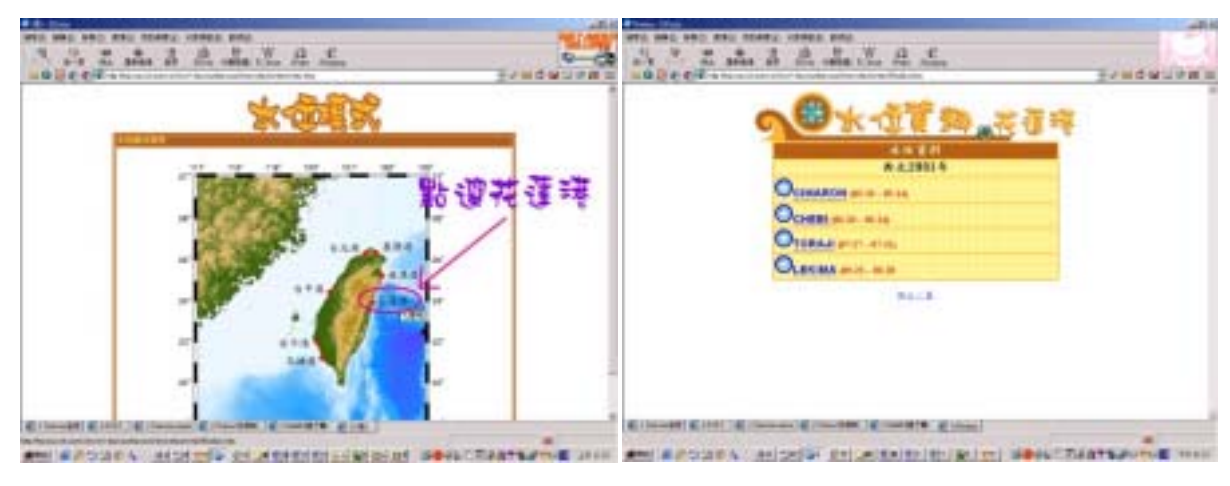
圖 8.2-30 波場資料(以點選花蓮港為例)

◆ 水位資料



圖 8.2-31 水位資料

點選各港口的名稱,將可以看到 2001 年幾個颱風在花蓮港的水位 資料。下面以點選花蓮港為例,將可在網站看到如下畫面:



點選前點選後

圖 8.2-32 水位資料(以點選花蓮港為例)

- ◆ 流場資料(建構中)
- ◆ 污染擴散(建構中)

□ 綜合查詢

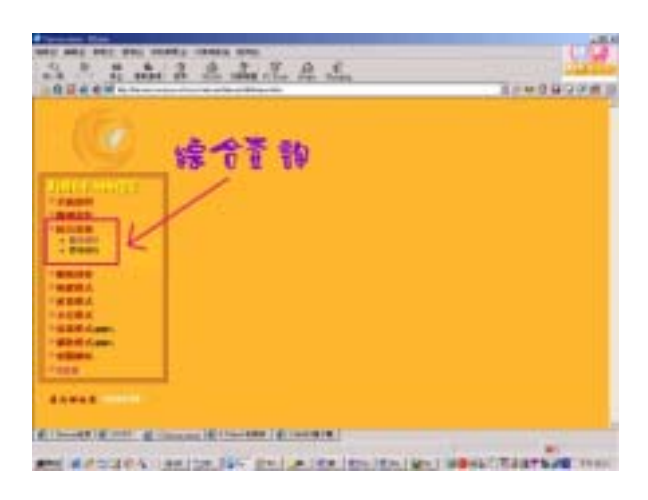


圖 8.2-33 綜合查詢

◆ 歴史資料



圖 8.2-34 綜合歷史資料查詢

□ 颱風海象

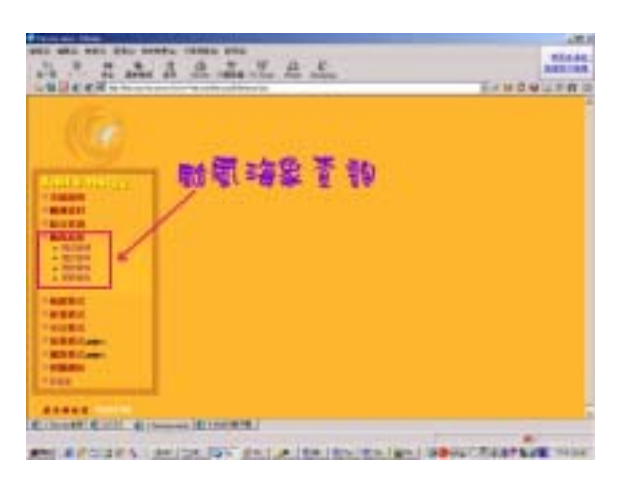
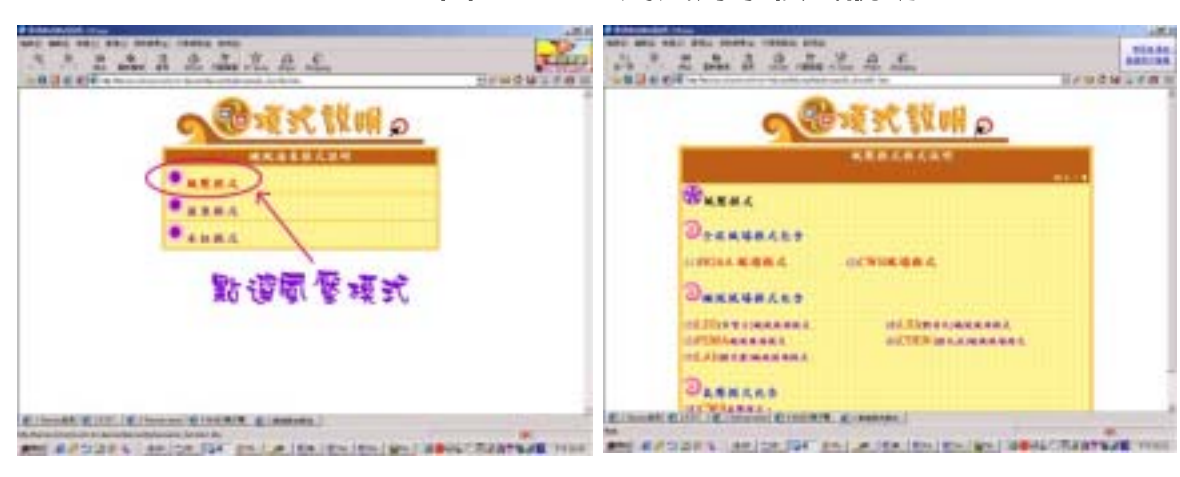


圖 8.2-35 颱風海象查詢

◆ 模式說明



圖 8.2-36 颱風海象模式說明



點選模式前

點選模式後

圖 8.2-37 颱風海象模式說明 2

◆ 歴史資料



圖 8.2-38 颱風歷史資料

其中,點選風場資料及波浪模擬後所呈現的畫面如下:

□風場資料



圖 8.2-39 颱風風場資料

□波浪模擬



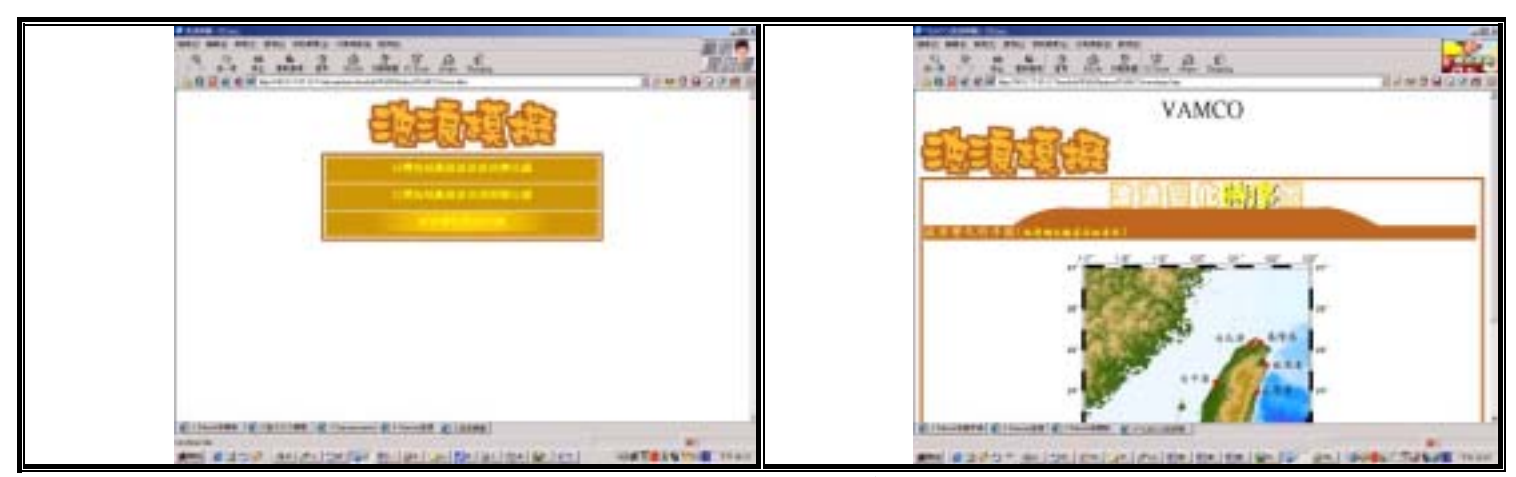


圖 8.2-40 颱風波浪模擬

◆ 即時資料



圖 8.2-41 颱風海象即時資料查詢

◆ 更新資料(用來模擬即時資料更新)



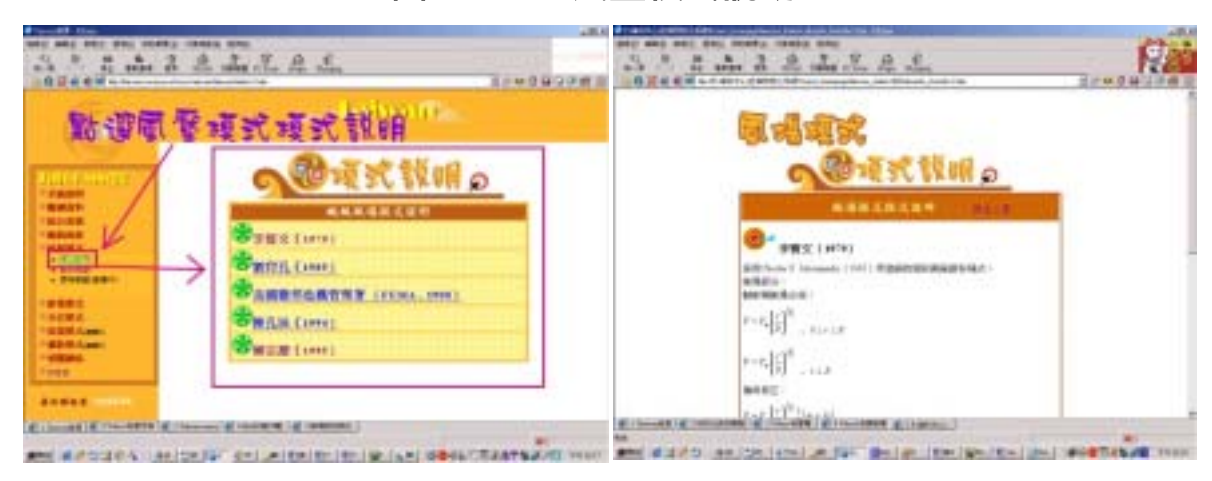
圖 8.2-42 颱風更新資料機制

□風壓模式

◆ 模式說明



圖 8.2-43 風壓模式說明



點選模式前

點選模式後

圖 8.2-44 風壓模式說明 2

◆ 歴史風壓



圖 8.2-45 風場模式歷史風壓

◆ 即時風壓(建構中)

温波場模式

◆ 模式說明



圖 8.2-46 波場模式模式說明





點選模式前

點選模式後

圖 8.2-47 波場模式模式說明 2

◆ 歷史波場



圖 8.2-48 波場模式歷史波場

◆ 即時波場(建構中)

温水位模式

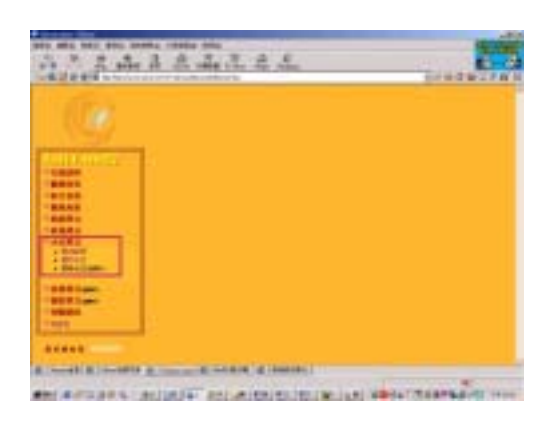


圖 8.2-49 水位模式



圖 8.2-50 水位模式說明

歷史水位



圖 8.2-51 歷史水位模式

即時水位(建構中)

⊒流場模式(建構中)



□擴散模式(建構中)

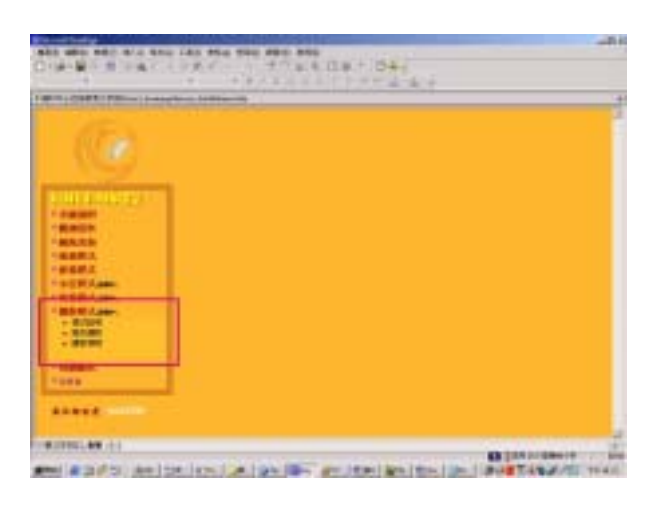


圖 8.2-53 擴散模式

8.3 颱風資料模擬網頁

計劃的初步架構,希望能提供最新的海象、氣象資料供使用者查看。所以希望在架構的背後資料的呈現可以不用透過手動的來更新資料,完全利用機制來達成自動化。為了實現初步構想,所以做了一個模擬實驗。

8.3.1 實驗架構

當使用者點選 Taicoms 所架設的網站並點選觀看颱風動向時,就必須有一個機制能夠將最新處理過的颱風動態圖送到網站上,使用者只要打開瀏覽器,系統每隔一段時間會自動 refresh 我們的網頁,讓使用者看到的動態圖永遠是最新的。為了實現此機制,我們架構了一個機制來模擬。

當處理後端資料的程式處理好資料,將原始資料轉變成圖檔後,便將產生的新圖檔送到事先溝通好的工作站資料夾內。伺服端再撰寫一程式,當使用者打開此網頁要觀看最新資料動態時,便會啟動此程式,程式每隔30秒會去所協定的資料夾內抓取最新的圖檔,當發現圖檔已經被更動後,此程式便會將此圖檔取回來網頁所存放的路徑,當30秒一到,網頁自動更新後,使用者所看到的資料便會是最新的。

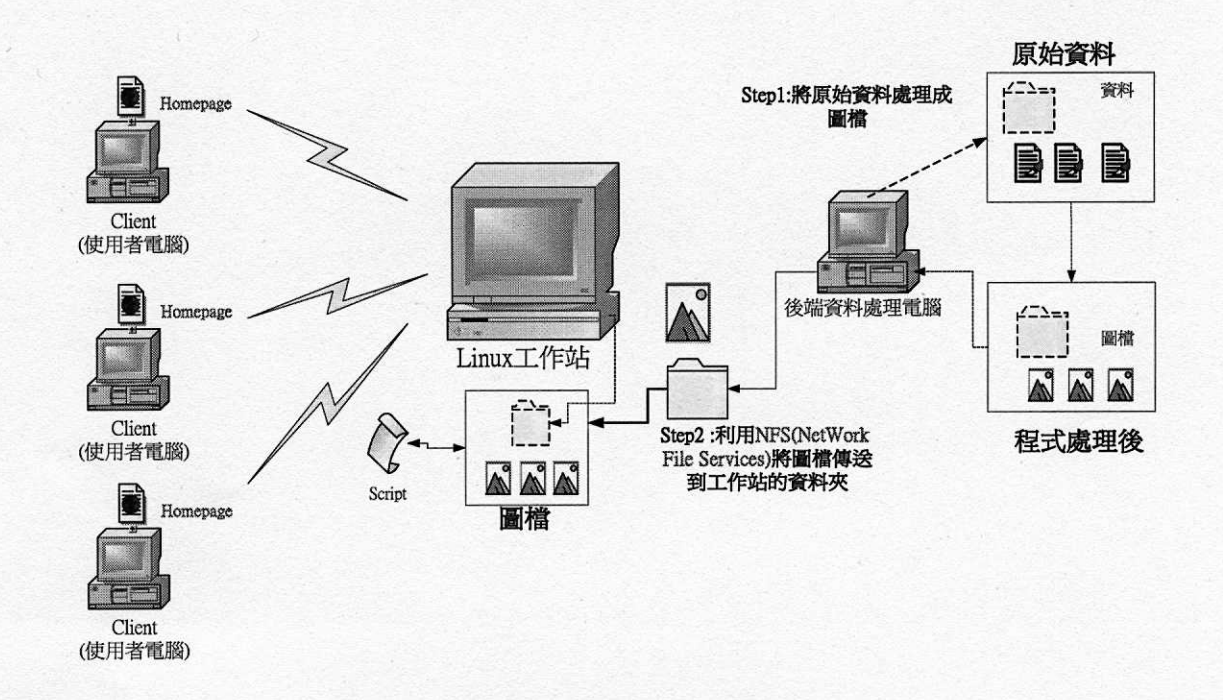


圖 8.3-1 實驗架構圖

8.3.2 網頁實際操作

Step1:使用者連線後所觀看到的畫面如下圖所示,使用者點選小圖示後,可以觀看圖檔全展圖(目前颱風名稱為 Cimaron)。

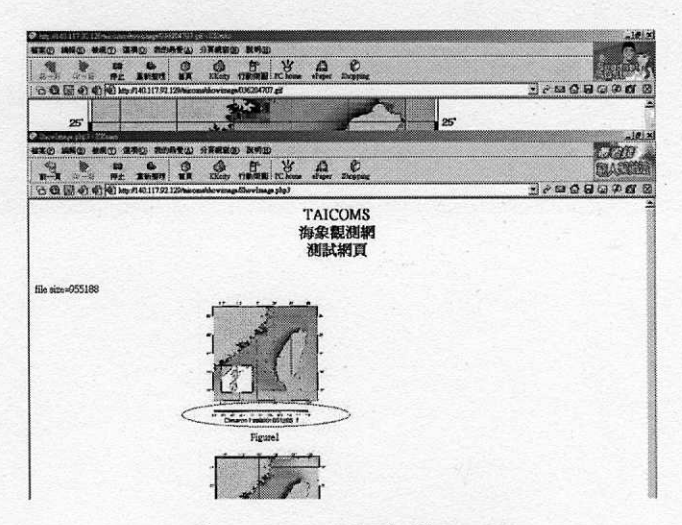


圖 8.3-2 連線後網頁

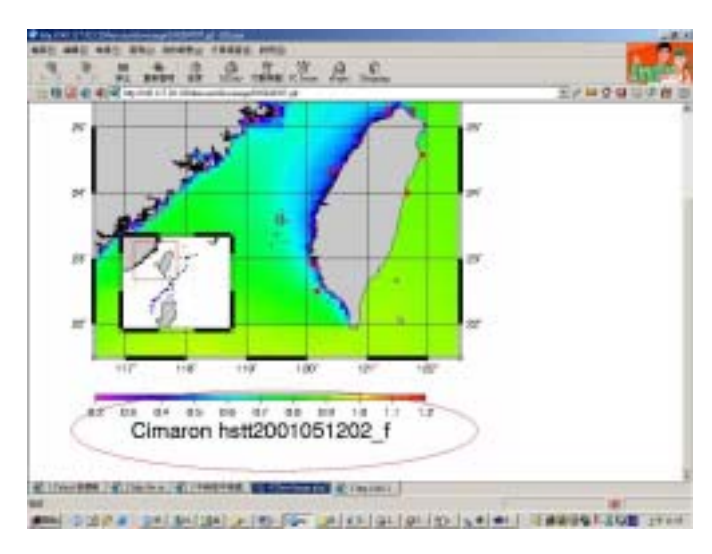


圖 8.3-3 點選小圖示可以放大圖形

Step2:30 秒過後,系統發現有新的圖檔,則 Refresh 網頁(颱風名稱變為 Chebi)。

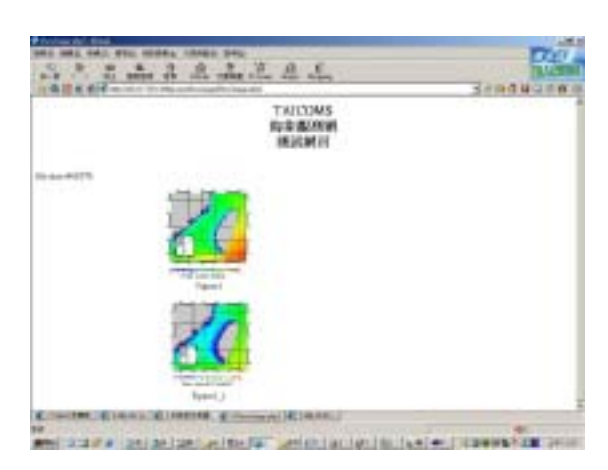


圖 8.3-4 更新後的網頁

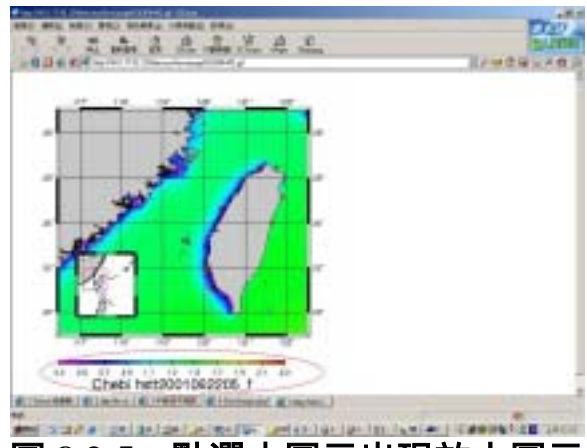


圖 8.3-5 點選小圖示出現放大圖示

8.4 綜合查詢自動化機制

為了提供使用者更多的資訊,本系統研發一機制來呈現歷年來利用觀測或數值模擬等方式所統計的資訊給使用者參考。同時為了考量使用者的習慣,我們透過下拉式選單來讓使用者點選所需要的資訊, 達到所見即所得的友善介面。

8.4.1 資料格式

本機制的歷年資料由蘇博士整理提供,提供的格式以'*.pdf'檔為主。為了讓資訊可以互相流通,團隊透過與蘇博士的溝通協調,制定一個命名的規範,所有參與相關單位依照此規範來產生相關檔案資訊。協定後按照規範命名的檔案如下:

N_ WAV_HI_ VW0_TC_PT-A_1998_MON-12_01_F&R_1.PDF 或

數值_波浪_歷史_ WAN 模式_臺中港_測點 A_1998 年_12 月_1 日_圖與表_1.PDF

由於檔案格式統一,利用此特性來建構一個有結構性的選單。

8.4.2 資料結構

由於先前檔案的命名已經統一格式,我們則依此格式透過一個由 matlab 所撰寫的程式來將這些歷年資料分門別類,透過巢狀結構的方式來拆解每個檔案並產生適當的資料夾階層,程式流程大概如圖 8.4-1 所示。經過 matlab 程式處理後,所有的檔案皆以巢狀結構資料夾型式(如圖 8.4-2)呈現。使用者可透過網頁所撰寫的 php 下拉式視窗程式來選取所要查詢的資料內容。

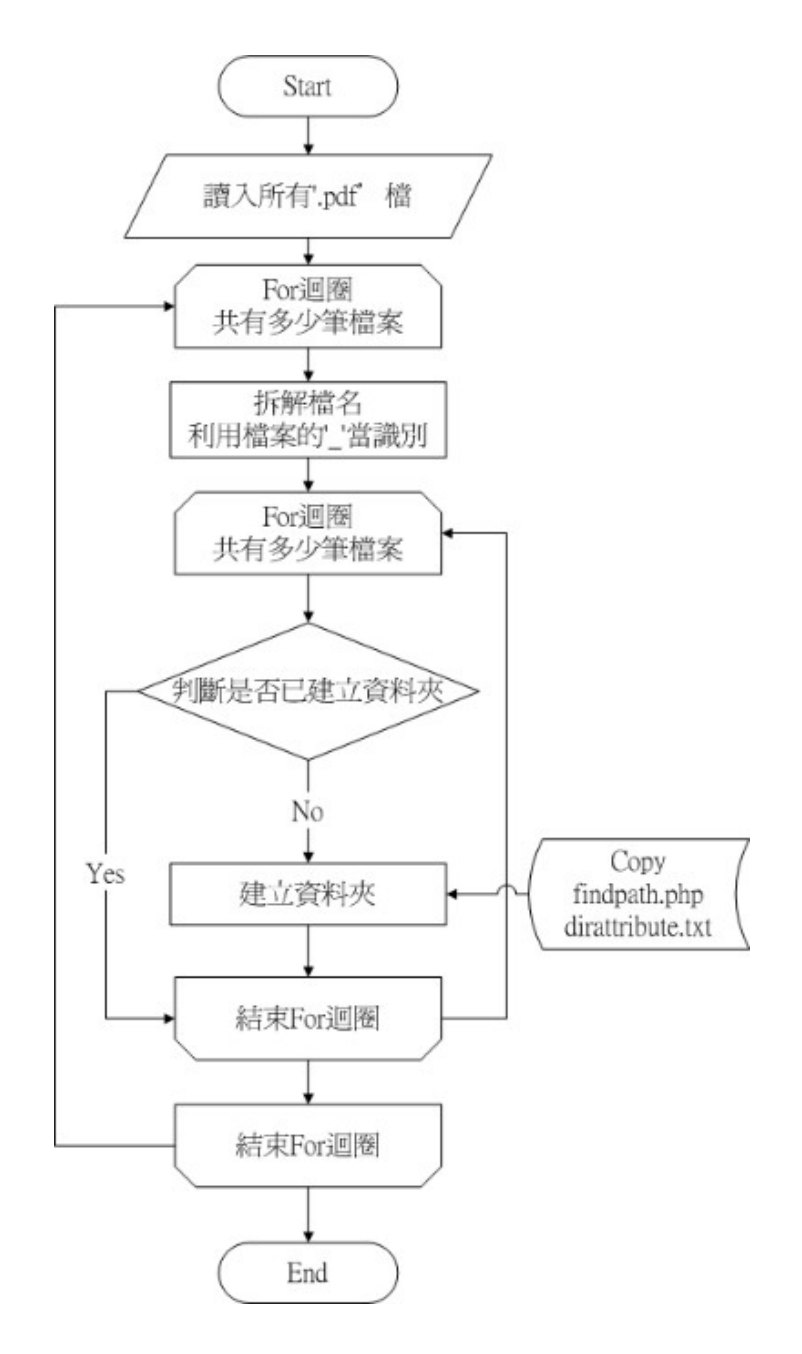


圖 8.4-1 Matlab 程式處理流程

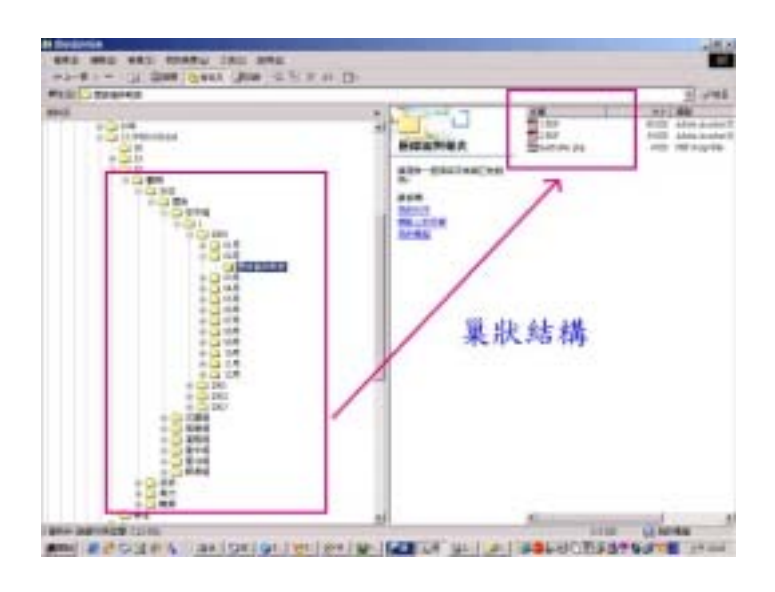


圖 8.4-2 巢狀資料夾結構

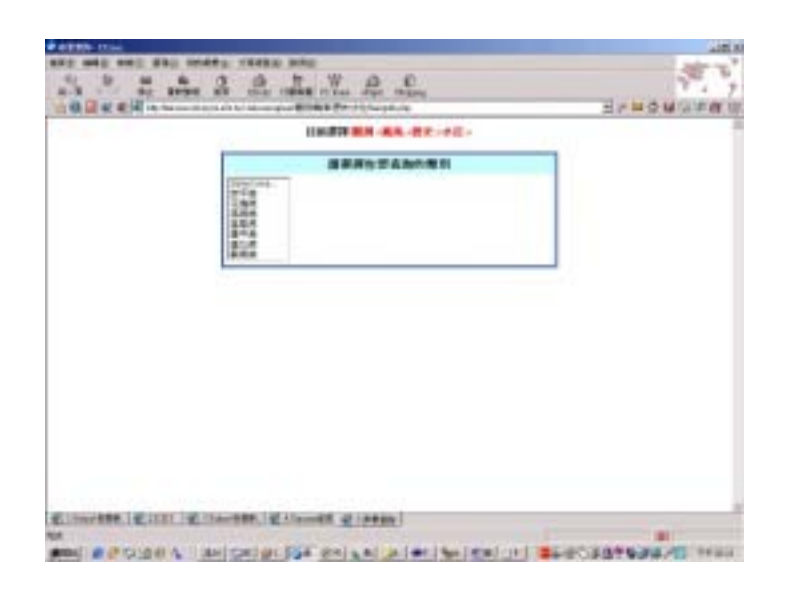


圖 8.4-3 下拉式視窗結構

第九章 結論與建議

9.1 全域波浪模式

9.1.1 結論

- 1. 本計畫應用 WAM 模式能快速模擬遠洋風浪能力與 SWAN 模式能解析近岸較小格網之功能,利用兩者相互配合模擬海面風浪。以模型颱風模式計算 2004 年妮妲颱風之風場所模擬出之風浪結果,由於颱風路徑與台灣距離稍遠,除了東海岸側之港區最大示性波高約為兩公尺外,其餘港區皆為1公尺左右,而示性週期在颱風靠近期間出現 10 秒以上之長週期波浪。
- 2. 綜合風場實測資料與 NOAA 大氣模式比較結果可知,利用 NOAA 所提供之解析度約1度之風場資料進行模擬,其實測風速資料變化較為快速,不如分析之風場資料變化較為平緩,但大致上仍可表現 出風速變化趨勢。若能獲得更高解析度的大氣資料,風浪模式計算 結果正確性應會更好。
- 3. 就利用風浪模式模擬六大港區(台中港在模擬時間範圍內無資料), 了解實測資料與模式推算結果之關係,分析各季節之實測與模式結果之個別平均值、相關係數與絕對誤差,遠域模式及近岸模式之平均相關係數均為 0.77,其中以安平港最低,基隆港最高,絕對誤差平均值則分別為 0.35 公尺、0.48 公尺,以台北港最高,花蓮港最低。以台北港為例,其平均相關係數為 0.83,但平均絕對誤差則高達 0.62 公尺,參照實測與模擬之比較圖形,由於局部最大值在模擬結果皆有偏低現象,導致絕對誤差偏大但相關係數仍高的現象。
- 4. 利用風浪模式模擬藍色公路海域之結果,除了七大港區之外,統計台東綠島、屏東鵝鸞鼻及澎湖馬公附近海域模式推算值,台東綠島冬季平均風速為 3.59 m/s、夏季為 2.24 m/s、全年平均風速為

- 2.80m/s,風浪模式推算綠島冬季平均波高是 1.95 m 夏季為 1.23 m 年平均值為 1.55m。至於屏東鵝鸞鼻的冬季平均風速為 8.28 m/s、夏季為 5.39 m/s、全年平均風速為 6.56 m/s,風浪模式推算綠島冬季平均波高是 2.41m、夏季為 1.58 m、年平均值為 1.90m。澎湖馬公雖然在風速方面也是冬季最大夏季最小,但是波高平均值卻是春季最小,冬季 春季與年平均波高以風浪模式計算後分別為 1.14m 0.88m 及 1.05m。
- 5. 以風浪模式推算結果,利用緩坡方程式進行七大港區港內外波場之模擬方面,選取於民國 90 年 6 月 22 日侵台之奇比颱風與民國 93 年 8 月 25 日之艾利颱風,作為模式波浪之輸入條件,模擬颱風作用下,國內七大港附近海域之近岸波場變化。除了部份波浪入射方向恰面對港池開口,故在部分的港區範圍內,會有波高較大的情形發生,就整體而言,模擬結果可表現港內外波場變化,在奇比與艾利颱風侵襲下,七大港之防波堤配置大多能有效地避免颱風對港域內部造成直接的侵襲。
- 6. 根據分析顯示遠域模式的風浪相關模式應用時,冬季波浪示性波高與風速之相關性較為一致,較具有其應用性,而近岸模式的相關模式則可應用之秋、冬兩季, R² 約在 0.5 以上,另外花蓮港、基隆港、蘇澳港及台北港均在冬季發生示性波高之最大平均值。

9.1.2 建議

- 由於風浪模式中的主要外力為風,有精確的風場輸入模式中才能獲 致準確的風浪推算,故如何獲得時間與空間解析度適合本計畫之風 場仍為需要努力之目標。
- 2. 由於波浪模式格網解析度與計算機運算時間密切相關,由期中報告中數值波浪模式之模擬時間具作業化程度仍有改善空間,除了相關硬體配合,亦可考慮實際需求進行解析度與計算範圍之調整。

9.2 類神經網路波浪模式

9.2.1 結論

在近岸海象複雜的環境下,推算、預測近岸波浪的計算模式需要相當多的相關資料以及電腦資源,相關資料的量測品質如波高、波浪週期、地形、水深等以及電腦計算的複雜度都會影響計算結果的精確度。海象觀測儀器隨著科技、技術的成熟,量測資料的品質亦大幅提昇,類神經波浪推算的研究利用觀測站的波浪資料、颱風氣象資料及類神經網路模式的架構,經過簡單的模式建構過程建構颱風波浪推算模式,可以滿足特殊地形或區域的颱風預測及預警防災的功能。

類神經網路波浪推算模式以能量平衡方程式為基礎,在颱風波浪的計算上配合參數形式的颱風模式 Holland Model 藉由輸入參數與輸出函數間的關係,修正類神經網路轉換函數組成颱風波浪推算模式,並以台灣東部海域花蓮港為例。模式測試的結果顯示,颱風波浪推算模式可以有效且穩定的計算出推算區域內颱風波浪的行為。本模式以Holland Model 模擬的颱風風場無法計算颱風風場與陸地交互影像後的風場分佈,所以當風場受到地形影響時模式無法充分反應出颱風波浪行,對於這樣的限制可以藉由結合即時風場資料或是更精準的颱風風場計算模式得到改善。

本研究發展的颱風波浪推算模式以類神經網路為基礎,因此,模式亦具有自我學習的能力,利用每次颱風事件後的颱風波浪資料對颱風波浪推算模式進行修正,以因應該區域的地形地貌或是海象的改變。此外,在地形條件無劇烈變化的限制下,本模式可以擴大推算範圍,以提供鄰近區域颱風波浪推算的模擬與校正。因此,以類神經網路為核心並修正轉換函數所建構的颱風波浪推算模式,達到模式建構過程容易、計算快速、計算結果準確及模式具自我修正調校功能的目標,同時避免於一般數值模式需較長計算時間,又能夠有相當精度之預測能力。

9.2.2 建議

在水位的推算模式建構方向上,將與颱風波浪模式結合,藉以發展出全時推算預測的模式。配合波浪、水位模式利用建構資料的同化機制,與數值模式計算的結果連結,以填補實測資料的不足。藉由模式結構的修改與更新期望能達成波浪、水位全時推算的的目標。

目前發展模式受限於實測資料的數量及資料的連續性,由於類神經網路需要足夠的學習資料,因此模式建構將有所限制,經過2004年三場颱風波浪的模擬與推算結果更可以了解到颱風風場準確性的重要,目前模式因應推算誤差的對策將採用以推算颱風波浪產生誤差的颱風事件為模式更新時類神經網路的學習目標,局部修正類似路徑的颱風波浪行為。此外,模式準確度整體提升的方法與策略將以內差、經驗式配合數值模式資料及模糊理論提高模式推算的能力。

9.3 水位模式與暴潮模式

9.3.1 結論

大致上來說,天文潮模式經由調整後邊界驅動的結果大致良好,就主要分潮 M2 與 K1 而言,高雄與基隆差異值較大,大部分的實測分潮與模式結果相當接近,但高雄與基隆的分潮振幅差異最大可達兩倍 (M2、S2),由於受到地形變化較大影響,在大範圍模式中由於格點較大不易得到類似結果,將藉由小範圍高解析度模式的建立來彌補。另外,2003 年高雄測站資料分析結果異於其餘年份,同年其餘測站並無相同情形,可能是資料本身水準面變異問題,該結果在進行潮位重組時將予以剔除,以其餘年份代替。氣象局所購買的2004年資料部分,主要分潮 M2 大致符合,淡水測站由於遲角偏差較大使得差異較大,模式 S2、N2 分潮普遍較大,由於氣象局資料僅購買颱風期間月份,資料長度較為不足,分析結果無法完整代表潮汐特性,未來尚待取得較為長期潮位紀錄以進行分析,目前所有實測潮位資料,紀錄密度均為

每小時一筆,地形或天候產生之高頻複合現象,並無法完整表現,未來亦期待取得原始資料,方能進行分析高頻的潮汐行為。

暴潮模式結果與分析後之暴潮偏差比對,測站暴潮偏差值明顯偏小有以下幾個原因,第一個原因為颱風經過台灣陸地,造成結構的破壞,使的風速分佈與颱風模式的初始假設不合,同時也會影響路徑預報的精確性,再加上大尺度範圍的網格解析度太粗,使得近岸的地形無法被精確的描繪出來,造成整個暴潮位的偏小,未來將模式解析度增加之後,可以得到更精確的暴潮偏差。

第二個原因則為 NOAA 預報風場的網格解析度過大,在台灣海峽內部只有一點兩點的風速資料,因此內插出來的風速雖然在趨勢上可以符合,但是在風速大小部分便無法很有很好的結果,特別在近岸地區風速的內插更是明顯的偏小,待下一年度取得中央氣象局更精細的動態風場預報資料,便可得到更好的暴潮偏差模擬結果。

第三個原因為颱風暴風半徑的準確性,由於 NOAA 預報風場解析度過大,因此對於颱風風場的模擬往往無法得到風速的極值,颱風範圍內的風速都較實際量測值來的小,因此需要使用颱風模型來模擬颱風內部風場,取代 NOAA 預報風場的颱風範圍,此時颱風的暴風半徑準確性便相當的重要,若是預報半徑過大,會造成風速偏大,預報半徑過小則是風速不足,此情況對於暴潮偏差的模擬影響很大。

第四個原因為氣壓因素,由於本年度沒有辦法取得平面的氣壓場分佈,因此無法將氣壓的影響納入,導致暴潮偏差被低估,下一年度若能取得中央氣象局的平面預報氣壓場後,會得到更準確的暴潮偏差結果。

第五個原因為分析暴潮偏差的方式,目前使用的方法為以實測水位減去調和分析的重組水位(取震幅超過一公分的分潮)得到,由於目前的潮位站大部分皆位於港區內,會受到地形的影響,因此使用此方式來分析,並無法將地形的影響去除得到單純的暴潮偏差,未來可以嘗試使用其他的分析方式如 EMD,期能得到更準確的暴潮偏差值。

全域水位模式的計算結果,除了基隆與高雄測站因地形的影響計算結果不理想,其餘港區的預報水位皆能與實際狀況大致符合,待未來提高模式解析度及精確的地形資料,便可以得到更精確的水位預報,未來更可以直接取代全域暴潮模式做為平時及颱風期間的預報模式。

9.3.2 建議

未來尚待取得較為長期潮位紀錄以進行分析,且紀錄密度更密之 實測資料,便可分析出地形或天候產生之高頻複合現象,進行分析高 頻的潮汐行為。

由於大尺度網格解析度太粗,使得近岸的地形無法被精確的描繪 出來,造成整個暴潮位的偏小,未來需將模式解析度增加,以得到更 精確的暴潮偏差,但是需要計算能力較強的計算主機配合,才能在合 理的計算時間內達成即時預報的目的。

NOAA 預報風場網格解析度過大,在台灣海峽內部只有一點兩點的風速資料,因此內插出來的風速雖然在趨勢上可以符合,但是在風速大小部分便無法很有很好的結果,特別在近岸地區風速的內插更是明顯的偏小,下一年度希望能順利取得中央氣象局更精細的動態風場預報資料,會有更好的暴潮偏差模擬結果。

由於本年度沒有辦法取得平面的氣壓場分佈,因此無法將氣壓的 影響納入,導致暴潮偏差被低估,下一年度期待能取得中央氣象局的 平面預報氣壓場後,以便得到更準確的暴潮偏差結果。

9.4 風域推算半經驗颱風波浪模式

9.4.1 結論

1. 本計畫以移動風域數值推算法建立定點風域推算半經驗颱風波浪模式,由於模式本身具有運算快速以及模式所需之資料亦相對地較少

等優點,在海岸防災預警應用上,較易針對各種可能的颱風行進路徑、移動速度及中心低氣壓值進行颱風波浪推算,充份提供各種可能的颱風波浪預警訊息。

- 2. 半經驗颱風波浪模式相關參數必需經由實測資料不斷地率定才能增加相關參數判斷之經驗,藉以增進其預測之準確度。
- 3. 以半經驗颱風波浪模式推算颱風波浪,普遍存在波高之週期偏大缺點,仍有待進一步改善。

9.5 各類模式

針對 WAM 風浪模式、SWAN 風浪模式、全域水位模式、定點類神經網路水位模式與定點風域推算半經驗颱風波浪模式之各模式優缺點與條件限制綜合成表 9.5-1 來相互比較與探討。

表 9.5-1 各類模式之綜合條件比較表

模式條件	模式類型	應用說明		
	WAM 風浪模式	無法計算近岸海域,無繞射效應。		
	SWAN 風浪模式	無法計算結構物附近波浪場,無反射效		
	5 11 11 120/K X 20	應。		
限制	全域水位模式	計算時間較預警模式長		
	定點類神經網路水位模式	需有一年以上之實際潮位資料。		
	定點風域推算半經驗颱風	屬於線風域推算模式,故無法考慮地形		
	波浪模式	變化所產生的折繞射現象。		
		如表 7.3-2 與 7.3-3 中所述,模擬期間 8		
精度	WAM 風浪模式	個測站,WAM 模式之波高平均模擬誤		
		差為 0.33 公尺,週期為 1.14 秒。		
		如表 7.3-2 與 7.3-3 中所述,模擬期間 8		
	SWAN 風浪模式	個測站,SWAN 模式之波高平均模擬誤		
		差為 0.30 公尺,週期為 1.28 秒。		
	ムボッグ·世子	得到水位為測站附近的值(可提高模式		
	全域水位模式 	解析度改進)		

模式條件	模式類型	應用說明		
		1.推算位置為觀測站潮汐水位。		
	定點類神經網路水位模式	2.推算時間的刻度為小時。		
		3.潮位推算結果與調和分析法相似。		
		最大示性波高推算結果以台灣東部海域		
	定點風域推算半經驗颱風	推算結果誤差較小(均方根誤差值小於		
	波浪模式	0.5m), 西部海域則受到陸地及狹風域之		
		1.推算位置為觀測站潮汐水位。 2.推算時間的刻度為小時。 3.潮位推算結果與調和分析法相似。 最大宗語,與其語,與則受到陸地及灣人。 對響誤差較小(均方根與非線性效應,可快速推算所屬之人。 可快速推算大範圍風浪變化,具有算數學所不可與,可使用較大。 可快,消影響所不可與,可使用較大學,可以,可以,可以,可以,可以,可以,可以,可以,可以,可以,可以,可以,可以,		
		可快速推算大範圍風浪變化,具有風成		
	WAM 風浪模式	長、消散與非線性效應,亦可計算波浪		
		受水深影響所產生的折射現象。		
		採用二階隱式積分,可使用較大之計算		
		時距,可解析格網密度較高之風浪變		
	SWAN 風浪模式	化。深水處之風成長、消散與非線性效		
		應外,在淺水處亦可計算三波波非線性		
		效應與波浪碎波現象,亦可計算含流之		
		波浪場變化。		
	全域水位模式	1.可直接得到水位變化。		
優點		2.可模擬全區域的水位變化。		
		擬能力。		
	定點風域推算半經驗颱風			
	波浪模式			
缺 點	WAM 風浪模式	格網解析度較低,無法計算含流之波浪		
		場。		
		1.網格點解析度較粗。		
		2.計算時間較長。		
		3.輸出輸入檔案較大		

模式條件	模 式 類 型	應用說明
		1.模式需要足夠的學習資料進行學習與
		模擬。
	定點類神經網路水位模式	2.模式推算結果或解答,屬於滿意解而
		非精確解。
		3.僅能預測已學習過之測站水位。
		1.以模型颱風推算颱風波浪,必須藉由
	定點風域推算半經驗颱風	實測資料率定相關參數,以增進模式推
	波浪模式	算之精度。
		2.推算點之波高及週期時序資料並非代
		表海面上實際之風浪。
		地形與風之格網資料。
		地形與風之格網資料,與邊界上之入射
	SWAN 風浪模式	二維波譜 (此部份可由 WAM、NWW3
		或 SWAN 模式提供)。
	全域水位模式	1.潮汐邊界
		2.氣象條件(風速及壓力)
		1.地球半徑 R。
輸入資料		2.天頂距離 (太陽、月亮)。
	定點類神經網路水位模式	3.觀測點頭頂方向與地心及星球(太陽、
		月亮)中心之連線夾角。
		4.日、月與地球之相對角度
		1.颱風資料包括颱風位置(經、緯度)、颱
	定點風域推算半經驗颱風波浪模式	風中心氣壓(P_c)、颱風移動速度(V_F)與行
		2.推算點位置(經、緯度) 、吹風距離線
		方向及水深資料、最大吹風距離等。
	WAM 風浪模式	可輸出格網點上二維波譜,示性波高,
		平均週期,平均波浪角度等。
	ISWAN 風浪模式	可輸出格網點上二維波譜、示性波高,
輸出資料		平均週期,平均波浪角度等。
		全區域之水位資料(m)
		觀測站之潮位資料(cm)
		各吹風距離線上推算點之示性波高及週
	波浪模式	期,以及最大示性波高及週期

WAM 與 SWAN 風浪模式的交互運用可快速推算大範圍風浪變化,具有風成長、消散與非線性效應,解析格網密度較高之風浪變化與三波波非線性效應與波浪碎波現象,亦可計算含流之波浪場變化;在運算過程中需要精確的風場輸入,並修正適合本計劃使用的時間與空間的解析度,且模擬時間稍長,極需要強大的電腦運算器來進行計算,在波浪資料的顯現上具有較全面性的模擬結果。

依此而言,定點類神經網路水位模式在結合即時風場資料或是更精準的颱風風場計算模式時,可以改善因風場受到地形影響而造成模式無法充分反應颱風之波浪行為,且具備快速計算、計算結果準確、與自我學習、修正調校之功能,但模式發展受限於實測資料的數量與連續性,另應結合數值模式之計算結果,提高模式推算之能力。

全域水位模式需要強化增加風場網格之解析度,以及高密度之實測資料,方能得到更精確的暴潮偏差與高頻的潮汐行為,此模式在計算結果可以直接得到水位變化與模擬全區域的水位變化,但其計算時間較長,在取得高密度之風場風壓資料以及精確地形資料後,未來更可以直接取代全域暴潮模式做為颱風平時及颱風期間的預報模式。

由於定點風域推算半經驗颱風波浪模式在輸入資料方面,針對颱風而言,僅需輸入颱風相關資料與路徑方向,即可預估計算出颱風未來在各港區產生之示性波高與週期,具備快速預測之功能,但對於行徑多變的颱風或氣旋而言,則必須增加不同行進路線之模擬與率定,以提高模式預測之準確性,但其快速運算之功能仍能充份提供各種可能的颱風波浪預警訊息。

附錄一:

交通部運輸研究所合作研究計畫 期中□期末報告審查意見處理情形表

計畫名稱:近岸數值模擬系統之建立(1/4)

執行單位:國立中山大學海洋環境及工程學系

執行甲位:國立中山大學海洋壞境 /	义上任字分
參與審查人員	合作研究單位
及其所提之意見	處理情形
李兆芳委員:	
一、p.1-8 和 p.1-9 版面可以編排更好一些。	一、依建議期末報告將修正。
二、2.2.1 節中各子節之名稱寫法不合時	二、依建議期末報告將修正。
宜,可以使用更具創意之寫法。	
三、p.2-10 中「颱風模式再 」, 文字有	三、依建議期末報告將修正。
誤。「其餘颱風接」文字有誤,請更正。	
四、p.3-2,「西至東經 140 度與 」, 文字	
有誤,請更正。	10°, 北至北緯 35°, 西至東經 110°與中
	國大陸陸地為界,東至東經 134° 」。
五、p.3-3, 遠域模式 t=5分鐘, 近岸模	
	用隱式積分法,考量計算時間下採用較
較大,請補充說明。	大之時間間隔。
六、p.3-19 類神經網路模式之結果,可否	
和 p.3-7~p.3-10 之結果作比較 ? H _s 和 H _{1/3}	
符號可以修改為相同,同樣都是 H _{1/3} 和時間之關係圖。	来作比較,將於期來報告中修正。將 H _s 和 H _{1/3} 符號統一修改為 H _{1/3} , 並於期
	末報告中修正。
七、p.3-29,(3-3-41)式和(3-3-42)式缺,請	
補正。	印之缺失期末報告將修正。
八、p.3-30,此處提及有波浪觀測值,前	八、相關模式推算結果與波浪觀測值之
面模式之結果可否利用此處之資料作比	比較,已於92年度研究成果中詳述之,
較?請說明。	此處文章僅屬引述,故未附比較結果。
九、p.4-2 ,「格點大小為 10'×10' 」,	九、依建議期末報告將修正。
需說明。	
十、p.4-13, (4.2-1)~(4.2-5)式中, τ _{sx} 和τ _{sX}	十、依建議期末報告將修正。
符號是否一致?請校核。	
十一、p.6-1,「計算特地區域的」,文字	十一、依建議期末報告將修正。
有誤,請更正。	
十二、p.8-2 ,「風域推算辦經驗」,文字	十二、依建議期末報告將修正。
有誤,請更正。	
十三、p.4-12 和 p.4-21 方法之比較, p.4-21	
之計算方法較為合理, p.4-12 天文潮和風	
暴潮分開計算,然後線性相加,這部份之	
內容可以考慮去除。	

十四、p.4-5, 結果之顯示效果不佳, 可以十四、依建議期末報告將修正。 重新編輯。 十五、利用波浪模式和水位模式計算颱風|十五、感謝李委員的建議,這個觀念已 引起之水位變化,其結果似乎可以互相比|在國際的海洋工程界逐漸被討論中,是 較並討論,建議思考一下。 屬於波流交互作用下,如何將這二種模 式耦合進行模擬。目前的波浪模式考慮 條件為平均水深,並不考慮潮汐,尤其 是風暴潮的影響;水位模式中颱風波浪 的影響亦無法介入,在近岸地區影響更 為重要。由於今年度的規劃並未加入這 方面的理論思考,在實際執行上可將近 岸颱風波浪的模擬結果疊加在颱風暴 潮的水位上,但是目前的量測資料均為 分析處理後的資料,未來若可取得為處 理的原始記錄,或許可進行這方面的分 析比對,並與模式結果合併討論。 蔡清標委員: 一、本研究為第二年計畫,旨在建立近岸一、感謝蔡委員的肯定。 波浪及潮位數值模式,並藉由近岸觀測網 之實測數據作驗證,以期達到觀測站提供 預報能力之目標,期中報告之研究成果, 應予肯定。 二、各章中,數值模擬都包括了數個模 二、依建議期末報告將修正。 式,建議於每章開始,增加「前言」一節, 大略介紹各章之要旨及各模式之目的或 作用,最好亦能增加各模式之比較彙整 表。另,各節模式建議增加模式計算流程 三、各模式中,如第二章之風場及壓力場三、依建議期末報告將修正。 模式,均有參數設定問題,建議能將所使 用之重要參數值列表之。 四、圖 3-1-5~3-1-11 及圖 4-2-1~4-2-12, 四、待資料收集與分析後,於期末報告 是否可增加實測值比較? 一併修正。 五、第四章中,建議增加暴潮偏差之實測五、待資料收集與分析後,於期末報告 及數值模擬比較。 一併修正。 六、圖 5-2-3~5-2-38 之模擬結果比較 , 為 六、謝謝指正 , 期末報告中將會將定義 瞭解其精度,建議各圖增列 C.C.(相關係 | 增列至報告中。相關係數之定義為 數)值。另,各表中之絕對誤差應予定義。 $CR = \frac{\sum_{i=1}^{N} [(P_i - \overline{P})(O_i - \overline{O})]}{\left[\sum_{i=1}^{N} (P_i - \overline{P})^2 \sum_{i=1}^{N} (O_i - \overline{O})^2\right]^{1/2}}$ 其中Oi、Pi分別為觀測值與計算值, \overline{O} 、 \overline{P} 分別為觀測值與計算值的平均

	值,N為計算長度。而絕對誤差定義為
	$C.C. = \frac{\sum_{i=1}^{N} O_i - P_i }{N}$
	$C.C. = \frac{\sum_{i=1}^{N} C_i}{N_i}$
林銘崇委員:	IV
一、各相關之模式均已完成初步驗證,其	一、謝謝委員肯定。
結果趨勢大致良好。	, assasses 54, 57, 20
二、結論與建議一章,僅述類神經網路波	二、由於波浪及水位模式均在建置階
浪推算模式及風域推算半經驗颱風波浪	段,在本次期中報告中尚無法有具體的
模式之部份,應適度補充其他有關內容。	結論,期末報告時將依本年度之研究結
	果予以補充。
三、頁碼 3-29 中,漏列式(3-3-41)及	三、依建議期末報告將修正。
(3-3-42),	
四、於全域風浪模式,應用 WAM 模式及	
SWAN 模式之計算結果顯示示性波高之	
時序列變化兩者較為一致,但在周期方面	報告能有較好之結果。
則有相當差異,模式選擇應用時,該如何	
取捨?	工 化矿大吸回类网类极克式 热地士
五、颱風風場各模式之計算結果,與實測	•
值比較相當不一致,該如何下結論何種模	報告一併修止。
式較宜?	
林炤圭委員:	/ ->
	一、依建議期末報告將修正。
二、1.1 計畫背景,文字內容對天然及人	、
為災害說明很清楚,但對防救災系統未作	
明確定義且其影響性及重要性說明不足。	一分弹性如大规处位
三、p.1-8 圖 1.1-1 建議重畫; p.1-9 圖 1.1-2 數字 2 為何應說明。	二、
四、p.3-14 , 圖 3.2.1 建議重畫。	
	五、依建議期末報告將修正。
六、建議本報告之表格格式重新檢查,如	
表 3.3.1、3.3.3。	> // M31M31HTT-0
七、各預報模式之整合及比較,建議期末	七、謝謝指正,於期末報告時修正。
報告中加強。	7 10 0000 1100 - 015 - 0
八、公式的編排建議統一。	八、謝謝指正,於期末報告時修正。
九、第五章的表格很多沒列單位。	九、謝謝指正,於期末報告時修正。
十、整個期中報告之各子計畫整合性不	十、由於目前的計畫導向為模式結果的
足。	比對,以期能各選擇一種模式作為線上
	預報模擬的主力,並以其他模式作為輔
	助校驗的工具,所以模式兼併沒有實質
	的資訊交換。依循目前的計畫導向,主
	要以資料整合為主要工作。
十一、錯字:	+-,
1. 中文摘要最後一行:更有效率	依建議期末報告將修正。

「的」改「地」。 頁 8.2 風域推算「辦」經驗改 2. 「半」 3. 1-1 頁第 5 行, 必「需」改「須」; 第二段倒數第2行,近岸「房」 救災改「防」。 4. 1-2 頁第 1 行,那樣「的」明顯 改「地」;倒數第8行,大幅「的」 增加改「地」; 倒數第7行, 先 進國家「,」的「,」去掉。 5. p.4-14 第 13 行, 抬「生」改「升」 p.5-20,圖 5.1-18,波高「速」 極值 ?圖 5.1-20 亦同。 邱永芳主任: 一、颱風侵台前就需有預報資料提供各港一、謝謝邱主任的指正,由於今年度颱 務局做防災準備使用,因此數值計算結果|風期間的量測資料於期中報告前尚無 應與觀測結果做校核。 法取得,故無法在結果中校核,將積極 聯繫港研中心相關主辦長官取得,以便 於期末報告中加入。 二、儘快提出計算模式相關分析及資料同二、將督促團隊積極進行。 化整合使用,以提高預報精確性和使用 性。 三、數值計算結果要即時網站公布,其資三、謝謝指正,將督促團隊積極進行。 料 QC 應注意,並需有謹慎的校核。 何良勝博士: 一、台灣四周海域條件不盡相同,如何以一、謝謝指正,全域波浪與水位模式均 同一種模式適應。 依實際模擬的區域而有所區分,在大尺 度及中尺度的模式為涵蓋全部海域,在 小尺度的地區性模式則根據七大港區 的地形與波浪條件,分別建置與校核。 二、建議增加其他地區實測資料之比對趨 二、謝謝指正,嘗試取得氣象局所屬資 勢。 料進行比對。 三、依建議期末報告將修正。 三、增加「結論與建議」部份之說明。 簡仲璟博士: 一、為符合計畫名稱,建議第一章之圖 一、依建議期末報告將修正。 1.1-1 及圖 1.1-2 分別修改為"臺灣近岸海 象預報系統"及"臺灣近岸海象預報系統 模式建置預定時程"。同時原圖 1.1-2 中無 法看出各模式之建置時程且模式建置後 所能提供預警資訊似乎無法對應,建議該 圖重新繪置。 二、第三章分別介紹各種波浪模式並作例二、謝謝建議及指正,模式操作說明將 子說明。建議補充各模式之操作基本條 | 於期末報告中以附件方式處理,以便未 件、模式計算時間及使用限制之比較說 來使用。內容整合改善部分亦將於期末 明。同時本章內容應整合,例如圖 3-1-4 報告中修正。 與圖 3.2.6 應整合,不同波浪模式對於 Nida 颱風之推算結果應整合繪置於同一 張圖,以便比較模式間之差異。 三、第 3-29 頁方程式 3-3-41 及 3-3-42 漏 三、依建議期末報告將修正。 印請修正。 四、有關定點風域推算半經驗颱風波浪模|四、謝謝指正,西部港口颱風波浪推算 式之例子說明與驗證如第 3-30 頁所述"對 結果及模式相關參數之率定,目前乃在 於西部各港口而言,颱風波浪最大示性波|進行中,相關研究成果預計於期末報告 高推算值與觀測值間誤差較大",其原因 提出。 是否為模式相關參數之率定,係採用花蓮 港實測波浪資料所造成?若是,則不同實 測資料是否相關參數也不同?對於沒有 實測資料之港口又將如何處理?請補充 說明。 五、類神經網路及半經驗颱風波浪模式 / 五、謝謝指正 / 示性波週期推算結果將 建議補充示性週期之推算結果。 併入期末報告。 六、全域近岸波浪模式對於防波堤及港內 六、關於全域近岸波浪模式對於防波堤 碼頭岸壁之波浪反射是否有考慮?若有 及港內碼頭岸壁之波浪反射率,在本次 則其反射係數如何設定? 計算中模式設定為 0.3, 其值可隨意調 整。 七、圖 3-4-12~圖 3-4-18 之波場分布建議 七、報告印刷方面將會在期末報告中改 以彩色印製。港內波高建議選取幾個參考|善,關於港內波高驗證方面,如有實測 資料將可進行波高驗證,但港內波高資 點,以便作進一步驗證。 料取得困難,將努力進行。

八、第六章有關資料同化,建議作較完整八、謝謝指正,將於期末報告中加強。

之詳細說明。

附錄二:

交通部運輸研究所合作研究計畫 □期中 期末報告審查意見處理情形表

計畫名稱:近岸數值模擬系統之建立(1/4) 執行單位:國立中山大學海洋科技研究中心

執行單位:國立中山大學海洋科技	5研究中心
參與審查人員	合作研究單位
及其所提之意見	處理情形
李兆芳委員:	
一、本計畫能夠整合各部份團隊實屬不	謝謝委員的肯定。
易,研究成果相當難得,值得推展。	
二、綜合而言,結論內容可以再加修	結論將製表統一比較研究結果與優、缺點,
正,明確的把研究結果說出。	並於期末
9.1 部份,誤差可用相對 % 表出,加	
強成果說明。	關於結論 9.1 節中有關推算與實測資料間的
•	統計指標為相關係數與絕對誤差,其相關公
容。	式如 5.2 節中式(5-2-1)與(5-2-2)所示,其結
9.3 部份,加強結論式之說明。	論並已進一步修正。
	其餘結論內容將於期末報告中修正。
蔡清標委員:	ALLMIN COLUMN
一、本研究旨在建立本土化近岸數值模	
擬系統(TaiComs),配合實測數據作驗	
證,期末報告具成果。	
二、各章中建議增加「前言」及「結論」。	
	將製表統一比較風場與壓力場模式之輸入
場模式之輸入參數設定問題,應"列	參數設定。
表"說明模式之重要參數輸入值。	關於波浪模式所使用的理論與參數,已於
	3.1.1 節中加以列表說明。
四、P.2-9~P.2-13, 圖編號應為圖 2.1-x,	已於期未報告中修止。
請修正。	
五、P.2-10~P.2-13,各模式與實測值差	已於期木報告修止业補上
異頗大,建議稍探討原因,並評估何種	
模式較適用於本土。	此時間紀光何此集列任何東河洛約司伊比
	此時間段並無收集到任何實測資料可供比對。
七、P.3-39~P.3-48,橫座標表示為實際發生之時間較妥,並註明颱風名稱。	依建議已於期末正式報告中修正。
方,缺差頗八,不不復續听九應者里於 其精度之提升。	
之意義,請定義之。 之意義,請定義之。	(1) 10 10 11 11 11 11 11 11 11 11 11 11 11
九、圖 4-2-1~4-2-8 , 實測值與模式預測	 已於期末正式報告修正並補上
值誤差頗大,其原因何在?未來應增進	-
其模擬精度。 其模擬精度。	
>\IAJMUTHIX0	

	=
	由於風浪模式經過驗證後應可推算長期波
值,請修正圖說。	浪變化,進而利用推算結果進行統計,在圖
	5.2-16至5.2-27中有些海岸地區並無測站資
	料可供驗證與比較。
十一、建議各章增列參考文獻。	已於期末報告中修正、補充,將參考文獻加
	入各章節之後。
十二、摘要及第九章結論,建議修正包	已於結論部分增加風浪模式之限制、精度、
含有整體性之結果。	優點 缺點與輸入出資料等模式特點之整體
	性結果。
林銘崇委員:	
一、應用 WAM 模式及 SWAN 模式之計	在本計劃中 WAM 模式定位為遠域風浪推
	算,而 SWAN 模式定位為近域波浪推算,
	透過巢狀格網互相連結,其兩者地位為相輔
	相成,應用於實際案例上,應參考模式計算
之取捨有何建議?。	時間與所需精度加以考量,若實際應用所需
	之波浪分布場精度較高,則應選擇 SWAN
	模式結果,但亦承受較多計算時間。關於兩
	者間週期推算之差異,由於兩種風浪模式所
	使用的理論與公式並不相同,且兩種模式之
	精度不同,導致無法選擇相同海域位置進行
	相反不问,等致無法選擇相问海域位置進行 比較,亦可能是差異之來源,一般而言WAM
	模式可代表外海入射波浪,而 SWAN 模式
	可代表未碎波前之外海波浪。
	根據風浪理論中之剪力流理論,波浪應可視
屬合理,惟其信賴度如何?	為指數成長,故利用指數型迴歸式進行相關
	模式之建立,透過判別係數 R² 值進行信賴
	度之檢驗,其結果在七大港區實測資料下,
	在秋冬兩季其值可達 0.5 以上,表示其公式
	應可快速應用於波浪之推算。
	目前模式對風能輸入作用項之處理並未考
	慮傳播過程之效應,未來對數值資料同化模
	式建立後,可以對傳播過程進行測試。
	已於結論部分增加風浪模式之限制、精度、
	優點 缺點與輸入出資料等模式特點之整體
	性結果等相關說明,內容列於第九章。
林炤圭委員:	
一、本計畫各主題研究均充分利用可能	謝謝委員的肯定。
收集到的資料進行解析,近岸數值模擬	
系統並非短時間內一蹴可幾,因此本計	
畫已執行成果應予肯定。	
二、部份意見簡述如下:	
1. 圖 1.1-1 標題是否改為"台灣近岸	
海象預報系統"。觀測網部份:風	
場改為風速,流場改為流速。另,	」 已於期末報告修正。

" 地形 " " 水深 " 位置是否恰當。	
資料庫後是否加一網頁展示。	
2. 圖 1.1-2, 加註百分比。	已於期末報告修正
3.2.1 風場模式網格過大,有無可能利	已於期末報告修正,並探討可行性。
用模式作加密推算。2.1.1 風場模式	
之作者建議加註英文名字,以利與	
後續文字及圖形討論配合,如 Li,	
Lai, Chen 等。賴宗慶颱風模式仍	
然偏高,但仍有相似趨勢,是否用	
修正係數改良?	
4. 2.2 節颱風風場的推算方法及程	已於結案時附上操作手冊。
序,建議列入文字,以利後續研究	-
参考。	
5. 3.3 節是否先利用實測及推算風	目前模式所採用之風場計算並未先利用實
速及風向進行比對,再作波浪推	測風速資料比對,而是利用實測波浪資料修
算,以引入 Local 的效應。	正模式之模式中風場係數,未來將進一步比
71 7 3/317 (= 5 cm	對風場計算結果。
6. 有部份 SWAN 誤植為 SWAM。	已將錯誤處修正。
7. P.3-15 圖 3.2-1 文字位置移動,建議	
重畫。	
8. 第九章 9.1 結論 2, 建議將 " 若不	
考慮風浪 "改為"若容許風	
浪"。	
1 行: toward ocean is "an"	
direction , an a	
10.資料"缺失"建議改為資料"漏	
失"或"遺漏"。	
11.資料的引用建議用章節交代地點、時	 已於期末報告修正。
期、設備型式,可能有很多包含 Local	_ " " " " " " " " " " " " " " " " " " "
effect	
錯字:	
P.1-6 5 行:"預計"建議修改	
P.1-7 2 行: 模式產"生"	
P.2-9 1 行: 模式 "再" 六個	
在	
3 行: 其餘颱風"接"只	
有皆	
P.2-9、2-10、圖 2.2-2~2.2-6:" 時"	
測實測	
P.4-34~4-35: 圖之縱軸單位未加說	
明	
P.4-35 2行:"為"惟	
1.1 33 4 J J 7 7NY E	

邱永芳主任:	
一、整個處理程序應儘速上線操作,並	
對資料做比對與校核。	盡力配合貴中心進行系統規劃。
	已製表統一比較各模式研究結果,結論部分
	增加限制,精度,優點,缺點,輸入資料,輸出資
確定。	料等模式特點之整體性結果,並於期末報告
HE ALO	中修正、補充。
 = 湖位異湖之時間序列戀化相営重要	已配合計畫提高潮位暴潮之時間序列推算
一、用位象用之时间//列复化相留重要 (防災使用)。	 1 1 1 1 1 1 1 1 1
四、波浪之淺水域的模式與格網建立應	
儘快完成。	本年度計畫已建立遠域風浪模式精度 0.25
	度,近域風浪模式0.02度,與七大港區近
	一次很快的,相反 10 公尺,不不 同 配百日 劃業主進行模式建立。
	可即刻配和操作,並盡力配合貴中心進行系
ユム、『浜前 ン4 十ル月女仁約如例改建TF。 	PD 即列66和探1F,业盘力665 1更中心连行系 統規劃。
 何良勝博士:	
	口制主体 比林夕塔子河穷姓用 姓铃如八
	已製表統一比較各模式研究結果,結論部分增加限制,精度,優點,缺點,輸入資料,輸出資
說明。	料等模式特點之整體性結果,並於期末報告
- 海镁榊列炉会比較主説四等ニ辛	中修正、補充。
	由各波浪模式研究團隊回覆並於期末正式
各風場模式於後續波浪推算之應用情	報告中修正。
形。	口
三、第二章中建議增列 NOAA 風場模式 與現場觀測風力比較驗証之結果說明。	C於期本報告修正。
7 1 10 30 E-00100 E-00 F-0 F-0 F-0 F-0 F-0 F-0 F-0 F-0 F-0	第二亲的第二亲之殿国国坦塔 <u>尤</u> 东东海勃
, ,	第二章與第三章之颱風風場模式有重複敘
風風場模式,此與第二章所列之颱	
風風場模式有何不同?建議整合所	
有風場模式於第二章。	此吐明机头何以传动儿人与帝沙炎刘士从比
	此時間段並無收集到任何實測資料可供比
計算檢核比較部份,建議增列風場	對 。
實測資料之比較。	
六、第四章計算暴潮及全域水位兩個模 大時、為何引用不同之際周洛約 2 7 2 3 3 3 3 3 3 3 3 3 3 3 3 3 3 3 3 3	C
式時,為何引用不同之颱風資料?建議	
選取相同颱風資料以比較兩模式之差	
異或優劣。 第42 基本:	
簡仲璟博士:	
	已製表統一比較各模式研究結果,結論部分
不同模式間之推算結果比較。	增加限制.精度.優點.缺點.輸入資料.輸出資
	料等模式特點之整體性結果,並於期末報告
— 你一	中修正、補充。
	已製表統一比較各模式研究結果,結論部分
例子説明。建議補充各模式之操作基本	增加限制.精度.優點.缺點.輸入資料.輸出資

果特性、使用限制條件及上線預報操作中修正、補充。 程序複雜度等等之列表比較說明。建議 列表說明。

輸入參數、模式計算時間、模式輸出結 料等模式特點之整體性結果,並於期末報告

修正。

三、第 5.3 節有關風浪模式長期推算建 根據本年度合約 , 相關模式為其一研究重 立之相關模式,其研究目的及未來用途點,其目的為透過回歸公式,可由風速資料 何在?是否取代第三章之波浪模式?即可快速推算波高,期望可作為系統無法操 為避免混淆,請補充說明。本節所附各|作或需要快速推算時之用。圖 5.3-1 至圖 圖(圖 5.3-1~圖 5.3-28)中黑點圖示並 5.3-14 為利用 WAM 模式推算結果進行回 非 WAM model (與文中敘述不符)請歸,圖中黑點為 WAM 模式推算結果,圖 |5.3-15 至圖 5.3-28 為利用 SWAN 模式推算 結果進行回歸 黑點分別表示不同模式計算 |結果 , 已在圖中註明。

網路波浪推算模式探討同化,其他模式|模式與數值模式探討同化。 如何?建議於後續研究中再加強。

四、第六章有關資料同化的目的,文中表達的意思不清晰的部分已於期末報告中 所表達的意思不清晰。此外僅對類神經|修正、補充。目前僅對類神經網路波浪推算

回覆說明辦理?

五、期中審查意見請再核對,是否已依期中報告相關錯誤修正已完成,謝謝委員指 正。



交通部運輸研究所 港灣技術研究中心

近岸數值模擬系統之建立

Taiwan Coastal Ocean Modeling System
TaiCOMS

期末報告簡報

國立中山大學海洋科技研究中心中華民國九十三年十一月十一日

期末執行工作項目

■台灣海峽及近岸海域波浪計算

- ■應用WAM與SWAN模式相互配合模擬海面風浪。
- ■利用NOAA所提供之解析度約1度之風場資料進行長期風浪模擬。
- ■利用遠域風浪模式進行環島藍色公路海域與七大港區長期波浪推算。

■ 模糊-類神經網路水位模式

- ■以2004年康森、敏督利等颱風為例,進行類神經網路颱 風波浪預報模式。
- ■波浪、水位模式架構。
- ■觀測資料之資料同化。

期末執行工作項目(二

■ 颱風波浪推算半經驗模式系統

- ■定點風域推算半經驗颱風波浪模式,以湯(1970)移動風域數值推算法為基本理論。
- ■以歷年侵台颱風賀伯、瑞伯、西馬隆、奇比、桃芝、利奇馬、康森及敏督利等模擬七大港區之半經驗颱風波浪模式在即時預警上之應用與計算結果。

■水位數值模式之執行與校正

- ■進行水位預報模式,全域天文潮模式、全域暴潮模式與 全域水位模式。
- ■進行各模式結果之比對與台灣環島觀測風浪資料分析。

■ 海象預報資訊系統

■透過溝通協調制定歷年資料之檔案命名方式,並建立系 統機制之自動化。



台灣海峽及近岸海域波浪計算



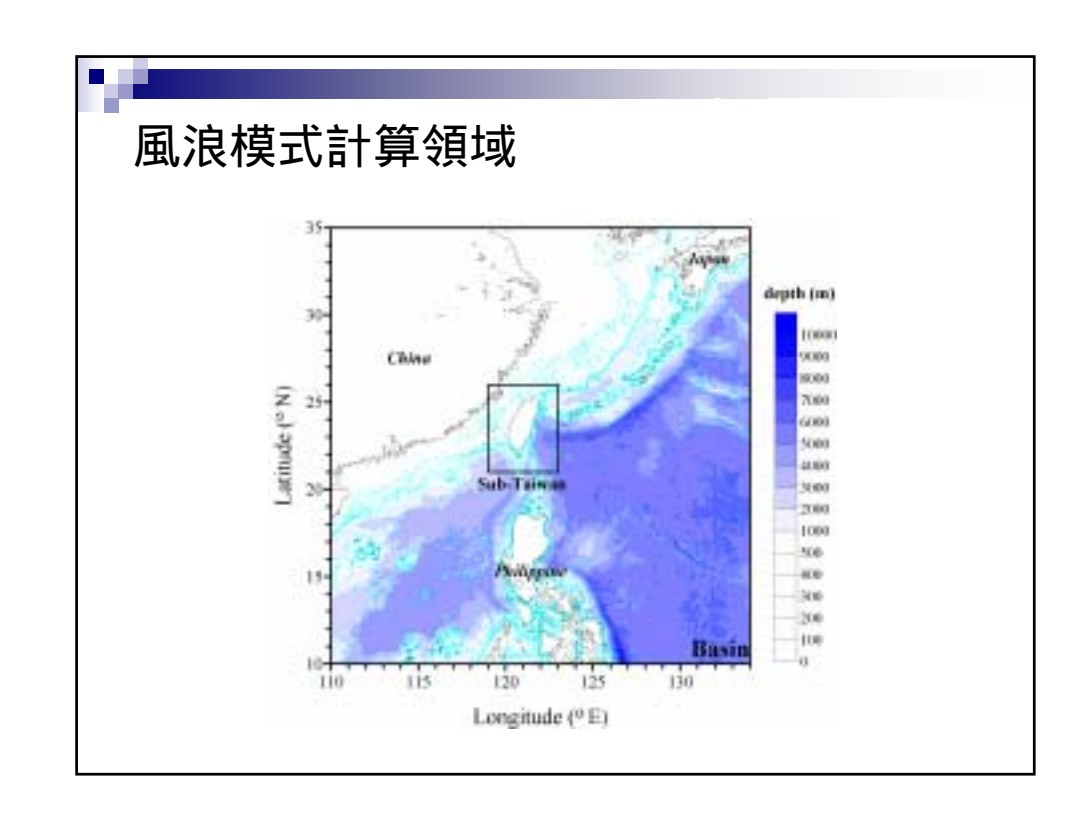
遠域與近域風浪模式

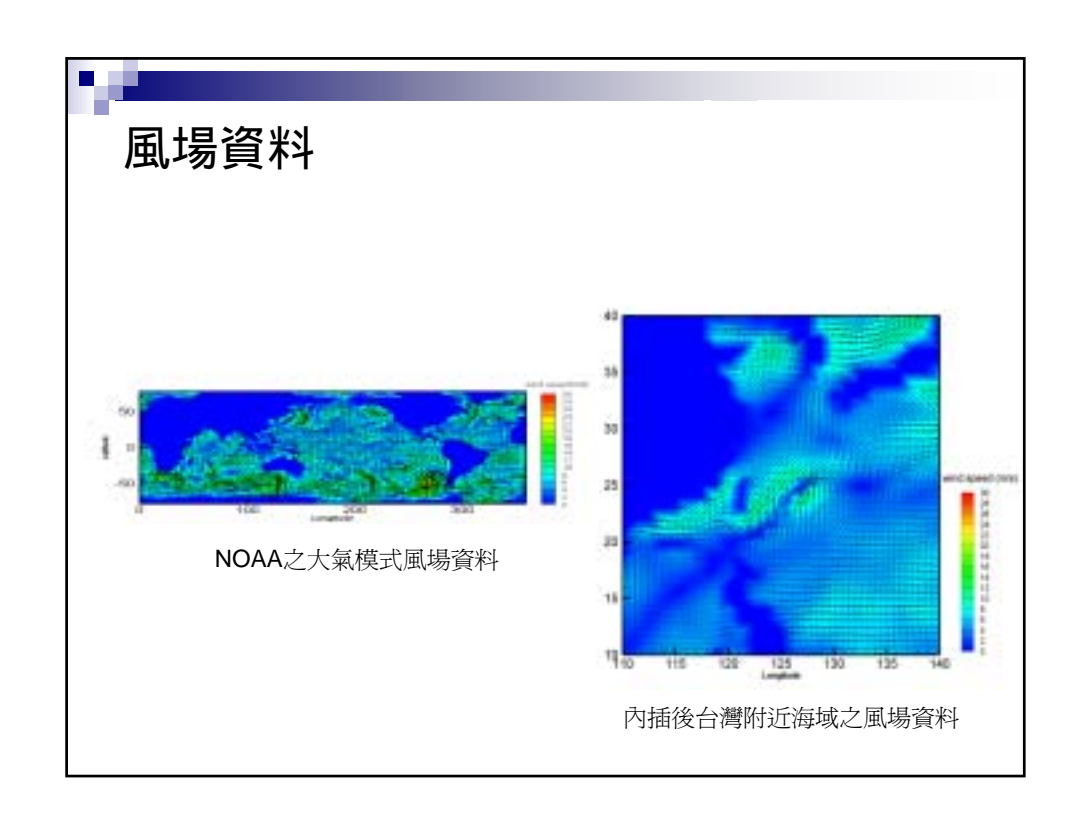
- WAM
 - □能量平衡方程式

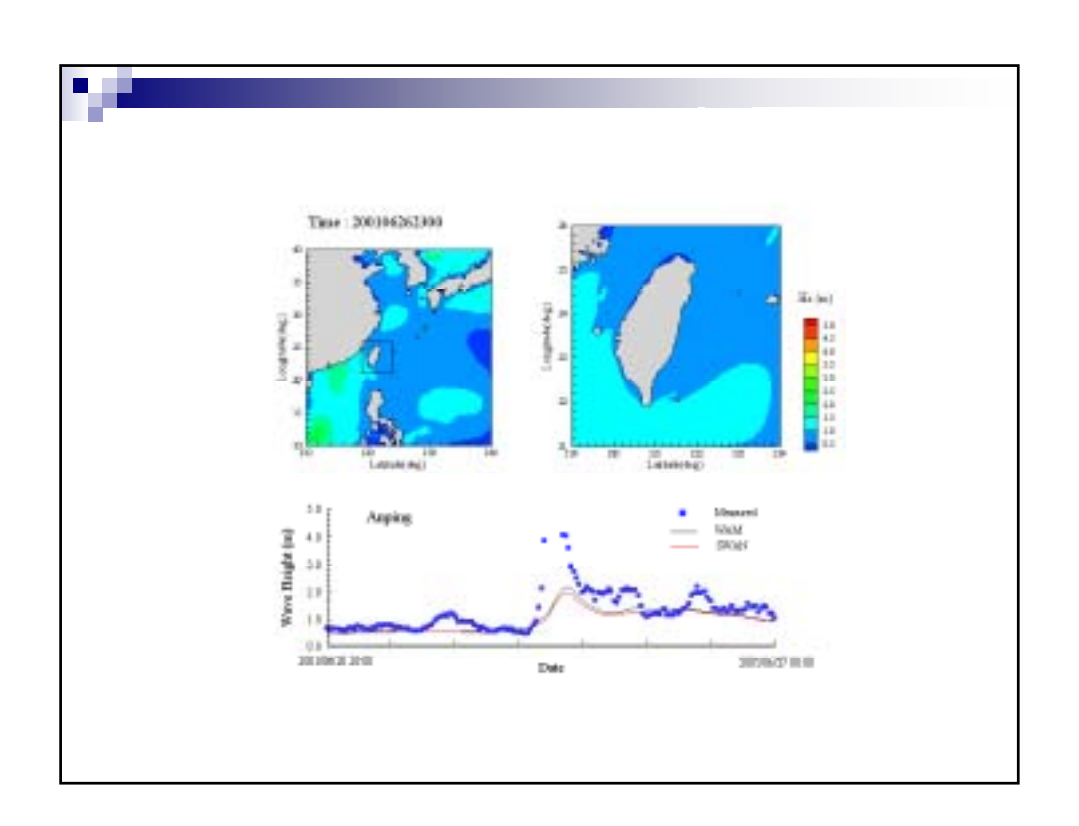
$$\begin{split} \frac{\partial E}{\partial t} + (\cos \phi)^{-1} \frac{\partial}{\partial \phi} (C_{\phi} E) + \frac{\partial}{\partial \lambda} (C_{\lambda} E) + \frac{\partial}{\partial \theta} (C_{\theta} E) &= S_{tot} \\ S_{tot} &= S_{in} + S_{nl} + S_{ds} + \dots \end{split}$$

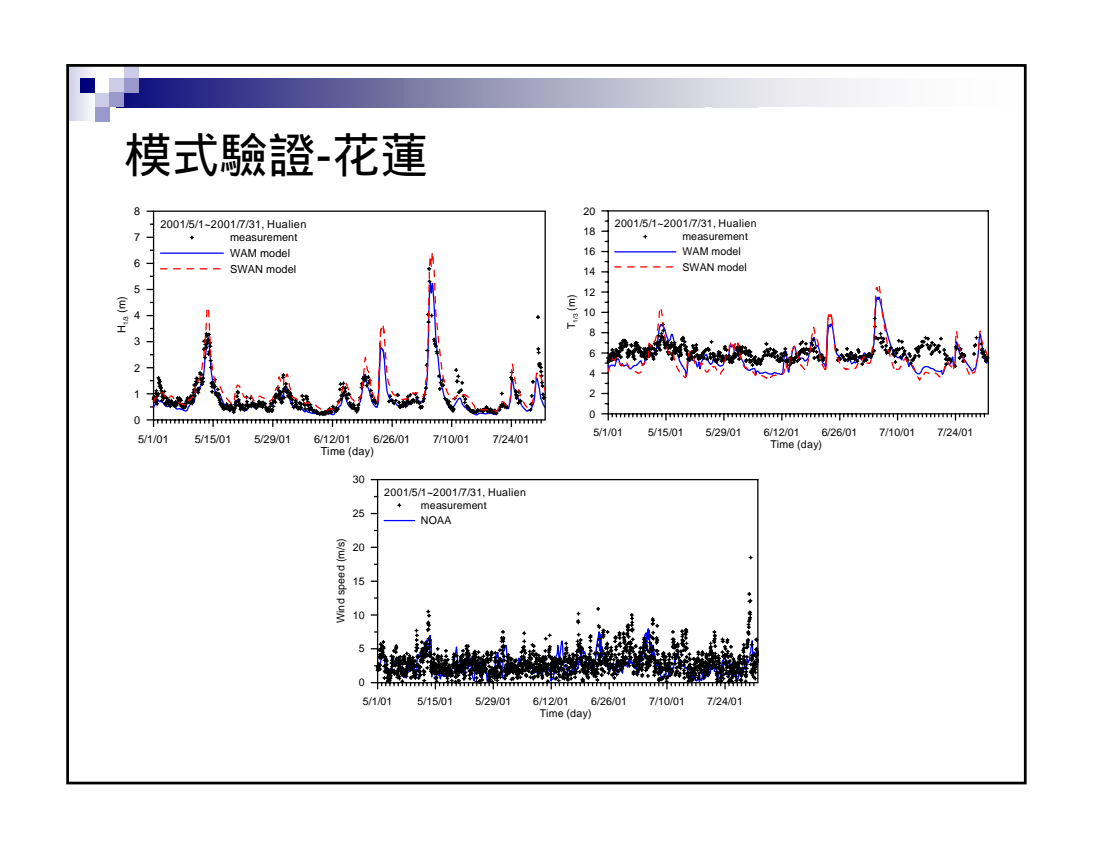
- SWAN
 - □作用力平衡方程式

$$\frac{\partial}{\partial t} N + \frac{\partial}{\partial x} C_x N + \frac{\partial}{\partial y} C_y N + \frac{\partial}{\partial \sigma} C_\sigma N + \frac{\partial}{\partial \theta} C_\theta N = \frac{S_{total}}{\sigma}$$









<u>.</u>	= :#7	ルンピン	与上于 字 22	心欠小	l ct3 +#	- 佐 /士 → 1	_レま ☆ 4	∕ 大 ≐⊥=
七:	里 港	的红	母垗員沢	可更不	t兴推	算值之l	10世父名	が aTa
月份	參數	實測 平均	遠域風浪模式 模擬平均	相關 係數	絕對 誤差	近岸風浪模式 模擬平均	相關 係數	絶對 誤差
	2001年 春季	1.35	1.14	0.80	0.28	1.55	0.77	0.31
	2001年 夏季	0.89	0.76	0.90	0.21	1.11	0.88	0.31
	2001年 秋季	1.23	0.99	0.83	0.32	1.35	0.80	0.30
计体	2001年 冬季	1.45	0.99	0.82	0.46	1.37	0.79	0.24
示性波高	2002年 春季	1.37	0.86	0.73	0.51	1.21	0.70	0.28
	2002年 夏季	1.28	0.66	0.70	0.64	0.94	0.71	0.46
	2002年 秋季	0.95	0.93	0.77	0.24	1.29	0.72	0.42
	2002年 冬季	1.67	1.24	0.76	0.46	1.68	0.75	0.30

花蓮港附近海域實測資料與推算值之比較統計表

月份	參數	實測 平均	遠域風浪模式 模擬平均	相關 係數	絕對 誤差	近岸風浪模式 模擬平均	相關 係數	絶對 誤差
	2001年 春季	6.48	6.52	0.49	0.69	6.39	0.41	0.86
	2001年 夏季	6.05	5.51	0.39	1.03	5.31	0.34	1.33
	2001年 秋季	6.35	6.26	0.52	0.89	6.10	0.36	1.09
示性週期	2001年 冬季	6.51	6.17	0.37	0.58	6.15	0.12	0.84
週期	2002年 春季	6.36	5.78	0.42	0.71	5.68	0.32	0.88
	2002年 夏季	6.16	5.54	0.44	1.13	5.07	0.26	1.35
	2002年 秋季	6.95	6.15	0.35	1.40	5.89	0.28	1.60
	2002年 冬季	6.49	6.71	0.48	0.70	6.66	0.46	0.80

花蓮港附近海域實測資料與推算值之比較統計表

月份	參數	實測平均	NOAA 大氣模 式	相關係數	絕對誤差
	2001年 春季	3.02	3.05	0.35	1.40
	2001年 夏季	3.01	2.55	0.25	1.53
	2001年 秋季	2.96	3.06	0.30	1.44
画	2001年 冬季	3.20	3.39	0.36	1.50
風速	2001年 春季	3.08	2.70	0.33	1.34
	2001年 夏季	2.59	2.43	0.07	1.40
•	2001年 秋季	2.79	2.77	0.21	1.37
	2001年 冬季	3.33	3.46	0.51	1.41



全域近岸波浪模式

■ 含波浪能量消散項之延伸型緩波方程式

$$-\frac{\partial^2 \Phi}{\partial t^2} + \nabla \cdot (cc_g \nabla \Phi) + cc_g k^2 [(1 + if_d) - \omega^2] \Phi$$
$$+ [f_1(kh)g \nabla^2 h + f_2(kh)(\nabla h)^2 gk] \Phi = 0$$

Φ: 流速勢 ω:角頻率 h : 水深 t : 時間因子

 f_d : 能量消散項 ▽ : 水平方向梯度因子

c : 波速 f_{i} : 底床曲率項係數 C_o : 群波波速 f_2 : 底床斜率平方項係數

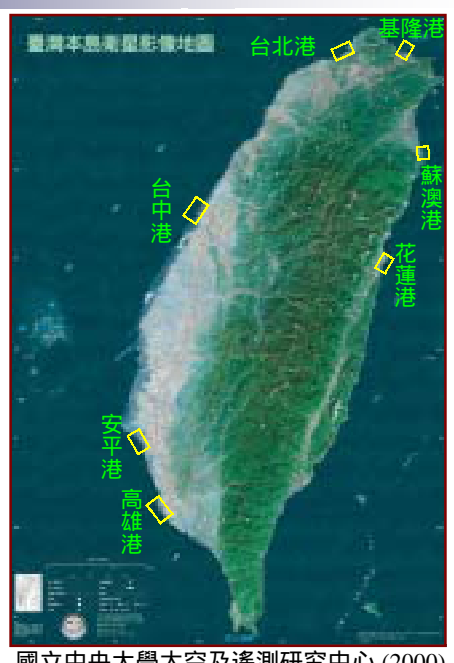
k: 週波數

國內七大港 地理位置示意圖

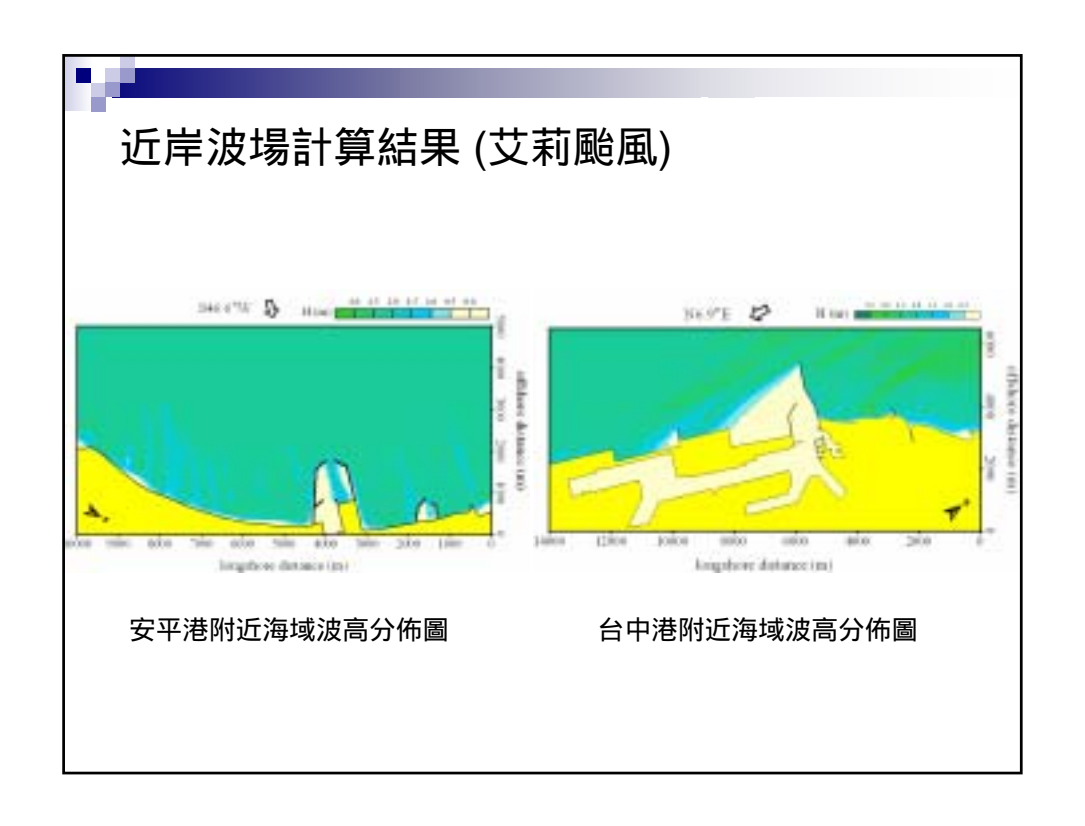
水深資料

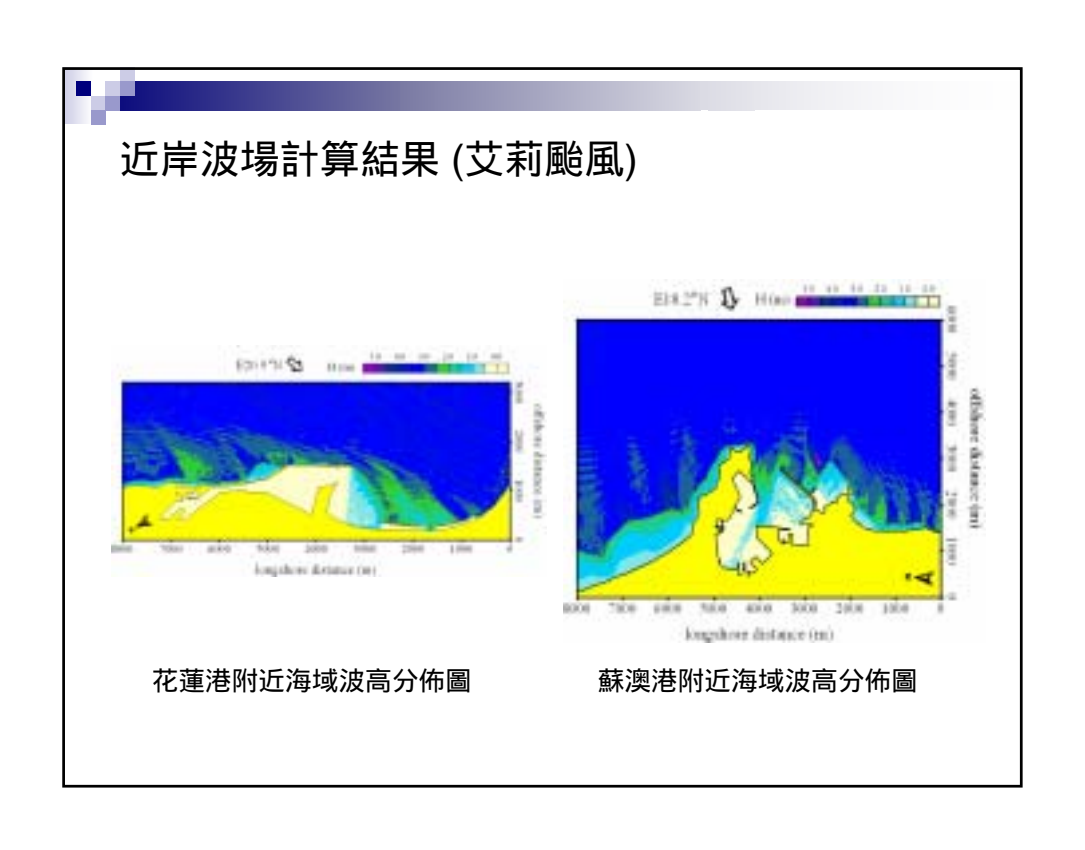
- 高雄港 ⇒ 民國 88 年實測
- 安平港 ➡ 民國 92 年實測
- 台中港 ⇒ 民國 90 年實測
- 台北港 ➡ 民國 92 年實測
- 基隆港 ⇒ 民國 87 年編號0353 基隆港附近水道圖
- 蘇澳港 ⇒ 民國 92 年實測註
- 花蓮港 ⇒ 民國 92 年實測註

(註:不足之水深,以海科中心之 台灣附近海域海底地形第六版補齊)



國立中央大學太空及遙測研究中心 (2000)







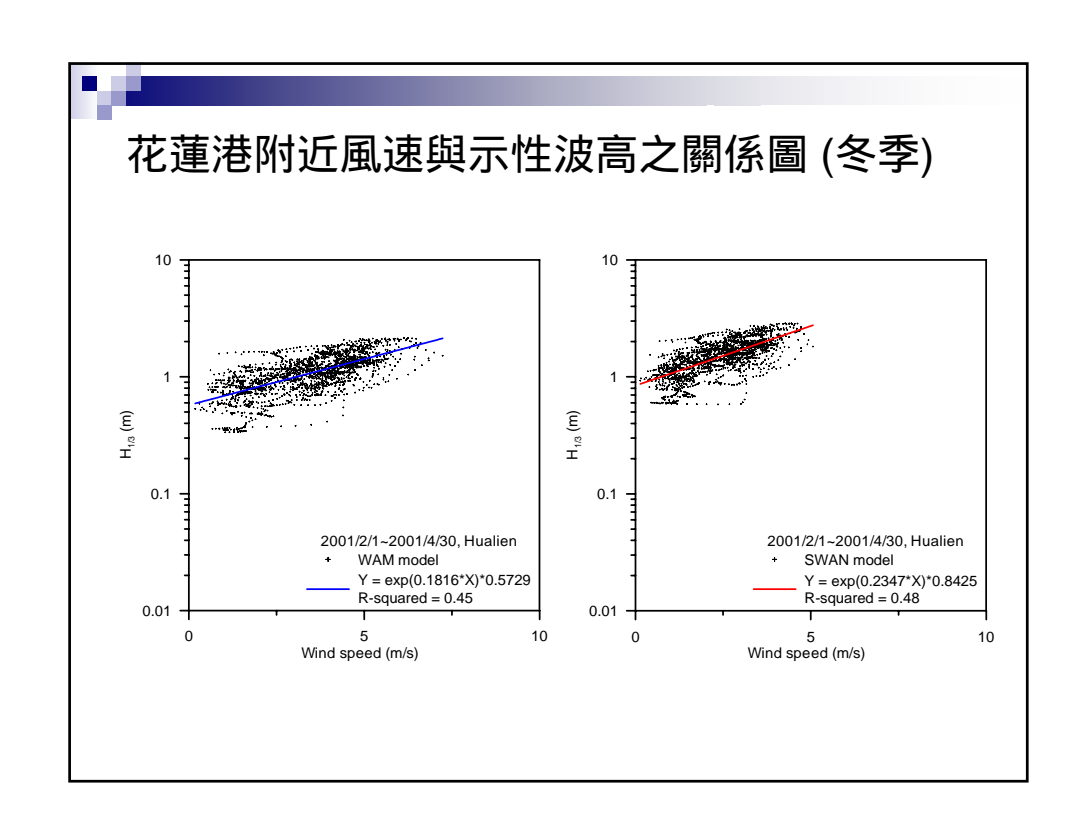
相關模式

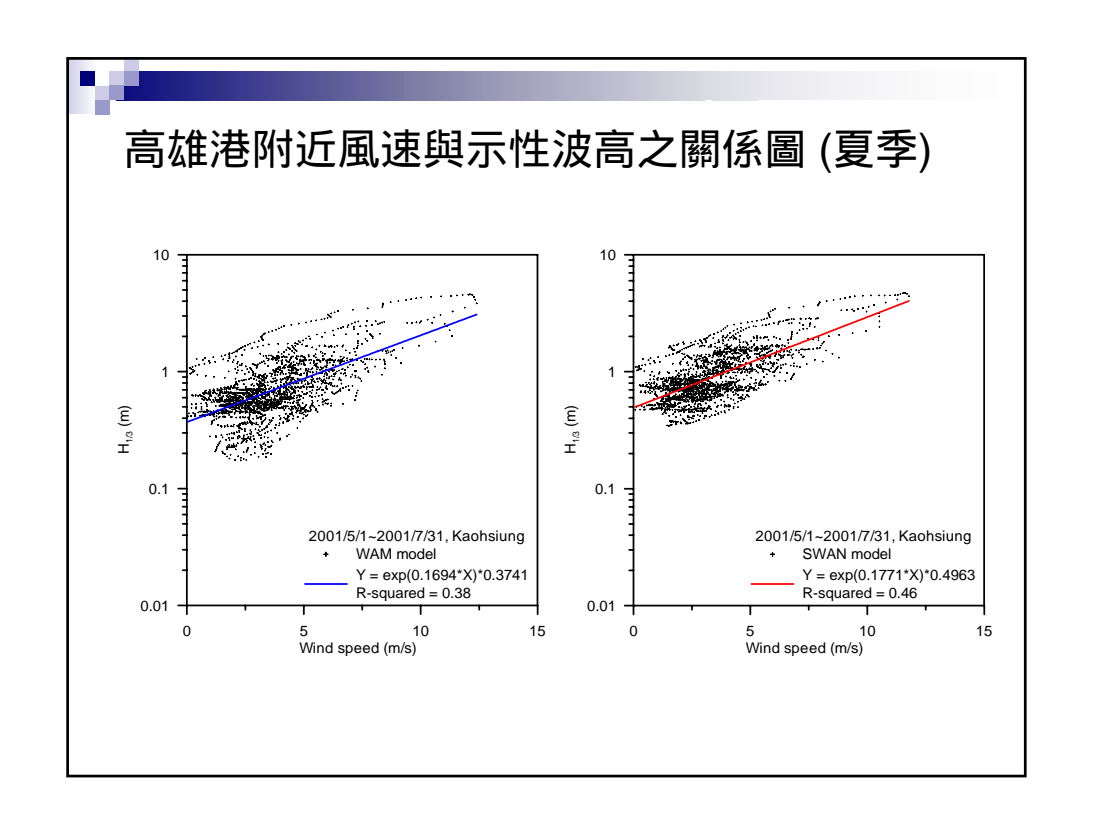
■ 指數型態迴歸

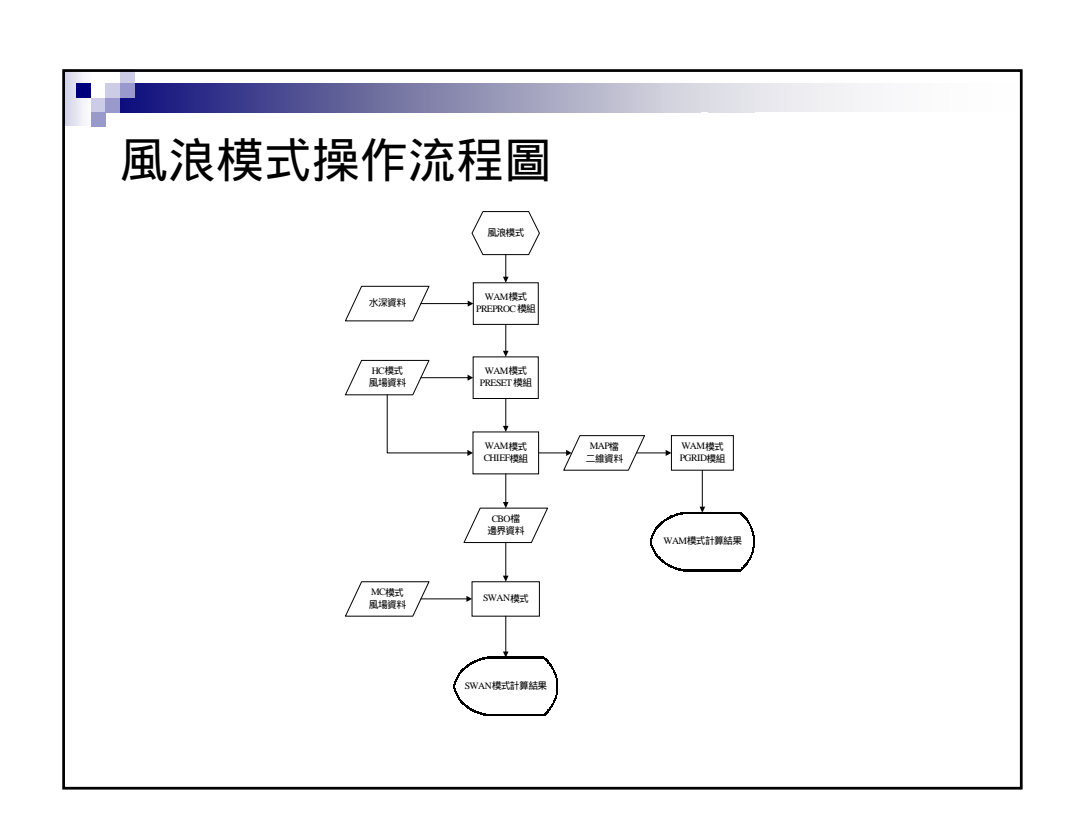
$$\stackrel{\wedge}{H}_{1/3} = A \exp(BU_{10})$$

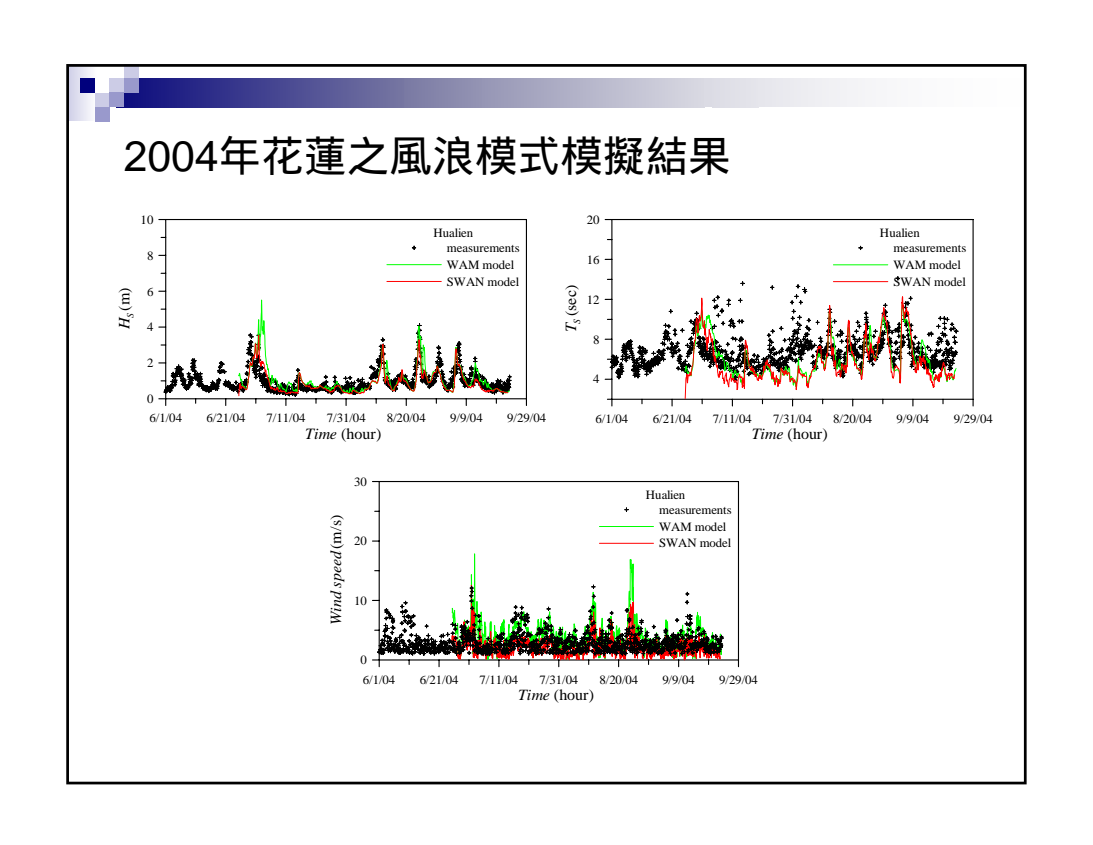
■ 相關模式的可靠性

$$R^{2} = 1 - \frac{\sum (H_{1/3} - \hat{H}_{1/3})^{2}}{\sum (H_{1/3})^{2} - \frac{(\sum H_{1/3})^{2}}{n}}$$









風浪模式計算結果與實測資料之相關係數						
項目	遠域波浪模式(WAM)			近岸波浪模式(SWAN)		
測站	波高	週期	風速	波高	週期	風速
七股	0.70	0.65	0.63	0.65	0.61	0.61
大鵬灣	0.88	0.70	0.60	0.85	0.67	0.57
金門	0.83	0.54	0.57	0.78	0.50	0.64
鵝鸞鼻	0.86	0.32	0.69	0.85	0.28	0.67
龜山島	0.86	0.60	0.70	0.86	0.64	0.86
花蓮	0.60	0.26	0.24	0.75	0.33	0.29
龍洞	0.76	0.56	0.63	0.88	0.66	0.64
蘇澳	0.77	0.62	0.58	0.88	0.71	0.63



結論

- 利用 RVM 模型颱風模式模擬出2004年妮妲颱風之風場所模擬出之風浪結果,由於颱風路徑與台灣距離稍遠,除了東海岸側之港區最大示性波高約為兩公尺外,其餘港區皆為1公尺左右,而示性週期在颱風靠近期間出現10秒以上之長週期波浪。
- 綜合風場實測資料與 NOAA 大氣模式比較結果可知,其實測風速資料變化較為快速,不若分析之風場資料變化較為平緩,但大致上仍可表現出風速變化趨勢,若能獲得更高解析度的大氣資料,計算結果正確性會更好。
- 就利用風浪模式模擬六大港區,分析個別平均值、相關係數與絕對誤差,遠域模式及近岸模式之平均相關係數為0.77,其中以安平港最低,基隆港最高,絕對誤差平均值則分別為0.35公尺、0.48公尺,以台北港最高,花蓮港最低。以台北港為例,其相關係數為0.83,但絕對誤差則高達0.62公尺,參照實測與模擬之比較圖形,由於局部最大值在模擬結果皆有偏低現象,導致絕對誤差偏大但相關係數仍高的現象。



結論

- 利用緩坡方程式進行七大港區港內外波場之模擬方面,除了部份波浪入射方向恰面對港池開口,故在部分的港區範圍內,會有波高較大的情形發生,就整體而言,模擬結果可表現港內外波場變化,而七大港之防波堤配置,皆能有效地避免颱風對港域內部造成直接的侵襲。
- 根據分析顯示遠域模式的風浪相關模式應用時,冬季波浪示性波高與風速之相關性較為一致,而近岸模式的相關模式則可應用之秋、冬兩季,R²約在0.5左右,另外花蓮港、基隆港、蘇澳港及台北港均在冬季發生示性波高之最大平均值,由於台灣東、北部地區在冬季受東北季風影響時間較長,且風向較為一致,故造成此地區波浪變化較大,可看出似乎在風速較大的情況下,由於波浪受到風的因素所佔成分偏大,而其他波浪效應(如折射、淺化等)相對起來影響力偏小的情況下,另外台灣夏季主要受到颱風波浪影響,風速與示性波高之相關性較小。



建議

- 由於風浪模式中的主要外力為風,有精確的風場輸入模式中才能獲致 準確的風浪推算,故如何獲得時間與空間解析度適合本計畫之風場仍 為需要努力之目標。
- 由於波浪模式格網解析度與計算機運算時間密切相關,由期中報告中數值波浪模式之模擬時間具作業化程度仍有改善空間,除了相關硬體配合,亦可考慮實際需求進行解析度與計算範圍之調整。



模糊-類神經網路水位模式



理論基礎 - 能量平衡

■ 風場作用下二維波譜能量守恆方程式

$$\frac{\partial N}{\partial t} + \frac{1}{\cos \phi} \frac{\partial}{\partial \phi} (\dot{\phi} N \cos \theta) + \frac{\partial}{\partial \lambda} (\dot{\lambda} N) + \frac{\partial}{\partial \theta} (\dot{\theta} N) = \frac{S}{\sigma}$$

$$S = S_{in} + S_{nl} + S_{ds} + S_{bot}$$

風能輸入作用項(S_{in})

波波間非線性交互作用項(Snl)

由白沫現象或是碎波波浪產生之能量散逸(52)

及底床摩擦的能量消耗(Sba)



理論基礎 - 能量平衡

■ 總能量可寫成:

$$S(t) = \sum_{m=0}^{t} a_m f(S_{in}, S_{nl}, S_{ds}, S_{bot}, t_m)$$

■ 水位波高可表示為:

$$H_s(t) = \sum_{p=0}^{q} c_p f(\sum_{m=0}^{t} b_m f(S(t_m)))$$

假設 t 時刻的波浪只受過去 n 時內的風場行為影響,所 以 m = t - n 即t - n 時間內的風場行為影響波浪 ,則

$$H_s(t) = \sum_{p=0}^{q} c_p f(\sum_{m=t-n}^{t} b_m f(S(t_m)))$$

類神經網路架構

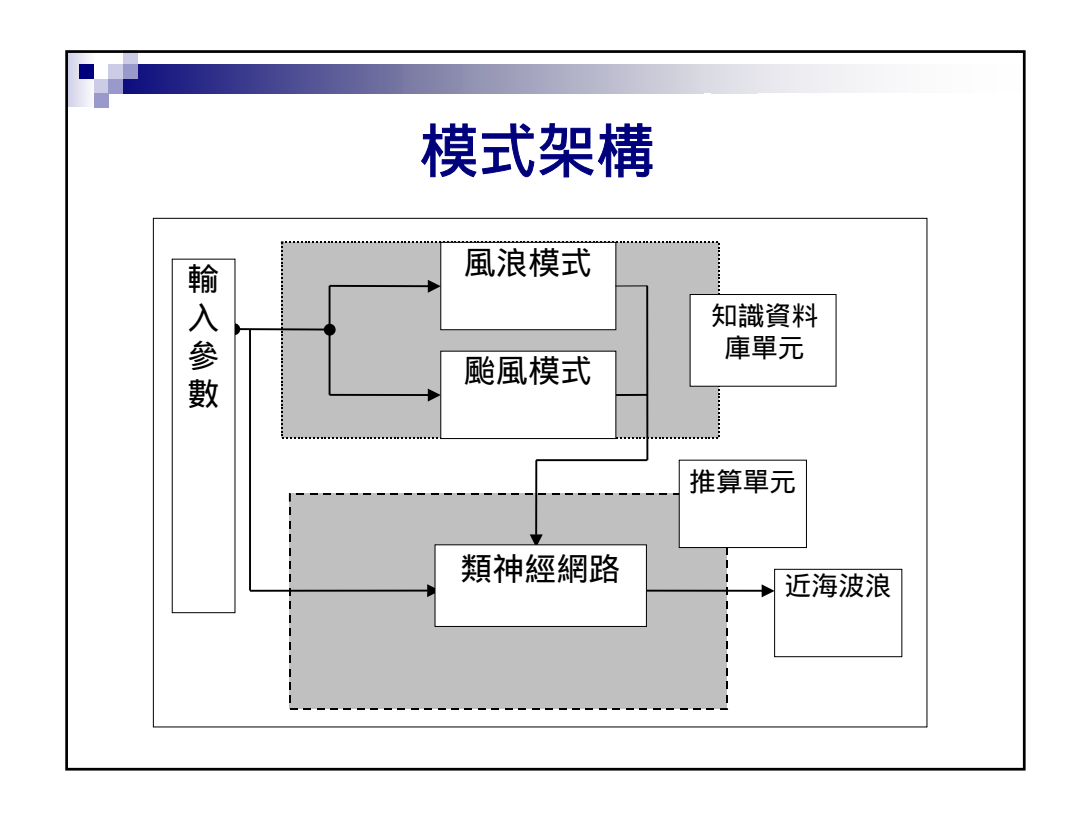
■ 類神經網路模式表示式:

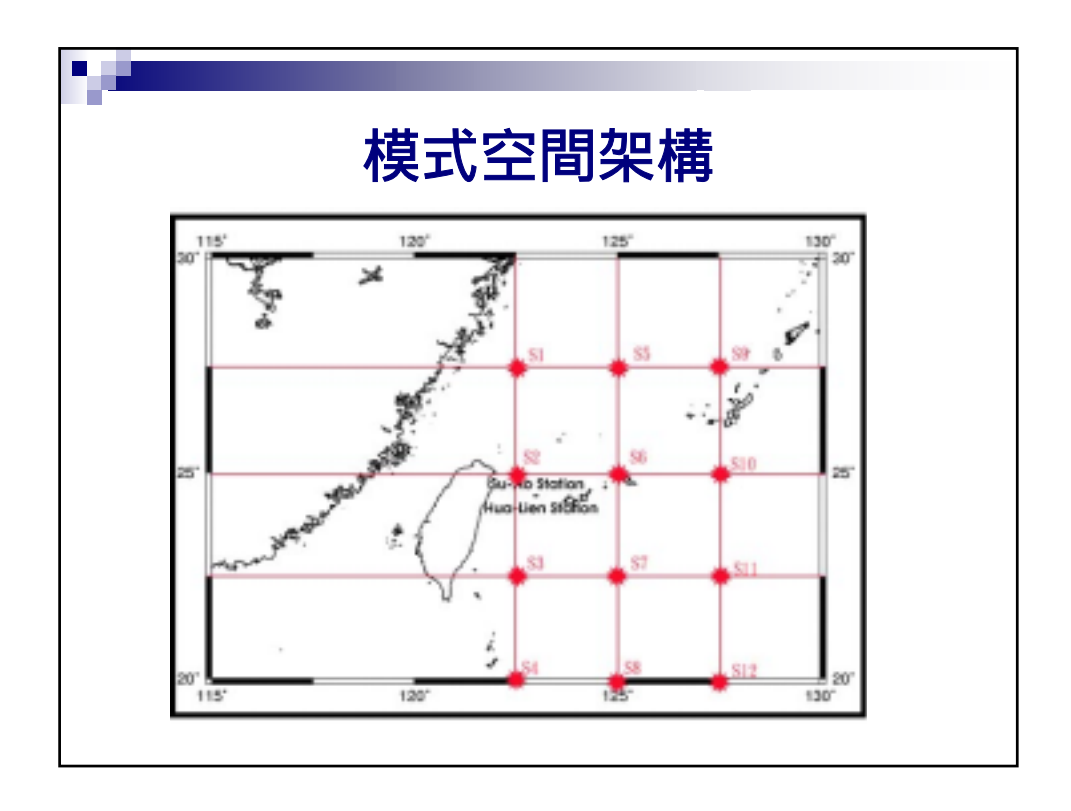
$$O = f_2 (W_{S2 \times S1} \cdot f_1 (W_{S1 \times (R^*n)} [\overline{I}_{R \times 1}]_{n \times 1} + b_{S1 \times 1}) + b_{S2 \times 1})$$

模式的輸出 $O = [H_{s,p}T_{s,p}]^T$

輸入函數 $\overline{I} = [S_1, S_2,, S_q]^T$

 S_1 , S_2 ,....., S_q 是數值波浪模式計算影響觀測站不同區域的能量





類神經網路波浪模式架構

■ 波浪模式總能量表示式:

$$S(t_j) = \sum_{i=0}^{j} a_i f_1(V_{10}, r, \theta, \theta_1; t_i)$$

■ 波浪模式示性波高表示式:

$$H_{s}(t_{j}) = \sum_{i=j-m}^{j} c_{i} f(V_{10}, r, \theta, \theta_{1}; t_{i})$$

■ 類神經波浪模式示性波高表示式:

$$H_{s}(t_{j}) = \sum_{i=j-m}^{j} c_{i} f(V_{10}, V_{(1)10}, \dots, V_{(12)10}, r, \theta, \theta_{1}; t_{i})$$



類神經網路波浪模式架構

■ 類神經波浪模式示性波高表示式:

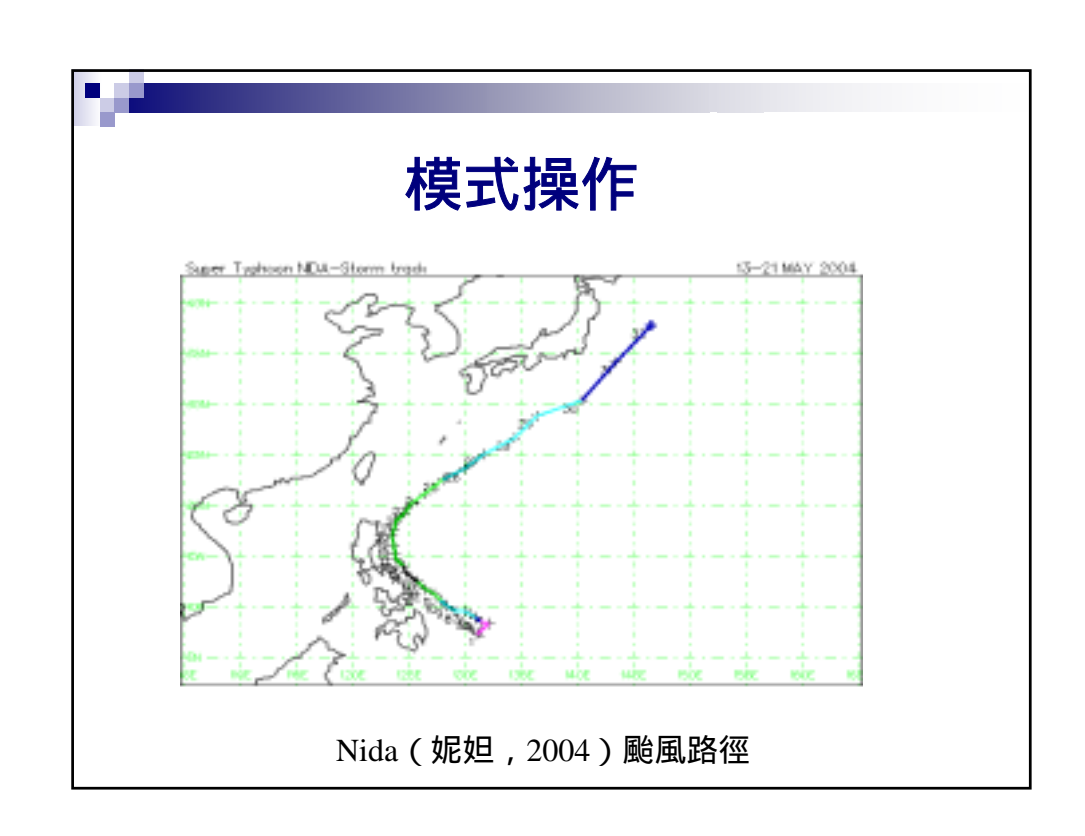
$$H_{s}(t_{j}) = \sum_{i=j-m}^{j} c_{i} f(V_{10}, V_{(1)10}, \dots, V_{(12)10}, r, \theta, \theta_{1}; t_{i})$$

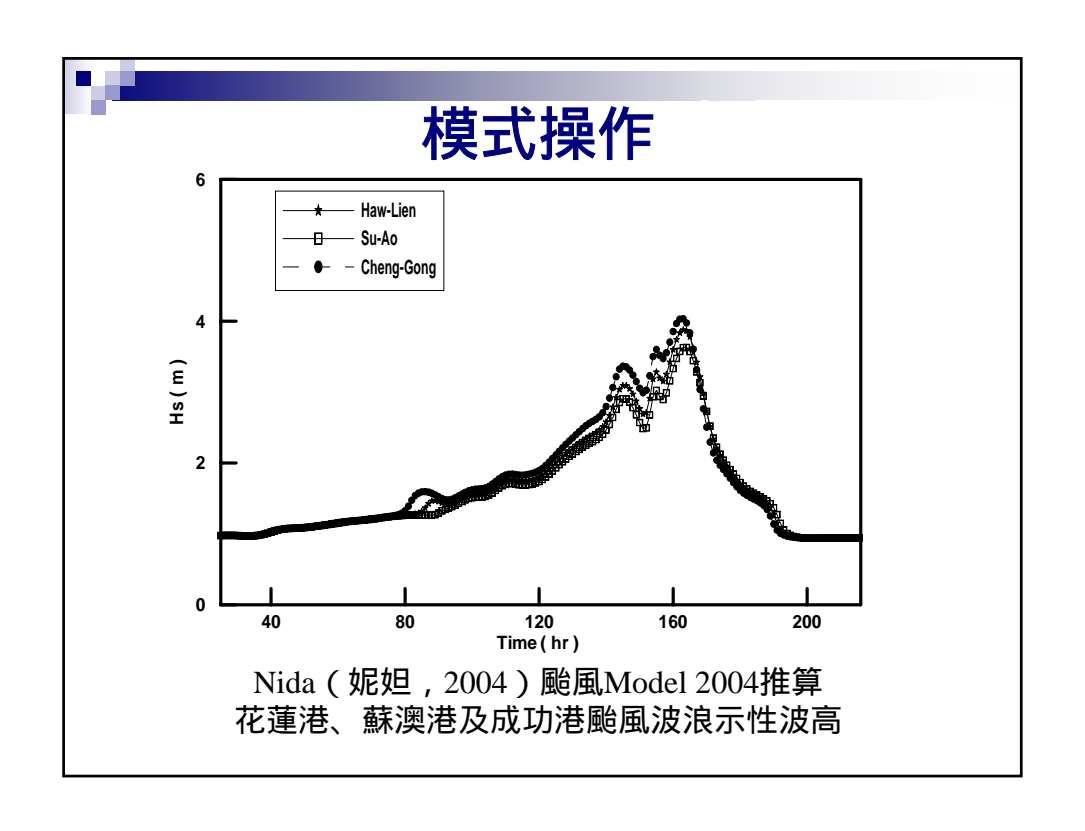
■ Model 2004

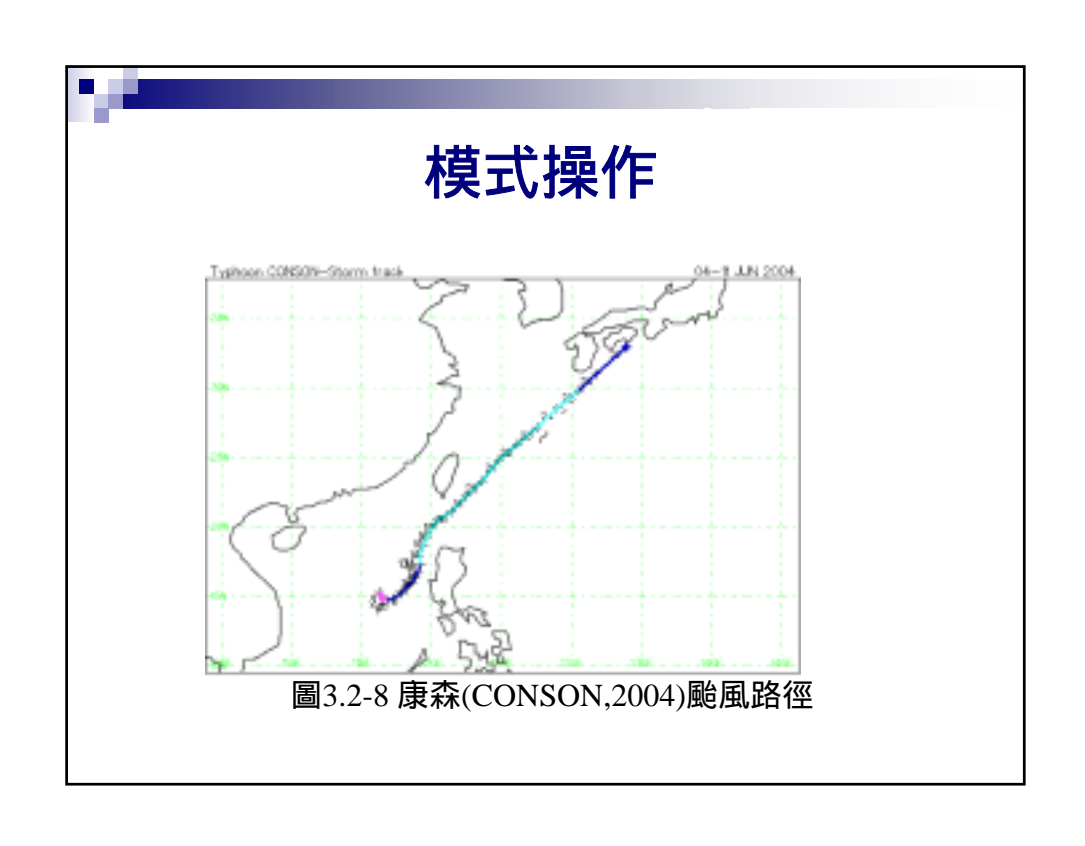
$$O_1 = f_1(W_{S2 \times S1} \cdot f_1(W_{S1 \times (R^*n)} [I_{1R \times 1}]_{n \times 1} + b_{S1 \times 1}) + b_{S2 \times 1})$$

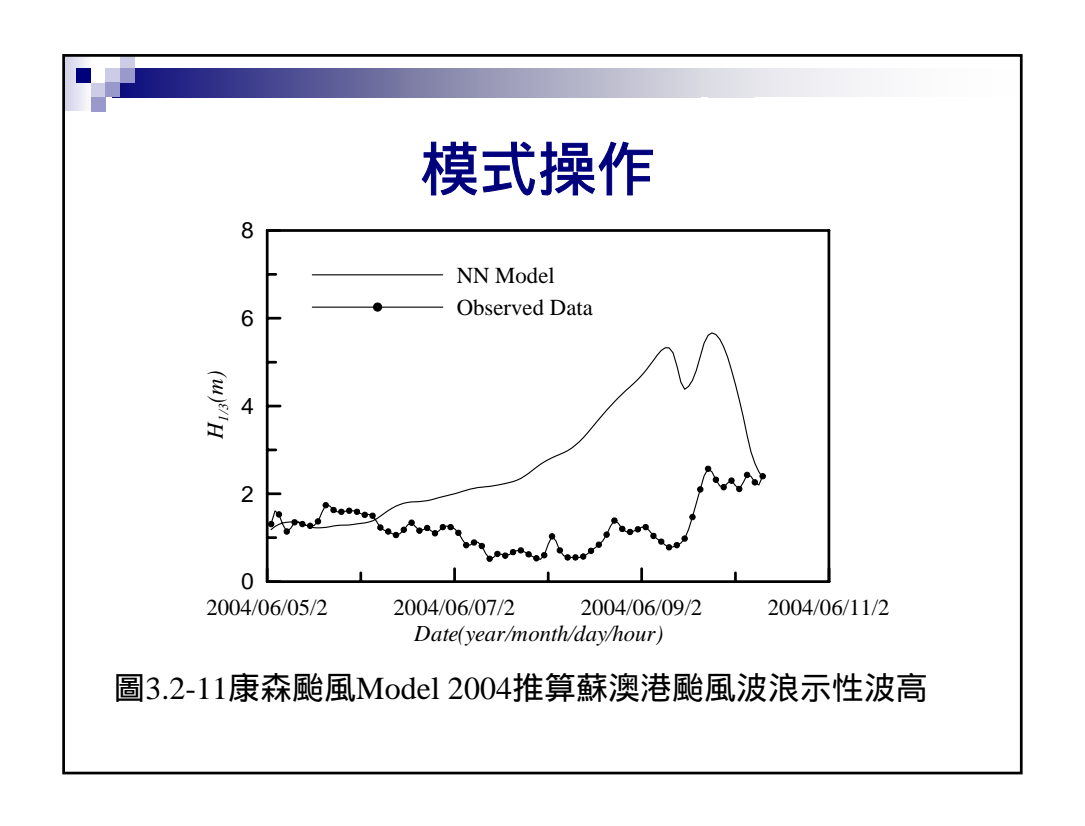
模式的輸出 $Q = \begin{bmatrix} H_{s1} \\ T_{e1} \end{bmatrix}$,輸入函數 $I_1 = [V_{10}, V_{(1)10},V_{(12)10}, r, \theta, \theta_1]^T$

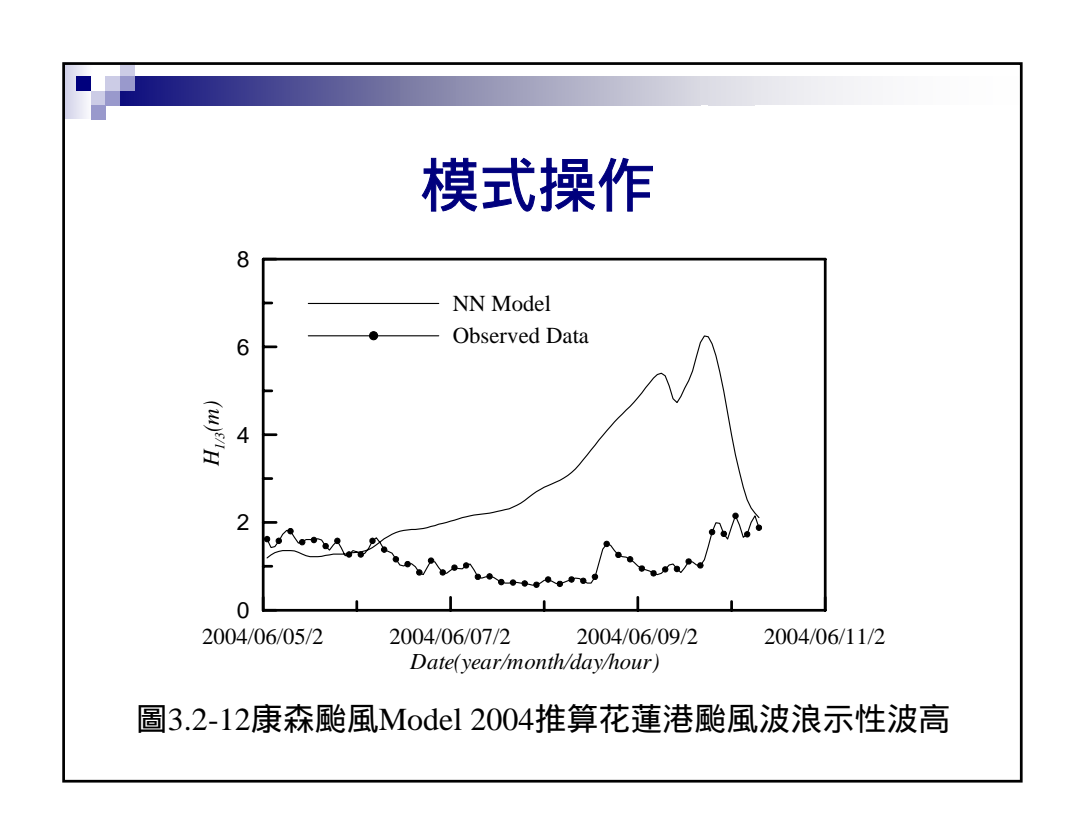
, 輸入資料延時 n.

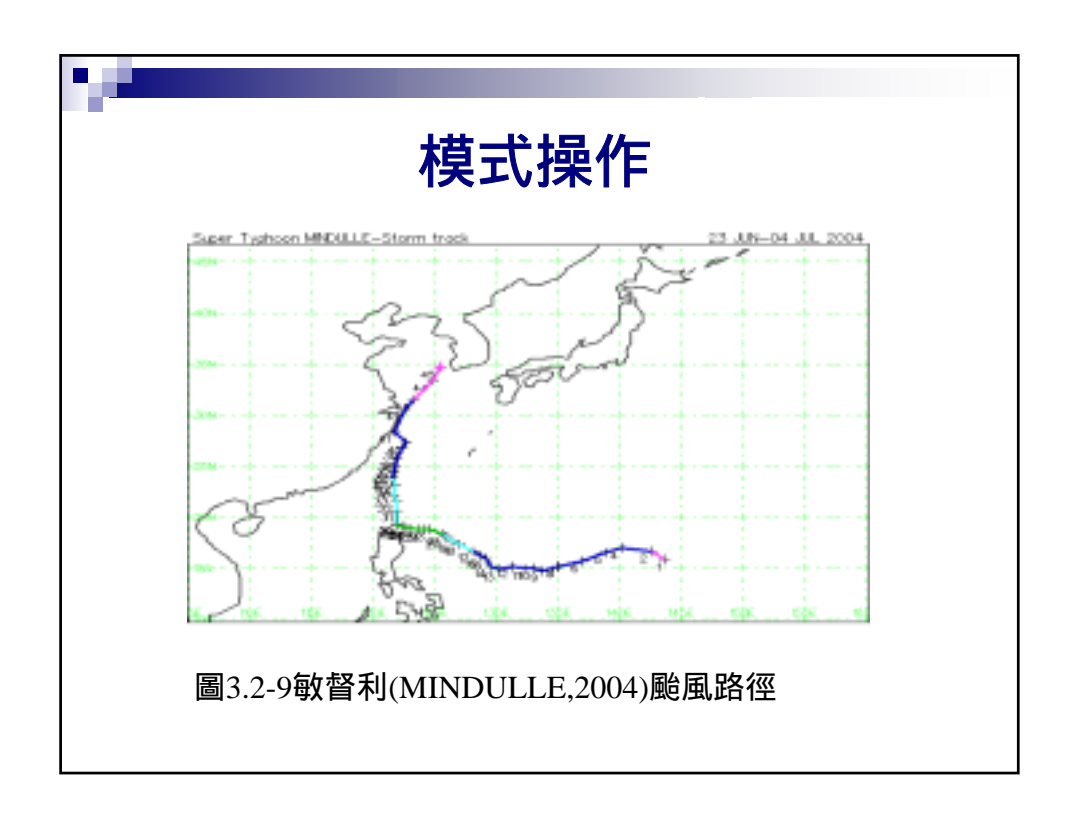


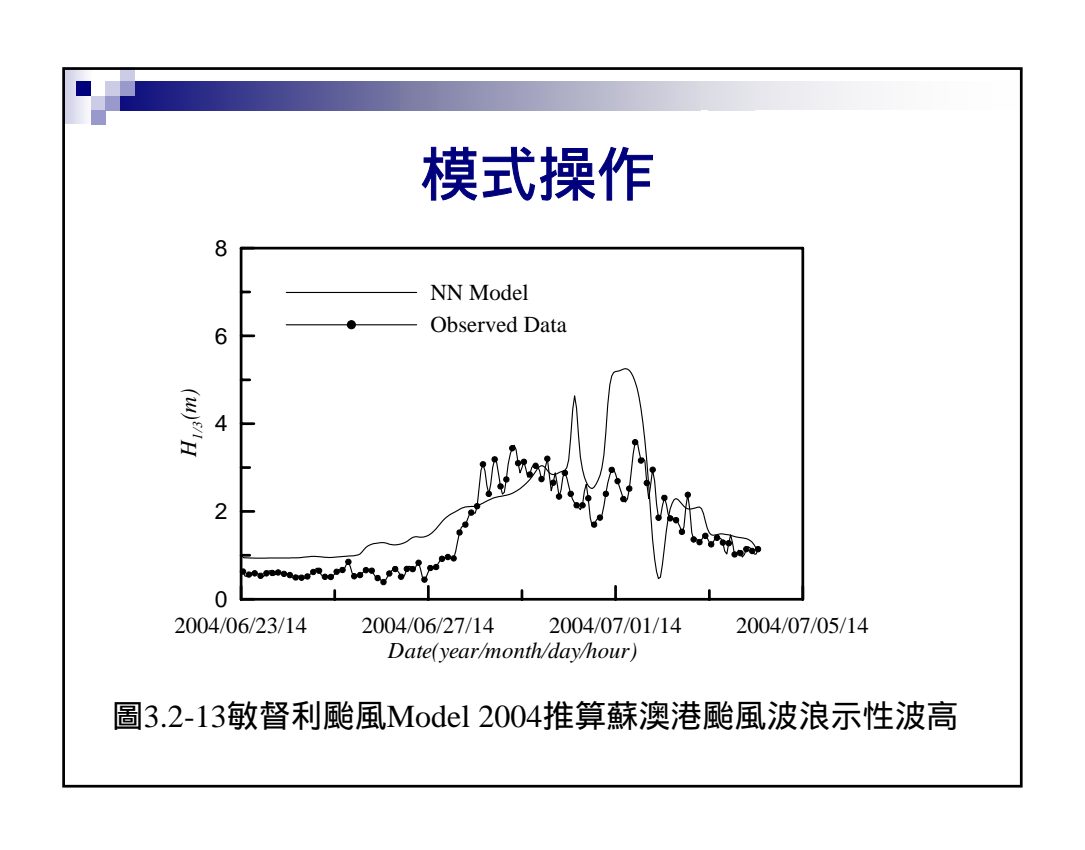


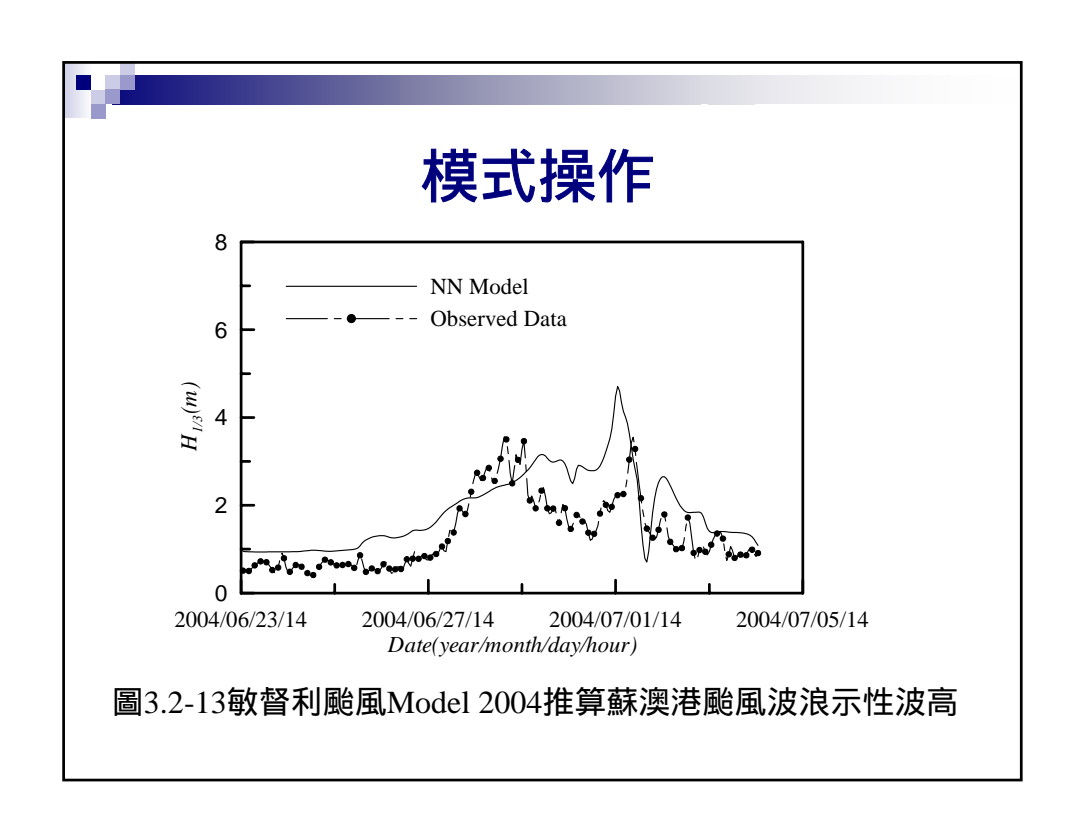


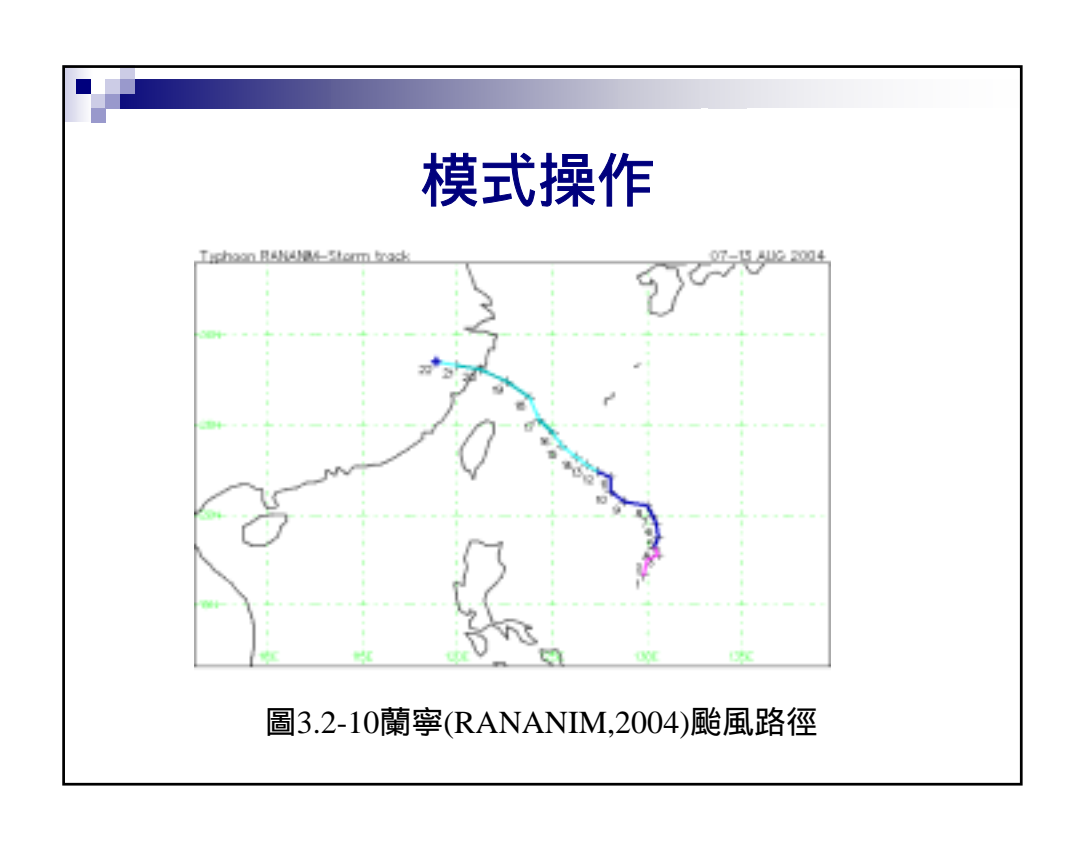


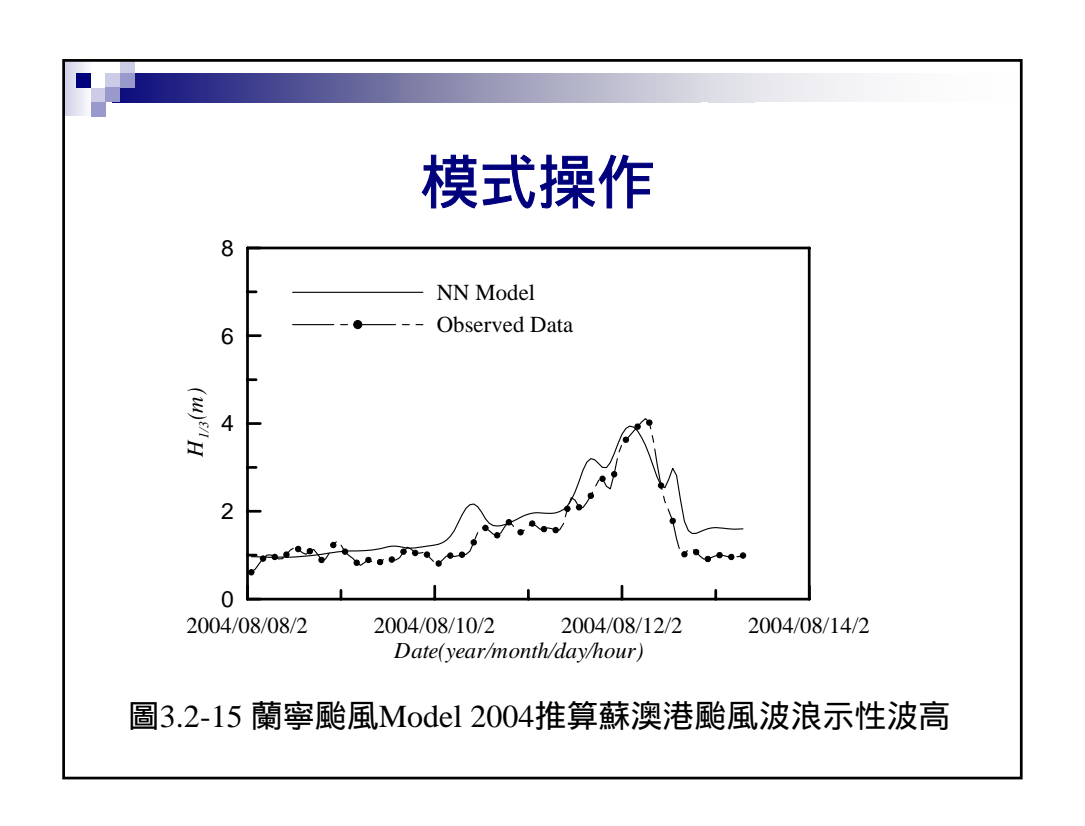


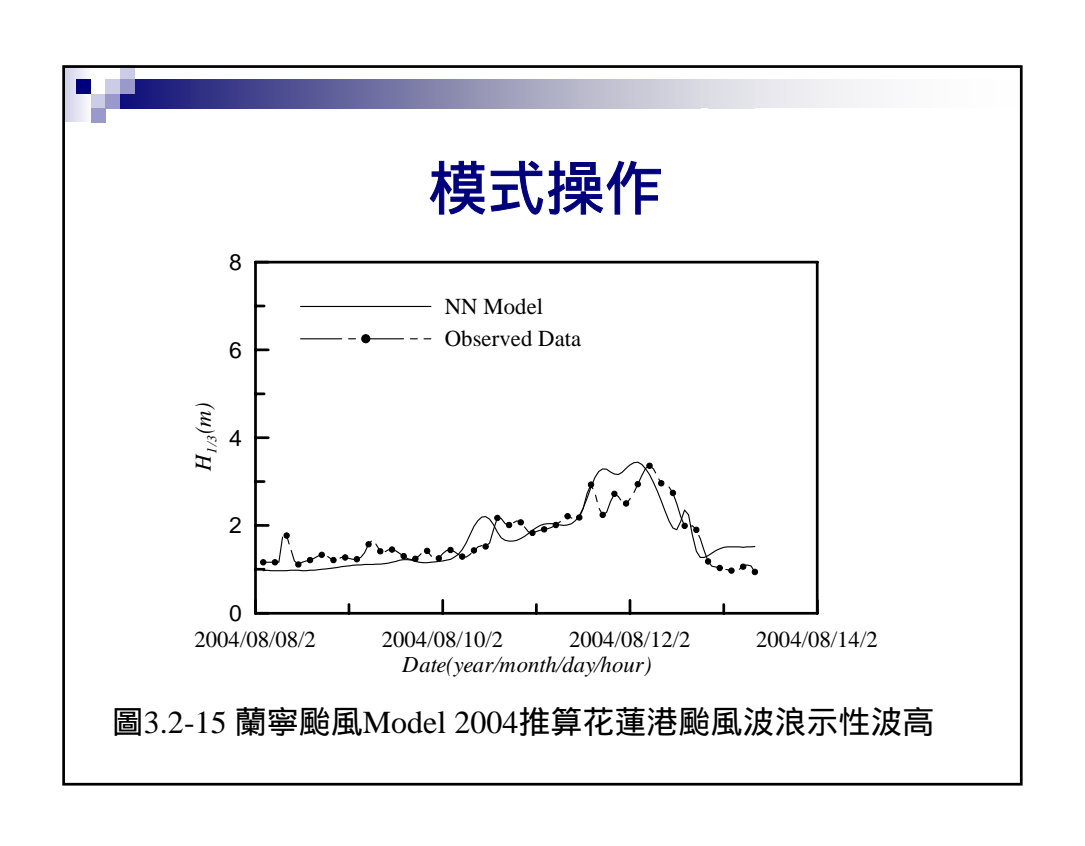


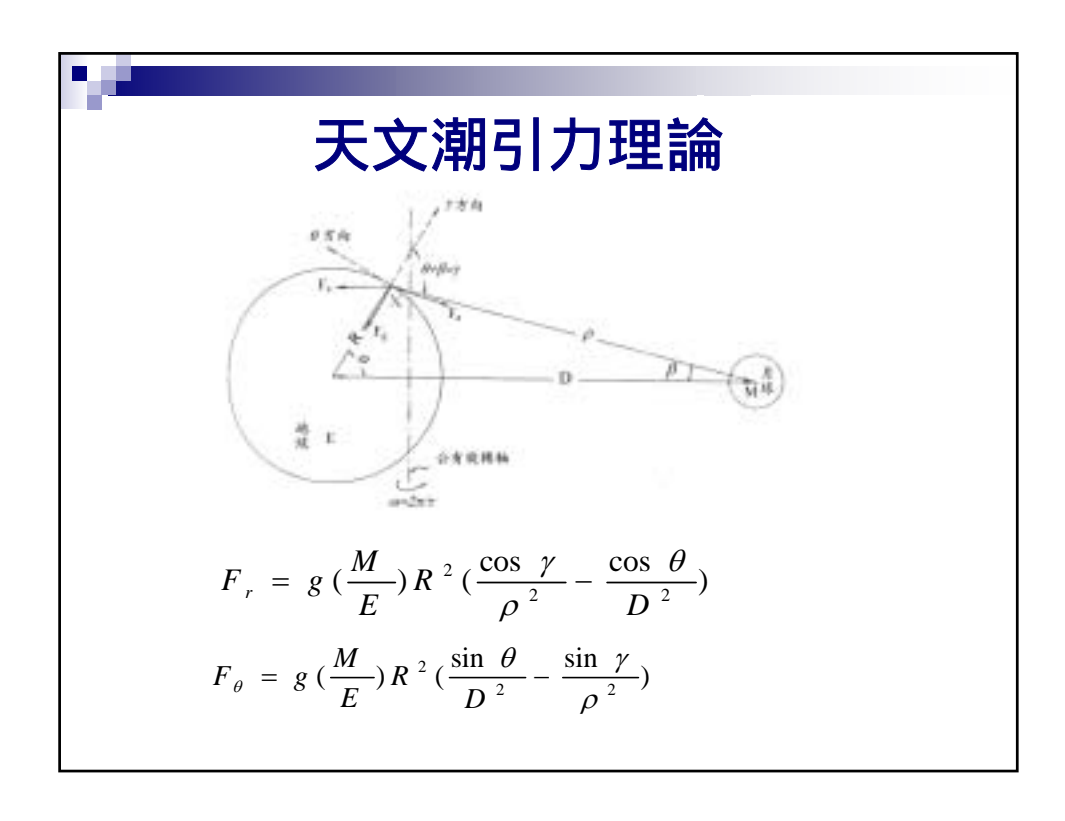










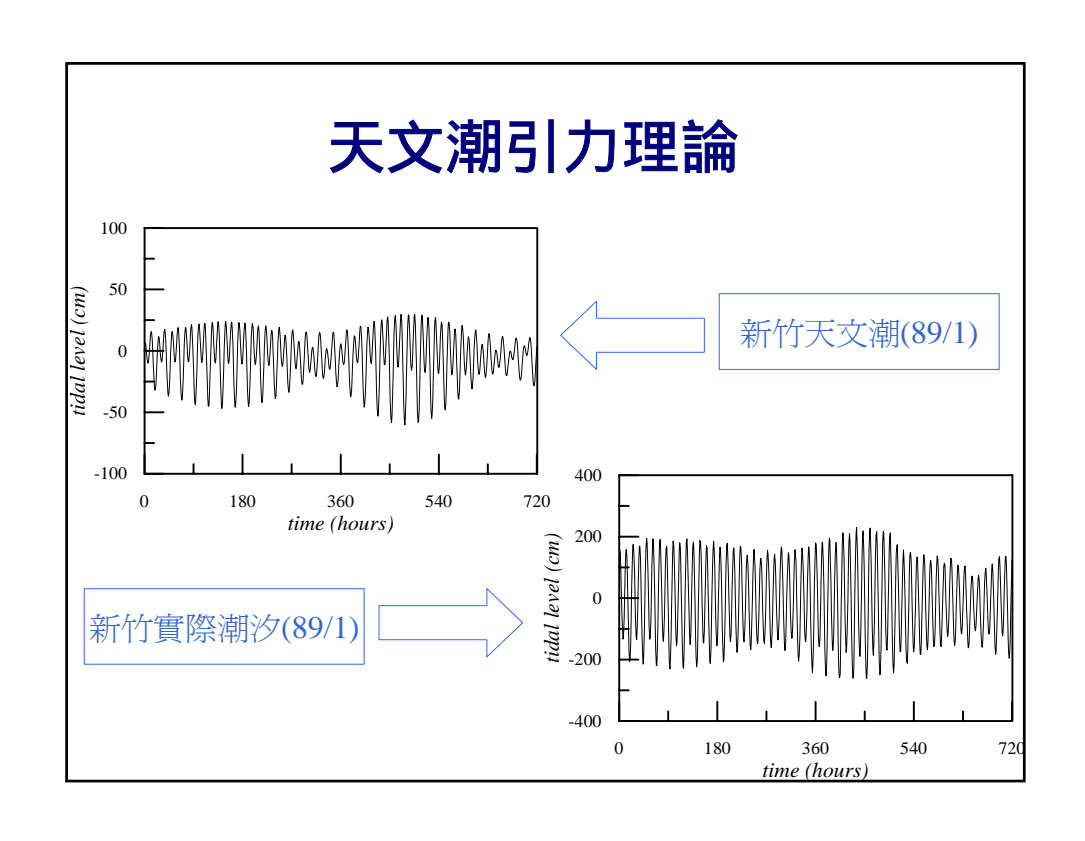


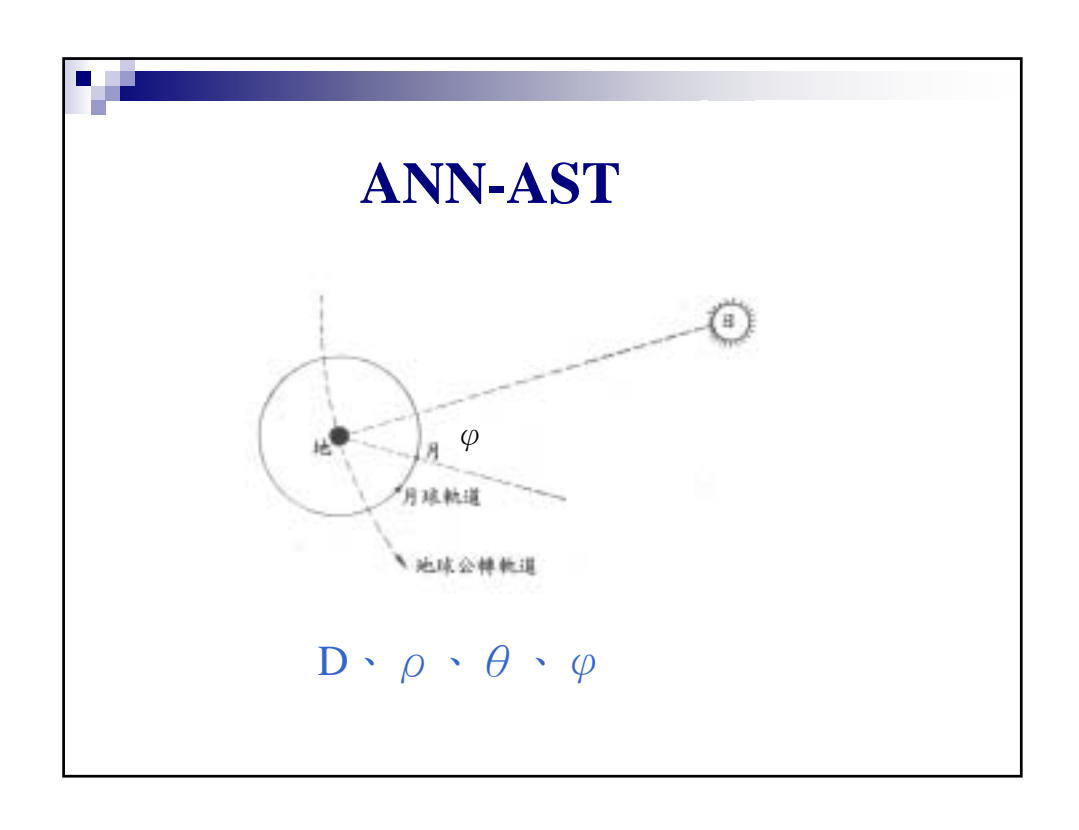
天文潮引力理論

$$\frac{\partial \Omega}{\partial r} = F_r \quad \frac{1}{r} \frac{\partial \Omega}{\partial \theta} = F_{\theta}$$

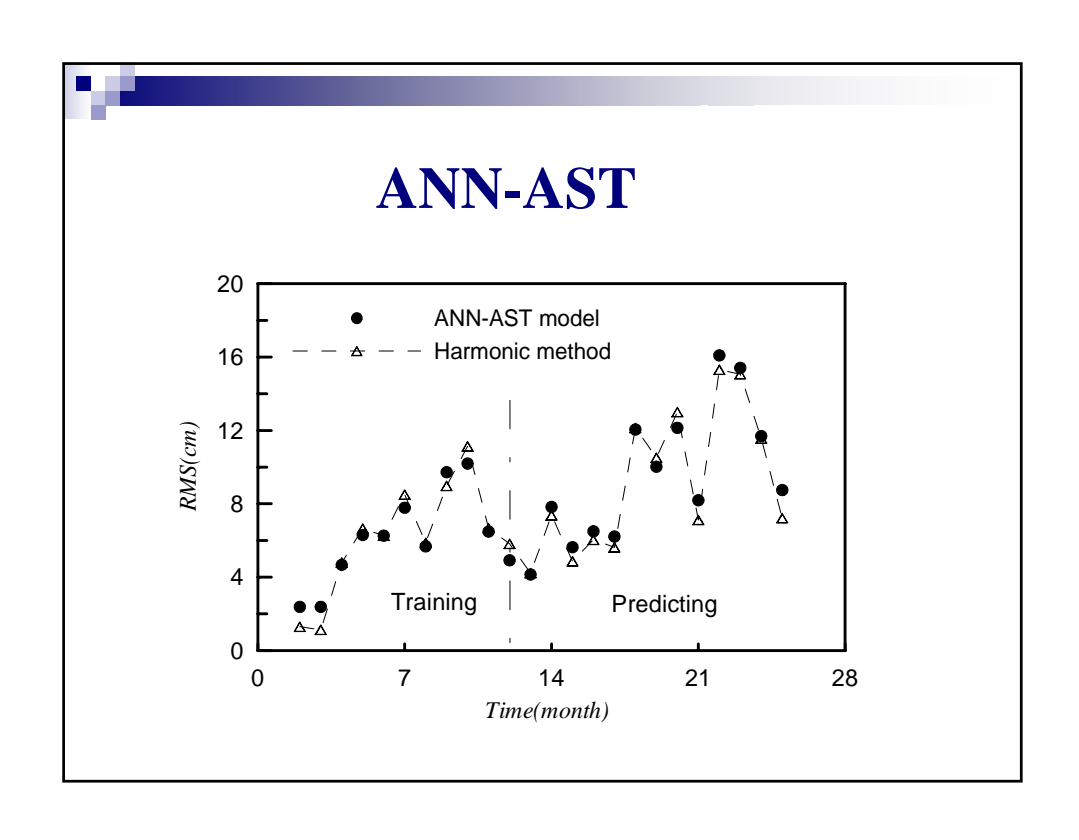
地心r=0, $\rho=D$ 處無引潮力則=0 地球表面r=R,爲X點的天頂距離

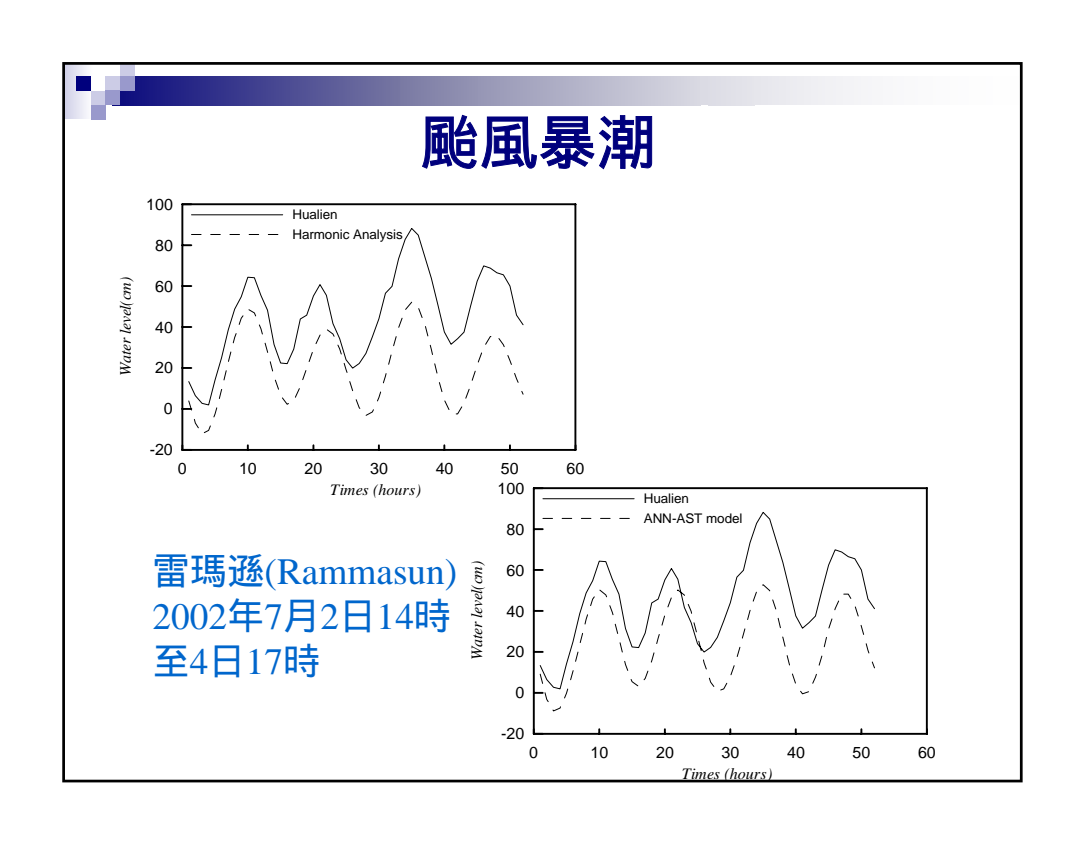
$$\Omega = KM \left(\frac{1}{\rho} - \frac{R \cos \theta}{D^2} - \frac{1}{D} \right)$$

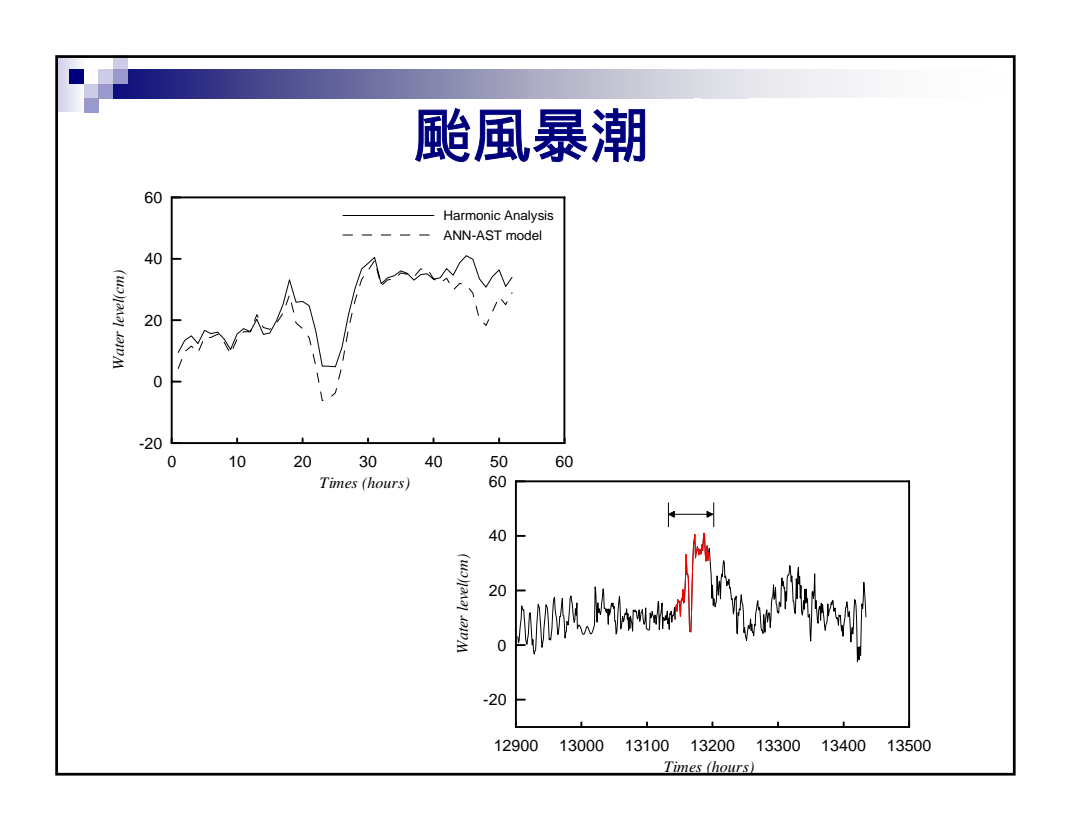


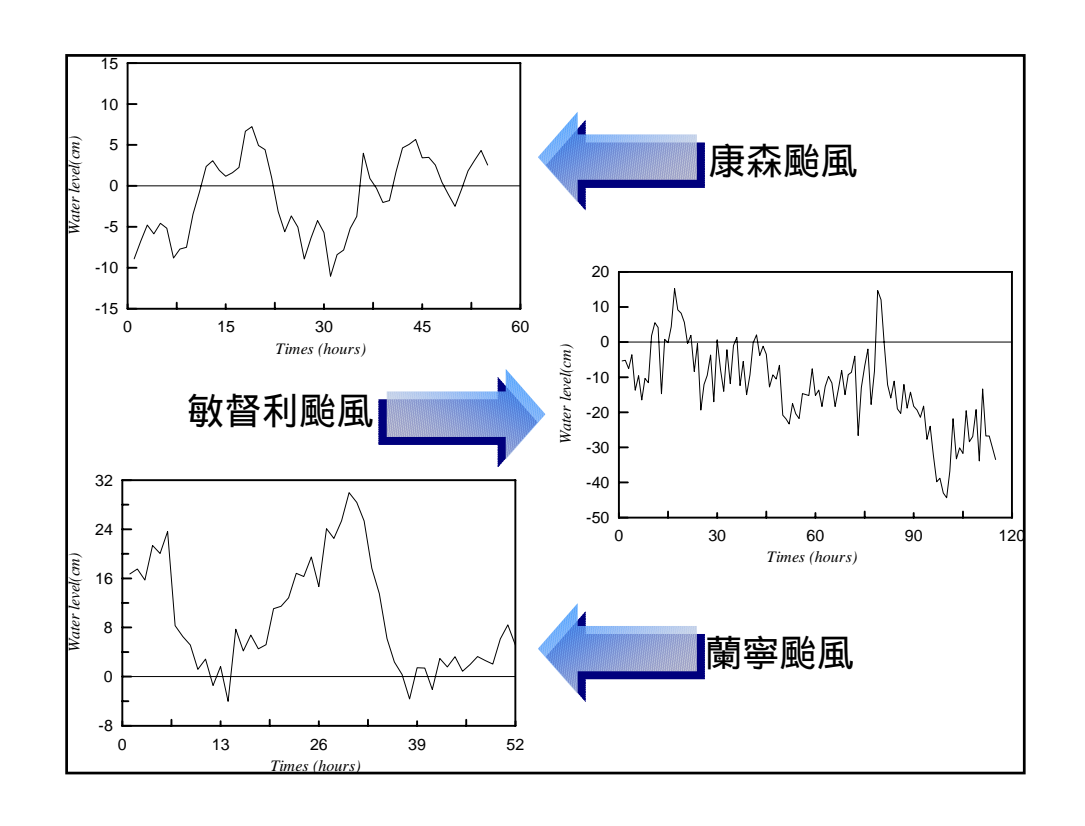


ANN-AST			
	t	t-1	t-2
Moon	$\left(\frac{R}{D_m}\right)_t$	$\left(\frac{R}{D_m}\right)_{t-1}$	$\left(\frac{R}{D_m}\right)_{t-2}$
Moon	$\left(\frac{R}{ ho_m}\right)_t$	$\left(\frac{R}{ ho_m}\right)_{t-1}$	$\left(\frac{R}{\rho_m}\right)_{t-2}$
Moon	$\left[\left(\frac{R}{D_m} \right)^2 \cos \theta_m \right]_t$	$\left[\left(\frac{R}{D_m}\right)^2\cos\theta_m\right]_{t-1}$	$\left[\left(\frac{R}{D_m} \right)^2 \cos \theta_m \right]_{t-2}$
Sun	$\left(\frac{R}{D_s}\right)_t$	$\left(\frac{R}{D_s}\right)_{t-1}$	$\left(\frac{R}{D_s}\right)_{t-2}$
Sun	$\left(\frac{R}{\rho_s}\right)_t$	$\left(\frac{R}{\rho_s}\right)_{t-1}$	$\left(\frac{R}{\rho_s}\right)_{t-2}$
Sun	$\left[\left(\frac{R}{D_s} \right)^2 \cos \theta_s \right]_t$	$\left[\left(\frac{R}{D_s}\right)^2\cos\theta_s\right]_{t-1}$	$\left[\left(\frac{R}{D_s} \right)^2 \cos \theta_s \right]_{t-2}$
M-S	$(\cos \varphi)_t$	$(\cos \varphi)_{t-1}$	$(\cos \varphi)_{t-2}$



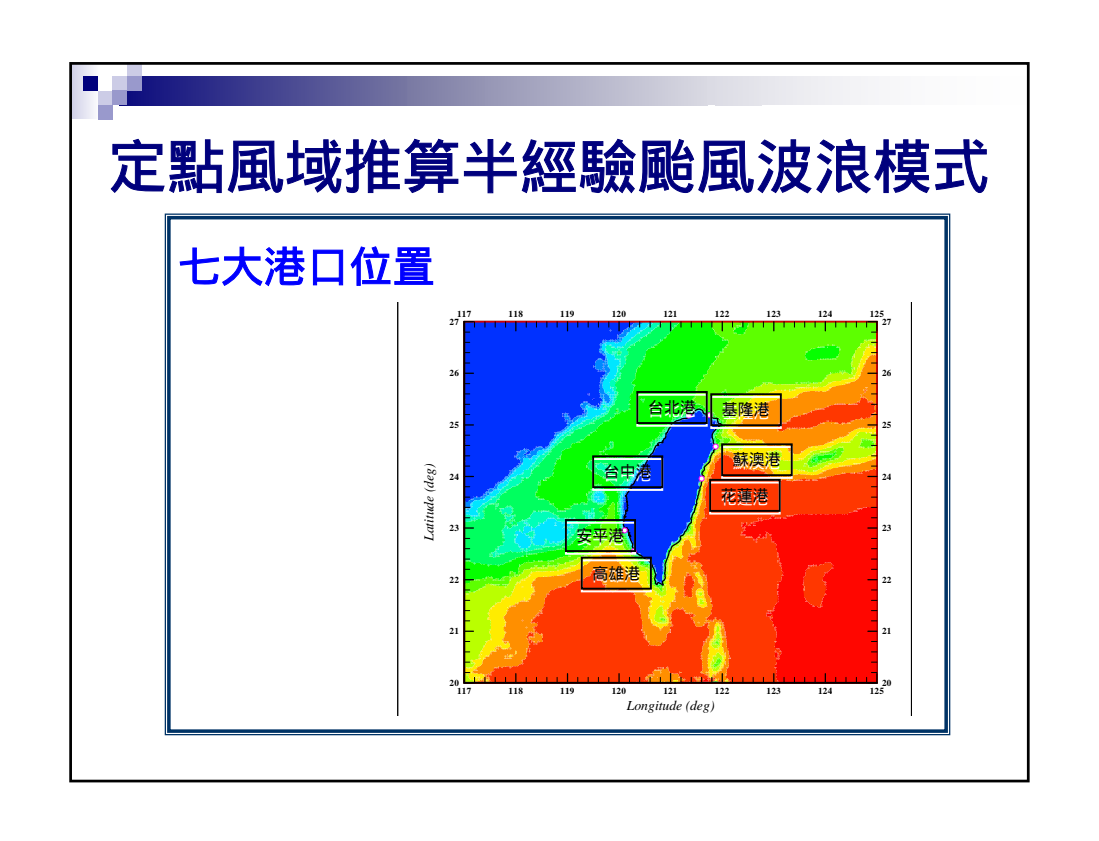


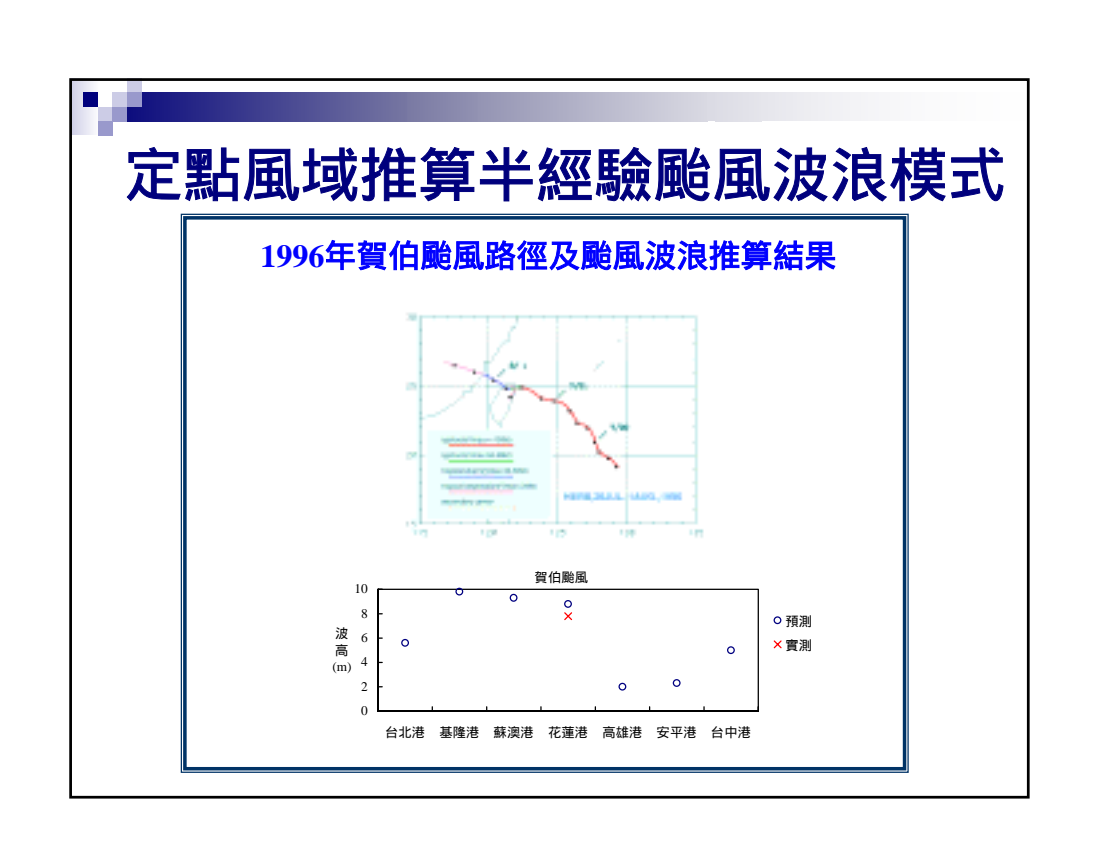


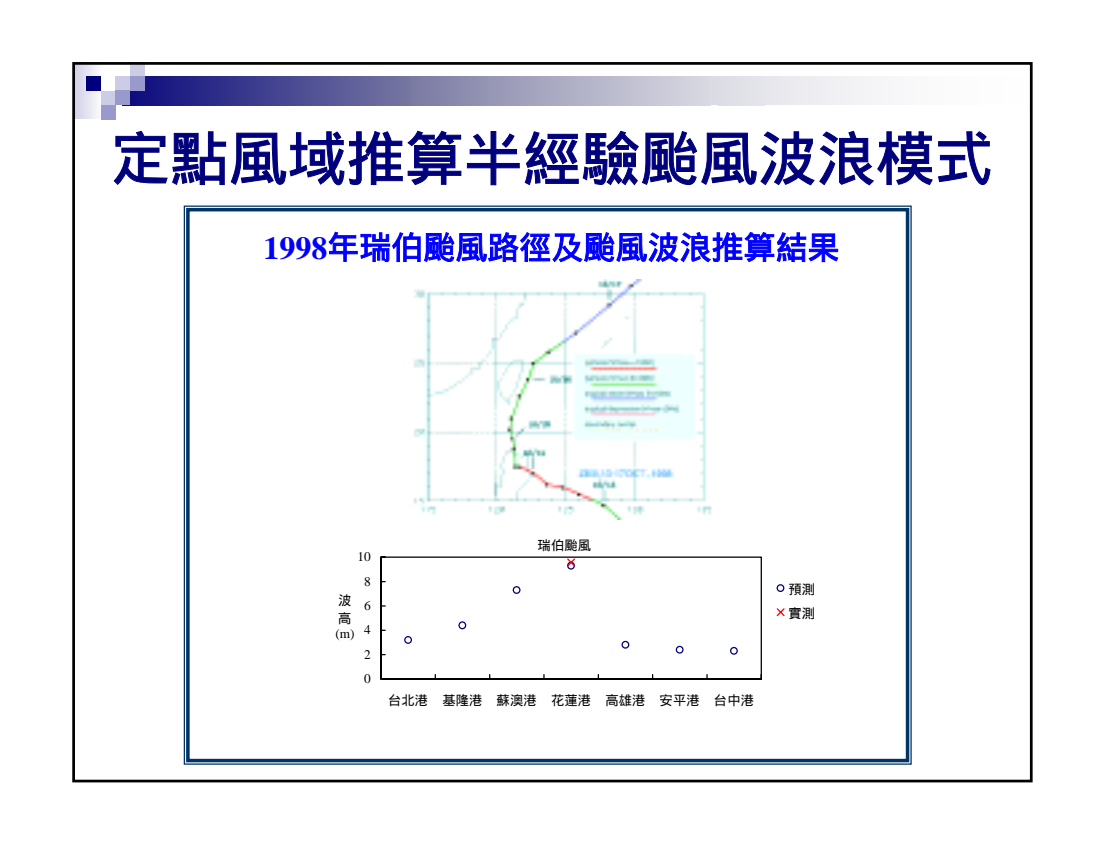


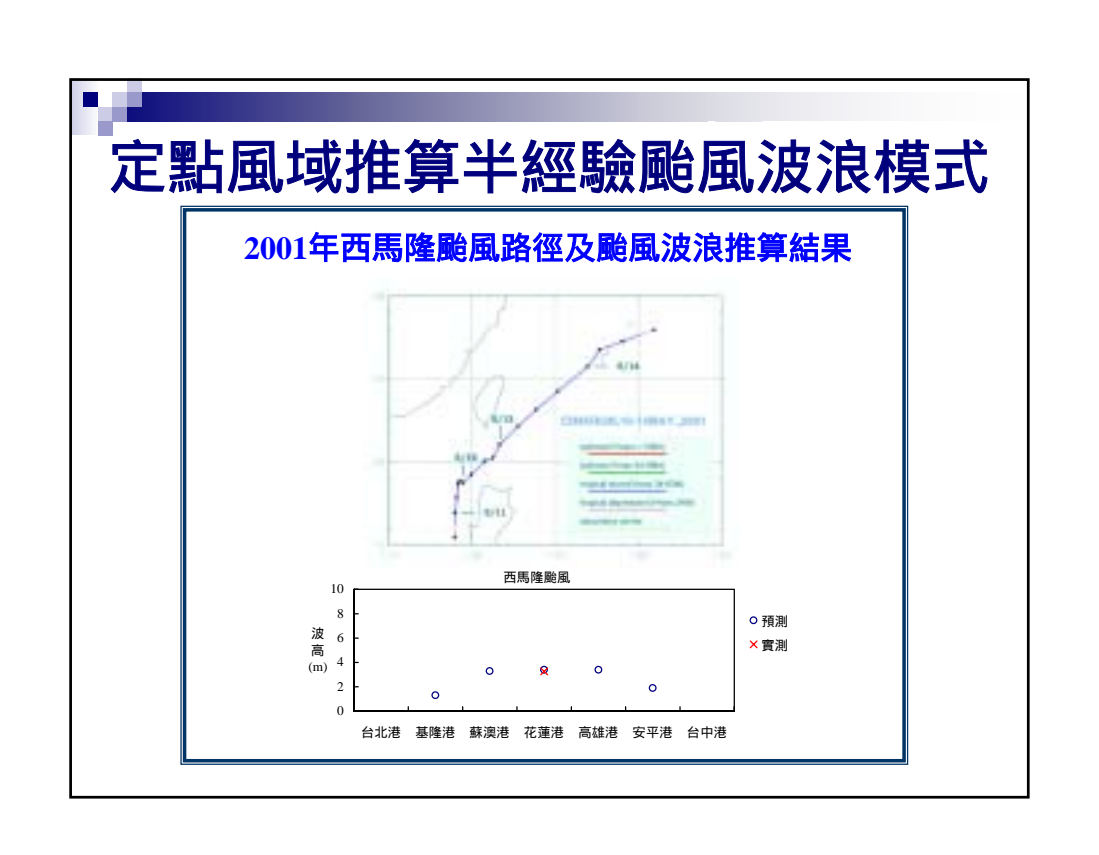
- 基本理論 湯(1970)移動風域數值推算法
- 案例說明與驗証
 - 模式率定與驗証

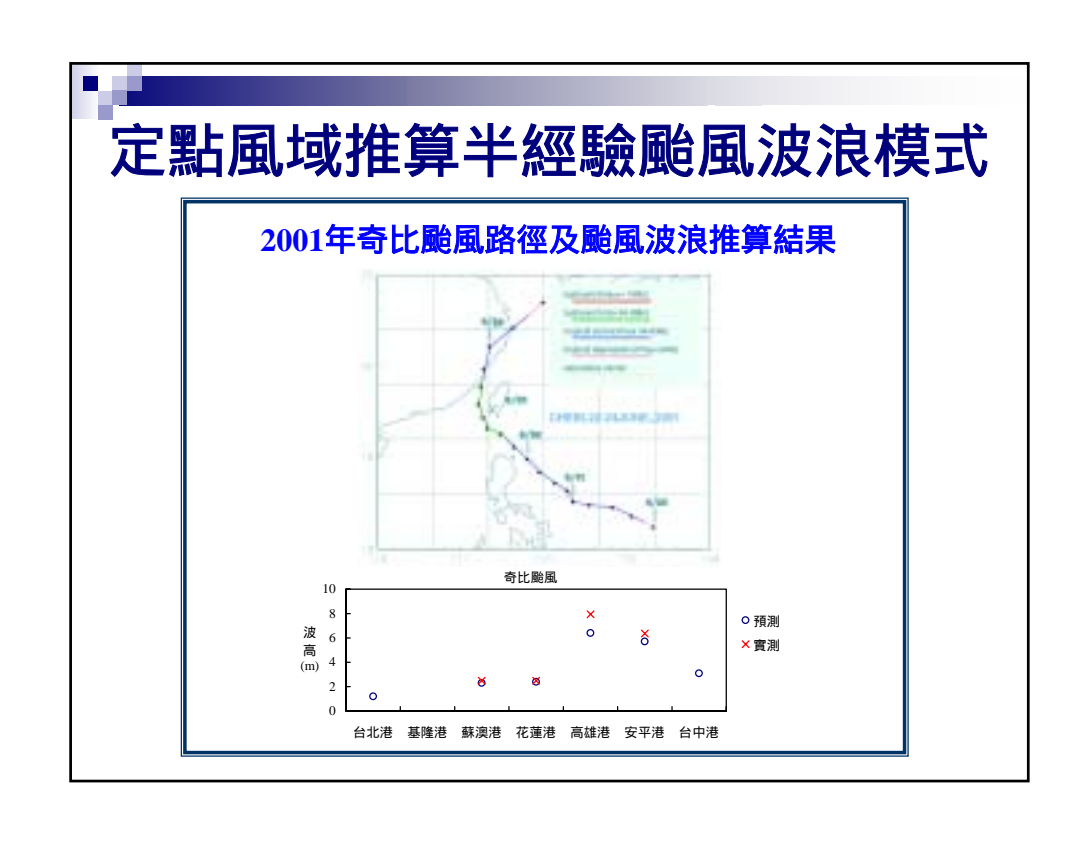
選取賀伯、瑞伯、西馬隆、奇比、桃芝、利奇馬、梵高及杜鵑等侵台颱風,分別模擬台北港、基隆港、蘇澳港、花蓮港、高雄港、安平港及台中港等七大港口颱風波浪。

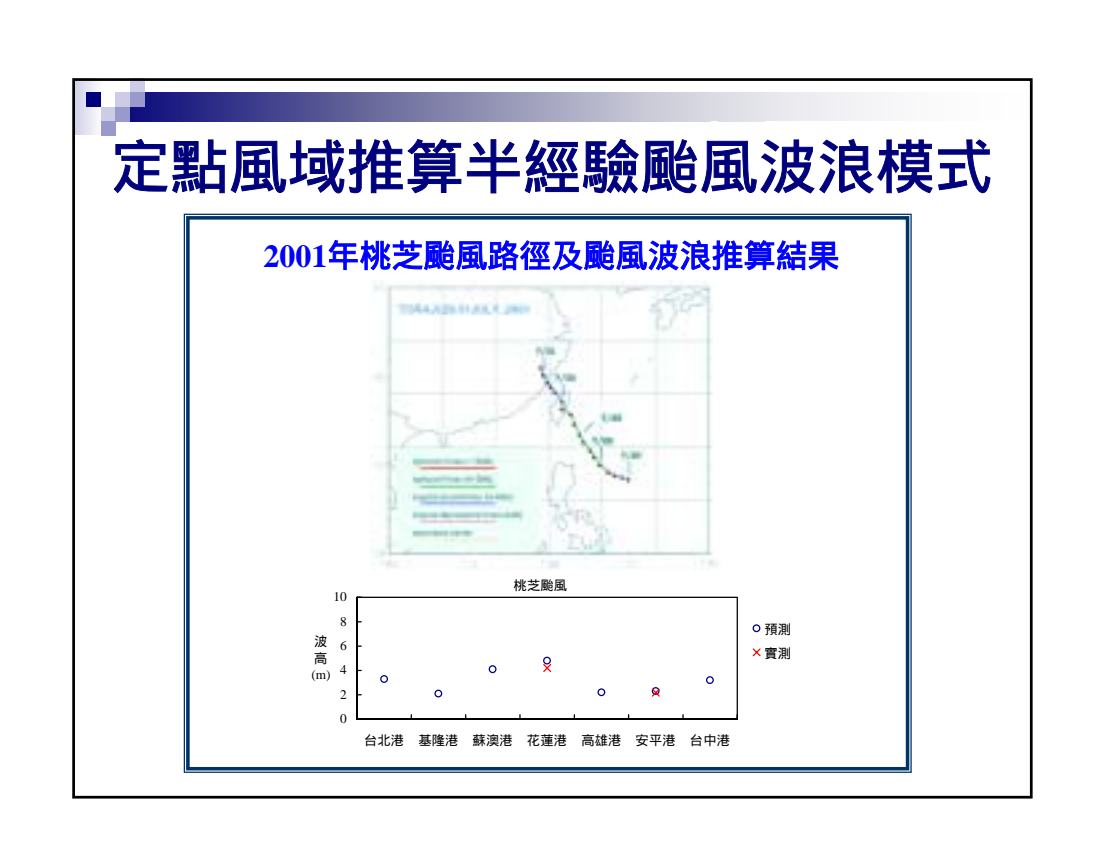


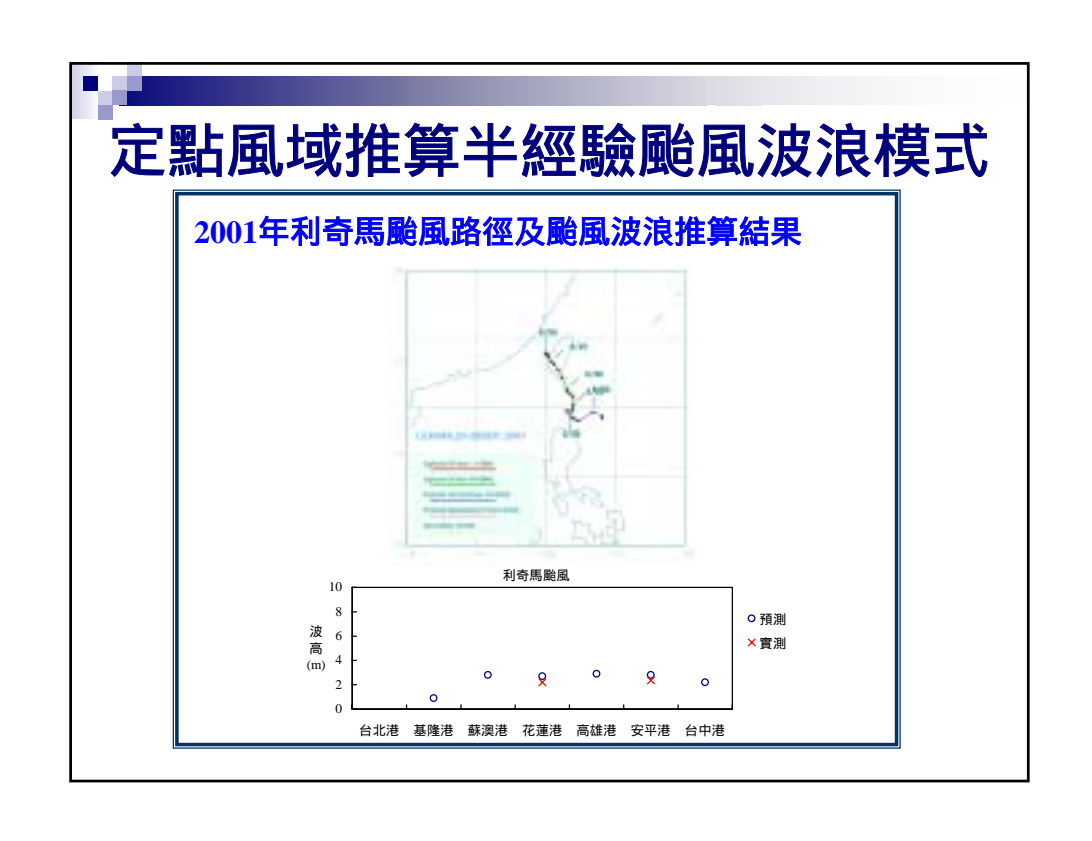


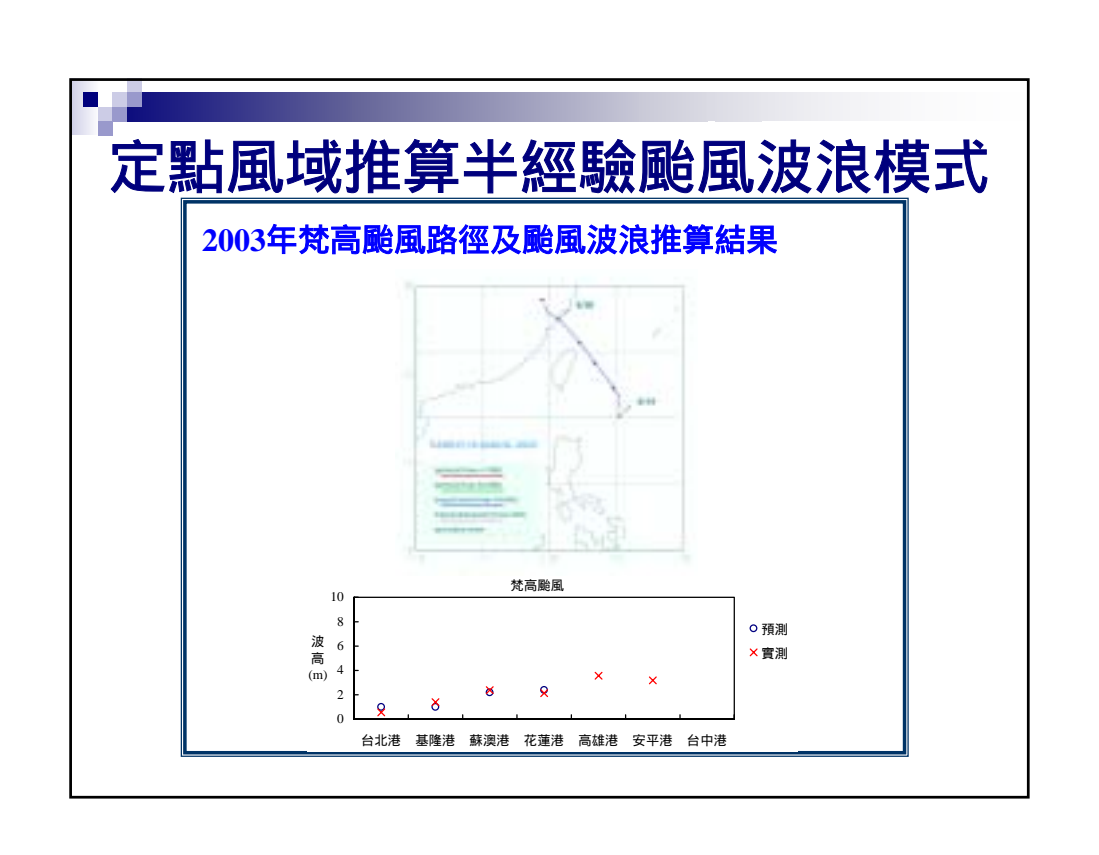


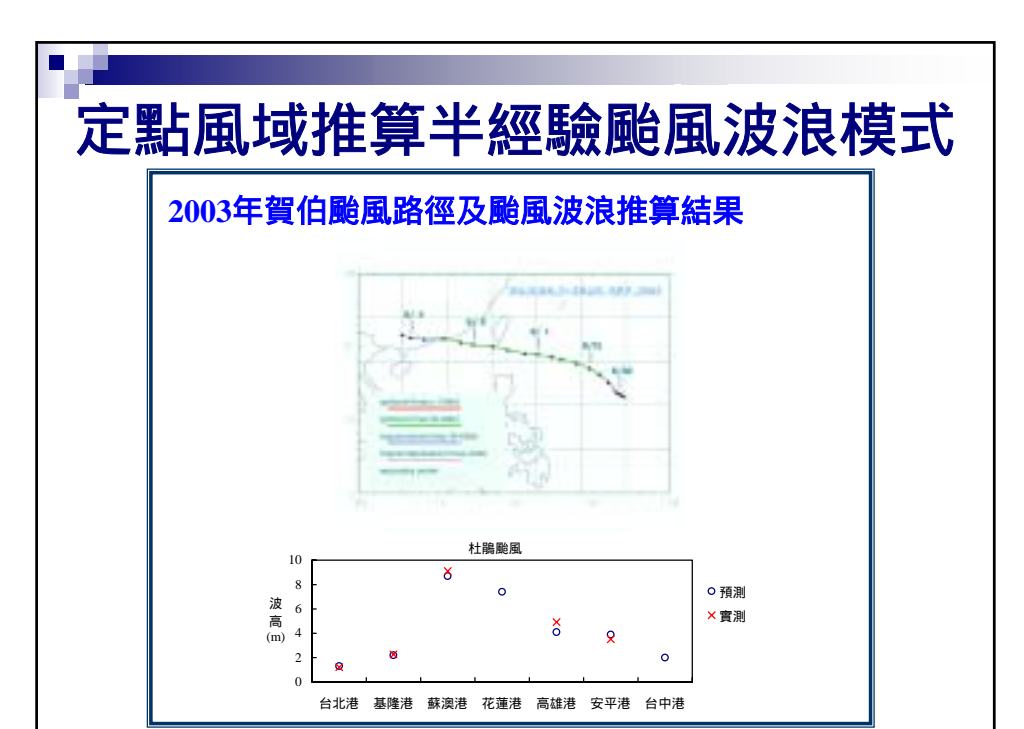










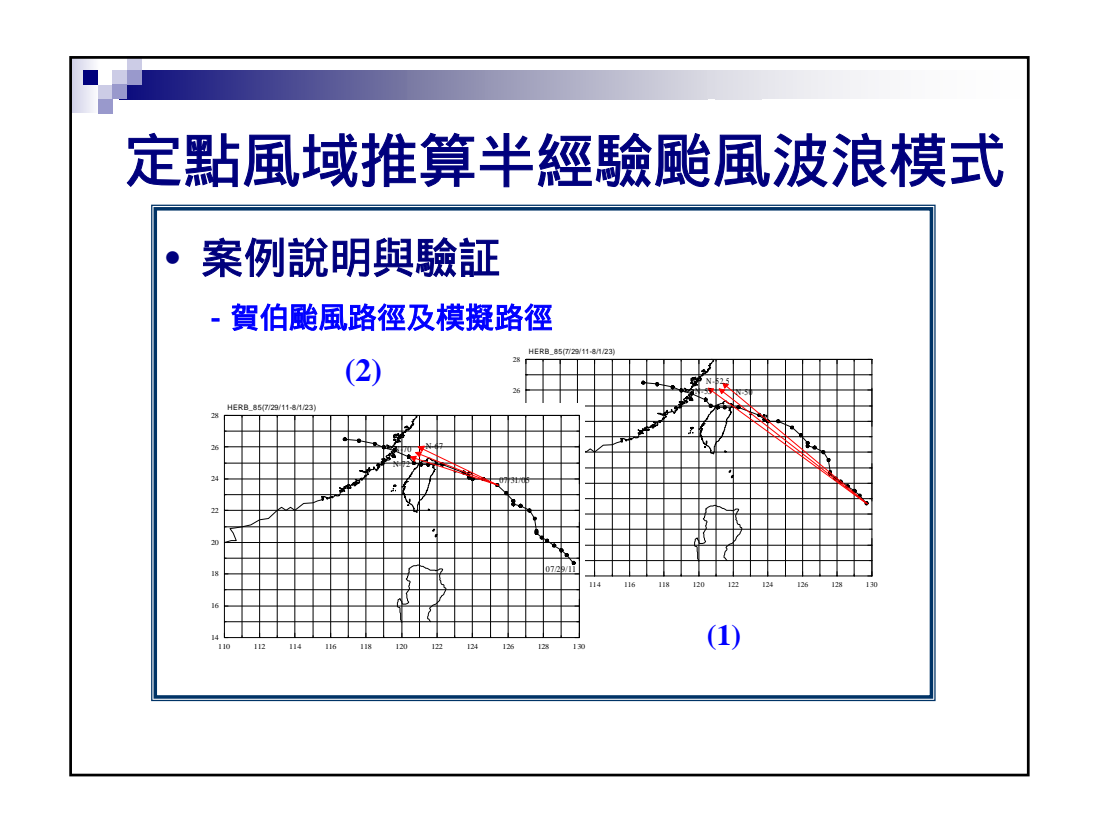


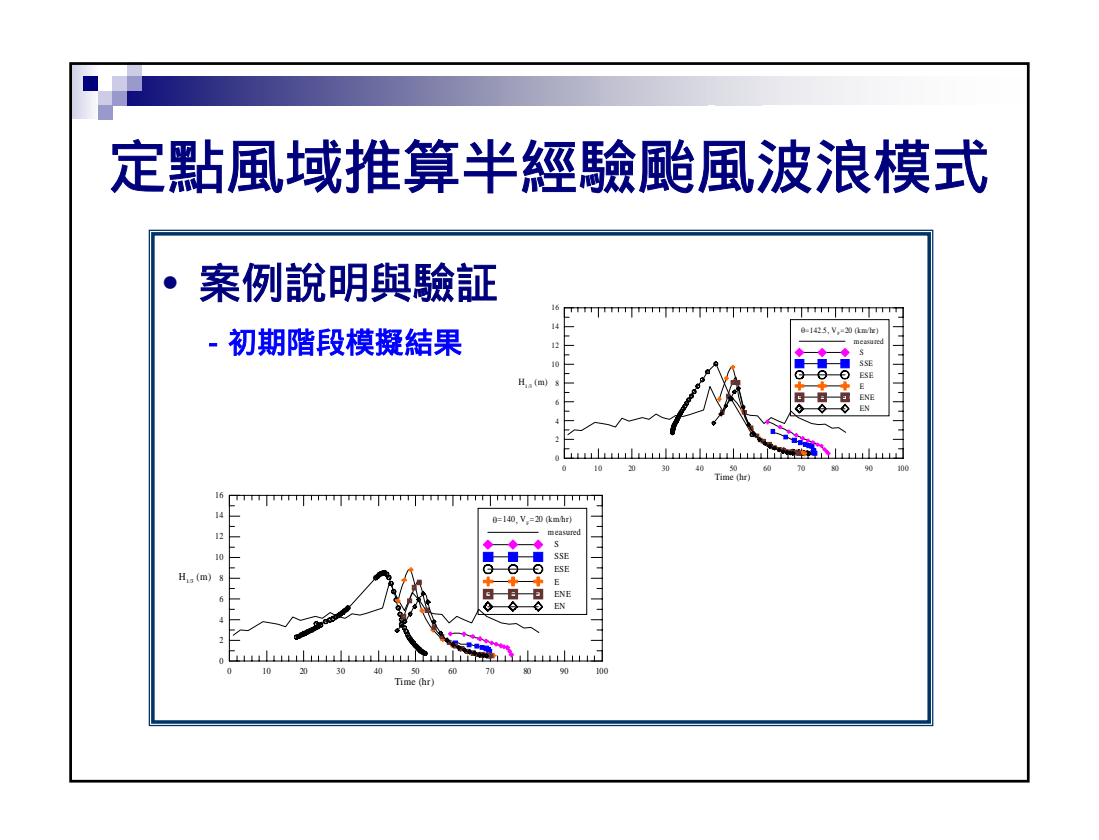
- 案例說明與驗証
 - 模式之預警模擬

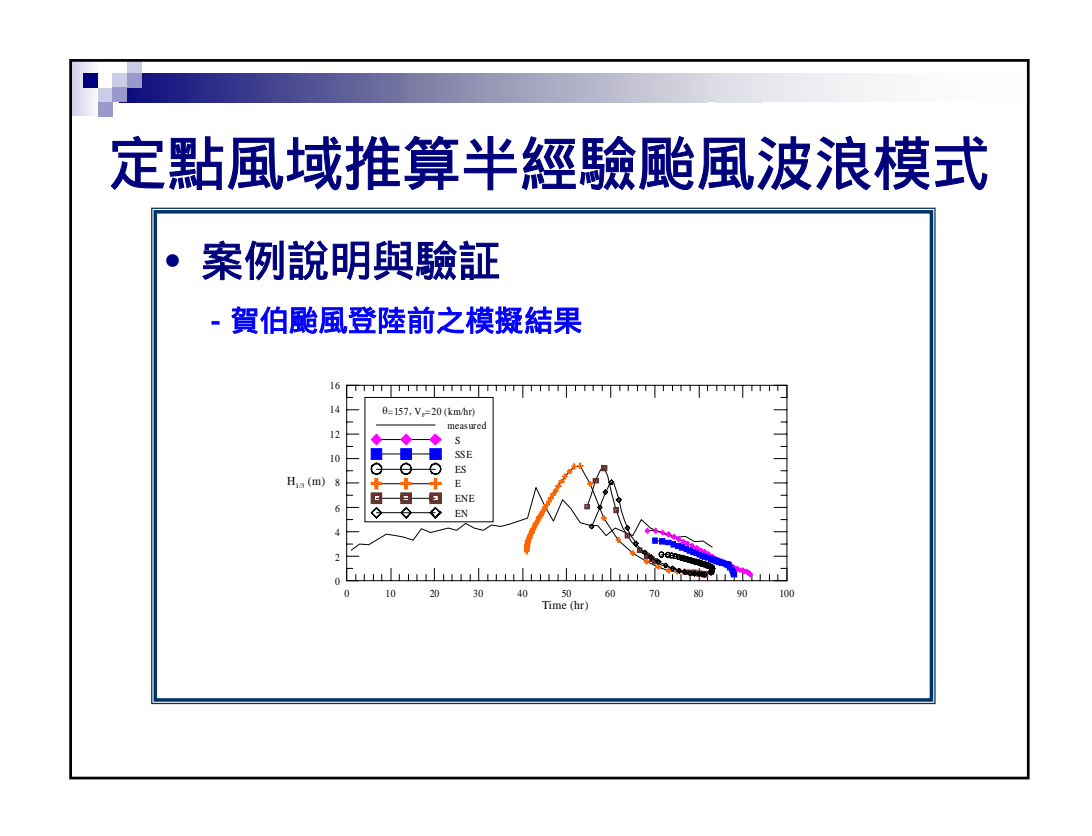
本文以花蓮港及賀伯颱風為例探討半經驗颱風波浪模式在即時預警上之應用與計算結果

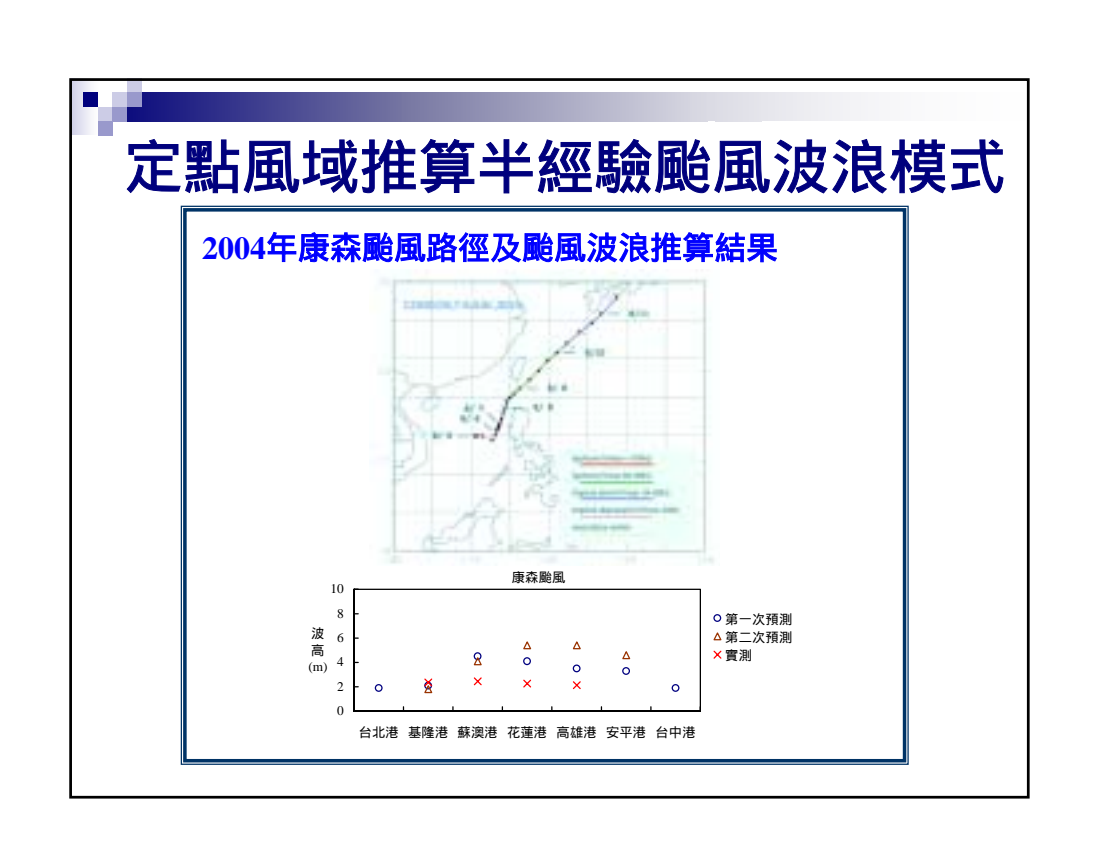
(1)預警模擬:(初期階段,颱風路進改變,颱風滯留期)

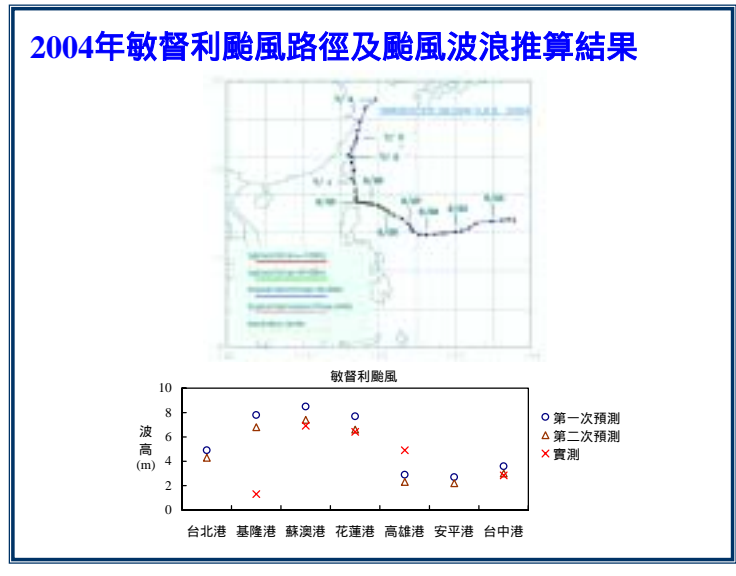
(2)靈敏度分析:(侵台路徑,移動速度,中心氣壓)











定點風域推算半經驗颱風波浪模式

• 討論與建議

- 當模式所模擬之行進路徑若與實際颱風行進路徑相近似時,模式所推算之最大示性波高值與實測波浪最大波高間誤差可望縮小。

當模擬之颱風移動速度與颱風實際移動速度之平均 值相近時,則模式所推算之最大示性波高之時間延 時亦會與實測波浪最大波高發生之時間延時相近。

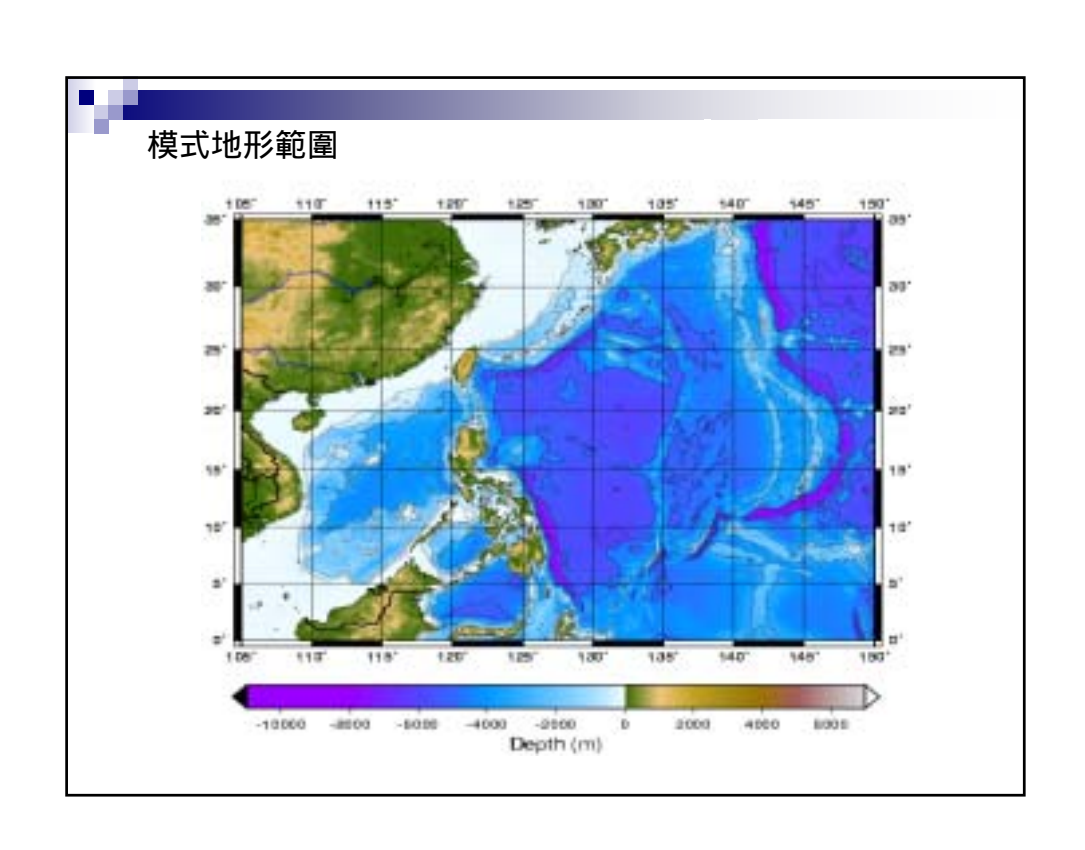
• 討論與建議

- 由於模式本身具有運算快速及模式所需之資料相對地較少等優點,在海岸防災預警應用上,較易模擬各種可能的颱風行進路徑、移動速度及中心低氣壓值,可充份提供各種可能的颱風波浪預警訊息。

水位預報模式

水位預報模式:

- 天文潮(潮汐部分):週期性的水位變化
 - --全域天文潮模式
- 氣象潮(風暴潮部分):突發性的水位變化,颱風是主要的成因。
 - --全域暴潮模式:天文潮與氣象潮的模式分開建置執行, 將其結果透過程式整合作為水位預報的資訊。
- 二維潮汐與風暴潮整合模式:
 - --全域水位模式:引用歐美先進預報模式的作法,將天文 潮與氣象潮的動力機制在全域水動力模式內動態整合, 建立潮汐與風暴潮耦合的水位預報模式。





各個模式方法與設定

全域天文潮模式

- •天文潮模式的邊界利用Global Ocean Model (Schwiderski, 1982) 計算結果內插得到,以8個分潮(四個全日潮及四個半日潮)分別帶入計算
- •模式範圍為東經105~150度,北緯0~35度
- •模式解析度為1/6度

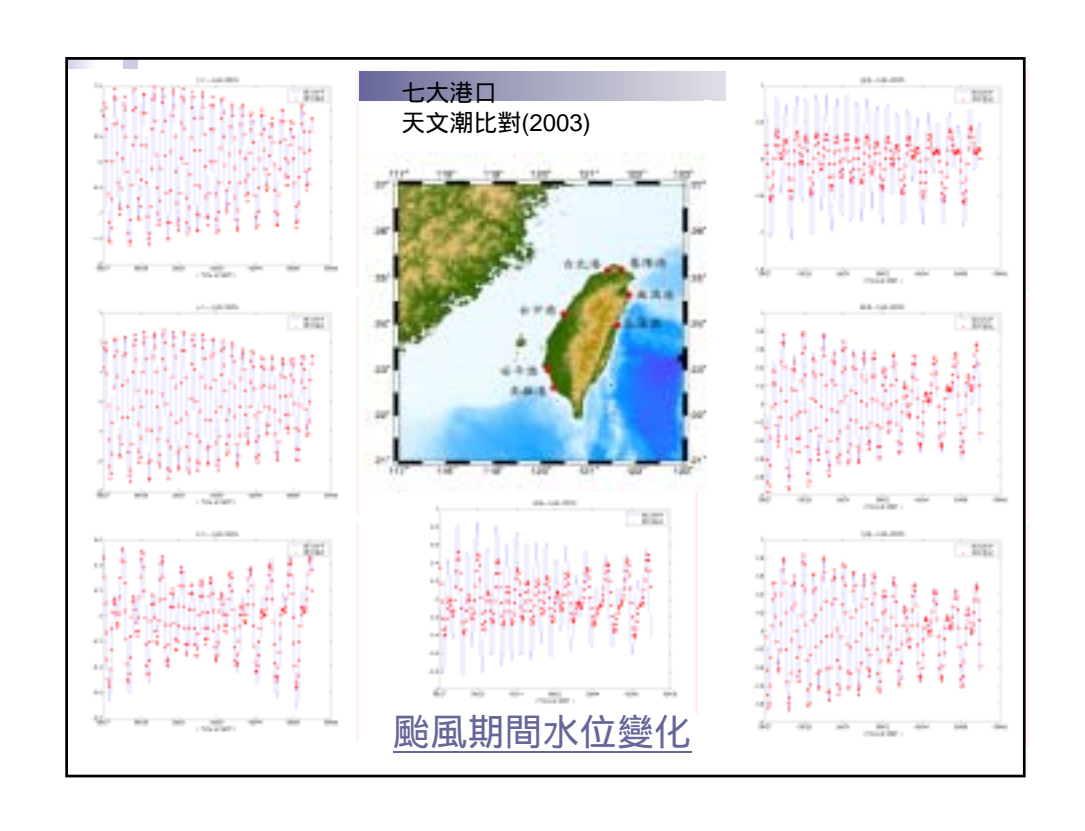
全域暴潮模式

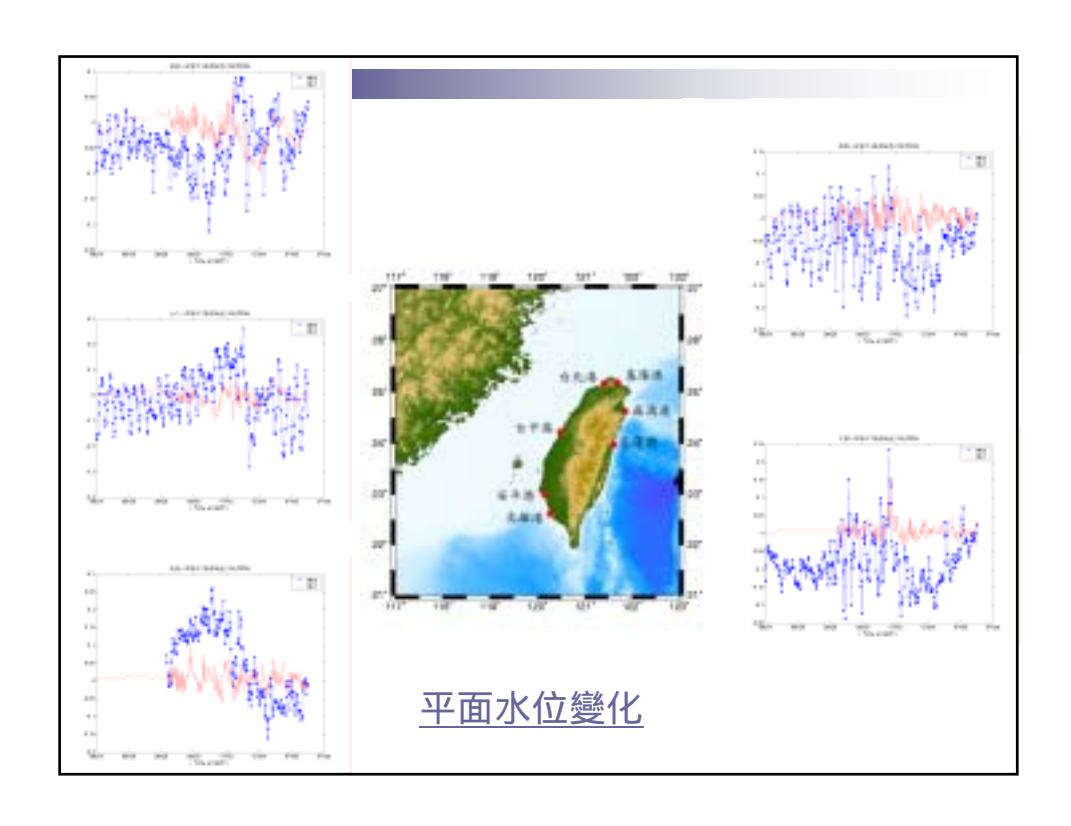
- ·暴潮模式的邊界設定為自由邊界(free flux),以風場作為驅動力
- •模式範圍為東經105~150度,北緯0~35度
- •模式解析度為1/6度
- •使用天文潮模式結果做疊加便可得實際水位變化

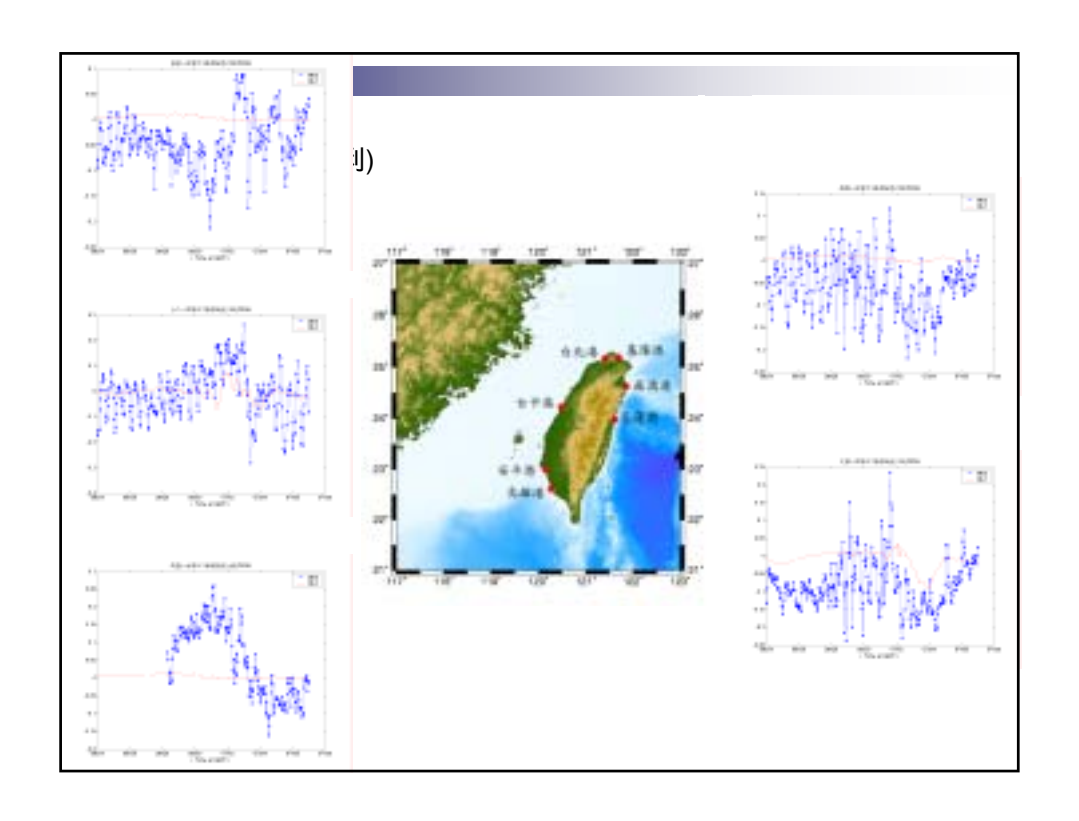


全域水位模式

- •天文潮模式的邊界利用Global Ocean Model (Schwiderski, 1982) 計算結果內插得到,以8個分潮(四個全日潮及四個半日潮)作為驅動
- •輸入風場資料
- •模式範圍為東經105~150度,北緯0~35度
- •模式解析度為1/6度
- •得到結果即為實際水位變化

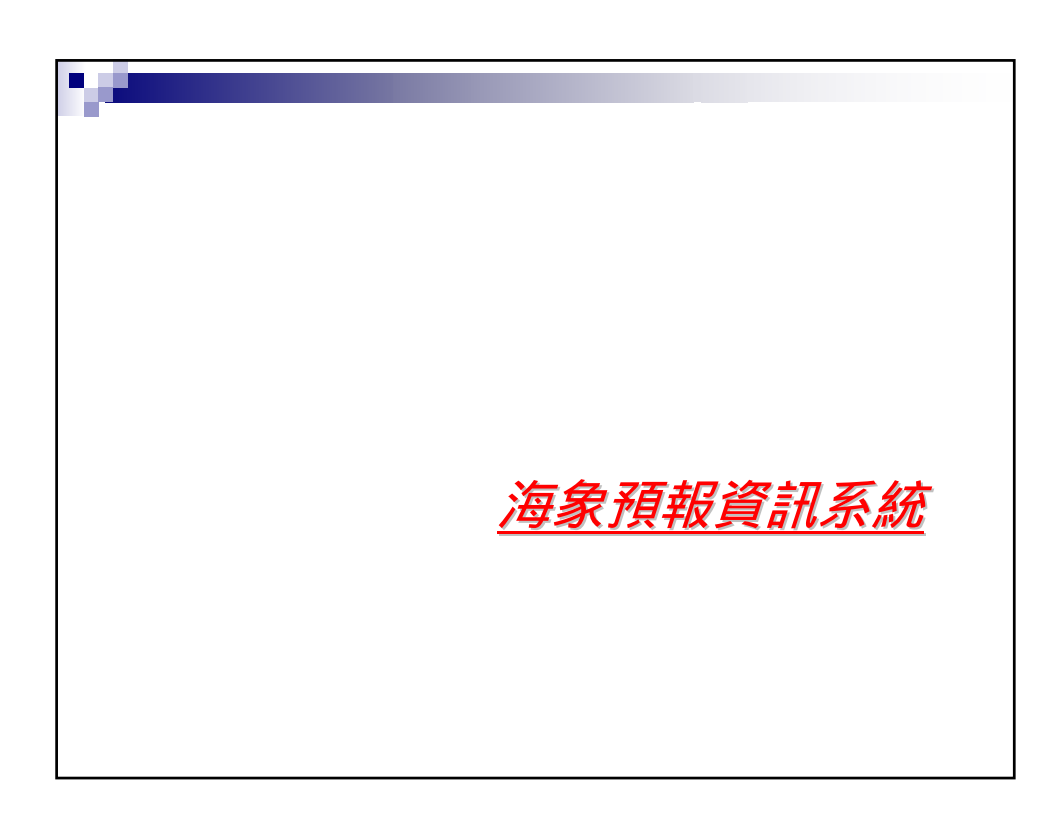






結論

- 天文潮水位結果大致符合
- 暴潮模式
 - --氣壓場資料
 - --實測水位資料
- 網格解析度
 - --大尺度模式
 - *小尺度模式開放邊界
 - *計算時間
 - --計算主機(pc cluster)建置
- 未來持續校正模式
 - --實測資料:風速、氣壓、水位



綜合查詢自動化機制

■資料格式

□歷年資料由蘇博士整理提供,提供的格式以'*.pdf' 檔為主。為了讓資訊可以互相流通,團隊透過與蘇 博士的溝通協調,制定一個命名的規範,所有參與 相關單位依照此規範來產生相關檔案資訊。協定後 按照規範命名的檔案如下:

N_WAV_HI_VW0_TC_PTA_1998_MON12_01_F&R_1.PD F

或

數值_波浪_歷史_ WAN模式_臺中港_測點A_1998年_12月 __1日_圖與表_1.PDF

